

REGIONE SARDEGNA

Città Metropolitana di Sassari

COMUNE DI SASSARI



REV.	DESCRIZIONE	DATA	REDATTO	CONTROL.	APPROV.
1	EMISSIONE PER ENTI ESTERNI	26/05/2023	FURNARI G.	LO PRESTI I.	FURNO C.
0	EMISSIONE PER COMMENTI	19/05/2023	FURNARI G.	LO PRESTI I.	FURNO C.

Committente:

SASSARI EOLICA S.R.L.

Via Napo Torriani 17/A – 22100 Como (CO) – P.IVA/C.F. 03921560136 – Pec: sassarieolica@pec.it

Società di Progettazione:

Ingegneria & Innovazione



Via Jonica, 16 – Loc. Belvedere – 96100 Siracusa (SR) Tel. 0931.1663409
Web: www.antexgroup.it e-mail: info@antexgroup.it

Progetto:

PARCO EOLICO DI "SASSARI"

Progettista/Resp. Tecnico

Dott. Ing. Cesare Furno
Ordine degli Ingegneri
della Provincia di Catania
n° 6130 sez. A

Elaborato:

RELAZIONE DI CALCOLO PREDIMENSIONAMENTO DELLE
FONDAZIONI WTG

Scala:

NA

Nome DIS/FILE:

C21002S05-PD-RT-07-01

Allegato:

1/1

F.to:

A4


Livello:

DEFINITIVO

Il presente documento è di proprietà della ANTEX GROUP srl.
È Vietato la comunicazione a terzi o la riproduzione senza il permesso scritto della suddetta.
La società tutela i propri diritti a rigore di Legge.


ISO 9001
BUREAU VERITAS
Certification




SASSARI EOLICA S.R.L.	PARCO EOLICO DI "SASSARI" RELAZIONE DI CALCOLO PREDIMENSIONAMENTO DELLE FONDAZIONI WTG	 Antex group Ingegneria & Innovazione		
		26/05/2023	REV: 1	Pag.2

Indice

PREMESSA	4
1 - DESCRIZIONE GENERALE DELL'OPERA DI FONDAZIONE	4
2 - NORMATIVA DI RIFERIMENTO	6
3 - MATERIALI IMPIEGATI E RESISTENZE DI CALCOLO	6
4 - TERRENO DI FONDAZIONE	9
5 – CARICHI AGENTI SULLA FONDAZIONE	11
6 - VALUTAZIONE DELL'AZIONE SISMICA	12
6.1 Classe di duttilità	13
6.2 Spettri di Progetto per S.L.U. e S.L.D.	13
6.3 Metodo di Analisi	16
6.4 Valutazione degli spostamenti	16
6.5 Combinazione delle componenti dell'azione sismica	16
6.6 Eccentricità accidentali	17
7 - AZIONI SULLA STRUTTURA	17
7.1 Stato Limite di Salvaguardia della Vita	17
7.2 Stato Limite di Danno	19
7.3 Stati Limite di Esercizio	19
OBAzione	20
8 - CODICE DI CALCOLO IMPIEGATO	20
8.1 Denominazione	20
8.2 Sintesi delle funzionalità generali	21
8.3 Sistemi di Riferimento	21
8.3.1 Riferimento globale	21
8.3.2 Riferimento locale per solette e platee	22
8.4 Modello di Calcolo	22
9 PROGETTO E VERIFICA DEGLI ELEMENTI STRUTTURALI	23
9.1 Verifiche di Resistenza	23
9.1.1 Elementi in C.A.	24
9.2 DETTAGLI STRUTTURALI	28
10 - TABULATI DI CALCOLO	28
-PRESCRIZIONI	224
CONDOTTE ELETTRICHE	228

SASSARI EOLICA S.R.L.	PARCO EOLICO DI "SASSARI" RELAZIONE DI CALCOLO PREDIMENSIONAMENTO DELLE FONDAZIONI WTG	 Ingegneria & Innovazione		
		26/05/2023	REV: 1	Pag.3

MATERIALI DELLA FONDAZIONE	229
MODELLAZIONE PLINTO	230
CONCLUSIONI	231

SASSARI EOLICA S.R.L.	<p style="text-align: center;">PARCO EOLICO DI "SASSARI"</p> <p style="text-align: center;">RELAZIONE DI CALCOLO PREDIMENSIONAMENTO DELLE FONDAZIONI WTG</p>	<div style="text-align: center;">  Ingegneria & Innovazione </div> <div> 26/05/2023 REV: 1 Pag.4 </div>		
-----------------------	---	---	--	--

PREMESSA

Su incarico della SASSARI EOLICA S.r.l., la società Antex Group Srl e la Società Geotech S.r.l. hanno redatto il progetto definitivo relativo alla realizzazione di un impianto eolico nel comune di Sassari (SS), la prima riguardo la progettazione ambientale e civile, la seconda riguardo la progettazione elettrica della connessione in cavo interrato a 36 kV alla Rete di Trasmissione Nazionale del Parco Eolico "Sassari Eolica".

Il Parco Eolico in progetto, da ubicarsi nel Comune di Sassari, sarà costituito da 5 aerogeneratori da 5,6 MW ciascuno per una potenza complessiva di 28 MW.

L'elettrodotto 36 kV in cavo interrato collegherà l'impianto suddetto alla RTN partendo dalla cabina utente 36 kV ubicata nei pressi dell'aerogeneratore 4 e arrivando alla futura SE 150/36 kV della RTN "Fiumesanto 2" in comune di Sassari. Il progetto di tale Stazione Elettrica è in carico ad altro produttore.

Nello specifico la soluzione tecnica minima generale indicata da TERNA per la connessione dell'impianto di produzione "Sassari Eolica" alla RTN per una potenza in immissione pari a 28 MW prevede, come indicato nella lettera P20220091076-18.10.2022, che il Parco Eolico venga collegato in antenna a 36kV sulla sezione a 36 kV della futura Stazione Elettrica (SE) a 150/36 kV della RTN da inserire in entra – esce alle linee esistenti della RTN a 150 kV n. 342 e 343 "Fiumesanto – Porto Torres" e alla futura linea 150 kV "Fiumesanto – Porto Torres" di cui al Piano di Sviluppo Terna.

Le attività di progettazione definitiva civile e di studio di impatto ambientale sono state sviluppate dalla società di ingegneria Antex Group Srl.

Antex Group Srl è una società che fornisce servizi globali di consulenza e management ad Aziende private ed Enti pubblici che intendono realizzare opere ed investimenti su scala nazionale ed internazionale.

È costituita da selezionati e qualificati professionisti uniti dalla comune esperienza professionale nell'ambito delle consulenze ingegneristiche, tecniche, ambientali e gestionali e pone a fondamento delle attività e delle proprie iniziative, i principi della qualità, dell'ambiente e della sicurezza come espressi dalle norme ISO 9001, ISO 14001 e ISO 45001 nelle loro ultime edizioni.

Difatti, in un'ottica di sviluppo sostenibile proprio e per i propri clienti e fornitori, Antex possiede un proprio Sistema di Gestione Qualità certificato.

1 - DESCRIZIONE GENERALE DELL'OPERA DI FONDAZIONE


Il dimensionamento effettuato in questa fase tiene conto di un modello tipologico di aerogeneratore **VESTAS V162-5.6 MW -HH119** in quanto presenta dei carichi maggiori per l'aria spazzata visto il diametro delle pale e, di conseguenza richiede una fondazione più resistente, in attesa di una scelta progettuale da parte del committente.

L'altezza del mozzo dell'aerogeneratore in oggetto si trova a 119m.

In tale fase si prevede la realizzazione di opere di fondazione del tipo dirette in relazione alla stratigrafia locale del terreno. La fondazione diretta sarà costituita da una piastra tronco conica avente diametro pari a 23,10m e un'altezza complessiva di 4,30m.

La piastra di fondazione avrà forma in pianta circolare e sezione trapezoidale con altezza al bordo pari a 1,00m e in corrispondenza della parte centrale pari a 2,30m, a cui si aggiunge un altro 1,00m di colletto.

All'interno del plinto di fondazione sarà annegata una gabbia di ancoraggio metallica cilindrica dotata di una piastra superiore di ripartizione dei carichi ed una piastra inferiore di ancoraggio. Entrambe le piastre sono dotate di due serie concentriche di fori che consentiranno il passaggio di barre filettate ad alta resistenza di diametro 46 mm, che, tramite dadi, garantiscono il corretto collegamento delle due piastre. A tergo dei lati

SASSARI EOLICA S.R.L.	PARCO EOLICO DI "SASSARI" RELAZIONE DI CALCOLO PREDIMENSIONAMENTO DELLE FONDAZIONI WTG	 Ingegneria & Innovazione		
		26/05/2023	REV: 1	Pag.5

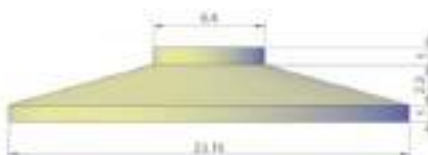
del manufatto dovrà essere realizzato uno strato di drenaggio, munito di tubazione di drenaggio forata per l'allontanamento delle acque dalla fondazione.

Vengono riportate di seguito una vista assonometrica, vista frontale e dal basso, allo scopo di consentire una migliore comprensione della struttura oggetto della presente relazione:



Vista Anteriore


La direzione di visualizzazione (bisettrice del cono ottico), relativamente al sistema di riferimento globale O, X, Y, Z , ha versore $(1;1;-1)$



Vista Frontale



Vista dall'alto

SASSARI EOLICA S.R.L.	<p style="text-align: center;">PARCO EOLICO DI "SASSARI"</p> <p style="text-align: center;">RELAZIONE DI CALCOLO PREDIMENSIONAMENTO DELLE FONDAZIONI WTG</p>	 <p style="text-align: center;">Ingegneria & Innovazione</p>		
		26/05/2023	REV: 1	Pag.6

2 - NORMATIVA DI RIFERIMENTO

Le fasi di analisi e verifica della struttura sono state condotte in accordo alle seguenti disposizioni normative, per quanto applicabili in relazione al criterio di calcolo adottato dal progettista, evidenziato nel prosieguo della presente relazione:

Legge 5 novembre 1971 n. 1086 (G. U. 21 dicembre 1971 n. 321)

"Norme per la disciplina delle opere di conglomerato cementizio armato, normale e precompresso ed a struttura metallica".

Legge 2 febbraio 1974 n. 64 (G. U. 21 marzo 1974 n. 76)

"Provvedimenti per le costruzioni con particolari prescrizioni per le zone sismiche".

Indicazioni progettive per le nuove costruzioni in zone sismiche a cura del Ministero per la Ricerca scientifica - Roma 1981.

D. M. Infrastrutture Trasporti 17/01/2018 (G.U. 20/02/2018 n. 42 - Suppl. Ord. n. 8)

"Aggiornamento delle Norme tecniche per le Costruzioni".

Inoltre, in mancanza di specifiche indicazioni, ad integrazione della norma precedente e per quanto con esse non in contrasto, sono state utilizzate le indicazioni contenute nelle seguenti norme:

Circolare 2 febbraio 2009 n. 617 del Ministero delle Infrastrutture e dei Trasporti (G.U. 26 febbraio 2009 n. 27 – Suppl. Ord.)

"Istruzioni per l'applicazione delle 'Norme Tecniche delle Costruzioni' di cui al D.M. 14 gennaio 2008".

- **IEC Ed3 NCV 00-60** *"Wind Turbine safety and design"*;
- **Eurocodice 2** *"Design of concrete structures"*.
- **Eurocodice 3** *"Design of steel structures"*.
- **Eurocodice 4** *"Design of composite steel and concrete structures"*.
- **Eurocodice 7** *"Geotechnical design"*.
- **Eurocodice 8** *"Design of structures for earthquake resistance"*.

3 - MATERIALI IMPIEGATI E RESISTENZE DI CALCOLO

Tutti i materiali strutturali impiegati devono essere muniti di marcatura "CE", ed essere conformi alle prescrizioni del "REGOLAMENTO (UE) N. 305/2011 DEL PARLAMENTO EUROPEO E DEL CONSIGLIO del 9 marzo 2011", in merito ai prodotti da costruzione.

Per la realizzazione dell'opera in oggetto saranno impiegati i seguenti materiali:


MATERIALI CALCESTRUZZO ARMATO

Caratteristiche calcestruzzo armato															
N _{id}	γ _k	α _{T, i}	E	G	C _{Erid}	Stz	R _{ck}	R _{cm}	%R _{ck}	γ _c	f _{cd}	f _{ctd}	f _{cfm}	N	n Ac
	[N/m ³]	[1/°C]	[N/mm ²]	[N/mm ²]	[%]		[N/mm ²]	[N/mm ²]			[N/mm ²]	[N/mm ²]	[N/mm ²]		
Classe C35/45_B450C - (C35/45)															
002	25.000	0,000010	34.625	14.427	60	P	45,00	-	0,85	1,50	21,17	1,56	4,02	15	003

Il presente documento è di proprietà della ANTEX GROUP srl.
È vietato la comunicazione a terzi o la riproduzione senza il permesso scritto della suddetta.
La società tutela i propri diritti a rigore di Legge.

Comm.: C21-002-S05



SASSARI EOLICA S.R.L.	PARCO EOLICO DI "SASSARI"	 Ingegneria & Innovazione		
		26/05/2023	REV: 1	Pag.7

RELAZIONE DI CALCOLO PREDIMENSIONAMENTO DELLE FONDAZIONI WTG

Caratteristiche calcestruzzo armato

N _{id}	γ _k	α _{T, i}	E	G	C _{Erid}	Stz	R _{ck}	R _{cm}	%R _{ck}	γ _c	f _{cd}	f _{ctd}	f _{cfm}	N	n Ac
	[N/m ³]	[1/°C]	[N/mm ²]	[N/mm ²]	[%]		[N/mm ²]	[N/mm ²]			[N/mm ²]	[N/mm ²]	[N/mm ²]		

LEGENDA:

N_{id}	Numero identificativo del materiale, nella relativa tabella dei materiali.
γ_k	Peso specifico.
α_{T, i}	Coefficiente di dilatazione termica.
E	Modulo elastico normale.
G	Modulo elastico tangenziale.
C_{Erid}	Coefficiente di riduzione del Modulo elastico normale per Analisi Sismica [E _{sisma} = E·C _{Erid}].
Stz	Tipo di situazione: [F] = di Fatto (Esistente); [P] = di Progetto (Nuovo).
R_{ck}	Resistenza caratteristica cubica.
R_{cm}	Resistenza media cubica.
%R_{ck}	Percentuale di riduzione della R _{ck}
γ_c	Coefficiente parziale di sicurezza del materiale.
f_{cd}	Resistenza di calcolo a compressione.
f_{ctd}	Resistenza di calcolo a trazione.
f_{cfm}	Resistenza media a trazione per flessione.
n Ac	Identificativo, nella relativa tabella materiali, dell'acciaio utilizzato: [-] = parametro NON significativo per il materiale.

MATERIALI ACCIAIO

Caratteristiche acciaio

N _{id}	γ _k	α _{T, i}	E	G	Stz	f _{yk,1} / f _{yk,2}	f _{tk,1} / f _{tk,2}	f _{yd,1} / f _{yd,2}	f _{td}	γ _s	γ _{M1}	γ _{M2}	γ _{M3,SLV}	γ _{M3,SLE}	γ _{M7} NCn t	Cnt
	[N/m ³]	[1/°C]	[N/mm ²]	[N/mm ²]		[N/mm ²]	[N/mm ²]	[N/mm ²]	[N/mm ²]							
Acciaio B450C - (B450C)																
003	78.500	0,000010	210.0 00	80.76 9	P	450,0 0	-	391,30 -	-	1,15	-	-	-	-	-	-


LEGENDA:

N_{id}	Numero identificativo del materiale, nella relativa tabella dei materiali.
γ_k	Peso specifico.
α_{T, i}	Coefficiente di dilatazione termica.
E	Modulo elastico normale.
G	Modulo elastico tangenziale.
Stz	Tipo di situazione: [F] = di Fatto (Esistente); [P] = di Progetto (Nuovo).
f_{tk,1}	Resistenza caratteristica a Rottura (per profili con t ≤ 40 mm).
f_{tk,2}	Resistenza caratteristica a Rottura (per profili con 40 mm < t ≤ 80 mm).
f_{td}	Resistenza di calcolo a Rottura (Bulloni).
γ_s	Coefficiente parziale di sicurezza allo SLV del materiale.
γ_{M1}	Coefficiente parziale di sicurezza per instabilità.
γ_{M2}	Coefficiente parziale di sicurezza per sezioni tese indebolite.
γ_{M3,SLV}	Coefficiente parziale di sicurezza per scorrimento allo SLV (Bulloni).
γ_{M3,SLE}	Coefficiente parziale di sicurezza per scorrimento allo SLE (Bulloni).
γ_{M7}	Coefficiente parziale di sicurezza precarico di bulloni ad alta resistenza (Bulloni - NCnt = con serraggio NON controllato; Cnt = con serraggio controllato). [-] = parametro NON significativo per il materiale.
f_{yk,1}	Resistenza caratteristica allo snervamento (per profili con t ≤ 40 mm).
f_{yk,2}	Resistenza caratteristica allo snervamento (per profili con 40 mm < t ≤ 80 mm).
f_{yd,1}	Resistenza di calcolo (per profili con t ≤ 40 mm).
f_{yd,2}	Resistenza di calcolo (per profili con 40 mm < t ≤ 80 mm).

Il presente documento è di proprietà della ANTEX GROUP srl.
È vietato la comunicazione a terzi o la riproduzione senza il permesso scritto della suddetta.
La società tutela i propri diritti a rigore di Legge.

Comm.: C21-002-S05



SASSARI EOLICA S.R.L.	PARCO EOLICO DI "SASSARI"	 Ingegneria & Innovazione		
		26/05/2023	REV: 1	Pag.8

RELAZIONE DI CALCOLO PREDIMENSIONAMENTO DELLE FONDAZIONI WTG

Caratteristiche calcestruzzo armato

N _{id}	γ _k	α _{T, i}	E	G	C _{Erid}	Stz	R _{ck}	R _{cm}	%R _{ck}	γ _c	f _{cd}	f _{ctd}	f _{ctm}	N	n Ac
	[N/m ³]	[1/°C]	[N/mm ²]	[N/mm ²]	[%]		[N/mm ²]	[N/mm ²]			[N/mm ²]	[N/mm ²]	[N/mm ²]		

NOTE [-] = Parametro non significativo per il materiale.

TENSIONI AMMISSIBILI ALLO SLE DEI VARI MATERIALI

Tensioni ammissibili allo SLE dei vari materiali			
Materiale	SL	Tensione di verifica	σ _{d,amm} [N/mm ²]
Cls C32/40_B450C	Caratteristica(RARA) Quasi permanente	Compressione Calcestruzzo	19,92
Acciaio B450C	Caratteristica(RARA)	Trazione Acciaio	360,00

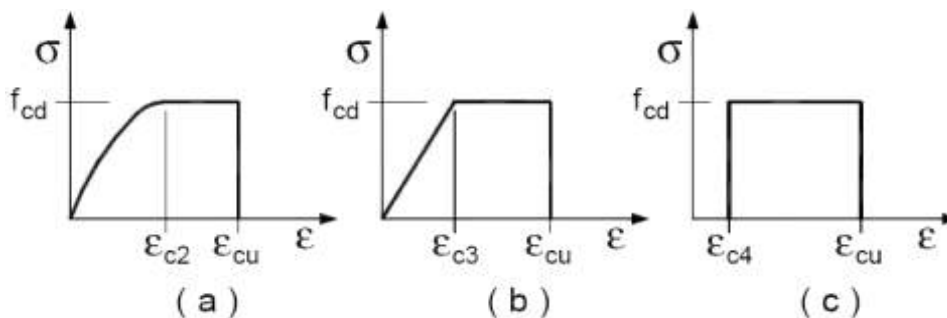
LEGENDA:

SL Stato limite di esercizio per cui si esegue la verifica.
σ_{d,amm} Tensione ammissibile per la verifica.

I valori dei parametri caratteristici dei suddetti materiali sono riportati anche nei "*Tabulati di calcolo*", nella relativa sezione.

Tutti i materiali impiegati dovranno essere comunque verificati con opportune prove di laboratorio secondo le prescrizioni della vigente Normativa.

I diagrammi costitutivi degli elementi in calcestruzzo sono stati adottati in conformità alle indicazioni riportate al §4.1.2.1.2.1 del D.M. 2018; in particolare per le verifiche effettuate a pressoflessione retta e pressoflessione deviata è adottato il modello riportato in fig. (a).




Diagrammi di calcolo tensione/deformazione del calcestruzzo.

I valori di deformazione assunti sono:

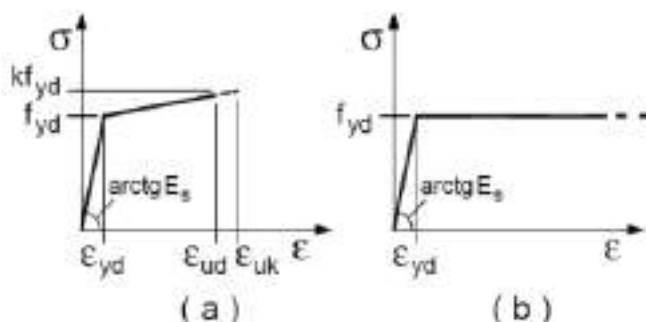
$$\varepsilon_{c2} = 0,0020;$$

$$\varepsilon_{cu2} = 0,0035.$$

SASSARI EOLICA S.R.L.	PARCO EOLICO DI "SASSARI"	 Ingegneria & Innovazione		
		26/05/2023	REV: 1	Pag.9

I diagrammi costitutivi dell'acciaio sono stati adottati in conformità alle indicazioni riportate al §4.1.2.1.2.2 del D.M. 2018; in particolare è adottato il modello elastico perfettamente plastico rappresentato in fig. (b).

La resistenza di calcolo è data da f_{yk}/γ_f . Il coefficiente di sicurezza γ_f si assume pari a 1,15.



4 - TERRENO DI FONDAZIONE

Le proprietà meccaniche dei terreni sono state investigate mediante specifiche prove mirate alla misurazione della velocità delle onde di taglio negli strati del sottosuolo. In particolare, è stata calcolata una velocità di propagazione equivalente delle onde di taglio con la seguente relazione (eq. [3.2.1] D.M. 2018):

$$V_{S,eq} = \frac{H}{\sum_{i=1}^N \frac{h_i}{V_{S,i}}}$$

dove:


- h_i è lo spessore dell'i-simo strato;
- $V_{S,i}$ è la velocità delle onde di taglio nell'i-simo strato;
- N è il numero totale di strati investigati;
- H è la profondità del substrato con $V_s \geq 800$ m/s.

Le proprietà dei terreni sono, quindi, state ricondotte a quelle individuate nella seguente tabella, ponendo $H = 30$ m nella relazione precedente ed ottenendo il parametro $V_{s,30}$.

Categorie di sottosuolo che permettono l'utilizzo dell'approccio semplificato (Tab. 3.2.II D.M. 2018)

Categoria	Caratteristiche della superficie topografica
A	<i>Ammassi rocciosi affioranti o terreni molto rigidi</i> caratterizzati da valori di velocità delle onde di taglio superiori a 800 m/s, eventualmente comprendenti in superficie terreni di caratteristiche meccaniche più scadenti con spessore massimo pari a 3 m.
B	<i>Rocce tenere e depositi di terreni a grana grossa molto addensati o terreni a grana fina molto consistenti</i> , caratterizzati da un miglioramento delle proprietà meccaniche con la profondità e da valori di velocità equivalente compresi tra 360 m/s e 800 m/s.
C	<i>Depositi di terreni a grana grossa mediamente addensati o terreni a grana fina mediamente consistenti</i> con profondità del substrato superiori a 30 m, caratterizzati da un miglioramento delle proprietà meccaniche con la profondità e da valori di velocità equivalente compresi tra 180 m/s e 360 m/s.
D	<i>Depositi di terreni a grana grossa scarsamente addensati o di terreni a grana fina scarsamente consistenti</i> , con profondità del substrato superiori a 30 m, caratterizzati da un miglioramento delle proprietà meccaniche con la profondità e da valori di velocità equivalente compresi tra 100 e 180 m/s.
E	<i>Terreni con caratteristiche e valori di velocità equivalente riconducibili a quelle definite per le categorie C o D</i> , con profondità del substrato non superiore a 30 m.

Le indagini effettuate, mirate alla valutazione della velocità delle onde di taglio ($V_{s,30}$), permettono di classificare il profilo stratigrafico, ai fini della determinazione dell'azione sismica, di categoria **B [B - Rocce tenere e depositi di terreni a grana grossa molto addensati o terreni a grana fina molto consistenti]**.

SASSARI EOLICA S.R.L.	PARCO EOLICO DI "SASSARI"	 Ingegneria & Innovazione		
		26/05/2023	REV: 1	Pag.10

RELAZIONE DI CALCOLO PREDIMENSIONAMENTO DELLE
FONDAZIONI WTG

Le costanti di sottofondo (alla Winkler) del terreno sono state corrette secondo la seguente espressione:

$$K = c \cdot K_1;$$

dove:

K_1 = costante di Winkler del terreno riferita alla piastra standard di lato $b = 30$ cm;

c = coefficiente di correzione, funzione del comportamento del terreno e della particolare geometria degli elementi di fondazione. Nel caso di "Riduzione Automatica" è dato dalle successive espressioni:

$$c = \left[\frac{(B+b)}{2 \cdot B} \right]^2$$

per terreni incoerenti
(Rif. Evaluation of coefficients of subgrade reaction K. Terzaghi, 1955 p.315)

$$c = \left(\frac{L/B + 0,5}{1,5 \cdot L/B} \right) \cdot \frac{b}{B}$$

per terreni coerenti
(Rif. Evaluation of coefficients of subgrade reaction K. Terzaghi, 1955 p.315)

Essendo:

$b = 0,30$ m, dimensione della piastra standard;

L = lato maggiore della fondazione;

B = lato minore della fondazione.

Nel caso di stratigrafia la costante di sottofondo utilizzata nel calcolo delle **sollecitazioni** è quella del terreno a contatto con la fondazione, mentre nel calcolo dei **cedimenti** la costante di sottofondo utilizzata è calcolata come media pesata delle costanti di sottofondo presenti nel volume significativo della fondazione.

Tutti i parametri che caratterizzano i terreni di fondazione sono riportati nei "Tabulati di calcolo", nella relativa sezione. Per ulteriori dettagli si rimanda alle relazioni geologica e geotecnica.


La stratigrafia del sottosuolo è molto varia vista l'ampia aria d'impianto, si premette che nella progettazione esecutiva corre l'obbligo di eseguire in situ i sondaggi geognostici per evidenziare la stratigrafia, misurare RQD, fare dei prelievi di campioni per esami di laboratorio, indagini di tipo MASW per la valutazione del VS30 e quanto altro necessario ai fini di ottimizzare il calcolo e ottenere dei valori quanto più appropriati.

Il predimensionamento si esegue su un terreno che presenta le condizioni peggiori in tutta l'area di impianto.

L'assunzione di base del sistema, estendibile anche ad altri sistemi di classificazione, quali Q, RMR, SMR, è che l'ammasso si comporta in maniera isotropa.

Per una maggiore sicurezza ed in base ai dati di laboratorio ottenuti per il progetto precedente potranno essere utilizzati i seguenti dati geotecnici:

Terreni litoidi			
$\gamma =$	2,2-2.60	T/m ³	Peso di volume
$\phi' =$	34-38	°	(angolo di attrito)
$C' =$	0	Kg/cm ²	(coesione)
$E =$	5000-152000	Kg/cm ²	(modulo di deformazione)
	25-140	Mpa	(Resistenza a compressione Monoassiale)

SASSARI EOLICA S.R.L.	PARCO EOLICO DI "SASSARI"	 Ingegneria & Innovazione		
		26/05/2023	REV: 1	Pag.11

Terreni sabbiosi			
$\gamma =$	1,9-2.1	T/m ³	Peso di volume
$\phi' =$	32-36	°	(angolo di attrito)
$C' =$	0	Kg/cm ²	(coesione)
$E =$	200-300	Kg/cm ²	(modulo di deformazione)

Questi sono dati ricavati empiricamente e che non soddisfano a pieno il concetto di modello geotecnico indicato nelle NTC 2018, per cui è necessario integrare questi dati.

In fase esecutiva saranno necessari dei sondaggi geognostici e sismici per ottenere i dati necessari ad ottemperare alla normativa vigente.

5 – CARICHI AGENTI SULLA FONDAZIONE

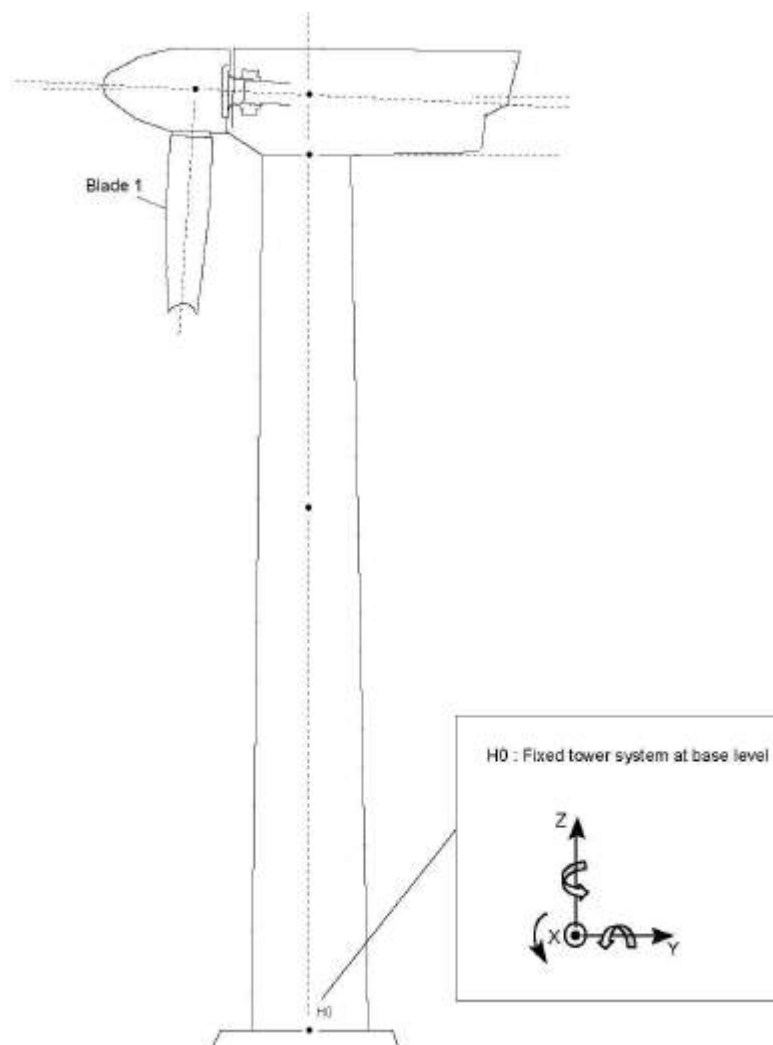



Figure 1. Coordinate system at tower bottom.

I carichi agenti sulle opere di fondazione sono essenzialmente quelli scaricati dalle torri.

Il calcolo di progetto della torre di sostegno dell'aerogeneratore, è generalmente eseguito dal produttore,

SASSARI EOLICA S.R.L.	PARCO EOLICO DI "SASSARI"	 Ingegneria & Innovazione		
		26/05/2023	REV: 1	Pag.12

RELAZIONE DI CALCOLO PREDIMENSIONAMENTO DELLE FONDAZIONI WTG

sulla base delle sollecitazioni massime previste dal "Document: (0089-4502) VER 02 Combine Foundation loads". Nel caso in esame i carichi "Extreme Loads" inclusi l'azione sismica e la sicurezza, indicati nel documento prodotto da "Vestas V150/162-5.6MW, EnVentus, IECS,119m" Foundation load specification, **valori che sono cautelativi per il progetto della fondazione tipo Vestas V162-5.6MW -HH119.**

Characteristic Extreme								
Lead	LC/Family	PLF	Type	Mbt	Mzt	FndFr	Fzt	Ref
Sensor	[-]	[-]	[-]	[kNm]	[kNm]	[kN]	[kN]	[-]
Mbt	62E50b03000(fam344)	1.10	Abs	160700	3614	1356	-7260	[2]
Mzt	23NTMHWO100(fam216)	1.49	Abs	23090	-17060	315.9	-7249	[2]
FndFr	62E50b03000(fam344)	1.10	Abs	156700	3713	1385	-7261	[2]
Fzt	12IceUHWO100(fam70)	1.35	Abs	66990	3141	434.6	-7695	[2]

Table 2-2 Characteristic Extreme (excl. PLF). Load cases sorted without PLF.

Tabella 2-2. Carichi estremi sulla fondazione di riferimento forniti dal documento (0089-4502) VER 02 Combine Foundation

La valutazione dei carichi e dei sovraccarichi è stata effettuata in accordo con le disposizioni del punto 3.1 del **D.M. 2018**. In particolare, è stato fatto utile riferimento alle Tabelle 3.1.I e 3.1.II del D.M. 2018, per i pesi propri dei materiali e per la quantificazione e classificazione dei sovraccarichi, rispettivamente. La valutazione dei carichi permanenti è effettuata sulle dimensioni definitive.

Le analisi effettuate, corredate da dettagliate descrizioni, oltre che nei "*Tabulati di calcolo*" nella relativa sezione, sono di seguito riportate:

ANALISI CARICHI

ANALISI CARICHI										Analisi carichi	
N _{id}	T. C.	Descrizione del Carico	Tipologie di Carico	Peso Proprio		Permanente NON Strutturale		Sovraccarico Accidentale		Carico Neve	
				Descrizione	PP	Descrizione	PNS	Descrizione	SA		
										[N/m ²]	
001	S	Platea	peso a pieno carico fino a 30 kN	<i>*vedi le relative tabelle dei carichi</i>	-	calcestruzzo	2.000	(peso a pieno carico fino a 30 kN) (Cat. F – Tab. 3.1.II - DM 17.01.2018)	2.500	0	

LEGENDA:

N_{id} Numero identificativo dell'analisi di carico.

T. C. Identificativo del tipo di carico: [S] = Superficiale - [L] = Lineare - [C] = Concentrato.

PP, PNS, SA Valori, rispettivamente, del Peso Proprio, del Sovraccarico Permanente NON strutturale, del Sovraccarico Accidentale. Secondo il tipo di carico indicato nella colonna "T.C." ("S" - "L" - "C"), i valori riportati nelle colonne "PP", "PNS" e "SA", sono espressi in [N/m²] per carichi Superficiali, [N/m] per carichi Lineari, [N] per carichi Concentrati.

6 - VALUTAZIONE DELL'AZIONE SISMICA

L'azione sismica è stata valutata in conformità alle indicazioni riportate al §3.2 del D.M. 2018 "Norme tecniche per le Costruzioni".


In particolare il procedimento per la definizione degli spettri di progetto per i vari Stati Limite per cui sono state effettuate le verifiche è stato il seguente:

- definizione della Vita Nominale e della Classe d'Uso della struttura, il cui uso combinato ha portato alla definizione del Periodo di Riferimento dell'azione sismica.
- Individuazione, tramite latitudine e longitudine, dei parametri sismici di base a_g , F_0 e T_c^* per tutti e

Il presente documento è di proprietà della ANTEX GROUP srl.
È Vietato la comunicazione a terzi o la riproduzione senza il permesso scritto della suddetta.
La società tutela i propri diritti a rigore di Legge.

Comm.: C21-002-S05



SASSARI EOLICA S.R.L.	PARCO EOLICO DI "SASSARI" RELAZIONE DI CALCOLO PREDIMENSIONAMENTO DELLE FONDAZIONI WTG	 Ingegneria & Innovazione		
		26/05/2023	REV: 1	Pag.13

quattro gli Stati Limite previsti (SLO, SLD, SLV e SLC); l'individuazione è stata effettuata interpolando tra i 4 punti più vicini al punto di riferimento dell'edificio.

- Determinazione dei coefficienti di amplificazione stratigrafica e topografica.
- Calcolo del periodo T_c corrispondente all'inizio del tratto a velocità costante dello Spettro.

I dati così calcolati sono stati utilizzati per determinare gli Spettri di Progetto nelle verifiche agli Stati Limite considerate.

Si riportano di seguito le coordinate geografiche del sito rispetto al Datum **ED50**:

Latitudine	Longitudine	Altitudine
[°]	[°]	[m]
40.785753	8.368545	47

6.1 Classe di duttilità

La classe di duttilità è rappresentativa della capacità dell'edificio di dissipare energia in campo anelastico per azioni cicliche ripetute. deformazioni anelastiche devono essere distribuite nel maggior numero di elementi duttili, in particolare le travi, salvaguardando in tal modo i pilastri e soprattutto i nodi travi pilastro che sono gli elementi più fragili. D.M. 2018 definisce due tipi di comportamento strutturale:

- comportamento strutturale non-dissipativo;
- comportamento strutturale dissipativo.

Per strutture con comportamento strutturale dissipativo si distinguono due livelli di Capacità Dissipativa o Classi di Duttilità (CD).

- CD "A" (Alta);

6.2 Spettri di Progetto per S.L.U. e S.L.D.

L'edificio è stato progettato per una **Vita Nominale** pari a **50** e per **Classe d'Uso** pari a **1**.


In base alle indagini geognostiche effettuate si è classificato il **suolo** di fondazione di **categoria B**, cui corrispondono i seguenti valori per i parametri necessari alla costruzione degli spettri di risposta orizzontale e verticale:

Stato Limite	a_g/g	F_0	T_c^*	C_c	T_B	T_c	Parametri di pericolosità sismica	
							T_D	S_s
			[s]		[s]	[s]	[s]	
SLO	0.0186	2.610	0.273	1.43	0.130	0.389	1.674	1.20
SLD	0.0200	2.628	0.280	1.42	0.132	0.397	1.680	1.20
SLV	0.0452	2.855	0.332	1.37	0.152	0.456	1.781	1.20
SLC	0.0549	2.930	0.356	1.35	0.160	0.481	1.820	1.20

Per la definizione degli spettri di risposta, oltre all'accelerazione (a_g) al suolo (dipendente dalla classificazione sismica del Comune) occorre determinare il Fattore di Comportamento (q).

Il Fattore di comportamento q è un fattore riduttivo delle forze elastiche introdotto per tenere conto delle capacità dissipative della struttura che dipende dal sistema costruttivo adottato, dalla Classe di Duttilità e dalla regolarità in altezza.

Si è inoltre assunto il **Coefficiente di Amplificazione Topografica** (S_T) pari a **1.00**.

SASSARI EOLICA S.R.L.	PARCO EOLICO DI "SASSARI"	 Ingegneria & Innovazione		
		26/05/2023	REV: 1	Pag.14

Tali succitate caratteristiche sono riportate negli allegati "Tabulati di calcolo" al punto "DATI GENERALI ANALISI SISMICA".

Per la struttura in esame sono stati utilizzati i seguenti valori:

Stato Limite di Danno

Fattore di Comportamento (q_x) per sisma orizzontale in direzione X: **1.00**;
Fattore di Comportamento (q_y) per sisma orizzontale in direzione Y: **1.00**;
Fattore di Comportamento (q_z) per sisma verticale: **1.00** (se richiesto).

Stato Limite di salvaguardia della Vita

Fattore di Comportamento (q_x) per sisma orizzontale in direzione X: **1.500** ;
Fattore di Comportamento (q_y) per sisma orizzontale in direzione Y: **1.500** ;
Fattore di Comportamento (q_z) per sisma verticale: **1.50** (se richiesto).

Di seguito si esplicita il calcolo del fattore di comportamento per il sisma orizzontale:

	Dir. X	Dir. Y
Tipologia (§7.4.3.2 D.M. 2018)	A pendolo inverso	A pendolo inverso
Tipologia strutturale	-	-
α_u/α_1	1	1
k_w	-	-
q_0	1.500	1.500
k_R	1.00	

Il fattore di comportamento è calcolato secondo la relazione (7.3.1) del §7.3.1 del D.M. 2018:

$$q = q_0 \cdot k_R;$$

dove:

k_w è il coefficiente che riflette la modalità di collasso prevalente in sistemi strutturali con pareti.

q_0 è il valore massimo del fattore di comportamento che dipende dal livello di duttilità attesa, dalla tipologia strutturale e dal rapporto α_u/α_1 tra il valore dell'azione sismica per il quale si verifica la formazione di un numero di cerniere plastiche tali da rendere la struttura labile e quello per il quale il primo elemento strutturale raggiunge la plasticizzazione a flessione. **NOTA:** il valore proposto di q_0 è già ridotto dell'eventuale coefficiente k_w ;

k_R è un fattore riduttivo che dipende dalle caratteristiche di regolarità in altezza della costruzione, con valore pari ad 1 per costruzioni regolari in altezza e pari a 0,8 per costruzioni non regolari in altezza.

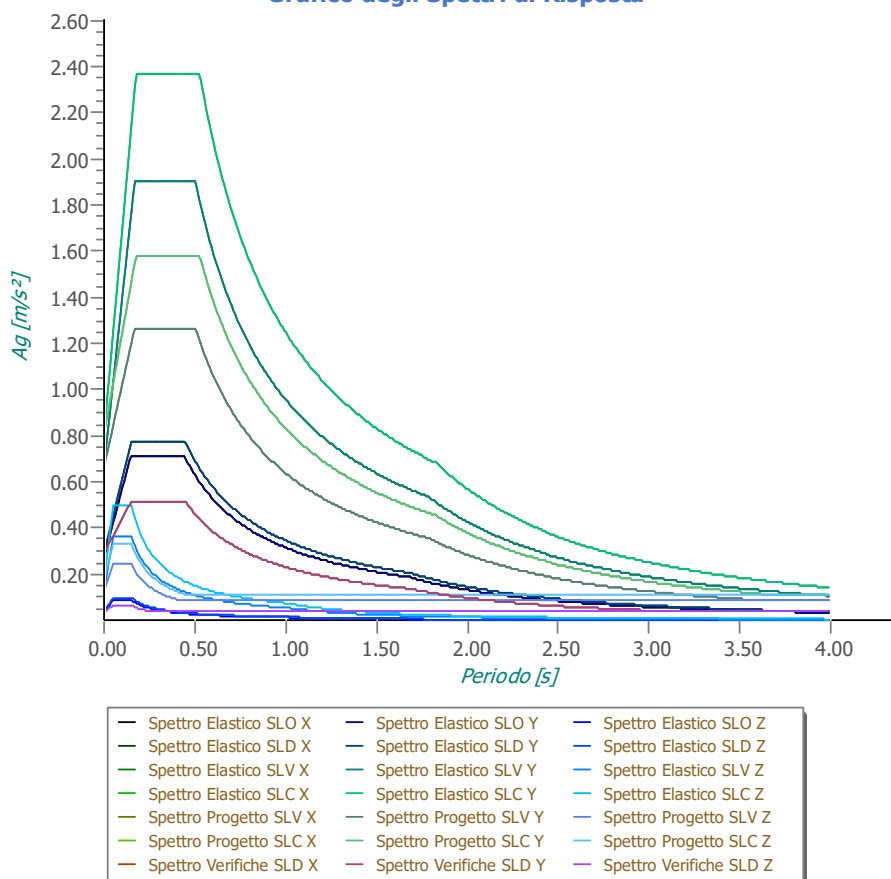
N.B.1: Per le costruzioni **regolari in pianta**, qualora non si proceda ad un'analisi non lineare finalizzata alla valutazione del rapporto α_u/α_1 , per esso possono essere adottati i valori indicati nel §7.4.3.2 del D.M. 2018 per le diverse tipologie costruttive. Per le costruzioni **non regolari in pianta**, si possono adottare valori di α_u/α_1 pari alla media tra 1,0 ed i valori di volta in volta forniti per le diverse tipologie costruttive.


Valori massimi del valore di base q_0 del fattore di comportamento allo SLV per costruzioni di calcestruzzo (§ 7.4.3.2 D.M. 2018)(cfr. Tabella 7.3.II D.M. 2018)

Tipologia strutturale	q_0	
	CD"A"	CD"B"
Strutture a telaio, a pareti accoppiate, miste (v. §7.4.3.1)	4,5 α_w/α_1	3,0 α_w/α_1
Strutture a pareti non accoppiate (v. §7.4.3.1)	4,0 α_w/α_1	3,0
Strutture deformabili torsionalmente (v. §7.4.3.1)	3,0	2,0
Strutture a pendolo inverso (v. §7.4.3.1)	2,0	1,5
Strutture a pendolo inverso intelaiate monopiano (v. §7.4.3.1)	3,5	2,5

Gli spettri utilizzati sono riportati nella successiva figura.

Grafico degli Spettri di Risposta



SASSARI EOLICA S.R.L.	PARCO EOLICO DI "SASSARI" RELAZIONE DI CALCOLO PREDIMENSIONAMENTO DELLE FONDAZIONI WTG	 Ingegneria & Innovazione		
		26/05/2023	REV: 1	Pag.16

6.3 Metodo di Analisi

Gli effetti del sisma sono stati valutati convenzionalmente mediante analisi statica della struttura soggetta a:

- un sistema di forze orizzontali parallele alle direzioni ipotizzate per il sisma, distribuite (sia planimetricamente che altimetricamente) in modo da simulare gli effetti dinamici del sisma.
- un sistema di forze verticali, distribuite sulla struttura proporzionalmente alle masse presenti.

Le sollecitazioni derivanti da tali azioni sono state composte poi con quelle derivanti da carichi verticali, orizzontali non sismici secondo le varie combinazioni di carico probabilistiche. Il calcolo è stato effettuato mediante un programma agli elementi finiti le cui caratteristiche verranno descritte nel seguito.

Il calcolo degli effetti dell'azione sismica è stato eseguito con riferimento alla struttura spaziale, tenendo cioè conto degli elementi interagenti fra loro secondo l'effettiva realizzazione escludendo i tamponamenti. Non ci sono approssimazioni su tetti inclinati, piani sfalsati o scale, solette, pareti irrigidenti e nuclei.

Si è tenuto conto delle deformabilità taglianti e flessionali degli elementi monodimensionali; muri, pareti, setti, solette sono stati correttamente schematizzati tramite elementi finiti a tre/quattro nodi con comportamento a guscio (sia a piastra che a lastra).

Sono stati considerati sei gradi di libertà per nodo; in ogni nodo della struttura sono state applicate le forze sismiche derivanti dalle masse circostanti.

Le sollecitazioni derivanti da tali forze sono state poi combinate con quelle derivanti dagli altri carichi come prima specificato.

6.4 Valutazione degli spostamenti

Gli spostamenti d_E della struttura sotto l'azione sismica di progetto allo SLV sono stati ottenuti moltiplicando per il fattore μ_d i valori d_{Ee} ottenuti dall'analisi lineare, dinamica o statica, secondo l'espressione seguente:

$$d_E = \pm \mu_d \cdot d_{Ee}$$

dove

$$\begin{aligned} \mu_d &= q & \text{se } T_1 \geq T_c; \\ \mu_d &= 1 + (q-1) \cdot T_c / T_1 & \text{se } T_1 < T_c. \end{aligned}$$

In ogni caso $\mu_d \leq 5q - 4$.

6.5 Combinazione delle componenti dell'azione sismica

Le azioni orizzontali dovute al sisma sulla struttura vengono convenzionalmente determinate come agenti separatamente in due direzioni tra loro ortogonali prefissate. In generale, però, le componenti orizzontali del sisma devono essere considerate come agenti simultaneamente. A tale scopo, la combinazione delle componenti orizzontali dell'azione sismica è stata tenuta in conto come segue:


- gli effetti delle azioni dovuti alla combinazione delle componenti orizzontali dell'azione sismica sono stati valutati mediante le seguenti combinazioni:

$$E_{EdX} \pm 0,30E_{EdY}$$

$$E_{EdY} \pm 0,30E_{EdX}$$

dove:

E_{EdX} rappresenta gli effetti dell'azione dovuti all'applicazione dell'azione sismica lungo l'asse orizzontale X scelto della struttura;

SASSARI EOLICA S.R.L.	PARCO EOLICO DI "SASSARI" RELAZIONE DI CALCOLO PREDIMENSIONAMENTO DELLE FONDAZIONI WTG	 Ingegneria & Innovazione		
		26/05/2023	REV: 1	Pag.17

E_{EdY} rappresenta gli effetti dell'azione dovuti all'applicazione dell'azione sismica lungo l'asse orizzontale Y scelto della struttura.

L'azione sismica verticale deve essere considerata in presenza di: elementi pressoché orizzontali con luce superiore a 20 m, elementi pressoché orizzontali precompressi, elementi a sbalzo pressoché orizzontali con luce maggiore di 5 m, travi che sostengono colonne, strutture isolate.

La combinazione della componente verticale del sisma, qualora portata in conto, con quelle orizzontali è stata tenuta in conto come segue:

- gli effetti delle azioni dovuti alla combinazione delle componenti orizzontali e verticali del sisma sono stati valutati mediante le seguenti combinazioni:

$$E_{EdX} \pm 0,30E_{EdY} \pm 0,30E_{EdZ}$$

$$E_{EdY} \pm 0,30E_{EdX} \pm 0,30E_{EdZ}$$

$$E_{EdZ} \pm 0,30E_{EdX} \pm 0,30E_{EdY}$$

dove:

E_{EdX} e E_{EdY} sono gli effetti dell'azione sismica nelle direzioni orizzontali prima definite;

E_{EdZ} rappresenta gli effetti dell'azione dovuti all'applicazione della componente verticale dell'azione sismica di progetto.

6.6 Eccentricità accidentali

Per valutare le eccentricità accidentali, previste in aggiunta all'eccentricità effettiva. Inoltre, sono state amplificate le forze agenti tramite il fattore $\delta = 1 + 0,6 \cdot x / L_e$, dove (cfr. § 4.3.3.2.4 UNI EN 1998-1:2005):

x è la distanza dell'elemento resistente verticale dal baricentro geometrico dell'edificio, misurata perpendicolarmente alla direzione dell'azione sismica considerata;

L_e è la distanza tra i due elementi resistenti più lontani, misurata allo stesso modo.

7 - AZIONI SULLA STRUTTURA

I calcoli e le verifiche sono condotti con il metodo semiprobabilistico degli stati limite secondo le indicazioni del D.M. 2018.

I carichi agenti sulle opere di fondazione sono essenzialmente quelli scaricati dalle torri, essi sono dati con riferimento all'intersezione dell'asse della torre con l'estradosso dell'opera di fondazione.

Il calcolo di progetto della torre di sostegno dell'aerogeneratore, è generalmente eseguito dal produttore, sulla base delle sollecitazioni massime previste dalle combinazioni secondo il documento "VER 02 Combine Foundation loads".


Le azioni introdotte direttamente sono combinate con le altre (carichi permanenti, accidentali e sisma) mediante le combinazioni di carico di seguito descritte; da esse si ottengono i valori probabilistici da impiegare successivamente nelle verifiche.

7.1 Stato Limite di Salvaguardia della Vita

Le azioni sulla costruzione sono state cumulate in modo da determinare condizioni di carico tali da risultare più sfavorevoli ai fini delle singole verifiche, tenendo conto della probabilità ridotta di intervento simultaneo di tutte le azioni con i rispettivi valori più sfavorevoli, come consentito dalle norme vigenti.

Per gli stati limite ultimi sono state adottate le combinazioni del tipo:

$$\gamma_{G1} \cdot G_1 + \gamma_{G2} \cdot G_2 + \gamma_P \cdot P + \gamma_{Q1} \cdot Q_{K1} + \gamma_{Q2} \cdot \psi_{02} \cdot Q_{K2} + \gamma_{Q3} \cdot \psi_{03} \cdot Q_{K3} + \dots \quad (1)$$

SASSARI EOLICA S.R.L.	PARCO EOLICO DI "SASSARI" RELAZIONE DI CALCOLO PREDIMENSIONAMENTO DELLE FONDAZIONI WTG	 Ingegneria & Innovazione		
		26/05/2023	REV: 1	Pag.18

dove:

- G_1 rappresenta il peso proprio di tutti gli elementi strutturali; peso proprio del terreno, quando pertinente; forze indotte dal terreno (esclusi gli effetti di carichi variabili applicati al terreno); forze risultanti dalla pressione dell'acqua (quando si configurino costanti nel tempo);
 G_2 rappresenta il peso proprio di tutti gli elementi non strutturali;
 P rappresenta l'azione di pretensione e/o precompressione;
 Q azioni sulla struttura o sull'elemento strutturale con valori istantanei che possono risultare sensibilmente diversi fra loro nel tempo:
 - di lunga durata: agiscono con un'intensità significativa, anche non continuativamente, per un tempo non trascurabile rispetto alla vita nominale della struttura;
 - di breve durata: azioni che agiscono per un periodo di tempo breve rispetto alla vita nominale della struttura; Q_{ki} rappresenta il valore caratteristico della i-esima azione variabile;
 $\gamma_g, \gamma_q, \gamma_p$ coefficienti parziali come definiti nella Tab. 2.6.I del D.M. 2018;
 ψ_{0i} sono i coefficienti di combinazione per tenere conto della ridotta probabilità di concomitanza delle azioni variabili con i rispettivi valori caratteristici.

Le **34 combinazioni** risultanti sono state costruite a partire dalle sollecitazioni caratteristiche calcolate per ogni condizione di carico elementare: ciascuna condizione di carico accidentale, a rotazione, è stata considerata sollecitazione di base (Q_{k1} nella formula precedente).

I coefficienti relativi a tali combinazioni di carico sono riportati negli allegati "Tabulati di calcolo".

In zona sismica, oltre alle sollecitazioni derivanti dalle generiche condizioni di carico statiche, devono essere considerate anche le sollecitazioni derivanti dal sisma. L'azione sismica è stata combinata con le altre azioni secondo la seguente relazione:

$$G_1 + G_2 + P + E + \sum_i \psi_{2i} \cdot Q_{ki}$$

dove:


- E rappresenta l'azione sismica per lo stato limite in esame;
 G_1 rappresenta peso proprio di tutti gli elementi strutturali;
 G_2 rappresenta il peso proprio di tutti gli elementi non strutturali;
 P rappresenta l'azione di pretensione e/o precompressione;
 ψ_{2i} coefficiente di combinazione delle azioni variabili Q_i ;
 Q_{ki} valore caratteristico dell'azione variabile Q_i .

Gli effetti dell'azione sismica sono valutati tenendo conto delle masse associate ai seguenti carichi gravitazionali:

$$G_k + \sum_i (\psi_{2i} \cdot Q_{ki})$$

I valori dei coefficienti ψ_{2i} sono riportati nella seguente tabella:

Categoria/Azione	ψ_{2i}
Categoria A - Ambienti ad uso residenziale	0,3
Categoria B - Uffici	0,3
Categoria C - Ambienti suscettibili di affollamento	0,6
Categoria D - Ambienti ad uso commerciale	0,6
Categoria E - Biblioteche, archivi, magazzini e ambienti ad uso industriale	0,8
Categoria F - Rimesse e parcheggi (per autoveicoli di peso ≤ 30 kN)	0,6
Categoria G - Rimesse e parcheggi (per autoveicoli di peso > 30 kN)	0,3
Categoria H - Coperture	0,0
Categoria I - Coperture praticabili	*

SASSARI EOLICA S.R.L.	PARCO EOLICO DI "SASSARI"	 Ingegneria & Innovazione		
		26/05/2023	REV: 1	Pag.19

RELAZIONE DI CALCOLO PREDIMENSIONAMENTO DELLE FONDAZIONI WTG

Categoria K - Coperture per usi speciali (impianti, eliporti, ...)	*
Vento	0,0
Neve (a quota ≤ 1000 m s.l.m.)	0,0
Neve (a quota > 1000 m s.l.m.)	0,2
Variazioni termiche	0,0
* "Da valutarsi caso per caso"	

Le verifiche strutturali e geotecniche delle fondazioni, sono state effettuate con l'**Approccio 2** come definito al §2.6.1 del D.M. 2018, attraverso la combinazione **A1+M1+R3**. Le azioni sono state amplificate tramite i coefficienti della colonna A1 definiti nella Tab. 6.2.I del D.M. 2018.

I valori di resistenza del terreno sono stati ridotti tramite i coefficienti della colonna M1 definiti nella Tab. 6.2.II del D.M. 2018.

I valori calcolati delle resistenze totali dell'elemento strutturale sono stati divisi per i coefficienti R3 della Tab. 6.4.I del D.M. 2018 per le fondazioni superficiali.

Si è quindi provveduto a progettare le armature di ogni elemento strutturale per ciascuno dei valori ottenuti secondo le modalità precedentemente illustrate. Nella sezione relativa alle verifiche dei "*Tabulati di calcolo*" in allegato sono riportati, per brevità, i valori della sollecitazione relativi alla combinazione cui corrisponde il minimo valore del coefficiente di sicurezza.

7.2 Stato Limite di Danno

L'azione sismica, ottenuta dallo spettro di progetto per lo Stato Limite di Danno, è stata combinata con le altre azioni mediante una relazione del tutto analoga alla precedente:

$$G_1 + G_2 + P + E + \sum_i \psi_{2i} \cdot Q_{ki}$$

dove:

- E rappresenta l'azione sismica per lo stato limite in esame;
- G₁ rappresenta peso proprio di tutti gli elementi strutturali;
- G₂ rappresenta il peso proprio di tutti gli elementi non strutturali;
- P rappresenta l'azione di pretensione e/o precompressione;
- ψ_{2i} coefficiente di combinazione delle azioni variabili Q_i;
- Q_{ki} valore caratteristico dell'azione variabile Q_i.

Gli effetti dell'azione sismica sono valutati tenendo conto delle masse associate ai seguenti carichi gravitazionali:

$$G_k + \sum_i (\psi_{2i} \cdot Q_{ki}).$$

I valori dei coefficienti ψ_{2i} sono riportati nella tabella di cui allo SLV.

7.3 Stati Limite di Esercizio

Allo Stato Limite di Esercizio le sollecitazioni con cui sono state semiprogettate le aste in c.a. sono state ricavate applicando le formule riportate nel D.M. 2018 al §2.5.3. Per le verifiche agli stati limite di esercizio, a seconda dei casi, si fa riferimento alle seguenti combinazioni di carico:


rara	frequente	quasi permanente
$\sum_{j \geq 1} G_{kj} + P + Q_{k1} + \sum_{i > 1} \psi_{0i} \cdot Q_{ki}$	$\sum_{j \geq 1} G_{kj} + P + \psi_{11} \cdot Q_{k1} + \sum_{i > 1} \psi_{2i} \cdot Q_{ki}$	$\sum_{j \geq 1} G_{kj} + P + \sum_{i > 1} \psi_{2i} \cdot Q_{ki}$

dove:

Il presente documento è di proprietà della ANTEX GROUP srl.
È vietato la comunicazione a terzi o la riproduzione senza il permesso scritto della suddetta.
La società tutela i propri diritti a rigore di Legge.

Comm.: C21-002-S05



SASSARI EOLICA S.R.L.	PARCO EOLICO DI "SASSARI" RELAZIONE DI CALCOLO PREDIMENSIONAMENTO DELLE FONDAZIONI WTG	 Ingegneria & Innovazione		
		26/05/2023	REV: 1	Pag.20

- G_{kj} : valore caratteristico della j-esima azione permanente;
 P_{kh} : valore caratteristico della h-esima deformazione impressa;
 Q_{ki} : valore caratteristico dell'azione variabile di base di ogni combinazione;
 Q_{ki} : valore caratteristico della i-esima azione variabile;
 ψ_{0i} : coefficiente atto a definire i valori delle azioni ammissibili di durata breve ma ancora significativi nei riguardi della possibile concomitanza con altre azioni variabili;
 ψ_{1i} : coefficiente atto a definire i valori delle azioni ammissibili ai frattili di ordine 0,95 delle distribuzioni dei valori istantanei;
 ψ_{2i} : coefficiente atto a definire i valori quasi permanenti delle azioni ammissibili ai valori medi delle distribuzioni dei valori istantanei.

Ai coefficienti ψ_{0i} , ψ_{1i} , ψ_{2i} sono attribuiti i seguenti valori:

Azione	ψ_{0i}	ψ_{1i}	ψ_{2i}
Categoria A – Ambienti ad uso residenziale	0,7	0,5	0,3
Categoria B – Uffici	0,7	0,5	0,3
Categoria C – Ambienti suscettibili di affollamento	0,7	0,7	0,6
Categoria D – Ambienti ad uso commerciale	0,7	0,7	0,6
Categoria E – Biblioteche, archivi, magazzini e ambienti ad uso industriale	1,0	0,9	0,8
Categoria F – Rimesse e parcheggi (per autoveicoli di peso ≤ 30 kN)	0,7	0,7	0,6
Categoria G – Rimesse e parcheggi (per autoveicoli di peso > 30 kN)	0,7	0,5	0,3
Categoria H – Coperture	0,0	0,0	0,0
Vento	0,6	0,2	0,0
Neve (a quota ≤ 1000 m s.l.m.)	0,5	0,2	0,0
Neve (a quota > 1000 m s.l.m.)	0,7	0,5	0,2
Variazioni termiche	0,6	0,5	0,0

In maniera analoga a quanto illustrato nel caso dello SLU le combinazioni risultanti sono state costruite a partire dalle sollecitazioni caratteristiche calcolate per ogni condizione di carico; a turno ogni condizione di carico accidentale è stata considerata sollecitazione di base [Q_{k1} nella formula (1)], con ciò dando origine a tanti valori combinati. Per ognuna delle combinazioni ottenute, in funzione dell'elemento (trave, pilastro, etc...) sono state effettuate le verifiche allo SLE (tensioni, deformazioni e fessurazione).

Negli allegati "Tabulati Di Calcolo" sono riportanti i coefficienti relativi alle combinazioni di calcolo generate relativamente alle combinazioni di azioni "**Quasi Permanente**" (1), "**Frequente**" (3) e "**Rara**" (3).

Nelle sezioni relative alle verifiche allo SLE dei citati tabulati, inoltre, sono riportati i valori delle sollecitazioni relativi alle combinazioni che hanno originato i risultati più gravosi.

8 - CODICE DI CALCOLO IMPIEGATO


8.1 Denominazione

Nome del Software	EdiLus
Versione	BIM(e)
Caratteristiche del Software	Software per il calcolo di strutture agli elementi finiti per Windows
Numero di serie	ACCA EDILUS CA-AC V.32
Intestatario Licenza	licenza 16100990

Il presente documento è di proprietà della ANTEX GROUP srl.
 È vietato la comunicazione a terzi o la riproduzione senza il permesso scritto della suddetta.
 La società tutela i propri diritti a rigore di Legge.

Comm.: C21-002-S05



SASSARI EOLICA S.R.L.	PARCO EOLICO DI "SASSARI" RELAZIONE DI CALCOLO PREDIMENSIONAMENTO DELLE FONDAZIONI WTG	 Ingegneria & Innovazione		
		26/05/2023	REV: 1	Pag.21

Produzione e Distribuzione	ACCA software S.p.A. Contrada Rosole 13 83043 BAGNOLI IRPINO (AV) - Italy Tel. 0827/69504 r.a. - Fax 0827/601235 e-mail: info@acca.it - Internet: www.acca.it
----------------------------	--

8.2 Sintesi delle funzionalità generali

Il pacchetto consente di modellare la struttura, di effettuare il dimensionamento e le verifiche di tutti gli elementi strutturali e di generare gli elaborati grafici esecutivi.

È una procedura integrata dotata di tutte le funzionalità necessarie per consentire il calcolo completo di una struttura mediante il metodo degli elementi finiti (FEM); la modellazione della struttura è realizzata tramite elementi Beam (travi e pilastri) e Shell (platee, pareti, solette, setti, travi-parete).

L'input della struttura avviene per oggetti (travi, pilastri, solai, solette, pareti, etc.) in un ambiente grafico integrato; il modello di calcolo agli elementi finiti, che può essere visualizzato in qualsiasi momento in una apposita finestra, viene generato dinamicamente dal software.

Apposite funzioni consentono la creazione e la manutenzione di archivi Sezioni, Materiali e Carichi; tali archivi sono generali, nel senso che sono creati una tantum e sono pronti per ogni calcolo, potendoli comunque integrare/modificare in ogni momento.

L'utente non può modificare il codice ma soltanto eseguire delle scelte come:

- definire i vincoli di estremità per ciascuna asta (vincoli interni) e gli eventuali vincoli nei nodi (vincoli esterni);
- modificare i parametri necessari alla definizione dell'azione sismica;
- definire condizioni di carico;
- definire gli impalcati come rigidi o meno.

Il programma è dotato di un manuale tecnico ed operativo. L'assistenza è effettuata direttamente dalla casa produttrice, mediante linea telefonica o e-mail.


Il calcolo si basa sul solutore agli elementi finiti **MICROSAP** prodotto dalla società **TESYS srl**. La scelta di tale codice è motivata dall'elevata affidabilità dimostrata e dall'ampia documentazione a disposizione, dalla quale risulta la sostanziale uniformità dei risultati ottenuti su strutture standard con i risultati internazionalmente accettati ed utilizzati come riferimento.

Tutti i risultati del calcolo sono forniti, oltre che in formato numerico, anche in formato grafico permettendo così di evidenziare agevolmente eventuali incongruenze.

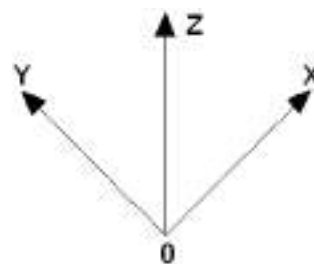
Il programma consente la stampa di tutti i dati di input, dei dati del modello strutturale utilizzato, dei risultati del calcolo e delle verifiche dei diagrammi delle sollecitazioni e delle deformate.

8.3 Sistemi di Riferimento

8.3.1 Riferimento globale

SASSARI EOLICA S.R.L.	PARCO EOLICO DI "SASSARI" RELAZIONE DI CALCOLO PREDIMENSIONAMENTO DELLE FONDAZIONI WTG	 Ingegneria & Innovazione		
		26/05/2023	REV: 1	Pag.22

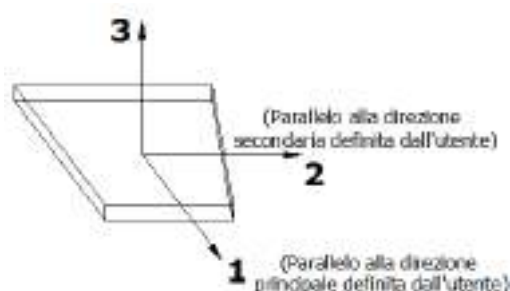
Il sistema di riferimento globale, rispetto al quale va riferita l'intera struttura, è costituito da una terna di assi cartesiani sinistrorsa O, X, Y, Z (X, Y, e Z sono disposti e orientati rispettivamente secondo il pollice, l'indice ed il medio della mano destra, una volta posizionati questi ultimi a 90° tra loro).



8.3.2 Riferimento locale per solette e platee

Ciascuna soletta e platea è caratterizzata da un sistema di riferimento locale 1,2,3 così definito:

- asse 1, coincidente con la direzione principale di armatura;
- asse 2, coincidente con la direzione secondaria di armatura;
- asse 3, ortogonale al piano della parete, che completa la terna levogira.



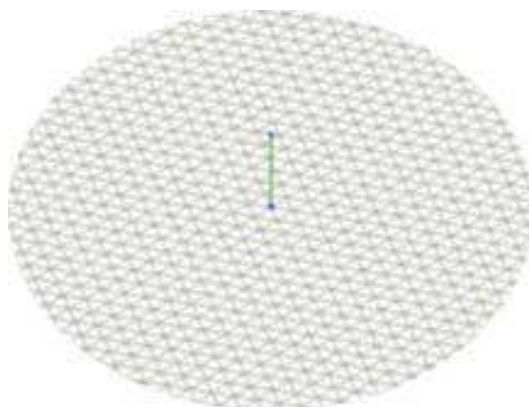
8.4 Modello di Calcolo


Il modello della struttura viene creato automaticamente dal codice di calcolo, individuando i vari elementi strutturali e fornendo le loro caratteristiche geometriche e meccaniche.

Viene definita un'opportuna numerazione degli elementi (nodi, aste, shell) costituenti il modello, al fine di individuare celermente ed univocamente ciascun elemento nei "Tabulati di calcolo".

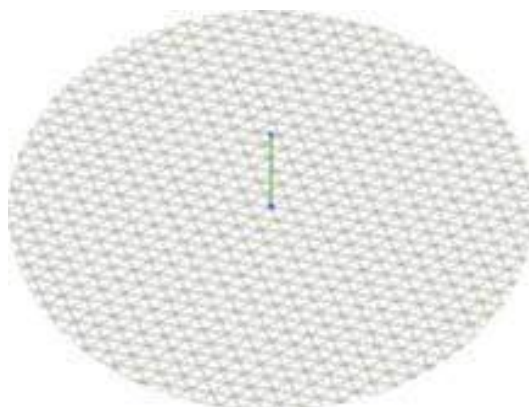
Qui di seguito è fornita una rappresentazione grafica dettagliata della discretizzazione operata con evidenziazione dei nodi e degli elementi.

Vista Anteriore



SASSARI EOLICA S.R.L.	PARCO EOLICO DI "SASSARI" RELAZIONE DI CALCOLO PREDIMENSIONAMENTO DELLE FONDAZIONI WTG	 Ingegneria & Innovazione		
		26/05/2023	REV: 1	Pag.23

Vista Posteriore



Dalle illustrazioni precedenti si evince come le aste, sia travi che pilastri, siano schematizzate con un tratto flessibile centrale e da due tratti (braccetti) rigidi alle estremità. I nodi vengono posizionati sull'asse verticale dei pilastri, in corrispondenza dell'estradosso della trave più alta che in esso si collega. Tramite i braccetti i tratti flessibili sono quindi collegati ad esso.

In questa maniera il nodo risulta perfettamente aderente alla realtà poiché vengono presi in conto tutti gli eventuali disassamenti degli elementi con gli effetti che si possono determinare, quali momenti flettenti/torcenti aggiuntivi.

Le sollecitazioni vengono determinate, com'è corretto, solo per il tratto flessibile. Sui tratti rigidi, infatti, essendo (teoricamente) nulle le deformazioni le sollecitazioni risultano indeterminate.


Questa schematizzazione dei nodi viene automaticamente realizzata dal programma anche quando il nodo sia determinato dall'incontro di più travi senza il pilastro, o all'attacco di travi/pilastri con elementi shell.

9 PROGETTO E VERIFICA DEGLI ELEMENTI STRUTTURALI

La verifica degli elementi allo SLU avviene col seguente procedimento:

- si costruiscono le combinazioni non sismiche in base al D.M. 2018, ottenendo un insieme di sollecitazioni;
- si combinano tali sollecitazioni con quelle dovute all'azione del sisma secondo quanto indicato nel §2.5.3, relazione (2.5.5) del D.M. 2018;
- per sollecitazioni semplici (flessione retta, taglio, etc.) si individuano i valori minimo e massimo con cui progettare o verificare l'elemento considerato; per sollecitazioni composte (pressoflessione retta/deviata) vengono eseguite le verifiche per tutte le possibili combinazioni e solo a seguito di ciò si individua quella che ha originato il minimo coefficiente di sicurezza.

9.1 Verifiche di Resistenza

SASSARI EOLICA S.R.L.	PARCO EOLICO DI "SASSARI"	 Ingegneria & Innovazione		
		26/05/2023	REV: 1	Pag.24

RELAZIONE DI CALCOLO PREDIMENSIONAMENTO DELLE FONDAZIONI WTG

9.1.1 Elementi in C.A.

Illustriamo, in dettaglio, il procedimento seguito in presenza di pressoflessione deviata (pilastri e trave di sezione generica):

- per tutte le terne M_x , M_y , N , individuate secondo la modalità precedentemente illustrata, si calcola il coefficiente di sicurezza in base alla formula 4.1.19 del D.M. 2018, effettuando due verifiche a pressoflessione retta con la seguente formula:

$$\left(\frac{M_{Ex}}{M_{Rx}} \right)^\alpha + \left(\frac{M_{Ey}}{M_{Ry}} \right)^\alpha \leq 1$$

dove:

M_{Ex} , M_{Ey} sono i valori di calcolo delle due componenti di flessione retta dell'azione attorno agli assi di flessione X ed Y del sistema di riferimento locale;

M_{Rx} , M_{Ry} sono i valori di calcolo dei momenti resistenti di pressoflessione retta corrispondenti allo sforzo assiale N_{Ed} valutati separatamente attorno agli assi di flessione.

L'esponente α può dedursi in funzione della geometria della sezione, della percentuale meccanica dell'armatura e della sollecitazione di sforzo normale agente.

- se per almeno una di queste terne la relazione 4.1.19 non è rispettata, si incrementa l'armatura variando il diametro delle barre utilizzate e/o il numero delle stesse in maniera iterativa fino a quando la suddetta relazione è rispettata per tutte le terne considerate.

Sempre quanto concerne il progetto degli elementi in c.a. illustriamo in dettaglio il procedimento seguito per le travi verificate/semiprogettate a pressoflessione retta:

- per tutte le coppie M_x , N , individuate secondo la modalità precedentemente illustrata, si calcola il coefficiente di sicurezza in base all'armatura adottata;
- se per almeno una di queste coppie esso è inferiore all'unità, si incrementa l'armatura variando il diametro delle barre utilizzate e/o il numero delle stesse in maniera iterativa fino a quando il coefficiente di sicurezza risulta maggiore o al più uguale all'unità per tutte le coppie considerate.

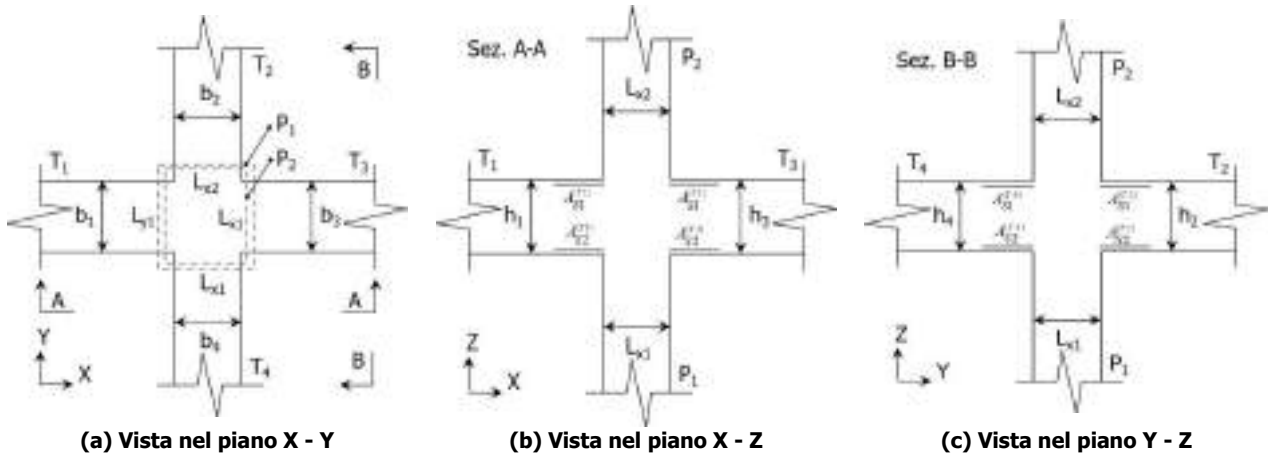
Nei "*Tabulati di calcolo*", per brevità, non potendo riportare una così grossa mole di dati, si riporta la terna M_x , M_y , N , o la coppia M_x , N che ha dato luogo al minimo coefficiente di sicurezza.

Una volta semiprogettate le armature allo SLU, si procede alla verifica delle sezioni allo Stato Limite di Esercizio con le sollecitazioni derivanti dalle combinazioni rare, frequenti e quasi permanenti; se necessario, le armature vengono integrate per far rientrare le tensioni entro i massimi valori previsti. si procede alle verifiche alla deformazione, quando richiesto, ed alla fessurazione che, come è noto, sono tese ad assicurare la durabilità dell'opera nel tempo.

9.1.1.1 Verifica di confinamento dei nodi

La progettazione dei nodi delle strutture in c.a. viene condotta secondo le prescrizioni del § 7.4.4.3 del D.M. 2018. Si consideri, in generale, lo schema di nodo rappresentato nella figura seguente in cui $n_t = 4$ e $n_p = 2$ sono, rispettivamente, il numero di travi e pilastri concorrenti nel nodo.

SASSARI EOLICA S.R.L.	PARCO EOLICO DI "SASSARI" RELAZIONE DI CALCOLO PREDIMENSIONAMENTO DELLE FONDAZIONI WTG	 Ingegneria & Innovazione		
		26/05/2023	REV: 1	Pag.25



In base alle dimensioni geometriche delle membrature (travi e pilastri) concorrenti nel nodo è possibile classificare i nodi in:

- **Interamente Confinati [IC]**, se $n_t = 4$ e:

$$\min \{b_1, b_3\} \geq \frac{3}{4} \max \{L_{y1}, L_{y2}\} \quad \min \{h_1, h_3\} \geq \frac{3}{4} \max \{L_{x1}, L_{x2}\}$$

$$\min \{b_2, b_4\} \geq \frac{3}{4} \max \{L_{x1}, L_{x2}\} \quad \min \{h_2, h_4\} \geq \frac{3}{4} \max \{L_{y1}, L_{y2}\}$$

- **Non Interamente Confinati [NIC]**, se non tutte le precedenti condizioni sono rispettate.

In base all'ubicazione del nodo nella struttura è possibile distinguere tra:

- **Nodi Interni [NI]**: in cui, evidentemente, $n_t = 4$;
- **Nodi Esterni [NE]**, in cui $1 \leq n_t < 4$.

I nodi sono stati progettati considerando una sollecitazione tagliante pari a (cfr. [7.4.6-7] D.M. 2018):

$$V_{jbd}^{(T_i)} = \gamma_{Rd} \left(A_{S1}^{(T_i)} + A_{S2}^{(T_i)} \right) f_{yd} - V_C^{(P_{2,i})} \quad i = 1, \dots, n_t \quad [NI]$$

$$V_{jbd}^{(T_i)} = \gamma_{Rd} A_{S1}^{(T_i)} f_{yd} - V_C^{(P_{2,i})} \quad i = 1, \dots, n_t \quad [NE]$$

dove:

$\gamma_{Rd} = 1,20$ in CD-A e $1,10$ in CD-B ed in caso di comportamento non dissipativo (cfr. Tab. 7.2.I e § 7.4.1 D.M. 2018);

f_{yd} è la tensione di progetto dell'acciaio delle armature delle travi;

$V_C^{(P_{2,i})}$ è il taglio in condizioni sismiche del pilastro superiore, lungo la direzione della trave considerata:

$$V_C^{(P_{2,i})} = V_C^{(P_{2,x})} \quad i = 1, 3$$

$$V_C^{(P_{2,i})} = V_C^{(P_{2,y})} \quad i = 2, 4$$

Le terne (A_{S1} , A_{S2} , V_C) sono state scelte in modo da considerare la situazione più sfavorevole. La verifica a taglio-compressione si esegue controllando che (cfr. [7.4.8] D.M. 2018):

$$V_{jbd}^{(T_i)} \leq V_{R,jbd}^{(T_i)} = \eta f_{cd} b_j^{(T_i)} h_{jc}^{(P_{1,i})} \sqrt{1 - \frac{V_d}{\eta}}$$

SASSARI EOLICA S.R.L.	PARCO EOLICO DI "SASSARI" RELAZIONE DI CALCOLO PREDIMENSIONAMENTO DELLE FONDAZIONI WTG	 Ingegneria & Innovazione		
		26/05/2023	REV: 1	Pag.26

dove:

$$\eta = \alpha_j \left(1 - \frac{f_{ck} [MPa]}{250} \right);$$

$\alpha_j = 0,6$ per [NI] e $0,48$ per [NE];

b_j è la larghezza effettiva del nodo, pari a:

$$b_j^{(T_i)} = \min \left\{ b_{j1}^{(T_i)}, b_{j2}^{(T_i)} \right\} \quad i = 1, \dots, n_t$$

$$b_{j1}^{(T_i)} = \max \left\{ L_{x1}, L_{x2}, b_i \right\} \quad i = 1, 3$$

$$b_{j1}^{(T_i)} = \max \left\{ L_{y1}, L_{y2}, b_i \right\} \quad i = 2, 4$$

$$b_{j2}^{(T_i)} = \max \left\{ L_{x1} + \frac{L_{y1}}{2}, b_i + \frac{L_{y1}}{2} \right\} \quad i = 1, 3$$

$$b_{j2}^{(T_i)} = \max \left\{ L_{y1} + \frac{L_{x1}}{2}, b_i + \frac{L_{x1}}{2} \right\} \quad i = 2, 4$$

$h_{jc}^{(P_i)}$ è la distanza tra le armature del pilastro:

$$h_{jc}^{(P_i)} = L_{x1} - 2(c + \Phi_{st}) - \Phi_L \quad i = 1, 3$$

$$h_{jc}^{(P_i)} = L_{y1} - 2(c + \Phi_{st}) - \Phi_L \quad i = 2, 4$$

c , Φ_{st} e Φ_L sono, rispettivamente, il ricoprimento, il diametro delle staffe nel pilastro, ed il diametro delle armature longitudinali del pilastro;

$v_d = \frac{N_{Ed}^{(P_2)}}{L_{x2} L_{y2} f_{cd}}$ è lo sforzo normale adimensionalizzato del pilastro superiore.

Le armature a taglio per il confinamento del nodo sono progettate adottando la meno stringente tra la relazione ([7.4.10] D.M. 2018):

$$\frac{A_{sh,i} f_{ywd}}{b_j^{(T_i)} h_{jw}^{(T_i)}} \geq \frac{\left[\frac{V_{jbd}^{(T_i)}}{b_j^{(T_i)} h_{jw}^{(T_i)}} \right]}{f_{ctd} + v_d f_{cd}} - f_{ctd} \quad i = 1, \dots, n_t$$

dove:

$A_{sh,i}$ è l'armatura totale a taglio nel nodo nella direzione in esame:

$$A_{sh,i} = n_{st,i} n_{br,x} \left(\frac{\pi \Phi_{st}^2}{4} \right) \quad i = 1, 3$$

$$A_{sh,i} = n_{st,i} n_{br,y} \left(\frac{\pi \Phi_{st}^2}{4} \right) \quad i = 2, 4$$


$n_{st,i}$ è il numero totale di staffe nel nodo, uniformemente ripartito lungo l'altezza della trave in esame;

$n_{br,x}$ e $n_{br,y}$ sono il numero di bracci delle staffe nel nodo, nella direzione in esame;

Φ_{st} è il diametro delle staffe nel nodo;

f_{ywd} è la tensione di progetto dell'acciaio delle staffe;

$$h_{jw}^{(T_i)} = h_i - 2(c + \Phi_{st}) - \Phi_L;$$

SASSARI EOLICA S.R.L.	PARCO EOLICO DI "SASSARI" RELAZIONE DI CALCOLO PREDIMENSIONAMENTO DELLE FONDAZIONI WTG	 Ingegneria & Innovazione		
		26/05/2023	REV: 1	Pag.27

c , Φ_{st} e Φ_L sono, rispettivamente, il ricoprimento, il diametro delle staffe nella trave, ed il diametro delle armature longitudinali nella trave;

e le seguenti relazioni ([7.4.11-12] D.M. 2018):

$$A_{sh,i} f_{ywd} \geq \gamma_{Rd} \left(A_{s1}^{(T_i)} + A_{s2}^{(T_i)} \right) f_{yd} \left(1 - 0,8 v_d^{[NI]} \right) \quad i = 1, \dots, n_t \quad [NI]$$

$$A_{sh,i} f_{ywd} \geq \gamma_{Rd} A_{s1}^{(T_i)} f_{yd} \left(1 - 0,8 v_d^{[NE]} \right) \quad i = 1, \dots, n_t \quad [NE]$$

dove:

$$v_d^{[NI]} = \frac{N_{Ed}^{(P_2)}}{L_{x2} L_{y2} f_{cd}} \quad \text{è lo sforzo normale adimensionalizzato del pilastro superiore;}$$

$$v_d^{[NE]} = \frac{N_{Ed}^{(P_1)}}{L_{x1} L_{y1} f_{cd}} \quad \text{è lo sforzo normale adimensionalizzato del pilastro inferiore.}$$

Il passo delle staffe da disporre per tutta l'altezza del nodo (pari all'altezza maggiore delle travi in esso convergenti) è pari a:

$$p_{st} = \min_{i=1, \dots, n_t} \left\{ \frac{h_{jw}^{(T_i)}}{n_{st,i} + 1} \right\}$$

dove $n_{st} = \max_i n_{st,i}$ è il numero totale di staffe da disporre nel nodo.

9.1.1.2 Fondazioni superficiali

Le metodologie, i modelli usati ed i risultati del calcolo del **carico limite** sono esposti nella relazione GEOTECNICA.

9.1.2.1 Verifiche di Instabilità

Per tutti gli elementi strutturali sono state condotte verifiche di stabilità delle membrature secondo le indicazioni del §4.2.4.1.3 del D.M. 2018; in particolare sono state effettuate le seguenti verifiche:

- Verifiche di stabilità per compressione semplice, con controllo della snellezza.
- Verifiche di stabilità per elementi inflessi.
- Verifiche di stabilità per elementi inflessi e compressi.


Le verifiche sono effettuate considerando la possibilità di instabilizzazione flessotorsionale.

Nei "Tabulati di calcolo", per ogni tipo di verifica e per ogni elemento strutturale, sono riportati i risultati di tali verifiche.

9.1.2.2 Verifiche di Deformabilità

Sono state condotte le verifiche definite al §4.2.4.2 del D.M. 2018 e in particolare si citano:

- Verifiche agli spostamenti verticali per i singoli elementi (§4.2.4.2.1 D.M. 2018).
- Verifiche agli spostamenti laterali per i singoli elementi (§4.2.4.2.2 D.M. 2018).

SASSARI EOLICA S.R.L.	PARCO EOLICO DI "SASSARI"	 Ingegneria & Innovazione		
		26/05/2023	REV: 1	Pag.28

- Verifiche agli spostamenti per il piano e per l'edificio (§4.2.4.2.2 D.M. 2018).

I relativi risultati sono riportati nei "Tabulati di calcolo".

9.2 DETTAGLI STRUTTURALI

Il progetto delle strutture è stato condotto rispettando i dettagli strutturali previsti dal D.M. 2018, nel seguito illustrati. Il rispetto dei dettagli può essere evinto, oltretutto dagli elaborati grafici, anche dalle verifiche riportate nei tabulati allegati alla presente relazione.

10 - TABULATI DI CALCOLO

Per quanto non espressamente sopra riportato, ed in particolar modo per ciò che concerne i dati numerici di calcolo, si rimandano ai "Tabulati di calcolo" con i carichi della WTG Vestas in condizioni peggiori secondo i dati geotecnici.

INFORMAZIONI GENERALI

Edificio	Cemento Armato
Costruzione	Nuova
Situazione	-
Intervento	-
Comune	Sassari
Provincia	Sassari
Oggetto	
Parte d'opera	
Normativa di riferimento	D.M. 17/01/2018
Calcolo semplificato per siti a bassa sismicità (§ 7.0)	-
Analisi sismica	Statica equivalente

MATERIALI CALCESTRUZZO ARMATO

Caratteristiche calcestruzzo armato														
N _{id}	γ _k	α _{T, i}	E	G	C _{Er}	Stz	R _{ck}	R _{cm}	%R _{ck}	γ _c	f _{cd}	f _{ctd}	f _{ctm}	n Ac
	[N/m ³]	[1/°C]	[N/mm ²]	[N/mm ²]	[%]		[N/mm ²]	[N/mm ²]			[N/mm ²]	[N/mm ²]	[N/mm ²]	
Cl. C35/45_B450C - (C35/45)														
002	25,000	0,000010	34,625	14,427	60	P	45,00	-	0,85	1,50	21,17	1,56	4,02	003

LEGENDA:

N _{id}	Numero identificativo del materiale, nella relativa tabella dei materiali.
γ _k	Peso specifico.
α _{T, i}	Coefficiente di dilatazione termica.
E	Modulo elastico normale.
G	Modulo elastico tangenziale.
C _{Er}	Coefficiente di riduzione del Modulo elastico normale per Analisi Sismica [E _{sisma} = E · C _{Er}].
Stz	Tipo di situazione: [F] = di Fatto (Esistente); [P] = di Progetto (Nuovo).
R _{ck}	Resistenza caratteristica cubica.
R _{cm}	Resistenza media cubica.
%R _{ck}	Percentuale di riduzione della R _{ck} .
γ _c	Coefficiente parziale di sicurezza del materiale.
f _{cd}	Resistenza di calcolo a compressione.
f _{ctd}	Resistenza di calcolo a trazione.
f _{ctm}	Resistenza media a trazione per flessione.
n Ac	Identificativo, nella relativa tabella materiali, dell'acciaio utilizzato: [-] = parametro NON significativo per il materiale.


MATERIALI ACCIAIO

Caratteristiche acciaio														
N _{id}	γ _k	α _{T, i}	E	G	Stz	f _{yk,1} /f _{yk,2}	f _{tk,1} /f _{tk,2}	f _{yd,1} /f _{yd,2}	f _{td}	γ _s	γ _{M1}	γ _{M2}	γ _{M3,SLV}	γ _{M3,SLE}

Il presente documento è di proprietà della ANTEX GROUP srl.
È vietato la comunicazione a terzi o la riproduzione senza il permesso scritto della suddetta.
La società tutela i propri diritti a rigore di Legge.

Comm.: C21-002-S05



SASSARI EOLICA S.R.L.	PARCO EOLICO DI “SASSARI” RELAZIONE DI CALCOLO PREDIMENSIONAMENTO DELLE FONDAZIONI WTG	 <i>Ingegneria & Innovazione</i>		
		26/05/2023	REV: 1	Pag.29

	[N/m ²]	[1/°C]	[N/mm ²]	[N/mm ²]		[N/mm ²]	[N/mm ²]	[N/mm ²]	[N/mm ²]						
S235 - (S235)															
001	78.500	0,000012	210.000	80.769	P	235,00	360	223,81	-	1,05	1,05	1,25	-	-	-
						215,00	360	204,76							
Acciaio B450C - (B450C)															
003	78.500	0,000010	210.000	80.769	P	450,00	-	391,30	-	1,15	-	-	-	-	-
						-	-	-							

LEGENDA:

N_{id}	Numero identificativo del materiale, nella relativa tabella dei materiali.
γ_k	Peso specifico.
α_{T, i}	Coefficiente di dilatazione termica.
E	Modulo elastico normale.
G	Modulo elastico tangenziale.
Stz	Tipo di situazione: [F] = di Fatto (Esistente); [P] = di Progetto (Nuovo).
f_{tk,1}	Resistenza caratteristica a Rottura (per profili con t ≤ 40 mm).
f_{tk,2}	Resistenza caratteristica a Rottura (per profili con 40 mm < t ≤ 80 mm).
f_{td}	Resistenza di calcolo a Rottura (Bulloni).
γ_s	Coefficiente parziale di sicurezza allo SLV del materiale.
γ_{M1}	Coefficiente parziale di sicurezza per instabilità.
γ_{M2}	Coefficiente parziale di sicurezza per sezioni tese indebolite.
γ_{M3,SLV}	Coefficiente parziale di sicurezza per scorrimento allo SLV (Bulloni).
γ_{M3,SLE}	Coefficiente parziale di sicurezza per scorrimento allo SLE (Bulloni).
γ_{M7}	Coefficiente parziale di sicurezza precarico di bulloni ad alta resistenza (Bulloni - NCnt = con serraggio NON controllato; Cnt = con serraggio controllato). [-] = parametro NON significativo per il materiale.
f_{yk,1}	Resistenza caratteristica allo snervamento (per profili con t ≤ 40 mm).
f_{yk,2}	Resistenza caratteristica allo snervamento (per profili con 40 mm < t ≤ 80 mm).
f_{yd,1}	Resistenza di calcolo (per profili con t ≤ 40 mm).
f_{yd,2}	Resistenza di calcolo (per profili con 40 mm < t ≤ 80 mm).
NOTE	[-] = Parametro non significativo per il materiale.

TENSIONI AMMISSIBILI ALLO SLE DEI VARI MATERIALI

Tensioni ammissibili allo SLE dei vari materiali			
Materiale	SL	Tensione di verifica	σ _{d,amm} [N/mm ²]
Cis C35/45_B450C	Caratteristica(RARA)	Compressione Calcestruzzo	22,41
	Quasi permanente	Compressione Calcestruzzo	16,81
Acciaio B450C	Caratteristica(RARA)	Trazione Acciaio	360,00

LEGENDA:

SL	Stato limite di esercizio per cui si esegue la verifica.
σ_{d,amm}	Tensione ammissibile per la verifica.

TERRENI




Terreni										
N _{TRN}	γ _T	K ₁			φ	c _u	c'	E _d	E _{cu}	A _{S-B}
		K _{1X}	K _{1Y}	K _{1Z}						
	[N/m ³]	[N/cm ²]	[N/cm ²]	[N/cm ²]	[°]	[N/mm ²]	[N/mm ²]	[N/mm ²]	[N/mm ²]	
Rocce tenere e depositi di terreni a grana grossa molto addensati o terreni a grana fina molto consistenti con spessori superiori a 30 m										
T001	19.000	60	60	1000	32	0,000	0,000	30	0	0,000


LEGENDA:

N_{TRN}	Numero identificativo del terreno.
γ_T	Peso specifico del terreno.
K₁	Valori della costante di Winkler riferita alla piastra Standard di lato b = 30 cm nelle direzioni degli assi del riferimento globale X (K _{1X}), Y (K _{1Y}), e Z (K _{1Z}).
φ	Angolo di attrito del terreno.
c_u	Coesione non drenata.
c'	Coesione efficace.
E_d	Modulo edometrico.
E_{cu}	Modulo elastico in condizione non drenate.
A_{S-B}	Parametro "A" di Skempton-Bjerrum per pressioni interstiziali.

ANALISI CARICHI

Analisi carichi									
N _{id}	T. C.	Descrizione del Carico	Tipologie di Carico	Peso Proprio		Permanente NON Strutturale		Sovraccarico Accidentale	
				Descrizione	PP	Descrizione	PNS	Descrizione	SA
									Carico Neve [N/m ²]
001	S	Platea	Autorimessa <= 30kN	<i>*vedi le relative tabelle dei carichi</i>	-	Sottofondo e pavimento di tipo industriale in	2.000	Rimesse, aree per traffico, parcheggio e sosta di	2.500
									0

Il presente documento è di proprietà della ANTEX GROUP srl. È vietato la comunicazione a terzi o la riproduzione senza il permesso scritto della suddetta. La società tutela i propri diritti a rigore di Legge.		Comm.: C21-002-S05
  		

SASSARI EOLICA S.R.L.	PARCO EOLICO DI "SASSARI"	 Ingegneria & Innovazione		
		26/05/2023	REV: 1	Pag.30

RELAZIONE DI CALCOLO PREDIMENSIONAMENTO DELLE
FONDAZIONI WTG

Analisi carichi									
N _{id}	T. C.	Descrizione del Carico	Tipologie di Carico	Peso Proprio		Permanente NON Strutturale		Sovraccarico Accidentale	
				Descrizione	PP	Descrizione	PNS	Descrizione	SA
						calcestruzzo		veicoli leggeri (peso a pieno carico fino a 30 kN) (Cat. F – Tab. 3.1.II - DM 17.01.2018)	

LEGENDA:

N_{id} Numero identificativo dell'analisi di carico.

T. C. Identificativo del tipo di carico: [S] = Superficiale - [L] = Lineare - [C] = Concentrato.

PP, PNS, SA Valori, rispettivamente, del Peso Proprio, del Sovraccarico Permanente NON strutturale, del Sovraccarico Accidentale. Secondo il tipo di carico indicato nella colonna "T.C." ("S" - "L" - "C"), i valori riportati nelle colonne "PP", "PNS" e "SA", sono espressi in [N/m²] per carichi Superficiali, [N/m] per carichi Lineari, [N] per carichi Concentrati.

TIPOLOGIE DI CARICO

Tipologie di carico							
N _{id}	Descrizione	F+E	+/- F	CDC	ψ ₀	ψ ₁	ψ ₂
0001	Carico Permanente	SI	NO	Permanente	1,00	1,00	1,00
0002	Permanenti NON Strutturali	SI	NO	Permanente	1,00	1,00	1,00
0003	Abitazioni	SI	NO	Media	0,70	0,50	0,30
0004	Autorimessa <= 30kN	SI	NO	Media	0,70	0,70	0,60
0005	Sisma X	-	-	-	-	-	-
0006	Sisma Y	-	-	-	-	-	-
0007	Sisma Z	-	-	-	-	-	-
0008	Sisma Ecc.X	-	-	-	-	-	-
0009	Sisma Ecc.Y	-	-	-	-	-	-

LEGENDA:

N_{id} Numero identificativo della Tipologia di Carico.

F+E Indica se la tipologia di carico considerata è AGENTE con il sisma.

+/- F Indica se la tipologia di carico è ALTERNATA (cioè considerata due volte con segno opposto) o meno.

CDC Indica la classe di durata del carico.

NOTA: dato significativo solo per elementi in materiale legnoso.

ψ₀ Coefficiente riduttivo dei carichi allo SLU e SLE (carichi rari).

ψ₁ Coefficiente riduttivo dei carichi allo SLE (carichi frequenti).

ψ₂ Coefficiente riduttivo dei carichi allo SLE (carichi frequenti e quasi permanenti).


SLU: Non Sismica - Strutturale senza azioni geotecniche

SLU: Non Sismica - Strutturale senza azioni geotecniche				
IdComb	CC 01	CC 02	CC 03	CC 04
	Carico Permanente	Permanenti NON Strutturali	Abitazioni	Autorimessa <= 30kN
01	1,00	0,00	0,00	0,00
02	1,00	0,80	0,00	0,00
03	1,00	0,80	0,00	1,05
04	1,00	0,80	1,05	0,00
05	1,00	0,80	1,05	1,05
06	1,00	1,50	0,00	0,00
07	1,00	1,50	0,00	1,05
08	1,00	1,50	1,05	0,00
09	1,00	1,50	1,05	1,05
10	1,00	0,80	1,50	0,00
11	1,00	0,80	1,50	1,05
12	1,00	1,50	1,50	0,00
13	1,00	1,50	1,50	1,05
14	1,00	0,80	0,00	1,50
15	1,00	0,80	1,05	1,50
16	1,00	1,50	0,00	1,50
17	1,00	1,50	1,05	1,50
18	1,30	0,00	0,00	0,00
19	1,30	0,80	0,00	0,00
20	1,30	0,80	0,00	1,05
21	1,30	0,80	1,05	0,00

Il presente documento è di proprietà della ANTEX GROUP srl.
È Vietato la comunicazione a terzi o la riproduzione senza il permesso scritto della suddetta.
La società tutela i propri diritti a rigore di Legge.

Comm.: C21-002-S05



SASSARI EOLICA S.R.L.	PARCO EOLICO DI "SASSARI"	 Ingegneria & Innovazione		
		26/05/2023	REV: 1	Pag.31

RELAZIONE DI CALCOLO PREDIMENSIONAMENTO DELLE FONDAZIONI WTG

SLU: Non Sismica - Strutturale senza azioni geotecniche				
IdComb	CC 01 Carico Permanente	CC 02 Permanenti NON Strutturali	CC 03 Abitazioni	CC 04 Autorimessa <= 30kN
22	1,30	0,80	1,05	1,05
23	1,30	1,50	0,00	0,00
24	1,30	1,50	0,00	1,05
25	1,30	1,50	1,05	0,00
26	1,30	1,50	1,05	1,05
27	1,30	0,80	1,50	0,00
28	1,30	0,80	1,50	1,05
29	1,30	1,50	1,50	0,00
30	1,30	1,50	1,50	1,05
31	1,30	0,80	0,00	1,50
32	1,30	0,80	1,05	1,50
33	1,30	1,50	0,00	1,50
34	1,30	1,50	1,05	1,50

LEGENDA:

IdComb
CC

Numero identificativo della Combinazione di Carico.
Identificativo della tipologia di carico nella relativa tabella.
CC 01= Carico Permanente
CC 02= Permanenti NON Strutturali
CC 03= Abitazioni
CC 04= Autorimessa <= 30kN

SLU: Sismica - Strutturale senza azioni geotecniche

SLU: Sismica - Strutturale senza azioni geotecniche				
IdComb	CC 01 Carico Permanente	CC 02 Permanenti NON Strutturali	CC 03 Abitazioni	CC 04 Autorimessa <= 30kN
01	1,00	1,00	0,30	0,60

LEGENDA:

IdComb
CC

Numero identificativo della Combinazione di Carico.
Identificativo della tipologia di carico nella relativa tabella.
CC 01= Carico Permanente
CC 02= Permanenti NON Strutturali
CC 03= Abitazioni
CC 04= Autorimessa <= 30kN

COMBINAZIONI SISMICHE

Alle combinazioni riportate nella precedente tabella è stato aggiunto l'effetto del sisma. L'azione sismica è stata considerata come caratterizzata da tre componenti traslazionali lungo i tre assi globali X, Y e Z; la risposta della struttura è stata calcolata separatamente per i tre effetti e quindi combinata secondo la seguente espressione simbolica:

$$\alpha = \alpha_i + 0,3 \cdot \alpha_{ii} + 0,3 \cdot \alpha_{iii}$$

con α effetto totale dell'azione sismica, α_i , α_{ii} e α_{iii} azioni sismiche nelle tre direzioni. E' stata effettuata una rotazione degli indici e dei segni, per cui le combinazioni totali generate sono le:
(con α'_p sollecitazione dovuta alla combinazione delle condizioni statiche e α sollecitazione dovuta al sisma; in particolare α_x , α_y , α_z , α_{ex} , α_{ey} sono rispettivamente le sollecitazioni dovute al sisma agente in direzione x, in direzioni y, in direzione z, per eccentricità accidentale positiva in direzione x e per eccentricità accidentale positiva in direzione y)

- 3) $\alpha'_p + (\alpha_x + \alpha_{ex}) + 0,3 \cdot (\alpha_y + \alpha_{ey}) - 0,3 \cdot \alpha_z$; 4) $\alpha'_p + (\alpha_x + \alpha_{ex}) - 0,3 \cdot (\alpha_y + \alpha_{ey}) - 0,3 \cdot \alpha_z$;
5) $\alpha'_p + (\alpha_x + \alpha_{ex}) + 0,3 \cdot (\alpha_y - \alpha_{ey}) + 0,3 \cdot \alpha_z$; 6) $\alpha'_p + (\alpha_x + \alpha_{ex}) - 0,3 \cdot (\alpha_y - \alpha_{ey}) + 0,3 \cdot \alpha_z$;
7) $\alpha'_p + (\alpha_x + \alpha_{ex}) + 0,3 \cdot (\alpha_y - \alpha_{ey}) - 0,3 \cdot \alpha_z$; 8) $\alpha'_p + (\alpha_x + \alpha_{ex}) - 0,3 \cdot (\alpha_y - \alpha_{ey}) - 0,3 \cdot \alpha_z$;
9) $\alpha'_p + (\alpha_x - \alpha_{ex}) + 0,3 \cdot (\alpha_y + \alpha_{ey}) + 0,3 \cdot \alpha_z$; 10) $\alpha'_p + (\alpha_x - \alpha_{ex}) - 0,3 \cdot (\alpha_y + \alpha_{ey}) + 0,3 \cdot \alpha_z$;
11) $\alpha'_p + (\alpha_x - \alpha_{ex}) + 0,3 \cdot (\alpha_y + \alpha_{ey}) - 0,3 \cdot \alpha_z$; 12) $\alpha'_p + (\alpha_x - \alpha_{ex}) - 0,3 \cdot (\alpha_y + \alpha_{ey}) - 0,3 \cdot \alpha_z$;
13) $\alpha'_p + (\alpha_x - \alpha_{ex}) + 0,3 \cdot (\alpha_y - \alpha_{ey}) + 0,3 \cdot \alpha_z$; 14) $\alpha'_p + (\alpha_x - \alpha_{ex}) - 0,3 \cdot (\alpha_y - \alpha_{ey}) + 0,3 \cdot \alpha_z$;
15) $\alpha'_p + (\alpha_x - \alpha_{ex}) + 0,3 \cdot (\alpha_y - \alpha_{ey}) - 0,3 \cdot \alpha_z$; 16) $\alpha'_p + (\alpha_x - \alpha_{ex}) - 0,3 \cdot (\alpha_y - \alpha_{ey}) - 0,3 \cdot \alpha_z$;
17) $\alpha'_p + (\alpha_y + \alpha_{ey}) + 0,3 \cdot (\alpha_x + \alpha_{ex}) + 0,3 \cdot \alpha_z$; 18) $\alpha'_p + (\alpha_y + \alpha_{ey}) - 0,3 \cdot (\alpha_x + \alpha_{ex}) + 0,3 \cdot \alpha_z$;
19) $\alpha'_p + (\alpha_y + \alpha_{ey}) + 0,3 \cdot (\alpha_x + \alpha_{ex}) - 0,3 \cdot \alpha_z$; 20) $\alpha'_p + (\alpha_y + \alpha_{ey}) - 0,3 \cdot (\alpha_x + \alpha_{ex}) - 0,3 \cdot \alpha_z$;
21) $\alpha'_p + (\alpha_y + \alpha_{ey}) + 0,3 \cdot (\alpha_x - \alpha_{ex}) + 0,3 \cdot \alpha_z$; 22) $\alpha'_p + (\alpha_y + \alpha_{ey}) - 0,3 \cdot (\alpha_x - \alpha_{ex}) + 0,3 \cdot \alpha_z$;

Il presente documento è di proprietà della ANTEX GROUP srl.
È vietato la comunicazione a terzi o la riproduzione senza il permesso scritto della suddetta.
La società tutela i propri diritti a rigore di Legge.

Comm.: C21-002-S05



23) $\alpha'_p + (\alpha_y + \alpha_{ey}) + 0,3 \cdot (\alpha_x - \alpha_{ex}) - 0,3 \cdot \alpha_z$; **24)** $\alpha'_p + (\alpha_y + \alpha_{ey}) - 0,3 \cdot (\alpha_x - \alpha_{ex}) - 0,3 \cdot \alpha_z$;
25) $\alpha'_p + (\alpha_y - \alpha_{ey}) + 0,3 \cdot (\alpha_x + \alpha_{ex}) + 0,3 \cdot \alpha_z$; **26)** $\alpha'_p + (\alpha_y - \alpha_{ey}) - 0,3 \cdot (\alpha_x + \alpha_{ex}) + 0,3 \cdot \alpha_z$;
27) $\alpha'_p + (\alpha_y - \alpha_{ey}) + 0,3 \cdot (\alpha_x + \alpha_{ex}) - 0,3 \cdot \alpha_z$; **28)** $\alpha'_p + (\alpha_y - \alpha_{ey}) - 0,3 \cdot (\alpha_x + \alpha_{ex}) - 0,3 \cdot \alpha_z$;
29) $\alpha'_p + (\alpha_y - \alpha_{ey}) + 0,3 \cdot (\alpha_x - \alpha_{ex}) + 0,3 \cdot \alpha_z$; **30)** $\alpha'_p + (\alpha_y - \alpha_{ey}) - 0,3 \cdot (\alpha_x - \alpha_{ex}) + 0,3 \cdot \alpha_z$;
31) $\alpha'_p + (\alpha_y - \alpha_{ey}) + 0,3 \cdot (\alpha_x - \alpha_{ex}) - 0,3 \cdot \alpha_z$; **32)** $\alpha'_p + (\alpha_y - \alpha_{ey}) - 0,3 \cdot (\alpha_x - \alpha_{ex}) - 0,3 \cdot \alpha_z$;
33) $\alpha'_p + \alpha_z + 0,3 \cdot (\alpha_x + \alpha_{ex}) + 0,3 \cdot (\alpha_y + \alpha_{ey})$; **34)** $\alpha'_p + \alpha_z - 0,3 \cdot (\alpha_x + \alpha_{ex}) + 0,3 \cdot (\alpha_y + \alpha_{ey})$;
35) $\alpha'_p + \alpha_z + 0,3 \cdot (\alpha_x + \alpha_{ex}) - 0,3 \cdot (\alpha_y + \alpha_{ey})$; **36)** $\alpha'_p + \alpha_z - 0,3 \cdot (\alpha_x + \alpha_{ex}) - 0,3 \cdot (\alpha_y + \alpha_{ey})$;
37) $\alpha'_p + \alpha_z + 0,3 \cdot (\alpha_x + \alpha_{ex}) + 0,3 \cdot (\alpha_y - \alpha_{ey})$; **38)** $\alpha'_p + \alpha_z - 0,3 \cdot (\alpha_x + \alpha_{ex}) + 0,3 \cdot (\alpha_y - \alpha_{ey})$;
39) $\alpha'_p + \alpha_z + 0,3 \cdot (\alpha_x - \alpha_{ex}) - 0,3 \cdot (\alpha_y - \alpha_{ey})$; **40)** $\alpha'_p + \alpha_z - 0,3 \cdot (\alpha_x - \alpha_{ex}) - 0,3 \cdot (\alpha_y - \alpha_{ey})$;
41) $\alpha'_p + \alpha_z + 0,3 \cdot (\alpha_x - \alpha_{ex}) + 0,3 \cdot (\alpha_y + \alpha_{ey})$; **42)** $\alpha'_p + \alpha_z - 0,3 \cdot (\alpha_x - \alpha_{ex}) + 0,3 \cdot (\alpha_y + \alpha_{ey})$;
43) $\alpha'_p + \alpha_z + 0,3 \cdot (\alpha_x - \alpha_{ex}) - 0,3 \cdot (\alpha_y + \alpha_{ey})$; **44)** $\alpha'_p + \alpha_z - 0,3 \cdot (\alpha_x - \alpha_{ex}) - 0,3 \cdot (\alpha_y + \alpha_{ey})$;
45) $\alpha'_p + \alpha_z + 0,3 \cdot (\alpha_x - \alpha_{ex}) + 0,3 \cdot (\alpha_y - \alpha_{ey})$; **46)** $\alpha'_p + \alpha_z - 0,3 \cdot (\alpha_x - \alpha_{ex}) + 0,3 \cdot (\alpha_y - \alpha_{ey})$;
47) $\alpha'_p + \alpha_z + 0,3 \cdot (\alpha_x - \alpha_{ex}) - 0,3 \cdot (\alpha_y - \alpha_{ey})$; **48)** $\alpha'_p + \alpha_z - 0,3 \cdot (\alpha_x - \alpha_{ex}) - 0,3 \cdot (\alpha_y - \alpha_{ey})$.

Nel caso di verifiche effettuate con sollecitazioni composte, per tenere conto del fatto che le sollecitazioni sismiche sono state ricavate come CQC delle sollecitazioni derivanti dai modi di vibrazione, dette N, Mx, My, Tx e Ty le sollecitazioni dovute al sisma, per ognuna delle combinazioni precedenti, sono state ricavate 32 combinazioni di carico permutando nel seguente modo i segni delle sollecitazioni derivanti dal sisma:

1) N, Mx, My, Tx e Ty; **2)** N, Mx, -My, Tx e Ty; **3)** N, -Mx, My, Tx e Ty; **4)** N, -Mx, -My, Tx e Ty; **5)** -N, Mx, My, Tx e Ty; **6)** -N, Mx, -My, Tx e Ty; **7)** -N, -Mx, My, Tx e Ty; **8)** -N, -Mx, -My, Tx e Ty; **9)** N, Mx, My, Tx e -Ty; **10)** N, Mx, -My, Tx e -Ty; **11)** N, -Mx, My, Tx e -Ty; **12)** N, -Mx, -My, Tx e -Ty; **13)** -N, Mx, My, Tx e -Ty; **14)** -N, Mx, -My, Tx e -Ty; **15)** -N, -Mx, My, Tx e -Ty; **16)** -N, -Mx, -My, Tx e -Ty; **17)** N, Mx, My, -Tx e Ty; **18)** N, Mx, -My, -Tx e Ty; **19)** N, -Mx, My, -Tx e Ty; **20)** N, -Mx, -My, -Tx e Ty; **21)** -N, Mx, My, -Tx e Ty; **22)** -N, Mx, -My, -Tx e Ty; **23)** -N, -Mx, My, -Tx e Ty; **24)** -N, -Mx, -My, -Tx e Ty; **25)** N, Mx, My, -Tx e -Ty; **26)** N, Mx, -My, -Tx e -Ty; **27)** N, -Mx, My, -Tx e -Ty; **28)** N, -Mx, -My, -Tx e -Ty; **29)** -N, Mx, My, -Tx e -Ty; **30)** -N, Mx, -My, -Tx e -Ty; **31)** -N, -Mx, My, -Tx e -Ty; **32)** -N, -Mx, -My, -Tx e -Ty.

SERVIZIO(SLE): Caratteristica(RARA)

SERVIZIO(SLE): Caratteristica(RARA)				
IdComb	CC 01	CC 02	CC 03	CC 04
	Carico Permanente	Permanenti NON Strutturali	Abitazioni	Autorimessa <= 30kN
01	1,00	1,00	0,70	0,70
02	1,00	1,00	1,00	0,70
03	1,00	1,00	0,70	1,00

LEGENDA:

IdComb Numero identificativo della Combinazione di Carico.
CC Identificativo della tipologia di carico nella relativa tabella.
CC 01= Carico Permanente
CC 02= Permanenti NON Strutturali
CC 03= Abitazioni
CC 04= Autorimessa <= 30kN

SERVIZIO(SLE): Frequente


SERVIZIO(SLE): Frequente				
IdComb	CC 01	CC 02	CC 03	CC 04
	Carico Permanente	Permanenti NON Strutturali	Abitazioni	Autorimessa <= 30kN
01	1,00	1,00	0,30	0,60
02	1,00	1,00	0,50	0,60
03	1,00	1,00	0,30	0,70

LEGENDA:

IdComb Numero identificativo della Combinazione di Carico.
CC Identificativo della tipologia di carico nella relativa tabella.
CC 01= Carico Permanente
CC 02= Permanenti NON Strutturali
CC 03= Abitazioni
CC 04= Autorimessa <= 30kN

SERVIZIO(SLE): Quasi permanente

SERVIZIO(SLE): Quasi permanente

SASSARI EOLICA S.R.L.	PARCO EOLICO DI "SASSARI"	 Ingegneria & Innovazione		
		26/05/2023	REV: 1	Pag.33

IdComb	CC 01 Carico Permanente	CC 02 Permanenti NON Strutturali	CC 03 Abitazioni	CC 04 Autorimessa <= 30kN
01	1,00	1,00	0,30	0,60

LEGENDA:

IdComb	Numero identificativo della Combinazione di Carico.
CC	Identificativo della tipologia di carico nella relativa tabella.
	CC 01= Carico Permanente
	CC 02= Permanenti NON Strutturali
	CC 03= Abitazioni
	CC 04= Autorimessa <= 30kN

COMBINAZIONI DI CARICO PER GEOTECNICA (Cedimenti)

Combinazioni di carico per geotecnica (Cedimenti)		
NCMB	Comb	λ
001	SLE Rare:Carico Permanente * 1 + Permanenti NON Strutturali * 1 + Abitazioni * 0.7 + Autorimessa <= 30kN * 0.7	1,00
002	SLE Rare:Carico Permanente * 1 + Permanenti NON Strutturali * 1 + Abitazioni * 1 + Autorimessa <= 30kN * 0.7	1,00
003	SLE Rare:Carico Permanente * 1 + Permanenti NON Strutturali * 1 + Abitazioni * 0.7 + Autorimessa <= 30kN * 1	1,00
004	SLE Freq:Carico Permanente * 1 + Permanenti NON Strutturali * 1 + Abitazioni * 0.3 + Autorimessa <= 30kN * 0.6	1,00
005	SLE Freq:Carico Permanente * 1 + Permanenti NON Strutturali * 1 + Abitazioni * 0.5 + Autorimessa <= 30kN * 0.6	1,00
006	SLE Freq:Carico Permanente * 1 + Permanenti NON Strutturali * 1 + Abitazioni * 0.3 + Autorimessa <= 30kN * 0.7	1,00
007	SLE Perm:Carico Permanente * 1 + Permanenti NON Strutturali * 1 + Abitazioni * 0.3 + Autorimessa <= 30kN * 0.6	1,00

LEGENDA:

NCMB	Numero identificativo della Combinazione di Carico.
Comb	Descrizione della Combinazione di Carico.
λ	Moltiplicatore delle azioni orizzontali (λ=1 se tutte le azioni applicate sono in equilibrio con la reazione del terreno; λ<1 se la reazione del terreno è in grado di equilibrare solo un'aliquota delle azioni esterne).


COMBINAZIONI DI CARICO PER GEOTECNICA (Scorrimento)

Combinazioni di carico per geotecnica (Scorrimento)		
NCMB	Comb	λ
001	SLU:Carico Permanente * 1	1,00
002	SLU:Carico Permanente * 1 + Permanenti NON Strutturali * 0.8	1,00
003	SLU:Carico Permanente * 1 + Permanenti NON Strutturali * 0.8 + Autorimessa <= 30kN * 1.05	1,00
004	SLU:Carico Permanente * 1 + Permanenti NON Strutturali * 0.8 + Abitazioni * 1.05	1,00
005	SLU:Carico Permanente * 1 + Permanenti NON Strutturali * 0.8 + Abitazioni * 1.05 + Autorimessa <= 30kN * 1.05	1,00
006	SLU:Carico Permanente * 1 + Permanenti NON Strutturali * 1.5	1,00
007	SLU:Carico Permanente * 1 + Permanenti NON Strutturali * 1.5 + Autorimessa <= 30kN * 1.05	1,00
008	SLU:Carico Permanente * 1 + Permanenti NON Strutturali * 1.5 + Abitazioni * 1.05	1,00
009	SLU:Carico Permanente * 1 + Permanenti NON Strutturali * 1.5 + Abitazioni * 1.05 + Autorimessa <= 30kN * 1.05	1,00
010	SLU:Carico Permanente * 1 + Permanenti NON Strutturali * 0.8 + Abitazioni * 1.5	1,00
011	SLU:Carico Permanente * 1 + Permanenti NON Strutturali * 0.8 + Abitazioni * 1.5 + Autorimessa <= 30kN * 1.05	1,00
012	SLU:Carico Permanente * 1 + Permanenti NON Strutturali * 1.5 + Abitazioni * 1.5	1,00
013	SLU:Carico Permanente * 1 + Permanenti NON Strutturali * 1.5 + Abitazioni * 1.5 + Autorimessa <= 30kN * 1.05	1,00
014	SLU:Carico Permanente * 1 + Permanenti NON Strutturali * 0.8 + Autorimessa <= 30kN * 1.5	1,00
015	SLU:Carico Permanente * 1 + Permanenti NON Strutturali * 0.8 + Abitazioni * 1.05 + Autorimessa <= 30kN * 1.5	1,00
016	SLU:Carico Permanente * 1 + Permanenti NON Strutturali * 1.5 + Autorimessa <= 30kN * 1.5	1,00
017	SLU:Carico Permanente * 1 + Permanenti NON Strutturali * 1.5 + Abitazioni * 1.05 + Autorimessa <= 30kN * 1.5	1,00
018	SLU:Carico Permanente * 1.3	1,00
019	SLU:Carico Permanente * 1.3 + Permanenti NON Strutturali * 0.8	1,00
020	SLU:Carico Permanente * 1.3 + Permanenti NON Strutturali * 0.8 + Autorimessa <= 30kN * 1.05	1,00
021	SLU:Carico Permanente * 1.3 + Permanenti NON Strutturali * 0.8 + Abitazioni * 1.05	1,00
022	SLU:Carico Permanente * 1.3 + Permanenti NON Strutturali * 0.8 + Abitazioni * 1.05 + Autorimessa <= 30kN * 1.05	1,00
023	SLU:Carico Permanente * 1.3 + Permanenti NON Strutturali * 1.5	1,00
024	SLU:Carico Permanente * 1.3 + Permanenti NON Strutturali * 1.5 + Autorimessa <= 30kN * 1.05	1,00
025	SLU:Carico Permanente * 1.3 + Permanenti NON Strutturali * 1.5 + Abitazioni * 1.05	1,00
026	SLU:Carico Permanente * 1.3 + Permanenti NON Strutturali * 1.5 + Abitazioni * 1.05 + Autorimessa <= 30kN * 1.05	1,00
027	SLU:Carico Permanente * 1.3 + Permanenti NON Strutturali * 0.8 + Abitazioni * 1.5	1,00
028	SLU:Carico Permanente * 1.3 + Permanenti NON Strutturali * 0.8 + Abitazioni * 1.5 + Autorimessa <= 30kN * 1.05	1,00
029	SLU:Carico Permanente * 1.3 + Permanenti NON Strutturali * 1.5 + Abitazioni * 1.5	1,00
030	SLU:Carico Permanente * 1.3 + Permanenti NON Strutturali * 1.5 + Abitazioni * 1.5 + Autorimessa <= 30kN * 1.05	1,00
031	SLU:Carico Permanente * 1.3 + Permanenti NON Strutturali * 0.8 + Autorimessa <= 30kN * 1.5	1,00
032	SLU:Carico Permanente * 1.3 + Permanenti NON Strutturali * 0.8 + Abitazioni * 1.05 + Autorimessa <= 30kN * 1.5	1,00
033	SLU:Carico Permanente * 1.3 + Permanenti NON Strutturali * 1.5 + Autorimessa <= 30kN * 1.5	1,00
034	SLU:Carico Permanente * 1.3 + Permanenti NON Strutturali * 1.5 + Abitazioni * 1.05 + Autorimessa <= 30kN * 1.5	1,00


Il presente documento è di proprietà della ANTEX GROUP srl.
È vietato la comunicazione a terzi o la riproduzione senza il permesso scritto della suddetta.
La società tutela i propri diritti a rigore di Legge.

Comm.: C21-002-S05



SASSARI EOLICA S.R.L.	PARCO EOLICO DI "SASSARI" RELAZIONE DI CALCOLO PREDIMENSIONAMENTO DELLE FONDAZIONI WTG	 Ingegneria & Innovazione		
		26/05/2023	REV: 1	Pag.34

Combinazioni di carico per geotecnica (Scorrimento)		
PCMB	Comb	λ
035	Sisma allo SLU: +1,00*Carico Permanente +1,00*Permanenti NON Strutturali +0,30*Abitazioni +0,60*Autorimessa <= 30kN + (Sx + ECx) + 0,3 * (Sy + ECy)	1,00
036	Sisma allo SLU: +1,00*Carico Permanente +1,00*Permanenti NON Strutturali +0,30*Abitazioni +0,60*Autorimessa <= 30kN + (Sx + ECx) - 0,3 * (Sy + ECy)	1,00
037	Sisma allo SLU: +1,00*Carico Permanente +1,00*Permanenti NON Strutturali +0,30*Abitazioni +0,60*Autorimessa <= 30kN + (Sx + ECx) + 0,3 * (Sy - ECy)	1,00
038	Sisma allo SLU: +1,00*Carico Permanente +1,00*Permanenti NON Strutturali +0,30*Abitazioni +0,60*Autorimessa <= 30kN + (Sx + ECx) - 0,3 * (Sy - ECy)	1,00
039	Sisma allo SLU: +1,00*Carico Permanente +1,00*Permanenti NON Strutturali +0,30*Abitazioni +0,60*Autorimessa <= 30kN + (Sx + ECx) + 0,3 * (-Sy + ECy)	1,00
040	Sisma allo SLU: +1,00*Carico Permanente +1,00*Permanenti NON Strutturali +0,30*Abitazioni +0,60*Autorimessa <= 30kN + (Sx + ECx) - 0,3 * (-Sy - ECy)	1,00
041	Sisma allo SLU: +1,00*Carico Permanente +1,00*Permanenti NON Strutturali +0,30*Abitazioni +0,60*Autorimessa <= 30kN + (Sx + ECx) + 0,3 * (-Sy - ECy)	1,00
042	Sisma allo SLU: +1,00*Carico Permanente +1,00*Permanenti NON Strutturali +0,30*Abitazioni +0,60*Autorimessa <= 30kN + (Sx + ECx) - 0,3 * (-Sy - ECy)	1,00
043	Sisma allo SLU: +1,00*Carico Permanente +1,00*Permanenti NON Strutturali +0,30*Abitazioni +0,60*Autorimessa <= 30kN + (-Sx + ECx) + 0,3 * (Sy + ECy)	1,00
044	Sisma allo SLU: +1,00*Carico Permanente +1,00*Permanenti NON Strutturali +0,30*Abitazioni +0,60*Autorimessa <= 30kN + (-Sx + ECx) - 0,3 * (Sy + ECy)	1,00
045	Sisma allo SLU: +1,00*Carico Permanente +1,00*Permanenti NON Strutturali +0,30*Abitazioni +0,60*Autorimessa <= 30kN + (-Sx + ECx) + 0,3 * (Sy - ECy)	1,00
046	Sisma allo SLU: +1,00*Carico Permanente +1,00*Permanenti NON Strutturali +0,30*Abitazioni +0,60*Autorimessa <= 30kN + (-Sx + ECx) - 0,3 * (Sy - ECy)	1,00
047	Sisma allo SLU: +1,00*Carico Permanente +1,00*Permanenti NON Strutturali +0,30*Abitazioni +0,60*Autorimessa <= 30kN + (-Sx + ECx) + 0,3 * (-Sy + ECy)	1,00
048	Sisma allo SLU: +1,00*Carico Permanente +1,00*Permanenti NON Strutturali +0,30*Abitazioni +0,60*Autorimessa <= 30kN + (-Sx + ECx) - 0,3 * (-Sy + ECy)	1,00
049	Sisma allo SLU: +1,00*Carico Permanente +1,00*Permanenti NON Strutturali +0,30*Abitazioni +0,60*Autorimessa <= 30kN + (-Sx + ECx) + 0,3 * (-Sy - ECy)	1,00
050	Sisma allo SLU: +1,00*Carico Permanente +1,00*Permanenti NON Strutturali +0,30*Abitazioni +0,60*Autorimessa <= 30kN + (-Sx + ECx) - 0,3 * (-Sy - ECy)	1,00
051	Sisma allo SLU: +1,00*Carico Permanente +1,00*Permanenti NON Strutturali +0,30*Abitazioni +0,60*Autorimessa <= 30kN + (Sx - ECx) + 0,3 * (Sy + ECy)	1,00
052	Sisma allo SLU: +1,00*Carico Permanente +1,00*Permanenti NON Strutturali +0,30*Abitazioni +0,60*Autorimessa <= 30kN + (Sx - ECx) - 0,3 * (Sy + ECy)	1,00
053	Sisma allo SLU: +1,00*Carico Permanente +1,00*Permanenti NON Strutturali +0,30*Abitazioni +0,60*Autorimessa <= 30kN + (Sx - ECx) + 0,3 * (Sy - ECy)	1,00
054	Sisma allo SLU: +1,00*Carico Permanente +1,00*Permanenti NON Strutturali +0,30*Abitazioni +0,60*Autorimessa <= 30kN + (Sx - ECx) - 0,3 * (Sy - ECy)	1,00
055	Sisma allo SLU: +1,00*Carico Permanente +1,00*Permanenti NON Strutturali +0,30*Abitazioni +0,60*Autorimessa <= 30kN + (Sx - ECx) + 0,3 * (-Sy + ECy)	1,00
056	Sisma allo SLU: +1,00*Carico Permanente +1,00*Permanenti NON Strutturali +0,30*Abitazioni +0,60*Autorimessa <= 30kN + (Sx - ECx) - 0,3 * (-Sy + ECy)	1,00
057	Sisma allo SLU: +1,00*Carico Permanente +1,00*Permanenti NON Strutturali +0,30*Abitazioni +0,60*Autorimessa <= 30kN + (Sx - ECx) + 0,3 * (-Sy - ECy)	1,00
058	Sisma allo SLU: +1,00*Carico Permanente +1,00*Permanenti NON Strutturali +0,30*Abitazioni +0,60*Autorimessa <= 30kN + (Sx - ECx) - 0,3 * (-Sy - ECy)	1,00
059	Sisma allo SLU: +1,00*Carico Permanente +1,00*Permanenti NON Strutturali +0,30*Abitazioni +0,60*Autorimessa <= 30kN + (-Sx - ECx) + 0,3 * (Sy + ECy)	1,00
060	Sisma allo SLU: +1,00*Carico Permanente +1,00*Permanenti NON Strutturali +0,30*Abitazioni +0,60*Autorimessa <= 30kN + (-Sx - ECx) - 0,3 * (Sy + ECy)	1,00
061	Sisma allo SLU: +1,00*Carico Permanente +1,00*Permanenti NON Strutturali +0,30*Abitazioni +0,60*Autorimessa <= 30kN + (-Sx - ECx) + 0,3 * (Sy - ECy)	1,00
062	Sisma allo SLU: +1,00*Carico Permanente +1,00*Permanenti NON Strutturali +0,30*Abitazioni +0,60*Autorimessa <= 30kN + (-Sx - ECx) - 0,3 * (Sy - ECy)	1,00
063	Sisma allo SLU: +1,00*Carico Permanente +1,00*Permanenti NON Strutturali +0,30*Abitazioni +0,60*Autorimessa <= 30kN + (-Sx - ECx) + 0,3 * (-Sy + ECy)	1,00
064	Sisma allo SLU: +1,00*Carico Permanente +1,00*Permanenti NON Strutturali +0,30*Abitazioni +0,60*Autorimessa <= 30kN + (-Sx - ECx) - 0,3 * (-Sy + ECy)	1,00
065	Sisma allo SLU: +1,00*Carico Permanente +1,00*Permanenti NON Strutturali +0,30*Abitazioni +0,60*Autorimessa <= 30kN + (-Sx - ECx) + 0,3 * (-Sy - ECy)	1,00
066	Sisma allo SLU: +1,00*Carico Permanente +1,00*Permanenti NON Strutturali +0,30*Abitazioni +0,60*Autorimessa <= 30kN + (-Sx - ECx) - 0,3 * (-Sy - ECy)	1,00
067	Sisma allo SLU: +1,00*Carico Permanente +1,00*Permanenti NON Strutturali +0,30*Abitazioni +0,60*Autorimessa <= 30kN + (Sy + ECy) + 0,3 * (Sx + ECx)	1,00
068	Sisma allo SLU: +1,00*Carico Permanente +1,00*Permanenti NON Strutturali +0,30*Abitazioni +0,60*Autorimessa <= 30kN + (Sy + ECy) - 0,3 * (Sx + ECx)	1,00

SASSARI EOLICA S.R.L.	PARCO EOLICO DI "SASSARI"	 Ingegneria & Innovazione		
		26/05/2023	REV: 1	Pag.35

RELAZIONE DI CALCOLO PREDIMENSIONAMENTO DELLE FONDAZIONI WTG

Combinazioni di carico per geotecnica (Scorrimento)		
PCMB	Comb	λ
069	Sisma allo SLU: +1,00*Carico Permanente +1,00*Permanenti NON Strutturali +0,30*Abitazioni +0,60*Autorimessa <= 30kN + (Sy + ECy) + 0,3 * (Sx - ECx)	1,00
070	Sisma allo SLU: +1,00*Carico Permanente +1,00*Permanenti NON Strutturali +0,30*Abitazioni +0,60*Autorimessa <= 30kN + (Sy + ECy) - 0,3 * (Sx - ECx)	1,00
071	Sisma allo SLU: +1,00*Carico Permanente +1,00*Permanenti NON Strutturali +0,30*Abitazioni +0,60*Autorimessa <= 30kN + (Sy + ECy) + 0,3 * (-Sx + ECx)	1,00
072	Sisma allo SLU: +1,00*Carico Permanente +1,00*Permanenti NON Strutturali +0,30*Abitazioni +0,60*Autorimessa <= 30kN + (Sy + ECy) - 0,3 * (-Sx + ECx)	1,00
073	Sisma allo SLU: +1,00*Carico Permanente +1,00*Permanenti NON Strutturali +0,30*Abitazioni +0,60*Autorimessa <= 30kN + (Sy + ECy) + 0,3 * (-Sx - ECx)	1,00
074	Sisma allo SLU: +1,00*Carico Permanente +1,00*Permanenti NON Strutturali +0,30*Abitazioni +0,60*Autorimessa <= 30kN + (Sy + ECy) - 0,3 * (-Sx - ECx)	1,00
075	Sisma allo SLU: +1,00*Carico Permanente +1,00*Permanenti NON Strutturali +0,30*Abitazioni +0,60*Autorimessa <= 30kN + (-Sy + ECy) + 0,3 * (Sx + ECx)	1,00
076	Sisma allo SLU: +1,00*Carico Permanente +1,00*Permanenti NON Strutturali +0,30*Abitazioni +0,60*Autorimessa <= 30kN + (-Sy + ECy) - 0,3 * (Sx + ECx)	1,00
077	Sisma allo SLU: +1,00*Carico Permanente +1,00*Permanenti NON Strutturali +0,30*Abitazioni +0,60*Autorimessa <= 30kN + (-Sy + ECy) + 0,3 * (Sx - ECx)	1,00
078	Sisma allo SLU: +1,00*Carico Permanente +1,00*Permanenti NON Strutturali +0,30*Abitazioni +0,60*Autorimessa <= 30kN + (-Sy + ECy) - 0,3 * (Sx - ECx)	1,00
079	Sisma allo SLU: +1,00*Carico Permanente +1,00*Permanenti NON Strutturali +0,30*Abitazioni +0,60*Autorimessa <= 30kN + (-Sy + ECy) + 0,3 * (-Sx + ECx)	1,00
080	Sisma allo SLU: +1,00*Carico Permanente +1,00*Permanenti NON Strutturali +0,30*Abitazioni +0,60*Autorimessa <= 30kN + (-Sy + ECy) - 0,3 * (-Sx + ECx)	1,00
081	Sisma allo SLU: +1,00*Carico Permanente +1,00*Permanenti NON Strutturali +0,30*Abitazioni +0,60*Autorimessa <= 30kN + (-Sy + ECy) + 0,3 * (-Sx - ECx)	1,00
082	Sisma allo SLU: +1,00*Carico Permanente +1,00*Permanenti NON Strutturali +0,30*Abitazioni +0,60*Autorimessa <= 30kN + (-Sy + ECy) - 0,3 * (-Sx - ECx)	1,00
083	Sisma allo SLU: +1,00*Carico Permanente +1,00*Permanenti NON Strutturali +0,30*Abitazioni +0,60*Autorimessa <= 30kN + (Sy - ECy) + 0,3 * (Sx + ECx)	1,00
084	Sisma allo SLU: +1,00*Carico Permanente +1,00*Permanenti NON Strutturali +0,30*Abitazioni +0,60*Autorimessa <= 30kN + (Sy - ECy) - 0,3 * (Sx + ECx)	1,00
085	Sisma allo SLU: +1,00*Carico Permanente +1,00*Permanenti NON Strutturali +0,30*Abitazioni +0,60*Autorimessa <= 30kN + (Sy - ECy) + 0,3 * (Sx - ECx)	1,00
086	Sisma allo SLU: +1,00*Carico Permanente +1,00*Permanenti NON Strutturali +0,30*Abitazioni +0,60*Autorimessa <= 30kN + (Sy - ECy) - 0,3 * (Sx - ECx)	1,00
087	Sisma allo SLU: +1,00*Carico Permanente +1,00*Permanenti NON Strutturali +0,30*Abitazioni +0,60*Autorimessa <= 30kN + (Sy - ECy) + 0,3 * (-Sx + ECx)	1,00
088	Sisma allo SLU: +1,00*Carico Permanente +1,00*Permanenti NON Strutturali +0,30*Abitazioni +0,60*Autorimessa <= 30kN + (Sy - ECy) - 0,3 * (-Sx + ECx)	1,00
089	Sisma allo SLU: +1,00*Carico Permanente +1,00*Permanenti NON Strutturali +0,30*Abitazioni +0,60*Autorimessa <= 30kN + (Sy - ECy) + 0,3 * (-Sx - ECx)	1,00
090	Sisma allo SLU: +1,00*Carico Permanente +1,00*Permanenti NON Strutturali +0,30*Abitazioni +0,60*Autorimessa <= 30kN + (Sy - ECy) - 0,3 * (-Sx - ECx)	1,00
091	Sisma allo SLU: +1,00*Carico Permanente +1,00*Permanenti NON Strutturali +0,30*Abitazioni +0,60*Autorimessa <= 30kN + (-Sy - ECy) + 0,3 * (Sx + ECx)	1,00
092	Sisma allo SLU: +1,00*Carico Permanente +1,00*Permanenti NON Strutturali +0,30*Abitazioni +0,60*Autorimessa <= 30kN + (-Sy - ECy) - 0,3 * (Sx + ECx)	1,00
093	Sisma allo SLU: +1,00*Carico Permanente +1,00*Permanenti NON Strutturali +0,30*Abitazioni +0,60*Autorimessa <= 30kN + (-Sy - ECy) + 0,3 * (Sx - ECx)	1,00
094	Sisma allo SLU: +1,00*Carico Permanente +1,00*Permanenti NON Strutturali +0,30*Abitazioni +0,60*Autorimessa <= 30kN + (-Sy - ECy) - 0,3 * (Sx - ECx)	1,00
095	Sisma allo SLU: +1,00*Carico Permanente +1,00*Permanenti NON Strutturali +0,30*Abitazioni +0,60*Autorimessa <= 30kN + (-Sy - ECy) + 0,3 * (-Sx + ECx)	1,00
096	Sisma allo SLU: +1,00*Carico Permanente +1,00*Permanenti NON Strutturali +0,30*Abitazioni +0,60*Autorimessa <= 30kN + (-Sy - ECy) - 0,3 * (-Sx + ECx)	1,00
097	Sisma allo SLU: +1,00*Carico Permanente +1,00*Permanenti NON Strutturali +0,30*Abitazioni +0,60*Autorimessa <= 30kN + (-Sy - ECy) + 0,3 * (-Sx - ECx)	1,00
098	Sisma allo SLU: +1,00*Carico Permanente +1,00*Permanenti NON Strutturali +0,30*Abitazioni +0,60*Autorimessa <= 30kN + (-Sy - ECy) - 0,3 * (-Sx - ECx)	1,00

LEGENDA:

PCMB Numero identificativo della Combinazione di Carico.

Comb Descrizione della Combinazione di Carico.


λ Moltiplicatore delle azioni orizzontali ($\lambda=1$ se tutte le azioni applicate sono in equilibrio con la reazione del terreno; $\lambda<1$ se la reazione del terreno è in grado di equilibrare solo un'aliquota delle azioni esterne).

DATI GENERALI ANALISI SISMICA

Il presente documento è di proprietà della ANTEX GROUP srl.
È vietato la comunicazione a terzi o la riproduzione senza il permesso scritto della suddetta.
La società tutela i propri diritti a rigore di Legge.

Comm.: C21-002-S05



SASSARI EOLICA S.R.L.	PARCO EOLICO DI "SASSARI"	 Ingegneria & Innovazione		
		26/05/2023	REV: 1	Pag.36

RELAZIONE DI CALCOLO PREDIMENSIONAMENTO DELLE FONDAZIONI WTG

Dati generali analisi sismica

Ang	NV	CD	MP	Dir	TS	EcA	Ir _{tmp}	C.S.T.	RP	RH	ξ
[°]											[%]
0	-	B	ca	X Y	[PI] [PI]	N	N	B	NO	SI	5

LEGENDA:

Ang	Direzione di una componente dell'azione sismica rispetto all'asse X (sistema di riferimento globale); la seconda componente dell'azione sismica e' assunta con direzione ruotata di 90 gradi rispetto alla prima.
NV	Nel caso di analisi dinamica, indica il numero di modi di vibrazione considerati.
CD	Classe di duttilità: [A] = Alta - [B] = Media - [ND] = Non Dissipativa - [-] = Nessuna.
MP	Tipo di struttura sismo-resistente prevalente: [ca] = calcestruzzo armato - [caOld] = calcestruzzo armato esistente - [muOld] = muratura esistente - [muNew] = muratura nuova - [muArm] = muratura armata - [ac] = acciaio.
Dir	Direzione del sisma.
TS	Tipologia della struttura: Cemento armato: [T 1C] = Telai ad una sola campata - [T+C] = Telai a più campate - [P] = Pareti accoppiate o miste equivalenti a pareti- [2P NC] = Due pareti per direzione non accoppiate - [P NC] = Pareti non accoppiate - [DT] = Deformabili torsionalmente - [PI] = Pendolo inverso - [PM] = Pendolo inverso intelaiate monopiano; Muratura: [P] = un solo piano - [PP] = più di un piano - [C-P/MP] = muratura in pietra e/o mattoni pieni - [C-BAS] = muratura in blocchi artificiali con percentuale di foratura > 15%; Acciaio: [T 1C] = Telai ad una sola campata - [T+C] = Telai a più campate - [CT] = controventi concentrici diagonale tesa - [CV] = controventi concentrici a V - [M] = mensola o pendolo inverso - [TT] = telaio con tamponature.
EcA	Eccentricità accidentale: [S] = considerata come condizione di carico statica aggiuntiva - [N] = Considerata come incremento delle sollecitazioni.
Ir_{tmp}	Per piani con distribuzione dei tamponamenti in pianta fortemente irregolare, l'eccentricità accidentale è stata incrementata di un fattore pari a 2: [SI] = Distribuzione tamponamenti irregolare fortemente - [NO] = Distribuzione tamponamenti regolare.
C.S.T.	Categoria di sottosuolo: [A] = Ammassi rocciosi affioranti o terreni molto rigidi - [B] = Rocce tenere e depositi di terreni a grana grossa molto addensati o terreni a grana fina molto consistenti - [C] = Depositati di terreni a grana grossa mediamente addensati o terreni a grana fina mediamente consistenti - [D] = Depositati di terreni a grana grossa scarsamente addensati o di terreni a grana fina scarsamente consistenti - [E] = Terreni con caratteristiche e valori di velocità equivalente riconducibili a quelle definite per le categorie C o D.
RP	Regolarità in pianta: [SI] = Struttura regolare - [NO] = Struttura non regolare.
RH	Regolarità in altezza: [SI] = Struttura regolare - [NO] = Struttura non regolare.
ξ	Coefficiente viscoso equivalente.
NOTE	[-] = Parametro non significativo per il tipo di calcolo effettuato.

FATTORI DI COMPORTAMENTO

Fattori di comportamento

Dir	q'	q	q ₀	K _R	α _u /α ₁	k _w
X	-	1,500	1,50	1,00	1,00	-
Y	-	1,500	1,50	1,00	1,00	-
Z	-	1,500	-	-	-	-

LEGENDA:

q'	Fattore di riduzione dello spettro di risposta sismico allo SLU ridotto (Fattore di comportamento ridotto - relazione C7.3.1 circolare NTC)
q	Fattore di riduzione dello spettro di risposta sismico allo SLU (Fattore di comportamento).
q₀	Valore di base (comprensivo di k _w).
K_R	Fattore riduttivo funzione della regolarità in altezza : pari ad 1 per costruzioni regolari in altezza, 0,8 per costruzioni non regolari in altezza, e 0,75 per costruzioni in muratura esistenti non regolari in altezza (§ C8.5.5.1)..
α_u/α₁	Rapporto di sovrarigidità.
k_w	Fattore di riduzione di q ₀ .

PARAMETRI PER LA DEFINIZIONE DELL'AZIONE SISMICA

Parametri per la definizione dell'azione sismica

Stato Limite	T _r	a _g /g	Amplif. Stratigrafica S _s	Amplif. Stratigrafica C _c	F ₀	T _c [*]	T _B	T _C	T _D
	[t]					[s]	[s]	[s]	[s]
SLO	30	0,0186	1,200	1,426	2,610	0,273	0,130	0,389	1,674
SLD	35	0,0200	1,200	1,419	2,628	0,280	0,132	0,397	1,680
SLV	332	0,0452	1,200	1,371	2,855	0,332	0,152	0,456	1,781
SLC	682	0,0549	1,200	1,353	2,930	0,356	0,160	0,481	1,820


LEGENDA:

T_r	Periodo di ritorno dell'azione sismica. [t] = anni.
a_g/g	Coefficiente di accelerazione al suolo.
S_s	Coefficienti di Amplificazione Stratigrafica allo SLO/SLD/SLV/SLC.
C_c	Coefficienti di Amplificazione di T _c allo SLO/SLD/SLV/SLC.
F₀	Valore massimo del fattore di amplificazione dello spettro in accelerazione orizzontale.
T_c[*]	Periodo di inizio del tratto a velocità costante dello spettro in accelerazione orizzontale.
T_B	Periodo di inizio del tratto accelerazione costante dello spettro di progetto.
T_C	Periodo di inizio del tratto a velocità costante dello spettro di progetto.

Il presente documento è di proprietà della ANTEX GROUP srl.
È vietato la comunicazione a terzi o la riproduzione senza il permesso scritto della suddetta.
La società tutela i propri diritti a rigore di Legge.

Comm.: C21-002-S05



SASSARI EOLICA S.R.L.	PARCO EOLICO DI "SASSARI"	 Ingegneria & Innovazione		
		26/05/2023	REV: 1	Pag.37

RELAZIONE DI CALCOLO PREDIMENSIONAMENTO DELLE FONDAZIONI WTG

Parametri per la definizione dell'azione sismica

Stato Limite	T _r	a _g /g	Amplif. Stratigrafica	F ₀	T _c	T _B	T _C	T _D
	[t]		S _s C _c		[s]	[s]	[s]	[s]

T_D Periodo di inizio del tratto a spostamento costante dello spettro di progetto.

DATI DEL SITO E DELL'OPERA

CI Ed	V _N	V _R	Lat.	Long.	Q _g	CTop	S _T
	[t]	[t]	[°ssdc]	[°ssdc]	[m]		
1	50	35	40.785753	8.368545	47	T1	1,00

LEGENDA:

- CI Ed** Classe dell'edificio
V_N Vita nominale ([t] = anni).
V_R Periodo di riferimento. [t] = anni.
Lat. Latitudine geografica del sito.
Long. Longitudine geografica del sito.
Q_g Altitudine geografica del sito.
CTop Categoria topografica (Vedi NOTE).
S_T Coefficiente di amplificazione topografica.
NOTE [-] = Parametro non significativo per il tipo di calcolo effettuato.
 Categoria topografica.
 T1: Superficie pianeggiante, pendii e rilievi isolati con inclinazione media $i \leq 15^\circ$.
 T2: Pendii con inclinazione media $i > 15^\circ$.
 T3: Rilievi con larghezza in cresta molto minore che alla base e inclinazione media $15^\circ \leq i \leq 30^\circ$.
 T4: Rilievi con larghezza in cresta molto minore che alla base e inclinazione media $i > 30^\circ$.

PRINCIPALI ELEMENTI ANALISI SISMICA

Dir	M _{Str}	M _{SLU}	M _{Ecc,SLU}	M _{SLD}	M _{Ecc,SLD}	%T.M _{Ecc}	ΣV _{Ed,SLU}
	[N-s/m]	[N-s/m]	[N-s/m]	[N-s/m]	[N-s/m]	[%]	[N]
X	6.471.454	104	0	104	0	0,00	93
Y	6.471.454	104	0	104	0	0,00	93
Z	6.471.454	0	0	0	0	0,00	0

LEGENDA:

- Dir** Direzione del sisma.
M_{Str} Massa complessiva della struttura.
M_{SLU} Massa eccitabile allo SLU.
M_{Ecc,SLU} Massa Eccitata dal sisma allo SLU.
M_{SLD} Massa eccitabile della struttura allo SLD, nelle direzioni X, Y, Z.
M_{Ecc,SLD} Massa Eccitata dal sisma allo SLD.
%T.M_{Ecc} Percentuale Totale di Masse Eccitate dal sisma.
ΣV_{Ed,SLU} Tagliante totale, alla base, per sisma allo SLU.


PLATEE

Lv	N _{id}	Sp	A _{El}	M _{trl}	Id _{Ter}	Clc Fnd	C _{rid,v}	C _{rid,h}
		[m]	[m ²]					
Fondazione	1	4,00	533,84	002	T001	SI	0,256	1,000
SHELL								
[00537-00162-00163]	[00880-00851-00879]	[00059-00060-00992]	[00309-00151-00152]	[00059-01021-00058]	[00908-00879-00181]			
[00059-00992-01021]	[00060-00964-00992]	[00057-01049-00056]	[00309-00150-00151]	[00057-01021-01049]	[00057-00058-01021]			
[00060-00061-00964]	[00826-00797-00825]	[00064-00065-00878]	[00195-00193-00145]	[00064-00878-00907]	[00195-00145-00146]			
[00061-00062-00935]	[00061-00935-00964]	[00062-00907-00935]	[00082-00536-00081]	[00853-00852-00881]	[00822-00176-00177]			
[00085-00086-00451]	[00085-00451-00479]	[00338-00153-00366]	[00252-00148-00149]	[00486-00457-00485]	[00084-00479-00508]			
[00252-00147-00148]	[00085-00479-00084]	[00054-01106-00053]	[00054-01078-01106]	[00082-00508-00536]	[00194-00190-00006]			
[00083-00084-00508]	[00718-00717-00746]	[00880-00879-00908]	[00083-00508-00082]	[00708-00171-00172]	[00737-00173-00765]			
[00053-01106-00191]	[00069-00793-00068]	[00076-00077-00650]	[00076-00679-00075]	[00076-00650-00679]	[00594-00164-00165]			
[00069-00070-00793]	[00794-00765-00175]	[00072-00736-00071]	[00072-00073-00736]	[00073-00707-00736]	[00070-00764-00793]			
[00540-00511-00539]	[00070-00071-00764]	[00071-00736-00764]	[00077-00622-00650]	[00651-00167-00168]	[00143-00144-00195]			
[00881-00880-00909]	[00068-00793-00821]	[00077-00078-00622]	[00395-00156-00423]	[00056-01049-01078]	[00074-00679-00707]			
[01079-01050-00189]	[00074-00707-00073]	[00509-00480-00161]	[00005-00191-00052]	[00063-00907-00062]	[00425-00396-00424]			
[00065-00850-00878]	[00067-00850-00066]	[00080-00565-00593]	[00651-00168-00169]	[00737-00172-00173]	[00680-00170-00708]			
[00081-00536-00565]	[00480-00159-00160]	[01051-01050-01079]	[00054-00055-01078]	[00680-00651-00169]	[00851-00179-00879]			
[00193-00003-00145]	[00094-00280-00308]	[00623-00594-00166]	[00594-00165-00166]	[00881-00852-00880]	[00224-00195-00146]			
[01079-00190-00194]	[00366-00153-00154]	[00395-00155-00156]	[00366-00154-00155]	[00936-00182-00183]	[00226-00197-00225]			
[00142-00143-00196]	[00092-00337-00091]	[01050-00188-00189]	[01050-00187-00188]	[00680-00169-00170]	[00993-00184-00185]			

Il presente documento è di proprietà della ANTEX GROUP srl.
 È vietato la comunicazione a terzi o la riproduzione senza il permesso scritto della suddetta.
 La società tutela i propri diritti a rigore di Legge.

Comm.: C21-002-S05



SASSARI EOLICA S.R.L.	PARCO EOLICO DI "SASSARI"	 Ingegneria & Innovazione		
		26/05/2023	REV: 1	Pag.38


RELAZIONE DI CALCOLO PREDIMENSIONAMENTO DELLE
FONDAZIONI WTG

								Platee
Lv	N _{id}	Sp [m]	A _{El} [m ²]	Mtrl	Id _{Ter}	Clc Fnd	C _{rid,v}	C _{rid,h}
[00993-00185-00186]	[01022-00993-00186]	[00423-00156-00157]	[00224-00146-00147]	[00144-00193-00195]	[00144-00003-00193]			
[00566-00164-00594]	[01051-01022-01050]	[00566-00537-00163]	[00822-00177-00178]	[00281-00252-00149]	[00423-00157-00158]			
[00281-00149-00150]	[00765-00173-00174]	[01022-00186-00187]	[00765-00174-00175]	[00623-00166-00167]	[00853-00824-00852]			
[00090-00365-00394]	[00879-00180-00181]	[00480-00160-00161]	[00794-00176-00822]	[00851-00178-00179]	[00007-00194-00006]			
[00879-00179-00180]	[00708-00170-00171]	[01079-00189-00190]	[01022-00187-01050]	[00965-00936-00183]	[00965-00184-00993]			
[00965-00183-00184]	[00794-00175-00176]	[00509-00161-00162]	[00509-00162-00537]	[00090-00091-00365]	[00452-00159-00480]			
[00452-00423-00158]	[00452-00158-00159]	[00008-01079-00007]	[00224-00147-00252]	[00566-00163-00164]	[00823-00822-00851]			
[00338-00309-00152]	[00737-00708-00172]	[00884-00855-00883]	[00281-00150-00309]	[00908-00182-00936]	[00823-00794-00822]			
[00090-00394-00089]	[00908-00181-00182]	[00338-00152-00153]	[00624-00623-00652]	[00395-00366-00155]	[00226-00225-00254]			
[00091-00337-00365]	[01079-00194-00007]	[00738-00737-00766]	[00624-00595-00623]	[00140-00141-00197]	[00623-00167-00651]			
[00966-00937-00965]	[00851-00822-00178]	[00738-00709-00737]	[00510-00509-00538]	[00994-00993-01022]	[00994-00965-00993]			
[00424-00423-00452]	[00424-00395-00423]	[00098-00192-00223]	[00369-00368-00397]	[00010-01080-00009]	[00367-00338-00366]			
[00367-00366-00395]	[00369-00340-00368]	[00310-00281-00309]	[00310-00309-00338]	[00481-00480-00509]	[00481-00452-00480]			
[00004-00099-00192]	[00681-00680-00709]	[00595-00594-00623]	[00595-00566-00594]	[00652-00651-00680]	[00652-00623-00651]			
[00709-00708-00737]	[00709-00680-00708]	[00910-00909-00938]	[00766-00765-00794]	[00766-00737-00765]	[00538-00509-00537]			
[00538-00537-00566]	[00253-00224-00252]	[00253-00252-00281]	[00937-00936-00965]	[00937-00908-00936]	[00196-00195-00224]			
[00196-00143-00195]	[00510-00481-00509]	[00910-00881-00909]	[00425-00424-00453]	[00012-01081-00011]	[00681-00652-00680]			
[00225-00224-00253]	[00225-00196-00224]	[00597-00596-00625]	[00795-00794-00823]	[00795-00766-00794]	[00568-00539-00567]			
[00482-00453-00481]	[00568-00567-00596]	[00909-00908-00937]	[00567-00538-00566]	[00567-00566-00595]	[00282-00281-00310]			
[00282-00253-00281]	[00197-00141-00142]	[01023-01022-01051]	[01023-00994-01022]	[00453-00452-00481]	[00852-00851-00880]			
[00482-00481-00510]	[00453-00424-00452]	[01052-01051-01080]	[01080-00008-00009]	[00852-00823-00851]	[01080-01051-01079]			
[01080-01079-00008]	[00767-00738-00766]	[00909-00880-00908]	[00339-00338-00367]	[00339-00310-00338]	[00396-00395-00424]			
[00396-00367-00395]	[00966-00965-00994]	[00824-00823-00852]	[00596-00567-00595]	[00254-00253-00282]	[00539-00510-00538]			
[00596-00595-00624]	[00653-00624-00652]	[00653-00652-00681]	[00710-00681-00709]	[00710-00709-00738]	[00368-00339-00367]			
[00368-00367-00396]	[00311-00310-00339]	[00311-00282-00310]	[00539-00538-00567]	[00824-00795-00823]	[01052-01023-01051]			
[00254-00225-00253]	[00767-00766-00795]	[00095-00096-00280]	[00712-00683-00711]	[00197-00142-00196]	[00712-00711-00740]			
[00098-00223-00097]	[00597-00568-00596]	[00197-00196-00225]	[00884-00883-00912]	[00522-00493-00521]	[00995-00966-00994]			
[00397-00396-00425]	[00938-00909-00937]	[00938-00937-00966]	[01025-01024-01053]	[00995-00994-01023]	[01025-00996-01024]			
[00739-00710-00738]	[00739-00738-00767]	[00511-00482-00510]	[00454-00453-00482]	[00011-01081-00010]	[00314-00285-00313]			
[00283-00282-00311]	[00096-00251-00280]	[00283-00254-00282]	[00340-00339-00368]	[00340-00311-00339]	[00967-00966-00995]			
[00511-00510-00539]	[00711-00682-00710]	[00768-00767-00796]	[00967-00938-00966]	[01081-01052-01080]	[00940-00939-00968]			
[00454-00425-00453]	[00796-00795-00824]	[00796-00767-00795]	[01024-00995-01023]	[01024-01023-01052]	[01053-01052-01081]			
[01081-01080-00010]	[00882-00881-00910]	[00397-00368-00396]	[01053-01024-01052]	[00098-00004-00192]	[01082-01081-00012]			
[00228-00199-00227]	[00625-00596-00624]	[00625-00624-00653]	[00682-00653-00681]	[00682-00681-00710]	[01056-01055-01084]			
[00768-00739-00767]	[00341-00312-00340]	[00483-00454-00482]	[00483-00482-00511]	[00654-00625-00653]	[00654-00653-00682]			
[00540-00539-00568]	[00882-00853-00881]	[00825-00796-00824]	[00484-00455-00483]	[00426-00397-00425]	[00426-00425-00454]			
[00825-00824-00853]	[00255-00226-00254]	[00939-00938-00967]	[00939-00910-00938]	[00996-00967-00995]	[00996-00995-01024]			
[00198-00197-00226]	[00198-00140-00197]	[00711-00710-00739]	[00341-00340-00369]	[01054-01025-01053]	[00854-00853-00882]			
[00255-00254-00283]	[00911-00882-00910]	[01082-01053-01081]	[00911-00910-00939]	[00969-00968-00997]	[00312-00283-00311]			
[00312-00311-00340]	[00484-00483-00512]	[00284-00255-00283]	[00087-00422-00451]	[00139-00140-00198]	[00797-00796-00825]			
[00088-00394-00422]	[00087-00088-00422]	[00094-00095-00280]	[00284-00283-00312]	[00398-00369-00397]	[00398-00397-00426]			
[00314-00313-00342]	[00969-00940-00968]	[00227-00198-00226]	[00854-00825-00853]	[00940-00911-00939]	[00826-00825-00854]			
[00227-00226-00255]	[00776-00747-00775]	[00883-00882-00911]	[00883-00854-00882]	[00740-00711-00739]	[00740-00739-00768]			
[00797-00768-00796]	[00571-00570-00599]	[00512-00483-00511]	[00512-00511-00540]	[00683-00682-00711]	[00455-00454-00483]			
[00455-00426-00454]	[00968-00939-00967]	[00968-00967-00996]	[00626-00625-00654]	[00626-00597-00625]	[00013-01082-00012]			
[00683-00654-00682]	[00569-00568-00597]	[00569-00540-00568]	[00770-00741-00769]	[00286-00257-00285]	[01083-01054-01082]			
[00136-00137-00200]	[00598-00569-00597]	[01054-01053-01082]	[00541-00540-00569]	[01083-00013-00014]	[00570-00541-00569]			
[00256-00227-00255]	[00313-00284-00312]	[00313-00312-00341]	[00655-00626-00654]	[00655-00654-00683]	[00256-00255-00284]			
[00912-00911-00940]	[00856-00827-00855]	[00399-00370-00398]	[00912-00883-00911]	[00598-00597-00626]	[00427-00398-00426]			
[00427-00426-00455]	[00370-00341-00369]	[00199-00198-00227]	[00199-00139-00198]	[00199-00138-00199]	[00370-00369-00398]			
[00685-00656-00684]	[00856-00855-00884]	[00228-00227-00256]	[00399-00398-00427]	[00137-00136-00199]	[00769-00740-00768]			
[00769-00768-00797]	[00997-00996-01025]	[00997-00968-00996]	[00541-00512-00540]	[00093-00308-00337]	[00230-00201-00229]			
[00093-00337-00092]	[00456-00427-00455]	[00456-00455-00484]	[01026-00997-01025]	[00627-00598-00626]	[00684-00655-00683]			
[00342-00341-00370]	[00285-00256-00284]	[00855-00826-00854]	[00342-00313-00341]	[00855-00854-00883]	[00627-00626-00655]			
[00798-00797-00826]	[00798-00769-00797]	[01083-01082-00013]	[00571-00542-00570]	[00570-00569-00598]	[01056-01027-01055]			
[00656-00655-00684]	[00770-00769-00798]	[00741-00712-00740]	[00741-00740-00769]	[00230-00229-00258]	[00684-00683-00712]			
[00285-00284-00313]	[00394-00393-00422]	[00656-00627-00655]	[00513-00484-00512]	[00513-00512-00541]	[00827-00826-00855]			
[01026-01025-01054]	[00257-00256-00285]	[00257-00228-00256]	[01085-01084-00017]	[00542-00541-00570]	[00542-00513-00541]			
[00599-00570-00598]	[00599-00598-00627]	[00827-00798-00826]	[00970-00941-00969]	[00947-00918-00946]	[01085-01056-01084]			
[00134-00135-00201]	[00551-00522-00550]	[01055-01054-01083]	[01055-01026-01054]	[00713-00712-00741]	[00713-00684-00712]			
[00942-00913-00941]	[00998-00997-01026]	[00998-00969-00997]	[00056-01078-00055]	[00015-01083-00014]	[00428-00427-00456]			
[00428-00399-00427]	[00485-00456-00484]	[00485-00484-00513]	[00200-00137-00199]	[00200-00199-00228]	[00371-00370-00399]			
[00371-00342-00370]	[00063-00064-00907]	[00942-00941-00970]	[00941-00912-00940]	[00941-00940-00969]	[00201-00135-00200]			
[00685-00684-00713]	[01087-01086-00020]	[00628-00627-00656]	[00964-00935-00963]	[01027-00998-01026]	[01027-01026-01055]			
[00913-00912-00941]	[00913-00884-00912]	[00229-00200-00228]	[00286-00285-00314]	[00514-00513-00542]	[00514-00485-00513]			
[01089-01060-01088]	[00628-00599-00627]	[00135-00136-00200]	[00016-01084-00015]	[00970-00969-00998]	[00486-00485-00514]			
[00771-00770-00799]	[00799-00770-00798]	[00343-00314-00342]	[00343-00342-00371]	[00229-00228-00257]	[00201-00200-00229]			
[00943-00914-00942]	[00742-00713-00741]	[00742-00741-00770]	[00799-00798-00827]	[00451-00422-00450]	[00451-00450-00479]			

Il presente documento è di proprietà della ANTEX GROUP srl.
È vietata la comunicazione a terzi o la riproduzione senza il permesso scritto della suddetta.
La società tutela i propri diritti a rigore di Legge.

Comm.: C21-002-S05



SASSARI EOLICA S.R.L.	PARCO EOLICO DI "SASSARI"	 Ingegneria & Innovazione		
		26/05/2023	REV: 1	Pag.39


RELAZIONE DI CALCOLO PREDIMENSIONAMENTO DELLE
FONDAZIONI WTG

								Platee
Lv	N _{id}	Sp	A _{El}	M _{trl}	Id _{Ter}	Clc Fnd	C _{rid,v}	C _{rid,h}
		[m]	[m ²]					
[00457-00428-00456]	[00457-00456-00485]		[00291-00262-00290]	[01084-01083-00015]	[01084-01055-01083]		[00400-00399-00428]	
[00400-00371-00399]	[00714-00713-00742]		[00315-00286-00314]	[00315-00314-00343]	[00771-00742-00770]		[00714-00685-00713]	
[00657-00656-00685]	[00657-00628-00656]		[00543-00514-00542]	[00543-00542-00571]	[00943-00942-00971]		[00773-00744-00772]	
[00828-00827-00856]	[00828-00799-00827]		[00999-00998-01027]	[00999-00970-00998]	[00885-00856-00884]		[00885-00884-00913]	
[00401-00400-00429]	[00458-00429-00457]		[00203-00132-00202]	[00372-00343-00371]	[00372-00371-00400]		[00258-00257-00286]	
[00258-00229-00257]	[00202-00133-00134]		[00600-00571-00599]	[00401-00372-00400]	[00202-00134-00201]		[00658-00657-00686]	
[00600-00599-00628]	[00429-00428-00457]		[00429-00400-00428]	[00773-00772-00801]	[00067-00821-00850]		[00971-00942-00970]	
[00017-01084-00016]	[00458-00457-00486]		[00572-00571-00600]	[00259-00258-00287]	[00572-00543-00571]		[00886-00885-00914]	
[00629-00600-00628]	[00515-00486-00514]		[00515-00514-00543]	[00857-00828-00856]	[00857-00856-00885]		[00658-00629-00657]	
[00018-01085-00017]	[00914-00913-00942]		[01028-00999-01027]	[00718-00689-00717]	[00829-00800-00828]		[00800-00799-00828]	
[00800-00771-00799]	[00430-00429-00458]		[00344-00343-00372]	[00971-00970-00999]	[01087-01058-01086]		[00743-00714-00742]	
[00743-00742-00771]	[01028-01027-01056]		[00344-00315-00343]	[00829-00828-00857]	[00686-00685-00714]		[00287-00286-00315]	
[00287-00258-00286]	[00544-00515-00543]		[00914-00885-00913]	[00202-00201-00230]	[00629-00628-00657]		[00686-00657-00685]	
[00191-01106-00052]	[01059-01058-01087]		[00886-00857-00885]	[00772-00743-00771]	[00430-00401-00429]		[00259-00230-00258]	
[00772-00771-00800]	[00487-00486-00515]		[00544-00543-00572]	[00280-00279-00308]	[00601-00572-00600]		[00601-00600-00629]	
[00573-00544-00572]	[01057-01028-01056]		[01057-01056-01085]	[00316-00315-00344]	[00316-00287-00315]		[00373-00344-00372]	
[00373-00372-00401]	[00715-00686-00714]		[00830-00829-00858]	[00487-00458-00486]	[01029-01000-01028]		[01000-00999-01028]	
[00715-00714-00743]	[00830-00801-00829]		[00831-00802-00830]	[00744-00743-00772]	[00744-00715-00743]		[00573-00572-00601]	
[01029-01028-01057]	[00288-00259-00287]		[01000-00971-00999]	[00288-00287-00316]	[00972-00943-00971]		[00972-00971-01000]	
[00260-00259-00288]	[01058-01057-01086]		[00687-00658-00686]	[00687-00686-00715]	[00374-00373-00402]		[00801-00800-00829]	
[00801-00772-00800]	[00345-00316-00344]		[00345-00344-00373]	[00260-00231-00259]	[00915-00886-00914]		[00459-00430-00458]	
[00915-00914-00943]	[00516-00515-00544]		[00130-00131-00203]	[00516-00487-00515]	[00630-00629-00658]		[00630-00601-00629]	
[00459-00458-00487]	[00231-00202-00230]		[00231-00230-00259]	[00019-01086-00018]	[00280-00251-00279]		[00859-00858-00887]	
[00203-00202-00231]	[00132-00133-00202]		[00223-00222-00251]	[00858-00829-00857]	[00858-00857-00886]		[00402-00373-00401]	
[00402-00401-00430]	[00131-00132-00203]		[00126-00127-00206]	[01086-01085-00018]	[01086-01057-01085]		[00374-00345-00373]	
[00545-00544-00573]	[00020-01086-00019]		[00488-00459-00487]	[00488-00487-00516]	[00223-00100-00222]		[00545-00516-00544]	
[00517-00516-00545]	[01001-00972-01000]		[01001-01000-01029]	[00659-00630-00658]	[00831-00830-00859]		[00889-00888-00917]	
[00716-00715-00744]	[00602-00573-00601]		[00602-00601-00630]	[00622-00621-00650]	[00859-00830-00858]		[00403-00402-00431]	
[00659-00658-00687]	[00776-00775-00804]		[01058-01029-01057]	[00431-00430-00459]	[00431-00402-00430]		[00518-00517-00546]	
[00517-00488-00516]	[00317-00316-00345]		[00317-00288-00316]	[00716-00687-00715]	[00887-00886-00915]		[00887-00858-00886]	
[01030-01029-01058]	[00944-00943-00972]		[00944-00915-00943]	[00067-00068-00821]	[00603-00602-00631]		[01030-01001-01029]	
[00232-00203-00231]	[00232-00231-00260]		[00916-00915-00944]	[00469-00468-00497]	[00204-00130-00203]		[00574-00545-00573]	
[00574-00573-00602]	[00603-00574-00602]		[01088-00021-00022]	[00631-00630-00659]	[00460-00459-00488]		[00460-00431-00459]	
[00403-00374-00402]	[00973-00944-00972]		[00973-00972-01001]	[00916-00887-00915]	[00745-00744-00773]		[00745-00716-00744]	
[00802-00801-00830]	[00802-00773-00801]		[00688-00659-00687]	[00688-00687-00716]	[00021-01087-00020]		[00289-00288-00317]	
[00289-00260-00288]	[00346-00345-00374]		[00346-00317-00345]	[00261-00260-00289]	[00261-00232-00260]		[00318-00317-00346]	
[00631-00602-00630]	[01059-01030-01058]		[01088-01087-00021]	[01031-01030-01059]	[00489-00488-00517]		[00489-00460-00488]	
[00964-00963-00992]	[00889-00860-00888]		[00774-00773-00802]	[00774-00745-00773]	[00432-00403-00431]		[01002-01001-01030]	
[01002-00973-01001]	[00204-00203-00232]		[00432-00431-00460]	[00375-00346-00374]	[00375-00374-00403]		[00717-00688-00716]	
[00717-00716-00745]	[00546-00545-00574]		[00546-00517-00545]	[01088-01059-01087]	[00746-00717-00745]		[00318-00289-00317]	
[00518-00489-00517]	[00508-00479-00507]		[00746-00745-00774]	[00660-00659-00688]	[00660-00631-00659]		[00945-00944-00973]	
[00945-00916-00944]	[00129-00130-00204]		[00508-00507-00536]	[00888-00859-00887]	[00888-00887-00916]		[00607-00578-00606]	
[00575-00574-00603]	[00896-00867-00895]		[00575-00546-00574]	[01062-01033-01061]	[00205-00128-00129]		[01060-01031-01059]	
[01031-01002-01030]	[00404-00403-00432]		[00404-00375-00403]	[00127-00128-00205]	[00917-00888-00916]		[00860-00831-00859]	
[00860-00859-00888]	[00290-00289-00318]		[00917-00916-00945]	[00689-00660-00688]	[00689-00688-00717]		[00290-00261-00289]	
[00803-00802-00831]	[00803-00774-00802]		[00023-01088-00022]	[00975-00974-01003]	[00632-00603-00631]		[00632-00631-00660]	
[00975-00946-00974]	[01060-01059-01088]		[00347-00346-00375]	[00347-00318-00346]	[00233-00232-00261]		[00233-00204-00232]	
[00337-00336-00365]	[00974-00973-01002]		[00974-00945-00973]	[00461-00460-00489]	[00461-00432-00460]		[00079-00080-00593]	
[01061-01032-01060]	[00376-00347-00375]		[01003-00974-01002]	[00725-00724-00753]	[00319-00318-00347]		[00319-00290-00318]	
[00205-00129-00204]	[00376-00375-00404]		[00775-00774-00803]	[00775-00746-00774]	[00262-00261-00290]		[00604-00603-00632]	
[00604-00575-00603]	[00547-00546-00575]		[00547-00518-00546]	[00433-00404-00432]	[00433-00432-00461]		[00979-00950-00978]	
[00490-00461-00489]	[01089-01088-00023]		[00262-00233-00261]	[00292-00291-00320]	[00490-00489-00518]		[00832-00831-00860]	
[00832-00803-00831]	[01003-01002-01031]		[00024-01089-00023]	[00946-00917-00945]	[00946-00945-00974]		[00661-00632-00660]	
[00690-00661-00689]	[00918-00889-00917]		[00661-00660-00689]	[00205-00204-00233]	[01061-01060-01089]		[00576-00575-00604]	
[00576-00547-00575]	[01063-01034-01062]		[00662-00661-00690]	[00633-00604-00632]	[00633-00632-00661]		[00337-00308-00336]	
[00462-00461-00490]	[00462-00433-00461]		[00747-00718-00746]	[00947-00946-00975]	[00918-00917-00946]		[00322-00321-00350]	
[00690-00689-00718]	[00804-00775-00803]		[00804-00803-00832]	[00662-00633-00661]	[00519-00490-00518]		[00207-00125-00126]	
[00519-00518-00547]	[00463-00434-00462]		[00747-00746-00775]	[01032-01031-01060]	[01032-01003-01031]		[00861-00832-00860]	
[00861-00860-00889]	[00320-00319-00348]		[00291-00290-00319]	[00719-00718-00747]	[00206-00127-00205]		[00348-00319-00347]	
[00348-00347-00376]	[00234-00233-00262]		[00234-00205-00233]	[00405-00404-00433]	[00405-00376-00404]		[00320-00291-00319]	
[00025-01089-00024]	[00605-00604-00633]		[00434-00405-00433]	[00719-00690-00718]	[00605-00576-00604]		[00833-00804-00832]	
[00833-00832-00861]	[01090-01089-00025]		[00434-00433-00462]	[00948-00919-00947]	[00919-00890-00918]		[00377-00348-00376]	
[00377-00376-00405]	[00577-00548-00576]		[00548-00547-00576]	[00548-00519-00547]	[01021-00992-01020]		[00948-00947-00976]	
[00206-00205-00234]	[00263-00262-00291]		[00263-00234-00262]	[00491-00490-00519]	[00491-00462-00490]		[00890-00861-00889]	
[00890-00889-00918]	[00779-00750-00778]		[01090-01061-01089]	[01004-00975-01003]	[01004-01003-01032]		[00207-00126-00206]	
[00292-00263-00291]	[00577-00576-00605]		[00919-00918-00947]	[00264-00263-00292]	[00634-00633-00662]		[00264-00235-00263]	
[00634-00605-00633]	[00207-00206-00235]		[00378-00377-00406]	[00406-00405-00434]	[00520-00519-00548]		[00520-00491-00519]	
[00863-00834-00862]	[00805-00804-00833]		[00862-00833-00861]	[00862-00861-00890]	[00805-00776-00804]		[00406-00377-00405]	

Il presente documento è di proprietà della ANTEX GROUP srl.
È vietata la comunicazione a terzi o la riproduzione senza il permesso scritto della suddetta.
La società tutela i propri diritti a rigore di Legge.

Comm.: C21-002-S05



SASSARI EOLICA S.R.L.	PARCO EOLICO DI "SASSARI"	 Ingegneria & Innovazione		
		26/05/2023	REV: 1	Pag.40


RELAZIONE DI CALCOLO PREDIMENSIONAMENTO DELLE
FONDAZIONI WTG

								Platee
Lv	N _{id}	Sp [m]	A _{El} [m ²]	M _{trl}	Id _{Ter}	Clc Fnd	C _{rid,v}	C _{rid,h}
[01021-01020-01049]	[00976-00947-00975]	[00976-00975-01004]	[00863-00862-00891]		[00026-01090-00025]		[00235-00206-00234]	
[00235-00234-00263]	[00097-00223-00251]	[00349-00348-00377]	[00349-00320-00348]		[00464-00435-00463]		[00522-00521-00550]	
[01091-00026-00027]	[00691-00690-00719]	[00779-00778-00807]	[01033-01032-01061]		[01033-01004-01032]		[00463-00462-00491]	
[00834-00805-00833]	[00748-00719-00747]	[00748-00747-00776]	[00691-00662-00690]		[00806-00777-00805]		[00492-00491-00520]	
[00492-00463-00491]	[00124-00125-00207]	[00321-00292-00320]	[00435-00434-00463]		[00435-00406-00434]		[00565-00536-00564]	
[01034-01005-01033]	[01062-01061-01090]	[00549-00520-00548]	[00549-00548-00577]		[00891-00862-00890]		[00891-00890-00919]	
[00321-00320-00349]	[00464-00463-00492]	[00030-01092-00029]	[00978-00977-01006]		[00606-00605-00634]		[00606-00577-00605]	
[00607-00606-00635]	[00123-00124-00208]	[00378-00349-00377]	[01091-01090-00026]		[00850-00821-00849]		[00834-00833-00862]	
[00777-00776-00805]	[00777-00748-00776]	[01005-01004-01033]	[01034-01033-01062]		[01005-00976-01004]		[00720-00719-00748]	
[00720-00691-00719]	[00663-00634-00662]	[00663-00662-00691]	[00806-00805-00834]		[00850-00849-00878]		[00350-00321-00349]	
[00350-00349-00378]	[00294-00293-00322]	[00920-00891-00919]	[00551-00550-00579]		[01091-01062-01090]		[00236-00235-00264]	
[00236-00207-00235]	[00920-00919-00948]	[01078-01077-01106]	[00293-00292-00321]		[00293-00264-00292]		[00692-00663-00691]	
[01035-01006-01034]	[01078-01049-01077]	[00692-00691-00720]	[00407-00406-00435]		[00407-00378-00406]		[00521-00492-00520]	
[00521-00520-00549]	[00635-00634-00663]	[00322-00293-00321]	[00749-00748-00777]		[00749-00720-00748]		[00664-00635-00663]	
[00121-00122-00209]	[00977-00948-00976]	[00977-00976-01005]	[00122-00123-00208]		[00635-00606-00634]		[00578-00549-00577]	
[00578-00577-00606]	[00949-00920-00948]	[00892-00863-00891]	[00892-00891-00920]		[00949-00948-00977]		[00778-00777-00806]	
[00721-00692-00720]	[00721-00720-00749]	[01035-01034-01063]	[00664-00663-00692]		[00550-00521-00549]		[00550-00549-00578]	
[00208-00124-00207]	[00208-00207-00236]	[00028-01091-00027]	[00265-00236-00264]		[00265-00264-00293]		[00002-00664-00665]	
[00493-00492-00521]	[00493-00464-00492]	[01063-01062-01091]	[00835-00834-00863]		[00835-00806-00834]		[00778-00749-00777]	
[00979-00978-01007]	[00693-00664-00692]	[01006-01005-01034]	[00750-00749-00778]		[00666-00665-00694]		[01006-00977-01005]	
[00379-00378-00407]	[00978-00949-00977]	[00379-00350-00378]	[00436-00407-00435]		[00436-00435-00464]		[01092-01091-00028]	
[00243-00214-00242]	[00002-00636-00664]	[00409-00380-00408]	[01069-01068-01097]		[00864-00835-00863]		[00864-00863-00892]	
[00465-00436-00464]	[00693-00692-00721]	[00579-00550-00578]	[00579-00578-00607]		[00750-00721-00749]		[00409-00408-00437]	
[00408-00379-00407]	[00408-00407-00436]	[00921-00920-00949]	[00029-01092-00028]		[00005-00053-00191]		[00622-00593-00621]	
[00237-00208-00236]	[00237-00236-00265]	[00295-00266-00294]	[00465-00464-00493]		[00807-00806-00835]		[00807-00778-00806]	
[00666-00637-00002]	[00119-00120-00210]	[00921-00892-00920]	[00294-00265-00293]		[00751-00750-00779]		[00666-00002-00665]	
[00351-00322-00350]	[00351-00350-00379]	[01092-01063-01091]	[00636-00635-00664]		[00636-00607-00635]		[00394-00365-00393]	
[00992-00963-00991]	[00608-00607-00636]	[00722-00693-00721]	[00722-00721-00750]		[00524-00495-00523]		[00950-00921-00949]	
[00893-00892-00921]	[00031-01093-00030]	[00608-00579-00607]	[00412-00383-00411]		[00836-00835-00864]		[00836-00807-00835]	
[00494-00493-00522]	[00494-00465-00493]	[00893-00864-00892]	[00751-00722-00750]		[00894-00865-00893]		[00437-00408-00436]	
[00437-00436-00465]	[01064-01063-01092]	[01007-01006-01035]	[01007-00978-01006]		[00295-00294-00323]		[00665-00664-00693]	
[00353-00352-00381]	[01093-01092-00030]	[00950-00949-00978]	[00209-00208-00237]		[00209-00122-00208]		[00323-00294-00322]	
[00323-00322-00351]	[00380-00379-00408]	[00380-00351-00379]	[00637-00636-00002]		[01064-01035-01063]		[00894-00893-00922]	
[00266-00237-00265]	[00266-00265-00294]	[00580-00551-00579]	[00580-00579-00608]		[00808-00807-00836]		[00808-00779-00807]	
[00527-00526-00555]	[00410-00381-00409]	[00694-00665-00693]	[00992-00991-01020]		[00033-01094-00032]		[01036-01035-01064]	
[00609-00608-00637]	[00922-00893-00921]	[00922-00921-00950]	[00352-00351-00380]		[00637-00608-00636]		[01036-01007-01035]	
[00565-00564-00593]	[00381-00352-00380]	[00524-00523-00552]	[00032-01094-00031]		[01093-01064-01092]		[00552-00523-00551]	
[00725-00696-00724]	[00679-00650-00678]	[00694-00693-00722]	[00238-00209-00237]		[00238-00237-00266]		[00865-00864-00893]	
[00352-00323-00351]	[00466-00465-00494]	[00466-00437-00465]	[00523-00522-00551]		[00523-00494-00522]		[00267-00238-00266]	
[00496-00467-00495]	[00865-00836-00864]	[00552-00551-00580]	[00951-00950-00979]		[00951-00922-00950]		[00410-00409-00438]	
[00438-00437-00466]	[00116-00117-00212]	[00764-00735-00763]	[00609-00580-00608]		[00267-00266-00295]		[00724-00695-00723]	
[00269-00268-00297]	[00324-00295-00323]	[00324-00323-00352]	[01008-00979-01007]		[01008-01007-01036]		[00723-00694-00722]	
[00496-00495-00524]	[00638-00609-00637]	[00723-00722-00751]	[00752-00751-00780]		[00381-00380-00409]		[00438-00409-00437]	
[00210-00120-00121]	[00837-00836-00865]	[00837-00808-00836]	[00780-00751-00779]		[00780-00779-00808]		[01065-01036-01064]	
[01065-01064-01093]	[00210-00121-00209]	[00353-00324-00352]	[00495-00466-00494]		[00495-00494-00523]		[00210-00209-00238]	
[00638-00637-00666]	[00781-00780-00809]	[01037-01036-01065]	[00034-01095-00033]		[00752-00723-00751]		[00581-00552-00580]	
[00764-00763-00792]	[00065-00066-00850]	[01037-01008-01036]	[00467-00466-00495]		[00239-00210-00238]		[00296-00295-00324]	
[00296-00267-00295]	[00866-00837-00865]	[00866-00865-00894]	[01094-01065-01093]		[01094-01093-00031]		[00809-00808-00837]	
[00809-00780-00808]	[00581-00580-00609]	[00308-00307-00336]	[00240-00239-00268]		[00239-00238-00267]		[00308-00279-00307]	
[00467-00438-00466]	[00724-00723-00752]	[01009-00980-01008]	[00923-00922-00951]		[00923-00894-00922]		[00980-00951-00979]	
[00980-00979-01008]	[01009-01008-01037]	[00412-00411-00440]	[00695-00666-00694]		[00695-00694-00723]		[00754-00753-00782]	
[00439-00438-00467]	[00952-00951-00980]	[00385-00356-00384]	[00268-00267-00296]		[00610-00581-00609]		[01066-01065-01094]	
[01066-01037-01065]	[00952-00923-00951]	[00354-00325-00353]	[00211-00210-00239]		[00211-00119-00210]		[00667-00666-00695]	
[00118-00119-00211]	[00382-00353-00381]	[00382-00381-00410]	[00679-00678-00707]		[00297-00296-00325]		[00268-00239-00267]	
[00584-00555-00583]	[00325-00296-00324]	[00610-00609-00638]	[00553-00524-00552]		[00553-00552-00581]		[00582-00553-00581]	
[00325-00324-00353]	[00667-00638-00666]	[00439-00410-00438]	[00838-00809-00837]		[00838-00837-00866]		[00895-00866-00894]	
[00895-00894-00923]	[00240-00211-00239]	[01096-00034-00035]	[00981-00952-00980]		[00781-00752-00780]		[00924-00923-00952]	
[00924-00895-00923]	[00469-00440-00468]	[00582-00581-00610]	[01095-01094-00033]		[00981-00980-01009]		[00468-00467-00496]	
[00468-00439-00467]	[00867-00866-00895]	[00639-00610-00638]	[00639-00638-00667]		[00297-00268-00296]		[00898-00897-00926]	
[00810-00809-00838]	[00810-00781-00809]	[01068-01039-01067]	[01038-01037-01066]		[01038-01009-01037]		[00117-00118-00211]	
[00269-00240-00268]	[00867-00838-00866]	[00611-00582-00610]	[00696-00695-00724]		[00696-00667-00695]		[00354-00353-00382]	
[00115-00116-00213]	[00925-00924-00953]	[00411-00382-00410]	[00411-00410-00439]		[01095-01066-01094]		[00753-00724-00752]	
[00753-00752-00781]	[00525-00496-00524]	[00525-00524-00553]	[00365-00364-00393]		[00935-00906-00934]		[01010-01009-01038]	
[00327-00298-00326]	[01010-00981-01009]	[00896-00895-00924]	[00925-00896-00924]		[00782-00753-00781]		[00782-00781-00810]	
[00953-00924-00952]	[00953-00952-00981]	[00583-00554-00582]	[01067-01038-01066]		[01067-01066-01095]		[01049-01048-01077]	
[00668-00639-00667]	[00668-00667-00696]	[01049-01020-01048]	[00839-00810-00838]		[00839-00838-00867]		[00811-00782-00810]	
[00611-00610-00639]	[00811-00810-00839]	[00212-00117-00211]	[00554-00553-00582]		[00554-00525-00553]		[00326-00297-00325]	
[00326-00325-00354]	[00640-00611-00639]	[00440-00439-00468]	[00440-00411-00439]		[00212-00211-00240]		[00383-00382-00411]	

Il presente documento è di proprietà della ANTEX GROUP srl.
È vietata la comunicazione a terzi o la riproduzione senza il permesso scritto della suddetta.
La società tutela i propri diritti a rigore di Legge.

Comm.: C21-002-S05



SASSARI EOLICA S.R.L.	PARCO EOLICO DI "SASSARI"	 Ingegneria & Innovazione		
		26/05/2023	REV: 1	Pag.41


RELAZIONE DI CALCOLO PREDIMENSIONAMENTO DELLE
FONDAZIONI WTG

Platee								
Lv	N _{id}	Sp [m]	A _{El} [m ²]	M _{trl}	Id _{Ter}	Clc Fnd	C _{rid,v}	C _{rid,h}
[00383-00354-00382]	[00270-00241-00269]	[00899-00870-00898]	[00497-00468-00496]	[00497-00468-00496]	[00497-00468-00496]	[00327-00326-00355]		
[01068-01067-01096]	[00584-00583-00612]	[00526-00497-00525]	[00526-00525-00554]	[00526-00525-00554]	[00526-00525-00554]	[00270-00269-00298]		
[00868-00867-00896]	[00868-00839-00867]	[00697-00668-00696]	[00697-00696-00725]	[00697-00696-00725]	[00697-00696-00725]	[00355-00354-00383]		
[00413-00384-00412]	[00982-00953-00981]	[00982-00981-01010]	[00754-00725-00753]	[00754-00725-00753]	[00754-00725-00753]	[00036-01096-00035]		
[00385-00384-00413]	[00298-00269-00297]	[00298-00297-00326]	[00241-00240-00269]	[00241-00240-00269]	[00241-00240-00269]	[00213-00212-00241]		
[00272-00271-00300]	[01096-01067-01095]	[01096-01095-00034]	[00213-00116-00212]	[00213-00116-00212]	[00213-00116-00212]	[01039-01010-01038]		
[00413-00412-00441]	[00898-00869-00897]	[01039-01038-01067]	[00726-00697-00725]	[00726-00697-00725]	[00726-00697-00725]	[01069-01040-01068]		
[00114-00115-00213]	[00527-00498-00526]	[00038-01097-00037]	[00897-00896-00925]	[00897-00896-00925]	[00897-00896-00925]	[01011-01010-01039]		
[00954-00953-00982]	[00954-00925-00953]	[00612-00611-00640]	[00612-00583-00611]	[00612-00583-00611]	[00612-00583-00611]	[00841-00812-00840]		
[00470-00441-00469]	[00669-00668-00697]	[00441-00440-00469]	[00498-00497-00526]	[00498-00497-00526]	[00498-00497-00526]	[01011-00982-01010]		
[00783-00754-00782]	[00783-00782-00811]	[00299-00298-00327]	[00840-00839-00868]	[00840-00839-00868]	[00840-00839-00868]	[00669-00640-00668]		
[00878-00877-00906]	[00384-00355-00383]	[00441-00412-00440]	[00555-00526-00554]	[00555-00526-00554]	[00555-00526-00554]	[00299-00270-00298]		
[00384-00383-00412]	[00037-01097-00036]	[00243-00242-00271]	[00272-00243-00271]	[00272-00243-00271]	[00272-00243-00271]	[00470-00469-00498]		
[00223-00099-00100]	[00869-00868-00897]	[00869-00840-00868]	[00698-00669-00697]	[00698-00669-00697]	[00698-00669-00697]	[01097-01096-00036]		
[00356-00327-00355]	[00356-00355-00384]	[01012-00983-01011]	[00841-00840-00869]	[00841-00840-00869]	[00841-00840-00869]	[00052-01106-00051]		
[01040-01011-01039]	[00755-00754-00783]	[00755-00726-00754]	[00812-00783-00811]	[00812-00783-00811]	[00812-00783-00811]	[00242-00241-00270]		
[00499-00498-00527]	[00039-01098-00038]	[01040-01039-01068]	[00641-00612-00640]	[00641-00612-00640]	[00641-00612-00640]	[00698-00697-00726]		
[00983-00982-01011]	[00499-00470-00498]	[00983-00954-00982]	[00926-00897-00925]	[00926-00897-00925]	[00926-00897-00925]	[00271-00242-00270]		
[01097-01068-01096]	[00556-00555-00584]	[00556-00527-00555]	[00559-00558-00587]	[00559-00558-00587]	[00559-00558-00587]	[00214-00114-00213]		
[00643-00614-00642]	[00593-00592-00621]	[01098-01097-00038]	[00613-00584-00612]	[00613-00584-00612]	[00613-00584-00612]	[00442-00441-00470]		
[00442-00413-00441]	[00899-00898-00927]	[00700-00671-00699]	[00955-00926-00954]	[00955-00926-00954]	[00955-00926-00954]	[00784-00783-00812]		
[01012-01011-01040]	[00699-00698-00727]	[00670-00669-00698]	[00670-00641-00669]	[00670-00641-00669]	[00670-00641-00669]	[00214-00213-00242]		
[00328-00327-00356]	[00328-00299-00327]	[00273-00244-00272]	[00271-00270-00299]	[00271-00270-00299]	[00271-00270-00299]	[01070-01041-01069]		
[00045-01102-00044]	[01098-01069-01097]	[00586-00585-00614]	[00727-00726-00755]	[00727-00726-00755]	[00727-00726-00755]	[00358-00329-00357]		
[00955-00954-00983]	[00505-00476-00504]	[00813-00812-00841]	[00813-00784-00812]	[00813-00784-00812]	[00813-00784-00812]	[00984-00955-00983]		
[00793-00792-00821]	[01041-01012-01040]	[01041-01040-01069]	[00300-00271-00299]	[00300-00271-00299]	[00300-00271-00299]	[00585-00556-00584]		
[00585-00584-00613]	[00956-00955-00984]	[00870-00841-00869]	[00643-00642-00671]	[00643-00642-00671]	[00643-00642-00671]	[00471-00442-00470]		
[00756-00755-00784]	[00756-00727-00755]	[00414-00385-00413]	[00927-00926-00955]	[00927-00926-00955]	[00927-00926-00955]	[00984-00983-01012]		
[00671-00642-00670]	[00671-00670-00699]	[00414-00413-00442]	[00757-00728-00756]	[00757-00728-00756]	[00757-00728-00756]	[00472-00471-00500]		
[00358-00357-00386]	[00642-00613-00641]	[00642-00641-00670]	[00357-00356-00385]	[00357-00356-00385]	[00357-00356-00385]	[00528-00527-00556]		
[00528-00499-00527]	[00109-00110-00216]	[00785-00756-00784]	[00785-00784-00813]	[00785-00784-00813]	[00785-00784-00813]	[00614-00613-00642]		
[00956-00927-00955]	[00757-00756-00785]	[00443-00414-00442]	[00215-00112-00113]	[00215-00112-00113]	[00215-00112-00113]	[00386-00385-00414]		
[00386-00357-00385]	[00215-00113-00214]	[01013-01012-01041]	[01013-00984-01012]	[01013-00984-01012]	[01013-00984-01012]	[00215-00214-00243]		
[00216-00215-00244]	[00329-00328-00357]	[00329-00300-00328]	[01099-00039-00040]	[01099-00039-00040]	[01099-00039-00040]	[00842-00813-00841]		
[00842-00841-00870]	[00500-00471-00499]	[00500-00499-00528]	[00330-00301-00329]	[00330-00301-00329]	[00330-00301-00329]	[00728-00699-00727]		
[00557-00556-00585]	[00557-00528-00556]	[00110-00111-00216]	[00586-00557-00585]	[00586-00557-00585]	[00586-00557-00585]	[00387-00386-00415]		
[00274-00245-00273]	[00330-00329-00358]	[01099-01098-00039]	[00472-00443-00471]	[00472-00443-00471]	[00472-00443-00471]	[00415-00414-00443]		
[00387-00358-00386]	[00244-00215-00243]	[00244-00243-00272]	[01103-01102-00046]	[01103-01102-00046]	[01103-01102-00046]	[00843-00814-00842]		
[00529-00528-00557]	[00301-00272-00300]	[00985-00956-00984]	[00985-00984-01013]	[00985-00984-01013]	[00985-00984-01013]	[00444-00443-00472]		
[00672-00643-00671]	[01099-01070-01098]	[01103-01074-01102]	[00415-00386-00414]	[00415-00386-00414]	[00415-00386-00414]	[00246-00245-00274]		
[00871-00842-00870]	[00814-00785-00813]	[00814-00813-00842]	[00361-00360-00389]	[00361-00360-00389]	[00361-00360-00389]	[00907-00878-00906]		
[00529-00500-00528]	[01042-01013-01041]	[01042-01041-01070]	[00615-00614-00643]	[00615-00614-00643]	[00615-00614-00643]	[01016-00987-01015]		
[00558-00529-00557]	[00672-00671-00700]	[00650-00621-00649]	[00559-00530-00558]	[00559-00530-00558]	[00559-00530-00558]	[00615-00586-00614]		
[00729-00728-00757]	[00729-00700-00728]	[00900-00871-00899]	[00900-00899-00928]	[00900-00899-00928]	[00900-00899-00928]	[00843-00842-00871]		
[01014-00985-01013]	[01014-01013-01042]	[00786-00757-00785]	[00786-00785-00814]	[00786-00785-00814]	[00786-00785-00814]	[00821-00820-00849]		
[00821-00792-00820]	[00501-00500-00529]	[00501-00472-00500]	[00787-00758-00786]	[00787-00758-00786]	[00787-00758-00786]	[01071-01070-01099]		
[00416-00387-00415]	[01016-01015-01044]	[00957-00928-00956]	[00041-01099-00040]	[00041-01099-00040]	[00041-01099-00040]	[00246-00217-00245]		
[00530-00501-00529]	[00530-00529-00558]	[00957-00956-00985]	[00359-00330-00358]	[00359-00330-00358]	[00359-00330-00358]	[00359-00358-00387]		
[00042-01100-00041]	[00416-00415-00444]	[00787-00786-00815]	[00302-00301-00330]	[00302-00301-00330]	[00302-00301-00330]	[00302-00273-00301]		
[01100-01099-00041]	[01100-01071-01099]	[00929-00928-00957]	[00701-00700-00729]	[00701-00700-00729]	[00701-00700-00729]	[00701-00672-00700]		
[01043-01042-01071]	[00332-00331-00360]	[00644-00643-00672]	[00644-00615-00643]	[00644-00615-00643]	[00644-00615-00643]	[00844-00843-00872]		
[00872-00871-00900]	[00872-00843-00871]	[00245-00216-00244]	[00587-00558-00586]	[00587-00558-00586]	[00587-00558-00586]	[00587-00586-00615]		
[00245-00244-00273]	[00929-00900-00928]	[00815-00786-00814]	[00815-00814-00843]	[00815-00814-00843]	[00815-00814-00843]	[00505-00504-00533]		
[00473-00472-00501]	[00758-00729-00757]	[00758-00757-00786]	[00730-00701-00729]	[00730-00701-00729]	[00730-00701-00729]	[00930-00901-00929]		
[00930-00929-00958]	[00044-01101-00043]	[00673-00644-00672]	[00303-00274-00302]	[00303-00274-00302]	[00303-00274-00302]	[00331-00330-00359]		
[01101-00042-00043]	[00873-00872-00901]	[00474-00473-00502]	[01072-01043-01071]	[01072-01043-01071]	[01072-01043-01071]	[01072-01071-01100]		
[00217-00109-00216]	[01044-01015-01043]	[01044-01043-01072]	[00873-00844-00872]	[00873-00844-00872]	[00873-00844-00872]	[00961-00960-00989]		
[00958-00957-00986]	[01015-00986-01014]	[01015-01014-01043]	[00901-00872-00900]	[00901-00872-00900]	[00901-00872-00900]	[00901-00900-00929]		
[00445-00416-00444]	[00445-00444-00473]	[00108-00109-00217]	[00474-00445-00473]	[00474-00445-00473]	[00474-00445-00473]	[00645-00644-00673]		
[00388-00387-00416]	[00502-00501-00530]	[00502-00473-00501]	[00536-00535-00564]	[00536-00535-00564]	[00536-00535-00564]	[00793-00764-00792]		
[00816-00787-00815]	[00759-00730-00758]	[00759-00758-00787]	[00816-00815-00844]	[00816-00815-00844]	[00816-00815-00844]	[00417-00388-00416]		
[00702-00673-00701]	[00531-00502-00530]	[00531-00530-00559]	[00303-00302-00331]	[00303-00302-00331]	[00303-00302-00331]	[00987-00958-00986]		
[00732-00703-00731]	[01073-01072-01101]	[00417-00416-00445]	[00788-00787-00816]	[00788-00787-00816]	[00788-00787-00816]	[00702-00701-00730]		
[00588-00587-00616]	[01101-01100-00042]	[01101-01072-01100]	[00645-00616-00644]	[00645-00616-00				

Il presente documento è di proprietà della ANTEX GROUP srl.
È vietata la comunicazione a terzi o la riproduzione senza il permesso scritto della suddetta.
La società tutela i propri diritti a rigore di Legge.

Comm.: C21-002-S05



SASSARI EOLICA S.R.L.	PARCO EOLICO DI "SASSARI"	 Ingegneria & Innovazione		
		26/05/2023	REV: 1	Pag.42

RELAZIONE DI CALCOLO PREDIMENSIONAMENTO DELLE
FONDAZIONI WTG

Platee								
Lv	N _{id}	Sp [m]	A _{el} [m ²]	Mtrl	Id _{Ter}	Clc Fnd	C _{rid,v}	C _{rid,h}
[00731-00702-00730]	[00218-00217-00246]	[00503-00474-00502]	[00503-00502-00531]	[00845-00816-00844]	[00731-00730-00759]			
[00817-00788-00816]	[00845-00844-00873]	[00560-00531-00559]	[00646-00617-00645]	[00560-00559-00588]	[00617-00588-00616]			
[00617-00616-00645]	[00963-00962-00991]	[00504-00475-00503]	[00988-00959-00987]	[00988-00987-01016]	[00389-00388-00417]			
[00389-00360-00388]	[00760-00759-00788]	[00760-00731-00759]	[00247-00218-00246]	[00247-00246-00275]	[00479-00450-00478]			
[01102-01101-00044]	[00504-00503-00532]	[00418-00417-00446]	[00418-00389-00417]	[00703-00702-00731]	[00390-00389-00418]			
[00703-00674-00702]	[00589-00560-00588]	[00589-00588-00617]	[00304-00303-00332]	[00931-00930-00959]	[00304-00275-00303]			
[00106-00107-00218]	[00817-00816-00845]	[00931-00902-00930]	[00761-00760-00789]	[00646-00645-00674]	[00732-00731-00760]			
[00532-00503-00531]	[00532-00531-00560]	[00333-00304-00332]	[00475-00446-00474]	[00475-00474-00503]	[01074-01073-01102]			
[00704-00703-00732]	[00874-00873-00902]	[00874-00845-00873]	[00051-01105-00050]	[00361-00332-00360]	[00818-00817-00846]			
[01074-01045-01073]	[00219-00106-00218]	[00447-00446-00475]	[00447-00418-00446]	[00789-00788-00817]	[00363-00362-00391]			
[00105-00106-00219]	[00219-00218-00247]	[00087-00451-00086]	[00846-00817-00845]	[00846-00845-00874]	[00046-01102-00045]			
[00561-00532-00560]	[00675-00674-00703]	[00675-00646-00674]	[00789-00760-00788]	[00276-00275-00304]	[01046-01017-01045]			
[00276-00247-00275]	[00103-00104-00220]	[00277-00276-00305]	[00561-00560-00589]	[01017-01016-01045]	[01017-00988-01016]			
[00961-00932-00960]	[00618-00589-00617]	[00618-00617-00646]	[00220-00104-00219]	[00478-00477-00506]	[00536-00507-00535]			
[00989-00960-00988]	[00960-00959-00988]	[00960-00931-00959]	[00903-00902-00931]	[00903-00874-00902]	[00647-00618-00646]			
[00647-00646-00675]	[00875-00874-00903]	[00362-00361-00390]	[00220-00219-00248]	[00875-00846-00874]	[00450-00449-00478]			
[00932-00903-00931]	[00932-00931-00960]	[00989-00988-01017]	[00419-00418-00447]	[00419-00390-00418]	[00362-00333-00361]			
[00704-00675-00703]	[01104-00047-00048]	[00590-00589-00618]	[00448-00447-00476]	[00335-00306-00334]	[01104-01103-00047]			
[01075-01046-01074]	[00305-00304-00333]	[00448-00419-00447]	[00533-00504-00532]	[00533-00532-00561]	[00590-00561-00589]			
[00248-00219-00247]	[00248-00247-00276]	[00047-01103-00046]	[00102-00103-00221]	[01046-01045-01074]	[00104-00105-00219]			
[00904-00903-00932]	[00450-00421-00449]	[00097-00251-00096]	[01106-01105-00051]	[00476-00475-00504]	[00476-00447-00475]			
[00422-00393-00421]	[00277-00248-00276]	[00905-00904-00933]	[00334-00333-00362]	[00334-00305-00333]	[01075-01074-01103]			
[00905-00876-00904]	[00904-00875-00903]	[00421-00420-00449]	[01018-01017-01046]	[00420-00391-00419]	[00363-00334-00362]			
[01106-01077-01105]	[00933-00932-00961]	[00733-00732-00761]	[00733-00704-00732]	[01047-01018-01046]	[01047-01046-01075]			
[00676-00647-00675]	[00676-00675-00704]	[00335-00334-00363]	[00619-00618-00647]	[00619-00590-00618]	[01018-00989-01017]			
[00420-00419-00448]	[00306-00305-00334]	[00790-00761-00789]	[00790-00789-00818]	[00562-00561-00590]	[00391-00390-00419]			
[00391-00362-00390]	[00933-00904-00932]	[00562-00533-00561]	[00847-00846-00875]	[00847-00818-00846]	[00050-01105-00049]			
[00648-00647-00676]	[00648-00619-00647]	[01104-01075-01103]	[00421-00392-00420]	[00848-00847-00876]	[00705-00676-00704]			
[00306-00277-00305]	[00534-00533-00562]	[00819-00790-00818]	[00819-00818-00847]	[00251-00250-00279]	[00876-00847-00875]			
[00990-00961-00989]	[00990-00989-01018]	[00365-00336-00364]	[00734-00733-00762]	[00876-00875-00904]	[00705-00704-00733]			
[00762-00761-00790]	[00591-00590-00619]	[00591-00562-00590]	[00249-00248-00277]	[00249-00220-00248]	[00221-00220-00249]			
[00707-00678-00706]	[00762-00733-00761]	[00677-00676-00705]	[00477-00448-00476]	[00534-00505-00533]	[00677-00648-00676]			
[00477-00476-00505]	[00620-00591-00619]	[00221-00103-00220]	[00849-00820-00848]	[00620-00619-00648]	[00735-00734-00763]			
[01076-01075-01104]	[01076-01047-01075]	[01019-01018-01047]	[01019-00990-01018]	[00392-00363-00391]	[00392-00391-00420]			
[00049-01104-00048]	[00506-00477-00505]	[00449-00448-00477]	[00449-00420-00448]	[00278-00249-00277]	[00506-00505-00534]			
[00707-00706-00735]	[00101-00102-00221]	[00563-00534-00562]	[00848-00819-00847]	[00820-00791-00819]	[00734-00705-00733]			
[00278-00277-00306]	[00649-00648-00677]	[00478-00449-00477]	[00563-00562-00591]	[00250-00249-00278]	[01020-00991-01019]			
[00735-00706-00734]	[00791-00790-00819]	[00791-00762-00790]	[00962-00961-00990]	[00962-00933-00961]	[00621-00620-00649]			
[00507-00478-00506]	[00820-00819-00848]	[00279-00250-00278]	[00507-00506-00535]	[01048-01019-01047]	[00364-00335-00363]			
[00364-00363-00392]	[00736-00735-00764]	[00307-00306-00335]	[00307-00278-00306]	[00792-00763-00791]	[00250-00221-00249]			
[00877-00848-00876]	[00877-00876-00905]	[01048-01047-01076]	[00279-00278-00307]	[00934-00933-00962]	[00934-00905-00933]			
[00222-00101-00221]	[00763-00762-00791]	[00706-00677-00705]	[00706-00705-00734]	[00422-00421-00450]	[00074-00075-00679]			
[00222-00221-00250]	[00991-00990-01019]	[00991-00962-00990]	[00963-00934-00962]	[00763-00734-00762]	[00592-00563-00591]			
[00592-00591-00620]	[00535-00506-00534]	[00535-00534-00563]	[01105-01104-00049]	[01105-01076-01104]	[00649-00620-00648]			
[00336-00307-00335]	[00621-00592-00620]	[00906-00905-00934]	[00393-00364-00392]	[00393-00392-00421]	[00906-00877-00905]			
[00079-00593-00622]	[00678-00649-00677]	[00792-00791-00820]	[00678-00677-00706]	[00093-00094-00308]	[00100-00101-00222]			
[00079-00622-00078]	[00081-00565-00080]	[00564-00563-00592]	[00564-00535-00563]	[00336-00335-00364]	[01077-01048-01076]			
[01020-01019-01048]	[00736-00707-00735]	[00849-00848-00877]	[01077-01076-01105]					

LEGENDA:

Lv	Identificativo del livello, nella relativa tabella.
N_{id}	Numero identificativo della platea.
Sp	Spessore elemento.
A_{el}	Superficie elemento.
Mtrl	Identificativo del materiale.
Id_{Ter}	Identificativo del terreno, nella relativa tabella.
Clc Fnd	[Si] = elemento progettato attraverso una modalità di rispetto della Gerarchia delle Resistenze per le Fondazioni. [No] = elemento progettato con le sollecitazioni ottenute dall'analisi (senza nessuna modalità di rispetto della Gerarchia delle Resistenze per le Fondazioni).
C_{rid,v}	Coefficiente di riduzione della costante di sottofondo verticale
C_{rid,h}	Coefficiente di riduzione della costante di sottofondo orizzontale
Shell	Shell in cui risulta suddiviso l'elemento.


CARICHI SULLE PLATEE

							Carichi sulle platee
TC	Shell	C	CC	SR	Q _x [N/m ²]	Q _y [N/m ²]	Q _z [N/m ²]
Fondazione	Platea 1	Peso proprio			-100.000		
S	-	CR001	002	G	0	0	-2.000

Il presente documento è di proprietà della ANTEX GROUP srl.
È vietata la comunicazione a terzi o la riproduzione senza il permesso scritto della suddetta.
La società tutela i propri diritti a rigore di Legge.

Comm.: C21-002-S05



SASSARI EOLICA S.R.L.	PARCO EOLICO DI "SASSARI" RELAZIONE DI CALCOLO PREDIMENSIONAMENTO DELLE FONDAZIONI WTG	 Ingegneria & Innovazione		
		26/05/2023	REV: 1	Pag.43

Carichi sulle platee							
TC	Shell	C	CC	SR	Q _x	Q _y	Q _z
					[N/m²]	[N/m²]	[N/m²]
S	-	CR002	004	G	0	0	-2.500

LEGENDA:

TC	Descrizione del tipo di carico: [L] = Lineare - [C] = Concentrato - [S] = Superficiale - [T] = Termico.
C	Descrizione del carico: CR001= PLATEA: Platea (sovraccarico permanente) CR002= PLATEA: Platea (sovraccarico accidentale)
CC	Identificativo della tipologia di carico nella relativa tabella.
SR	Identificativo del sistema di riferimento considerato: [G] = Sistema di riferimento Globale X, Y, Z - [L] = Sistema di riferimento Locale 1, 2, 3.
Q_x, Q_y	Valore della forza distribuita superficiale uniforme riferita agli assi del sistema di riferimento indicato nella colonna "S.R".
Q_z	
ΔT	Differenza di temperatura fra le facce dell'elemento shell.


NODI - REAZIONI VINCOLARI ESTERNE PER TIPOLOGIE DI CARICO NON SISMICHE

Nodi - Reazioni vincolari esterne per tipologie di carico non sismiche							
IdNd	CC	F _x	F _y	F _z	M _x	M _y	M _z
		[N]	[N]	[N]	[N-m]	[N-m]	[N-m]
00002	001	0	0	2.046	0	0	0
00002	002	0	0	0	0	0	0
00002	003	4.666.592	1.385.000	7.695.000	0	311.501.504	-7.695.000
00002	004	0	0	0	0	0	0
00003	001	0	0	0	0	0	0
00003	002	0	0	0	0	0	0
00003	003	0	0	0	0	0	0
00003	004	0	0	0	0	0	0
00004	001	0	0	0	0	0	0
00004	002	0	0	0	0	0	0
00004	003	0	0	0	0	0	0
00004	004	0	0	0	0	0	0
00005	001	0	0	0	0	0	0
00005	002	0	0	0	0	0	0
00005	003	0	0	0	0	0	0
00005	004	0	0	0	0	0	0
00006	001	0	0	0	0	0	0
00006	002	0	0	0	0	0	0
00006	003	0	0	0	0	0	0
00006	004	0	0	0	0	0	0
00007	001	0	0	0	0	0	0
00007	002	0	0	0	0	0	0
00007	003	0	0	0	0	0	0
00007	004	0	0	0	0	0	0
00008	001	0	0	0	0	0	0
00008	002	0	0	0	0	0	0
00008	003	0	0	0	0	0	0
00008	004	0	0	0	0	0	0
00009	001	0	0	0	0	0	0
00009	002	0	0	0	0	0	0
00009	003	0	0	0	0	0	0
00009	004	0	0	0	0	0	0
00010	001	0	0	0	0	0	0
00010	002	0	0	0	0	0	0
00010	003	0	0	0	0	0	0
00010	004	0	0	0	0	0	0
00011	001	0	0	0	0	0	0
00011	002	0	0	0	0	0	0
00011	003	0	0	0	0	0	0
00011	004	0	0	0	0	0	0
00012	001	0	0	0	0	0	0
00012	002	0	0	0	0	0	0
00012	003	0	0	0	0	0	0
00012	004	0	0	0	0	0	0
00013	001	0	0	0	0	0	0
00013	002	0	0	0	0	0	0
00013	003	0	0	0	0	0	0
00013	004	0	0	0	0	0	0
00014	001	0	0	0	0	0	0
00014	002	0	0	0	0	0	0
00014	003	0	0	0	0	0	0

Il presente documento è di proprietà della ANTEX GROUP srl.
È Vietato la comunicazione a terzi o la riproduzione senza il permesso scritto della suddetta.
La società tutela i propri diritti a rigore di Legge.

Comm.: C21-002-S05




SASSARI EOLICA S.R.L.	PARCO EOLICO DI "SASSARI" RELAZIONE DI CALCOLO PREDIMENSIONAMENTO DELLE FONDAZIONI WTG	 Ingegneria & Innovazione		
		26/05/2023	REV: 1	Pag.44

Nodi - Reazioni vincolari esterne per tipologie di carico non sismiche							
Id _{Nd}	CC	F _x	F _y	F _z	M _x	M _y	M _z
		[N]	[N]	[N]	[N-m]	[N-m]	[N-m]
00014	004	0	0	0	0	0	0
00015	001	0	0	0	0	0	0
00015	002	0	0	0	0	0	0
00015	003	0	0	0	0	0	0
00015	004	0	0	0	0	0	0
00016	001	0	0	0	0	0	0
00016	002	0	0	0	0	0	0
00016	003	0	0	0	0	0	0
00016	004	0	0	0	0	0	0
00017	001	0	0	0	0	0	0
00017	002	0	0	0	0	0	0
00017	003	0	0	0	0	0	0
00017	004	0	0	0	0	0	0
00018	001	0	0	0	0	0	0
00018	002	0	0	0	0	0	0
00018	003	0	0	0	0	0	0
00018	004	0	0	0	0	0	0
00019	001	0	0	0	0	0	0
00019	002	0	0	0	0	0	0
00019	003	0	0	0	0	0	0
00019	004	0	0	0	0	0	0
00020	001	0	0	0	0	0	0
00020	002	0	0	0	0	0	0
00020	003	0	0	0	0	0	0
00020	004	0	0	0	0	0	0
00021	001	0	0	0	0	0	0
00021	002	0	0	0	0	0	0
00021	003	0	0	0	0	0	0
00021	004	0	0	0	0	0	0
00022	001	0	0	0	0	0	0
00022	002	0	0	0	0	0	0
00022	003	0	0	0	0	0	0
00022	004	0	0	0	0	0	0
00023	001	0	0	0	0	0	0
00023	002	0	0	0	0	0	0
00023	003	0	0	0	0	0	0
00023	004	0	0	0	0	0	0
00024	001	0	0	0	0	0	0
00024	002	0	0	0	0	0	0
00024	003	0	0	0	0	0	0
00024	004	0	0	0	0	0	0
00025	001	0	0	0	0	0	0
00025	002	0	0	0	0	0	0
00025	003	0	0	0	0	0	0
00025	004	0	0	0	0	0	0
00026	001	0	0	0	0	0	0
00026	002	0	0	0	0	0	0
00026	003	0	0	0	0	0	0
00026	004	0	0	0	0	0	0
00027	001	0	0	0	0	0	0
00027	002	0	0	0	0	0	0
00027	003	0	0	0	0	0	0
00027	004	0	0	0	0	0	0
00028	001	0	0	0	0	0	0
00028	002	0	0	0	0	0	0
00028	003	0	0	0	0	0	0
00028	004	0	0	0	0	0	0
00029	001	0	0	0	0	0	0
00029	002	0	0	0	0	0	0
00029	003	0	0	0	0	0	0
00029	004	0	0	0	0	0	0
00030	001	0	0	0	0	0	0
00030	002	0	0	0	0	0	0
00030	003	0	0	0	0	0	0
00030	004	0	0	0	0	0	0
00031	001	0	0	0	0	0	0
00031	002	0	0	0	0	0	0

Il presente documento è di proprietà della ANTEX GROUP srl.
 È Vietato la comunicazione a terzi o la riproduzione senza il permesso scritto della suddetta.
 La società tutela i propri diritti a rigore di Legge.

Comm.: C21-002-S05




SASSARI EOLICA S.R.L.	PARCO EOLICO DI "SASSARI" RELAZIONE DI CALCOLO PREDIMENSIONAMENTO DELLE FONDAZIONI WTG	 Ingegneria & Innovazione		
		26/05/2023	REV: 1	Pag.45

Nodi - Reazioni vincolari esterne per tipologie di carico non sismiche							
Id _{Nd}	CC	F _x	F _y	F _z	M _x	M _y	M _z
		[N]	[N]	[N]	[N-m]	[N-m]	[N-m]
00031	003	0	0	0	0	0	0
00031	004	0	0	0	0	0	0
00032	001	0	0	0	0	0	0
00032	002	0	0	0	0	0	0
00032	003	0	0	0	0	0	0
00032	004	0	0	0	0	0	0
00033	001	0	0	0	0	0	0
00033	002	0	0	0	0	0	0
00033	003	0	0	0	0	0	0
00033	004	0	0	0	0	0	0
00034	001	0	0	0	0	0	0
00034	002	0	0	0	0	0	0
00034	003	0	0	0	0	0	0
00034	004	0	0	0	0	0	0
00035	001	0	0	0	0	0	0
00035	002	0	0	0	0	0	0
00035	003	0	0	0	0	0	0
00035	004	0	0	0	0	0	0
00036	001	0	0	0	0	0	0
00036	002	0	0	0	0	0	0
00036	003	0	0	0	0	0	0
00036	004	0	0	0	0	0	0
00037	001	0	0	0	0	0	0
00037	002	0	0	0	0	0	0
00037	003	0	0	0	0	0	0
00037	004	0	0	0	0	0	0
00038	001	0	0	0	0	0	0
00038	002	0	0	0	0	0	0
00038	003	0	0	0	0	0	0
00038	004	0	0	0	0	0	0
00039	001	0	0	0	0	0	0
00039	002	0	0	0	0	0	0
00039	003	0	0	0	0	0	0
00039	004	0	0	0	0	0	0
00040	001	0	0	0	0	0	0
00040	002	0	0	0	0	0	0
00040	003	0	0	0	0	0	0
00040	004	0	0	0	0	0	0
00041	001	0	0	0	0	0	0
00041	002	0	0	0	0	0	0
00041	003	0	0	0	0	0	0
00041	004	0	0	0	0	0	0
00042	001	0	0	0	0	0	0
00042	002	0	0	0	0	0	0
00042	003	0	0	0	0	0	0
00042	004	0	0	0	0	0	0
00043	001	0	0	0	0	0	0
00043	002	0	0	0	0	0	0
00043	003	0	0	0	0	0	0
00043	004	0	0	0	0	0	0
00044	001	0	0	0	0	0	0
00044	002	0	0	0	0	0	0
00044	003	0	0	0	0	0	0
00044	004	0	0	0	0	0	0
00045	001	0	0	0	0	0	0
00045	002	0	0	0	0	0	0
00045	003	0	0	0	0	0	0
00045	004	0	0	0	0	0	0
00046	001	0	0	0	0	0	0
00046	002	0	0	0	0	0	0
00046	003	0	0	0	0	0	0
00046	004	0	0	0	0	0	0
00047	001	0	0	0	0	0	0
00047	002	0	0	0	0	0	0
00047	003	0	0	0	0	0	0
00047	004	0	0	0	0	0	0
00048	001	0	0	0	0	0	0

Il presente documento è di proprietà della ANTEX GROUP srl.
 È Vietato la comunicazione a terzi o la riproduzione senza il permesso scritto della suddetta.
 La società tutela i propri diritti a rigore di Legge.

Comm.: C21-002-S05




SASSARI EOLICA S.R.L.	PARCO EOLICO DI "SASSARI" RELAZIONE DI CALCOLO PREDIMENSIONAMENTO DELLE FONDAZIONI WTG	 Ingegneria & Innovazione		
		26/05/2023	REV: 1	Pag.46

Nodi - Reazioni vincolari esterne per tipologie di carico non sismiche							
Id _{Nd}	CC	F _x	F _y	F _z	M _x	M _y	M _z
		[N]	[N]	[N]	[N-m]	[N-m]	[N-m]
00048	002	0	0	0	0	0	0
00048	003	0	0	0	0	0	0
00048	004	0	0	0	0	0	0
00049	001	0	0	0	0	0	0
00049	002	0	0	0	0	0	0
00049	003	0	0	0	0	0	0
00049	004	0	0	0	0	0	0
00050	001	0	0	0	0	0	0
00050	002	0	0	0	0	0	0
00050	003	0	0	0	0	0	0
00050	004	0	0	0	0	0	0
00051	001	0	0	0	0	0	0
00051	002	0	0	0	0	0	0
00051	003	0	0	0	0	0	0
00051	004	0	0	0	0	0	0
00052	001	0	0	0	0	0	0
00052	002	0	0	0	0	0	0
00052	003	0	0	0	0	0	0
00052	004	0	0	0	0	0	0
00053	001	0	0	0	0	0	0
00053	002	0	0	0	0	0	0
00053	003	0	0	0	0	0	0
00053	004	0	0	0	0	0	0
00054	001	0	0	0	0	0	0
00054	002	0	0	0	0	0	0
00054	003	0	0	0	0	0	0
00054	004	0	0	0	0	0	0
00055	001	0	0	0	0	0	0
00055	002	0	0	0	0	0	0
00055	003	0	0	0	0	0	0
00055	004	0	0	0	0	0	0
00056	001	0	0	0	0	0	0
00056	002	0	0	0	0	0	0
00056	003	0	0	0	0	0	0
00056	004	0	0	0	0	0	0
00057	001	0	0	0	0	0	0
00057	002	0	0	0	0	0	0
00057	003	0	0	0	0	0	0
00057	004	0	0	0	0	0	0
00058	001	0	0	0	0	0	0
00058	002	0	0	0	0	0	0
00058	003	0	0	0	0	0	0
00058	004	0	0	0	0	0	0
00059	001	0	0	0	0	0	0
00059	002	0	0	0	0	0	0
00059	003	0	0	0	0	0	0
00059	004	0	0	0	0	0	0
00060	001	0	0	0	0	0	0
00060	002	0	0	0	0	0	0
00060	003	0	0	0	0	0	0
00060	004	0	0	0	0	0	0
00061	001	0	0	0	0	0	0
00061	002	0	0	0	0	0	0
00061	003	0	0	0	0	0	0
00061	004	0	0	0	0	0	0
00062	001	0	0	0	0	0	0
00062	002	0	0	0	0	0	0
00062	003	0	0	0	0	0	0
00062	004	0	0	0	0	0	0
00063	001	0	0	0	0	0	0
00063	002	0	0	0	0	0	0
00063	003	0	0	0	0	0	0
00063	004	0	0	0	0	0	0
00064	001	0	0	0	0	0	0
00064	002	0	0	0	0	0	0
00064	003	0	0	0	0	0	0
00064	004	0	0	0	0	0	0

Il presente documento è di proprietà della ANTEX GROUP srl.
 È Vietato la comunicazione a terzi o la riproduzione senza il permesso scritto della suddetta.
 La società tutela i propri diritti a rigore di Legge.

Comm.: C21-002-S05




SASSARI EOLICA S.R.L.	PARCO EOLICO DI "SASSARI" RELAZIONE DI CALCOLO PREDIMENSIONAMENTO DELLE FONDAZIONI WTG	 Ingegneria & Innovazione		
		26/05/2023	REV: 1	Pag.47

Nodi - Reazioni vincolari esterne per tipologie di carico non sismiche							
Id _{Nd}	CC	F _x	F _y	F _z	M _x	M _y	M _z
		[N]	[N]	[N]	[N-m]	[N-m]	[N-m]
00065	001	0	0	0	0	0	0
00065	002	0	0	0	0	0	0
00065	003	0	0	0	0	0	0
00065	004	0	0	0	0	0	0
00066	001	0	0	0	0	0	0
00066	002	0	0	0	0	0	0
00066	003	0	0	0	0	0	0
00066	004	0	0	0	0	0	0
00067	001	0	0	0	0	0	0
00067	002	0	0	0	0	0	0
00067	003	0	0	0	0	0	0
00067	004	0	0	0	0	0	0
00068	001	0	0	0	0	0	0
00068	002	0	0	0	0	0	0
00068	003	0	0	0	0	0	0
00068	004	0	0	0	0	0	0
00069	001	0	0	0	0	0	0
00069	002	0	0	0	0	0	0
00069	003	0	0	0	0	0	0
00069	004	0	0	0	0	0	0
00070	001	0	0	0	0	0	0
00070	002	0	0	0	0	0	0
00070	003	0	0	0	0	0	0
00070	004	0	0	0	0	0	0
00071	001	0	0	0	0	0	0
00071	002	0	0	0	0	0	0
00071	003	0	0	0	0	0	0
00071	004	0	0	0	0	0	0
00072	001	0	0	0	0	0	0
00072	002	0	0	0	0	0	0
00072	003	0	0	0	0	0	0
00072	004	0	0	0	0	0	0
00073	001	0	0	0	0	0	0
00073	002	0	0	0	0	0	0
00073	003	0	0	0	0	0	0
00073	004	0	0	0	0	0	0
00074	001	0	0	0	0	0	0
00074	002	0	0	0	0	0	0
00074	003	0	0	0	0	0	0
00074	004	0	0	0	0	0	0
00075	001	0	0	0	0	0	0
00075	002	0	0	0	0	0	0
00075	003	0	0	0	0	0	0
00075	004	0	0	0	0	0	0
00076	001	0	0	0	0	0	0
00076	002	0	0	0	0	0	0
00076	003	0	0	0	0	0	0
00076	004	0	0	0	0	0	0
00077	001	0	0	0	0	0	0
00077	002	0	0	0	0	0	0
00077	003	0	0	0	0	0	0
00077	004	0	0	0	0	0	0
00078	001	0	0	0	0	0	0
00078	002	0	0	0	0	0	0
00078	003	0	0	0	0	0	0
00078	004	0	0	0	0	0	0
00079	001	0	0	0	0	0	0
00079	002	0	0	0	0	0	0
00079	003	0	0	0	0	0	0
00079	004	0	0	0	0	0	0
00080	001	0	0	0	0	0	0
00080	002	0	0	0	0	0	0
00080	003	0	0	0	0	0	0
00080	004	0	0	0	0	0	0
00081	001	0	0	0	0	0	0
00081	002	0	0	0	0	0	0
00081	003	0	0	0	0	0	0

Il presente documento è di proprietà della ANTEX GROUP srl.
 È Vietato la comunicazione a terzi o la riproduzione senza il permesso scritto della suddetta.
 La società tutela i propri diritti a rigore di Legge.

Comm.: C21-002-S05




SASSARI EOLICA S.R.L.	PARCO EOLICO DI "SASSARI" RELAZIONE DI CALCOLO PREDIMENSIONAMENTO DELLE FONDAZIONI WTG	 Ingegneria & Innovazione		
		26/05/2023	REV: 1	Pag.48

Nodi - Reazioni vincolari esterne per tipologie di carico non sismiche							
Id _{Nd}	CC	F _x	F _y	F _z	M _x	M _y	M _z
		[N]	[N]	[N]	[N-m]	[N-m]	[N-m]
00081	004	0	0	0	0	0	0
00082	001	0	0	0	0	0	0
00082	002	0	0	0	0	0	0
00082	003	0	0	0	0	0	0
00082	004	0	0	0	0	0	0
00083	001	0	0	0	0	0	0
00083	002	0	0	0	0	0	0
00083	003	0	0	0	0	0	0
00083	004	0	0	0	0	0	0
00084	001	0	0	0	0	0	0
00084	002	0	0	0	0	0	0
00084	003	0	0	0	0	0	0
00084	004	0	0	0	0	0	0
00085	001	0	0	0	0	0	0
00085	002	0	0	0	0	0	0
00085	003	0	0	0	0	0	0
00085	004	0	0	0	0	0	0
00086	001	0	0	0	0	0	0
00086	002	0	0	0	0	0	0
00086	003	0	0	0	0	0	0
00086	004	0	0	0	0	0	0
00087	001	0	0	0	0	0	0
00087	002	0	0	0	0	0	0
00087	003	0	0	0	0	0	0
00087	004	0	0	0	0	0	0
00088	001	0	0	0	0	0	0
00088	002	0	0	0	0	0	0
00088	003	0	0	0	0	0	0
00088	004	0	0	0	0	0	0
00089	001	0	0	0	0	0	0
00089	002	0	0	0	0	0	0
00089	003	0	0	0	0	0	0
00089	004	0	0	0	0	0	0
00090	001	0	0	0	0	0	0
00090	002	0	0	0	0	0	0
00090	003	0	0	0	0	0	0
00090	004	0	0	0	0	0	0
00091	001	0	0	0	0	0	0
00091	002	0	0	0	0	0	0
00091	003	0	0	0	0	0	0
00091	004	0	0	0	0	0	0
00092	001	0	0	0	0	0	0
00092	002	0	0	0	0	0	0
00092	003	0	0	0	0	0	0
00092	004	0	0	0	0	0	0
00093	001	0	0	0	0	0	0
00093	002	0	0	0	0	0	0
00093	003	0	0	0	0	0	0
00093	004	0	0	0	0	0	0
00094	001	0	0	0	0	0	0
00094	002	0	0	0	0	0	0
00094	003	0	0	0	0	0	0
00094	004	0	0	0	0	0	0
00095	001	0	0	0	0	0	0
00095	002	0	0	0	0	0	0
00095	003	0	0	0	0	0	0
00095	004	0	0	0	0	0	0
00096	001	0	0	0	0	0	0
00096	002	0	0	0	0	0	0
00096	003	0	0	0	0	0	0
00096	004	0	0	0	0	0	0
00097	001	0	0	0	0	0	0
00097	002	0	0	0	0	0	0
00097	003	0	0	0	0	0	0
00097	004	0	0	0	0	0	0
00098	001	0	0	0	0	0	0
00098	002	0	0	0	0	0	0

Il presente documento è di proprietà della ANTEX GROUP srl.
È Vietato la comunicazione a terzi o la riproduzione senza il permesso scritto della suddetta.
La società tutela i propri diritti a rigore di Legge.

Comm.: C21-002-S05




SASSARI EOLICA S.R.L.	PARCO EOLICO DI "SASSARI" RELAZIONE DI CALCOLO PREDIMENSIONAMENTO DELLE FONDAZIONI WTG	 Ingegneria & Innovazione		
		26/05/2023	REV: 1	Pag.49

Nodi - Reazioni vincolari esterne per tipologie di carico non sismiche							
Id _{Nd}	CC	F _x	F _y	F _z	M _x	M _y	M _z
		[N]	[N]	[N]	[N-m]	[N-m]	[N-m]
00098	003	0	0	0	0	0	0
00098	004	0	0	0	0	0	0
00099	001	0	0	0	0	0	0
00099	002	0	0	0	0	0	0
00099	003	0	0	0	0	0	0
00099	004	0	0	0	0	0	0
00100	001	0	0	0	0	0	0
00100	002	0	0	0	0	0	0
00100	003	0	0	0	0	0	0
00100	004	0	0	0	0	0	0
00101	001	0	0	0	0	0	0
00101	002	0	0	0	0	0	0
00101	003	0	0	0	0	0	0
00101	004	0	0	0	0	0	0
00102	001	0	0	0	0	0	0
00102	002	0	0	0	0	0	0
00102	003	0	0	0	0	0	0
00102	004	0	0	0	0	0	0
00103	001	0	0	0	0	0	0
00103	002	0	0	0	0	0	0
00103	003	0	0	0	0	0	0
00103	004	0	0	0	0	0	0
00104	001	0	0	0	0	0	0
00104	002	0	0	0	0	0	0
00104	003	0	0	0	0	0	0
00104	004	0	0	0	0	0	0
00105	001	0	0	0	0	0	0
00105	002	0	0	0	0	0	0
00105	003	0	0	0	0	0	0
00105	004	0	0	0	0	0	0
00106	001	0	0	0	0	0	0
00106	002	0	0	0	0	0	0
00106	003	0	0	0	0	0	0
00106	004	0	0	0	0	0	0
00107	001	0	0	0	0	0	0
00107	002	0	0	0	0	0	0
00107	003	0	0	0	0	0	0
00107	004	0	0	0	0	0	0
00108	001	0	0	0	0	0	0
00108	002	0	0	0	0	0	0
00108	003	0	0	0	0	0	0
00108	004	0	0	0	0	0	0
00109	001	0	0	0	0	0	0
00109	002	0	0	0	0	0	0
00109	003	0	0	0	0	0	0
00109	004	0	0	0	0	0	0
00110	001	0	0	0	0	0	0
00110	002	0	0	0	0	0	0
00110	003	0	0	0	0	0	0
00110	004	0	0	0	0	0	0
00111	001	0	0	0	0	0	0
00111	002	0	0	0	0	0	0
00111	003	0	0	0	0	0	0
00111	004	0	0	0	0	0	0
00112	001	0	0	0	0	0	0
00112	002	0	0	0	0	0	0
00112	003	0	0	0	0	0	0
00112	004	0	0	0	0	0	0
00113	001	0	0	0	0	0	0
00113	002	0	0	0	0	0	0
00113	003	0	0	0	0	0	0
00113	004	0	0	0	0	0	0
00114	001	0	0	0	0	0	0
00114	002	0	0	0	0	0	0
00114	003	0	0	0	0	0	0
00114	004	0	0	0	0	0	0
00115	001	0	0	0	0	0	0

Il presente documento è di proprietà della ANTEX GROUP srl.
 È Vietato la comunicazione a terzi o la riproduzione senza il permesso scritto della suddetta.
 La società tutela i propri diritti a rigore di Legge.

Comm.: C21-002-S05




SASSARI EOLICA S.R.L.	PARCO EOLICO DI "SASSARI" RELAZIONE DI CALCOLO PREDIMENSIONAMENTO DELLE FONDAZIONI WTG	 Ingegneria & Innovazione		
		26/05/2023	REV: 1	Pag.50

Nodi - Reazioni vincolari esterne per tipologie di carico non sismiche							
Id _{Nd}	CC	F _x	F _y	F _z	M _x	M _y	M _z
		[N]	[N]	[N]	[N-m]	[N-m]	[N-m]
00115	002	0	0	0	0	0	0
00115	003	0	0	0	0	0	0
00115	004	0	0	0	0	0	0
00116	001	0	0	0	0	0	0
00116	002	0	0	0	0	0	0
00116	003	0	0	0	0	0	0
00116	004	0	0	0	0	0	0
00117	001	0	0	0	0	0	0
00117	002	0	0	0	0	0	0
00117	003	0	0	0	0	0	0
00117	004	0	0	0	0	0	0
00118	001	0	0	0	0	0	0
00118	002	0	0	0	0	0	0
00118	003	0	0	0	0	0	0
00118	004	0	0	0	0	0	0
00119	001	0	0	0	0	0	0
00119	002	0	0	0	0	0	0
00119	003	0	0	0	0	0	0
00119	004	0	0	0	0	0	0
00120	001	0	0	0	0	0	0
00120	002	0	0	0	0	0	0
00120	003	0	0	0	0	0	0
00120	004	0	0	0	0	0	0
00121	001	0	0	0	0	0	0
00121	002	0	0	0	0	0	0
00121	003	0	0	0	0	0	0
00121	004	0	0	0	0	0	0
00122	001	0	0	0	0	0	0
00122	002	0	0	0	0	0	0
00122	003	0	0	0	0	0	0
00122	004	0	0	0	0	0	0
00123	001	0	0	0	0	0	0
00123	002	0	0	0	0	0	0
00123	003	0	0	0	0	0	0
00123	004	0	0	0	0	0	0
00124	001	0	0	0	0	0	0
00124	002	0	0	0	0	0	0
00124	003	0	0	0	0	0	0
00124	004	0	0	0	0	0	0
00125	001	0	0	0	0	0	0
00125	002	0	0	0	0	0	0
00125	003	0	0	0	0	0	0
00125	004	0	0	0	0	0	0
00126	001	0	0	0	0	0	0
00126	002	0	0	0	0	0	0
00126	003	0	0	0	0	0	0
00126	004	0	0	0	0	0	0
00127	001	0	0	0	0	0	0
00127	002	0	0	0	0	0	0
00127	003	0	0	0	0	0	0
00127	004	0	0	0	0	0	0
00128	001	0	0	0	0	0	0
00128	002	0	0	0	0	0	0
00128	003	0	0	0	0	0	0
00128	004	0	0	0	0	0	0
00129	001	0	0	0	0	0	0
00129	002	0	0	0	0	0	0
00129	003	0	0	0	0	0	0
00129	004	0	0	0	0	0	0
00130	001	0	0	0	0	0	0
00130	002	0	0	0	0	0	0
00130	003	0	0	0	0	0	0
00130	004	0	0	0	0	0	0
00131	001	0	0	0	0	0	0
00131	002	0	0	0	0	0	0
00131	003	0	0	0	0	0	0
00131	004	0	0	0	0	0	0

Il presente documento è di proprietà della ANTEX GROUP srl.
 È Vietato la comunicazione a terzi o la riproduzione senza il permesso scritto della suddetta.
 La società tutela i propri diritti a rigore di Legge.

Comm.: C21-002-S05




SASSARI EOLICA S.R.L.	PARCO EOLICO DI "SASSARI" RELAZIONE DI CALCOLO PREDIMENSIONAMENTO DELLE FONDAZIONI WTG	 Ingegneria & Innovazione		
		26/05/2023	REV: 1	Pag.51

Nodi - Reazioni vincolari esterne per tipologie di carico non sismiche							
Id _{Nd}	CC	F _x	F _y	F _z	M _x	M _y	M _z
		[N]	[N]	[N]	[N-m]	[N-m]	[N-m]
00132	001	0	0	0	0	0	0
00132	002	0	0	0	0	0	0
00132	003	0	0	0	0	0	0
00132	004	0	0	0	0	0	0
00133	001	0	0	0	0	0	0
00133	002	0	0	0	0	0	0
00133	003	0	0	0	0	0	0
00133	004	0	0	0	0	0	0
00134	001	0	0	0	0	0	0
00134	002	0	0	0	0	0	0
00134	003	0	0	0	0	0	0
00134	004	0	0	0	0	0	0
00135	001	0	0	0	0	0	0
00135	002	0	0	0	0	0	0
00135	003	0	0	0	0	0	0
00135	004	0	0	0	0	0	0
00136	001	0	0	0	0	0	0
00136	002	0	0	0	0	0	0
00136	003	0	0	0	0	0	0
00136	004	0	0	0	0	0	0
00137	001	0	0	0	0	0	0
00137	002	0	0	0	0	0	0
00137	003	0	0	0	0	0	0
00137	004	0	0	0	0	0	0
00138	001	0	0	0	0	0	0
00138	002	0	0	0	0	0	0
00138	003	0	0	0	0	0	0
00138	004	0	0	0	0	0	0
00139	001	0	0	0	0	0	0
00139	002	0	0	0	0	0	0
00139	003	0	0	0	0	0	0
00139	004	0	0	0	0	0	0
00140	001	0	0	0	0	0	0
00140	002	0	0	0	0	0	0
00140	003	0	0	0	0	0	0
00140	004	0	0	0	0	0	0
00141	001	0	0	0	0	0	0
00141	002	0	0	0	0	0	0
00141	003	0	0	0	0	0	0
00141	004	0	0	0	0	0	0
00142	001	0	0	0	0	0	0
00142	002	0	0	0	0	0	0
00142	003	0	0	0	0	0	0
00142	004	0	0	0	0	0	0
00143	001	0	0	0	0	0	0
00143	002	0	0	0	0	0	0
00143	003	0	0	0	0	0	0
00143	004	0	0	0	0	0	0
00144	001	0	0	0	0	0	0
00144	002	0	0	0	0	0	0
00144	003	0	0	0	0	0	0
00144	004	0	0	0	0	0	0
00145	001	0	0	0	0	0	0
00145	002	0	0	0	0	0	0
00145	003	0	0	0	0	0	0
00145	004	0	0	0	0	0	0
00146	001	0	0	0	0	0	0
00146	002	0	0	0	0	0	0
00146	003	0	0	0	0	0	0
00146	004	0	0	0	0	0	0
00147	001	0	0	0	0	0	0
00147	002	0	0	0	0	0	0
00147	003	0	0	0	0	0	0
00147	004	0	0	0	0	0	0
00148	001	0	0	0	0	0	0
00148	002	0	0	0	0	0	0
00148	003	0	0	0	0	0	0

Il presente documento è di proprietà della ANTEX GROUP srl.
 È vietato la comunicazione a terzi o la riproduzione senza il permesso scritto della suddetta.
 La società tutela i propri diritti a rigore di Legge.

Comm.: C21-002-S05




SASSARI EOLICA S.R.L.	PARCO EOLICO DI "SASSARI" RELAZIONE DI CALCOLO PREDIMENSIONAMENTO DELLE FONDAZIONI WTG	 Ingegneria & Innovazione		
		26/05/2023	REV: 1	Pag.52

Nodi - Reazioni vincolari esterne per tipologie di carico non sismiche							
Id _{Nd}	CC	F _x	F _y	F _z	M _x	M _y	M _z
		[N]	[N]	[N]	[N-m]	[N-m]	[N-m]
00148	004	0	0	0	0	0	0
00149	001	0	0	0	0	0	0
00149	002	0	0	0	0	0	0
00149	003	0	0	0	0	0	0
00149	004	0	0	0	0	0	0
00150	001	0	0	0	0	0	0
00150	002	0	0	0	0	0	0
00150	003	0	0	0	0	0	0
00150	004	0	0	0	0	0	0
00151	001	0	0	0	0	0	0
00151	002	0	0	0	0	0	0
00151	003	0	0	0	0	0	0
00151	004	0	0	0	0	0	0
00152	001	0	0	0	0	0	0
00152	002	0	0	0	0	0	0
00152	003	0	0	0	0	0	0
00152	004	0	0	0	0	0	0
00153	001	0	0	0	0	0	0
00153	002	0	0	0	0	0	0
00153	003	0	0	0	0	0	0
00153	004	0	0	0	0	0	0
00154	001	0	0	0	0	0	0
00154	002	0	0	0	0	0	0
00154	003	0	0	0	0	0	0
00154	004	0	0	0	0	0	0
00155	001	0	0	0	0	0	0
00155	002	0	0	0	0	0	0
00155	003	0	0	0	0	0	0
00155	004	0	0	0	0	0	0
00156	001	0	0	0	0	0	0
00156	002	0	0	0	0	0	0
00156	003	0	0	0	0	0	0
00156	004	0	0	0	0	0	0
00157	001	0	0	0	0	0	0
00157	002	0	0	0	0	0	0
00157	003	0	0	0	0	0	0
00157	004	0	0	0	0	0	0
00158	001	0	0	0	0	0	0
00158	002	0	0	0	0	0	0
00158	003	0	0	0	0	0	0
00158	004	0	0	0	0	0	0
00159	001	0	0	0	0	0	0
00159	002	0	0	0	0	0	0
00159	003	0	0	0	0	0	0
00159	004	0	0	0	0	0	0
00160	001	0	0	0	0	0	0
00160	002	0	0	0	0	0	0
00160	003	0	0	0	0	0	0
00160	004	0	0	0	0	0	0
00161	001	0	0	0	0	0	0
00161	002	0	0	0	0	0	0
00161	003	0	0	0	0	0	0
00161	004	0	0	0	0	0	0
00162	001	0	0	0	0	0	0
00162	002	0	0	0	0	0	0
00162	003	0	0	0	0	0	0
00162	004	0	0	0	0	0	0
00163	001	0	0	0	0	0	0
00163	002	0	0	0	0	0	0
00163	003	0	0	0	0	0	0
00163	004	0	0	0	0	0	0
00164	001	0	0	0	0	0	0
00164	002	0	0	0	0	0	0
00164	003	0	0	0	0	0	0
00164	004	0	0	0	0	0	0
00165	001	0	0	0	0	0	0
00165	002	0	0	0	0	0	0

Il presente documento è di proprietà della ANTEX GROUP srl.
 È vietato la comunicazione a terzi o la riproduzione senza il permesso scritto della suddetta.
 La società tutela i propri diritti a rigore di Legge.

Comm.: C21-002-S05




SASSARI EOLICA S.R.L.	PARCO EOLICO DI "SASSARI" RELAZIONE DI CALCOLO PREDIMENSIONAMENTO DELLE FONDAZIONI WTG	 Ingegneria & Innovazione		
		26/05/2023	REV: 1	Pag.53

Nodi - Reazioni vincolari esterne per tipologie di carico non sismiche							
Id _{Nd}	CC	F _x	F _y	F _z	M _x	M _y	M _z
		[N]	[N]	[N]	[N-m]	[N-m]	[N-m]
00165	003	0	0	0	0	0	0
00165	004	0	0	0	0	0	0
00166	001	0	0	0	0	0	0
00166	002	0	0	0	0	0	0
00166	003	0	0	0	0	0	0
00166	004	0	0	0	0	0	0
00167	001	0	0	0	0	0	0
00167	002	0	0	0	0	0	0
00167	003	0	0	0	0	0	0
00167	004	0	0	0	0	0	0
00168	001	0	0	0	0	0	0
00168	002	0	0	0	0	0	0
00168	003	0	0	0	0	0	0
00168	004	0	0	0	0	0	0
00169	001	0	0	0	0	0	0
00169	002	0	0	0	0	0	0
00169	003	0	0	0	0	0	0
00169	004	0	0	0	0	0	0
00170	001	0	0	0	0	0	0
00170	002	0	0	0	0	0	0
00170	003	0	0	0	0	0	0
00170	004	0	0	0	0	0	0
00171	001	0	0	0	0	0	0
00171	002	0	0	0	0	0	0
00171	003	0	0	0	0	0	0
00171	004	0	0	0	0	0	0
00172	001	0	0	0	0	0	0
00172	002	0	0	0	0	0	0
00172	003	0	0	0	0	0	0
00172	004	0	0	0	0	0	0
00173	001	0	0	0	0	0	0
00173	002	0	0	0	0	0	0
00173	003	0	0	0	0	0	0
00173	004	0	0	0	0	0	0
00174	001	0	0	0	0	0	0
00174	002	0	0	0	0	0	0
00174	003	0	0	0	0	0	0
00174	004	0	0	0	0	0	0
00175	001	0	0	0	0	0	0
00175	002	0	0	0	0	0	0
00175	003	0	0	0	0	0	0
00175	004	0	0	0	0	0	0
00176	001	0	0	0	0	0	0
00176	002	0	0	0	0	0	0
00176	003	0	0	0	0	0	0
00176	004	0	0	0	0	0	0
00177	001	0	0	0	0	0	0
00177	002	0	0	0	0	0	0
00177	003	0	0	0	0	0	0
00177	004	0	0	0	0	0	0
00178	001	0	0	0	0	0	0
00178	002	0	0	0	0	0	0
00178	003	0	0	0	0	0	0
00178	004	0	0	0	0	0	0
00179	001	0	0	0	0	0	0
00179	002	0	0	0	0	0	0
00179	003	0	0	0	0	0	0
00179	004	0	0	0	0	0	0
00180	001	0	0	0	0	0	0
00180	002	0	0	0	0	0	0
00180	003	0	0	0	0	0	0
00180	004	0	0	0	0	0	0
00181	001	0	0	0	0	0	0
00181	002	0	0	0	0	0	0
00181	003	0	0	0	0	0	0
00181	004	0	0	0	0	0	0
00182	001	0	0	0	0	0	0

Il presente documento è di proprietà della ANTEX GROUP srl.
 È Vietato la comunicazione a terzi o la riproduzione senza il permesso scritto della suddetta.
 La società tutela i propri diritti a rigore di Legge.

Comm.: C21-002-S05




SASSARI EOLICA S.R.L.	PARCO EOLICO DI "SASSARI" RELAZIONE DI CALCOLO PREDIMENSIONAMENTO DELLE FONDAZIONI WTG	 Ingegneria & Innovazione		
		26/05/2023	REV: 1	Pag.54

Nodi - Reazioni vincolari esterne per tipologie di carico non sismiche							
Id _{Nd}	CC	F _x	F _y	F _z	M _x	M _y	M _z
		[N]	[N]	[N]	[N-m]	[N-m]	[N-m]
00182	002	0	0	0	0	0	0
00182	003	0	0	0	0	0	0
00182	004	0	0	0	0	0	0
00183	001	0	0	0	0	0	0
00183	002	0	0	0	0	0	0
00183	003	0	0	0	0	0	0
00183	004	0	0	0	0	0	0
00184	001	0	0	0	0	0	0
00184	002	0	0	0	0	0	0
00184	003	0	0	0	0	0	0
00184	004	0	0	0	0	0	0
00185	001	0	0	0	0	0	0
00185	002	0	0	0	0	0	0
00185	003	0	0	0	0	0	0
00185	004	0	0	0	0	0	0
00186	001	0	0	0	0	0	0
00186	002	0	0	0	0	0	0
00186	003	0	0	0	0	0	0
00186	004	0	0	0	0	0	0
00187	001	0	0	0	0	0	0
00187	002	0	0	0	0	0	0
00187	003	0	0	0	0	0	0
00187	004	0	0	0	0	0	0
00188	001	0	0	0	0	0	0
00188	002	0	0	0	0	0	0
00188	003	0	0	0	0	0	0
00188	004	0	0	0	0	0	0
00189	001	0	0	0	0	0	0
00189	002	0	0	0	0	0	0
00189	003	0	0	0	0	0	0
00189	004	0	0	0	0	0	0
00190	001	0	0	0	0	0	0
00190	002	0	0	0	0	0	0
00190	003	0	0	0	0	0	0
00190	004	0	0	0	0	0	0
00191	001	0	0	0	0	0	0
00191	002	0	0	0	0	0	0
00191	003	0	0	0	0	0	0
00191	004	0	0	0	0	0	0
00192	001	0	0	0	0	0	0
00192	002	0	0	0	0	0	0
00192	003	0	0	0	0	0	0
00192	004	0	0	0	0	0	0
00193	001	0	0	0	0	0	0
00193	002	0	0	0	0	0	0
00193	003	0	0	0	0	0	0
00193	004	0	0	0	0	0	0
00194	001	0	0	0	0	0	0
00194	002	0	0	0	0	0	0
00194	003	0	0	0	0	0	0
00194	004	0	0	0	0	0	0
00195	001	0	0	0	0	0	0
00195	002	0	0	0	0	0	0
00195	003	0	0	0	0	0	0
00195	004	0	0	0	0	0	0
00196	001	0	0	0	0	0	0
00196	002	0	0	0	0	0	0
00196	003	0	0	0	0	0	0
00196	004	0	0	0	0	0	0
00197	001	0	0	0	0	0	0
00197	002	0	0	0	0	0	0
00197	003	0	0	0	0	0	0
00197	004	0	0	0	0	0	0
00198	001	0	0	0	0	0	0
00198	002	0	0	0	0	0	0
00198	003	0	0	0	0	0	0
00198	004	0	0	0	0	0	0

Il presente documento è di proprietà della ANTEX GROUP srl.
 È Vietato la comunicazione a terzi o la riproduzione senza il permesso scritto della suddetta.
 La società tutela i propri diritti a rigore di Legge.

Comm.: C21-002-S05




SASSARI EOLICA S.R.L.	PARCO EOLICO DI "SASSARI" RELAZIONE DI CALCOLO PREDIMENSIONAMENTO DELLE FONDAZIONI WTG	 Ingegneria & Innovazione		
		26/05/2023	REV: 1	Pag.55

Nodi - Reazioni vincolari esterne per tipologie di carico non sismiche							
Id _{Nd}	CC	F _x	F _y	F _z	M _x	M _y	M _z
		[N]	[N]	[N]	[N-m]	[N-m]	[N-m]
00199	001	0	0	0	0	0	0
00199	002	0	0	0	0	0	0
00199	003	0	0	0	0	0	0
00199	004	0	0	0	0	0	0
00200	001	0	0	0	0	0	0
00200	002	0	0	0	0	0	0
00200	003	0	0	0	0	0	0
00200	004	0	0	0	0	0	0
00201	001	0	0	0	0	0	0
00201	002	0	0	0	0	0	0
00201	003	0	0	0	0	0	0
00201	004	0	0	0	0	0	0
00202	001	0	0	0	0	0	0
00202	002	0	0	0	0	0	0
00202	003	0	0	0	0	0	0
00202	004	0	0	0	0	0	0
00203	001	0	0	0	0	0	0
00203	002	0	0	0	0	0	0
00203	003	0	0	0	0	0	0
00203	004	0	0	0	0	0	0
00204	001	0	0	0	0	0	0
00204	002	0	0	0	0	0	0
00204	003	0	0	0	0	0	0
00204	004	0	0	0	0	0	0
00205	001	0	0	0	0	0	0
00205	002	0	0	0	0	0	0
00205	003	0	0	0	0	0	0
00205	004	0	0	0	0	0	0
00206	001	0	0	0	0	0	0
00206	002	0	0	0	0	0	0
00206	003	0	0	0	0	0	0
00206	004	0	0	0	0	0	0
00207	001	0	0	0	0	0	0
00207	002	0	0	0	0	0	0
00207	003	0	0	0	0	0	0
00207	004	0	0	0	0	0	0
00208	001	0	0	0	0	0	0
00208	002	0	0	0	0	0	0
00208	003	0	0	0	0	0	0
00208	004	0	0	0	0	0	0
00209	001	0	0	0	0	0	0
00209	002	0	0	0	0	0	0
00209	003	0	0	0	0	0	0
00209	004	0	0	0	0	0	0
00210	001	0	0	0	0	0	0
00210	002	0	0	0	0	0	0
00210	003	0	0	0	0	0	0
00210	004	0	0	0	0	0	0
00211	001	0	0	0	0	0	0
00211	002	0	0	0	0	0	0
00211	003	0	0	0	0	0	0
00211	004	0	0	0	0	0	0
00212	001	0	0	0	0	0	0
00212	002	0	0	0	0	0	0
00212	003	0	0	0	0	0	0
00212	004	0	0	0	0	0	0
00213	001	0	0	0	0	0	0
00213	002	0	0	0	0	0	0
00213	003	0	0	0	0	0	0
00213	004	0	0	0	0	0	0
00214	001	0	0	0	0	0	0
00214	002	0	0	0	0	0	0
00214	003	0	0	0	0	0	0
00214	004	0	0	0	0	0	0
00215	001	0	0	0	0	0	0
00215	002	0	0	0	0	0	0
00215	003	0	0	0	0	0	0

Il presente documento è di proprietà della ANTEX GROUP srl.
 È Vietato la comunicazione a terzi o la riproduzione senza il permesso scritto della suddetta.
 La società tutela i propri diritti a rigore di Legge.

Comm.: C21-002-S05




SASSARI EOLICA S.R.L.	PARCO EOLICO DI "SASSARI" RELAZIONE DI CALCOLO PREDIMENSIONAMENTO DELLE FONDAZIONI WTG	 Ingegneria & Innovazione		
		26/05/2023	REV: 1	Pag.56

Nodi - Reazioni vincolari esterne per tipologie di carico non sismiche							
Id _{Nd}	CC	F _x	F _y	F _z	M _x	M _y	M _z
		[N]	[N]	[N]	[N-m]	[N-m]	[N-m]
00215	004	0	0	0	0	0	0
00216	001	0	0	0	0	0	0
00216	002	0	0	0	0	0	0
00216	003	0	0	0	0	0	0
00216	004	0	0	0	0	0	0
00217	001	0	0	0	0	0	0
00217	002	0	0	0	0	0	0
00217	003	0	0	0	0	0	0
00217	004	0	0	0	0	0	0
00218	001	0	0	0	0	0	0
00218	002	0	0	0	0	0	0
00218	003	0	0	0	0	0	0
00218	004	0	0	0	0	0	0
00219	001	0	0	0	0	0	0
00219	002	0	0	0	0	0	0
00219	003	0	0	0	0	0	0
00219	004	0	0	0	0	0	0
00220	001	0	0	0	0	0	0
00220	002	0	0	0	0	0	0
00220	003	0	0	0	0	0	0
00220	004	0	0	0	0	0	0
00221	001	0	0	0	0	0	0
00221	002	0	0	0	0	0	0
00221	003	0	0	0	0	0	0
00221	004	0	0	0	0	0	0
00222	001	0	0	0	0	0	0
00222	002	0	0	0	0	0	0
00222	003	0	0	0	0	0	0
00222	004	0	0	0	0	0	0
00223	001	0	0	0	0	0	0
00223	002	0	0	0	0	0	0
00223	003	0	0	0	0	0	0
00223	004	0	0	0	0	0	0
00224	001	0	0	0	0	0	0
00224	002	0	0	0	0	0	0
00224	003	0	0	0	0	0	0
00224	004	0	0	0	0	0	0
00225	001	0	0	0	0	0	0
00225	002	0	0	0	0	0	0
00225	003	0	0	0	0	0	0
00225	004	0	0	0	0	0	0
00226	001	0	0	0	0	0	0
00226	002	0	0	0	0	0	0
00226	003	0	0	0	0	0	0
00226	004	0	0	0	0	0	0
00227	001	0	0	0	0	0	0
00227	002	0	0	0	0	0	0
00227	003	0	0	0	0	0	0
00227	004	0	0	0	0	0	0
00228	001	0	0	0	0	0	0
00228	002	0	0	0	0	0	0
00228	003	0	0	0	0	0	0
00228	004	0	0	0	0	0	0
00229	001	0	0	0	0	0	0
00229	002	0	0	0	0	0	0
00229	003	0	0	0	0	0	0
00229	004	0	0	0	0	0	0
00230	001	0	0	0	0	0	0
00230	002	0	0	0	0	0	0
00230	003	0	0	0	0	0	0
00230	004	0	0	0	0	0	0
00231	001	0	0	0	0	0	0
00231	002	0	0	0	0	0	0
00231	003	0	0	0	0	0	0
00231	004	0	0	0	0	0	0
00232	001	0	0	0	0	0	0
00232	002	0	0	0	0	0	0

Il presente documento è di proprietà della ANTEX GROUP srl.
È Vietato la comunicazione a terzi o la riproduzione senza il permesso scritto della suddetta.
La società tutela i propri diritti a rigore di Legge.

Comm.: C21-002-S05




SASSARI EOLICA S.R.L.	PARCO EOLICO DI "SASSARI" RELAZIONE DI CALCOLO PREDIMENSIONAMENTO DELLE FONDAZIONI WTG	 Ingegneria & Innovazione		
		26/05/2023	REV: 1	Pag.57

Nodi - Reazioni vincolari esterne per tipologie di carico non sismiche							
Id _{Nd}	CC	F _x	F _y	F _z	M _x	M _y	M _z
		[N]	[N]	[N]	[N-m]	[N-m]	[N-m]
00232	003	0	0	0	0	0	0
00232	004	0	0	0	0	0	0
00233	001	0	0	0	0	0	0
00233	002	0	0	0	0	0	0
00233	003	0	0	0	0	0	0
00233	004	0	0	0	0	0	0
00234	001	0	0	0	0	0	0
00234	002	0	0	0	0	0	0
00234	003	0	0	0	0	0	0
00234	004	0	0	0	0	0	0
00235	001	0	0	0	0	0	0
00235	002	0	0	0	0	0	0
00235	003	0	0	0	0	0	0
00235	004	0	0	0	0	0	0
00236	001	0	0	0	0	0	0
00236	002	0	0	0	0	0	0
00236	003	0	0	0	0	0	0
00236	004	0	0	0	0	0	0
00237	001	0	0	0	0	0	0
00237	002	0	0	0	0	0	0
00237	003	0	0	0	0	0	0
00237	004	0	0	0	0	0	0
00238	001	0	0	0	0	0	0
00238	002	0	0	0	0	0	0
00238	003	0	0	0	0	0	0
00238	004	0	0	0	0	0	0
00239	001	0	0	0	0	0	0
00239	002	0	0	0	0	0	0
00239	003	0	0	0	0	0	0
00239	004	0	0	0	0	0	0
00240	001	0	0	0	0	0	0
00240	002	0	0	0	0	0	0
00240	003	0	0	0	0	0	0
00240	004	0	0	0	0	0	0
00241	001	0	0	0	0	0	0
00241	002	0	0	0	0	0	0
00241	003	0	0	0	0	0	0
00241	004	0	0	0	0	0	0
00242	001	0	0	0	0	0	0
00242	002	0	0	0	0	0	0
00242	003	0	0	0	0	0	0
00242	004	0	0	0	0	0	0
00243	001	0	0	0	0	0	0
00243	002	0	0	0	0	0	0
00243	003	0	0	0	0	0	0
00243	004	0	0	0	0	0	0
00244	001	0	0	0	0	0	0
00244	002	0	0	0	0	0	0
00244	003	0	0	0	0	0	0
00244	004	0	0	0	0	0	0
00245	001	0	0	0	0	0	0
00245	002	0	0	0	0	0	0
00245	003	0	0	0	0	0	0
00245	004	0	0	0	0	0	0
00246	001	0	0	0	0	0	0
00246	002	0	0	0	0	0	0
00246	003	0	0	0	0	0	0
00246	004	0	0	0	0	0	0
00247	001	0	0	0	0	0	0
00247	002	0	0	0	0	0	0
00247	003	0	0	0	0	0	0
00247	004	0	0	0	0	0	0
00248	001	0	0	0	0	0	0
00248	002	0	0	0	0	0	0
00248	003	0	0	0	0	0	0
00248	004	0	0	0	0	0	0
00249	001	0	0	0	0	0	0

Il presente documento è di proprietà della ANTEX GROUP srl.
 È Vietato la comunicazione a terzi o la riproduzione senza il permesso scritto della suddetta.
 La società tutela i propri diritti a rigore di Legge.

Comm.: C21-002-S05




SASSARI EOLICA S.R.L.	PARCO EOLICO DI "SASSARI" RELAZIONE DI CALCOLO PREDIMENSIONAMENTO DELLE FONDAZIONI WTG	 Ingegneria & Innovazione		
		26/05/2023	REV: 1	Pag.58

Nodi - Reazioni vincolari esterne per tipologie di carico non sismiche							
Id _{Nd}	CC	F _x	F _y	F _z	M _x	M _y	M _z
		[N]	[N]	[N]	[N-m]	[N-m]	[N-m]
00249	002	0	0	0	0	0	0
00249	003	0	0	0	0	0	0
00249	004	0	0	0	0	0	0
00250	001	0	0	0	0	0	0
00250	002	0	0	0	0	0	0
00250	003	0	0	0	0	0	0
00250	004	0	0	0	0	0	0
00251	001	0	0	0	0	0	0
00251	002	0	0	0	0	0	0
00251	003	0	0	0	0	0	0
00251	004	0	0	0	0	0	0
00252	001	0	0	0	0	0	0
00252	002	0	0	0	0	0	0
00252	003	0	0	0	0	0	0
00252	004	0	0	0	0	0	0
00253	001	0	0	0	0	0	0
00253	002	0	0	0	0	0	0
00253	003	0	0	0	0	0	0
00253	004	0	0	0	0	0	0
00254	001	0	0	0	0	0	0
00254	002	0	0	0	0	0	0
00254	003	0	0	0	0	0	0
00254	004	0	0	0	0	0	0
00255	001	0	0	0	0	0	0
00255	002	0	0	0	0	0	0
00255	003	0	0	0	0	0	0
00255	004	0	0	0	0	0	0
00256	001	0	0	0	0	0	0
00256	002	0	0	0	0	0	0
00256	003	0	0	0	0	0	0
00256	004	0	0	0	0	0	0
00257	001	0	0	0	0	0	0
00257	002	0	0	0	0	0	0
00257	003	0	0	0	0	0	0
00257	004	0	0	0	0	0	0
00258	001	0	0	0	0	0	0
00258	002	0	0	0	0	0	0
00258	003	0	0	0	0	0	0
00258	004	0	0	0	0	0	0
00259	001	0	0	0	0	0	0
00259	002	0	0	0	0	0	0
00259	003	0	0	0	0	0	0
00259	004	0	0	0	0	0	0
00260	001	0	0	0	0	0	0
00260	002	0	0	0	0	0	0
00260	003	0	0	0	0	0	0
00260	004	0	0	0	0	0	0
00261	001	0	0	0	0	0	0
00261	002	0	0	0	0	0	0
00261	003	0	0	0	0	0	0
00261	004	0	0	0	0	0	0
00262	001	0	0	0	0	0	0
00262	002	0	0	0	0	0	0
00262	003	0	0	0	0	0	0
00262	004	0	0	0	0	0	0
00263	001	0	0	0	0	0	0
00263	002	0	0	0	0	0	0
00263	003	0	0	0	0	0	0
00263	004	0	0	0	0	0	0
00264	001	0	0	0	0	0	0
00264	002	0	0	0	0	0	0
00264	003	0	0	0	0	0	0
00264	004	0	0	0	0	0	0
00265	001	0	0	0	0	0	0
00265	002	0	0	0	0	0	0
00265	003	0	0	0	0	0	0
00265	004	0	0	0	0	0	0

Il presente documento è di proprietà della ANTEX GROUP srl.
 È vietato la comunicazione a terzi o la riproduzione senza il permesso scritto della suddetta.
 La società tutela i propri diritti a rigore di Legge.

Comm.: C21-002-S05




SASSARI EOLICA S.R.L.	PARCO EOLICO DI "SASSARI" RELAZIONE DI CALCOLO PREDIMENSIONAMENTO DELLE FONDAZIONI WTG	 Ingegneria & Innovazione		
		26/05/2023	REV: 1	Pag.59

Nodi - Reazioni vincolari esterne per tipologie di carico non sismiche							
Id _{Nd}	CC	F _x	F _y	F _z	M _x	M _y	M _z
		[N]	[N]	[N]	[N-m]	[N-m]	[N-m]
00266	001	0	0	0	0	0	0
00266	002	0	0	0	0	0	0
00266	003	0	0	0	0	0	0
00266	004	0	0	0	0	0	0
00267	001	0	0	0	0	0	0
00267	002	0	0	0	0	0	0
00267	003	0	0	0	0	0	0
00267	004	0	0	0	0	0	0
00268	001	0	0	0	0	0	0
00268	002	0	0	0	0	0	0
00268	003	0	0	0	0	0	0
00268	004	0	0	0	0	0	0
00269	001	0	0	0	0	0	0
00269	002	0	0	0	0	0	0
00269	003	0	0	0	0	0	0
00269	004	0	0	0	0	0	0
00270	001	0	0	0	0	0	0
00270	002	0	0	0	0	0	0
00270	003	0	0	0	0	0	0
00270	004	0	0	0	0	0	0
00271	001	0	0	0	0	0	0
00271	002	0	0	0	0	0	0
00271	003	0	0	0	0	0	0
00271	004	0	0	0	0	0	0
00272	001	0	0	0	0	0	0
00272	002	0	0	0	0	0	0
00272	003	0	0	0	0	0	0
00272	004	0	0	0	0	0	0
00273	001	0	0	0	0	0	0
00273	002	0	0	0	0	0	0
00273	003	0	0	0	0	0	0
00273	004	0	0	0	0	0	0
00274	001	0	0	0	0	0	0
00274	002	0	0	0	0	0	0
00274	003	0	0	0	0	0	0
00274	004	0	0	0	0	0	0
00275	001	0	0	0	0	0	0
00275	002	0	0	0	0	0	0
00275	003	0	0	0	0	0	0
00275	004	0	0	0	0	0	0
00276	001	0	0	0	0	0	0
00276	002	0	0	0	0	0	0
00276	003	0	0	0	0	0	0
00276	004	0	0	0	0	0	0
00277	001	0	0	0	0	0	0
00277	002	0	0	0	0	0	0
00277	003	0	0	0	0	0	0
00277	004	0	0	0	0	0	0
00278	001	0	0	0	0	0	0
00278	002	0	0	0	0	0	0
00278	003	0	0	0	0	0	0
00278	004	0	0	0	0	0	0
00279	001	0	0	0	0	0	0
00279	002	0	0	0	0	0	0
00279	003	0	0	0	0	0	0
00279	004	0	0	0	0	0	0
00280	001	0	0	0	0	0	0
00280	002	0	0	0	0	0	0
00280	003	0	0	0	0	0	0
00280	004	0	0	0	0	0	0
00281	001	0	0	0	0	0	0
00281	002	0	0	0	0	0	0
00281	003	0	0	0	0	0	0
00281	004	0	0	0	0	0	0
00282	001	0	0	0	0	0	0
00282	002	0	0	0	0	0	0
00282	003	0	0	0	0	0	0

Il presente documento è di proprietà della ANTEX GROUP srl.
 È Vietato la comunicazione a terzi o la riproduzione senza il permesso scritto della suddetta.
 La società tutela i propri diritti a rigore di Legge.

Comm.: C21-002-S05




SASSARI EOLICA S.R.L.	PARCO EOLICO DI "SASSARI" RELAZIONE DI CALCOLO PREDIMENSIONAMENTO DELLE FONDAZIONI WTG	 Ingegneria & Innovazione		
		26/05/2023	REV: 1	Pag.60

Nodi - Reazioni vincolari esterne per tipologie di carico non sismiche							
Id _{Nd}	CC	F _x	F _y	F _z	M _x	M _y	M _z
		[N]	[N]	[N]	[N-m]	[N-m]	[N-m]
00282	004	0	0	0	0	0	0
00283	001	0	0	0	0	0	0
00283	002	0	0	0	0	0	0
00283	003	0	0	0	0	0	0
00283	004	0	0	0	0	0	0
00284	001	0	0	0	0	0	0
00284	002	0	0	0	0	0	0
00284	003	0	0	0	0	0	0
00284	004	0	0	0	0	0	0
00285	001	0	0	0	0	0	0
00285	002	0	0	0	0	0	0
00285	003	0	0	0	0	0	0
00285	004	0	0	0	0	0	0
00286	001	0	0	0	0	0	0
00286	002	0	0	0	0	0	0
00286	003	0	0	0	0	0	0
00286	004	0	0	0	0	0	0
00287	001	0	0	0	0	0	0
00287	002	0	0	0	0	0	0
00287	003	0	0	0	0	0	0
00287	004	0	0	0	0	0	0
00288	001	0	0	0	0	0	0
00288	002	0	0	0	0	0	0
00288	003	0	0	0	0	0	0
00288	004	0	0	0	0	0	0
00289	001	0	0	0	0	0	0
00289	002	0	0	0	0	0	0
00289	003	0	0	0	0	0	0
00289	004	0	0	0	0	0	0
00290	001	0	0	0	0	0	0
00290	002	0	0	0	0	0	0
00290	003	0	0	0	0	0	0
00290	004	0	0	0	0	0	0
00291	001	0	0	0	0	0	0
00291	002	0	0	0	0	0	0
00291	003	0	0	0	0	0	0
00291	004	0	0	0	0	0	0
00292	001	0	0	0	0	0	0
00292	002	0	0	0	0	0	0
00292	003	0	0	0	0	0	0
00292	004	0	0	0	0	0	0
00293	001	0	0	0	0	0	0
00293	002	0	0	0	0	0	0
00293	003	0	0	0	0	0	0
00293	004	0	0	0	0	0	0
00294	001	0	0	0	0	0	0
00294	002	0	0	0	0	0	0
00294	003	0	0	0	0	0	0
00294	004	0	0	0	0	0	0
00295	001	0	0	0	0	0	0
00295	002	0	0	0	0	0	0
00295	003	0	0	0	0	0	0
00295	004	0	0	0	0	0	0
00296	001	0	0	0	0	0	0
00296	002	0	0	0	0	0	0
00296	003	0	0	0	0	0	0
00296	004	0	0	0	0	0	0
00297	001	0	0	0	0	0	0
00297	002	0	0	0	0	0	0
00297	003	0	0	0	0	0	0
00297	004	0	0	0	0	0	0
00298	001	0	0	0	0	0	0
00298	002	0	0	0	0	0	0
00298	003	0	0	0	0	0	0
00298	004	0	0	0	0	0	0
00299	001	0	0	0	0	0	0
00299	002	0	0	0	0	0	0

Il presente documento è di proprietà della ANTEX GROUP srl.
È Vietato la comunicazione a terzi o la riproduzione senza il permesso scritto della suddetta.
La società tutela i propri diritti a rigore di Legge.

Comm.: C21-002-S05




SASSARI EOLICA S.R.L.	PARCO EOLICO DI "SASSARI" RELAZIONE DI CALCOLO PREDIMENSIONAMENTO DELLE FONDAZIONI WTG	 Ingegneria & Innovazione		
		26/05/2023	REV: 1	Pag.61

Nodi - Reazioni vincolari esterne per tipologie di carico non sismiche							
Id _{Nd}	CC	F _x	F _y	F _z	M _x	M _y	M _z
		[N]	[N]	[N]	[N-m]	[N-m]	[N-m]
00299	003	0	0	0	0	0	0
00299	004	0	0	0	0	0	0
00300	001	0	0	0	0	0	0
00300	002	0	0	0	0	0	0
00300	003	0	0	0	0	0	0
00300	004	0	0	0	0	0	0
00301	001	0	0	0	0	0	0
00301	002	0	0	0	0	0	0
00301	003	0	0	0	0	0	0
00301	004	0	0	0	0	0	0
00302	001	0	0	0	0	0	0
00302	002	0	0	0	0	0	0
00302	003	0	0	0	0	0	0
00302	004	0	0	0	0	0	0
00303	001	0	0	0	0	0	0
00303	002	0	0	0	0	0	0
00303	003	0	0	0	0	0	0
00303	004	0	0	0	0	0	0
00304	001	0	0	0	0	0	0
00304	002	0	0	0	0	0	0
00304	003	0	0	0	0	0	0
00304	004	0	0	0	0	0	0
00305	001	0	0	0	0	0	0
00305	002	0	0	0	0	0	0
00305	003	0	0	0	0	0	0
00305	004	0	0	0	0	0	0
00306	001	0	0	0	0	0	0
00306	002	0	0	0	0	0	0
00306	003	0	0	0	0	0	0
00306	004	0	0	0	0	0	0
00307	001	0	0	0	0	0	0
00307	002	0	0	0	0	0	0
00307	003	0	0	0	0	0	0
00307	004	0	0	0	0	0	0
00308	001	0	0	0	0	0	0
00308	002	0	0	0	0	0	0
00308	003	0	0	0	0	0	0
00308	004	0	0	0	0	0	0
00309	001	0	0	0	0	0	0
00309	002	0	0	0	0	0	0
00309	003	0	0	0	0	0	0
00309	004	0	0	0	0	0	0
00310	001	0	0	0	0	0	0
00310	002	0	0	0	0	0	0
00310	003	0	0	0	0	0	0
00310	004	0	0	0	0	0	0
00311	001	0	0	0	0	0	0
00311	002	0	0	0	0	0	0
00311	003	0	0	0	0	0	0
00311	004	0	0	0	0	0	0
00312	001	0	0	0	0	0	0
00312	002	0	0	0	0	0	0
00312	003	0	0	0	0	0	0
00312	004	0	0	0	0	0	0
00313	001	0	0	0	0	0	0
00313	002	0	0	0	0	0	0
00313	003	0	0	0	0	0	0
00313	004	0	0	0	0	0	0
00314	001	0	0	0	0	0	0
00314	002	0	0	0	0	0	0
00314	003	0	0	0	0	0	0
00314	004	0	0	0	0	0	0
00315	001	0	0	0	0	0	0
00315	002	0	0	0	0	0	0
00315	003	0	0	0	0	0	0
00315	004	0	0	0	0	0	0
00316	001	0	0	0	0	0	0

Il presente documento è di proprietà della ANTEX GROUP srl.
È Vietato la comunicazione a terzi o la riproduzione senza il permesso scritto della suddetta.
La società tutela i propri diritti a rigore di Legge.

Comm.: C21-002-S05




SASSARI EOLICA S.R.L.	PARCO EOLICO DI "SASSARI" RELAZIONE DI CALCOLO PREDIMENSIONAMENTO DELLE FONDAZIONI WTG	 Ingegneria & Innovazione		
		26/05/2023	REV: 1	Pag.62

Nodi - Reazioni vincolari esterne per tipologie di carico non sismiche							
Id _{Nd}	CC	F _x	F _y	F _z	M _x	M _y	M _z
		[N]	[N]	[N]	[N-m]	[N-m]	[N-m]
00316	002	0	0	0	0	0	0
00316	003	0	0	0	0	0	0
00316	004	0	0	0	0	0	0
00317	001	0	0	0	0	0	0
00317	002	0	0	0	0	0	0
00317	003	0	0	0	0	0	0
00317	004	0	0	0	0	0	0
00318	001	0	0	0	0	0	0
00318	002	0	0	0	0	0	0
00318	003	0	0	0	0	0	0
00318	004	0	0	0	0	0	0
00319	001	0	0	0	0	0	0
00319	002	0	0	0	0	0	0
00319	003	0	0	0	0	0	0
00319	004	0	0	0	0	0	0
00320	001	0	0	0	0	0	0
00320	002	0	0	0	0	0	0
00320	003	0	0	0	0	0	0
00320	004	0	0	0	0	0	0
00321	001	0	0	0	0	0	0
00321	002	0	0	0	0	0	0
00321	003	0	0	0	0	0	0
00321	004	0	0	0	0	0	0
00322	001	0	0	0	0	0	0
00322	002	0	0	0	0	0	0
00322	003	0	0	0	0	0	0
00322	004	0	0	0	0	0	0
00323	001	0	0	0	0	0	0
00323	002	0	0	0	0	0	0
00323	003	0	0	0	0	0	0
00323	004	0	0	0	0	0	0
00324	001	0	0	0	0	0	0
00324	002	0	0	0	0	0	0
00324	003	0	0	0	0	0	0
00324	004	0	0	0	0	0	0
00325	001	0	0	0	0	0	0
00325	002	0	0	0	0	0	0
00325	003	0	0	0	0	0	0
00325	004	0	0	0	0	0	0
00326	001	0	0	0	0	0	0
00326	002	0	0	0	0	0	0
00326	003	0	0	0	0	0	0
00326	004	0	0	0	0	0	0
00327	001	0	0	0	0	0	0
00327	002	0	0	0	0	0	0
00327	003	0	0	0	0	0	0
00327	004	0	0	0	0	0	0
00328	001	0	0	0	0	0	0
00328	002	0	0	0	0	0	0
00328	003	0	0	0	0	0	0
00328	004	0	0	0	0	0	0
00329	001	0	0	0	0	0	0
00329	002	0	0	0	0	0	0
00329	003	0	0	0	0	0	0
00329	004	0	0	0	0	0	0
00330	001	0	0	0	0	0	0
00330	002	0	0	0	0	0	0
00330	003	0	0	0	0	0	0
00330	004	0	0	0	0	0	0
00331	001	0	0	0	0	0	0
00331	002	0	0	0	0	0	0
00331	003	0	0	0	0	0	0
00331	004	0	0	0	0	0	0
00332	001	0	0	0	0	0	0
00332	002	0	0	0	0	0	0
00332	003	0	0	0	0	0	0
00332	004	0	0	0	0	0	0


Il presente documento è di proprietà della ANTEX GROUP srl.
 È vietato la comunicazione a terzi o la riproduzione senza il permesso scritto della suddetta.
 La società tutela i propri diritti a rigore di Legge.

Comm.: C21-002-S05



SASSARI EOLICA S.R.L.	PARCO EOLICO DI "SASSARI" RELAZIONE DI CALCOLO PREDIMENSIONAMENTO DELLE FONDAZIONI WTG	 Ingegneria & Innovazione		
		26/05/2023	REV: 1	Pag.63

Nodi - Reazioni vincolari esterne per tipologie di carico non sismiche							
Id _{Nd}	CC	F _x	F _y	F _z	M _x	M _y	M _z
		[N]	[N]	[N]	[N-m]	[N-m]	[N-m]
00333	001	0	0	0	0	0	0
00333	002	0	0	0	0	0	0
00333	003	0	0	0	0	0	0
00333	004	0	0	0	0	0	0
00334	001	0	0	0	0	0	0
00334	002	0	0	0	0	0	0
00334	003	0	0	0	0	0	0
00334	004	0	0	0	0	0	0
00335	001	0	0	0	0	0	0
00335	002	0	0	0	0	0	0
00335	003	0	0	0	0	0	0
00335	004	0	0	0	0	0	0
00336	001	0	0	0	0	0	0
00336	002	0	0	0	0	0	0
00336	003	0	0	0	0	0	0
00336	004	0	0	0	0	0	0
00337	001	0	0	0	0	0	0
00337	002	0	0	0	0	0	0
00337	003	0	0	0	0	0	0
00337	004	0	0	0	0	0	0
00338	001	0	0	0	0	0	0
00338	002	0	0	0	0	0	0
00338	003	0	0	0	0	0	0
00338	004	0	0	0	0	0	0
00339	001	0	0	0	0	0	0
00339	002	0	0	0	0	0	0
00339	003	0	0	0	0	0	0
00339	004	0	0	0	0	0	0
00340	001	0	0	0	0	0	0
00340	002	0	0	0	0	0	0
00340	003	0	0	0	0	0	0
00340	004	0	0	0	0	0	0
00341	001	0	0	0	0	0	0
00341	002	0	0	0	0	0	0
00341	003	0	0	0	0	0	0
00341	004	0	0	0	0	0	0
00342	001	0	0	0	0	0	0
00342	002	0	0	0	0	0	0
00342	003	0	0	0	0	0	0
00342	004	0	0	0	0	0	0
00343	001	0	0	0	0	0	0
00343	002	0	0	0	0	0	0
00343	003	0	0	0	0	0	0
00343	004	0	0	0	0	0	0
00344	001	0	0	0	0	0	0
00344	002	0	0	0	0	0	0
00344	003	0	0	0	0	0	0
00344	004	0	0	0	0	0	0
00345	001	0	0	0	0	0	0
00345	002	0	0	0	0	0	0
00345	003	0	0	0	0	0	0
00345	004	0	0	0	0	0	0
00346	001	0	0	0	0	0	0
00346	002	0	0	0	0	0	0
00346	003	0	0	0	0	0	0
00346	004	0	0	0	0	0	0
00347	001	0	0	0	0	0	0
00347	002	0	0	0	0	0	0
00347	003	0	0	0	0	0	0
00347	004	0	0	0	0	0	0
00348	001	0	0	0	0	0	0
00348	002	0	0	0	0	0	0
00348	003	0	0	0	0	0	0
00348	004	0	0	0	0	0	0
00349	001	0	0	0	0	0	0
00349	002	0	0	0	0	0	0
00349	003	0	0	0	0	0	0


SASSARI EOLICA S.R.L.	PARCO EOLICO DI "SASSARI" RELAZIONE DI CALCOLO PREDIMENSIONAMENTO DELLE FONDAZIONI WTG	 Ingegneria & Innovazione		
		26/05/2023	REV: 1	Pag.64

Nodi - Reazioni vincolari esterne per tipologie di carico non sismiche							
Id _{Nd}	CC	F _x	F _y	F _z	M _x	M _y	M _z
		[N]	[N]	[N]	[N-m]	[N-m]	[N-m]
00349	004	0	0	0	0	0	0
00350	001	0	0	0	0	0	0
00350	002	0	0	0	0	0	0
00350	003	0	0	0	0	0	0
00350	004	0	0	0	0	0	0
00351	001	0	0	0	0	0	0
00351	002	0	0	0	0	0	0
00351	003	0	0	0	0	0	0
00351	004	0	0	0	0	0	0
00352	001	0	0	0	0	0	0
00352	002	0	0	0	0	0	0
00352	003	0	0	0	0	0	0
00352	004	0	0	0	0	0	0
00353	001	0	0	0	0	0	0
00353	002	0	0	0	0	0	0
00353	003	0	0	0	0	0	0
00353	004	0	0	0	0	0	0
00354	001	0	0	0	0	0	0
00354	002	0	0	0	0	0	0
00354	003	0	0	0	0	0	0
00354	004	0	0	0	0	0	0
00355	001	0	0	0	0	0	0
00355	002	0	0	0	0	0	0
00355	003	0	0	0	0	0	0
00355	004	0	0	0	0	0	0
00356	001	0	0	0	0	0	0
00356	002	0	0	0	0	0	0
00356	003	0	0	0	0	0	0
00356	004	0	0	0	0	0	0
00357	001	0	0	0	0	0	0
00357	002	0	0	0	0	0	0
00357	003	0	0	0	0	0	0
00357	004	0	0	0	0	0	0
00358	001	0	0	0	0	0	0
00358	002	0	0	0	0	0	0
00358	003	0	0	0	0	0	0
00358	004	0	0	0	0	0	0
00359	001	0	0	0	0	0	0
00359	002	0	0	0	0	0	0
00359	003	0	0	0	0	0	0
00359	004	0	0	0	0	0	0
00360	001	0	0	0	0	0	0
00360	002	0	0	0	0	0	0
00360	003	0	0	0	0	0	0
00360	004	0	0	0	0	0	0
00361	001	0	0	0	0	0	0
00361	002	0	0	0	0	0	0
00361	003	0	0	0	0	0	0
00361	004	0	0	0	0	0	0
00362	001	0	0	0	0	0	0
00362	002	0	0	0	0	0	0
00362	003	0	0	0	0	0	0
00362	004	0	0	0	0	0	0
00363	001	0	0	0	0	0	0
00363	002	0	0	0	0	0	0
00363	003	0	0	0	0	0	0
00363	004	0	0	0	0	0	0
00364	001	0	0	0	0	0	0
00364	002	0	0	0	0	0	0
00364	003	0	0	0	0	0	0
00364	004	0	0	0	0	0	0
00365	001	0	0	0	0	0	0
00365	002	0	0	0	0	0	0
00365	003	0	0	0	0	0	0
00365	004	0	0	0	0	0	0
00366	001	0	0	0	0	0	0
00366	002	0	0	0	0	0	0

Il presente documento è di proprietà della ANTEX GROUP srl.
 È Vietato la comunicazione a terzi o la riproduzione senza il permesso scritto della suddetta.
 La società tutela i propri diritti a rigore di Legge.

Comm.: C21-002-S05




SASSARI EOLICA S.R.L.	PARCO EOLICO DI "SASSARI" RELAZIONE DI CALCOLO PREDIMENSIONAMENTO DELLE FONDAZIONI WTG	 Ingegneria & Innovazione		
		26/05/2023	REV: 1	Pag.65

Nodi - Reazioni vincolari esterne per tipologie di carico non sismiche							
Id _{Nd}	CC	F _x	F _y	F _z	M _x	M _y	M _z
		[N]	[N]	[N]	[N-m]	[N-m]	[N-m]
00366	003	0	0	0	0	0	0
00366	004	0	0	0	0	0	0
00367	001	0	0	0	0	0	0
00367	002	0	0	0	0	0	0
00367	003	0	0	0	0	0	0
00367	004	0	0	0	0	0	0
00368	001	0	0	0	0	0	0
00368	002	0	0	0	0	0	0
00368	003	0	0	0	0	0	0
00368	004	0	0	0	0	0	0
00369	001	0	0	0	0	0	0
00369	002	0	0	0	0	0	0
00369	003	0	0	0	0	0	0
00369	004	0	0	0	0	0	0
00370	001	0	0	0	0	0	0
00370	002	0	0	0	0	0	0
00370	003	0	0	0	0	0	0
00370	004	0	0	0	0	0	0
00371	001	0	0	0	0	0	0
00371	002	0	0	0	0	0	0
00371	003	0	0	0	0	0	0
00371	004	0	0	0	0	0	0
00372	001	0	0	0	0	0	0
00372	002	0	0	0	0	0	0
00372	003	0	0	0	0	0	0
00372	004	0	0	0	0	0	0
00373	001	0	0	0	0	0	0
00373	002	0	0	0	0	0	0
00373	003	0	0	0	0	0	0
00373	004	0	0	0	0	0	0
00374	001	0	0	0	0	0	0
00374	002	0	0	0	0	0	0
00374	003	0	0	0	0	0	0
00374	004	0	0	0	0	0	0
00375	001	0	0	0	0	0	0
00375	002	0	0	0	0	0	0
00375	003	0	0	0	0	0	0
00375	004	0	0	0	0	0	0
00376	001	0	0	0	0	0	0
00376	002	0	0	0	0	0	0
00376	003	0	0	0	0	0	0
00376	004	0	0	0	0	0	0
00377	001	0	0	0	0	0	0
00377	002	0	0	0	0	0	0
00377	003	0	0	0	0	0	0
00377	004	0	0	0	0	0	0
00378	001	0	0	0	0	0	0
00378	002	0	0	0	0	0	0
00378	003	0	0	0	0	0	0
00378	004	0	0	0	0	0	0
00379	001	0	0	0	0	0	0
00379	002	0	0	0	0	0	0
00379	003	0	0	0	0	0	0
00379	004	0	0	0	0	0	0
00380	001	0	0	0	0	0	0
00380	002	0	0	0	0	0	0
00380	003	0	0	0	0	0	0
00380	004	0	0	0	0	0	0
00381	001	0	0	0	0	0	0
00381	002	0	0	0	0	0	0
00381	003	0	0	0	0	0	0
00381	004	0	0	0	0	0	0
00382	001	0	0	0	0	0	0
00382	002	0	0	0	0	0	0
00382	003	0	0	0	0	0	0
00382	004	0	0	0	0	0	0
00383	001	0	0	0	0	0	0

Il presente documento è di proprietà della ANTEX GROUP srl.
 È vietato la comunicazione a terzi o la riproduzione senza il permesso scritto della suddetta.
 La società tutela i propri diritti a rigore di Legge.

Comm.: C21-002-S05




SASSARI EOLICA S.R.L.	PARCO EOLICO DI "SASSARI" RELAZIONE DI CALCOLO PREDIMENSIONAMENTO DELLE FONDAZIONI WTG	 Ingegneria & Innovazione		
		26/05/2023	REV: 1	Pag.66

Nodi - Reazioni vincolari esterne per tipologie di carico non sismiche							
Id _{Nd}	CC	F _x	F _y	F _z	M _x	M _y	M _z
		[N]	[N]	[N]	[N-m]	[N-m]	[N-m]
00383	002	0	0	0	0	0	0
00383	003	0	0	0	0	0	0
00383	004	0	0	0	0	0	0
00384	001	0	0	0	0	0	0
00384	002	0	0	0	0	0	0
00384	003	0	0	0	0	0	0
00384	004	0	0	0	0	0	0
00385	001	0	0	0	0	0	0
00385	002	0	0	0	0	0	0
00385	003	0	0	0	0	0	0
00385	004	0	0	0	0	0	0
00386	001	0	0	0	0	0	0
00386	002	0	0	0	0	0	0
00386	003	0	0	0	0	0	0
00386	004	0	0	0	0	0	0
00387	001	0	0	0	0	0	0
00387	002	0	0	0	0	0	0
00387	003	0	0	0	0	0	0
00387	004	0	0	0	0	0	0
00388	001	0	0	0	0	0	0
00388	002	0	0	0	0	0	0
00388	003	0	0	0	0	0	0
00388	004	0	0	0	0	0	0
00389	001	0	0	0	0	0	0
00389	002	0	0	0	0	0	0
00389	003	0	0	0	0	0	0
00389	004	0	0	0	0	0	0
00390	001	0	0	0	0	0	0
00390	002	0	0	0	0	0	0
00390	003	0	0	0	0	0	0
00390	004	0	0	0	0	0	0
00391	001	0	0	0	0	0	0
00391	002	0	0	0	0	0	0
00391	003	0	0	0	0	0	0
00391	004	0	0	0	0	0	0
00392	001	0	0	0	0	0	0
00392	002	0	0	0	0	0	0
00392	003	0	0	0	0	0	0
00392	004	0	0	0	0	0	0
00393	001	0	0	0	0	0	0
00393	002	0	0	0	0	0	0
00393	003	0	0	0	0	0	0
00393	004	0	0	0	0	0	0
00394	001	0	0	0	0	0	0
00394	002	0	0	0	0	0	0
00394	003	0	0	0	0	0	0
00394	004	0	0	0	0	0	0
00395	001	0	0	0	0	0	0
00395	002	0	0	0	0	0	0
00395	003	0	0	0	0	0	0
00395	004	0	0	0	0	0	0
00396	001	0	0	0	0	0	0
00396	002	0	0	0	0	0	0
00396	003	0	0	0	0	0	0
00396	004	0	0	0	0	0	0
00397	001	0	0	0	0	0	0
00397	002	0	0	0	0	0	0
00397	003	0	0	0	0	0	0
00397	004	0	0	0	0	0	0
00398	001	0	0	0	0	0	0
00398	002	0	0	0	0	0	0
00398	003	0	0	0	0	0	0
00398	004	0	0	0	0	0	0
00399	001	0	0	0	0	0	0
00399	002	0	0	0	0	0	0
00399	003	0	0	0	0	0	0
00399	004	0	0	0	0	0	0

Il presente documento è di proprietà della ANTEX GROUP srl.
 È vietato la comunicazione a terzi o la riproduzione senza il permesso scritto della suddetta.
 La società tutela i propri diritti a rigore di Legge.

Comm.: C21-002-S05




SASSARI EOLICA S.R.L.	PARCO EOLICO DI "SASSARI" RELAZIONE DI CALCOLO PREDIMENSIONAMENTO DELLE FONDAZIONI WTG	 Ingegneria & Innovazione		
		26/05/2023	REV: 1	Pag.67

Nodi - Reazioni vincolari esterne per tipologie di carico non sismiche							
Id _{Nd}	CC	F _x	F _y	F _z	M _x	M _y	M _z
		[N]	[N]	[N]	[N-m]	[N-m]	[N-m]
00400	001	0	0	0	0	0	0
00400	002	0	0	0	0	0	0
00400	003	0	0	0	0	0	0
00400	004	0	0	0	0	0	0
00401	001	0	0	0	0	0	0
00401	002	0	0	0	0	0	0
00401	003	0	0	0	0	0	0
00401	004	0	0	0	0	0	0
00402	001	0	0	0	0	0	0
00402	002	0	0	0	0	0	0
00402	003	0	0	0	0	0	0
00402	004	0	0	0	0	0	0
00403	001	0	0	0	0	0	0
00403	002	0	0	0	0	0	0
00403	003	0	0	0	0	0	0
00403	004	0	0	0	0	0	0
00404	001	0	0	0	0	0	0
00404	002	0	0	0	0	0	0
00404	003	0	0	0	0	0	0
00404	004	0	0	0	0	0	0
00405	001	0	0	0	0	0	0
00405	002	0	0	0	0	0	0
00405	003	0	0	0	0	0	0
00405	004	0	0	0	0	0	0
00406	001	0	0	0	0	0	0
00406	002	0	0	0	0	0	0
00406	003	0	0	0	0	0	0
00406	004	0	0	0	0	0	0
00407	001	0	0	0	0	0	0
00407	002	0	0	0	0	0	0
00407	003	0	0	0	0	0	0
00407	004	0	0	0	0	0	0
00408	001	0	0	0	0	0	0
00408	002	0	0	0	0	0	0
00408	003	0	0	0	0	0	0
00408	004	0	0	0	0	0	0
00409	001	0	0	0	0	0	0
00409	002	0	0	0	0	0	0
00409	003	0	0	0	0	0	0
00409	004	0	0	0	0	0	0
00410	001	0	0	0	0	0	0
00410	002	0	0	0	0	0	0
00410	003	0	0	0	0	0	0
00410	004	0	0	0	0	0	0
00411	001	0	0	0	0	0	0
00411	002	0	0	0	0	0	0
00411	003	0	0	0	0	0	0
00411	004	0	0	0	0	0	0
00412	001	0	0	0	0	0	0
00412	002	0	0	0	0	0	0
00412	003	0	0	0	0	0	0
00412	004	0	0	0	0	0	0
00413	001	0	0	0	0	0	0
00413	002	0	0	0	0	0	0
00413	003	0	0	0	0	0	0
00413	004	0	0	0	0	0	0
00414	001	0	0	0	0	0	0
00414	002	0	0	0	0	0	0
00414	003	0	0	0	0	0	0
00414	004	0	0	0	0	0	0
00415	001	0	0	0	0	0	0
00415	002	0	0	0	0	0	0
00415	003	0	0	0	0	0	0
00415	004	0	0	0	0	0	0
00416	001	0	0	0	0	0	0
00416	002	0	0	0	0	0	0
00416	003	0	0	0	0	0	0

Il presente documento è di proprietà della ANTEX GROUP srl.
È Vietato la comunicazione a terzi o la riproduzione senza il permesso scritto della suddetta.
La società tutela i propri diritti a rigore di Legge.

Comm.: C21-002-S05



SASSARI EOLICA S.R.L.	PARCO EOLICO DI "SASSARI" RELAZIONE DI CALCOLO PREDIMENSIONAMENTO DELLE FONDAZIONI WTG	 Ingegneria & Innovazione		
		26/05/2023	REV: 1	Pag.68


Nodi - Reazioni vincolari esterne per tipologie di carico non sismiche

Id _{Nd}	CC	F _x	F _y	F _z	M _x	M _y	M _z
		[N]	[N]	[N]	[N-m]	[N-m]	[N-m]
00416	004	0	0	0	0	0	0
00417	001	0	0	0	0	0	0
00417	002	0	0	0	0	0	0
00417	003	0	0	0	0	0	0
00417	004	0	0	0	0	0	0
00418	001	0	0	0	0	0	0
00418	002	0	0	0	0	0	0
00418	003	0	0	0	0	0	0
00418	004	0	0	0	0	0	0
00419	001	0	0	0	0	0	0
00419	002	0	0	0	0	0	0
00419	003	0	0	0	0	0	0
00419	004	0	0	0	0	0	0
00420	001	0	0	0	0	0	0
00420	002	0	0	0	0	0	0
00420	003	0	0	0	0	0	0
00420	004	0	0	0	0	0	0
00421	001	0	0	0	0	0	0
00421	002	0	0	0	0	0	0
00421	003	0	0	0	0	0	0
00421	004	0	0	0	0	0	0
00422	001	0	0	0	0	0	0
00422	002	0	0	0	0	0	0
00422	003	0	0	0	0	0	0
00422	004	0	0	0	0	0	0
00423	001	0	0	0	0	0	0
00423	002	0	0	0	0	0	0
00423	003	0	0	0	0	0	0
00423	004	0	0	0	0	0	0
00424	001	0	0	0	0	0	0
00424	002	0	0	0	0	0	0
00424	003	0	0	0	0	0	0
00424	004	0	0	0	0	0	0
00425	001	0	0	0	0	0	0
00425	002	0	0	0	0	0	0
00425	003	0	0	0	0	0	0
00425	004	0	0	0	0	0	0
00426	001	0	0	0	0	0	0
00426	002	0	0	0	0	0	0
00426	003	0	0	0	0	0	0
00426	004	0	0	0	0	0	0
00427	001	0	0	0	0	0	0
00427	002	0	0	0	0	0	0
00427	003	0	0	0	0	0	0
00427	004	0	0	0	0	0	0
00428	001	0	0	0	0	0	0
00428	002	0	0	0	0	0	0
00428	003	0	0	0	0	0	0
00428	004	0	0	0	0	0	0
00429	001	0	0	0	0	0	0
00429	002	0	0	0	0	0	0
00429	003	0	0	0	0	0	0
00429	004	0	0	0	0	0	0
00430	001	0	0	0	0	0	0
00430	002	0	0	0	0	0	0
00430	003	0	0	0	0	0	0
00430	004	0	0	0	0	0	0
00431	001	0	0	0	0	0	0
00431	002	0	0	0	0	0	0
00431	003	0	0	0	0	0	0
00431	004	0	0	0	0	0	0
00432	001	0	0	0	0	0	0
00432	002	0	0	0	0	0	0
00432	003	0	0	0	0	0	0
00432	004	0	0	0	0	0	0
00433	001	0	0	0	0	0	0
00433	002	0	0	0	0	0	0

Il presente documento è di proprietà della ANTEX GROUP srl.
 È vietato la comunicazione a terzi o la riproduzione senza il permesso scritto della suddetta.
 La società tutela i propri diritti a rigore di Legge.

Comm.: C21-002-S05




SASSARI EOLICA S.R.L.	PARCO EOLICO DI "SASSARI" RELAZIONE DI CALCOLO PREDIMENSIONAMENTO DELLE FONDAZIONI WTG	 Ingegneria & Innovazione		
		26/05/2023	REV: 1	Pag.69

Nodi - Reazioni vincolari esterne per tipologie di carico non sismiche							
Id _{Nd}	CC	F _x	F _y	F _z	M _x	M _y	M _z
		[N]	[N]	[N]	[N-m]	[N-m]	[N-m]
00433	003	0	0	0	0	0	0
00433	004	0	0	0	0	0	0
00434	001	0	0	0	0	0	0
00434	002	0	0	0	0	0	0
00434	003	0	0	0	0	0	0
00434	004	0	0	0	0	0	0
00435	001	0	0	0	0	0	0
00435	002	0	0	0	0	0	0
00435	003	0	0	0	0	0	0
00435	004	0	0	0	0	0	0
00436	001	0	0	0	0	0	0
00436	002	0	0	0	0	0	0
00436	003	0	0	0	0	0	0
00436	004	0	0	0	0	0	0
00437	001	0	0	0	0	0	0
00437	002	0	0	0	0	0	0
00437	003	0	0	0	0	0	0
00437	004	0	0	0	0	0	0
00438	001	0	0	0	0	0	0
00438	002	0	0	0	0	0	0
00438	003	0	0	0	0	0	0
00438	004	0	0	0	0	0	0
00439	001	0	0	0	0	0	0
00439	002	0	0	0	0	0	0
00439	003	0	0	0	0	0	0
00439	004	0	0	0	0	0	0
00440	001	0	0	0	0	0	0
00440	002	0	0	0	0	0	0
00440	003	0	0	0	0	0	0
00440	004	0	0	0	0	0	0
00441	001	0	0	0	0	0	0
00441	002	0	0	0	0	0	0
00441	003	0	0	0	0	0	0
00441	004	0	0	0	0	0	0
00442	001	0	0	0	0	0	0
00442	002	0	0	0	0	0	0
00442	003	0	0	0	0	0	0
00442	004	0	0	0	0	0	0
00443	001	0	0	0	0	0	0
00443	002	0	0	0	0	0	0
00443	003	0	0	0	0	0	0
00443	004	0	0	0	0	0	0
00444	001	0	0	0	0	0	0
00444	002	0	0	0	0	0	0
00444	003	0	0	0	0	0	0
00444	004	0	0	0	0	0	0
00445	001	0	0	0	0	0	0
00445	002	0	0	0	0	0	0
00445	003	0	0	0	0	0	0
00445	004	0	0	0	0	0	0
00446	001	0	0	0	0	0	0
00446	002	0	0	0	0	0	0
00446	003	0	0	0	0	0	0
00446	004	0	0	0	0	0	0
00447	001	0	0	0	0	0	0
00447	002	0	0	0	0	0	0
00447	003	0	0	0	0	0	0
00447	004	0	0	0	0	0	0
00448	001	0	0	0	0	0	0
00448	002	0	0	0	0	0	0
00448	003	0	0	0	0	0	0
00448	004	0	0	0	0	0	0
00449	001	0	0	0	0	0	0
00449	002	0	0	0	0	0	0
00449	003	0	0	0	0	0	0
00449	004	0	0	0	0	0	0
00450	001	0	0	0	0	0	0


Il presente documento è di proprietà della ANTEX GROUP srl.
 È Vietato la comunicazione a terzi o la riproduzione senza il permesso scritto della suddetta.
 La società tutela i propri diritti a rigore di Legge.

Comm.: C21-002-S05



SASSARI EOLICA S.R.L.	PARCO EOLICO DI "SASSARI" RELAZIONE DI CALCOLO PREDIMENSIONAMENTO DELLE FONDAZIONI WTG	 Ingegneria & Innovazione		
		26/05/2023	REV: 1	Pag.70

Nodi - Reazioni vincolari esterne per tipologie di carico non sismiche							
Id _{Nd}	CC	F _x	F _y	F _z	M _x	M _y	M _z
		[N]	[N]	[N]	[N-m]	[N-m]	[N-m]
00450	002	0	0	0	0	0	0
00450	003	0	0	0	0	0	0
00450	004	0	0	0	0	0	0
00451	001	0	0	0	0	0	0
00451	002	0	0	0	0	0	0
00451	003	0	0	0	0	0	0
00451	004	0	0	0	0	0	0
00452	001	0	0	0	0	0	0
00452	002	0	0	0	0	0	0
00452	003	0	0	0	0	0	0
00452	004	0	0	0	0	0	0
00453	001	0	0	0	0	0	0
00453	002	0	0	0	0	0	0
00453	003	0	0	0	0	0	0
00453	004	0	0	0	0	0	0
00454	001	0	0	0	0	0	0
00454	002	0	0	0	0	0	0
00454	003	0	0	0	0	0	0
00454	004	0	0	0	0	0	0
00455	001	0	0	0	0	0	0
00455	002	0	0	0	0	0	0
00455	003	0	0	0	0	0	0
00455	004	0	0	0	0	0	0
00456	001	0	0	0	0	0	0
00456	002	0	0	0	0	0	0
00456	003	0	0	0	0	0	0
00456	004	0	0	0	0	0	0
00457	001	0	0	0	0	0	0
00457	002	0	0	0	0	0	0
00457	003	0	0	0	0	0	0
00457	004	0	0	0	0	0	0
00458	001	0	0	0	0	0	0
00458	002	0	0	0	0	0	0
00458	003	0	0	0	0	0	0
00458	004	0	0	0	0	0	0
00459	001	0	0	0	0	0	0
00459	002	0	0	0	0	0	0
00459	003	0	0	0	0	0	0
00459	004	0	0	0	0	0	0
00460	001	0	0	0	0	0	0
00460	002	0	0	0	0	0	0
00460	003	0	0	0	0	0	0
00460	004	0	0	0	0	0	0
00461	001	0	0	0	0	0	0
00461	002	0	0	0	0	0	0
00461	003	0	0	0	0	0	0
00461	004	0	0	0	0	0	0
00462	001	0	0	0	0	0	0
00462	002	0	0	0	0	0	0
00462	003	0	0	0	0	0	0
00462	004	0	0	0	0	0	0
00463	001	0	0	0	0	0	0
00463	002	0	0	0	0	0	0
00463	003	0	0	0	0	0	0
00463	004	0	0	0	0	0	0
00464	001	0	0	0	0	0	0
00464	002	0	0	0	0	0	0
00464	003	0	0	0	0	0	0
00464	004	0	0	0	0	0	0
00465	001	0	0	0	0	0	0
00465	002	0	0	0	0	0	0
00465	003	0	0	0	0	0	0
00465	004	0	0	0	0	0	0
00466	001	0	0	0	0	0	0
00466	002	0	0	0	0	0	0
00466	003	0	0	0	0	0	0
00466	004	0	0	0	0	0	0


SASSARI EOLICA S.R.L.	PARCO EOLICO DI "SASSARI" RELAZIONE DI CALCOLO PREDIMENSIONAMENTO DELLE FONDAZIONI WTG	 Ingegneria & Innovazione		
		26/05/2023	REV: 1	Pag.71

Nodi - Reazioni vincolari esterne per tipologie di carico non sismiche							
Id _{Nd}	CC	F _x [N]	F _y [N]	F _z [N]	M _x [N-m]	M _y [N-m]	M _z [N-m]
00467	001	0	0	0	0	0	0
00467	002	0	0	0	0	0	0
00467	003	0	0	0	0	0	0
00467	004	0	0	0	0	0	0
00468	001	0	0	0	0	0	0
00468	002	0	0	0	0	0	0
00468	003	0	0	0	0	0	0
00468	004	0	0	0	0	0	0
00469	001	0	0	0	0	0	0
00469	002	0	0	0	0	0	0
00469	003	0	0	0	0	0	0
00469	004	0	0	0	0	0	0
00470	001	0	0	0	0	0	0
00470	002	0	0	0	0	0	0
00470	003	0	0	0	0	0	0
00470	004	0	0	0	0	0	0
00471	001	0	0	0	0	0	0
00471	002	0	0	0	0	0	0
00471	003	0	0	0	0	0	0
00471	004	0	0	0	0	0	0
00472	001	0	0	0	0	0	0
00472	002	0	0	0	0	0	0
00472	003	0	0	0	0	0	0
00472	004	0	0	0	0	0	0
00473	001	0	0	0	0	0	0
00473	002	0	0	0	0	0	0
00473	003	0	0	0	0	0	0
00473	004	0	0	0	0	0	0
00474	001	0	0	0	0	0	0
00474	002	0	0	0	0	0	0
00474	003	0	0	0	0	0	0
00474	004	0	0	0	0	0	0
00475	001	0	0	0	0	0	0
00475	002	0	0	0	0	0	0
00475	003	0	0	0	0	0	0
00475	004	0	0	0	0	0	0
00476	001	0	0	0	0	0	0
00476	002	0	0	0	0	0	0
00476	003	0	0	0	0	0	0
00476	004	0	0	0	0	0	0
00477	001	0	0	0	0	0	0
00477	002	0	0	0	0	0	0
00477	003	0	0	0	0	0	0
00477	004	0	0	0	0	0	0
00478	001	0	0	0	0	0	0
00478	002	0	0	0	0	0	0
00478	003	0	0	0	0	0	0
00478	004	0	0	0	0	0	0
00479	001	0	0	0	0	0	0
00479	002	0	0	0	0	0	0
00479	003	0	0	0	0	0	0
00479	004	0	0	0	0	0	0
00480	001	0	0	0	0	0	0
00480	002	0	0	0	0	0	0
00480	003	0	0	0	0	0	0
00480	004	0	0	0	0	0	0
00481	001	0	0	0	0	0	0
00481	002	0	0	0	0	0	0
00481	003	0	0	0	0	0	0
00481	004	0	0	0	0	0	0
00482	001	0	0	0	0	0	0
00482	002	0	0	0	0	0	0
00482	003	0	0	0	0	0	0
00482	004	0	0	0	0	0	0
00483	001	0	0	0	0	0	0
00483	002	0	0	0	0	0	0
00483	003	0	0	0	0	0	0

Il presente documento è di proprietà della ANTEX GROUP srl.
 È Vietato la comunicazione a terzi o la riproduzione senza il permesso scritto della suddetta.
 La società tutela i propri diritti a rigore di Legge.

Comm.: C21-002-S05




SASSARI EOLICA S.R.L.	PARCO EOLICO DI "SASSARI" RELAZIONE DI CALCOLO PREDIMENSIONAMENTO DELLE FONDAZIONI WTG	 Ingegneria & Innovazione		
		26/05/2023	REV: 1	Pag.72

Nodi - Reazioni vincolari esterne per tipologie di carico non sismiche							
Id _{Nd}	CC	F _x	F _y	F _z	M _x	M _y	M _z
		[N]	[N]	[N]	[N-m]	[N-m]	[N-m]
00483	004	0	0	0	0	0	0
00484	001	0	0	0	0	0	0
00484	002	0	0	0	0	0	0
00484	003	0	0	0	0	0	0
00484	004	0	0	0	0	0	0
00485	001	0	0	0	0	0	0
00485	002	0	0	0	0	0	0
00485	003	0	0	0	0	0	0
00485	004	0	0	0	0	0	0
00486	001	0	0	0	0	0	0
00486	002	0	0	0	0	0	0
00486	003	0	0	0	0	0	0
00486	004	0	0	0	0	0	0
00487	001	0	0	0	0	0	0
00487	002	0	0	0	0	0	0
00487	003	0	0	0	0	0	0
00487	004	0	0	0	0	0	0
00488	001	0	0	0	0	0	0
00488	002	0	0	0	0	0	0
00488	003	0	0	0	0	0	0
00488	004	0	0	0	0	0	0
00489	001	0	0	0	0	0	0
00489	002	0	0	0	0	0	0
00489	003	0	0	0	0	0	0
00489	004	0	0	0	0	0	0
00490	001	0	0	0	0	0	0
00490	002	0	0	0	0	0	0
00490	003	0	0	0	0	0	0
00490	004	0	0	0	0	0	0
00491	001	0	0	0	0	0	0
00491	002	0	0	0	0	0	0
00491	003	0	0	0	0	0	0
00491	004	0	0	0	0	0	0
00492	001	0	0	0	0	0	0
00492	002	0	0	0	0	0	0
00492	003	0	0	0	0	0	0
00492	004	0	0	0	0	0	0
00493	001	0	0	0	0	0	0
00493	002	0	0	0	0	0	0
00493	003	0	0	0	0	0	0
00493	004	0	0	0	0	0	0
00494	001	0	0	0	0	0	0
00494	002	0	0	0	0	0	0
00494	003	0	0	0	0	0	0
00494	004	0	0	0	0	0	0
00495	001	0	0	0	0	0	0
00495	002	0	0	0	0	0	0
00495	003	0	0	0	0	0	0
00495	004	0	0	0	0	0	0
00496	001	0	0	0	0	0	0
00496	002	0	0	0	0	0	0
00496	003	0	0	0	0	0	0
00496	004	0	0	0	0	0	0
00497	001	0	0	0	0	0	0
00497	002	0	0	0	0	0	0
00497	003	0	0	0	0	0	0
00497	004	0	0	0	0	0	0
00498	001	0	0	0	0	0	0
00498	002	0	0	0	0	0	0
00498	003	0	0	0	0	0	0
00498	004	0	0	0	0	0	0
00499	001	0	0	0	0	0	0
00499	002	0	0	0	0	0	0
00499	003	0	0	0	0	0	0
00499	004	0	0	0	0	0	0
00500	001	0	0	0	0	0	0
00500	002	0	0	0	0	0	0

Il presente documento è di proprietà della ANTEX GROUP srl.
 È vietato la comunicazione a terzi o la riproduzione senza il permesso scritto della suddetta.
 La società tutela i propri diritti a rigore di Legge.

Comm.: C21-002-S05




SASSARI EOLICA S.R.L.	PARCO EOLICO DI "SASSARI" RELAZIONE DI CALCOLO PREDIMENSIONAMENTO DELLE FONDAZIONI WTG	 Ingegneria & Innovazione		
		26/05/2023	REV: 1	Pag.73

Nodi - Reazioni vincolari esterne per tipologie di carico non sismiche							
Id _{Nd}	CC	F _x	F _y	F _z	M _x	M _y	M _z
		[N]	[N]	[N]	[N-m]	[N-m]	[N-m]
00500	003	0	0	0	0	0	0
00500	004	0	0	0	0	0	0
00501	001	0	0	0	0	0	0
00501	002	0	0	0	0	0	0
00501	003	0	0	0	0	0	0
00501	004	0	0	0	0	0	0
00502	001	0	0	0	0	0	0
00502	002	0	0	0	0	0	0
00502	003	0	0	0	0	0	0
00502	004	0	0	0	0	0	0
00503	001	0	0	0	0	0	0
00503	002	0	0	0	0	0	0
00503	003	0	0	0	0	0	0
00503	004	0	0	0	0	0	0
00504	001	0	0	0	0	0	0
00504	002	0	0	0	0	0	0
00504	003	0	0	0	0	0	0
00504	004	0	0	0	0	0	0
00505	001	0	0	0	0	0	0
00505	002	0	0	0	0	0	0
00505	003	0	0	0	0	0	0
00505	004	0	0	0	0	0	0
00506	001	0	0	0	0	0	0
00506	002	0	0	0	0	0	0
00506	003	0	0	0	0	0	0
00506	004	0	0	0	0	0	0
00507	001	0	0	0	0	0	0
00507	002	0	0	0	0	0	0
00507	003	0	0	0	0	0	0
00507	004	0	0	0	0	0	0
00508	001	0	0	0	0	0	0
00508	002	0	0	0	0	0	0
00508	003	0	0	0	0	0	0
00508	004	0	0	0	0	0	0
00509	001	0	0	0	0	0	0
00509	002	0	0	0	0	0	0
00509	003	0	0	0	0	0	0
00509	004	0	0	0	0	0	0
00510	001	0	0	0	0	0	0
00510	002	0	0	0	0	0	0
00510	003	0	0	0	0	0	0
00510	004	0	0	0	0	0	0
00511	001	0	0	0	0	0	0
00511	002	0	0	0	0	0	0
00511	003	0	0	0	0	0	0
00511	004	0	0	0	0	0	0
00512	001	0	0	0	0	0	0
00512	002	0	0	0	0	0	0
00512	003	0	0	0	0	0	0
00512	004	0	0	0	0	0	0
00513	001	0	0	0	0	0	0
00513	002	0	0	0	0	0	0
00513	003	0	0	0	0	0	0
00513	004	0	0	0	0	0	0
00514	001	0	0	0	0	0	0
00514	002	0	0	0	0	0	0
00514	003	0	0	0	0	0	0
00514	004	0	0	0	0	0	0
00515	001	0	0	0	0	0	0
00515	002	0	0	0	0	0	0
00515	003	0	0	0	0	0	0
00515	004	0	0	0	0	0	0
00516	001	0	0	0	0	0	0
00516	002	0	0	0	0	0	0
00516	003	0	0	0	0	0	0
00516	004	0	0	0	0	0	0
00517	001	0	0	0	0	0	0

Il presente documento è di proprietà della ANTEX GROUP srl.
 È Vietato la comunicazione a terzi o la riproduzione senza il permesso scritto della suddetta.
 La società tutela i propri diritti a rigore di Legge.

Comm.: C21-002-S05




SASSARI EOLICA S.R.L.	PARCO EOLICO DI "SASSARI" RELAZIONE DI CALCOLO PREDIMENSIONAMENTO DELLE FONDAZIONI WTG	 Ingegneria & Innovazione		
		26/05/2023	REV: 1	Pag.74

Nodi - Reazioni vincolari esterne per tipologie di carico non sismiche							
Id _{Nd}	CC	F _x	F _y	F _z	M _x	M _y	M _z
		[N]	[N]	[N]	[N-m]	[N-m]	[N-m]
00517	002	0	0	0	0	0	0
00517	003	0	0	0	0	0	0
00517	004	0	0	0	0	0	0
00518	001	0	0	0	0	0	0
00518	002	0	0	0	0	0	0
00518	003	0	0	0	0	0	0
00518	004	0	0	0	0	0	0
00519	001	0	0	0	0	0	0
00519	002	0	0	0	0	0	0
00519	003	0	0	0	0	0	0
00519	004	0	0	0	0	0	0
00520	001	0	0	0	0	0	0
00520	002	0	0	0	0	0	0
00520	003	0	0	0	0	0	0
00520	004	0	0	0	0	0	0
00521	001	0	0	0	0	0	0
00521	002	0	0	0	0	0	0
00521	003	2	1	0	0	0	0
00521	004	0	0	0	0	0	0
00522	001	0	0	0	0	0	0
00522	002	0	0	0	0	0	0
00522	003	5	1	0	0	0	0
00522	004	0	0	0	0	0	0
00523	001	0	0	0	0	0	0
00523	002	0	0	0	0	0	0
00523	003	5	-1	0	0	0	0
00523	004	0	0	0	0	0	0
00524	001	0	0	0	0	0	0
00524	002	0	0	0	0	0	0
00524	003	2	-1	0	0	0	0
00524	004	0	0	0	0	0	0
00525	001	0	0	0	0	0	0
00525	002	0	0	0	0	0	0
00525	003	0	0	0	0	0	0
00525	004	0	0	0	0	0	0
00526	001	0	0	0	0	0	0
00526	002	0	0	0	0	0	0
00526	003	0	0	0	0	0	0
00526	004	0	0	0	0	0	0
00527	001	0	0	0	0	0	0
00527	002	0	0	0	0	0	0
00527	003	0	0	0	0	0	0
00527	004	0	0	0	0	0	0
00528	001	0	0	0	0	0	0
00528	002	0	0	0	0	0	0
00528	003	0	0	0	0	0	0
00528	004	0	0	0	0	0	0
00529	001	0	0	0	0	0	0
00529	002	0	0	0	0	0	0
00529	003	0	0	0	0	0	0
00529	004	0	0	0	0	0	0
00530	001	0	0	0	0	0	0
00530	002	0	0	0	0	0	0
00530	003	0	0	0	0	0	0
00530	004	0	0	0	0	0	0
00531	001	0	0	0	0	0	0
00531	002	0	0	0	0	0	0
00531	003	0	0	0	0	0	0
00531	004	0	0	0	0	0	0
00532	001	0	0	0	0	0	0
00532	002	0	0	0	0	0	0
00532	003	0	0	0	0	0	0
00532	004	0	0	0	0	0	0
00533	001	0	0	0	0	0	0
00533	002	0	0	0	0	0	0
00533	003	0	0	0	0	0	0
00533	004	0	0	0	0	0	0

Il presente documento è di proprietà della ANTEX GROUP srl.
 È vietato la comunicazione a terzi o la riproduzione senza il permesso scritto della suddetta.
 La società tutela i propri diritti a rigore di Legge.

Comm.: C21-002-S05




SASSARI EOLICA S.R.L.	PARCO EOLICO DI "SASSARI" RELAZIONE DI CALCOLO PREDIMENSIONAMENTO DELLE FONDAZIONI WTG	 Ingegneria & Innovazione		
		26/05/2023	REV: 1	Pag.75

Nodi - Reazioni vincolari esterne per tipologie di carico non sismiche							
Id _{Nd}	CC	F _x	F _y	F _z	M _x	M _y	M _z
		[N]	[N]	[N]	[N-m]	[N-m]	[N-m]
00534	001	0	0	0	0	0	0
00534	002	0	0	0	0	0	0
00534	003	0	0	0	0	0	0
00534	004	0	0	0	0	0	0
00535	001	0	0	0	0	0	0
00535	002	0	0	0	0	0	0
00535	003	0	0	0	0	0	0
00535	004	0	0	0	0	0	0
00536	001	0	0	0	0	0	0
00536	002	0	0	0	0	0	0
00536	003	0	0	0	0	0	0
00536	004	0	0	0	0	0	0
00537	001	0	0	0	0	0	0
00537	002	0	0	0	0	0	0
00537	003	0	0	0	0	0	0
00537	004	0	0	0	0	0	0
00538	001	0	0	0	0	0	0
00538	002	0	0	0	0	0	0
00538	003	0	0	0	0	0	0
00538	004	0	0	0	0	0	0
00539	001	0	0	0	0	0	0
00539	002	0	0	0	0	0	0
00539	003	0	0	0	0	0	0
00539	004	0	0	0	0	0	0
00540	001	0	0	0	0	0	0
00540	002	0	0	0	0	0	0
00540	003	0	0	0	0	0	0
00540	004	0	0	0	0	0	0
00541	001	0	0	0	0	0	0
00541	002	0	0	0	0	0	0
00541	003	0	0	0	0	0	0
00541	004	0	0	0	0	0	0
00542	001	0	0	0	0	0	0
00542	002	0	0	0	0	0	0
00542	003	0	0	0	0	0	0
00542	004	0	0	0	0	0	0
00543	001	0	0	0	0	0	0
00543	002	0	0	0	0	0	0
00543	003	0	0	0	0	0	0
00543	004	0	0	0	0	0	0
00544	001	0	0	0	0	0	0
00544	002	0	0	0	0	0	0
00544	003	0	0	0	0	0	0
00544	004	0	0	0	0	0	0
00545	001	0	0	0	0	0	0
00545	002	0	0	0	0	0	0
00545	003	0	0	0	0	0	0
00545	004	0	0	0	0	0	0
00546	001	0	0	0	0	0	0
00546	002	0	0	0	0	0	0
00546	003	0	0	0	0	0	0
00546	004	0	0	0	0	0	0
00547	001	0	0	0	0	0	0
00547	002	0	0	0	0	0	0
00547	003	0	0	0	0	0	0
00547	004	0	0	0	0	0	0
00548	001	0	0	0	0	0	0
00548	002	0	0	0	0	0	0
00548	003	2	2	0	0	0	0
00548	004	0	0	0	0	0	0
00549	001	0	0	0	0	0	0
00549	002	0	0	0	0	0	0
00549	003	-14	-7	0	0	0	0
00549	004	0	0	0	0	0	0
00550	001	0	0	0	0	0	0
00550	002	0	0	0	0	0	0
00550	003	-75	-20	0	0	0	0


Il presente documento è di proprietà della ANTEX GROUP srl.
 È Vietato la comunicazione a terzi o la riproduzione senza il permesso scritto della suddetta.
 La società tutela i propri diritti a rigore di Legge.

Comm.: C21-002-S05



SASSARI EOLICA S.R.L.	PARCO EOLICO DI "SASSARI" RELAZIONE DI CALCOLO PREDIMENSIONAMENTO DELLE FONDAZIONI WTG	 Ingegneria & Innovazione		
		26/05/2023	REV: 1	Pag.76

Nodi - Reazioni vincolari esterne per tipologie di carico non sismiche							
Id _{Nd}	CC	F _x	F _y	F _z	M _x	M _y	M _z
		[N]	[N]	[N]	[N-m]	[N-m]	[N-m]
00550	004	0	0	0	0	0	0
00551	001	0	0	0	0	0	0
00551	002	0	0	0	0	0	0
00551	003	-118	0	0	0	0	0
00551	004	0	0	0	0	0	0
00552	001	0	0	0	0	0	0
00552	002	0	0	0	0	0	0
00552	003	-75	20	0	0	0	0
00552	004	0	0	0	0	0	0
00553	001	0	0	0	0	0	0
00553	002	0	0	0	0	0	0
00553	003	-14	7	0	0	0	0
00553	004	0	0	0	0	0	0
00554	001	0	0	0	0	0	0
00554	002	0	0	0	0	0	0
00554	003	2	-2	0	0	0	0
00554	004	0	0	0	0	0	0
00555	001	0	0	0	0	0	0
00555	002	0	0	0	0	0	0
00555	003	0	0	0	0	0	0
00555	004	0	0	0	0	0	0
00556	001	0	0	0	0	0	0
00556	002	0	0	0	0	0	0
00556	003	0	0	0	0	0	0
00556	004	0	0	0	0	0	0
00557	001	0	0	0	0	0	0
00557	002	0	0	0	0	0	0
00557	003	0	0	0	0	0	0
00557	004	0	0	0	0	0	0
00558	001	0	0	0	0	0	0
00558	002	0	0	0	0	0	0
00558	003	0	0	0	0	0	0
00558	004	0	0	0	0	0	0
00559	001	0	0	0	0	0	0
00559	002	0	0	0	0	0	0
00559	003	0	0	0	0	0	0
00559	004	0	0	0	0	0	0
00560	001	0	0	0	0	0	0
00560	002	0	0	0	0	0	0
00560	003	0	0	0	0	0	0
00560	004	0	0	0	0	0	0
00561	001	0	0	0	0	0	0
00561	002	0	0	0	0	0	0
00561	003	0	0	0	0	0	0
00561	004	0	0	0	0	0	0
00562	001	0	0	0	0	0	0
00562	002	0	0	0	0	0	0
00562	003	0	0	0	0	0	0
00562	004	0	0	0	0	0	0
00563	001	0	0	0	0	0	0
00563	002	0	0	0	0	0	0
00563	003	0	0	0	0	0	0
00563	004	0	0	0	0	0	0
00564	001	0	0	0	0	0	0
00564	002	0	0	0	0	0	0
00564	003	0	0	0	0	0	0
00564	004	0	0	0	0	0	0
00565	001	0	0	0	0	0	0
00565	002	0	0	0	0	0	0
00565	003	0	0	0	0	0	0
00565	004	0	0	0	0	0	0
00566	001	0	0	0	0	0	0
00566	002	0	0	0	0	0	0
00566	003	0	0	0	0	0	0
00566	004	0	0	0	0	0	0
00567	001	0	0	0	0	0	0
00567	002	0	0	0	0	0	0


SASSARI EOLICA S.R.L.	PARCO EOLICO DI "SASSARI" RELAZIONE DI CALCOLO PREDIMENSIONAMENTO DELLE FONDAZIONI WTG	 Ingegneria & Innovazione		
		26/05/2023	REV: 1	Pag.77

Nodi - Reazioni vincolari esterne per tipologie di carico non sismiche							
Id _{Nd}	CC	F _x	F _y	F _z	M _x	M _y	M _z
		[N]	[N]	[N]	[N-m]	[N-m]	[N-m]
00567	003	0	0	0	0	0	0
00567	004	0	0	0	0	0	0
00568	001	0	0	0	0	0	0
00568	002	0	0	0	0	0	0
00568	003	0	0	0	0	0	0
00568	004	0	0	0	0	0	0
00569	001	0	0	0	0	0	0
00569	002	0	0	0	0	0	0
00569	003	0	0	0	0	0	0
00569	004	0	0	0	0	0	0
00570	001	0	0	0	0	0	0
00570	002	0	0	0	0	0	0
00570	003	0	0	0	0	0	0
00570	004	0	0	0	0	0	0
00571	001	0	0	0	0	0	0
00571	002	0	0	0	0	0	0
00571	003	0	0	0	0	0	0
00571	004	0	0	0	0	0	0
00572	001	0	0	0	0	0	0
00572	002	0	0	0	0	0	0
00572	003	0	0	0	0	0	0
00572	004	0	0	0	0	0	0
00573	001	0	0	0	0	0	0
00573	002	0	0	0	0	0	0
00573	003	0	0	0	0	0	0
00573	004	0	0	0	0	0	0
00574	001	0	0	0	0	0	0
00574	002	0	0	0	0	0	0
00574	003	0	0	0	0	0	0
00574	004	0	0	0	0	0	0
00575	001	0	0	0	0	0	0
00575	002	0	0	0	0	0	0
00575	003	0	0	0	0	0	0
00575	004	0	0	0	0	0	0
00576	001	0	0	0	0	0	0
00576	002	0	0	0	0	0	0
00576	003	4	5	0	0	0	0
00576	004	0	0	0	0	0	0
00577	001	0	0	0	0	0	0
00577	002	0	0	0	0	0	0
00577	003	-64	-57	0	0	0	0
00577	004	0	0	0	0	0	0
00578	001	0	0	0	0	0	0
00578	002	0	0	0	0	0	0
00578	003	664	359	0	0	0	0
00578	004	0	0	0	0	0	0
00579	001	0	0	0	0	0	0
00579	002	0	0	0	0	0	0
00579	003	2.336	421	0	0	0	0
00579	004	0	0	0	0	0	0
00580	001	0	0	0	0	0	0
00580	002	0	0	0	0	0	0
00580	003	2.336	-421	0	0	0	0
00580	004	0	0	0	0	0	0
00581	001	0	0	0	0	0	0
00581	002	0	0	0	0	0	0
00581	003	664	-359	0	0	0	0
00581	004	0	0	0	0	0	0
00582	001	0	0	0	0	0	0
00582	002	0	0	0	0	0	0
00582	003	-64	57	0	0	0	0
00582	004	0	0	0	0	0	0
00583	001	0	0	0	0	0	0
00583	002	0	0	0	0	0	0
00583	003	4	-5	0	0	0	0
00583	004	0	0	0	0	0	0
00584	001	0	0	0	0	0	0


Il presente documento è di proprietà della ANTEX GROUP srl.
 È Vietato la comunicazione a terzi o la riproduzione senza il permesso scritto della suddetta.
 La società tutela i propri diritti a rigore di Legge.

Comm.: C21-002-S05



SASSARI EOLICA S.R.L.	PARCO EOLICO DI "SASSARI" RELAZIONE DI CALCOLO PREDIMENSIONAMENTO DELLE FONDAZIONI WTG	 Ingegneria & Innovazione		
		26/05/2023	REV: 1	Pag.78

Nodi - Reazioni vincolari esterne per tipologie di carico non sismiche							
Id _{Nd}	CC	F _x	F _y	F _z	M _x	M _y	M _z
		[N]	[N]	[N]	[N-m]	[N-m]	[N-m]
00584	002	0	0	0	0	0	0
00584	003	0	0	0	0	0	0
00584	004	0	0	0	0	0	0
00585	001	0	0	0	0	0	0
00585	002	0	0	0	0	0	0
00585	003	0	0	0	0	0	0
00585	004	0	0	0	0	0	0
00586	001	0	0	0	0	0	0
00586	002	0	0	0	0	0	0
00586	003	0	0	0	0	0	0
00586	004	0	0	0	0	0	0
00587	001	0	0	0	0	0	0
00587	002	0	0	0	0	0	0
00587	003	0	0	0	0	0	0
00587	004	0	0	0	0	0	0
00588	001	0	0	0	0	0	0
00588	002	0	0	0	0	0	0
00588	003	0	0	0	0	0	0
00588	004	0	0	0	0	0	0
00589	001	0	0	0	0	0	0
00589	002	0	0	0	0	0	0
00589	003	0	0	0	0	0	0
00589	004	0	0	0	0	0	0
00590	001	0	0	0	0	0	0
00590	002	0	0	0	0	0	0
00590	003	0	0	0	0	0	0
00590	004	0	0	0	0	0	0
00591	001	0	0	0	0	0	0
00591	002	0	0	0	0	0	0
00591	003	0	0	0	0	0	0
00591	004	0	0	0	0	0	0
00592	001	0	0	0	0	0	0
00592	002	0	0	0	0	0	0
00592	003	0	0	0	0	0	0
00592	004	0	0	0	0	0	0
00593	001	0	0	0	0	0	0
00593	002	0	0	0	0	0	0
00593	003	0	0	0	0	0	0
00593	004	0	0	0	0	0	0
00594	001	0	0	0	0	0	0
00594	002	0	0	0	0	0	0
00594	003	0	0	0	0	0	0
00594	004	0	0	0	0	0	0
00595	001	0	0	0	0	0	0
00595	002	0	0	0	0	0	0
00595	003	0	0	0	0	0	0
00595	004	0	0	0	0	0	0
00596	001	0	0	0	0	0	0
00596	002	0	0	0	0	0	0
00596	003	0	0	0	0	0	0
00596	004	0	0	0	0	0	0
00597	001	0	0	0	0	0	0
00597	002	0	0	0	0	0	0
00597	003	0	0	0	0	0	0
00597	004	0	0	0	0	0	0
00598	001	0	0	0	0	0	0
00598	002	0	0	0	0	0	0
00598	003	0	0	0	0	0	0
00598	004	0	0	0	0	0	0
00599	001	0	0	0	0	0	0
00599	002	0	0	0	0	0	0
00599	003	0	0	0	0	0	0
00599	004	0	0	0	0	0	0
00600	001	0	0	0	0	0	0
00600	002	0	0	0	0	0	0
00600	003	0	0	0	0	0	0
00600	004	0	0	0	0	0	0


SASSARI EOLICA S.R.L.	PARCO EOLICO DI "SASSARI" RELAZIONE DI CALCOLO PREDIMENSIONAMENTO DELLE FONDAZIONI WTG	 Ingegneria & Innovazione		
		26/05/2023	REV: 1	Pag.79

Nodi - Reazioni vincolari esterne per tipologie di carico non sismiche							
Id _{Nd}	CC	F _x	F _y	F _z	M _x	M _y	M _z
		[N]	[N]	[N]	[N-m]	[N-m]	[N-m]
00601	001	0	0	0	0	0	0
00601	002	0	0	0	0	0	0
00601	003	0	0	0	0	0	0
00601	004	0	0	0	0	0	0
00602	001	0	0	0	0	0	0
00602	002	0	0	0	0	0	0
00602	003	0	0	0	0	0	0
00602	004	0	0	0	0	0	0
00603	001	0	0	0	0	0	0
00603	002	0	0	0	0	0	0
00603	003	0	0	0	0	0	0
00603	004	0	0	0	0	0	0
00604	001	0	0	0	0	0	0
00604	002	0	0	0	0	0	0
00604	003	3	6	0	0	0	0
00604	004	0	0	0	0	0	0
00605	001	0	0	0	0	0	0
00605	002	0	0	0	0	0	0
00605	003	-76	-123	0	0	0	0
00605	004	0	0	0	0	0	0
00606	001	0	0	0	0	0	0
00606	002	0	0	0	0	0	0
00606	003	1.837	1.947	0	0	0	0
00606	004	0	0	0	0	0	0
00607	001	0	0	0	0	0	0
00607	002	0	0	0	0	0	0
00607	003	-29.462	-16.012	0	0	0	0
00607	004	0	0	0	0	0	0
00608	001	0	0	0	0	0	0
00608	002	0	0	0	0	0	0
00608	003	-62.756	0	0	0	0	0
00608	004	0	0	0	0	0	0
00609	001	0	0	0	0	0	0
00609	002	0	0	0	0	0	0
00609	003	-29.462	16.012	0	0	0	0
00609	004	0	0	0	0	0	0
00610	001	0	0	0	0	0	0
00610	002	0	0	0	0	0	0
00610	003	1.837	-1.947	0	0	0	0
00610	004	0	0	0	0	0	0
00611	001	0	0	0	0	0	0
00611	002	0	0	0	0	0	0
00611	003	-76	123	0	0	0	0
00611	004	0	0	0	0	0	0
00612	001	0	0	0	0	0	0
00612	002	0	0	0	0	0	0
00612	003	3	-6	0	0	0	0
00612	004	0	0	0	0	0	0
00613	001	0	0	0	0	0	0
00613	002	0	0	0	0	0	0
00613	003	0	0	0	0	0	0
00613	004	0	0	0	0	0	0
00614	001	0	0	0	0	0	0
00614	002	0	0	0	0	0	0
00614	003	0	0	0	0	0	0
00614	004	0	0	0	0	0	0
00615	001	0	0	0	0	0	0
00615	002	0	0	0	0	0	0
00615	003	0	0	0	0	0	0
00615	004	0	0	0	0	0	0
00616	001	0	0	0	0	0	0
00616	002	0	0	0	0	0	0
00616	003	0	0	0	0	0	0
00616	004	0	0	0	0	0	0
00617	001	0	0	0	0	0	0
00617	002	0	0	0	0	0	0
00617	003	0	0	0	0	0	0

Il presente documento è di proprietà della ANTEX GROUP srl.
 È Vietato la comunicazione a terzi o la riproduzione senza il permesso scritto della suddetta.
 La società tutela i propri diritti a rigore di Legge.

Comm.: C21-002-S05



SASSARI EOLICA S.R.L.	PARCO EOLICO DI "SASSARI" RELAZIONE DI CALCOLO PREDIMENSIONAMENTO DELLE FONDAZIONI WTG	 Ingegneria & Innovazione		
		26/05/2023	REV: 1	Pag.80


Nodi - Reazioni vincolari esterne per tipologie di carico non sismiche

Id _{Nd}	CC	F _x	F _y	F _z	M _x	M _y	M _z
		[N]	[N]	[N]	[N-m]	[N-m]	[N-m]
00617	004	0	0	0	0	0	0
00618	001	0	0	0	0	0	0
00618	002	0	0	0	0	0	0
00618	003	0	0	0	0	0	0
00618	004	0	0	0	0	0	0
00619	001	0	0	0	0	0	0
00619	002	0	0	0	0	0	0
00619	003	0	0	0	0	0	0
00619	004	0	0	0	0	0	0
00620	001	0	0	0	0	0	0
00620	002	0	0	0	0	0	0
00620	003	0	0	0	0	0	0
00620	004	0	0	0	0	0	0
00621	001	0	0	0	0	0	0
00621	002	0	0	0	0	0	0
00621	003	0	0	0	0	0	0
00621	004	0	0	0	0	0	0
00622	001	0	0	0	0	0	0
00622	002	0	0	0	0	0	0
00622	003	0	0	0	0	0	0
00622	004	0	0	0	0	0	0
00623	001	0	0	0	0	0	0
00623	002	0	0	0	0	0	0
00623	003	0	0	0	0	0	0
00623	004	0	0	0	0	0	0
00624	001	0	0	0	0	0	0
00624	002	0	0	0	0	0	0
00624	003	0	0	0	0	0	0
00624	004	0	0	0	0	0	0
00625	001	0	0	0	0	0	0
00625	002	0	0	0	0	0	0
00625	003	0	0	0	0	0	0
00625	004	0	0	0	0	0	0
00626	001	0	0	0	0	0	0
00626	002	0	0	0	0	0	0
00626	003	0	0	0	0	0	0
00626	004	0	0	0	0	0	0
00627	001	0	0	0	0	0	0
00627	002	0	0	0	0	0	0
00627	003	0	0	0	0	0	0
00627	004	0	0	0	0	0	0
00628	001	0	0	0	0	0	0
00628	002	0	0	0	0	0	0
00628	003	0	0	0	0	0	0
00628	004	0	0	0	0	0	0
00629	001	0	0	0	0	0	0
00629	002	0	0	0	0	0	0
00629	003	0	0	0	0	0	0
00629	004	0	0	0	0	0	0
00630	001	0	0	0	0	0	0
00630	002	0	0	0	0	0	0
00630	003	0	0	0	0	0	0
00630	004	0	0	0	0	0	0
00631	001	0	0	0	0	0	0
00631	002	0	0	0	0	0	0
00631	003	0	0	0	0	0	0
00631	004	0	0	0	0	0	0
00632	001	0	0	0	0	0	0
00632	002	0	0	0	0	0	0
00632	003	1	3	0	0	0	0
00632	004	0	0	0	0	0	0
00633	001	0	0	0	0	0	0
00633	002	0	0	0	0	0	0
00633	003	-28	-105	0	0	0	0
00633	004	0	0	0	0	0	0
00634	001	0	0	0	0	0	0
00634	002	0	0	0	0	0	0

Il presente documento è di proprietà della ANTEX GROUP srl.
È Vietato la comunicazione a terzi o la riproduzione senza il permesso scritto della suddetta.
La società tutela i propri diritti a rigore di Legge.

Comm.: C21-002-S05




SASSARI EOLICA S.R.L.	PARCO EOLICO DI "SASSARI" RELAZIONE DI CALCOLO PREDIMENSIONAMENTO DELLE FONDAZIONI WTG	 Ingegneria & Innovazione		
		26/05/2023	REV: 1	Pag.81

Nodi - Reazioni vincolari esterne per tipologie di carico non sismiche							
Id _{Nd}	CC	F _x [N]	F _y [N]	F _z [N]	M _x [N-m]	M _y [N-m]	M _z [N-m]
00634	003	1.092	2.856	0	0	0	0
00634	004	0	0	0	0	0	0
00635	001	0	0	0	0	0	0
00635	002	0	0	0	0	0	0
00635	003	-41.432	-60.960	0	0	0	0
00635	004	0	0	0	0	0	0
00636	001	0	0	0	0	0	0
00636	002	0	0	0	0	0	0
00636	003	1.302.437	3.925.839	0	0	0	0
00636	004	0	0	0	0	0	0
00637	001	0	0	0	0	0	0
00637	002	0	0	0	0	0	0
00637	003	1.302.437	-3.925.839	0	0	0	0
00637	004	0	0	0	0	0	0
00638	001	0	0	0	0	0	0
00638	002	0	0	0	0	0	0
00638	003	-41.432	60.960	0	0	0	0
00638	004	0	0	0	0	0	0
00639	001	0	0	0	0	0	0
00639	002	0	0	0	0	0	0
00639	003	1.092	-2.856	0	0	0	0
00639	004	0	0	0	0	0	0
00640	001	0	0	0	0	0	0
00640	002	0	0	0	0	0	0
00640	003	-28	105	0	0	0	0
00640	004	0	0	0	0	0	0
00641	001	0	0	0	0	0	0
00641	002	0	0	0	0	0	0
00641	003	1	-3	0	0	0	0
00641	004	0	0	0	0	0	0
00642	001	0	0	0	0	0	0
00642	002	0	0	0	0	0	0
00642	003	0	0	0	0	0	0
00642	004	0	0	0	0	0	0
00643	001	0	0	0	0	0	0
00643	002	0	0	0	0	0	0
00643	003	0	0	0	0	0	0
00643	004	0	0	0	0	0	0
00644	001	0	0	0	0	0	0
00644	002	0	0	0	0	0	0
00644	003	0	0	0	0	0	0
00644	004	0	0	0	0	0	0
00645	001	0	0	0	0	0	0
00645	002	0	0	0	0	0	0
00645	003	0	0	0	0	0	0
00645	004	0	0	0	0	0	0
00646	001	0	0	0	0	0	0
00646	002	0	0	0	0	0	0
00646	003	0	0	0	0	0	0
00646	004	0	0	0	0	0	0
00647	001	0	0	0	0	0	0
00647	002	0	0	0	0	0	0
00647	003	0	0	0	0	0	0
00647	004	0	0	0	0	0	0
00648	001	0	0	0	0	0	0
00648	002	0	0	0	0	0	0
00648	003	0	0	0	0	0	0
00648	004	0	0	0	0	0	0
00649	001	0	0	0	0	0	0
00649	002	0	0	0	0	0	0
00649	003	0	0	0	0	0	0
00649	004	0	0	0	0	0	0
00650	001	0	0	0	0	0	0
00650	002	0	0	0	0	0	0
00650	003	0	0	0	0	0	0
00650	004	0	0	0	0	0	0
00651	001	0	0	0	0	0	0


Il presente documento è di proprietà della ANTEX GROUP srl.
È Vietato la comunicazione a terzi o la riproduzione senza il permesso scritto della suddetta.
La società tutela i propri diritti a rigore di Legge.

Comm.: C21-002-S05



SASSARI EOLICA S.R.L.	PARCO EOLICO DI "SASSARI" RELAZIONE DI CALCOLO PREDIMENSIONAMENTO DELLE FONDAZIONI WTG	 Ingegneria & Innovazione		
		26/05/2023	REV: 1	Pag.82

Nodi - Reazioni vincolari esterne per tipologie di carico non sismiche							
Id _{Nd}	CC	F _x	F _y	F _z	M _x	M _y	M _z
		[N]	[N]	[N]	[N-m]	[N-m]	[N-m]
00651	002	0	0	0	0	0	0
00651	003	0	0	0	0	0	0
00651	004	0	0	0	0	0	0
00652	001	0	0	0	0	0	0
00652	002	0	0	0	0	0	0
00652	003	0	0	0	0	0	0
00652	004	0	0	0	0	0	0
00653	001	0	0	0	0	0	0
00653	002	0	0	0	0	0	0
00653	003	0	0	0	0	0	0
00653	004	0	0	0	0	0	0
00654	001	0	0	0	0	0	0
00654	002	0	0	0	0	0	0
00654	003	0	0	0	0	0	0
00654	004	0	0	0	0	0	0
00655	001	0	0	0	0	0	0
00655	002	0	0	0	0	0	0
00655	003	0	0	0	0	0	0
00655	004	0	0	0	0	0	0
00656	001	0	0	0	0	0	0
00656	002	0	0	0	0	0	0
00656	003	0	0	0	0	0	0
00656	004	0	0	0	0	0	0
00657	001	0	0	0	0	0	0
00657	002	0	0	0	0	0	0
00657	003	0	0	0	0	0	0
00657	004	0	0	0	0	0	0
00658	001	0	0	0	0	0	0
00658	002	0	0	0	0	0	0
00658	003	0	0	0	0	0	0
00658	004	0	0	0	0	0	0
00659	001	0	0	0	0	0	0
00659	002	0	0	0	0	0	0
00659	003	0	0	0	0	0	0
00659	004	0	0	0	0	0	0
00660	001	0	0	0	0	0	0
00660	002	0	0	0	0	0	0
00660	003	0	1	0	0	0	0
00660	004	0	0	0	0	0	0
00661	001	0	0	0	0	0	0
00661	002	0	0	0	0	0	0
00661	003	0	-28	0	0	0	0
00661	004	0	0	0	0	0	0
00662	001	0	0	0	0	0	0
00662	002	0	0	0	0	0	0
00662	003	19	1.209	0	0	0	0
00662	004	0	0	0	0	0	0
00663	001	0	0	0	0	0	0
00663	002	0	0	0	0	0	0
00663	003	-755	-49.211	0	0	0	0
00663	004	0	0	0	0	0	0
00664	001	0	0	0	0	0	0
00664	002	0	0	0	0	0	0
00664	003	225.615	635.287	0	0	0	0
00664	004	0	0	0	0	0	0
00665	001	0	0	0	0	0	0
00665	002	0	0	0	0	0	0
00665	003	-8.834.065	0	0	0	0	0
00665	004	0	0	0	0	0	0
00666	001	0	0	0	0	0	0
00666	002	0	0	0	0	0	0
00666	003	225.615	-635.287	0	0	0	0
00666	004	0	0	0	0	0	0
00667	001	0	0	0	0	0	0
00667	002	0	0	0	0	0	0
00667	003	-755	49.211	0	0	0	0
00667	004	0	0	0	0	0	0


SASSARI EOLICA S.R.L.	PARCO EOLICO DI "SASSARI" RELAZIONE DI CALCOLO PREDIMENSIONAMENTO DELLE FONDAZIONI WTG	 Ingegneria & Innovazione		
		26/05/2023	REV: 1	Pag.83

Nodi - Reazioni vincolari esterne per tipologie di carico non sismiche							
Id _{Nd}	CC	F _x	F _y	F _z	M _x	M _y	M _z
		[N]	[N]	[N]	[N-m]	[N-m]	[N-m]
00668	001	0	0	0	0	0	0
00668	002	0	0	0	0	0	0
00668	003	19	-1.209	0	0	0	0
00668	004	0	0	0	0	0	0
00669	001	0	0	0	0	0	0
00669	002	0	0	0	0	0	0
00669	003	0	28	0	0	0	0
00669	004	0	0	0	0	0	0
00670	001	0	0	0	0	0	0
00670	002	0	0	0	0	0	0
00670	003	0	-1	0	0	0	0
00670	004	0	0	0	0	0	0
00671	001	0	0	0	0	0	0
00671	002	0	0	0	0	0	0
00671	003	0	0	0	0	0	0
00671	004	0	0	0	0	0	0
00672	001	0	0	0	0	0	0
00672	002	0	0	0	0	0	0
00672	003	0	0	0	0	0	0
00672	004	0	0	0	0	0	0
00673	001	0	0	0	0	0	0
00673	002	0	0	0	0	0	0
00673	003	0	0	0	0	0	0
00673	004	0	0	0	0	0	0
00674	001	0	0	0	0	0	0
00674	002	0	0	0	0	0	0
00674	003	0	0	0	0	0	0
00674	004	0	0	0	0	0	0
00675	001	0	0	0	0	0	0
00675	002	0	0	0	0	0	0
00675	003	0	0	0	0	0	0
00675	004	0	0	0	0	0	0
00676	001	0	0	0	0	0	0
00676	002	0	0	0	0	0	0
00676	003	0	0	0	0	0	0
00676	004	0	0	0	0	0	0
00677	001	0	0	0	0	0	0
00677	002	0	0	0	0	0	0
00677	003	0	0	0	0	0	0
00677	004	0	0	0	0	0	0
00678	001	0	0	0	0	0	0
00678	002	0	0	0	0	0	0
00678	003	0	0	0	0	0	0
00678	004	0	0	0	0	0	0
00679	001	0	0	0	0	0	0
00679	002	0	0	0	0	0	0
00679	003	0	0	0	0	0	0
00679	004	0	0	0	0	0	0
00680	001	0	0	0	0	0	0
00680	002	0	0	0	0	0	0
00680	003	0	0	0	0	0	0
00680	004	0	0	0	0	0	0
00681	001	0	0	0	0	0	0
00681	002	0	0	0	0	0	0
00681	003	0	0	0	0	0	0
00681	004	0	0	0	0	0	0
00682	001	0	0	0	0	0	0
00682	002	0	0	0	0	0	0
00682	003	0	0	0	0	0	0
00682	004	0	0	0	0	0	0
00683	001	0	0	0	0	0	0
00683	002	0	0	0	0	0	0
00683	003	0	0	0	0	0	0
00683	004	0	0	0	0	0	0
00684	001	0	0	0	0	0	0
00684	002	0	0	0	0	0	0
00684	003	0	0	0	0	0	0

Il presente documento è di proprietà della ANTEX GROUP srl.
 È Vietato la comunicazione a terzi o la riproduzione senza il permesso scritto della suddetta.
 La società tutela i propri diritti a rigore di Legge.

Comm.: C21-002-S05




SASSARI EOLICA S.R.L.	PARCO EOLICO DI "SASSARI" RELAZIONE DI CALCOLO PREDIMENSIONAMENTO DELLE FONDAZIONI WTG	 Ingegneria & Innovazione		
		26/05/2023	REV: 1	Pag.84

Nodi - Reazioni vincolari esterne per tipologie di carico non sismiche							
Id _{Nd}	CC	F _x	F _y	F _z	M _x	M _y	M _z
		[N]	[N]	[N]	[N-m]	[N-m]	[N-m]
00684	004	0	0	0	0	0	0
00685	001	0	0	0	0	0	0
00685	002	0	0	0	0	0	0
00685	003	0	0	0	0	0	0
00685	004	0	0	0	0	0	0
00686	001	0	0	0	0	0	0
00686	002	0	0	0	0	0	0
00686	003	0	0	0	0	0	0
00686	004	0	0	0	0	0	0
00687	001	0	0	0	0	0	0
00687	002	0	0	0	0	0	0
00687	003	0	0	0	0	0	0
00687	004	0	0	0	0	0	0
00688	001	0	0	0	0	0	0
00688	002	0	0	0	0	0	0
00688	003	0	0	0	0	0	0
00688	004	0	0	0	0	0	0
00689	001	0	0	0	0	0	0
00689	002	0	0	0	0	0	0
00689	003	-1	3	0	0	0	0
00689	004	0	0	0	0	0	0
00690	001	0	0	0	0	0	0
00690	002	0	0	0	0	0	0
00690	003	27	-82	0	0	0	0
00690	004	0	0	0	0	0	0
00691	001	0	0	0	0	0	0
00691	002	0	0	0	0	0	0
00691	003	-1.055	1.935	0	0	0	0
00691	004	0	0	0	0	0	0
00692	001	0	0	0	0	0	0
00692	002	0	0	0	0	0	0
00692	003	40.761	-25.651	0	0	0	0
00692	004	0	0	0	0	0	0
00693	001	0	0	0	0	0	0
00693	002	0	0	0	0	0	0
00693	003	-81.130	85.296	0	0	0	0
00693	004	0	0	0	0	0	0
00694	001	0	0	0	0	0	0
00694	002	0	0	0	0	0	0
00694	003	-81.130	-85.296	0	0	0	0
00694	004	0	0	0	0	0	0
00695	001	0	0	0	0	0	0
00695	002	0	0	0	0	0	0
00695	003	40.761	25.651	0	0	0	0
00695	004	0	0	0	0	0	0
00696	001	0	0	0	0	0	0
00696	002	0	0	0	0	0	0
00696	003	-1.055	-1.935	0	0	0	0
00696	004	0	0	0	0	0	0
00697	001	0	0	0	0	0	0
00697	002	0	0	0	0	0	0
00697	003	27	82	0	0	0	0
00697	004	0	0	0	0	0	0
00698	001	0	0	0	0	0	0
00698	002	0	0	0	0	0	0
00698	003	-1	-3	0	0	0	0
00698	004	0	0	0	0	0	0
00699	001	0	0	0	0	0	0
00699	002	0	0	0	0	0	0
00699	003	0	0	0	0	0	0
00699	004	0	0	0	0	0	0
00700	001	0	0	0	0	0	0
00700	002	0	0	0	0	0	0
00700	003	0	0	0	0	0	0
00700	004	0	0	0	0	0	0
00701	001	0	0	0	0	0	0
00701	002	0	0	0	0	0	0

Il presente documento è di proprietà della ANTEX GROUP srl.
 È Vietato la comunicazione a terzi o la riproduzione senza il permesso scritto della suddetta.
 La società tutela i propri diritti a rigore di Legge.

Comm.: C21-002-S05




SASSARI EOLICA S.R.L.	PARCO EOLICO DI "SASSARI" RELAZIONE DI CALCOLO PREDIMENSIONAMENTO DELLE FONDAZIONI WTG	 Ingegneria & Innovazione		
		26/05/2023	REV: 1	Pag.85

Nodi - Reazioni vincolari esterne per tipologie di carico non sismiche							
Id _{Nd}	CC	F _x	F _y	F _z	M _x	M _y	M _z
		[N]	[N]	[N]	[N-m]	[N-m]	[N-m]
00701	003	0	0	0	0	0	0
00701	004	0	0	0	0	0	0
00702	001	0	0	0	0	0	0
00702	002	0	0	0	0	0	0
00702	003	0	0	0	0	0	0
00702	004	0	0	0	0	0	0
00703	001	0	0	0	0	0	0
00703	002	0	0	0	0	0	0
00703	003	0	0	0	0	0	0
00703	004	0	0	0	0	0	0
00704	001	0	0	0	0	0	0
00704	002	0	0	0	0	0	0
00704	003	0	0	0	0	0	0
00704	004	0	0	0	0	0	0
00705	001	0	0	0	0	0	0
00705	002	0	0	0	0	0	0
00705	003	0	0	0	0	0	0
00705	004	0	0	0	0	0	0
00706	001	0	0	0	0	0	0
00706	002	0	0	0	0	0	0
00706	003	0	0	0	0	0	0
00706	004	0	0	0	0	0	0
00707	001	0	0	0	0	0	0
00707	002	0	0	0	0	0	0
00707	003	0	0	0	0	0	0
00707	004	0	0	0	0	0	0
00708	001	0	0	0	0	0	0
00708	002	0	0	0	0	0	0
00708	003	0	0	0	0	0	0
00708	004	0	0	0	0	0	0
00709	001	0	0	0	0	0	0
00709	002	0	0	0	0	0	0
00709	003	0	0	0	0	0	0
00709	004	0	0	0	0	0	0
00710	001	0	0	0	0	0	0
00710	002	0	0	0	0	0	0
00710	003	0	0	0	0	0	0
00710	004	0	0	0	0	0	0
00711	001	0	0	0	0	0	0
00711	002	0	0	0	0	0	0
00711	003	0	0	0	0	0	0
00711	004	0	0	0	0	0	0
00712	001	0	0	0	0	0	0
00712	002	0	0	0	0	0	0
00712	003	0	0	0	0	0	0
00712	004	0	0	0	0	0	0
00713	001	0	0	0	0	0	0
00713	002	0	0	0	0	0	0
00713	003	0	0	0	0	0	0
00713	004	0	0	0	0	0	0
00714	001	0	0	0	0	0	0
00714	002	0	0	0	0	0	0
00714	003	0	0	0	0	0	0
00714	004	0	0	0	0	0	0
00715	001	0	0	0	0	0	0
00715	002	0	0	0	0	0	0
00715	003	0	0	0	0	0	0
00715	004	0	0	0	0	0	0
00716	001	0	0	0	0	0	0
00716	002	0	0	0	0	0	0
00716	003	0	0	0	0	0	0
00716	004	0	0	0	0	0	0
00717	001	0	0	0	0	0	0
00717	002	0	0	0	0	0	0
00717	003	0	0	0	0	0	0
00717	004	0	0	0	0	0	0
00718	001	0	0	0	0	0	0

Il presente documento è di proprietà della ANTEX GROUP srl.
È Vietato la comunicazione a terzi o la riproduzione senza il permesso scritto della suddetta.
La società tutela i propri diritti a rigore di Legge.

Comm.: C21-002-S05




SASSARI EOLICA S.R.L.	PARCO EOLICO DI "SASSARI" RELAZIONE DI CALCOLO PREDIMENSIONAMENTO DELLE FONDAZIONI WTG	 Ingegneria & Innovazione		
		26/05/2023	REV: 1	Pag.86

Nodi - Reazioni vincolari esterne per tipologie di carico non sismiche							
Id _{Nd}	CC	F _x	F _y	F _z	M _x	M _y	M _z
		[N]	[N]	[N]	[N-m]	[N-m]	[N-m]
00718	002	0	0	0	0	0	0
00718	003	-2	4	0	0	0	0
00718	004	0	0	0	0	0	0
00719	001	0	0	0	0	0	0
00719	002	0	0	0	0	0	0
00719	003	55	-66	0	0	0	0
00719	004	0	0	0	0	0	0
00720	001	0	0	0	0	0	0
00720	002	0	0	0	0	0	0
00720	003	-1.067	665	0	0	0	0
00720	004	0	0	0	0	0	0
00721	001	0	0	0	0	0	0
00721	002	0	0	0	0	0	0
00721	003	975	-1.580	0	0	0	0
00721	004	0	0	0	0	0	0
00722	001	0	0	0	0	0	0
00722	002	0	0	0	0	0	0
00722	003	4.198	0	0	0	0	0
00722	004	0	0	0	0	0	0
00723	001	0	0	0	0	0	0
00723	002	0	0	0	0	0	0
00723	003	975	1.580	0	0	0	0
00723	004	0	0	0	0	0	0
00724	001	0	0	0	0	0	0
00724	002	0	0	0	0	0	0
00724	003	-1.067	-665	0	0	0	0
00724	004	0	0	0	0	0	0
00725	001	0	0	0	0	0	0
00725	002	0	0	0	0	0	0
00725	003	55	66	0	0	0	0
00725	004	0	0	0	0	0	0
00726	001	0	0	0	0	0	0
00726	002	0	0	0	0	0	0
00726	003	-2	-4	0	0	0	0
00726	004	0	0	0	0	0	0
00727	001	0	0	0	0	0	0
00727	002	0	0	0	0	0	0
00727	003	0	0	0	0	0	0
00727	004	0	0	0	0	0	0
00728	001	0	0	0	0	0	0
00728	002	0	0	0	0	0	0
00728	003	0	0	0	0	0	0
00728	004	0	0	0	0	0	0
00729	001	0	0	0	0	0	0
00729	002	0	0	0	0	0	0
00729	003	0	0	0	0	0	0
00729	004	0	0	0	0	0	0
00730	001	0	0	0	0	0	0
00730	002	0	0	0	0	0	0
00730	003	0	0	0	0	0	0
00730	004	0	0	0	0	0	0
00731	001	0	0	0	0	0	0
00731	002	0	0	0	0	0	0
00731	003	0	0	0	0	0	0
00731	004	0	0	0	0	0	0
00732	001	0	0	0	0	0	0
00732	002	0	0	0	0	0	0
00732	003	0	0	0	0	0	0
00732	004	0	0	0	0	0	0
00733	001	0	0	0	0	0	0
00733	002	0	0	0	0	0	0
00733	003	0	0	0	0	0	0
00733	004	0	0	0	0	0	0
00734	001	0	0	0	0	0	0
00734	002	0	0	0	0	0	0
00734	003	0	0	0	0	0	0
00734	004	0	0	0	0	0	0

Il presente documento è di proprietà della ANTEX GROUP srl.
 È vietato la comunicazione a terzi o la riproduzione senza il permesso scritto della suddetta.
 La società tutela i propri diritti a rigore di Legge.

Comm.: C21-002-S05




SASSARI EOLICA S.R.L.	PARCO EOLICO DI "SASSARI" RELAZIONE DI CALCOLO PREDIMENSIONAMENTO DELLE FONDAZIONI WTG	 Ingegneria & Innovazione		
		26/05/2023	REV: 1	Pag.87

Nodi - Reazioni vincolari esterne per tipologie di carico non sismiche							
Id _{Nd}	CC	F _x	F _y	F _z	M _x	M _y	M _z
		[N]	[N]	[N]	[N-m]	[N-m]	[N-m]
00735	001	0	0	0	0	0	0
00735	002	0	0	0	0	0	0
00735	003	0	0	0	0	0	0
00735	004	0	0	0	0	0	0
00736	001	0	0	0	0	0	0
00736	002	0	0	0	0	0	0
00736	003	0	0	0	0	0	0
00736	004	0	0	0	0	0	0
00737	001	0	0	0	0	0	0
00737	002	0	0	0	0	0	0
00737	003	0	0	0	0	0	0
00737	004	0	0	0	0	0	0
00738	001	0	0	0	0	0	0
00738	002	0	0	0	0	0	0
00738	003	0	0	0	0	0	0
00738	004	0	0	0	0	0	0
00739	001	0	0	0	0	0	0
00739	002	0	0	0	0	0	0
00739	003	0	0	0	0	0	0
00739	004	0	0	0	0	0	0
00740	001	0	0	0	0	0	0
00740	002	0	0	0	0	0	0
00740	003	0	0	0	0	0	0
00740	004	0	0	0	0	0	0
00741	001	0	0	0	0	0	0
00741	002	0	0	0	0	0	0
00741	003	0	0	0	0	0	0
00741	004	0	0	0	0	0	0
00742	001	0	0	0	0	0	0
00742	002	0	0	0	0	0	0
00742	003	0	0	0	0	0	0
00742	004	0	0	0	0	0	0
00743	001	0	0	0	0	0	0
00743	002	0	0	0	0	0	0
00743	003	0	0	0	0	0	0
00743	004	0	0	0	0	0	0
00744	001	0	0	0	0	0	0
00744	002	0	0	0	0	0	0
00744	003	0	0	0	0	0	0
00744	004	0	0	0	0	0	0
00745	001	0	0	0	0	0	0
00745	002	0	0	0	0	0	0
00745	003	0	0	0	0	0	0
00745	004	0	0	0	0	0	0
00746	001	0	0	0	0	0	0
00746	002	0	0	0	0	0	0
00746	003	0	0	0	0	0	0
00746	004	0	0	0	0	0	0
00747	001	0	0	0	0	0	0
00747	002	0	0	0	0	0	0
00747	003	-2	2	0	0	0	0
00747	004	0	0	0	0	0	0
00748	001	0	0	0	0	0	0
00748	002	0	0	0	0	0	0
00748	003	26	-16	0	0	0	0
00748	004	0	0	0	0	0	0
00749	001	0	0	0	0	0	0
00749	002	0	0	0	0	0	0
00749	003	5	23	0	0	0	0
00749	004	0	0	0	0	0	0
00750	001	0	0	0	0	0	0
00750	002	0	0	0	0	0	0
00750	003	-132	42	0	0	0	0
00750	004	0	0	0	0	0	0
00751	001	0	0	0	0	0	0
00751	002	0	0	0	0	0	0
00751	003	-132	-42	0	0	0	0

Il presente documento è di proprietà della ANTEX GROUP srl.
 È Vietato la comunicazione a terzi o la riproduzione senza il permesso scritto della suddetta.
 La società tutela i propri diritti a rigore di Legge.

Comm.: C21-002-S05




SASSARI EOLICA S.R.L.	PARCO EOLICO DI "SASSARI" RELAZIONE DI CALCOLO PREDIMENSIONAMENTO DELLE FONDAZIONI WTG	 Ingegneria & Innovazione		
		26/05/2023	REV: 1	Pag.88

Nodi - Reazioni vincolari esterne per tipologie di carico non sismiche							
Id _{Nd}	CC	F _x	F _y	F _z	M _x	M _y	M _z
		[N]	[N]	[N]	[N-m]	[N-m]	[N-m]
00751	004	0	0	0	0	0	0
00752	001	0	0	0	0	0	0
00752	002	0	0	0	0	0	0
00752	003	5	-23	0	0	0	0
00752	004	0	0	0	0	0	0
00753	001	0	0	0	0	0	0
00753	002	0	0	0	0	0	0
00753	003	26	16	0	0	0	0
00753	004	0	0	0	0	0	0
00754	001	0	0	0	0	0	0
00754	002	0	0	0	0	0	0
00754	003	-2	-2	0	0	0	0
00754	004	0	0	0	0	0	0
00755	001	0	0	0	0	0	0
00755	002	0	0	0	0	0	0
00755	003	0	0	0	0	0	0
00755	004	0	0	0	0	0	0
00756	001	0	0	0	0	0	0
00756	002	0	0	0	0	0	0
00756	003	0	0	0	0	0	0
00756	004	0	0	0	0	0	0
00757	001	0	0	0	0	0	0
00757	002	0	0	0	0	0	0
00757	003	0	0	0	0	0	0
00757	004	0	0	0	0	0	0
00758	001	0	0	0	0	0	0
00758	002	0	0	0	0	0	0
00758	003	0	0	0	0	0	0
00758	004	0	0	0	0	0	0
00759	001	0	0	0	0	0	0
00759	002	0	0	0	0	0	0
00759	003	0	0	0	0	0	0
00759	004	0	0	0	0	0	0
00760	001	0	0	0	0	0	0
00760	002	0	0	0	0	0	0
00760	003	0	0	0	0	0	0
00760	004	0	0	0	0	0	0
00761	001	0	0	0	0	0	0
00761	002	0	0	0	0	0	0
00761	003	0	0	0	0	0	0
00761	004	0	0	0	0	0	0
00762	001	0	0	0	0	0	0
00762	002	0	0	0	0	0	0
00762	003	0	0	0	0	0	0
00762	004	0	0	0	0	0	0
00763	001	0	0	0	0	0	0
00763	002	0	0	0	0	0	0
00763	003	0	0	0	0	0	0
00763	004	0	0	0	0	0	0
00764	001	0	0	0	0	0	0
00764	002	0	0	0	0	0	0
00764	003	0	0	0	0	0	0
00764	004	0	0	0	0	0	0
00765	001	0	0	0	0	0	0
00765	002	0	0	0	0	0	0
00765	003	0	0	0	0	0	0
00765	004	0	0	0	0	0	0
00766	001	0	0	0	0	0	0
00766	002	0	0	0	0	0	0
00766	003	0	0	0	0	0	0
00766	004	0	0	0	0	0	0
00767	001	0	0	0	0	0	0
00767	002	0	0	0	0	0	0
00767	003	0	0	0	0	0	0
00767	004	0	0	0	0	0	0
00768	001	0	0	0	0	0	0
00768	002	0	0	0	0	0	0

Il presente documento è di proprietà della ANTEX GROUP srl.
 È Vietato la comunicazione a terzi o la riproduzione senza il permesso scritto della suddetta.
 La società tutela i propri diritti a rigore di Legge.

Comm.: C21-002-S05




SASSARI EOLICA S.R.L.	PARCO EOLICO DI "SASSARI" RELAZIONE DI CALCOLO PREDIMENSIONAMENTO DELLE FONDAZIONI WTG	 Ingegneria & Innovazione		
		26/05/2023	REV: 1	Pag.89

Nodi - Reazioni vincolari esterne per tipologie di carico non sismiche							
Id _{Nd}	CC	F _x	F _y	F _z	M _x	M _y	M _z
		[N]	[N]	[N]	[N-m]	[N-m]	[N-m]
00768	003	0	0	0	0	0	0
00768	004	0	0	0	0	0	0
00769	001	0	0	0	0	0	0
00769	002	0	0	0	0	0	0
00769	003	0	0	0	0	0	0
00769	004	0	0	0	0	0	0
00770	001	0	0	0	0	0	0
00770	002	0	0	0	0	0	0
00770	003	0	0	0	0	0	0
00770	004	0	0	0	0	0	0
00771	001	0	0	0	0	0	0
00771	002	0	0	0	0	0	0
00771	003	0	0	0	0	0	0
00771	004	0	0	0	0	0	0
00772	001	0	0	0	0	0	0
00772	002	0	0	0	0	0	0
00772	003	0	0	0	0	0	0
00772	004	0	0	0	0	0	0
00773	001	0	0	0	0	0	0
00773	002	0	0	0	0	0	0
00773	003	0	0	0	0	0	0
00773	004	0	0	0	0	0	0
00774	001	0	0	0	0	0	0
00774	002	0	0	0	0	0	0
00774	003	0	0	0	0	0	0
00774	004	0	0	0	0	0	0
00775	001	0	0	0	0	0	0
00775	002	0	0	0	0	0	0
00775	003	0	0	0	0	0	0
00775	004	0	0	0	0	0	0
00776	001	0	0	0	0	0	0
00776	002	0	0	0	0	0	0
00776	003	-1	0	0	0	0	0
00776	004	0	0	0	0	0	0
00777	001	0	0	0	0	0	0
00777	002	0	0	0	0	0	0
00777	003	-1	0	0	0	0	0
00777	004	0	0	0	0	0	0
00778	001	0	0	0	0	0	0
00778	002	0	0	0	0	0	0
00778	003	3	-2	0	0	0	0
00778	004	0	0	0	0	0	0
00779	001	0	0	0	0	0	0
00779	002	0	0	0	0	0	0
00779	003	7	0	0	0	0	0
00779	004	0	0	0	0	0	0
00780	001	0	0	0	0	0	0
00780	002	0	0	0	0	0	0
00780	003	3	2	0	0	0	0
00780	004	0	0	0	0	0	0
00781	001	0	0	0	0	0	0
00781	002	0	0	0	0	0	0
00781	003	-1	0	0	0	0	0
00781	004	0	0	0	0	0	0
00782	001	0	0	0	0	0	0
00782	002	0	0	0	0	0	0
00782	003	-1	0	0	0	0	0
00782	004	0	0	0	0	0	0
00783	001	0	0	0	0	0	0
00783	002	0	0	0	0	0	0
00783	003	0	0	0	0	0	0
00783	004	0	0	0	0	0	0
00784	001	0	0	0	0	0	0
00784	002	0	0	0	0	0	0
00784	003	0	0	0	0	0	0
00784	004	0	0	0	0	0	0
00785	001	0	0	0	0	0	0

Il presente documento è di proprietà della ANTEX GROUP srl.
È Vietato la comunicazione a terzi o la riproduzione senza il permesso scritto della suddetta.
La società tutela i propri diritti a rigore di Legge.

Comm.: C21-002-S05




SASSARI EOLICA S.R.L.	PARCO EOLICO DI "SASSARI" RELAZIONE DI CALCOLO PREDIMENSIONAMENTO DELLE FONDAZIONI WTG	 Ingegneria & Innovazione		
		26/05/2023	REV: 1	Pag.90

Nodi - Reazioni vincolari esterne per tipologie di carico non sismiche							
Id _{Nd}	CC	F _x	F _y	F _z	M _x	M _y	M _z
		[N]	[N]	[N]	[N-m]	[N-m]	[N-m]
00785	002	0	0	0	0	0	0
00785	003	0	0	0	0	0	0
00785	004	0	0	0	0	0	0
00786	001	0	0	0	0	0	0
00786	002	0	0	0	0	0	0
00786	003	0	0	0	0	0	0
00786	004	0	0	0	0	0	0
00787	001	0	0	0	0	0	0
00787	002	0	0	0	0	0	0
00787	003	0	0	0	0	0	0
00787	004	0	0	0	0	0	0
00788	001	0	0	0	0	0	0
00788	002	0	0	0	0	0	0
00788	003	0	0	0	0	0	0
00788	004	0	0	0	0	0	0
00789	001	0	0	0	0	0	0
00789	002	0	0	0	0	0	0
00789	003	0	0	0	0	0	0
00789	004	0	0	0	0	0	0
00790	001	0	0	0	0	0	0
00790	002	0	0	0	0	0	0
00790	003	0	0	0	0	0	0
00790	004	0	0	0	0	0	0
00791	001	0	0	0	0	0	0
00791	002	0	0	0	0	0	0
00791	003	0	0	0	0	0	0
00791	004	0	0	0	0	0	0
00792	001	0	0	0	0	0	0
00792	002	0	0	0	0	0	0
00792	003	0	0	0	0	0	0
00792	004	0	0	0	0	0	0
00793	001	0	0	0	0	0	0
00793	002	0	0	0	0	0	0
00793	003	0	0	0	0	0	0
00793	004	0	0	0	0	0	0
00794	001	0	0	0	0	0	0
00794	002	0	0	0	0	0	0
00794	003	0	0	0	0	0	0
00794	004	0	0	0	0	0	0
00795	001	0	0	0	0	0	0
00795	002	0	0	0	0	0	0
00795	003	0	0	0	0	0	0
00795	004	0	0	0	0	0	0
00796	001	0	0	0	0	0	0
00796	002	0	0	0	0	0	0
00796	003	0	0	0	0	0	0
00796	004	0	0	0	0	0	0
00797	001	0	0	0	0	0	0
00797	002	0	0	0	0	0	0
00797	003	0	0	0	0	0	0
00797	004	0	0	0	0	0	0
00798	001	0	0	0	0	0	0
00798	002	0	0	0	0	0	0
00798	003	0	0	0	0	0	0
00798	004	0	0	0	0	0	0
00799	001	0	0	0	0	0	0
00799	002	0	0	0	0	0	0
00799	003	0	0	0	0	0	0
00799	004	0	0	0	0	0	0
00800	001	0	0	0	0	0	0
00800	002	0	0	0	0	0	0
00800	003	0	0	0	0	0	0
00800	004	0	0	0	0	0	0
00801	001	0	0	0	0	0	0
00801	002	0	0	0	0	0	0
00801	003	0	0	0	0	0	0
00801	004	0	0	0	0	0	0

Il presente documento è di proprietà della ANTEX GROUP srl.
 È Vietato la comunicazione a terzi o la riproduzione senza il permesso scritto della suddetta.
 La società tutela i propri diritti a rigore di Legge.

Comm.: C21-002-S05




SASSARI EOLICA S.R.L.	PARCO EOLICO DI "SASSARI" RELAZIONE DI CALCOLO PREDIMENSIONAMENTO DELLE FONDAZIONI WTG	 Ingegneria & Innovazione		
		26/05/2023	REV: 1	Pag.91

Nodi - Reazioni vincolari esterne per tipologie di carico non sismiche							
Id _{Nd}	CC	F _x [N]	F _y [N]	F _z [N]	M _x [N-m]	M _y [N-m]	M _z [N-m]
00802	001	0	0	0	0	0	0
00802	002	0	0	0	0	0	0
00802	003	0	0	0	0	0	0
00802	004	0	0	0	0	0	0
00803	001	0	0	0	0	0	0
00803	002	0	0	0	0	0	0
00803	003	0	0	0	0	0	0
00803	004	0	0	0	0	0	0
00804	001	0	0	0	0	0	0
00804	002	0	0	0	0	0	0
00804	003	0	0	0	0	0	0
00804	004	0	0	0	0	0	0
00805	001	0	0	0	0	0	0
00805	002	0	0	0	0	0	0
00805	003	0	0	0	0	0	0
00805	004	0	0	0	0	0	0
00806	001	0	0	0	0	0	0
00806	002	0	0	0	0	0	0
00806	003	0	0	0	0	0	0
00806	004	0	0	0	0	0	0
00807	001	0	0	0	0	0	0
00807	002	0	0	0	0	0	0
00807	003	0	0	0	0	0	0
00807	004	0	0	0	0	0	0
00808	001	0	0	0	0	0	0
00808	002	0	0	0	0	0	0
00808	003	0	0	0	0	0	0
00808	004	0	0	0	0	0	0
00809	001	0	0	0	0	0	0
00809	002	0	0	0	0	0	0
00809	003	0	0	0	0	0	0
00809	004	0	0	0	0	0	0
00810	001	0	0	0	0	0	0
00810	002	0	0	0	0	0	0
00810	003	0	0	0	0	0	0
00810	004	0	0	0	0	0	0
00811	001	0	0	0	0	0	0
00811	002	0	0	0	0	0	0
00811	003	0	0	0	0	0	0
00811	004	0	0	0	0	0	0
00812	001	0	0	0	0	0	0
00812	002	0	0	0	0	0	0
00812	003	0	0	0	0	0	0
00812	004	0	0	0	0	0	0
00813	001	0	0	0	0	0	0
00813	002	0	0	0	0	0	0
00813	003	0	0	0	0	0	0
00813	004	0	0	0	0	0	0
00814	001	0	0	0	0	0	0
00814	002	0	0	0	0	0	0
00814	003	0	0	0	0	0	0
00814	004	0	0	0	0	0	0
00815	001	0	0	0	0	0	0
00815	002	0	0	0	0	0	0
00815	003	0	0	0	0	0	0
00815	004	0	0	0	0	0	0
00816	001	0	0	0	0	0	0
00816	002	0	0	0	0	0	0
00816	003	0	0	0	0	0	0
00816	004	0	0	0	0	0	0
00817	001	0	0	0	0	0	0
00817	002	0	0	0	0	0	0
00817	003	0	0	0	0	0	0
00817	004	0	0	0	0	0	0
00818	001	0	0	0	0	0	0
00818	002	0	0	0	0	0	0
00818	003	0	0	0	0	0	0

Il presente documento è di proprietà della ANTEX GROUP srl.
 È Vietato la comunicazione a terzi o la riproduzione senza il permesso scritto della suddetta.
 La società tutela i propri diritti a rigore di Legge.

Comm.: C21-002-S05




SASSARI EOLICA S.R.L.	PARCO EOLICO DI "SASSARI" RELAZIONE DI CALCOLO PREDIMENSIONAMENTO DELLE FONDAZIONI WTG	 Ingegneria & Innovazione		
		26/05/2023	REV: 1	Pag.92

Nodi - Reazioni vincolari esterne per tipologie di carico non sismiche							
Id _{Nd}	CC	F _x	F _y	F _z	M _x	M _y	M _z
		[N]	[N]	[N]	[N-m]	[N-m]	[N-m]
00818	004	0	0	0	0	0	0
00819	001	0	0	0	0	0	0
00819	002	0	0	0	0	0	0
00819	003	0	0	0	0	0	0
00819	004	0	0	0	0	0	0
00820	001	0	0	0	0	0	0
00820	002	0	0	0	0	0	0
00820	003	0	0	0	0	0	0
00820	004	0	0	0	0	0	0
00821	001	0	0	0	0	0	0
00821	002	0	0	0	0	0	0
00821	003	0	0	0	0	0	0
00821	004	0	0	0	0	0	0
00822	001	0	0	0	0	0	0
00822	002	0	0	0	0	0	0
00822	003	0	0	0	0	0	0
00822	004	0	0	0	0	0	0
00823	001	0	0	0	0	0	0
00823	002	0	0	0	0	0	0
00823	003	0	0	0	0	0	0
00823	004	0	0	0	0	0	0
00824	001	0	0	0	0	0	0
00824	002	0	0	0	0	0	0
00824	003	0	0	0	0	0	0
00824	004	0	0	0	0	0	0
00825	001	0	0	0	0	0	0
00825	002	0	0	0	0	0	0
00825	003	0	0	0	0	0	0
00825	004	0	0	0	0	0	0
00826	001	0	0	0	0	0	0
00826	002	0	0	0	0	0	0
00826	003	0	0	0	0	0	0
00826	004	0	0	0	0	0	0
00827	001	0	0	0	0	0	0
00827	002	0	0	0	0	0	0
00827	003	0	0	0	0	0	0
00827	004	0	0	0	0	0	0
00828	001	0	0	0	0	0	0
00828	002	0	0	0	0	0	0
00828	003	0	0	0	0	0	0
00828	004	0	0	0	0	0	0
00829	001	0	0	0	0	0	0
00829	002	0	0	0	0	0	0
00829	003	0	0	0	0	0	0
00829	004	0	0	0	0	0	0
00830	001	0	0	0	0	0	0
00830	002	0	0	0	0	0	0
00830	003	0	0	0	0	0	0
00830	004	0	0	0	0	0	0
00831	001	0	0	0	0	0	0
00831	002	0	0	0	0	0	0
00831	003	0	0	0	0	0	0
00831	004	0	0	0	0	0	0
00832	001	0	0	0	0	0	0
00832	002	0	0	0	0	0	0
00832	003	0	0	0	0	0	0
00832	004	0	0	0	0	0	0
00833	001	0	0	0	0	0	0
00833	002	0	0	0	0	0	0
00833	003	0	0	0	0	0	0
00833	004	0	0	0	0	0	0
00834	001	0	0	0	0	0	0
00834	002	0	0	0	0	0	0
00834	003	0	0	0	0	0	0
00834	004	0	0	0	0	0	0
00835	001	0	0	0	0	0	0
00835	002	0	0	0	0	0	0

Il presente documento è di proprietà della ANTEX GROUP srl.
È Vietato la comunicazione a terzi o la riproduzione senza il permesso scritto della suddetta.
La società tutela i propri diritti a rigore di Legge.

Comm.: C21-002-S05




SASSARI EOLICA S.R.L.	PARCO EOLICO DI "SASSARI" RELAZIONE DI CALCOLO PREDIMENSIONAMENTO DELLE FONDAZIONI WTG	 Ingegneria & Innovazione		
		26/05/2023	REV: 1	Pag.93

Nodi - Reazioni vincolari esterne per tipologie di carico non sismiche							
Id _{Nd}	CC	F _x	F _y	F _z	M _x	M _y	M _z
		[N]	[N]	[N]	[N-m]	[N-m]	[N-m]
00835	003	0	0	0	0	0	0
00835	004	0	0	0	0	0	0
00836	001	0	0	0	0	0	0
00836	002	0	0	0	0	0	0
00836	003	0	0	0	0	0	0
00836	004	0	0	0	0	0	0
00837	001	0	0	0	0	0	0
00837	002	0	0	0	0	0	0
00837	003	0	0	0	0	0	0
00837	004	0	0	0	0	0	0
00838	001	0	0	0	0	0	0
00838	002	0	0	0	0	0	0
00838	003	0	0	0	0	0	0
00838	004	0	0	0	0	0	0
00839	001	0	0	0	0	0	0
00839	002	0	0	0	0	0	0
00839	003	0	0	0	0	0	0
00839	004	0	0	0	0	0	0
00840	001	0	0	0	0	0	0
00840	002	0	0	0	0	0	0
00840	003	0	0	0	0	0	0
00840	004	0	0	0	0	0	0
00841	001	0	0	0	0	0	0
00841	002	0	0	0	0	0	0
00841	003	0	0	0	0	0	0
00841	004	0	0	0	0	0	0
00842	001	0	0	0	0	0	0
00842	002	0	0	0	0	0	0
00842	003	0	0	0	0	0	0
00842	004	0	0	0	0	0	0
00843	001	0	0	0	0	0	0
00843	002	0	0	0	0	0	0
00843	003	0	0	0	0	0	0
00843	004	0	0	0	0	0	0
00844	001	0	0	0	0	0	0
00844	002	0	0	0	0	0	0
00844	003	0	0	0	0	0	0
00844	004	0	0	0	0	0	0
00845	001	0	0	0	0	0	0
00845	002	0	0	0	0	0	0
00845	003	0	0	0	0	0	0
00845	004	0	0	0	0	0	0
00846	001	0	0	0	0	0	0
00846	002	0	0	0	0	0	0
00846	003	0	0	0	0	0	0
00846	004	0	0	0	0	0	0
00847	001	0	0	0	0	0	0
00847	002	0	0	0	0	0	0
00847	003	0	0	0	0	0	0
00847	004	0	0	0	0	0	0
00848	001	0	0	0	0	0	0
00848	002	0	0	0	0	0	0
00848	003	0	0	0	0	0	0
00848	004	0	0	0	0	0	0
00849	001	0	0	0	0	0	0
00849	002	0	0	0	0	0	0
00849	003	0	0	0	0	0	0
00849	004	0	0	0	0	0	0
00850	001	0	0	0	0	0	0
00850	002	0	0	0	0	0	0
00850	003	0	0	0	0	0	0
00850	004	0	0	0	0	0	0
00851	001	0	0	0	0	0	0
00851	002	0	0	0	0	0	0
00851	003	0	0	0	0	0	0
00851	004	0	0	0	0	0	0
00852	001	0	0	0	0	0	0

Il presente documento è di proprietà della ANTEX GROUP srl.
È Vietato la comunicazione a terzi o la riproduzione senza il permesso scritto della suddetta.
La società tutela i propri diritti a rigore di Legge.

Comm.: C21-002-S05




SASSARI EOLICA S.R.L.	PARCO EOLICO DI "SASSARI" RELAZIONE DI CALCOLO PREDIMENSIONAMENTO DELLE FONDAZIONI WTG	 Ingegneria & Innovazione		
		26/05/2023	REV: 1	Pag.94

Nodi - Reazioni vincolari esterne per tipologie di carico non sismiche							
Id _{Nd}	CC	F _x	F _y	F _z	M _x	M _y	M _z
		[N]	[N]	[N]	[N-m]	[N-m]	[N-m]
00852	002	0	0	0	0	0	0
00852	003	0	0	0	0	0	0
00852	004	0	0	0	0	0	0
00853	001	0	0	0	0	0	0
00853	002	0	0	0	0	0	0
00853	003	0	0	0	0	0	0
00853	004	0	0	0	0	0	0
00854	001	0	0	0	0	0	0
00854	002	0	0	0	0	0	0
00854	003	0	0	0	0	0	0
00854	004	0	0	0	0	0	0
00855	001	0	0	0	0	0	0
00855	002	0	0	0	0	0	0
00855	003	0	0	0	0	0	0
00855	004	0	0	0	0	0	0
00856	001	0	0	0	0	0	0
00856	002	0	0	0	0	0	0
00856	003	0	0	0	0	0	0
00856	004	0	0	0	0	0	0
00857	001	0	0	0	0	0	0
00857	002	0	0	0	0	0	0
00857	003	0	0	0	0	0	0
00857	004	0	0	0	0	0	0
00858	001	0	0	0	0	0	0
00858	002	0	0	0	0	0	0
00858	003	0	0	0	0	0	0
00858	004	0	0	0	0	0	0
00859	001	0	0	0	0	0	0
00859	002	0	0	0	0	0	0
00859	003	0	0	0	0	0	0
00859	004	0	0	0	0	0	0
00860	001	0	0	0	0	0	0
00860	002	0	0	0	0	0	0
00860	003	0	0	0	0	0	0
00860	004	0	0	0	0	0	0
00861	001	0	0	0	0	0	0
00861	002	0	0	0	0	0	0
00861	003	0	0	0	0	0	0
00861	004	0	0	0	0	0	0
00862	001	0	0	0	0	0	0
00862	002	0	0	0	0	0	0
00862	003	0	0	0	0	0	0
00862	004	0	0	0	0	0	0
00863	001	0	0	0	0	0	0
00863	002	0	0	0	0	0	0
00863	003	0	0	0	0	0	0
00863	004	0	0	0	0	0	0
00864	001	0	0	0	0	0	0
00864	002	0	0	0	0	0	0
00864	003	0	0	0	0	0	0
00864	004	0	0	0	0	0	0
00865	001	0	0	0	0	0	0
00865	002	0	0	0	0	0	0
00865	003	0	0	0	0	0	0
00865	004	0	0	0	0	0	0
00866	001	0	0	0	0	0	0
00866	002	0	0	0	0	0	0
00866	003	0	0	0	0	0	0
00866	004	0	0	0	0	0	0
00867	001	0	0	0	0	0	0
00867	002	0	0	0	0	0	0
00867	003	0	0	0	0	0	0
00867	004	0	0	0	0	0	0
00868	001	0	0	0	0	0	0
00868	002	0	0	0	0	0	0
00868	003	0	0	0	0	0	0
00868	004	0	0	0	0	0	0

Il presente documento è di proprietà della ANTEX GROUP srl.
 È Vietato la comunicazione a terzi o la riproduzione senza il permesso scritto della suddetta.
 La società tutela i propri diritti a rigore di Legge.

Comm.: C21-002-S05




SASSARI EOLICA S.R.L.	PARCO EOLICO DI "SASSARI" RELAZIONE DI CALCOLO PREDIMENSIONAMENTO DELLE FONDAZIONI WTG	 Ingegneria & Innovazione		
		26/05/2023	REV: 1	Pag.95

Nodi - Reazioni vincolari esterne per tipologie di carico non sismiche							
Id _{Nd}	CC	F _x	F _y	F _z	M _x	M _y	M _z
		[N]	[N]	[N]	[N-m]	[N-m]	[N-m]
00869	001	0	0	0	0	0	0
00869	002	0	0	0	0	0	0
00869	003	0	0	0	0	0	0
00869	004	0	0	0	0	0	0
00870	001	0	0	0	0	0	0
00870	002	0	0	0	0	0	0
00870	003	0	0	0	0	0	0
00870	004	0	0	0	0	0	0
00871	001	0	0	0	0	0	0
00871	002	0	0	0	0	0	0
00871	003	0	0	0	0	0	0
00871	004	0	0	0	0	0	0
00872	001	0	0	0	0	0	0
00872	002	0	0	0	0	0	0
00872	003	0	0	0	0	0	0
00872	004	0	0	0	0	0	0
00873	001	0	0	0	0	0	0
00873	002	0	0	0	0	0	0
00873	003	0	0	0	0	0	0
00873	004	0	0	0	0	0	0
00874	001	0	0	0	0	0	0
00874	002	0	0	0	0	0	0
00874	003	0	0	0	0	0	0
00874	004	0	0	0	0	0	0
00875	001	0	0	0	0	0	0
00875	002	0	0	0	0	0	0
00875	003	0	0	0	0	0	0
00875	004	0	0	0	0	0	0
00876	001	0	0	0	0	0	0
00876	002	0	0	0	0	0	0
00876	003	0	0	0	0	0	0
00876	004	0	0	0	0	0	0
00877	001	0	0	0	0	0	0
00877	002	0	0	0	0	0	0
00877	003	0	0	0	0	0	0
00877	004	0	0	0	0	0	0
00878	001	0	0	0	0	0	0
00878	002	0	0	0	0	0	0
00878	003	0	0	0	0	0	0
00878	004	0	0	0	0	0	0
00879	001	0	0	0	0	0	0
00879	002	0	0	0	0	0	0
00879	003	0	0	0	0	0	0
00879	004	0	0	0	0	0	0
00880	001	0	0	0	0	0	0
00880	002	0	0	0	0	0	0
00880	003	0	0	0	0	0	0
00880	004	0	0	0	0	0	0
00881	001	0	0	0	0	0	0
00881	002	0	0	0	0	0	0
00881	003	0	0	0	0	0	0
00881	004	0	0	0	0	0	0
00882	001	0	0	0	0	0	0
00882	002	0	0	0	0	0	0
00882	003	0	0	0	0	0	0
00882	004	0	0	0	0	0	0
00883	001	0	0	0	0	0	0
00883	002	0	0	0	0	0	0
00883	003	0	0	0	0	0	0
00883	004	0	0	0	0	0	0
00884	001	0	0	0	0	0	0
00884	002	0	0	0	0	0	0
00884	003	0	0	0	0	0	0
00884	004	0	0	0	0	0	0
00885	001	0	0	0	0	0	0
00885	002	0	0	0	0	0	0
00885	003	0	0	0	0	0	0

Il presente documento è di proprietà della ANTEX GROUP srl.
 È Vietato la comunicazione a terzi o la riproduzione senza il permesso scritto della suddetta.
 La società tutela i propri diritti a rigore di Legge.

Comm.: C21-002-S05




SASSARI EOLICA S.R.L.	PARCO EOLICO DI "SASSARI" RELAZIONE DI CALCOLO PREDIMENSIONAMENTO DELLE FONDAZIONI WTG	 Ingegneria & Innovazione		
		26/05/2023	REV: 1	Pag.96

Nodi - Reazioni vincolari esterne per tipologie di carico non sismiche							
Id _{Nd}	CC	F _x	F _y	F _z	M _x	M _y	M _z
		[N]	[N]	[N]	[N-m]	[N-m]	[N-m]
00885	004	0	0	0	0	0	0
00886	001	0	0	0	0	0	0
00886	002	0	0	0	0	0	0
00886	003	0	0	0	0	0	0
00886	004	0	0	0	0	0	0
00887	001	0	0	0	0	0	0
00887	002	0	0	0	0	0	0
00887	003	0	0	0	0	0	0
00887	004	0	0	0	0	0	0
00888	001	0	0	0	0	0	0
00888	002	0	0	0	0	0	0
00888	003	0	0	0	0	0	0
00888	004	0	0	0	0	0	0
00889	001	0	0	0	0	0	0
00889	002	0	0	0	0	0	0
00889	003	0	0	0	0	0	0
00889	004	0	0	0	0	0	0
00890	001	0	0	0	0	0	0
00890	002	0	0	0	0	0	0
00890	003	0	0	0	0	0	0
00890	004	0	0	0	0	0	0
00891	001	0	0	0	0	0	0
00891	002	0	0	0	0	0	0
00891	003	0	0	0	0	0	0
00891	004	0	0	0	0	0	0
00892	001	0	0	0	0	0	0
00892	002	0	0	0	0	0	0
00892	003	0	0	0	0	0	0
00892	004	0	0	0	0	0	0
00893	001	0	0	0	0	0	0
00893	002	0	0	0	0	0	0
00893	003	0	0	0	0	0	0
00893	004	0	0	0	0	0	0
00894	001	0	0	0	0	0	0
00894	002	0	0	0	0	0	0
00894	003	0	0	0	0	0	0
00894	004	0	0	0	0	0	0
00895	001	0	0	0	0	0	0
00895	002	0	0	0	0	0	0
00895	003	0	0	0	0	0	0
00895	004	0	0	0	0	0	0
00896	001	0	0	0	0	0	0
00896	002	0	0	0	0	0	0
00896	003	0	0	0	0	0	0
00896	004	0	0	0	0	0	0
00897	001	0	0	0	0	0	0
00897	002	0	0	0	0	0	0
00897	003	0	0	0	0	0	0
00897	004	0	0	0	0	0	0
00898	001	0	0	0	0	0	0
00898	002	0	0	0	0	0	0
00898	003	0	0	0	0	0	0
00898	004	0	0	0	0	0	0
00899	001	0	0	0	0	0	0
00899	002	0	0	0	0	0	0
00899	003	0	0	0	0	0	0
00899	004	0	0	0	0	0	0
00900	001	0	0	0	0	0	0
00900	002	0	0	0	0	0	0
00900	003	0	0	0	0	0	0
00900	004	0	0	0	0	0	0
00901	001	0	0	0	0	0	0
00901	002	0	0	0	0	0	0
00901	003	0	0	0	0	0	0
00901	004	0	0	0	0	0	0
00902	001	0	0	0	0	0	0
00902	002	0	0	0	0	0	0

Il presente documento è di proprietà della ANTEX GROUP srl.
È Vietato la comunicazione a terzi o la riproduzione senza il permesso scritto della suddetta.
La società tutela i propri diritti a rigore di Legge.

Comm.: C21-002-S05




SASSARI EOLICA S.R.L.	PARCO EOLICO DI "SASSARI" RELAZIONE DI CALCOLO PREDIMENSIONAMENTO DELLE FONDAZIONI WTG	 Ingegneria & Innovazione		
		26/05/2023	REV: 1	Pag.97

Nodi - Reazioni vincolari esterne per tipologie di carico non sismiche							
Id _{Nd}	CC	F _x	F _y	F _z	M _x	M _y	M _z
		[N]	[N]	[N]	[N-m]	[N-m]	[N-m]
00902	003	0	0	0	0	0	0
00902	004	0	0	0	0	0	0
00903	001	0	0	0	0	0	0
00903	002	0	0	0	0	0	0
00903	003	0	0	0	0	0	0
00903	004	0	0	0	0	0	0
00904	001	0	0	0	0	0	0
00904	002	0	0	0	0	0	0
00904	003	0	0	0	0	0	0
00904	004	0	0	0	0	0	0
00905	001	0	0	0	0	0	0
00905	002	0	0	0	0	0	0
00905	003	0	0	0	0	0	0
00905	004	0	0	0	0	0	0
00906	001	0	0	0	0	0	0
00906	002	0	0	0	0	0	0
00906	003	0	0	0	0	0	0
00906	004	0	0	0	0	0	0
00907	001	0	0	0	0	0	0
00907	002	0	0	0	0	0	0
00907	003	0	0	0	0	0	0
00907	004	0	0	0	0	0	0
00908	001	0	0	0	0	0	0
00908	002	0	0	0	0	0	0
00908	003	0	0	0	0	0	0
00908	004	0	0	0	0	0	0
00909	001	0	0	0	0	0	0
00909	002	0	0	0	0	0	0
00909	003	0	0	0	0	0	0
00909	004	0	0	0	0	0	0
00910	001	0	0	0	0	0	0
00910	002	0	0	0	0	0	0
00910	003	0	0	0	0	0	0
00910	004	0	0	0	0	0	0
00911	001	0	0	0	0	0	0
00911	002	0	0	0	0	0	0
00911	003	0	0	0	0	0	0
00911	004	0	0	0	0	0	0
00912	001	0	0	0	0	0	0
00912	002	0	0	0	0	0	0
00912	003	0	0	0	0	0	0
00912	004	0	0	0	0	0	0
00913	001	0	0	0	0	0	0
00913	002	0	0	0	0	0	0
00913	003	0	0	0	0	0	0
00913	004	0	0	0	0	0	0
00914	001	0	0	0	0	0	0
00914	002	0	0	0	0	0	0
00914	003	0	0	0	0	0	0
00914	004	0	0	0	0	0	0
00915	001	0	0	0	0	0	0
00915	002	0	0	0	0	0	0
00915	003	0	0	0	0	0	0
00915	004	0	0	0	0	0	0
00916	001	0	0	0	0	0	0
00916	002	0	0	0	0	0	0
00916	003	0	0	0	0	0	0
00916	004	0	0	0	0	0	0
00917	001	0	0	0	0	0	0
00917	002	0	0	0	0	0	0
00917	003	0	0	0	0	0	0
00917	004	0	0	0	0	0	0
00918	001	0	0	0	0	0	0
00918	002	0	0	0	0	0	0
00918	003	0	0	0	0	0	0
00918	004	0	0	0	0	0	0
00919	001	0	0	0	0	0	0

Il presente documento è di proprietà della ANTEX GROUP srl.
È Vietato la comunicazione a terzi o la riproduzione senza il permesso scritto della suddetta.
La società tutela i propri diritti a rigore di Legge.

Comm.: C21-002-S05



SASSARI EOLICA S.R.L.	PARCO EOLICO DI "SASSARI" RELAZIONE DI CALCOLO PREDIMENSIONAMENTO DELLE FONDAZIONI WTG	 Ingegneria & Innovazione		
		26/05/2023	REV: 1	Pag.98


Nodi - Reazioni vincolari esterne per tipologie di carico non sismiche							
Id _{Nd}	CC	F _x	F _y	F _z	M _x	M _y	M _z
		[N]	[N]	[N]	[N-m]	[N-m]	[N-m]
00919	002	0	0	0	0	0	0
00919	003	0	0	0	0	0	0
00919	004	0	0	0	0	0	0
00920	001	0	0	0	0	0	0
00920	002	0	0	0	0	0	0
00920	003	0	0	0	0	0	0
00920	004	0	0	0	0	0	0
00921	001	0	0	0	0	0	0
00921	002	0	0	0	0	0	0
00921	003	0	0	0	0	0	0
00921	004	0	0	0	0	0	0
00922	001	0	0	0	0	0	0
00922	002	0	0	0	0	0	0
00922	003	0	0	0	0	0	0
00922	004	0	0	0	0	0	0
00923	001	0	0	0	0	0	0
00923	002	0	0	0	0	0	0
00923	003	0	0	0	0	0	0
00923	004	0	0	0	0	0	0
00924	001	0	0	0	0	0	0
00924	002	0	0	0	0	0	0
00924	003	0	0	0	0	0	0
00924	004	0	0	0	0	0	0
00925	001	0	0	0	0	0	0
00925	002	0	0	0	0	0	0
00925	003	0	0	0	0	0	0
00925	004	0	0	0	0	0	0
00926	001	0	0	0	0	0	0
00926	002	0	0	0	0	0	0
00926	003	0	0	0	0	0	0
00926	004	0	0	0	0	0	0
00927	001	0	0	0	0	0	0
00927	002	0	0	0	0	0	0
00927	003	0	0	0	0	0	0
00927	004	0	0	0	0	0	0
00928	001	0	0	0	0	0	0
00928	002	0	0	0	0	0	0
00928	003	0	0	0	0	0	0
00928	004	0	0	0	0	0	0
00929	001	0	0	0	0	0	0
00929	002	0	0	0	0	0	0
00929	003	0	0	0	0	0	0
00929	004	0	0	0	0	0	0
00930	001	0	0	0	0	0	0
00930	002	0	0	0	0	0	0
00930	003	0	0	0	0	0	0
00930	004	0	0	0	0	0	0
00931	001	0	0	0	0	0	0
00931	002	0	0	0	0	0	0
00931	003	0	0	0	0	0	0
00931	004	0	0	0	0	0	0
00932	001	0	0	0	0	0	0
00932	002	0	0	0	0	0	0
00932	003	0	0	0	0	0	0
00932	004	0	0	0	0	0	0
00933	001	0	0	0	0	0	0
00933	002	0	0	0	0	0	0
00933	003	0	0	0	0	0	0
00933	004	0	0	0	0	0	0
00934	001	0	0	0	0	0	0
00934	002	0	0	0	0	0	0
00934	003	0	0	0	0	0	0
00934	004	0	0	0	0	0	0
00935	001	0	0	0	0	0	0
00935	002	0	0	0	0	0	0
00935	003	0	0	0	0	0	0
00935	004	0	0	0	0	0	0

Il presente documento è di proprietà della ANTEX GROUP srl.
È Vietato la comunicazione a terzi o la riproduzione senza il permesso scritto della suddetta.
La società tutela i propri diritti a rigore di Legge.

Comm.: C21-002-S05

ISO 9001
BUREAU VERITAS
Certification




SASSARI EOLICA S.R.L.	PARCO EOLICO DI "SASSARI" RELAZIONE DI CALCOLO PREDIMENSIONAMENTO DELLE FONDAZIONI WTG	 Ingegneria & Innovazione		
		26/05/2023	REV: 1	Pag.99

Nodi - Reazioni vincolari esterne per tipologie di carico non sismiche							
Id _{Nd}	CC	F _x	F _y	F _z	M _x	M _y	M _z
		[N]	[N]	[N]	[N-m]	[N-m]	[N-m]
00936	001	0	0	0	0	0	0
00936	002	0	0	0	0	0	0
00936	003	0	0	0	0	0	0
00936	004	0	0	0	0	0	0
00937	001	0	0	0	0	0	0
00937	002	0	0	0	0	0	0
00937	003	0	0	0	0	0	0
00937	004	0	0	0	0	0	0
00938	001	0	0	0	0	0	0
00938	002	0	0	0	0	0	0
00938	003	0	0	0	0	0	0
00938	004	0	0	0	0	0	0
00939	001	0	0	0	0	0	0
00939	002	0	0	0	0	0	0
00939	003	0	0	0	0	0	0
00939	004	0	0	0	0	0	0
00940	001	0	0	0	0	0	0
00940	002	0	0	0	0	0	0
00940	003	0	0	0	0	0	0
00940	004	0	0	0	0	0	0
00941	001	0	0	0	0	0	0
00941	002	0	0	0	0	0	0
00941	003	0	0	0	0	0	0
00941	004	0	0	0	0	0	0
00942	001	0	0	0	0	0	0
00942	002	0	0	0	0	0	0
00942	003	0	0	0	0	0	0
00942	004	0	0	0	0	0	0
00943	001	0	0	0	0	0	0
00943	002	0	0	0	0	0	0
00943	003	0	0	0	0	0	0
00943	004	0	0	0	0	0	0
00944	001	0	0	0	0	0	0
00944	002	0	0	0	0	0	0
00944	003	0	0	0	0	0	0
00944	004	0	0	0	0	0	0
00945	001	0	0	0	0	0	0
00945	002	0	0	0	0	0	0
00945	003	0	0	0	0	0	0
00945	004	0	0	0	0	0	0
00946	001	0	0	0	0	0	0
00946	002	0	0	0	0	0	0
00946	003	0	0	0	0	0	0
00946	004	0	0	0	0	0	0
00947	001	0	0	0	0	0	0
00947	002	0	0	0	0	0	0
00947	003	0	0	0	0	0	0
00947	004	0	0	0	0	0	0
00948	001	0	0	0	0	0	0
00948	002	0	0	0	0	0	0
00948	003	0	0	0	0	0	0
00948	004	0	0	0	0	0	0
00949	001	0	0	0	0	0	0
00949	002	0	0	0	0	0	0
00949	003	0	0	0	0	0	0
00949	004	0	0	0	0	0	0
00950	001	0	0	0	0	0	0
00950	002	0	0	0	0	0	0
00950	003	0	0	0	0	0	0
00950	004	0	0	0	0	0	0
00951	001	0	0	0	0	0	0
00951	002	0	0	0	0	0	0
00951	003	0	0	0	0	0	0
00951	004	0	0	0	0	0	0
00952	001	0	0	0	0	0	0
00952	002	0	0	0	0	0	0
00952	003	0	0	0	0	0	0


Il presente documento è di proprietà della ANTEX GROUP srl.
 È Vietato la comunicazione a terzi o la riproduzione senza il permesso scritto della suddetta.
 La società tutela i propri diritti a rigore di Legge.

Comm.: C21-002-S05



SASSARI EOLICA S.R.L.	PARCO EOLICO DI "SASSARI" RELAZIONE DI CALCOLO PREDIMENSIONAMENTO DELLE FONDAZIONI WTG	 Ingegneria & Innovazione		
		26/05/2023	REV: 1	Pag.100

Nodi - Reazioni vincolari esterne per tipologie di carico non sismiche							
Id _{Nd}	CC	F _x	F _y	F _z	M _x	M _y	M _z
		[N]	[N]	[N]	[N-m]	[N-m]	[N-m]
00952	004	0	0	0	0	0	0
00953	001	0	0	0	0	0	0
00953	002	0	0	0	0	0	0
00953	003	0	0	0	0	0	0
00953	004	0	0	0	0	0	0
00954	001	0	0	0	0	0	0
00954	002	0	0	0	0	0	0
00954	003	0	0	0	0	0	0
00954	004	0	0	0	0	0	0
00955	001	0	0	0	0	0	0
00955	002	0	0	0	0	0	0
00955	003	0	0	0	0	0	0
00955	004	0	0	0	0	0	0
00956	001	0	0	0	0	0	0
00956	002	0	0	0	0	0	0
00956	003	0	0	0	0	0	0
00956	004	0	0	0	0	0	0
00957	001	0	0	0	0	0	0
00957	002	0	0	0	0	0	0
00957	003	0	0	0	0	0	0
00957	004	0	0	0	0	0	0
00958	001	0	0	0	0	0	0
00958	002	0	0	0	0	0	0
00958	003	0	0	0	0	0	0
00958	004	0	0	0	0	0	0
00959	001	0	0	0	0	0	0
00959	002	0	0	0	0	0	0
00959	003	0	0	0	0	0	0
00959	004	0	0	0	0	0	0
00960	001	0	0	0	0	0	0
00960	002	0	0	0	0	0	0
00960	003	0	0	0	0	0	0
00960	004	0	0	0	0	0	0
00961	001	0	0	0	0	0	0
00961	002	0	0	0	0	0	0
00961	003	0	0	0	0	0	0
00961	004	0	0	0	0	0	0
00962	001	0	0	0	0	0	0
00962	002	0	0	0	0	0	0
00962	003	0	0	0	0	0	0
00962	004	0	0	0	0	0	0
00963	001	0	0	0	0	0	0
00963	002	0	0	0	0	0	0
00963	003	0	0	0	0	0	0
00963	004	0	0	0	0	0	0
00964	001	0	0	0	0	0	0
00964	002	0	0	0	0	0	0
00964	003	0	0	0	0	0	0
00964	004	0	0	0	0	0	0
00965	001	0	0	0	0	0	0
00965	002	0	0	0	0	0	0
00965	003	0	0	0	0	0	0
00965	004	0	0	0	0	0	0
00966	001	0	0	0	0	0	0
00966	002	0	0	0	0	0	0
00966	003	0	0	0	0	0	0
00966	004	0	0	0	0	0	0
00967	001	0	0	0	0	0	0
00967	002	0	0	0	0	0	0
00967	003	0	0	0	0	0	0
00967	004	0	0	0	0	0	0
00968	001	0	0	0	0	0	0
00968	002	0	0	0	0	0	0
00968	003	0	0	0	0	0	0
00968	004	0	0	0	0	0	0
00969	001	0	0	0	0	0	0
00969	002	0	0	0	0	0	0


SASSARI EOLICA S.R.L.	PARCO EOLICO DI "SASSARI" RELAZIONE DI CALCOLO PREDIMENSIONAMENTO DELLE FONDAZIONI WTG	 Ingegneria & Innovazione		
		26/05/2023	REV: 1	Pag.101

Nodi - Reazioni vincolari esterne per tipologie di carico non sismiche							
Id _{Nd}	CC	F _x	F _y	F _z	M _x	M _y	M _z
		[N]	[N]	[N]	[N-m]	[N-m]	[N-m]
00969	003	0	0	0	0	0	0
00969	004	0	0	0	0	0	0
00970	001	0	0	0	0	0	0
00970	002	0	0	0	0	0	0
00970	003	0	0	0	0	0	0
00970	004	0	0	0	0	0	0
00971	001	0	0	0	0	0	0
00971	002	0	0	0	0	0	0
00971	003	0	0	0	0	0	0
00971	004	0	0	0	0	0	0
00972	001	0	0	0	0	0	0
00972	002	0	0	0	0	0	0
00972	003	0	0	0	0	0	0
00972	004	0	0	0	0	0	0
00973	001	0	0	0	0	0	0
00973	002	0	0	0	0	0	0
00973	003	0	0	0	0	0	0
00973	004	0	0	0	0	0	0
00974	001	0	0	0	0	0	0
00974	002	0	0	0	0	0	0
00974	003	0	0	0	0	0	0
00974	004	0	0	0	0	0	0
00975	001	0	0	0	0	0	0
00975	002	0	0	0	0	0	0
00975	003	0	0	0	0	0	0
00975	004	0	0	0	0	0	0
00976	001	0	0	0	0	0	0
00976	002	0	0	0	0	0	0
00976	003	0	0	0	0	0	0
00976	004	0	0	0	0	0	0
00977	001	0	0	0	0	0	0
00977	002	0	0	0	0	0	0
00977	003	0	0	0	0	0	0
00977	004	0	0	0	0	0	0
00978	001	0	0	0	0	0	0
00978	002	0	0	0	0	0	0
00978	003	0	0	0	0	0	0
00978	004	0	0	0	0	0	0
00979	001	0	0	0	0	0	0
00979	002	0	0	0	0	0	0
00979	003	0	0	0	0	0	0
00979	004	0	0	0	0	0	0
00980	001	0	0	0	0	0	0
00980	002	0	0	0	0	0	0
00980	003	0	0	0	0	0	0
00980	004	0	0	0	0	0	0
00981	001	0	0	0	0	0	0
00981	002	0	0	0	0	0	0
00981	003	0	0	0	0	0	0
00981	004	0	0	0	0	0	0
00982	001	0	0	0	0	0	0
00982	002	0	0	0	0	0	0
00982	003	0	0	0	0	0	0
00982	004	0	0	0	0	0	0
00983	001	0	0	0	0	0	0
00983	002	0	0	0	0	0	0
00983	003	0	0	0	0	0	0
00983	004	0	0	0	0	0	0
00984	001	0	0	0	0	0	0
00984	002	0	0	0	0	0	0
00984	003	0	0	0	0	0	0
00984	004	0	0	0	0	0	0
00985	001	0	0	0	0	0	0
00985	002	0	0	0	0	0	0
00985	003	0	0	0	0	0	0
00985	004	0	0	0	0	0	0
00986	001	0	0	0	0	0	0


Il presente documento è di proprietà della ANTEX GROUP srl.
 È Vietato la comunicazione a terzi o la riproduzione senza il permesso scritto della suddetta.
 La società tutela i propri diritti a rigore di Legge.

Comm.: C21-002-S05



SASSARI EOLICA S.R.L.	PARCO EOLICO DI "SASSARI" RELAZIONE DI CALCOLO PREDIMENSIONAMENTO DELLE FONDAZIONI WTG	 Ingegneria & Innovazione		
		26/05/2023	REV: 1	Pag.102

Nodi - Reazioni vincolari esterne per tipologie di carico non sismiche							
Id _{Nd}	CC	F _x	F _y	F _z	M _x	M _y	M _z
		[N]	[N]	[N]	[N-m]	[N-m]	[N-m]
00986	002	0	0	0	0	0	0
00986	003	0	0	0	0	0	0
00986	004	0	0	0	0	0	0
00987	001	0	0	0	0	0	0
00987	002	0	0	0	0	0	0
00987	003	0	0	0	0	0	0
00987	004	0	0	0	0	0	0
00988	001	0	0	0	0	0	0
00988	002	0	0	0	0	0	0
00988	003	0	0	0	0	0	0
00988	004	0	0	0	0	0	0
00989	001	0	0	0	0	0	0
00989	002	0	0	0	0	0	0
00989	003	0	0	0	0	0	0
00989	004	0	0	0	0	0	0
00990	001	0	0	0	0	0	0
00990	002	0	0	0	0	0	0
00990	003	0	0	0	0	0	0
00990	004	0	0	0	0	0	0
00991	001	0	0	0	0	0	0
00991	002	0	0	0	0	0	0
00991	003	0	0	0	0	0	0
00991	004	0	0	0	0	0	0
00992	001	0	0	0	0	0	0
00992	002	0	0	0	0	0	0
00992	003	0	0	0	0	0	0
00992	004	0	0	0	0	0	0
00993	001	0	0	0	0	0	0
00993	002	0	0	0	0	0	0
00993	003	0	0	0	0	0	0
00993	004	0	0	0	0	0	0
00994	001	0	0	0	0	0	0
00994	002	0	0	0	0	0	0
00994	003	0	0	0	0	0	0
00994	004	0	0	0	0	0	0
00995	001	0	0	0	0	0	0
00995	002	0	0	0	0	0	0
00995	003	0	0	0	0	0	0
00995	004	0	0	0	0	0	0
00996	001	0	0	0	0	0	0
00996	002	0	0	0	0	0	0
00996	003	0	0	0	0	0	0
00996	004	0	0	0	0	0	0
00997	001	0	0	0	0	0	0
00997	002	0	0	0	0	0	0
00997	003	0	0	0	0	0	0
00997	004	0	0	0	0	0	0
00998	001	0	0	0	0	0	0
00998	002	0	0	0	0	0	0
00998	003	0	0	0	0	0	0
00998	004	0	0	0	0	0	0
00999	001	0	0	0	0	0	0
00999	002	0	0	0	0	0	0
00999	003	0	0	0	0	0	0
00999	004	0	0	0	0	0	0
01000	001	0	0	0	0	0	0
01000	002	0	0	0	0	0	0
01000	003	0	0	0	0	0	0
01000	004	0	0	0	0	0	0
01001	001	0	0	0	0	0	0
01001	002	0	0	0	0	0	0
01001	003	0	0	0	0	0	0
01001	004	0	0	0	0	0	0
01002	001	0	0	0	0	0	0
01002	002	0	0	0	0	0	0
01002	003	0	0	0	0	0	0
01002	004	0	0	0	0	0	0


SASSARI EOLICA S.R.L.	PARCO EOLICO DI "SASSARI" RELAZIONE DI CALCOLO PREDIMENSIONAMENTO DELLE FONDAZIONI WTG	 Ingegneria & Innovazione		
		26/05/2023	REV: 1	Pag.103

Nodi - Reazioni vincolari esterne per tipologie di carico non sismiche							
Id _{Nd}	CC	F _x	F _y	F _z	M _x	M _y	M _z
		[N]	[N]	[N]	[N-m]	[N-m]	[N-m]
01003	001	0	0	0	0	0	0
01003	002	0	0	0	0	0	0
01003	003	0	0	0	0	0	0
01003	004	0	0	0	0	0	0
01004	001	0	0	0	0	0	0
01004	002	0	0	0	0	0	0
01004	003	0	0	0	0	0	0
01004	004	0	0	0	0	0	0
01005	001	0	0	0	0	0	0
01005	002	0	0	0	0	0	0
01005	003	0	0	0	0	0	0
01005	004	0	0	0	0	0	0
01006	001	0	0	0	0	0	0
01006	002	0	0	0	0	0	0
01006	003	0	0	0	0	0	0
01006	004	0	0	0	0	0	0
01007	001	0	0	0	0	0	0
01007	002	0	0	0	0	0	0
01007	003	0	0	0	0	0	0
01007	004	0	0	0	0	0	0
01008	001	0	0	0	0	0	0
01008	002	0	0	0	0	0	0
01008	003	0	0	0	0	0	0
01008	004	0	0	0	0	0	0
01009	001	0	0	0	0	0	0
01009	002	0	0	0	0	0	0
01009	003	0	0	0	0	0	0
01009	004	0	0	0	0	0	0
01010	001	0	0	0	0	0	0
01010	002	0	0	0	0	0	0
01010	003	0	0	0	0	0	0
01010	004	0	0	0	0	0	0
01011	001	0	0	0	0	0	0
01011	002	0	0	0	0	0	0
01011	003	0	0	0	0	0	0
01011	004	0	0	0	0	0	0
01012	001	0	0	0	0	0	0
01012	002	0	0	0	0	0	0
01012	003	0	0	0	0	0	0
01012	004	0	0	0	0	0	0
01013	001	0	0	0	0	0	0
01013	002	0	0	0	0	0	0
01013	003	0	0	0	0	0	0
01013	004	0	0	0	0	0	0
01014	001	0	0	0	0	0	0
01014	002	0	0	0	0	0	0
01014	003	0	0	0	0	0	0
01014	004	0	0	0	0	0	0
01015	001	0	0	0	0	0	0
01015	002	0	0	0	0	0	0
01015	003	0	0	0	0	0	0
01015	004	0	0	0	0	0	0
01016	001	0	0	0	0	0	0
01016	002	0	0	0	0	0	0
01016	003	0	0	0	0	0	0
01016	004	0	0	0	0	0	0
01017	001	0	0	0	0	0	0
01017	002	0	0	0	0	0	0
01017	003	0	0	0	0	0	0
01017	004	0	0	0	0	0	0
01018	001	0	0	0	0	0	0
01018	002	0	0	0	0	0	0
01018	003	0	0	0	0	0	0
01018	004	0	0	0	0	0	0
01019	001	0	0	0	0	0	0
01019	002	0	0	0	0	0	0
01019	003	0	0	0	0	0	0

Il presente documento è di proprietà della ANTEX GROUP srl.
 È Vietato la comunicazione a terzi o la riproduzione senza il permesso scritto della suddetta.
 La società tutela i propri diritti a rigore di Legge.

Comm.: C21-002-S05



SASSARI EOLICA S.R.L.	PARCO EOLICO DI "SASSARI" RELAZIONE DI CALCOLO PREDIMENSIONAMENTO DELLE FONDAZIONI WTG	 Ingegneria & Innovazione		
		26/05/2023	REV: 1	Pag.104


Nodi - Reazioni vincolari esterne per tipologie di carico non sismiche

Id _{Nd}	CC	F _x [N]	F _y [N]	F _z [N]	M _x [N-m]	M _y [N-m]	M _z [N-m]
01019	004	0	0	0	0	0	0
01020	001	0	0	0	0	0	0
01020	002	0	0	0	0	0	0
01020	003	0	0	0	0	0	0
01020	004	0	0	0	0	0	0
01021	001	0	0	0	0	0	0
01021	002	0	0	0	0	0	0
01021	003	0	0	0	0	0	0
01021	004	0	0	0	0	0	0
01022	001	0	0	0	0	0	0
01022	002	0	0	0	0	0	0
01022	003	0	0	0	0	0	0
01022	004	0	0	0	0	0	0
01023	001	0	0	0	0	0	0
01023	002	0	0	0	0	0	0
01023	003	0	0	0	0	0	0
01023	004	0	0	0	0	0	0
01024	001	0	0	0	0	0	0
01024	002	0	0	0	0	0	0
01024	003	0	0	0	0	0	0
01024	004	0	0	0	0	0	0
01025	001	0	0	0	0	0	0
01025	002	0	0	0	0	0	0
01025	003	0	0	0	0	0	0
01025	004	0	0	0	0	0	0
01026	001	0	0	0	0	0	0
01026	002	0	0	0	0	0	0
01026	003	0	0	0	0	0	0
01026	004	0	0	0	0	0	0
01027	001	0	0	0	0	0	0
01027	002	0	0	0	0	0	0
01027	003	0	0	0	0	0	0
01027	004	0	0	0	0	0	0
01028	001	0	0	0	0	0	0
01028	002	0	0	0	0	0	0
01028	003	0	0	0	0	0	0
01028	004	0	0	0	0	0	0
01029	001	0	0	0	0	0	0
01029	002	0	0	0	0	0	0
01029	003	0	0	0	0	0	0
01029	004	0	0	0	0	0	0
01030	001	0	0	0	0	0	0
01030	002	0	0	0	0	0	0
01030	003	0	0	0	0	0	0
01030	004	0	0	0	0	0	0
01031	001	0	0	0	0	0	0
01031	002	0	0	0	0	0	0
01031	003	0	0	0	0	0	0
01031	004	0	0	0	0	0	0
01032	001	0	0	0	0	0	0
01032	002	0	0	0	0	0	0
01032	003	0	0	0	0	0	0
01032	004	0	0	0	0	0	0
01033	001	0	0	0	0	0	0
01033	002	0	0	0	0	0	0
01033	003	0	0	0	0	0	0
01033	004	0	0	0	0	0	0
01034	001	0	0	0	0	0	0
01034	002	0	0	0	0	0	0
01034	003	0	0	0	0	0	0
01034	004	0	0	0	0	0	0
01035	001	0	0	0	0	0	0
01035	002	0	0	0	0	0	0
01035	003	0	0	0	0	0	0
01035	004	0	0	0	0	0	0
01036	001	0	0	0	0	0	0
01036	002	0	0	0	0	0	0

Il presente documento è di proprietà della ANTEX GROUP srl.
 È vietato la comunicazione a terzi o la riproduzione senza il permesso scritto della suddetta.
 La società tutela i propri diritti a rigore di Legge.

Comm.: C21-002-S05




SASSARI EOLICA S.R.L.	PARCO EOLICO DI "SASSARI" RELAZIONE DI CALCOLO PREDIMENSIONAMENTO DELLE FONDAZIONI WTG	 Ingegneria & Innovazione		
		26/05/2023	REV: 1	Pag.105

Nodi - Reazioni vincolari esterne per tipologie di carico non sismiche							
Id _{Nd}	CC	F _x	F _y	F _z	M _x	M _y	M _z
		[N]	[N]	[N]	[N-m]	[N-m]	[N-m]
01036	003	0	0	0	0	0	0
01036	004	0	0	0	0	0	0
01037	001	0	0	0	0	0	0
01037	002	0	0	0	0	0	0
01037	003	0	0	0	0	0	0
01037	004	0	0	0	0	0	0
01038	001	0	0	0	0	0	0
01038	002	0	0	0	0	0	0
01038	003	0	0	0	0	0	0
01038	004	0	0	0	0	0	0
01039	001	0	0	0	0	0	0
01039	002	0	0	0	0	0	0
01039	003	0	0	0	0	0	0
01039	004	0	0	0	0	0	0
01040	001	0	0	0	0	0	0
01040	002	0	0	0	0	0	0
01040	003	0	0	0	0	0	0
01040	004	0	0	0	0	0	0
01041	001	0	0	0	0	0	0
01041	002	0	0	0	0	0	0
01041	003	0	0	0	0	0	0
01041	004	0	0	0	0	0	0
01042	001	0	0	0	0	0	0
01042	002	0	0	0	0	0	0
01042	003	0	0	0	0	0	0
01042	004	0	0	0	0	0	0
01043	001	0	0	0	0	0	0
01043	002	0	0	0	0	0	0
01043	003	0	0	0	0	0	0
01043	004	0	0	0	0	0	0
01044	001	0	0	0	0	0	0
01044	002	0	0	0	0	0	0
01044	003	0	0	0	0	0	0
01044	004	0	0	0	0	0	0
01045	001	0	0	0	0	0	0
01045	002	0	0	0	0	0	0
01045	003	0	0	0	0	0	0
01045	004	0	0	0	0	0	0
01046	001	0	0	0	0	0	0
01046	002	0	0	0	0	0	0
01046	003	0	0	0	0	0	0
01046	004	0	0	0	0	0	0
01047	001	0	0	0	0	0	0
01047	002	0	0	0	0	0	0
01047	003	0	0	0	0	0	0
01047	004	0	0	0	0	0	0
01048	001	0	0	0	0	0	0
01048	002	0	0	0	0	0	0
01048	003	0	0	0	0	0	0
01048	004	0	0	0	0	0	0
01049	001	0	0	0	0	0	0
01049	002	0	0	0	0	0	0
01049	003	0	0	0	0	0	0
01049	004	0	0	0	0	0	0
01050	001	0	0	0	0	0	0
01050	002	0	0	0	0	0	0
01050	003	0	0	0	0	0	0
01050	004	0	0	0	0	0	0
01051	001	0	0	0	0	0	0
01051	002	0	0	0	0	0	0
01051	003	0	0	0	0	0	0
01051	004	0	0	0	0	0	0
01052	001	0	0	0	0	0	0
01052	002	0	0	0	0	0	0
01052	003	0	0	0	0	0	0
01052	004	0	0	0	0	0	0
01053	001	0	0	0	0	0	0

Il presente documento è di proprietà della ANTEX GROUP srl.
 È vietato la comunicazione a terzi o la riproduzione senza il permesso scritto della suddetta.
 La società tutela i propri diritti a rigore di Legge.

Comm.: C21-002-S05




SASSARI EOLICA S.R.L.	PARCO EOLICO DI "SASSARI" RELAZIONE DI CALCOLO PREDIMENSIONAMENTO DELLE FONDAZIONI WTG	 Ingegneria & Innovazione		
		26/05/2023	REV: 1	Pag.106

Nodi - Reazioni vincolari esterne per tipologie di carico non sismiche							
Id _{Nd}	CC	F _x	F _y	F _z	M _x	M _y	M _z
		[N]	[N]	[N]	[N-m]	[N-m]	[N-m]
01053	002	0	0	0	0	0	0
01053	003	0	0	0	0	0	0
01053	004	0	0	0	0	0	0
01054	001	0	0	0	0	0	0
01054	002	0	0	0	0	0	0
01054	003	0	0	0	0	0	0
01054	004	0	0	0	0	0	0
01055	001	0	0	0	0	0	0
01055	002	0	0	0	0	0	0
01055	003	0	0	0	0	0	0
01055	004	0	0	0	0	0	0
01056	001	0	0	0	0	0	0
01056	002	0	0	0	0	0	0
01056	003	0	0	0	0	0	0
01056	004	0	0	0	0	0	0
01057	001	0	0	0	0	0	0
01057	002	0	0	0	0	0	0
01057	003	0	0	0	0	0	0
01057	004	0	0	0	0	0	0
01058	001	0	0	0	0	0	0
01058	002	0	0	0	0	0	0
01058	003	0	0	0	0	0	0
01058	004	0	0	0	0	0	0
01059	001	0	0	0	0	0	0
01059	002	0	0	0	0	0	0
01059	003	0	0	0	0	0	0
01059	004	0	0	0	0	0	0
01060	001	0	0	0	0	0	0
01060	002	0	0	0	0	0	0
01060	003	0	0	0	0	0	0
01060	004	0	0	0	0	0	0
01061	001	0	0	0	0	0	0
01061	002	0	0	0	0	0	0
01061	003	0	0	0	0	0	0
01061	004	0	0	0	0	0	0
01062	001	0	0	0	0	0	0
01062	002	0	0	0	0	0	0
01062	003	0	0	0	0	0	0
01062	004	0	0	0	0	0	0
01063	001	0	0	0	0	0	0
01063	002	0	0	0	0	0	0
01063	003	0	0	0	0	0	0
01063	004	0	0	0	0	0	0
01064	001	0	0	0	0	0	0
01064	002	0	0	0	0	0	0
01064	003	0	0	0	0	0	0
01064	004	0	0	0	0	0	0
01065	001	0	0	0	0	0	0
01065	002	0	0	0	0	0	0
01065	003	0	0	0	0	0	0
01065	004	0	0	0	0	0	0
01066	001	0	0	0	0	0	0
01066	002	0	0	0	0	0	0
01066	003	0	0	0	0	0	0
01066	004	0	0	0	0	0	0
01067	001	0	0	0	0	0	0
01067	002	0	0	0	0	0	0
01067	003	0	0	0	0	0	0
01067	004	0	0	0	0	0	0
01068	001	0	0	0	0	0	0
01068	002	0	0	0	0	0	0
01068	003	0	0	0	0	0	0
01068	004	0	0	0	0	0	0
01069	001	0	0	0	0	0	0
01069	002	0	0	0	0	0	0
01069	003	0	0	0	0	0	0
01069	004	0	0	0	0	0	0

Il presente documento è di proprietà della ANTEX GROUP srl.
 È vietato la comunicazione a terzi o la riproduzione senza il permesso scritto della suddetta.
 La società tutela i propri diritti a rigore di Legge.

Comm.: C21-002-S05




SASSARI EOLICA S.R.L.	PARCO EOLICO DI "SASSARI" RELAZIONE DI CALCOLO PREDIMENSIONAMENTO DELLE FONDAZIONI WTG	 Ingegneria & Innovazione		
		26/05/2023	REV: 1	Pag.107

Nodi - Reazioni vincolari esterne per tipologie di carico non sismiche							
Id _{Nd}	CC	F _x	F _y	F _z	M _x	M _y	M _z
		[N]	[N]	[N]	[N-m]	[N-m]	[N-m]
01070	001	0	0	0	0	0	0
01070	002	0	0	0	0	0	0
01070	003	0	0	0	0	0	0
01070	004	0	0	0	0	0	0
01071	001	0	0	0	0	0	0
01071	002	0	0	0	0	0	0
01071	003	0	0	0	0	0	0
01071	004	0	0	0	0	0	0
01072	001	0	0	0	0	0	0
01072	002	0	0	0	0	0	0
01072	003	0	0	0	0	0	0
01072	004	0	0	0	0	0	0
01073	001	0	0	0	0	0	0
01073	002	0	0	0	0	0	0
01073	003	0	0	0	0	0	0
01073	004	0	0	0	0	0	0
01074	001	0	0	0	0	0	0
01074	002	0	0	0	0	0	0
01074	003	0	0	0	0	0	0
01074	004	0	0	0	0	0	0
01075	001	0	0	0	0	0	0
01075	002	0	0	0	0	0	0
01075	003	0	0	0	0	0	0
01075	004	0	0	0	0	0	0
01076	001	0	0	0	0	0	0
01076	002	0	0	0	0	0	0
01076	003	0	0	0	0	0	0
01076	004	0	0	0	0	0	0
01077	001	0	0	0	0	0	0
01077	002	0	0	0	0	0	0
01077	003	0	0	0	0	0	0
01077	004	0	0	0	0	0	0
01078	001	0	0	0	0	0	0
01078	002	0	0	0	0	0	0
01078	003	0	0	0	0	0	0
01078	004	0	0	0	0	0	0
01079	001	0	0	0	0	0	0
01079	002	0	0	0	0	0	0
01079	003	0	0	0	0	0	0
01079	004	0	0	0	0	0	0
01080	001	0	0	0	0	0	0
01080	002	0	0	0	0	0	0
01080	003	0	0	0	0	0	0
01080	004	0	0	0	0	0	0
01081	001	0	0	0	0	0	0
01081	002	0	0	0	0	0	0
01081	003	0	0	0	0	0	0
01081	004	0	0	0	0	0	0
01082	001	0	0	0	0	0	0
01082	002	0	0	0	0	0	0
01082	003	0	0	0	0	0	0
01082	004	0	0	0	0	0	0
01083	001	0	0	0	0	0	0
01083	002	0	0	0	0	0	0
01083	003	0	0	0	0	0	0
01083	004	0	0	0	0	0	0
01084	001	0	0	0	0	0	0
01084	002	0	0	0	0	0	0
01084	003	0	0	0	0	0	0
01084	004	0	0	0	0	0	0
01085	001	0	0	0	0	0	0
01085	002	0	0	0	0	0	0
01085	003	0	0	0	0	0	0
01085	004	0	0	0	0	0	0
01086	001	0	0	0	0	0	0
01086	002	0	0	0	0	0	0
01086	003	0	0	0	0	0	0

Il presente documento è di proprietà della ANTEX GROUP srl.
È Vietato la comunicazione a terzi o la riproduzione senza il permesso scritto della suddetta.
La società tutela i propri diritti a rigore di Legge.

Comm.: C21-002-S05




SASSARI EOLICA S.R.L.	PARCO EOLICO DI "SASSARI" RELAZIONE DI CALCOLO PREDIMENSIONAMENTO DELLE FONDAZIONI WTG	 Ingegneria & Innovazione		
		26/05/2023	REV: 1	Pag.108

Nodi - Reazioni vincolari esterne per tipologie di carico non sismiche							
Id _{Nd}	CC	F _x	F _y	F _z	M _x	M _y	M _z
		[N]	[N]	[N]	[N-m]	[N-m]	[N-m]
01086	004	0	0	0	0	0	0
01087	001	0	0	0	0	0	0
01087	002	0	0	0	0	0	0
01087	003	0	0	0	0	0	0
01087	004	0	0	0	0	0	0
01088	001	0	0	0	0	0	0
01088	002	0	0	0	0	0	0
01088	003	0	0	0	0	0	0
01088	004	0	0	0	0	0	0
01089	001	0	0	0	0	0	0
01089	002	0	0	0	0	0	0
01089	003	0	0	0	0	0	0
01089	004	0	0	0	0	0	0
01090	001	0	0	0	0	0	0
01090	002	0	0	0	0	0	0
01090	003	0	0	0	0	0	0
01090	004	0	0	0	0	0	0
01091	001	0	0	0	0	0	0
01091	002	0	0	0	0	0	0
01091	003	0	0	0	0	0	0
01091	004	0	0	0	0	0	0
01092	001	0	0	0	0	0	0
01092	002	0	0	0	0	0	0
01092	003	0	0	0	0	0	0
01092	004	0	0	0	0	0	0
01093	001	0	0	0	0	0	0
01093	002	0	0	0	0	0	0
01093	003	0	0	0	0	0	0
01093	004	0	0	0	0	0	0
01094	001	0	0	0	0	0	0
01094	002	0	0	0	0	0	0
01094	003	0	0	0	0	0	0
01094	004	0	0	0	0	0	0
01095	001	0	0	0	0	0	0
01095	002	0	0	0	0	0	0
01095	003	0	0	0	0	0	0
01095	004	0	0	0	0	0	0
01096	001	0	0	0	0	0	0
01096	002	0	0	0	0	0	0
01096	003	0	0	0	0	0	0
01096	004	0	0	0	0	0	0
01097	001	0	0	0	0	0	0
01097	002	0	0	0	0	0	0
01097	003	0	0	0	0	0	0
01097	004	0	0	0	0	0	0
01098	001	0	0	0	0	0	0
01098	002	0	0	0	0	0	0
01098	003	0	0	0	0	0	0
01098	004	0	0	0	0	0	0
01099	001	0	0	0	0	0	0
01099	002	0	0	0	0	0	0
01099	003	0	0	0	0	0	0
01099	004	0	0	0	0	0	0
01100	001	0	0	0	0	0	0
01100	002	0	0	0	0	0	0
01100	003	0	0	0	0	0	0
01100	004	0	0	0	0	0	0
01101	001	0	0	0	0	0	0
01101	002	0	0	0	0	0	0
01101	003	0	0	0	0	0	0
01101	004	0	0	0	0	0	0
01102	001	0	0	0	0	0	0
01102	002	0	0	0	0	0	0
01102	003	0	0	0	0	0	0
01102	004	0	0	0	0	0	0
01103	001	0	0	0	0	0	0
01103	002	0	0	0	0	0	0

Il presente documento è di proprietà della ANTEX GROUP srl.
 È vietato la comunicazione a terzi o la riproduzione senza il permesso scritto della suddetta.
 La società tutela i propri diritti a rigore di Legge.

Comm.: C21-002-S05



SASSARI EOLICA S.R.L.	PARCO EOLICO DI "SASSARI" RELAZIONE DI CALCOLO PREDIMENSIONAMENTO DELLE FONDAZIONI WTG	 Ingegneria & Innovazione		
		26/05/2023	REV: 1	Pag.109

Nodi - Reazioni vincolari esterne per tipologie di carico non sismiche							
Id _{Nd}	CC	F _x	F _y	F _z	M _x	M _y	M _z
		[N]	[N]	[N]	[N-m]	[N-m]	[N-m]
01103	003	0	0	0	0	0	0
01103	004	0	0	0	0	0	0
01104	001	0	0	0	0	0	0
01104	002	0	0	0	0	0	0
01104	003	0	0	0	0	0	0
01104	004	0	0	0	0	0	0
01105	001	0	0	0	0	0	0
01105	002	0	0	0	0	0	0
01105	003	0	0	0	0	0	0
01105	004	0	0	0	0	0	0
01106	001	0	0	0	0	0	0
01106	002	0	0	0	0	0	0
01106	003	0	0	0	0	0	0
01106	004	0	0	0	0	0	0

LEGENDA:

Id_{Nd} Identificativo del nodo.
CC Identificativo della tipologia di carico nella relativa tabella.
F_x, F_y, F_z Reazioni vincolari relative al sistema di riferimento globale X, Y, Z.
M_x, M_y, M_z


NODI - REAZIONI VINCOLARI ESTERNE PER ECCENTRICITÀ ACCIDENTALE

Nodi - Reazioni vincolari esterne per eccentricità accidentale								
IdNd	Dir	e	F _x	F _y	F _z	M _x	M _y	M _z
			[N]	[N]	[N]	[N-m]	[N-m]	[N-m]
00002	X	+	0	0	0	0	0	0
00002	X	-	0	0	0	0	0	0
00002	Y	+	0	0	0	0	0	0
00002	Y	-	0	0	0	0	0	0
00003	X	+	0	0	0	0	0	0
00003	X	-	0	0	0	0	0	0
00003	Y	+	0	0	0	0	0	0
00003	Y	-	0	0	0	0	0	0
00004	X	+	0	0	0	0	0	0
00004	X	-	0	0	0	0	0	0
00004	Y	+	0	0	0	0	0	0
00004	Y	-	0	0	0	0	0	0
00005	X	+	0	0	0	0	0	0
00005	X	-	0	0	0	0	0	0
00005	Y	+	0	0	0	0	0	0
00005	Y	-	0	0	0	0	0	0
00006	X	+	0	0	0	0	0	0
00006	X	-	0	0	0	0	0	0
00006	Y	+	0	0	0	0	0	0
00006	Y	-	0	0	0	0	0	0
00007	X	+	0	0	0	0	0	0
00007	X	-	0	0	0	0	0	0
00007	Y	+	0	0	0	0	0	0
00007	Y	-	0	0	0	0	0	0
00008	X	+	0	0	0	0	0	0
00008	X	-	0	0	0	0	0	0
00008	Y	+	0	0	0	0	0	0
00008	Y	-	0	0	0	0	0	0
00009	X	+	0	0	0	0	0	0
00009	X	-	0	0	0	0	0	0
00009	Y	+	0	0	0	0	0	0
00009	Y	-	0	0	0	0	0	0
00010	X	+	0	0	0	0	0	0
00010	X	-	0	0	0	0	0	0
00010	Y	+	0	0	0	0	0	0
00010	Y	-	0	0	0	0	0	0
00011	X	+	0	0	0	0	0	0
00011	X	-	0	0	0	0	0	0
00011	Y	+	0	0	0	0	0	0
00011	Y	-	0	0	0	0	0	0
00012	X	+	0	0	0	0	0	0

Il presente documento è di proprietà della ANTEX GROUP srl.
 È vietato la comunicazione a terzi o la riproduzione senza il permesso scritto della suddetta.
 La società tutela i propri diritti a rigore di Legge.

Comm.: C21-002-S05




SASSARI EOLICA S.R.L.	PARCO EOLICO DI “SASSARI” RELAZIONE DI CALCOLO PREDIMENSIONAMENTO DELLE FONDAZIONI WTG	 <i>Ingegneria & Innovazione</i>		
		26/05/2023	REV: 1	Pag.110

Nodi - Reazioni vincolari esterne per eccentricità accidentale								
Id _{Nd}	Dir	e	F _x	F _y	F _z	M _x	M _y	M _z
			[N]	[N]	[N]	[N-m]	[N-m]	[N-m]
00012	X	-	0	0	0	0	0	0
00012	Y	+	0	0	0	0	0	0
00012	Y	-	0	0	0	0	0	0
00013	X	+	0	0	0	0	0	0
00013	X	-	0	0	0	0	0	0
00013	Y	+	0	0	0	0	0	0
00013	Y	-	0	0	0	0	0	0
00014	X	+	0	0	0	0	0	0
00014	X	-	0	0	0	0	0	0
00014	Y	+	0	0	0	0	0	0
00014	Y	-	0	0	0	0	0	0
00015	X	+	0	0	0	0	0	0
00015	X	-	0	0	0	0	0	0
00015	Y	+	0	0	0	0	0	0
00015	Y	-	0	0	0	0	0	0
00016	X	+	0	0	0	0	0	0
00016	X	-	0	0	0	0	0	0
00016	Y	+	0	0	0	0	0	0
00016	Y	-	0	0	0	0	0	0
00017	X	+	0	0	0	0	0	0
00017	X	-	0	0	0	0	0	0
00017	Y	+	0	0	0	0	0	0
00017	Y	-	0	0	0	0	0	0
00018	X	+	0	0	0	0	0	0
00018	X	-	0	0	0	0	0	0
00018	Y	+	0	0	0	0	0	0
00018	Y	-	0	0	0	0	0	0
00019	X	+	0	0	0	0	0	0
00019	X	-	0	0	0	0	0	0
00019	Y	+	0	0	0	0	0	0
00019	Y	-	0	0	0	0	0	0
00020	X	+	0	0	0	0	0	0
00020	X	-	0	0	0	0	0	0
00020	Y	+	0	0	0	0	0	0
00020	Y	-	0	0	0	0	0	0
00021	X	+	0	0	0	0	0	0
00021	X	-	0	0	0	0	0	0
00021	Y	+	0	0	0	0	0	0
00021	Y	-	0	0	0	0	0	0
00022	X	+	0	0	0	0	0	0
00022	X	-	0	0	0	0	0	0
00022	Y	+	0	0	0	0	0	0
00022	Y	-	0	0	0	0	0	0
00023	X	+	0	0	0	0	0	0
00023	X	-	0	0	0	0	0	0
00023	Y	+	0	0	0	0	0	0
00023	Y	-	0	0	0	0	0	0
00024	X	+	0	0	0	0	0	0
00024	X	-	0	0	0	0	0	0
00024	Y	+	0	0	0	0	0	0
00024	Y	-	0	0	0	0	0	0
00025	X	+	0	0	0	0	0	0
00025	X	-	0	0	0	0	0	0
00025	Y	+	0	0	0	0	0	0
00025	Y	-	0	0	0	0	0	0
00026	X	+	0	0	0	0	0	0
00026	X	-	0	0	0	0	0	0
00026	Y	+	0	0	0	0	0	0
00026	Y	-	0	0	0	0	0	0
00027	X	+	0	0	0	0	0	0
00027	X	-	0	0	0	0	0	0
00027	Y	+	0	0	0	0	0	0
00027	Y	-	0	0	0	0	0	0
00028	X	+	0	0	0	0	0	0
00028	X	-	0	0	0	0	0	0
00028	Y	+	0	0	0	0	0	0
00028	Y	-	0	0	0	0	0	0

Il presente documento è di proprietà della ANTEX GROUP srl.
È Vietato la comunicazione a terzi o la riproduzione senza il permesso scritto della suddetta.
La società tutela i propri diritti a rigore di Legge.

Comm.: C21-002-S05



SASSARI EOLICA S.R.L.	PARCO EOLICO DI “SASSARI” RELAZIONE DI CALCOLO PREDIMENSIONAMENTO DELLE FONDAZIONI WTG	 <i>Ingegneria & Innovazione</i>		
		26/05/2023	REV: 1	Pag.111


Nodi - Reazioni vincolari esterne per eccentricità accidentale								
Id _{Nd}	Dir	e	F _x	F _y	F _z	M _x	M _y	M _z
			[N]	[N]	[N]	[N-m]	[N-m]	[N-m]
00029	X	+	0	0	0	0	0	0
00029	X	-	0	0	0	0	0	0
00029	Y	+	0	0	0	0	0	0
00029	Y	-	0	0	0	0	0	0
00030	X	+	0	0	0	0	0	0
00030	X	-	0	0	0	0	0	0
00030	Y	+	0	0	0	0	0	0
00030	Y	-	0	0	0	0	0	0
00031	X	+	0	0	0	0	0	0
00031	X	-	0	0	0	0	0	0
00031	Y	+	0	0	0	0	0	0
00031	Y	-	0	0	0	0	0	0
00032	X	+	0	0	0	0	0	0
00032	X	-	0	0	0	0	0	0
00032	Y	+	0	0	0	0	0	0
00032	Y	-	0	0	0	0	0	0
00033	X	+	0	0	0	0	0	0
00033	X	-	0	0	0	0	0	0
00033	Y	+	0	0	0	0	0	0
00033	Y	-	0	0	0	0	0	0
00034	X	+	0	0	0	0	0	0
00034	X	-	0	0	0	0	0	0
00034	Y	+	0	0	0	0	0	0
00034	Y	-	0	0	0	0	0	0
00035	X	+	0	0	0	0	0	0
00035	X	-	0	0	0	0	0	0
00035	Y	+	0	0	0	0	0	0
00035	Y	-	0	0	0	0	0	0
00036	X	+	0	0	0	0	0	0
00036	X	-	0	0	0	0	0	0
00036	Y	+	0	0	0	0	0	0
00036	Y	-	0	0	0	0	0	0
00037	X	+	0	0	0	0	0	0
00037	X	-	0	0	0	0	0	0
00037	Y	+	0	0	0	0	0	0
00037	Y	-	0	0	0	0	0	0
00038	X	+	0	0	0	0	0	0
00038	X	-	0	0	0	0	0	0
00038	Y	+	0	0	0	0	0	0
00038	Y	-	0	0	0	0	0	0
00039	X	+	0	0	0	0	0	0
00039	X	-	0	0	0	0	0	0
00039	Y	+	0	0	0	0	0	0
00039	Y	-	0	0	0	0	0	0
00040	X	+	0	0	0	0	0	0
00040	X	-	0	0	0	0	0	0
00040	Y	+	0	0	0	0	0	0
00040	Y	-	0	0	0	0	0	0
00041	X	+	0	0	0	0	0	0
00041	X	-	0	0	0	0	0	0
00041	Y	+	0	0	0	0	0	0
00041	Y	-	0	0	0	0	0	0
00042	X	+	0	0	0	0	0	0
00042	X	-	0	0	0	0	0	0
00042	Y	+	0	0	0	0	0	0
00042	Y	-	0	0	0	0	0	0
00043	X	+	0	0	0	0	0	0
00043	X	-	0	0	0	0	0	0
00043	Y	+	0	0	0	0	0	0
00043	Y	-	0	0	0	0	0	0
00044	X	+	0	0	0	0	0	0
00044	X	-	0	0	0	0	0	0
00044	Y	+	0	0	0	0	0	0
00044	Y	-	0	0	0	0	0	0
00045	X	+	0	0	0	0	0	0
00045	X	-	0	0	0	0	0	0
00045	Y	+	0	0	0	0	0	0

Il presente documento è di proprietà della ANTEX GROUP srl.
È Vietato la comunicazione a terzi o la riproduzione senza il permesso scritto della suddetta.
La società tutela i propri diritti a rigore di Legge.

Comm.: C21-002-S05



Nodi - Reazioni vincolari esterne per eccentricità accidentale								
Id _{Nd}	Dir	e	F _x	F _y	F _z	M _x	M _y	M _z
			[N]	[N]	[N]	[N-m]	[N-m]	[N-m]
00045	Y	-	0	0	0	0	0	0
00046	X	+	0	0	0	0	0	0
00046	X	-	0	0	0	0	0	0
00046	Y	+	0	0	0	0	0	0
00046	Y	-	0	0	0	0	0	0
00047	X	+	0	0	0	0	0	0
00047	X	-	0	0	0	0	0	0
00047	Y	+	0	0	0	0	0	0
00047	Y	-	0	0	0	0	0	0
00048	X	+	0	0	0	0	0	0
00048	X	-	0	0	0	0	0	0
00048	Y	+	0	0	0	0	0	0
00048	Y	-	0	0	0	0	0	0
00049	X	+	0	0	0	0	0	0
00049	X	-	0	0	0	0	0	0
00049	Y	+	0	0	0	0	0	0
00049	Y	-	0	0	0	0	0	0
00050	X	+	0	0	0	0	0	0
00050	X	-	0	0	0	0	0	0
00050	Y	+	0	0	0	0	0	0
00050	Y	-	0	0	0	0	0	0
00051	X	+	0	0	0	0	0	0
00051	X	-	0	0	0	0	0	0
00051	Y	+	0	0	0	0	0	0
00051	Y	-	0	0	0	0	0	0
00052	X	+	0	0	0	0	0	0
00052	X	-	0	0	0	0	0	0
00052	Y	+	0	0	0	0	0	0
00052	Y	-	0	0	0	0	0	0
00053	X	+	0	0	0	0	0	0
00053	X	-	0	0	0	0	0	0
00053	Y	+	0	0	0	0	0	0
00053	Y	-	0	0	0	0	0	0
00054	X	+	0	0	0	0	0	0
00054	X	-	0	0	0	0	0	0
00054	Y	+	0	0	0	0	0	0
00054	Y	-	0	0	0	0	0	0
00055	X	+	0	0	0	0	0	0
00055	X	-	0	0	0	0	0	0
00055	Y	+	0	0	0	0	0	0
00055	Y	-	0	0	0	0	0	0
00056	X	+	0	0	0	0	0	0
00056	X	-	0	0	0	0	0	0
00056	Y	+	0	0	0	0	0	0
00056	Y	-	0	0	0	0	0	0
00057	X	+	0	0	0	0	0	0
00057	X	-	0	0	0	0	0	0
00057	Y	+	0	0	0	0	0	0
00057	Y	-	0	0	0	0	0	0
00058	X	+	0	0	0	0	0	0
00058	X	-	0	0	0	0	0	0
00058	Y	+	0	0	0	0	0	0
00058	Y	-	0	0	0	0	0	0
00059	X	+	0	0	0	0	0	0
00059	X	-	0	0	0	0	0	0
00059	Y	+	0	0	0	0	0	0
00059	Y	-	0	0	0	0	0	0
00060	X	+	0	0	0	0	0	0
00060	X	-	0	0	0	0	0	0
00060	Y	+	0	0	0	0	0	0
00060	Y	-	0	0	0	0	0	0
00061	X	+	0	0	0	0	0	0
00061	X	-	0	0	0	0	0	0
00061	Y	+	0	0	0	0	0	0
00061	Y	-	0	0	0	0	0	0
00062	X	+	0	0	0	0	0	0
00062	X	-	0	0	0	0	0	0


SASSARI EOLICA S.R.L.	PARCO EOLICO DI "SASSARI" RELAZIONE DI CALCOLO PREDIMENSIONAMENTO DELLE FONDAZIONI WTG	 Ingegneria & Innovazione		
		26/05/2023	REV: 1	Pag.113

Nodi - Reazioni vincolari esterne per eccentricità accidentale									
Id _{Nd}	Dir	e	F _x	F _y	F _z	M _x	M _y	M _z	
			[N]	[N]	[N]	[N-m]	[N-m]	[N-m]	
00062	Y	+	0	0	0	0	0	0	
00062	Y	-	0	0	0	0	0	0	
00063	X	+	0	0	0	0	0	0	
00063	X	-	0	0	0	0	0	0	
00063	Y	+	0	0	0	0	0	0	
00063	Y	-	0	0	0	0	0	0	
00064	X	+	0	0	0	0	0	0	
00064	X	-	0	0	0	0	0	0	
00064	Y	+	0	0	0	0	0	0	
00064	Y	-	0	0	0	0	0	0	
00065	X	+	0	0	0	0	0	0	
00065	X	-	0	0	0	0	0	0	
00065	Y	+	0	0	0	0	0	0	
00065	Y	-	0	0	0	0	0	0	
00066	X	+	0	0	0	0	0	0	
00066	X	-	0	0	0	0	0	0	
00066	Y	+	0	0	0	0	0	0	
00066	Y	-	0	0	0	0	0	0	
00067	X	+	0	0	0	0	0	0	
00067	X	-	0	0	0	0	0	0	
00067	Y	+	0	0	0	0	0	0	
00067	Y	-	0	0	0	0	0	0	
00068	X	+	0	0	0	0	0	0	
00068	X	-	0	0	0	0	0	0	
00068	Y	+	0	0	0	0	0	0	
00068	Y	-	0	0	0	0	0	0	
00069	X	+	0	0	0	0	0	0	
00069	X	-	0	0	0	0	0	0	
00069	Y	+	0	0	0	0	0	0	
00069	Y	-	0	0	0	0	0	0	
00070	X	+	0	0	0	0	0	0	
00070	X	-	0	0	0	0	0	0	
00070	Y	+	0	0	0	0	0	0	
00070	Y	-	0	0	0	0	0	0	
00071	X	+	0	0	0	0	0	0	
00071	X	-	0	0	0	0	0	0	
00071	Y	+	0	0	0	0	0	0	
00071	Y	-	0	0	0	0	0	0	
00072	X	+	0	0	0	0	0	0	
00072	X	-	0	0	0	0	0	0	
00072	Y	+	0	0	0	0	0	0	
00072	Y	-	0	0	0	0	0	0	
00073	X	+	0	0	0	0	0	0	
00073	X	-	0	0	0	0	0	0	
00073	Y	+	0	0	0	0	0	0	
00073	Y	-	0	0	0	0	0	0	
00074	X	+	0	0	0	0	0	0	
00074	X	-	0	0	0	0	0	0	
00074	Y	+	0	0	0	0	0	0	
00074	Y	-	0	0	0	0	0	0	
00075	X	+	0	0	0	0	0	0	
00075	X	-	0	0	0	0	0	0	
00075	Y	+	0	0	0	0	0	0	
00075	Y	-	0	0	0	0	0	0	
00076	X	+	0	0	0	0	0	0	
00076	X	-	0	0	0	0	0	0	
00076	Y	+	0	0	0	0	0	0	
00076	Y	-	0	0	0	0	0	0	
00077	X	+	0	0	0	0	0	0	
00077	X	-	0	0	0	0	0	0	
00077	Y	+	0	0	0	0	0	0	
00077	Y	-	0	0	0	0	0	0	
00078	X	+	0	0	0	0	0	0	
00078	X	-	0	0	0	0	0	0	
00078	Y	+	0	0	0	0	0	0	
00078	Y	-	0	0	0	0	0	0	
00079	X	+	0	0	0	0	0	0	

Il presente documento è di proprietà della ANTEX GROUP srl.
È Vietato la comunicazione a terzi o la riproduzione senza il permesso scritto della suddetta.
La società tutela i propri diritti a rigore di Legge.

Comm.: C21-002-S05




SASSARI EOLICA S.R.L.	PARCO EOLICO DI “SASSARI” RELAZIONE DI CALCOLO PREDIMENSIONAMENTO DELLE FONDAZIONI WTG	 <i>Ingegneria & Innovazione</i>		
		26/05/2023	REV: 1	Pag.114

Nodi - Reazioni vincolari esterne per eccentricità accidentale								
Id _{Nd}	Dir	e	F _x	F _y	F _z	M _x	M _y	M _z
			[N]	[N]	[N]	[N-m]	[N-m]	[N-m]
00079	X	-	0	0	0	0	0	0
00079	Y	+	0	0	0	0	0	0
00079	Y	-	0	0	0	0	0	0
00080	X	+	0	0	0	0	0	0
00080	X	-	0	0	0	0	0	0
00080	Y	+	0	0	0	0	0	0
00080	Y	-	0	0	0	0	0	0
00081	X	+	0	0	0	0	0	0
00081	X	-	0	0	0	0	0	0
00081	Y	+	0	0	0	0	0	0
00081	Y	-	0	0	0	0	0	0
00082	X	+	0	0	0	0	0	0
00082	X	-	0	0	0	0	0	0
00082	Y	+	0	0	0	0	0	0
00082	Y	-	0	0	0	0	0	0
00083	X	+	0	0	0	0	0	0
00083	X	-	0	0	0	0	0	0
00083	Y	+	0	0	0	0	0	0
00083	Y	-	0	0	0	0	0	0
00084	X	+	0	0	0	0	0	0
00084	X	-	0	0	0	0	0	0
00084	Y	+	0	0	0	0	0	0
00084	Y	-	0	0	0	0	0	0
00085	X	+	0	0	0	0	0	0
00085	X	-	0	0	0	0	0	0
00085	Y	+	0	0	0	0	0	0
00085	Y	-	0	0	0	0	0	0
00086	X	+	0	0	0	0	0	0
00086	X	-	0	0	0	0	0	0
00086	Y	+	0	0	0	0	0	0
00086	Y	-	0	0	0	0	0	0
00087	X	+	0	0	0	0	0	0
00087	X	-	0	0	0	0	0	0
00087	Y	+	0	0	0	0	0	0
00087	Y	-	0	0	0	0	0	0
00088	X	+	0	0	0	0	0	0
00088	X	-	0	0	0	0	0	0
00088	Y	+	0	0	0	0	0	0
00088	Y	-	0	0	0	0	0	0
00089	X	+	0	0	0	0	0	0
00089	X	-	0	0	0	0	0	0
00089	Y	+	0	0	0	0	0	0
00089	Y	-	0	0	0	0	0	0
00090	X	+	0	0	0	0	0	0
00090	X	-	0	0	0	0	0	0
00090	Y	+	0	0	0	0	0	0
00090	Y	-	0	0	0	0	0	0
00091	X	+	0	0	0	0	0	0
00091	X	-	0	0	0	0	0	0
00091	Y	+	0	0	0	0	0	0
00091	Y	-	0	0	0	0	0	0
00092	X	+	0	0	0	0	0	0
00092	X	-	0	0	0	0	0	0
00092	Y	+	0	0	0	0	0	0
00092	Y	-	0	0	0	0	0	0
00093	X	+	0	0	0	0	0	0
00093	X	-	0	0	0	0	0	0
00093	Y	+	0	0	0	0	0	0
00093	Y	-	0	0	0	0	0	0
00094	X	+	0	0	0	0	0	0
00094	X	-	0	0	0	0	0	0
00094	Y	+	0	0	0	0	0	0
00094	Y	-	0	0	0	0	0	0
00095	X	+	0	0	0	0	0	0
00095	X	-	0	0	0	0	0	0
00095	Y	+	0	0	0	0	0	0
00095	Y	-	0	0	0	0	0	0

Il presente documento è di proprietà della ANTEX GROUP srl.
È Vietato la comunicazione a terzi o la riproduzione senza il permesso scritto della suddetta.
La società tutela i propri diritti a rigore di Legge.

Comm.: C21-002-S05




SASSARI EOLICA S.R.L.	PARCO EOLICO DI “SASSARI” RELAZIONE DI CALCOLO PREDIMENSIONAMENTO DELLE FONDAZIONI WTG	 <i>Ingegneria & Innovazione</i>		
		26/05/2023	REV: 1	Pag.115

Nodi - Reazioni vincolari esterne per eccentricità accidentale									
Id _{Nd}	Dir	e	F _x	F _y	F _z	M _x	M _y	M _z	
			[N]	[N]	[N]	[N-m]	[N-m]	[N-m]	
00096	X	+	0	0	0	0	0	0	
00096	X	-	0	0	0	0	0	0	
00096	Y	+	0	0	0	0	0	0	
00096	Y	-	0	0	0	0	0	0	
00097	X	+	0	0	0	0	0	0	
00097	X	-	0	0	0	0	0	0	
00097	Y	+	0	0	0	0	0	0	
00097	Y	-	0	0	0	0	0	0	
00098	X	+	0	0	0	0	0	0	
00098	X	-	0	0	0	0	0	0	
00098	Y	+	0	0	0	0	0	0	
00098	Y	-	0	0	0	0	0	0	
00099	X	+	0	0	0	0	0	0	
00099	X	-	0	0	0	0	0	0	
00099	Y	+	0	0	0	0	0	0	
00099	Y	-	0	0	0	0	0	0	
00100	X	+	0	0	0	0	0	0	
00100	X	-	0	0	0	0	0	0	
00100	Y	+	0	0	0	0	0	0	
00100	Y	-	0	0	0	0	0	0	
00101	X	+	0	0	0	0	0	0	
00101	X	-	0	0	0	0	0	0	
00101	Y	+	0	0	0	0	0	0	
00101	Y	-	0	0	0	0	0	0	
00102	X	+	0	0	0	0	0	0	
00102	X	-	0	0	0	0	0	0	
00102	Y	+	0	0	0	0	0	0	
00102	Y	-	0	0	0	0	0	0	
00103	X	+	0	0	0	0	0	0	
00103	X	-	0	0	0	0	0	0	
00103	Y	+	0	0	0	0	0	0	
00103	Y	-	0	0	0	0	0	0	
00104	X	+	0	0	0	0	0	0	
00104	X	-	0	0	0	0	0	0	
00104	Y	+	0	0	0	0	0	0	
00104	Y	-	0	0	0	0	0	0	
00105	X	+	0	0	0	0	0	0	
00105	X	-	0	0	0	0	0	0	
00105	Y	+	0	0	0	0	0	0	
00105	Y	-	0	0	0	0	0	0	
00106	X	+	0	0	0	0	0	0	
00106	X	-	0	0	0	0	0	0	
00106	Y	+	0	0	0	0	0	0	
00106	Y	-	0	0	0	0	0	0	
00107	X	+	0	0	0	0	0	0	
00107	X	-	0	0	0	0	0	0	
00107	Y	+	0	0	0	0	0	0	
00107	Y	-	0	0	0	0	0	0	
00108	X	+	0	0	0	0	0	0	
00108	X	-	0	0	0	0	0	0	
00108	Y	+	0	0	0	0	0	0	
00108	Y	-	0	0	0	0	0	0	
00109	X	+	0	0	0	0	0	0	
00109	X	-	0	0	0	0	0	0	
00109	Y	+	0	0	0	0	0	0	
00109	Y	-	0	0	0	0	0	0	
00110	X	+	0	0	0	0	0	0	
00110	X	-	0	0	0	0	0	0	
00110	Y	+	0	0	0	0	0	0	
00110	Y	-	0	0	0	0	0	0	
00111	X	+	0	0	0	0	0	0	
00111	X	-	0	0	0	0	0	0	
00111	Y	+	0	0	0	0	0	0	
00111	Y	-	0	0	0	0	0	0	
00112	X	+	0	0	0	0	0	0	
00112	X	-	0	0	0	0	0	0	
00112	Y	+	0	0	0	0	0	0	

Il presente documento è di proprietà della ANTEX GROUP srl.
È Vietato la comunicazione a terzi o la riproduzione senza il permesso scritto della suddetta.
La società tutela i propri diritti a rigore di Legge.

Comm.: C21-002-S05




SASSARI EOLICA S.R.L.	PARCO EOLICO DI "SASSARI" RELAZIONE DI CALCOLO PREDIMENSIONAMENTO DELLE FONDAZIONI WTG	 Ingegneria & Innovazione		
		26/05/2023	REV: 1	Pag.116

Nodi - Reazioni vincolari esterne per eccentricità accidentale									
Id _{Nd}	Dir	e	F _x	F _y	F _z	M _x	M _y	M _z	
			[N]	[N]	[N]	[N-m]	[N-m]	[N-m]	
00112	Y	-	0	0	0	0	0	0	
00113	X	+	0	0	0	0	0	0	
00113	X	-	0	0	0	0	0	0	
00113	Y	+	0	0	0	0	0	0	
00113	Y	-	0	0	0	0	0	0	
00114	X	+	0	0	0	0	0	0	
00114	X	-	0	0	0	0	0	0	
00114	Y	+	0	0	0	0	0	0	
00114	Y	-	0	0	0	0	0	0	
00115	X	+	0	0	0	0	0	0	
00115	X	-	0	0	0	0	0	0	
00115	Y	+	0	0	0	0	0	0	
00115	Y	-	0	0	0	0	0	0	
00116	X	+	0	0	0	0	0	0	
00116	X	-	0	0	0	0	0	0	
00116	Y	+	0	0	0	0	0	0	
00116	Y	-	0	0	0	0	0	0	
00117	X	+	0	0	0	0	0	0	
00117	X	-	0	0	0	0	0	0	
00117	Y	+	0	0	0	0	0	0	
00117	Y	-	0	0	0	0	0	0	
00118	X	+	0	0	0	0	0	0	
00118	X	-	0	0	0	0	0	0	
00118	Y	+	0	0	0	0	0	0	
00118	Y	-	0	0	0	0	0	0	
00119	X	+	0	0	0	0	0	0	
00119	X	-	0	0	0	0	0	0	
00119	Y	+	0	0	0	0	0	0	
00119	Y	-	0	0	0	0	0	0	
00120	X	+	0	0	0	0	0	0	
00120	X	-	0	0	0	0	0	0	
00120	Y	+	0	0	0	0	0	0	
00120	Y	-	0	0	0	0	0	0	
00121	X	+	0	0	0	0	0	0	
00121	X	-	0	0	0	0	0	0	
00121	Y	+	0	0	0	0	0	0	
00121	Y	-	0	0	0	0	0	0	
00122	X	+	0	0	0	0	0	0	
00122	X	-	0	0	0	0	0	0	
00122	Y	+	0	0	0	0	0	0	
00122	Y	-	0	0	0	0	0	0	
00123	X	+	0	0	0	0	0	0	
00123	X	-	0	0	0	0	0	0	
00123	Y	+	0	0	0	0	0	0	
00123	Y	-	0	0	0	0	0	0	
00124	X	+	0	0	0	0	0	0	
00124	X	-	0	0	0	0	0	0	
00124	Y	+	0	0	0	0	0	0	
00124	Y	-	0	0	0	0	0	0	
00125	X	+	0	0	0	0	0	0	
00125	X	-	0	0	0	0	0	0	
00125	Y	+	0	0	0	0	0	0	
00125	Y	-	0	0	0	0	0	0	
00126	X	+	0	0	0	0	0	0	
00126	X	-	0	0	0	0	0	0	
00126	Y	+	0	0	0	0	0	0	
00126	Y	-	0	0	0	0	0	0	
00127	X	+	0	0	0	0	0	0	
00127	X	-	0	0	0	0	0	0	
00127	Y	+	0	0	0	0	0	0	
00127	Y	-	0	0	0	0	0	0	
00128	X	+	0	0	0	0	0	0	
00128	X	-	0	0	0	0	0	0	
00128	Y	+	0	0	0	0	0	0	
00128	Y	-	0	0	0	0	0	0	
00129	X	+	0	0	0	0	0	0	
00129	X	-	0	0	0	0	0	0	

Il presente documento è di proprietà della ANTEX GROUP srl.
È Vietato la comunicazione a terzi o la riproduzione senza il permesso scritto della suddetta.
La società tutela i propri diritti a rigore di Legge.

Comm.: C21-002-S05




SASSARI EOLICA S.R.L.	PARCO EOLICO DI “SASSARI” RELAZIONE DI CALCOLO PREDIMENSIONAMENTO DELLE FONDAZIONI WTG	 <i>Ingegneria & Innovazione</i>		
		26/05/2023	REV: 1	Pag.117

Nodi - Reazioni vincolari esterne per eccentricità accidentale									
Id _{Nd}	Dir	e	F _x	F _y	F _z	M _x	M _y	M _z	
			[N]	[N]	[N]	[N-m]	[N-m]	[N-m]	
00129	Y	+	0	0	0	0	0	0	
00129	Y	-	0	0	0	0	0	0	
00130	X	+	0	0	0	0	0	0	
00130	X	-	0	0	0	0	0	0	
00130	Y	+	0	0	0	0	0	0	
00130	Y	-	0	0	0	0	0	0	
00131	X	+	0	0	0	0	0	0	
00131	X	-	0	0	0	0	0	0	
00131	Y	+	0	0	0	0	0	0	
00131	Y	-	0	0	0	0	0	0	
00132	X	+	0	0	0	0	0	0	
00132	X	-	0	0	0	0	0	0	
00132	Y	+	0	0	0	0	0	0	
00132	Y	-	0	0	0	0	0	0	
00133	X	+	0	0	0	0	0	0	
00133	X	-	0	0	0	0	0	0	
00133	Y	+	0	0	0	0	0	0	
00133	Y	-	0	0	0	0	0	0	
00134	X	+	0	0	0	0	0	0	
00134	X	-	0	0	0	0	0	0	
00134	Y	+	0	0	0	0	0	0	
00134	Y	-	0	0	0	0	0	0	
00135	X	+	0	0	0	0	0	0	
00135	X	-	0	0	0	0	0	0	
00135	Y	+	0	0	0	0	0	0	
00135	Y	-	0	0	0	0	0	0	
00136	X	+	0	0	0	0	0	0	
00136	X	-	0	0	0	0	0	0	
00136	Y	+	0	0	0	0	0	0	
00136	Y	-	0	0	0	0	0	0	
00137	X	+	0	0	0	0	0	0	
00137	X	-	0	0	0	0	0	0	
00137	Y	+	0	0	0	0	0	0	
00137	Y	-	0	0	0	0	0	0	
00138	X	+	0	0	0	0	0	0	
00138	X	-	0	0	0	0	0	0	
00138	Y	+	0	0	0	0	0	0	
00138	Y	-	0	0	0	0	0	0	
00139	X	+	0	0	0	0	0	0	
00139	X	-	0	0	0	0	0	0	
00139	Y	+	0	0	0	0	0	0	
00139	Y	-	0	0	0	0	0	0	
00140	X	+	0	0	0	0	0	0	
00140	X	-	0	0	0	0	0	0	
00140	Y	+	0	0	0	0	0	0	
00140	Y	-	0	0	0	0	0	0	
00141	X	+	0	0	0	0	0	0	
00141	X	-	0	0	0	0	0	0	
00141	Y	+	0	0	0	0	0	0	
00141	Y	-	0	0	0	0	0	0	
00142	X	+	0	0	0	0	0	0	
00142	X	-	0	0	0	0	0	0	
00142	Y	+	0	0	0	0	0	0	
00142	Y	-	0	0	0	0	0	0	
00143	X	+	0	0	0	0	0	0	
00143	X	-	0	0	0	0	0	0	
00143	Y	+	0	0	0	0	0	0	
00143	Y	-	0	0	0	0	0	0	
00144	X	+	0	0	0	0	0	0	
00144	X	-	0	0	0	0	0	0	
00144	Y	+	0	0	0	0	0	0	
00144	Y	-	0	0	0	0	0	0	
00145	X	+	0	0	0	0	0	0	
00145	X	-	0	0	0	0	0	0	
00145	Y	+	0	0	0	0	0	0	
00145	Y	-	0	0	0	0	0	0	
00146	X	+	0	0	0	0	0	0	

Il presente documento è di proprietà della ANTEX GROUP srl.
È Vietato la comunicazione a terzi o la riproduzione senza il permesso scritto della suddetta.
La società tutela i propri diritti a rigore di Legge.

Comm.: C21-002-S05




SASSARI EOLICA S.R.L.	PARCO EOLICO DI “SASSARI” RELAZIONE DI CALCOLO PREDIMENSIONAMENTO DELLE FONDAZIONI WTG	 <i>Ingegneria & Innovazione</i>		
		26/05/2023	REV: 1	Pag.118

Nodi - Reazioni vincolari esterne per eccentricità accidentale								
Id _{Nd}	Dir	e	F _x	F _y	F _z	M _x	M _y	M _z
			[N]	[N]	[N]	[N-m]	[N-m]	[N-m]
00146	X	-	0	0	0	0	0	0
00146	Y	+	0	0	0	0	0	0
00146	Y	-	0	0	0	0	0	0
00147	X	+	0	0	0	0	0	0
00147	X	-	0	0	0	0	0	0
00147	Y	+	0	0	0	0	0	0
00147	Y	-	0	0	0	0	0	0
00148	X	+	0	0	0	0	0	0
00148	X	-	0	0	0	0	0	0
00148	Y	+	0	0	0	0	0	0
00148	Y	-	0	0	0	0	0	0
00149	X	+	0	0	0	0	0	0
00149	X	-	0	0	0	0	0	0
00149	Y	+	0	0	0	0	0	0
00149	Y	-	0	0	0	0	0	0
00150	X	+	0	0	0	0	0	0
00150	X	-	0	0	0	0	0	0
00150	Y	+	0	0	0	0	0	0
00150	Y	-	0	0	0	0	0	0
00151	X	+	0	0	0	0	0	0
00151	X	-	0	0	0	0	0	0
00151	Y	+	0	0	0	0	0	0
00151	Y	-	0	0	0	0	0	0
00152	X	+	0	0	0	0	0	0
00152	X	-	0	0	0	0	0	0
00152	Y	+	0	0	0	0	0	0
00152	Y	-	0	0	0	0	0	0
00153	X	+	0	0	0	0	0	0
00153	X	-	0	0	0	0	0	0
00153	Y	+	0	0	0	0	0	0
00153	Y	-	0	0	0	0	0	0
00154	X	+	0	0	0	0	0	0
00154	X	-	0	0	0	0	0	0
00154	Y	+	0	0	0	0	0	0
00154	Y	-	0	0	0	0	0	0
00155	X	+	0	0	0	0	0	0
00155	X	-	0	0	0	0	0	0
00155	Y	+	0	0	0	0	0	0
00155	Y	-	0	0	0	0	0	0
00156	X	+	0	0	0	0	0	0
00156	X	-	0	0	0	0	0	0
00156	Y	+	0	0	0	0	0	0
00156	Y	-	0	0	0	0	0	0
00157	X	+	0	0	0	0	0	0
00157	X	-	0	0	0	0	0	0
00157	Y	+	0	0	0	0	0	0
00157	Y	-	0	0	0	0	0	0
00158	X	+	0	0	0	0	0	0
00158	X	-	0	0	0	0	0	0
00158	Y	+	0	0	0	0	0	0
00158	Y	-	0	0	0	0	0	0
00159	X	+	0	0	0	0	0	0
00159	X	-	0	0	0	0	0	0
00159	Y	+	0	0	0	0	0	0
00159	Y	-	0	0	0	0	0	0
00160	X	+	0	0	0	0	0	0
00160	X	-	0	0	0	0	0	0
00160	Y	+	0	0	0	0	0	0
00160	Y	-	0	0	0	0	0	0
00161	X	+	0	0	0	0	0	0
00161	X	-	0	0	0	0	0	0
00161	Y	+	0	0	0	0	0	0
00161	Y	-	0	0	0	0	0	0
00162	X	+	0	0	0	0	0	0
00162	X	-	0	0	0	0	0	0
00162	Y	+	0	0	0	0	0	0
00162	Y	-	0	0	0	0	0	0

Il presente documento è di proprietà della ANTEX GROUP srl.
È Vietato la comunicazione a terzi o la riproduzione senza il permesso scritto della suddetta.
La società tutela i propri diritti a rigore di Legge.

Comm.: C21-002-S05



SASSARI EOLICA S.R.L.	PARCO EOLICO DI "SASSARI" RELAZIONE DI CALCOLO PREDIMENSIONAMENTO DELLE FONDAZIONI WTG	 Ingegneria & Innovazione		
		26/05/2023	REV: 1	Pag.119


Nodi - Reazioni vincolari esterne per eccentricità accidentale									
Id _{Nd}	Dir	e	F _x	F _y	F _z	M _x	M _y	M _z	
			[N]	[N]	[N]	[N-m]	[N-m]	[N-m]	
00163	X	+	0	0	0	0	0	0	
00163	X	-	0	0	0	0	0	0	
00163	Y	+	0	0	0	0	0	0	
00163	Y	-	0	0	0	0	0	0	
00164	X	+	0	0	0	0	0	0	
00164	X	-	0	0	0	0	0	0	
00164	Y	+	0	0	0	0	0	0	
00164	Y	-	0	0	0	0	0	0	
00165	X	+	0	0	0	0	0	0	
00165	X	-	0	0	0	0	0	0	
00165	Y	+	0	0	0	0	0	0	
00165	Y	-	0	0	0	0	0	0	
00166	X	+	0	0	0	0	0	0	
00166	X	-	0	0	0	0	0	0	
00166	Y	+	0	0	0	0	0	0	
00166	Y	-	0	0	0	0	0	0	
00167	X	+	0	0	0	0	0	0	
00167	X	-	0	0	0	0	0	0	
00167	Y	+	0	0	0	0	0	0	
00167	Y	-	0	0	0	0	0	0	
00168	X	+	0	0	0	0	0	0	
00168	X	-	0	0	0	0	0	0	
00168	Y	+	0	0	0	0	0	0	
00168	Y	-	0	0	0	0	0	0	
00169	X	+	0	0	0	0	0	0	
00169	X	-	0	0	0	0	0	0	
00169	Y	+	0	0	0	0	0	0	
00169	Y	-	0	0	0	0	0	0	
00170	X	+	0	0	0	0	0	0	
00170	X	-	0	0	0	0	0	0	
00170	Y	+	0	0	0	0	0	0	
00170	Y	-	0	0	0	0	0	0	
00171	X	+	0	0	0	0	0	0	
00171	X	-	0	0	0	0	0	0	
00171	Y	+	0	0	0	0	0	0	
00171	Y	-	0	0	0	0	0	0	
00172	X	+	0	0	0	0	0	0	
00172	X	-	0	0	0	0	0	0	
00172	Y	+	0	0	0	0	0	0	
00172	Y	-	0	0	0	0	0	0	
00173	X	+	0	0	0	0	0	0	
00173	X	-	0	0	0	0	0	0	
00173	Y	+	0	0	0	0	0	0	
00173	Y	-	0	0	0	0	0	0	
00174	X	+	0	0	0	0	0	0	
00174	X	-	0	0	0	0	0	0	
00174	Y	+	0	0	0	0	0	0	
00174	Y	-	0	0	0	0	0	0	
00175	X	+	0	0	0	0	0	0	
00175	X	-	0	0	0	0	0	0	
00175	Y	+	0	0	0	0	0	0	
00175	Y	-	0	0	0	0	0	0	
00176	X	+	0	0	0	0	0	0	
00176	X	-	0	0	0	0	0	0	
00176	Y	+	0	0	0	0	0	0	
00176	Y	-	0	0	0	0	0	0	
00177	X	+	0	0	0	0	0	0	
00177	X	-	0	0	0	0	0	0	
00177	Y	+	0	0	0	0	0	0	
00177	Y	-	0	0	0	0	0	0	
00178	X	+	0	0	0	0	0	0	
00178	X	-	0	0	0	0	0	0	
00178	Y	+	0	0	0	0	0	0	
00178	Y	-	0	0	0	0	0	0	
00179	X	+	0	0	0	0	0	0	
00179	X	-	0	0	0	0	0	0	
00179	Y	+	0	0	0	0	0	0	

Il presente documento è di proprietà della ANTEX GROUP srl.
 È vietato la comunicazione a terzi o la riproduzione senza il permesso scritto della suddetta.
 La società tutela i propri diritti a rigore di Legge.

Comm.: C21-002-S05



Nodi - Reazioni vincolari esterne per eccentricità accidentale								
Id _{Nd}	Dir	e	F _x	F _y	F _z	M _x	M _y	M _z
			[N]	[N]	[N]	[N-m]	[N-m]	[N-m]
00179	Y	-	0	0	0	0	0	0
00180	X	+	0	0	0	0	0	0
00180	X	-	0	0	0	0	0	0
00180	Y	+	0	0	0	0	0	0
00180	Y	-	0	0	0	0	0	0
00181	X	+	0	0	0	0	0	0
00181	X	-	0	0	0	0	0	0
00181	Y	+	0	0	0	0	0	0
00181	Y	-	0	0	0	0	0	0
00182	X	+	0	0	0	0	0	0
00182	X	-	0	0	0	0	0	0
00182	Y	+	0	0	0	0	0	0
00182	Y	-	0	0	0	0	0	0
00183	X	+	0	0	0	0	0	0
00183	X	-	0	0	0	0	0	0
00183	Y	+	0	0	0	0	0	0
00183	Y	-	0	0	0	0	0	0
00184	X	+	0	0	0	0	0	0
00184	X	-	0	0	0	0	0	0
00184	Y	+	0	0	0	0	0	0
00184	Y	-	0	0	0	0	0	0
00185	X	+	0	0	0	0	0	0
00185	X	-	0	0	0	0	0	0
00185	Y	+	0	0	0	0	0	0
00185	Y	-	0	0	0	0	0	0
00186	X	+	0	0	0	0	0	0
00186	X	-	0	0	0	0	0	0
00186	Y	+	0	0	0	0	0	0
00186	Y	-	0	0	0	0	0	0
00187	X	+	0	0	0	0	0	0
00187	X	-	0	0	0	0	0	0
00187	Y	+	0	0	0	0	0	0
00187	Y	-	0	0	0	0	0	0
00188	X	+	0	0	0	0	0	0
00188	X	-	0	0	0	0	0	0
00188	Y	+	0	0	0	0	0	0
00188	Y	-	0	0	0	0	0	0
00189	X	+	0	0	0	0	0	0
00189	X	-	0	0	0	0	0	0
00189	Y	+	0	0	0	0	0	0
00189	Y	-	0	0	0	0	0	0
00190	X	+	0	0	0	0	0	0
00190	X	-	0	0	0	0	0	0
00190	Y	+	0	0	0	0	0	0
00190	Y	-	0	0	0	0	0	0
00191	X	+	0	0	0	0	0	0
00191	X	-	0	0	0	0	0	0
00191	Y	+	0	0	0	0	0	0
00191	Y	-	0	0	0	0	0	0
00192	X	+	0	0	0	0	0	0
00192	X	-	0	0	0	0	0	0
00192	Y	+	0	0	0	0	0	0
00192	Y	-	0	0	0	0	0	0
00193	X	+	0	0	0	0	0	0
00193	X	-	0	0	0	0	0	0
00193	Y	+	0	0	0	0	0	0
00193	Y	-	0	0	0	0	0	0
00194	X	+	0	0	0	0	0	0
00194	X	-	0	0	0	0	0	0
00194	Y	+	0	0	0	0	0	0
00194	Y	-	0	0	0	0	0	0
00195	X	+	0	0	0	0	0	0
00195	X	-	0	0	0	0	0	0
00195	Y	+	0	0	0	0	0	0
00195	Y	-	0	0	0	0	0	0
00196	X	+	0	0	0	0	0	0
00196	X	-	0	0	0	0	0	0


SASSARI EOLICA S.R.L.	PARCO EOLICO DI “SASSARI” RELAZIONE DI CALCOLO PREDIMENSIONAMENTO DELLE FONDAZIONI WTG	 <i>Ingegneria & Innovazione</i>		
		26/05/2023	REV: 1	Pag.121

Nodi - Reazioni vincolari esterne per eccentricità accidentale									
IdNd	Dir	e	F _x	F _y	F _z	M _x	M _y	M _z	
			[N]	[N]	[N]	[N-m]	[N-m]	[N-m]	
00196	Y	+	0	0	0	0	0	0	
00196	Y	-	0	0	0	0	0	0	
00197	X	+	0	0	0	0	0	0	
00197	X	-	0	0	0	0	0	0	
00197	Y	+	0	0	0	0	0	0	
00197	Y	-	0	0	0	0	0	0	
00198	X	+	0	0	0	0	0	0	
00198	X	-	0	0	0	0	0	0	
00198	Y	+	0	0	0	0	0	0	
00198	Y	-	0	0	0	0	0	0	
00199	X	+	0	0	0	0	0	0	
00199	X	-	0	0	0	0	0	0	
00199	Y	+	0	0	0	0	0	0	
00199	Y	-	0	0	0	0	0	0	
00200	X	+	0	0	0	0	0	0	
00200	X	-	0	0	0	0	0	0	
00200	Y	+	0	0	0	0	0	0	
00200	Y	-	0	0	0	0	0	0	
00201	X	+	0	0	0	0	0	0	
00201	X	-	0	0	0	0	0	0	
00201	Y	+	0	0	0	0	0	0	
00201	Y	-	0	0	0	0	0	0	
00202	X	+	0	0	0	0	0	0	
00202	X	-	0	0	0	0	0	0	
00202	Y	+	0	0	0	0	0	0	
00202	Y	-	0	0	0	0	0	0	
00203	X	+	0	0	0	0	0	0	
00203	X	-	0	0	0	0	0	0	
00203	Y	+	0	0	0	0	0	0	
00203	Y	-	0	0	0	0	0	0	
00204	X	+	0	0	0	0	0	0	
00204	X	-	0	0	0	0	0	0	
00204	Y	+	0	0	0	0	0	0	
00204	Y	-	0	0	0	0	0	0	
00205	X	+	0	0	0	0	0	0	
00205	X	-	0	0	0	0	0	0	
00205	Y	+	0	0	0	0	0	0	
00205	Y	-	0	0	0	0	0	0	
00206	X	+	0	0	0	0	0	0	
00206	X	-	0	0	0	0	0	0	
00206	Y	+	0	0	0	0	0	0	
00206	Y	-	0	0	0	0	0	0	
00207	X	+	0	0	0	0	0	0	
00207	X	-	0	0	0	0	0	0	
00207	Y	+	0	0	0	0	0	0	
00207	Y	-	0	0	0	0	0	0	
00208	X	+	0	0	0	0	0	0	
00208	X	-	0	0	0	0	0	0	
00208	Y	+	0	0	0	0	0	0	
00208	Y	-	0	0	0	0	0	0	
00209	X	+	0	0	0	0	0	0	
00209	X	-	0	0	0	0	0	0	
00209	Y	+	0	0	0	0	0	0	
00209	Y	-	0	0	0	0	0	0	
00210	X	+	0	0	0	0	0	0	
00210	X	-	0	0	0	0	0	0	
00210	Y	+	0	0	0	0	0	0	
00210	Y	-	0	0	0	0	0	0	
00211	X	+	0	0	0	0	0	0	
00211	X	-	0	0	0	0	0	0	
00211	Y	+	0	0	0	0	0	0	
00211	Y	-	0	0	0	0	0	0	
00212	X	+	0	0	0	0	0	0	
00212	X	-	0	0	0	0	0	0	
00212	Y	+	0	0	0	0	0	0	
00212	Y	-	0	0	0	0	0	0	
00213	X	+	0	0	0	0	0	0	

Il presente documento è di proprietà della ANTEX GROUP srl.
È Vietato la comunicazione a terzi o la riproduzione senza il permesso scritto della suddetta.
La società tutela i propri diritti a rigore di Legge.

Comm.: C21-002-S05




SASSARI EOLICA S.R.L.	PARCO EOLICO DI “SASSARI” RELAZIONE DI CALCOLO PREDIMENSIONAMENTO DELLE FONDAZIONI WTG	 <i>Ingegneria & Innovazione</i>		
		26/05/2023	REV: 1	Pag.122

Nodi - Reazioni vincolari esterne per eccentricità accidentale								
Id _{Nd}	Dir	e	F _x	F _y	F _z	M _x	M _y	M _z
			[N]	[N]	[N]	[N-m]	[N-m]	[N-m]
00213	X	-	0	0	0	0	0	0
00213	Y	+	0	0	0	0	0	0
00213	Y	-	0	0	0	0	0	0
00214	X	+	0	0	0	0	0	0
00214	X	-	0	0	0	0	0	0
00214	Y	+	0	0	0	0	0	0
00214	Y	-	0	0	0	0	0	0
00215	X	+	0	0	0	0	0	0
00215	X	-	0	0	0	0	0	0
00215	Y	+	0	0	0	0	0	0
00215	Y	-	0	0	0	0	0	0
00216	X	+	0	0	0	0	0	0
00216	X	-	0	0	0	0	0	0
00216	Y	+	0	0	0	0	0	0
00216	Y	-	0	0	0	0	0	0
00217	X	+	0	0	0	0	0	0
00217	X	-	0	0	0	0	0	0
00217	Y	+	0	0	0	0	0	0
00217	Y	-	0	0	0	0	0	0
00218	X	+	0	0	0	0	0	0
00218	X	-	0	0	0	0	0	0
00218	Y	+	0	0	0	0	0	0
00218	Y	-	0	0	0	0	0	0
00219	X	+	0	0	0	0	0	0
00219	X	-	0	0	0	0	0	0
00219	Y	+	0	0	0	0	0	0
00219	Y	-	0	0	0	0	0	0
00220	X	+	0	0	0	0	0	0
00220	X	-	0	0	0	0	0	0
00220	Y	+	0	0	0	0	0	0
00220	Y	-	0	0	0	0	0	0
00221	X	+	0	0	0	0	0	0
00221	X	-	0	0	0	0	0	0
00221	Y	+	0	0	0	0	0	0
00221	Y	-	0	0	0	0	0	0
00222	X	+	0	0	0	0	0	0
00222	X	-	0	0	0	0	0	0
00222	Y	+	0	0	0	0	0	0
00222	Y	-	0	0	0	0	0	0
00223	X	+	0	0	0	0	0	0
00223	X	-	0	0	0	0	0	0
00223	Y	+	0	0	0	0	0	0
00223	Y	-	0	0	0	0	0	0
00224	X	+	0	0	0	0	0	0
00224	X	-	0	0	0	0	0	0
00224	Y	+	0	0	0	0	0	0
00224	Y	-	0	0	0	0	0	0
00225	X	+	0	0	0	0	0	0
00225	X	-	0	0	0	0	0	0
00225	Y	+	0	0	0	0	0	0
00225	Y	-	0	0	0	0	0	0
00226	X	+	0	0	0	0	0	0
00226	X	-	0	0	0	0	0	0
00226	Y	+	0	0	0	0	0	0
00226	Y	-	0	0	0	0	0	0
00227	X	+	0	0	0	0	0	0
00227	X	-	0	0	0	0	0	0
00227	Y	+	0	0	0	0	0	0
00227	Y	-	0	0	0	0	0	0
00228	X	+	0	0	0	0	0	0
00228	X	-	0	0	0	0	0	0
00228	Y	+	0	0	0	0	0	0
00228	Y	-	0	0	0	0	0	0
00229	X	+	0	0	0	0	0	0
00229	X	-	0	0	0	0	0	0
00229	Y	+	0	0	0	0	0	0
00229	Y	-	0	0	0	0	0	0

Il presente documento è di proprietà della ANTEX GROUP srl.
È Vietato la comunicazione a terzi o la riproduzione senza il permesso scritto della suddetta.
La società tutela i propri diritti a rigore di Legge.

Comm.: C21-002-S05




SASSARI EOLICA S.R.L.	PARCO EOLICO DI "SASSARI" RELAZIONE DI CALCOLO PREDIMENSIONAMENTO DELLE FONDAZIONI WTG		 Ingegneria & Innovazione	
			26/05/2023	REV: 1 Pag.123

Nodi - Reazioni vincolari esterne per eccentricità accidentale									
Id _{Nd}	Dir	e	F _x	F _y	F _z	M _x	M _y	M _z	
			[N]	[N]	[N]	[N-m]	[N-m]	[N-m]	
00230	X	+	0	0	0	0	0	0	
00230	X	-	0	0	0	0	0	0	
00230	Y	+	0	0	0	0	0	0	
00230	Y	-	0	0	0	0	0	0	
00231	X	+	0	0	0	0	0	0	
00231	X	-	0	0	0	0	0	0	
00231	Y	+	0	0	0	0	0	0	
00231	Y	-	0	0	0	0	0	0	
00232	X	+	0	0	0	0	0	0	
00232	X	-	0	0	0	0	0	0	
00232	Y	+	0	0	0	0	0	0	
00232	Y	-	0	0	0	0	0	0	
00233	X	+	0	0	0	0	0	0	
00233	X	-	0	0	0	0	0	0	
00233	Y	+	0	0	0	0	0	0	
00233	Y	-	0	0	0	0	0	0	
00234	X	+	0	0	0	0	0	0	
00234	X	-	0	0	0	0	0	0	
00234	Y	+	0	0	0	0	0	0	
00234	Y	-	0	0	0	0	0	0	
00235	X	+	0	0	0	0	0	0	
00235	X	-	0	0	0	0	0	0	
00235	Y	+	0	0	0	0	0	0	
00235	Y	-	0	0	0	0	0	0	
00236	X	+	0	0	0	0	0	0	
00236	X	-	0	0	0	0	0	0	
00236	Y	+	0	0	0	0	0	0	
00236	Y	-	0	0	0	0	0	0	
00237	X	+	0	0	0	0	0	0	
00237	X	-	0	0	0	0	0	0	
00237	Y	+	0	0	0	0	0	0	
00237	Y	-	0	0	0	0	0	0	
00238	X	+	0	0	0	0	0	0	
00238	X	-	0	0	0	0	0	0	
00238	Y	+	0	0	0	0	0	0	
00238	Y	-	0	0	0	0	0	0	
00239	X	+	0	0	0	0	0	0	
00239	X	-	0	0	0	0	0	0	
00239	Y	+	0	0	0	0	0	0	
00239	Y	-	0	0	0	0	0	0	
00240	X	+	0	0	0	0	0	0	
00240	X	-	0	0	0	0	0	0	
00240	Y	+	0	0	0	0	0	0	
00240	Y	-	0	0	0	0	0	0	
00241	X	+	0	0	0	0	0	0	
00241	X	-	0	0	0	0	0	0	
00241	Y	+	0	0	0	0	0	0	
00241	Y	-	0	0	0	0	0	0	
00242	X	+	0	0	0	0	0	0	
00242	X	-	0	0	0	0	0	0	
00242	Y	+	0	0	0	0	0	0	
00242	Y	-	0	0	0	0	0	0	
00243	X	+	0	0	0	0	0	0	
00243	X	-	0	0	0	0	0	0	
00243	Y	+	0	0	0	0	0	0	
00243	Y	-	0	0	0	0	0	0	
00244	X	+	0	0	0	0	0	0	
00244	X	-	0	0	0	0	0	0	
00244	Y	+	0	0	0	0	0	0	
00244	Y	-	0	0	0	0	0	0	
00245	X	+	0	0	0	0	0	0	
00245	X	-	0	0	0	0	0	0	
00245	Y	+	0	0	0	0	0	0	
00245	Y	-	0	0	0	0	0	0	
00246	X	+	0	0	0	0	0	0	
00246	X	-	0	0	0	0	0	0	
00246	Y	+	0	0	0	0	0	0	

Il presente documento è di proprietà della ANTEX GROUP srl.
 È Vietato la comunicazione a terzi o la riproduzione senza il permesso scritto della suddetta.
 La società tutela i propri diritti a rigore di Legge.

Comm.: C21-002-S05




SASSARI EOLICA S.R.L.	PARCO EOLICO DI "SASSARI" RELAZIONE DI CALCOLO PREDIMENSIONAMENTO DELLE FONDAZIONI WTG	 Ingegneria & Innovazione		
		26/05/2023	REV: 1	Pag.124

Nodi - Reazioni vincolari esterne per eccentricità accidentale								
Id _{Nd}	Dir	e	F _x	F _y	F _z	M _x	M _y	M _z
			[N]	[N]	[N]	[N-m]	[N-m]	[N-m]
00246	Y	-	0	0	0	0	0	0
00247	X	+	0	0	0	0	0	0
00247	X	-	0	0	0	0	0	0
00247	Y	+	0	0	0	0	0	0
00247	Y	-	0	0	0	0	0	0
00248	X	+	0	0	0	0	0	0
00248	X	-	0	0	0	0	0	0
00248	Y	+	0	0	0	0	0	0
00248	Y	-	0	0	0	0	0	0
00249	X	+	0	0	0	0	0	0
00249	X	-	0	0	0	0	0	0
00249	Y	+	0	0	0	0	0	0
00249	Y	-	0	0	0	0	0	0
00250	X	+	0	0	0	0	0	0
00250	X	-	0	0	0	0	0	0
00250	Y	+	0	0	0	0	0	0
00250	Y	-	0	0	0	0	0	0
00251	X	+	0	0	0	0	0	0
00251	X	-	0	0	0	0	0	0
00251	Y	+	0	0	0	0	0	0
00251	Y	-	0	0	0	0	0	0
00252	X	+	0	0	0	0	0	0
00252	X	-	0	0	0	0	0	0
00252	Y	+	0	0	0	0	0	0
00252	Y	-	0	0	0	0	0	0
00253	X	+	0	0	0	0	0	0
00253	X	-	0	0	0	0	0	0
00253	Y	+	0	0	0	0	0	0
00253	Y	-	0	0	0	0	0	0
00254	X	+	0	0	0	0	0	0
00254	X	-	0	0	0	0	0	0
00254	Y	+	0	0	0	0	0	0
00254	Y	-	0	0	0	0	0	0
00255	X	+	0	0	0	0	0	0
00255	X	-	0	0	0	0	0	0
00255	Y	+	0	0	0	0	0	0
00255	Y	-	0	0	0	0	0	0
00256	X	+	0	0	0	0	0	0
00256	X	-	0	0	0	0	0	0
00256	Y	+	0	0	0	0	0	0
00256	Y	-	0	0	0	0	0	0
00257	X	+	0	0	0	0	0	0
00257	X	-	0	0	0	0	0	0
00257	Y	+	0	0	0	0	0	0
00257	Y	-	0	0	0	0	0	0
00258	X	+	0	0	0	0	0	0
00258	X	-	0	0	0	0	0	0
00258	Y	+	0	0	0	0	0	0
00258	Y	-	0	0	0	0	0	0
00259	X	+	0	0	0	0	0	0
00259	X	-	0	0	0	0	0	0
00259	Y	+	0	0	0	0	0	0
00259	Y	-	0	0	0	0	0	0
00260	X	+	0	0	0	0	0	0
00260	X	-	0	0	0	0	0	0
00260	Y	+	0	0	0	0	0	0
00260	Y	-	0	0	0	0	0	0
00261	X	+	0	0	0	0	0	0
00261	X	-	0	0	0	0	0	0
00261	Y	+	0	0	0	0	0	0
00261	Y	-	0	0	0	0	0	0
00262	X	+	0	0	0	0	0	0
00262	X	-	0	0	0	0	0	0
00262	Y	+	0	0	0	0	0	0
00262	Y	-	0	0	0	0	0	0
00263	X	+	0	0	0	0	0	0
00263	X	-	0	0	0	0	0	0

Il presente documento è di proprietà della ANTEX GROUP srl.
È Vietato la comunicazione a terzi o la riproduzione senza il permesso scritto della suddetta.
La società tutela i propri diritti a rigore di Legge.

Comm.: C21-002-S05




SASSARI EOLICA S.R.L.	PARCO EOLICO DI “SASSARI” RELAZIONE DI CALCOLO PREDIMENSIONAMENTO DELLE FONDAZIONI WTG	 <i>Ingegneria & Innovazione</i>		
		26/05/2023	REV: 1	Pag.125

Nodi - Reazioni vincolari esterne per eccentricità accidentale									
Id _{Nd}	Dir	e	F _x	F _y	F _z	M _x	M _y	M _z	
			[N]	[N]	[N]	[N-m]	[N-m]	[N-m]	
00263	Y	+	0	0	0	0	0	0	
00263	Y	-	0	0	0	0	0	0	
00264	X	+	0	0	0	0	0	0	
00264	X	-	0	0	0	0	0	0	
00264	Y	+	0	0	0	0	0	0	
00264	Y	-	0	0	0	0	0	0	
00265	X	+	0	0	0	0	0	0	
00265	X	-	0	0	0	0	0	0	
00265	Y	+	0	0	0	0	0	0	
00265	Y	-	0	0	0	0	0	0	
00266	X	+	0	0	0	0	0	0	
00266	X	-	0	0	0	0	0	0	
00266	Y	+	0	0	0	0	0	0	
00266	Y	-	0	0	0	0	0	0	
00267	X	+	0	0	0	0	0	0	
00267	X	-	0	0	0	0	0	0	
00267	Y	+	0	0	0	0	0	0	
00267	Y	-	0	0	0	0	0	0	
00268	X	+	0	0	0	0	0	0	
00268	X	-	0	0	0	0	0	0	
00268	Y	+	0	0	0	0	0	0	
00268	Y	-	0	0	0	0	0	0	
00269	X	+	0	0	0	0	0	0	
00269	X	-	0	0	0	0	0	0	
00269	Y	+	0	0	0	0	0	0	
00269	Y	-	0	0	0	0	0	0	
00270	X	+	0	0	0	0	0	0	
00270	X	-	0	0	0	0	0	0	
00270	Y	+	0	0	0	0	0	0	
00270	Y	-	0	0	0	0	0	0	
00271	X	+	0	0	0	0	0	0	
00271	X	-	0	0	0	0	0	0	
00271	Y	+	0	0	0	0	0	0	
00271	Y	-	0	0	0	0	0	0	
00272	X	+	0	0	0	0	0	0	
00272	X	-	0	0	0	0	0	0	
00272	Y	+	0	0	0	0	0	0	
00272	Y	-	0	0	0	0	0	0	
00273	X	+	0	0	0	0	0	0	
00273	X	-	0	0	0	0	0	0	
00273	Y	+	0	0	0	0	0	0	
00273	Y	-	0	0	0	0	0	0	
00274	X	+	0	0	0	0	0	0	
00274	X	-	0	0	0	0	0	0	
00274	Y	+	0	0	0	0	0	0	
00274	Y	-	0	0	0	0	0	0	
00275	X	+	0	0	0	0	0	0	
00275	X	-	0	0	0	0	0	0	
00275	Y	+	0	0	0	0	0	0	
00275	Y	-	0	0	0	0	0	0	
00276	X	+	0	0	0	0	0	0	
00276	X	-	0	0	0	0	0	0	
00276	Y	+	0	0	0	0	0	0	
00276	Y	-	0	0	0	0	0	0	
00277	X	+	0	0	0	0	0	0	
00277	X	-	0	0	0	0	0	0	
00277	Y	+	0	0	0	0	0	0	
00277	Y	-	0	0	0	0	0	0	
00278	X	+	0	0	0	0	0	0	
00278	X	-	0	0	0	0	0	0	
00278	Y	+	0	0	0	0	0	0	
00278	Y	-	0	0	0	0	0	0	
00279	X	+	0	0	0	0	0	0	
00279	X	-	0	0	0	0	0	0	
00279	Y	+	0	0	0	0	0	0	
00279	Y	-	0	0	0	0	0	0	
00280	X	+	0	0	0	0	0	0	

Il presente documento è di proprietà della ANTEX GROUP srl.
È Vietato la comunicazione a terzi o la riproduzione senza il permesso scritto della suddetta.
La società tutela i propri diritti a rigore di Legge.

Comm.: C21-002-S05




SASSARI EOLICA S.R.L.	PARCO EOLICO DI “SASSARI” RELAZIONE DI CALCOLO PREDIMENSIONAMENTO DELLE FONDAZIONI WTG	 <i>Ingegneria & Innovazione</i>		
		26/05/2023	REV: 1	Pag.126

Nodi - Reazioni vincolari esterne per eccentricità accidentale								
Id _{Nd}	Dir	e	F _x	F _y	F _z	M _x	M _y	M _z
			[N]	[N]	[N]	[N-m]	[N-m]	[N-m]
00280	X	-	0	0	0	0	0	0
00280	Y	+	0	0	0	0	0	0
00280	Y	-	0	0	0	0	0	0
00281	X	+	0	0	0	0	0	0
00281	X	-	0	0	0	0	0	0
00281	Y	+	0	0	0	0	0	0
00281	Y	-	0	0	0	0	0	0
00282	X	+	0	0	0	0	0	0
00282	X	-	0	0	0	0	0	0
00282	Y	+	0	0	0	0	0	0
00282	Y	-	0	0	0	0	0	0
00283	X	+	0	0	0	0	0	0
00283	X	-	0	0	0	0	0	0
00283	Y	+	0	0	0	0	0	0
00283	Y	-	0	0	0	0	0	0
00284	X	+	0	0	0	0	0	0
00284	X	-	0	0	0	0	0	0
00284	Y	+	0	0	0	0	0	0
00284	Y	-	0	0	0	0	0	0
00285	X	+	0	0	0	0	0	0
00285	X	-	0	0	0	0	0	0
00285	Y	+	0	0	0	0	0	0
00285	Y	-	0	0	0	0	0	0
00286	X	+	0	0	0	0	0	0
00286	X	-	0	0	0	0	0	0
00286	Y	+	0	0	0	0	0	0
00286	Y	-	0	0	0	0	0	0
00287	X	+	0	0	0	0	0	0
00287	X	-	0	0	0	0	0	0
00287	Y	+	0	0	0	0	0	0
00287	Y	-	0	0	0	0	0	0
00288	X	+	0	0	0	0	0	0
00288	X	-	0	0	0	0	0	0
00288	Y	+	0	0	0	0	0	0
00288	Y	-	0	0	0	0	0	0
00289	X	+	0	0	0	0	0	0
00289	X	-	0	0	0	0	0	0
00289	Y	+	0	0	0	0	0	0
00289	Y	-	0	0	0	0	0	0
00290	X	+	0	0	0	0	0	0
00290	X	-	0	0	0	0	0	0
00290	Y	+	0	0	0	0	0	0
00290	Y	-	0	0	0	0	0	0
00291	X	+	0	0	0	0	0	0
00291	X	-	0	0	0	0	0	0
00291	Y	+	0	0	0	0	0	0
00291	Y	-	0	0	0	0	0	0
00292	X	+	0	0	0	0	0	0
00292	X	-	0	0	0	0	0	0
00292	Y	+	0	0	0	0	0	0
00292	Y	-	0	0	0	0	0	0
00293	X	+	0	0	0	0	0	0
00293	X	-	0	0	0	0	0	0
00293	Y	+	0	0	0	0	0	0
00293	Y	-	0	0	0	0	0	0
00294	X	+	0	0	0	0	0	0
00294	X	-	0	0	0	0	0	0
00294	Y	+	0	0	0	0	0	0
00294	Y	-	0	0	0	0	0	0
00295	X	+	0	0	0	0	0	0
00295	X	-	0	0	0	0	0	0
00295	Y	+	0	0	0	0	0	0
00295	Y	-	0	0	0	0	0	0
00296	X	+	0	0	0	0	0	0
00296	X	-	0	0	0	0	0	0
00296	Y	+	0	0	0	0	0	0
00296	Y	-	0	0	0	0	0	0

Il presente documento è di proprietà della ANTEX GROUP srl.
È Vietato la comunicazione a terzi o la riproduzione senza il permesso scritto della suddetta.
La società tutela i propri diritti a rigore di Legge.

Comm.: C21-002-S05




SASSARI EOLICA S.R.L.	PARCO EOLICO DI "SASSARI" RELAZIONE DI CALCOLO PREDIMENSIONAMENTO DELLE FONDAZIONI WTG	 Ingegneria & Innovazione		
		26/05/2023	REV: 1	Pag.127

Nodi - Reazioni vincolari esterne per eccentricità accidentale								
Id _{Nd}	Dir	e	F _x	F _y	F _z	M _x	M _y	M _z
			[N]	[N]	[N]	[N-m]	[N-m]	[N-m]
00297	X	+	0	0	0	0	0	0
00297	X	-	0	0	0	0	0	0
00297	Y	+	0	0	0	0	0	0
00297	Y	-	0	0	0	0	0	0
00298	X	+	0	0	0	0	0	0
00298	X	-	0	0	0	0	0	0
00298	Y	+	0	0	0	0	0	0
00298	Y	-	0	0	0	0	0	0
00299	X	+	0	0	0	0	0	0
00299	X	-	0	0	0	0	0	0
00299	Y	+	0	0	0	0	0	0
00299	Y	-	0	0	0	0	0	0
00300	X	+	0	0	0	0	0	0
00300	X	-	0	0	0	0	0	0
00300	Y	+	0	0	0	0	0	0
00300	Y	-	0	0	0	0	0	0
00301	X	+	0	0	0	0	0	0
00301	X	-	0	0	0	0	0	0
00301	Y	+	0	0	0	0	0	0
00301	Y	-	0	0	0	0	0	0
00302	X	+	0	0	0	0	0	0
00302	X	-	0	0	0	0	0	0
00302	Y	+	0	0	0	0	0	0
00302	Y	-	0	0	0	0	0	0
00303	X	+	0	0	0	0	0	0
00303	X	-	0	0	0	0	0	0
00303	Y	+	0	0	0	0	0	0
00303	Y	-	0	0	0	0	0	0
00304	X	+	0	0	0	0	0	0
00304	X	-	0	0	0	0	0	0
00304	Y	+	0	0	0	0	0	0
00304	Y	-	0	0	0	0	0	0
00305	X	+	0	0	0	0	0	0
00305	X	-	0	0	0	0	0	0
00305	Y	+	0	0	0	0	0	0
00305	Y	-	0	0	0	0	0	0
00306	X	+	0	0	0	0	0	0
00306	X	-	0	0	0	0	0	0
00306	Y	+	0	0	0	0	0	0
00306	Y	-	0	0	0	0	0	0
00307	X	+	0	0	0	0	0	0
00307	X	-	0	0	0	0	0	0
00307	Y	+	0	0	0	0	0	0
00307	Y	-	0	0	0	0	0	0
00308	X	+	0	0	0	0	0	0
00308	X	-	0	0	0	0	0	0
00308	Y	+	0	0	0	0	0	0
00308	Y	-	0	0	0	0	0	0
00309	X	+	0	0	0	0	0	0
00309	X	-	0	0	0	0	0	0
00309	Y	+	0	0	0	0	0	0
00309	Y	-	0	0	0	0	0	0
00310	X	+	0	0	0	0	0	0
00310	X	-	0	0	0	0	0	0
00310	Y	+	0	0	0	0	0	0
00310	Y	-	0	0	0	0	0	0
00311	X	+	0	0	0	0	0	0
00311	X	-	0	0	0	0	0	0
00311	Y	+	0	0	0	0	0	0
00311	Y	-	0	0	0	0	0	0
00312	X	+	0	0	0	0	0	0
00312	X	-	0	0	0	0	0	0
00312	Y	+	0	0	0	0	0	0
00312	Y	-	0	0	0	0	0	0
00313	X	+	0	0	0	0	0	0
00313	X	-	0	0	0	0	0	0
00313	Y	+	0	0	0	0	0	0

Il presente documento è di proprietà della ANTEX GROUP srl.
 È vietato la comunicazione a terzi o la riproduzione senza il permesso scritto della suddetta.
 La società tutela i propri diritti a rigore di Legge.

Comm.: C21-002-S05



SASSARI EOLICA S.R.L.	PARCO EOLICO DI "SASSARI" RELAZIONE DI CALCOLO PREDIMENSIONAMENTO DELLE FONDAZIONI WTG	 Ingegneria & Innovazione		
		26/05/2023	REV: 1	Pag.128


Nodi - Reazioni vincolari esterne per eccentricità accidentale								
Id _{Nd}	Dir	e	F _x	F _y	F _z	M _x	M _y	M _z
			[N]	[N]	[N]	[N-m]	[N-m]	[N-m]
00313	Y	-	0	0	0	0	0	0
00314	X	+	0	0	0	0	0	0
00314	X	-	0	0	0	0	0	0
00314	Y	+	0	0	0	0	0	0
00314	Y	-	0	0	0	0	0	0
00315	X	+	0	0	0	0	0	0
00315	X	-	0	0	0	0	0	0
00315	Y	+	0	0	0	0	0	0
00315	Y	-	0	0	0	0	0	0
00316	X	+	0	0	0	0	0	0
00316	X	-	0	0	0	0	0	0
00316	Y	+	0	0	0	0	0	0
00316	Y	-	0	0	0	0	0	0
00317	X	+	0	0	0	0	0	0
00317	X	-	0	0	0	0	0	0
00317	Y	+	0	0	0	0	0	0
00317	Y	-	0	0	0	0	0	0
00318	X	+	0	0	0	0	0	0
00318	X	-	0	0	0	0	0	0
00318	Y	+	0	0	0	0	0	0
00318	Y	-	0	0	0	0	0	0
00319	X	+	0	0	0	0	0	0
00319	X	-	0	0	0	0	0	0
00319	Y	+	0	0	0	0	0	0
00319	Y	-	0	0	0	0	0	0
00320	X	+	0	0	0	0	0	0
00320	X	-	0	0	0	0	0	0
00320	Y	+	0	0	0	0	0	0
00320	Y	-	0	0	0	0	0	0
00321	X	+	0	0	0	0	0	0
00321	X	-	0	0	0	0	0	0
00321	Y	+	0	0	0	0	0	0
00321	Y	-	0	0	0	0	0	0
00322	X	+	0	0	0	0	0	0
00322	X	-	0	0	0	0	0	0
00322	Y	+	0	0	0	0	0	0
00322	Y	-	0	0	0	0	0	0
00323	X	+	0	0	0	0	0	0
00323	X	-	0	0	0	0	0	0
00323	Y	+	0	0	0	0	0	0
00323	Y	-	0	0	0	0	0	0
00324	X	+	0	0	0	0	0	0
00324	X	-	0	0	0	0	0	0
00324	Y	+	0	0	0	0	0	0
00324	Y	-	0	0	0	0	0	0
00325	X	+	0	0	0	0	0	0
00325	X	-	0	0	0	0	0	0
00325	Y	+	0	0	0	0	0	0
00325	Y	-	0	0	0	0	0	0
00326	X	+	0	0	0	0	0	0
00326	X	-	0	0	0	0	0	0
00326	Y	+	0	0	0	0	0	0
00326	Y	-	0	0	0	0	0	0
00327	X	+	0	0	0	0	0	0
00327	X	-	0	0	0	0	0	0
00327	Y	+	0	0	0	0	0	0
00327	Y	-	0	0	0	0	0	0
00328	X	+	0	0	0	0	0	0
00328	X	-	0	0	0	0	0	0
00328	Y	+	0	0	0	0	0	0
00328	Y	-	0	0	0	0	0	0
00329	X	+	0	0	0	0	0	0
00329	X	-	0	0	0	0	0	0
00329	Y	+	0	0	0	0	0	0
00329	Y	-	0	0	0	0	0	0
00330	X	+	0	0	0	0	0	0
00330	X	-	0	0	0	0	0	0

Il presente documento è di proprietà della ANTEX GROUP srl.
 È Vietato la comunicazione a terzi o la riproduzione senza il permesso scritto della suddetta.
 La società tutela i propri diritti a rigore di Legge.


Comm.: C21-002-S05

ISO 9001
BUREAU VERITAS
Certification



SASSARI EOLICA S.R.L.	PARCO EOLICO DI “SASSARI”	 <i>Ingegneria & Innovazione</i>		
	RELAZIONE DI CALCOLO PREDIMENSIONAMENTO DELLE FONDAZIONI WTG	26/05/2023	REV: 1	Pag.129

Nodi - Reazioni vincolari esterne per eccentricità accidentale									
Id _{Nd}	Dir	e	F _x	F _y	F _z	M _x	M _y	M _z	
			[N]	[N]	[N]	[N-m]	[N-m]	[N-m]	
00330	Y	+	0	0	0	0	0	0	
00330	Y	-	0	0	0	0	0	0	
00331	X	+	0	0	0	0	0	0	
00331	X	-	0	0	0	0	0	0	
00331	Y	+	0	0	0	0	0	0	
00331	Y	-	0	0	0	0	0	0	
00332	X	+	0	0	0	0	0	0	
00332	X	-	0	0	0	0	0	0	
00332	Y	+	0	0	0	0	0	0	
00332	Y	-	0	0	0	0	0	0	
00333	X	+	0	0	0	0	0	0	
00333	X	-	0	0	0	0	0	0	
00333	Y	+	0	0	0	0	0	0	
00333	Y	-	0	0	0	0	0	0	
00334	X	+	0	0	0	0	0	0	
00334	X	-	0	0	0	0	0	0	
00334	Y	+	0	0	0	0	0	0	
00334	Y	-	0	0	0	0	0	0	
00335	X	+	0	0	0	0	0	0	
00335	X	-	0	0	0	0	0	0	
00335	Y	+	0	0	0	0	0	0	
00335	Y	-	0	0	0	0	0	0	
00336	X	+	0	0	0	0	0	0	
00336	X	-	0	0	0	0	0	0	
00336	Y	+	0	0	0	0	0	0	
00336	Y	-	0	0	0	0	0	0	
00337	X	+	0	0	0	0	0	0	
00337	X	-	0	0	0	0	0	0	
00337	Y	+	0	0	0	0	0	0	
00337	Y	-	0	0	0	0	0	0	
00338	X	+	0	0	0	0	0	0	
00338	X	-	0	0	0	0	0	0	
00338	Y	+	0	0	0	0	0	0	
00338	Y	-	0	0	0	0	0	0	
00339	X	+	0	0	0	0	0	0	
00339	X	-	0	0	0	0	0	0	
00339	Y	+	0	0	0	0	0	0	
00339	Y	-	0	0	0	0	0	0	
00340	X	+	0	0	0	0	0	0	
00340	X	-	0	0	0	0	0	0	
00340	Y	+	0	0	0	0	0	0	
00340	Y	-	0	0	0	0	0	0	
00341	X	+	0	0	0	0	0	0	
00341	X	-	0	0	0	0	0	0	
00341	Y	+	0	0	0	0	0	0	
00341	Y	-	0	0	0	0	0	0	
00342	X	+	0	0	0	0	0	0	
00342	X	-	0	0	0	0	0	0	
00342	Y	+	0	0	0	0	0	0	
00342	Y	-	0	0	0	0	0	0	
00343	X	+	0	0	0	0	0	0	
00343	X	-	0	0	0	0	0	0	
00343	Y	+	0	0	0	0	0	0	
00343	Y	-	0	0	0	0	0	0	
00344	X	+	0	0	0	0	0	0	
00344	X	-	0	0	0	0	0	0	
00344	Y	+	0	0	0	0	0	0	
00344	Y	-	0	0	0	0	0	0	
00345	X	+	0	0	0	0	0	0	
00345	X	-	0	0	0	0	0	0	
00345	Y	+	0	0	0	0	0	0	
00345	Y	-	0	0	0	0	0	0	
00346	X	+	0	0	0	0	0	0	
00346	X	-	0	0	0	0	0	0	
00346	Y	+	0	0	0	0	0	0	
00346	Y	-	0	0	0	0	0	0	
00347	X	+	0	0	0	0	0	0	

SASSARI EOLICA S.R.L.	PARCO EOLICO DI “SASSARI” RELAZIONE DI CALCOLO PREDIMENSIONAMENTO DELLE FONDAZIONI WTG	 <i>Ingegneria & Innovazione</i>		
		26/05/2023	REV: 1	Pag.130


Nodi - Reazioni vincolari esterne per eccentricità accidentale								
Id _{Nd}	Dir	e	F _x	F _y	F _z	M _x	M _y	M _z
			[N]	[N]	[N]	[N-m]	[N-m]	[N-m]
00347	X	-	0	0	0	0	0	0
00347	Y	+	0	0	0	0	0	0
00347	Y	-	0	0	0	0	0	0
00348	X	+	0	0	0	0	0	0
00348	X	-	0	0	0	0	0	0
00348	Y	+	0	0	0	0	0	0
00348	Y	-	0	0	0	0	0	0
00349	X	+	0	0	0	0	0	0
00349	X	-	0	0	0	0	0	0
00349	Y	+	0	0	0	0	0	0
00349	Y	-	0	0	0	0	0	0
00350	X	+	0	0	0	0	0	0
00350	X	-	0	0	0	0	0	0
00350	Y	+	0	0	0	0	0	0
00350	Y	-	0	0	0	0	0	0
00351	X	+	0	0	0	0	0	0
00351	X	-	0	0	0	0	0	0
00351	Y	+	0	0	0	0	0	0
00351	Y	-	0	0	0	0	0	0
00352	X	+	0	0	0	0	0	0
00352	X	-	0	0	0	0	0	0
00352	Y	+	0	0	0	0	0	0
00352	Y	-	0	0	0	0	0	0
00353	X	+	0	0	0	0	0	0
00353	X	-	0	0	0	0	0	0
00353	Y	+	0	0	0	0	0	0
00353	Y	-	0	0	0	0	0	0
00354	X	+	0	0	0	0	0	0
00354	X	-	0	0	0	0	0	0
00354	Y	+	0	0	0	0	0	0
00354	Y	-	0	0	0	0	0	0
00355	X	+	0	0	0	0	0	0
00355	X	-	0	0	0	0	0	0
00355	Y	+	0	0	0	0	0	0
00355	Y	-	0	0	0	0	0	0
00356	X	+	0	0	0	0	0	0
00356	X	-	0	0	0	0	0	0
00356	Y	+	0	0	0	0	0	0
00356	Y	-	0	0	0	0	0	0
00357	X	+	0	0	0	0	0	0
00357	X	-	0	0	0	0	0	0
00357	Y	+	0	0	0	0	0	0
00357	Y	-	0	0	0	0	0	0
00358	X	+	0	0	0	0	0	0
00358	X	-	0	0	0	0	0	0
00358	Y	+	0	0	0	0	0	0
00358	Y	-	0	0	0	0	0	0
00359	X	+	0	0	0	0	0	0
00359	X	-	0	0	0	0	0	0
00359	Y	+	0	0	0	0	0	0
00359	Y	-	0	0	0	0	0	0
00360	X	+	0	0	0	0	0	0
00360	X	-	0	0	0	0	0	0
00360	Y	+	0	0	0	0	0	0
00360	Y	-	0	0	0	0	0	0
00361	X	+	0	0	0	0	0	0
00361	X	-	0	0	0	0	0	0
00361	Y	+	0	0	0	0	0	0
00361	Y	-	0	0	0	0	0	0
00362	X	+	0	0	0	0	0	0
00362	X	-	0	0	0	0	0	0
00362	Y	+	0	0	0	0	0	0
00362	Y	-	0	0	0	0	0	0
00363	X	+	0	0	0	0	0	0
00363	X	-	0	0	0	0	0	0
00363	Y	+	0	0	0	0	0	0
00363	Y	-	0	0	0	0	0	0

Il presente documento è di proprietà della ANTEX GROUP srl.
È Vietato la comunicazione a terzi o la riproduzione senza il permesso scritto della suddetta.
La società tutela i propri diritti a rigore di Legge.

Comm.: C21-002-S05

ISO 9001
BUREAU VERITAS
Certification




SASSARI EOLICA S.R.L.	PARCO EOLICO DI “SASSARI” RELAZIONE DI CALCOLO PREDIMENSIONAMENTO DELLE FONDAZIONI WTG	 <i>Ingegneria & Innovazione</i>		
		26/05/2023	REV: 1	Pag.131

Nodi - Reazioni vincolari esterne per eccentricità accidentale									
Id _{Nd}	Dir	e	F _x	F _y	F _z	M _x	M _y	M _z	
			[N]	[N]	[N]	[N-m]	[N-m]	[N-m]	
00364	X	+	0	0	0	0	0	0	
00364	X	-	0	0	0	0	0	0	
00364	Y	+	0	0	0	0	0	0	
00364	Y	-	0	0	0	0	0	0	
00365	X	+	0	0	0	0	0	0	
00365	X	-	0	0	0	0	0	0	
00365	Y	+	0	0	0	0	0	0	
00365	Y	-	0	0	0	0	0	0	
00366	X	+	0	0	0	0	0	0	
00366	X	-	0	0	0	0	0	0	
00366	Y	+	0	0	0	0	0	0	
00366	Y	-	0	0	0	0	0	0	
00367	X	+	0	0	0	0	0	0	
00367	X	-	0	0	0	0	0	0	
00367	Y	+	0	0	0	0	0	0	
00367	Y	-	0	0	0	0	0	0	
00368	X	+	0	0	0	0	0	0	
00368	X	-	0	0	0	0	0	0	
00368	Y	+	0	0	0	0	0	0	
00368	Y	-	0	0	0	0	0	0	
00369	X	+	0	0	0	0	0	0	
00369	X	-	0	0	0	0	0	0	
00369	Y	+	0	0	0	0	0	0	
00369	Y	-	0	0	0	0	0	0	
00370	X	+	0	0	0	0	0	0	
00370	X	-	0	0	0	0	0	0	
00370	Y	+	0	0	0	0	0	0	
00370	Y	-	0	0	0	0	0	0	
00371	X	+	0	0	0	0	0	0	
00371	X	-	0	0	0	0	0	0	
00371	Y	+	0	0	0	0	0	0	
00371	Y	-	0	0	0	0	0	0	
00372	X	+	0	0	0	0	0	0	
00372	X	-	0	0	0	0	0	0	
00372	Y	+	0	0	0	0	0	0	
00372	Y	-	0	0	0	0	0	0	
00373	X	+	0	0	0	0	0	0	
00373	X	-	0	0	0	0	0	0	
00373	Y	+	0	0	0	0	0	0	
00373	Y	-	0	0	0	0	0	0	
00374	X	+	0	0	0	0	0	0	
00374	X	-	0	0	0	0	0	0	
00374	Y	+	0	0	0	0	0	0	
00374	Y	-	0	0	0	0	0	0	
00375	X	+	0	0	0	0	0	0	
00375	X	-	0	0	0	0	0	0	
00375	Y	+	0	0	0	0	0	0	
00375	Y	-	0	0	0	0	0	0	
00376	X	+	0	0	0	0	0	0	
00376	X	-	0	0	0	0	0	0	
00376	Y	+	0	0	0	0	0	0	
00376	Y	-	0	0	0	0	0	0	
00377	X	+	0	0	0	0	0	0	
00377	X	-	0	0	0	0	0	0	
00377	Y	+	0	0	0	0	0	0	
00377	Y	-	0	0	0	0	0	0	
00378	X	+	0	0	0	0	0	0	
00378	X	-	0	0	0	0	0	0	
00378	Y	+	0	0	0	0	0	0	
00378	Y	-	0	0	0	0	0	0	
00379	X	+	0	0	0	0	0	0	
00379	X	-	0	0	0	0	0	0	
00379	Y	+	0	0	0	0	0	0	
00379	Y	-	0	0	0	0	0	0	
00380	X	+	0	0	0	0	0	0	
00380	X	-	0	0	0	0	0	0	
00380	Y	+	0	0	0	0	0	0	




Il presente documento è di proprietà della ANTEX GROUP srl.
È Vietato la comunicazione a terzi o la riproduzione senza il permesso scritto della suddetta.
La società tutela i propri diritti a rigore di Legge.


Comm.: C21-002-S05



SASSARI EOLICA S.R.L.	PARCO EOLICO DI “SASSARI” RELAZIONE DI CALCOLO PREDIMENSIONAMENTO DELLE FONDAZIONI WTG	 <i>Ingegneria & Innovazione</i>		
		26/05/2023	REV: 1	Pag.132

Nodi - Reazioni vincolari esterne per eccentricità accidentale								
Id _{Nd}	Dir	e	F _x	F _y	F _z	M _x	M _y	M _z
			[N]	[N]	[N]	[N-m]	[N-m]	[N-m]
00380	Y	-	0	0	0	0	0	0
00381	X	+	0	0	0	0	0	0
00381	X	-	0	0	0	0	0	0
00381	Y	+	0	0	0	0	0	0
00381	Y	-	0	0	0	0	0	0
00382	X	+	0	0	0	0	0	0
00382	X	-	0	0	0	0	0	0
00382	Y	+	0	0	0	0	0	0
00382	Y	-	0	0	0	0	0	0
00383	X	+	0	0	0	0	0	0
00383	X	-	0	0	0	0	0	0
00383	Y	+	0	0	0	0	0	0
00383	Y	-	0	0	0	0	0	0
00384	X	+	0	0	0	0	0	0
00384	X	-	0	0	0	0	0	0
00384	Y	+	0	0	0	0	0	0
00384	Y	-	0	0	0	0	0	0
00385	X	+	0	0	0	0	0	0
00385	X	-	0	0	0	0	0	0
00385	Y	+	0	0	0	0	0	0
00385	Y	-	0	0	0	0	0	0
00386	X	+	0	0	0	0	0	0
00386	X	-	0	0	0	0	0	0
00386	Y	+	0	0	0	0	0	0
00386	Y	-	0	0	0	0	0	0
00387	X	+	0	0	0	0	0	0
00387	X	-	0	0	0	0	0	0
00387	Y	+	0	0	0	0	0	0
00387	Y	-	0	0	0	0	0	0
00388	X	+	0	0	0	0	0	0
00388	X	-	0	0	0	0	0	0
00388	Y	+	0	0	0	0	0	0
00388	Y	-	0	0	0	0	0	0
00389	X	+	0	0	0	0	0	0
00389	X	-	0	0	0	0	0	0
00389	Y	+	0	0	0	0	0	0
00389	Y	-	0	0	0	0	0	0
00390	X	+	0	0	0	0	0	0
00390	X	-	0	0	0	0	0	0
00390	Y	+	0	0	0	0	0	0
00390	Y	-	0	0	0	0	0	0
00391	X	+	0	0	0	0	0	0
00391	X	-	0	0	0	0	0	0
00391	Y	+	0	0	0	0	0	0
00391	Y	-	0	0	0	0	0	0
00392	X	+	0	0	0	0	0	0
00392	X	-	0	0	0	0	0	0
00392	Y	+	0	0	0	0	0	0
00392	Y	-	0	0	0	0	0	0
00393	X	+	0	0	0	0	0	0
00393	X	-	0	0	0	0	0	0
00393	Y	+	0	0	0	0	0	0
00393	Y	-	0	0	0	0	0	0
00394	X	+	0	0	0	0	0	0
00394	X	-	0	0	0	0	0	0
00394	Y	+	0	0	0	0	0	0
00394	Y	-	0	0	0	0	0	0
00395	X	+	0	0	0	0	0	0
00395	X	-	0	0	0	0	0	0
00395	Y	+	0	0	0	0	0	0
00395	Y	-	0	0	0	0	0	0
00396	X	+	0	0	0	0	0	0
00396	X	-	0	0	0	0	0	0
00396	Y	+	0	0	0	0	0	0
00396	Y	-	0	0	0	0	0	0
00397	X	+	0	0	0	0	0	0
00397	X	-	0	0	0	0	0	0

Il presente documento è di proprietà della ANTEX GROUP srl. È Vietato la comunicazione a terzi o la riproduzione senza il permesso scritto della suddetta. La società tutela i propri diritti a rigore di Legge.		Comm.: C21-002-S05
  		


SASSARI EOLICA S.R.L.	PARCO EOLICO DI “SASSARI” RELAZIONE DI CALCOLO PREDIMENSIONAMENTO DELLE FONDAZIONI WTG	 <i>Ingegneria & Innovazione</i>		
		26/05/2023	REV: 1	Pag.133

Nodi - Reazioni vincolari esterne per eccentricità accidentale									
Id _{Nd}	Dir	e	F _x	F _y	F _z	M _x	M _y	M _z	
			[N]	[N]	[N]	[N-m]	[N-m]	[N-m]	
00397	Y	+	0	0	0	0	0	0	
00397	Y	-	0	0	0	0	0	0	
00398	X	+	0	0	0	0	0	0	
00398	X	-	0	0	0	0	0	0	
00398	Y	+	0	0	0	0	0	0	
00398	Y	-	0	0	0	0	0	0	
00399	X	+	0	0	0	0	0	0	
00399	X	-	0	0	0	0	0	0	
00399	Y	+	0	0	0	0	0	0	
00399	Y	-	0	0	0	0	0	0	
00400	X	+	0	0	0	0	0	0	
00400	X	-	0	0	0	0	0	0	
00400	Y	+	0	0	0	0	0	0	
00400	Y	-	0	0	0	0	0	0	
00401	X	+	0	0	0	0	0	0	
00401	X	-	0	0	0	0	0	0	
00401	Y	+	0	0	0	0	0	0	
00401	Y	-	0	0	0	0	0	0	
00402	X	+	0	0	0	0	0	0	
00402	X	-	0	0	0	0	0	0	
00402	Y	+	0	0	0	0	0	0	
00402	Y	-	0	0	0	0	0	0	
00403	X	+	0	0	0	0	0	0	
00403	X	-	0	0	0	0	0	0	
00403	Y	+	0	0	0	0	0	0	
00403	Y	-	0	0	0	0	0	0	
00404	X	+	0	0	0	0	0	0	
00404	X	-	0	0	0	0	0	0	
00404	Y	+	0	0	0	0	0	0	
00404	Y	-	0	0	0	0	0	0	
00405	X	+	0	0	0	0	0	0	
00405	X	-	0	0	0	0	0	0	
00405	Y	+	0	0	0	0	0	0	
00405	Y	-	0	0	0	0	0	0	
00406	X	+	0	0	0	0	0	0	
00406	X	-	0	0	0	0	0	0	
00406	Y	+	0	0	0	0	0	0	
00406	Y	-	0	0	0	0	0	0	
00407	X	+	0	0	0	0	0	0	
00407	X	-	0	0	0	0	0	0	
00407	Y	+	0	0	0	0	0	0	
00407	Y	-	0	0	0	0	0	0	
00408	X	+	0	0	0	0	0	0	
00408	X	-	0	0	0	0	0	0	
00408	Y	+	0	0	0	0	0	0	
00408	Y	-	0	0	0	0	0	0	
00409	X	+	0	0	0	0	0	0	
00409	X	-	0	0	0	0	0	0	
00409	Y	+	0	0	0	0	0	0	
00409	Y	-	0	0	0	0	0	0	
00410	X	+	0	0	0	0	0	0	
00410	X	-	0	0	0	0	0	0	
00410	Y	+	0	0	0	0	0	0	
00410	Y	-	0	0	0	0	0	0	
00411	X	+	0	0	0	0	0	0	
00411	X	-	0	0	0	0	0	0	
00411	Y	+	0	0	0	0	0	0	
00411	Y	-	0	0	0	0	0	0	
00412	X	+	0	0	0	0	0	0	
00412	X	-	0	0	0	0	0	0	
00412	Y	+	0	0	0	0	0	0	
00412	Y	-	0	0	0	0	0	0	
00413	X	+	0	0	0	0	0	0	
00413	X	-	0	0	0	0	0	0	
00413	Y	+	0	0	0	0	0	0	
00413	Y	-	0	0	0	0	0	0	
00414	X	+	0	0	0	0	0	0	

Il presente documento è di proprietà della ANTEX GROUP srl.
È Vietato la comunicazione a terzi o la riproduzione senza il permesso scritto della suddetta.
La società tutela i propri diritti a rigore di Legge.

Comm.: C21-002-S05




SASSARI EOLICA S.R.L.	PARCO EOLICO DI “SASSARI” RELAZIONE DI CALCOLO PREDIMENSIONAMENTO DELLE FONDAZIONI WTG	 <i>Ingegneria & Innovazione</i>		
		26/05/2023	REV: 1	Pag.134

Nodi - Reazioni vincolari esterne per eccentricità accidentale								
Id _{Nd}	Dir	e	F _x	F _y	F _z	M _x	M _y	M _z
			[N]	[N]	[N]	[N-m]	[N-m]	[N-m]
00414	X	-	0	0	0	0	0	0
00414	Y	+	0	0	0	0	0	0
00414	Y	-	0	0	0	0	0	0
00415	X	+	0	0	0	0	0	0
00415	X	-	0	0	0	0	0	0
00415	Y	+	0	0	0	0	0	0
00415	Y	-	0	0	0	0	0	0
00416	X	+	0	0	0	0	0	0
00416	X	-	0	0	0	0	0	0
00416	Y	+	0	0	0	0	0	0
00416	Y	-	0	0	0	0	0	0
00417	X	+	0	0	0	0	0	0
00417	X	-	0	0	0	0	0	0
00417	Y	+	0	0	0	0	0	0
00417	Y	-	0	0	0	0	0	0
00418	X	+	0	0	0	0	0	0
00418	X	-	0	0	0	0	0	0
00418	Y	+	0	0	0	0	0	0
00418	Y	-	0	0	0	0	0	0
00419	X	+	0	0	0	0	0	0
00419	X	-	0	0	0	0	0	0
00419	Y	+	0	0	0	0	0	0
00419	Y	-	0	0	0	0	0	0
00420	X	+	0	0	0	0	0	0
00420	X	-	0	0	0	0	0	0
00420	Y	+	0	0	0	0	0	0
00420	Y	-	0	0	0	0	0	0
00421	X	+	0	0	0	0	0	0
00421	X	-	0	0	0	0	0	0
00421	Y	+	0	0	0	0	0	0
00421	Y	-	0	0	0	0	0	0
00422	X	+	0	0	0	0	0	0
00422	X	-	0	0	0	0	0	0
00422	Y	+	0	0	0	0	0	0
00422	Y	-	0	0	0	0	0	0
00423	X	+	0	0	0	0	0	0
00423	X	-	0	0	0	0	0	0
00423	Y	+	0	0	0	0	0	0
00423	Y	-	0	0	0	0	0	0
00424	X	+	0	0	0	0	0	0
00424	X	-	0	0	0	0	0	0
00424	Y	+	0	0	0	0	0	0
00424	Y	-	0	0	0	0	0	0
00425	X	+	0	0	0	0	0	0
00425	X	-	0	0	0	0	0	0
00425	Y	+	0	0	0	0	0	0
00425	Y	-	0	0	0	0	0	0
00426	X	+	0	0	0	0	0	0
00426	X	-	0	0	0	0	0	0
00426	Y	+	0	0	0	0	0	0
00426	Y	-	0	0	0	0	0	0
00427	X	+	0	0	0	0	0	0
00427	X	-	0	0	0	0	0	0
00427	Y	+	0	0	0	0	0	0
00427	Y	-	0	0	0	0	0	0
00428	X	+	0	0	0	0	0	0
00428	X	-	0	0	0	0	0	0
00428	Y	+	0	0	0	0	0	0
00428	Y	-	0	0	0	0	0	0
00429	X	+	0	0	0	0	0	0
00429	X	-	0	0	0	0	0	0
00429	Y	+	0	0	0	0	0	0
00429	Y	-	0	0	0	0	0	0
00430	X	+	0	0	0	0	0	0
00430	X	-	0	0	0	0	0	0
00430	Y	+	0	0	0	0	0	0
00430	Y	-	0	0	0	0	0	0

Il presente documento è di proprietà della ANTEX GROUP srl.
È Vietato la comunicazione a terzi o la riproduzione senza il permesso scritto della suddetta.
La società tutela i propri diritti a rigore di Legge.

Comm.: C21-002-S05




SASSARI EOLICA S.R.L.	PARCO EOLICO DI “SASSARI” RELAZIONE DI CALCOLO PREDIMENSIONAMENTO DELLE FONDAZIONI WTG	 <i>Ingegneria & Innovazione</i>		
		26/05/2023	REV: 1	Pag.135

Nodi - Reazioni vincolari esterne per eccentricità accidentale									
Id _{Nd}	Dir	e	F _x	F _y	F _z	M _x	M _y	M _z	
			[N]	[N]	[N]	[N-m]	[N-m]	[N-m]	
00431	X	+	0	0	0	0	0	0	
00431	X	-	0	0	0	0	0	0	
00431	Y	+	0	0	0	0	0	0	
00431	Y	-	0	0	0	0	0	0	
00432	X	+	0	0	0	0	0	0	
00432	X	-	0	0	0	0	0	0	
00432	Y	+	0	0	0	0	0	0	
00432	Y	-	0	0	0	0	0	0	
00433	X	+	0	0	0	0	0	0	
00433	X	-	0	0	0	0	0	0	
00433	Y	+	0	0	0	0	0	0	
00433	Y	-	0	0	0	0	0	0	
00434	X	+	0	0	0	0	0	0	
00434	X	-	0	0	0	0	0	0	
00434	Y	+	0	0	0	0	0	0	
00434	Y	-	0	0	0	0	0	0	
00435	X	+	0	0	0	0	0	0	
00435	X	-	0	0	0	0	0	0	
00435	Y	+	0	0	0	0	0	0	
00435	Y	-	0	0	0	0	0	0	
00436	X	+	0	0	0	0	0	0	
00436	X	-	0	0	0	0	0	0	
00436	Y	+	0	0	0	0	0	0	
00436	Y	-	0	0	0	0	0	0	
00437	X	+	0	0	0	0	0	0	
00437	X	-	0	0	0	0	0	0	
00437	Y	+	0	0	0	0	0	0	
00437	Y	-	0	0	0	0	0	0	
00438	X	+	0	0	0	0	0	0	
00438	X	-	0	0	0	0	0	0	
00438	Y	+	0	0	0	0	0	0	
00438	Y	-	0	0	0	0	0	0	
00439	X	+	0	0	0	0	0	0	
00439	X	-	0	0	0	0	0	0	
00439	Y	+	0	0	0	0	0	0	
00439	Y	-	0	0	0	0	0	0	
00440	X	+	0	0	0	0	0	0	
00440	X	-	0	0	0	0	0	0	
00440	Y	+	0	0	0	0	0	0	
00440	Y	-	0	0	0	0	0	0	
00441	X	+	0	0	0	0	0	0	
00441	X	-	0	0	0	0	0	0	
00441	Y	+	0	0	0	0	0	0	
00441	Y	-	0	0	0	0	0	0	
00442	X	+	0	0	0	0	0	0	
00442	X	-	0	0	0	0	0	0	
00442	Y	+	0	0	0	0	0	0	
00442	Y	-	0	0	0	0	0	0	
00443	X	+	0	0	0	0	0	0	
00443	X	-	0	0	0	0	0	0	
00443	Y	+	0	0	0	0	0	0	
00443	Y	-	0	0	0	0	0	0	
00444	X	+	0	0	0	0	0	0	
00444	X	-	0	0	0	0	0	0	
00444	Y	+	0	0	0	0	0	0	
00444	Y	-	0	0	0	0	0	0	
00445	X	+	0	0	0	0	0	0	
00445	X	-	0	0	0	0	0	0	
00445	Y	+	0	0	0	0	0	0	
00445	Y	-	0	0	0	0	0	0	
00446	X	+	0	0	0	0	0	0	
00446	X	-	0	0	0	0	0	0	
00446	Y	+	0	0	0	0	0	0	
00446	Y	-	0	0	0	0	0	0	
00447	X	+	0	0	0	0	0	0	
00447	X	-	0	0	0	0	0	0	
00447	Y	+	0	0	0	0	0	0	

Il presente documento è di proprietà della ANTEX GROUP srl.
È Vietato la comunicazione a terzi o la riproduzione senza il permesso scritto della suddetta.
La società tutela i propri diritti a rigore di Legge.

Comm.: C21-002-S05




SASSARI EOLICA S.R.L.	PARCO EOLICO DI "SASSARI" RELAZIONE DI CALCOLO PREDIMENSIONAMENTO DELLE FONDAZIONI WTG	 Ingegneria & Innovazione		
		26/05/2023	REV: 1	Pag.136

Nodi - Reazioni vincolari esterne per eccentricità accidentale								
Id _{Nd}	Dir	e	F _x	F _y	F _z	M _x	M _y	M _z
			[N]	[N]	[N]	[N-m]	[N-m]	[N-m]
00447	Y	-	0	0	0	0	0	0
00448	X	+	0	0	0	0	0	0
00448	X	-	0	0	0	0	0	0
00448	Y	+	0	0	0	0	0	0
00448	Y	-	0	0	0	0	0	0
00449	X	+	0	0	0	0	0	0
00449	X	-	0	0	0	0	0	0
00449	Y	+	0	0	0	0	0	0
00449	Y	-	0	0	0	0	0	0
00450	X	+	0	0	0	0	0	0
00450	X	-	0	0	0	0	0	0
00450	Y	+	0	0	0	0	0	0
00450	Y	-	0	0	0	0	0	0
00451	X	+	0	0	0	0	0	0
00451	X	-	0	0	0	0	0	0
00451	Y	+	0	0	0	0	0	0
00451	Y	-	0	0	0	0	0	0
00452	X	+	0	0	0	0	0	0
00452	X	-	0	0	0	0	0	0
00452	Y	+	0	0	0	0	0	0
00452	Y	-	0	0	0	0	0	0
00453	X	+	0	0	0	0	0	0
00453	X	-	0	0	0	0	0	0
00453	Y	+	0	0	0	0	0	0
00453	Y	-	0	0	0	0	0	0
00454	X	+	0	0	0	0	0	0
00454	X	-	0	0	0	0	0	0
00454	Y	+	0	0	0	0	0	0
00454	Y	-	0	0	0	0	0	0
00455	X	+	0	0	0	0	0	0
00455	X	-	0	0	0	0	0	0
00455	Y	+	0	0	0	0	0	0
00455	Y	-	0	0	0	0	0	0
00456	X	+	0	0	0	0	0	0
00456	X	-	0	0	0	0	0	0
00456	Y	+	0	0	0	0	0	0
00456	Y	-	0	0	0	0	0	0
00457	X	+	0	0	0	0	0	0
00457	X	-	0	0	0	0	0	0
00457	Y	+	0	0	0	0	0	0
00457	Y	-	0	0	0	0	0	0
00458	X	+	0	0	0	0	0	0
00458	X	-	0	0	0	0	0	0
00458	Y	+	0	0	0	0	0	0
00458	Y	-	0	0	0	0	0	0
00459	X	+	0	0	0	0	0	0
00459	X	-	0	0	0	0	0	0
00459	Y	+	0	0	0	0	0	0
00459	Y	-	0	0	0	0	0	0
00460	X	+	0	0	0	0	0	0
00460	X	-	0	0	0	0	0	0
00460	Y	+	0	0	0	0	0	0
00460	Y	-	0	0	0	0	0	0
00461	X	+	0	0	0	0	0	0
00461	X	-	0	0	0	0	0	0
00461	Y	+	0	0	0	0	0	0
00461	Y	-	0	0	0	0	0	0
00462	X	+	0	0	0	0	0	0
00462	X	-	0	0	0	0	0	0
00462	Y	+	0	0	0	0	0	0
00462	Y	-	0	0	0	0	0	0
00463	X	+	0	0	0	0	0	0
00463	X	-	0	0	0	0	0	0
00463	Y	+	0	0	0	0	0	0
00463	Y	-	0	0	0	0	0	0
00464	X	+	0	0	0	0	0	0
00464	X	-	0	0	0	0	0	0

Il presente documento è di proprietà della ANTEX GROUP srl.
 È vietato la comunicazione a terzi o la riproduzione senza il permesso scritto della suddetta.
 La società tutela i propri diritti a rigore di Legge.

Comm.: C21-002-S05




SASSARI EOLICA S.R.L.	PARCO EOLICO DI “SASSARI” RELAZIONE DI CALCOLO PREDIMENSIONAMENTO DELLE FONDAZIONI WTG	 <i>Ingegneria & Innovazione</i>		
		26/05/2023	REV: 1	Pag.137

Nodi - Reazioni vincolari esterne per eccentricità accidentale									
Id _{Nd}	Dir	e	F _x	F _y	F _z	M _x	M _y	M _z	
			[N]	[N]	[N]	[N-m]	[N-m]	[N-m]	
00464	Y	+	0	0	0	0	0	0	
00464	Y	-	0	0	0	0	0	0	
00465	X	+	0	0	0	0	0	0	
00465	X	-	0	0	0	0	0	0	
00465	Y	+	0	0	0	0	0	0	
00465	Y	-	0	0	0	0	0	0	
00466	X	+	0	0	0	0	0	0	
00466	X	-	0	0	0	0	0	0	
00466	Y	+	0	0	0	0	0	0	
00466	Y	-	0	0	0	0	0	0	
00467	X	+	0	0	0	0	0	0	
00467	X	-	0	0	0	0	0	0	
00467	Y	+	0	0	0	0	0	0	
00467	Y	-	0	0	0	0	0	0	
00468	X	+	0	0	0	0	0	0	
00468	X	-	0	0	0	0	0	0	
00468	Y	+	0	0	0	0	0	0	
00468	Y	-	0	0	0	0	0	0	
00469	X	+	0	0	0	0	0	0	
00469	X	-	0	0	0	0	0	0	
00469	Y	+	0	0	0	0	0	0	
00469	Y	-	0	0	0	0	0	0	
00470	X	+	0	0	0	0	0	0	
00470	X	-	0	0	0	0	0	0	
00470	Y	+	0	0	0	0	0	0	
00470	Y	-	0	0	0	0	0	0	
00471	X	+	0	0	0	0	0	0	
00471	X	-	0	0	0	0	0	0	
00471	Y	+	0	0	0	0	0	0	
00471	Y	-	0	0	0	0	0	0	
00472	X	+	0	0	0	0	0	0	
00472	X	-	0	0	0	0	0	0	
00472	Y	+	0	0	0	0	0	0	
00472	Y	-	0	0	0	0	0	0	
00473	X	+	0	0	0	0	0	0	
00473	X	-	0	0	0	0	0	0	
00473	Y	+	0	0	0	0	0	0	
00473	Y	-	0	0	0	0	0	0	
00474	X	+	0	0	0	0	0	0	
00474	X	-	0	0	0	0	0	0	
00474	Y	+	0	0	0	0	0	0	
00474	Y	-	0	0	0	0	0	0	
00475	X	+	0	0	0	0	0	0	
00475	X	-	0	0	0	0	0	0	
00475	Y	+	0	0	0	0	0	0	
00475	Y	-	0	0	0	0	0	0	
00476	X	+	0	0	0	0	0	0	
00476	X	-	0	0	0	0	0	0	
00476	Y	+	0	0	0	0	0	0	
00476	Y	-	0	0	0	0	0	0	
00477	X	+	0	0	0	0	0	0	
00477	X	-	0	0	0	0	0	0	
00477	Y	+	0	0	0	0	0	0	
00477	Y	-	0	0	0	0	0	0	
00478	X	+	0	0	0	0	0	0	
00478	X	-	0	0	0	0	0	0	
00478	Y	+	0	0	0	0	0	0	
00478	Y	-	0	0	0	0	0	0	
00479	X	+	0	0	0	0	0	0	
00479	X	-	0	0	0	0	0	0	
00479	Y	+	0	0	0	0	0	0	
00479	Y	-	0	0	0	0	0	0	
00480	X	+	0	0	0	0	0	0	
00480	X	-	0	0	0	0	0	0	
00480	Y	+	0	0	0	0	0	0	
00480	Y	-	0	0	0	0	0	0	
00481	X	+	0	0	0	0	0	0	

Il presente documento è di proprietà della ANTEX GROUP srl.
È Vietato la comunicazione a terzi o la riproduzione senza il permesso scritto della suddetta.
La società tutela i propri diritti a rigore di Legge.

Comm.: C21-002-S05




SASSARI EOLICA S.R.L.	PARCO EOLICO DI "SASSARI" RELAZIONE DI CALCOLO PREDIMENSIONAMENTO DELLE FONDAZIONI WTG		 Ingegneria & Innovazione		
			26/05/2023	REV: 1	Pag.138

Nodi - Reazioni vincolari esterne per eccentricità accidentale								
Id _{Nd}	Dir	e	F _x	F _y	F _z	M _x	M _y	M _z
			[N]	[N]	[N]	[N-m]	[N-m]	[N-m]
00481	X	-	0	0	0	0	0	0
00481	Y	+	0	0	0	0	0	0
00481	Y	-	0	0	0	0	0	0
00482	X	+	0	0	0	0	0	0
00482	X	-	0	0	0	0	0	0
00482	Y	+	0	0	0	0	0	0
00482	Y	-	0	0	0	0	0	0
00483	X	+	0	0	0	0	0	0
00483	X	-	0	0	0	0	0	0
00483	Y	+	0	0	0	0	0	0
00483	Y	-	0	0	0	0	0	0
00484	X	+	0	0	0	0	0	0
00484	X	-	0	0	0	0	0	0
00484	Y	+	0	0	0	0	0	0
00484	Y	-	0	0	0	0	0	0
00485	X	+	0	0	0	0	0	0
00485	X	-	0	0	0	0	0	0
00485	Y	+	0	0	0	0	0	0
00485	Y	-	0	0	0	0	0	0
00486	X	+	0	0	0	0	0	0
00486	X	-	0	0	0	0	0	0
00486	Y	+	0	0	0	0	0	0
00486	Y	-	0	0	0	0	0	0
00487	X	+	0	0	0	0	0	0
00487	X	-	0	0	0	0	0	0
00487	Y	+	0	0	0	0	0	0
00487	Y	-	0	0	0	0	0	0
00488	X	+	0	0	0	0	0	0
00488	X	-	0	0	0	0	0	0
00488	Y	+	0	0	0	0	0	0
00488	Y	-	0	0	0	0	0	0
00489	X	+	0	0	0	0	0	0
00489	X	-	0	0	0	0	0	0
00489	Y	+	0	0	0	0	0	0
00489	Y	-	0	0	0	0	0	0
00490	X	+	0	0	0	0	0	0
00490	X	-	0	0	0	0	0	0
00490	Y	+	0	0	0	0	0	0
00490	Y	-	0	0	0	0	0	0
00491	X	+	0	0	0	0	0	0
00491	X	-	0	0	0	0	0	0
00491	Y	+	0	0	0	0	0	0
00491	Y	-	0	0	0	0	0	0
00492	X	+	0	0	0	0	0	0
00492	X	-	0	0	0	0	0	0
00492	Y	+	0	0	0	0	0	0
00492	Y	-	0	0	0	0	0	0
00493	X	+	0	0	0	0	0	0
00493	X	-	0	0	0	0	0	0
00493	Y	+	0	0	0	0	0	0
00493	Y	-	0	0	0	0	0	0
00494	X	+	0	0	0	0	0	0
00494	X	-	0	0	0	0	0	0
00494	Y	+	0	0	0	0	0	0
00494	Y	-	0	0	0	0	0	0
00495	X	+	0	0	0	0	0	0
00495	X	-	0	0	0	0	0	0
00495	Y	+	0	0	0	0	0	0
00495	Y	-	0	0	0	0	0	0
00496	X	+	0	0	0	0	0	0
00496	X	-	0	0	0	0	0	0
00496	Y	+	0	0	0	0	0	0
00496	Y	-	0	0	0	0	0	0
00497	X	+	0	0	0	0	0	0
00497	X	-	0	0	0	0	0	0
00497	Y	+	0	0	0	0	0	0
00497	Y	-	0	0	0	0	0	0

Il presente documento è di proprietà della ANTEX GROUP srl.
 È Vietato la comunicazione a terzi o la riproduzione senza il permesso scritto della suddetta.
 La società tutela i propri diritti a rigore di Legge.

Comm.: C21-002-S05




SASSARI EOLICA S.R.L.	PARCO EOLICO DI “SASSARI” RELAZIONE DI CALCOLO PREDIMENSIONAMENTO DELLE FONDAZIONI WTG	 <i>Ingegneria & Innovazione</i>		
		26/05/2023	REV: 1	Pag.139

Nodi - Reazioni vincolari esterne per eccentricità accidentale									
Id _{Nd}	Dir	e	F _x	F _y	F _z	M _x	M _y	M _z	
			[N]	[N]	[N]	[N-m]	[N-m]	[N-m]	
00498	X	+	0	0	0	0	0	0	
00498	X	-	0	0	0	0	0	0	
00498	Y	+	0	0	0	0	0	0	
00498	Y	-	0	0	0	0	0	0	
00499	X	+	0	0	0	0	0	0	
00499	X	-	0	0	0	0	0	0	
00499	Y	+	0	0	0	0	0	0	
00499	Y	-	0	0	0	0	0	0	
00500	X	+	0	0	0	0	0	0	
00500	X	-	0	0	0	0	0	0	
00500	Y	+	0	0	0	0	0	0	
00500	Y	-	0	0	0	0	0	0	
00501	X	+	0	0	0	0	0	0	
00501	X	-	0	0	0	0	0	0	
00501	Y	+	0	0	0	0	0	0	
00501	Y	-	0	0	0	0	0	0	
00502	X	+	0	0	0	0	0	0	
00502	X	-	0	0	0	0	0	0	
00502	Y	+	0	0	0	0	0	0	
00502	Y	-	0	0	0	0	0	0	
00503	X	+	0	0	0	0	0	0	
00503	X	-	0	0	0	0	0	0	
00503	Y	+	0	0	0	0	0	0	
00503	Y	-	0	0	0	0	0	0	
00504	X	+	0	0	0	0	0	0	
00504	X	-	0	0	0	0	0	0	
00504	Y	+	0	0	0	0	0	0	
00504	Y	-	0	0	0	0	0	0	
00505	X	+	0	0	0	0	0	0	
00505	X	-	0	0	0	0	0	0	
00505	Y	+	0	0	0	0	0	0	
00505	Y	-	0	0	0	0	0	0	
00506	X	+	0	0	0	0	0	0	
00506	X	-	0	0	0	0	0	0	
00506	Y	+	0	0	0	0	0	0	
00506	Y	-	0	0	0	0	0	0	
00507	X	+	0	0	0	0	0	0	
00507	X	-	0	0	0	0	0	0	
00507	Y	+	0	0	0	0	0	0	
00507	Y	-	0	0	0	0	0	0	
00508	X	+	0	0	0	0	0	0	
00508	X	-	0	0	0	0	0	0	
00508	Y	+	0	0	0	0	0	0	
00508	Y	-	0	0	0	0	0	0	
00509	X	+	0	0	0	0	0	0	
00509	X	-	0	0	0	0	0	0	
00509	Y	+	0	0	0	0	0	0	
00509	Y	-	0	0	0	0	0	0	
00510	X	+	0	0	0	0	0	0	
00510	X	-	0	0	0	0	0	0	
00510	Y	+	0	0	0	0	0	0	
00510	Y	-	0	0	0	0	0	0	
00511	X	+	0	0	0	0	0	0	
00511	X	-	0	0	0	0	0	0	
00511	Y	+	0	0	0	0	0	0	
00511	Y	-	0	0	0	0	0	0	
00512	X	+	0	0	0	0	0	0	
00512	X	-	0	0	0	0	0	0	
00512	Y	+	0	0	0	0	0	0	
00512	Y	-	0	0	0	0	0	0	
00513	X	+	0	0	0	0	0	0	
00513	X	-	0	0	0	0	0	0	
00513	Y	+	0	0	0	0	0	0	
00513	Y	-	0	0	0	0	0	0	
00514	X	+	0	0	0	0	0	0	
00514	X	-	0	0	0	0	0	0	
00514	Y	+	0	0	0	0	0	0	


Il presente documento è di proprietà della ANTEX GROUP srl.
È Vietato la comunicazione a terzi o la riproduzione senza il permesso scritto della suddetta.
La società tutela i propri diritti a rigore di Legge.

Comm.: C21-002-S05



SASSARI EOLICA S.R.L.	PARCO EOLICO DI "SASSARI" RELAZIONE DI CALCOLO PREDIMENSIONAMENTO DELLE FONDAZIONI WTG		 Ingegneria & Innovazione	
			26/05/2023	REV: 1 Pag.140

Nodi - Reazioni vincolari esterne per eccentricità accidentale								
Id _{Nd}	Dir	e	F _x	F _y	F _z	M _x	M _y	M _z
			[N]	[N]	[N]	[N-m]	[N-m]	[N-m]
00514	Y	-	0	0	0	0	0	0
00515	X	+	0	0	0	0	0	0
00515	X	-	0	0	0	0	0	0
00515	Y	+	0	0	0	0	0	0
00515	Y	-	0	0	0	0	0	0
00516	X	+	0	0	0	0	0	0
00516	X	-	0	0	0	0	0	0
00516	Y	+	0	0	0	0	0	0
00516	Y	-	0	0	0	0	0	0
00517	X	+	0	0	0	0	0	0
00517	X	-	0	0	0	0	0	0
00517	Y	+	0	0	0	0	0	0
00517	Y	-	0	0	0	0	0	0
00518	X	+	0	0	0	0	0	0
00518	X	-	0	0	0	0	0	0
00518	Y	+	0	0	0	0	0	0
00518	Y	-	0	0	0	0	0	0
00519	X	+	0	0	0	0	0	0
00519	X	-	0	0	0	0	0	0
00519	Y	+	0	0	0	0	0	0
00519	Y	-	0	0	0	0	0	0
00520	X	+	0	0	0	0	0	0
00520	X	-	0	0	0	0	0	0
00520	Y	+	0	0	0	0	0	0
00520	Y	-	0	0	0	0	0	0
00521	X	+	0	0	0	0	0	0
00521	X	-	0	0	0	0	0	0
00521	Y	+	0	0	0	0	0	0
00521	Y	-	0	0	0	0	0	0
00522	X	+	0	0	0	0	0	0
00522	X	-	0	0	0	0	0	0
00522	Y	+	0	0	0	0	0	0
00522	Y	-	0	0	0	0	0	0
00523	X	+	0	0	0	0	0	0
00523	X	-	0	0	0	0	0	0
00523	Y	+	0	0	0	0	0	0
00523	Y	-	0	0	0	0	0	0
00524	X	+	0	0	0	0	0	0
00524	X	-	0	0	0	0	0	0
00524	Y	+	0	0	0	0	0	0
00524	Y	-	0	0	0	0	0	0
00525	X	+	0	0	0	0	0	0
00525	X	-	0	0	0	0	0	0
00525	Y	+	0	0	0	0	0	0
00525	Y	-	0	0	0	0	0	0
00526	X	+	0	0	0	0	0	0
00526	X	-	0	0	0	0	0	0
00526	Y	+	0	0	0	0	0	0
00526	Y	-	0	0	0	0	0	0
00527	X	+	0	0	0	0	0	0
00527	X	-	0	0	0	0	0	0
00527	Y	+	0	0	0	0	0	0
00527	Y	-	0	0	0	0	0	0
00528	X	+	0	0	0	0	0	0
00528	X	-	0	0	0	0	0	0
00528	Y	+	0	0	0	0	0	0
00528	Y	-	0	0	0	0	0	0
00529	X	+	0	0	0	0	0	0
00529	X	-	0	0	0	0	0	0
00529	Y	+	0	0	0	0	0	0
00529	Y	-	0	0	0	0	0	0
00530	X	+	0	0	0	0	0	0
00530	X	-	0	0	0	0	0	0
00530	Y	+	0	0	0	0	0	0
00530	Y	-	0	0	0	0	0	0
00531	X	+	0	0	0	0	0	0
00531	X	-	0	0	0	0	0	0


SASSARI EOLICA S.R.L.	PARCO EOLICO DI “SASSARI” RELAZIONE DI CALCOLO PREDIMENSIONAMENTO DELLE FONDAZIONI WTG	 <i>Ingegneria & Innovazione</i>		
		26/05/2023	REV: 1	Pag.141

Nodi - Reazioni vincolari esterne per eccentricità accidentale									
IdNd	Dir	e	F _x	F _y	F _z	M _x	M _y	M _z	
			[N]	[N]	[N]	[N-m]	[N-m]	[N-m]	
00531	Y	+	0	0	0	0	0	0	
00531	Y	-	0	0	0	0	0	0	
00532	X	+	0	0	0	0	0	0	
00532	X	-	0	0	0	0	0	0	
00532	Y	+	0	0	0	0	0	0	
00532	Y	-	0	0	0	0	0	0	
00533	X	+	0	0	0	0	0	0	
00533	X	-	0	0	0	0	0	0	
00533	Y	+	0	0	0	0	0	0	
00533	Y	-	0	0	0	0	0	0	
00534	X	+	0	0	0	0	0	0	
00534	X	-	0	0	0	0	0	0	
00534	Y	+	0	0	0	0	0	0	
00534	Y	-	0	0	0	0	0	0	
00535	X	+	0	0	0	0	0	0	
00535	X	-	0	0	0	0	0	0	
00535	Y	+	0	0	0	0	0	0	
00535	Y	-	0	0	0	0	0	0	
00536	X	+	0	0	0	0	0	0	
00536	X	-	0	0	0	0	0	0	
00536	Y	+	0	0	0	0	0	0	
00536	Y	-	0	0	0	0	0	0	
00537	X	+	0	0	0	0	0	0	
00537	X	-	0	0	0	0	0	0	
00537	Y	+	0	0	0	0	0	0	
00537	Y	-	0	0	0	0	0	0	
00538	X	+	0	0	0	0	0	0	
00538	X	-	0	0	0	0	0	0	
00538	Y	+	0	0	0	0	0	0	
00538	Y	-	0	0	0	0	0	0	
00539	X	+	0	0	0	0	0	0	
00539	X	-	0	0	0	0	0	0	
00539	Y	+	0	0	0	0	0	0	
00539	Y	-	0	0	0	0	0	0	
00540	X	+	0	0	0	0	0	0	
00540	X	-	0	0	0	0	0	0	
00540	Y	+	0	0	0	0	0	0	
00540	Y	-	0	0	0	0	0	0	
00541	X	+	0	0	0	0	0	0	
00541	X	-	0	0	0	0	0	0	
00541	Y	+	0	0	0	0	0	0	
00541	Y	-	0	0	0	0	0	0	
00542	X	+	0	0	0	0	0	0	
00542	X	-	0	0	0	0	0	0	
00542	Y	+	0	0	0	0	0	0	
00542	Y	-	0	0	0	0	0	0	
00543	X	+	0	0	0	0	0	0	
00543	X	-	0	0	0	0	0	0	
00543	Y	+	0	0	0	0	0	0	
00543	Y	-	0	0	0	0	0	0	
00544	X	+	0	0	0	0	0	0	
00544	X	-	0	0	0	0	0	0	
00544	Y	+	0	0	0	0	0	0	
00544	Y	-	0	0	0	0	0	0	
00545	X	+	0	0	0	0	0	0	
00545	X	-	0	0	0	0	0	0	
00545	Y	+	0	0	0	0	0	0	
00545	Y	-	0	0	0	0	0	0	
00546	X	+	0	0	0	0	0	0	
00546	X	-	0	0	0	0	0	0	
00546	Y	+	0	0	0	0	0	0	
00546	Y	-	0	0	0	0	0	0	
00547	X	+	0	0	0	0	0	0	
00547	X	-	0	0	0	0	0	0	
00547	Y	+	0	0	0	0	0	0	
00547	Y	-	0	0	0	0	0	0	
00548	X	+	0	0	0	0	0	0	


Il presente documento è di proprietà della ANTEX GROUP srl.
È Vietato la comunicazione a terzi o la riproduzione senza il permesso scritto della suddetta.
La società tutela i propri diritti a rigore di Legge.

Comm.: C21-002-S05



SASSARI EOLICA S.R.L.	PARCO EOLICO DI “SASSARI” RELAZIONE DI CALCOLO PREDIMENSIONAMENTO DELLE FONDAZIONI WTG	 <i>Ingegneria & Innovazione</i>		
		26/05/2023	REV: 1	Pag.142

Nodi - Reazioni vincolari esterne per eccentricità accidentale								
Id _{Nd}	Dir	e	F _x	F _y	F _z	M _x	M _y	M _z
			[N]	[N]	[N]	[N-m]	[N-m]	[N-m]
00548	X	-	0	0	0	0	0	0
00548	Y	+	0	0	0	0	0	0
00548	Y	-	0	0	0	0	0	0
00549	X	+	0	0	0	0	0	0
00549	X	-	0	0	0	0	0	0
00549	Y	+	0	0	0	0	0	0
00549	Y	-	0	0	0	0	0	0
00550	X	+	0	0	0	0	0	0
00550	X	-	0	0	0	0	0	0
00550	Y	+	0	0	0	0	0	0
00550	Y	-	0	0	0	0	0	0
00551	X	+	0	0	0	0	0	0
00551	X	-	0	0	0	0	0	0
00551	Y	+	0	0	0	0	0	0
00551	Y	-	0	0	0	0	0	0
00552	X	+	0	0	0	0	0	0
00552	X	-	0	0	0	0	0	0
00552	Y	+	0	0	0	0	0	0
00552	Y	-	0	0	0	0	0	0
00553	X	+	0	0	0	0	0	0
00553	X	-	0	0	0	0	0	0
00553	Y	+	0	0	0	0	0	0
00553	Y	-	0	0	0	0	0	0
00554	X	+	0	0	0	0	0	0
00554	X	-	0	0	0	0	0	0
00554	Y	+	0	0	0	0	0	0
00554	Y	-	0	0	0	0	0	0
00555	X	+	0	0	0	0	0	0
00555	X	-	0	0	0	0	0	0
00555	Y	+	0	0	0	0	0	0
00555	Y	-	0	0	0	0	0	0
00556	X	+	0	0	0	0	0	0
00556	X	-	0	0	0	0	0	0
00556	Y	+	0	0	0	0	0	0
00556	Y	-	0	0	0	0	0	0
00557	X	+	0	0	0	0	0	0
00557	X	-	0	0	0	0	0	0
00557	Y	+	0	0	0	0	0	0
00557	Y	-	0	0	0	0	0	0
00558	X	+	0	0	0	0	0	0
00558	X	-	0	0	0	0	0	0
00558	Y	+	0	0	0	0	0	0
00558	Y	-	0	0	0	0	0	0
00559	X	+	0	0	0	0	0	0
00559	X	-	0	0	0	0	0	0
00559	Y	+	0	0	0	0	0	0
00559	Y	-	0	0	0	0	0	0
00560	X	+	0	0	0	0	0	0
00560	X	-	0	0	0	0	0	0
00560	Y	+	0	0	0	0	0	0
00560	Y	-	0	0	0	0	0	0
00561	X	+	0	0	0	0	0	0
00561	X	-	0	0	0	0	0	0
00561	Y	+	0	0	0	0	0	0
00561	Y	-	0	0	0	0	0	0
00562	X	+	0	0	0	0	0	0
00562	X	-	0	0	0	0	0	0
00562	Y	+	0	0	0	0	0	0
00562	Y	-	0	0	0	0	0	0
00563	X	+	0	0	0	0	0	0
00563	X	-	0	0	0	0	0	0
00563	Y	+	0	0	0	0	0	0
00563	Y	-	0	0	0	0	0	0
00564	X	+	0	0	0	0	0	0
00564	X	-	0	0	0	0	0	0
00564	Y	+	0	0	0	0	0	0
00564	Y	-	0	0	0	0	0	0

SASSARI EOLICA S.R.L.	PARCO EOLICO DI “SASSARI” RELAZIONE DI CALCOLO PREDIMENSIONAMENTO DELLE FONDAZIONI WTG	 <i>Ingegneria & Innovazione</i>		
		26/05/2023	REV: 1	Pag.143


Nodi - Reazioni vincolari esterne per eccentricità accidentale									
Id _{Nd}	Dir	e	F _x	F _y	F _z	M _x	M _y	M _z	
			[N]	[N]	[N]	[N-m]	[N-m]	[N-m]	
00565	X	+	0	0	0	0	0	0	
00565	X	-	0	0	0	0	0	0	
00565	Y	+	0	0	0	0	0	0	
00565	Y	-	0	0	0	0	0	0	
00566	X	+	0	0	0	0	0	0	
00566	X	-	0	0	0	0	0	0	
00566	Y	+	0	0	0	0	0	0	
00566	Y	-	0	0	0	0	0	0	
00567	X	+	0	0	0	0	0	0	
00567	X	-	0	0	0	0	0	0	
00567	Y	+	0	0	0	0	0	0	
00567	Y	-	0	0	0	0	0	0	
00568	X	+	0	0	0	0	0	0	
00568	X	-	0	0	0	0	0	0	
00568	Y	+	0	0	0	0	0	0	
00568	Y	-	0	0	0	0	0	0	
00569	X	+	0	0	0	0	0	0	
00569	X	-	0	0	0	0	0	0	
00569	Y	+	0	0	0	0	0	0	
00569	Y	-	0	0	0	0	0	0	
00570	X	+	0	0	0	0	0	0	
00570	X	-	0	0	0	0	0	0	
00570	Y	+	0	0	0	0	0	0	
00570	Y	-	0	0	0	0	0	0	
00571	X	+	0	0	0	0	0	0	
00571	X	-	0	0	0	0	0	0	
00571	Y	+	0	0	0	0	0	0	
00571	Y	-	0	0	0	0	0	0	
00572	X	+	0	0	0	0	0	0	
00572	X	-	0	0	0	0	0	0	
00572	Y	+	0	0	0	0	0	0	
00572	Y	-	0	0	0	0	0	0	
00573	X	+	0	0	0	0	0	0	
00573	X	-	0	0	0	0	0	0	
00573	Y	+	0	0	0	0	0	0	
00573	Y	-	0	0	0	0	0	0	
00574	X	+	0	0	0	0	0	0	
00574	X	-	0	0	0	0	0	0	
00574	Y	+	0	0	0	0	0	0	
00574	Y	-	0	0	0	0	0	0	
00575	X	+	0	0	0	0	0	0	
00575	X	-	0	0	0	0	0	0	
00575	Y	+	0	0	0	0	0	0	
00575	Y	-	0	0	0	0	0	0	
00576	X	+	0	0	0	0	0	0	
00576	X	-	0	0	0	0	0	0	
00576	Y	+	0	0	0	0	0	0	
00576	Y	-	0	0	0	0	0	0	
00577	X	+	0	0	0	0	0	0	
00577	X	-	0	0	0	0	0	0	
00577	Y	+	0	0	0	0	0	0	
00577	Y	-	0	0	0	0	0	0	
00578	X	+	0	0	0	0	0	0	
00578	X	-	0	0	0	0	0	0	
00578	Y	+	0	0	0	0	0	0	
00578	Y	-	0	0	0	0	0	0	
00579	X	+	0	0	0	0	0	0	
00579	X	-	0	0	0	0	0	0	
00579	Y	+	0	0	0	0	0	0	
00579	Y	-	0	0	0	0	0	0	
00580	X	+	0	0	0	0	0	0	
00580	X	-	0	0	0	0	0	0	
00580	Y	+	0	0	0	0	0	0	
00580	Y	-	0	0	0	0	0	0	
00581	X	+	0	0	0	0	0	0	
00581	X	-	0	0	0	0	0	0	
00581	Y	+	0	0	0	0	0	0	

Il presente documento è di proprietà della ANTEX GROUP srl.
È Vietato la comunicazione a terzi o la riproduzione senza il permesso scritto della suddetta.
La società tutela i propri diritti a rigore di Legge.

Comm.: C21-002-S05



Nodi - Reazioni vincolari esterne per eccentricità accidentale								
Id _{Nd}	Dir	e	F _x	F _y	F _z	M _x	M _y	M _z
			[N]	[N]	[N]	[N-m]	[N-m]	[N-m]
00581	Y	-	0	0	0	0	0	0
00582	X	+	0	0	0	0	0	0
00582	X	-	0	0	0	0	0	0
00582	Y	+	0	0	0	0	0	0
00582	Y	-	0	0	0	0	0	0
00583	X	+	0	0	0	0	0	0
00583	X	-	0	0	0	0	0	0
00583	Y	+	0	0	0	0	0	0
00583	Y	-	0	0	0	0	0	0
00584	X	+	0	0	0	0	0	0
00584	X	-	0	0	0	0	0	0
00584	Y	+	0	0	0	0	0	0
00584	Y	-	0	0	0	0	0	0
00585	X	+	0	0	0	0	0	0
00585	X	-	0	0	0	0	0	0
00585	Y	+	0	0	0	0	0	0
00585	Y	-	0	0	0	0	0	0
00586	X	+	0	0	0	0	0	0
00586	X	-	0	0	0	0	0	0
00586	Y	+	0	0	0	0	0	0
00586	Y	-	0	0	0	0	0	0
00587	X	+	0	0	0	0	0	0
00587	X	-	0	0	0	0	0	0
00587	Y	+	0	0	0	0	0	0
00587	Y	-	0	0	0	0	0	0
00588	X	+	0	0	0	0	0	0
00588	X	-	0	0	0	0	0	0
00588	Y	+	0	0	0	0	0	0
00588	Y	-	0	0	0	0	0	0
00589	X	+	0	0	0	0	0	0
00589	X	-	0	0	0	0	0	0
00589	Y	+	0	0	0	0	0	0
00589	Y	-	0	0	0	0	0	0
00590	X	+	0	0	0	0	0	0
00590	X	-	0	0	0	0	0	0
00590	Y	+	0	0	0	0	0	0
00590	Y	-	0	0	0	0	0	0
00591	X	+	0	0	0	0	0	0
00591	X	-	0	0	0	0	0	0
00591	Y	+	0	0	0	0	0	0
00591	Y	-	0	0	0	0	0	0
00592	X	+	0	0	0	0	0	0
00592	X	-	0	0	0	0	0	0
00592	Y	+	0	0	0	0	0	0
00592	Y	-	0	0	0	0	0	0
00593	X	+	0	0	0	0	0	0
00593	X	-	0	0	0	0	0	0
00593	Y	+	0	0	0	0	0	0
00593	Y	-	0	0	0	0	0	0
00594	X	+	0	0	0	0	0	0
00594	X	-	0	0	0	0	0	0
00594	Y	+	0	0	0	0	0	0
00594	Y	-	0	0	0	0	0	0
00595	X	+	0	0	0	0	0	0
00595	X	-	0	0	0	0	0	0
00595	Y	+	0	0	0	0	0	0
00595	Y	-	0	0	0	0	0	0
00596	X	+	0	0	0	0	0	0
00596	X	-	0	0	0	0	0	0
00596	Y	+	0	0	0	0	0	0
00596	Y	-	0	0	0	0	0	0
00597	X	+	0	0	0	0	0	0
00597	X	-	0	0	0	0	0	0
00597	Y	+	0	0	0	0	0	0
00597	Y	-	0	0	0	0	0	0
00598	X	+	0	0	0	0	0	0
00598	X	-	0	0	0	0	0	0


SASSARI EOLICA S.R.L.	PARCO EOLICO DI “SASSARI” RELAZIONE DI CALCOLO PREDIMENSIONAMENTO DELLE FONDAZIONI WTG	 <i>Ingegneria & Innovazione</i>		
		26/05/2023	REV: 1	Pag.145

Nodi - Reazioni vincolari esterne per eccentricità accidentale									
Id _{Nd}	Dir	e	F _x	F _y	F _z	M _x	M _y	M _z	
			[N]	[N]	[N]	[N-m]	[N-m]	[N-m]	
00598	Y	+	0	0	0	0	0	0	
00598	Y	-	0	0	0	0	0	0	
00599	X	+	0	0	0	0	0	0	
00599	X	-	0	0	0	0	0	0	
00599	Y	+	0	0	0	0	0	0	
00599	Y	-	0	0	0	0	0	0	
00600	X	+	0	0	0	0	0	0	
00600	X	-	0	0	0	0	0	0	
00600	Y	+	0	0	0	0	0	0	
00600	Y	-	0	0	0	0	0	0	
00601	X	+	0	0	0	0	0	0	
00601	X	-	0	0	0	0	0	0	
00601	Y	+	0	0	0	0	0	0	
00601	Y	-	0	0	0	0	0	0	
00602	X	+	0	0	0	0	0	0	
00602	X	-	0	0	0	0	0	0	
00602	Y	+	0	0	0	0	0	0	
00602	Y	-	0	0	0	0	0	0	
00603	X	+	0	0	0	0	0	0	
00603	X	-	0	0	0	0	0	0	
00603	Y	+	0	0	0	0	0	0	
00603	Y	-	0	0	0	0	0	0	
00604	X	+	0	0	0	0	0	0	
00604	X	-	0	0	0	0	0	0	
00604	Y	+	0	0	0	0	0	0	
00604	Y	-	0	0	0	0	0	0	
00605	X	+	0	0	0	0	0	0	
00605	X	-	0	0	0	0	0	0	
00605	Y	+	0	0	0	0	0	0	
00605	Y	-	0	0	0	0	0	0	
00606	X	+	0	0	0	0	0	0	
00606	X	-	0	0	0	0	0	0	
00606	Y	+	0	0	0	0	0	0	
00606	Y	-	0	0	0	0	0	0	
00607	X	+	0	0	0	0	0	0	
00607	X	-	0	0	0	0	0	0	
00607	Y	+	0	0	0	0	0	0	
00607	Y	-	0	0	0	0	0	0	
00608	X	+	0	0	0	0	0	0	
00608	X	-	0	0	0	0	0	0	
00608	Y	+	0	0	0	0	0	0	
00608	Y	-	0	0	0	0	0	0	
00609	X	+	0	0	0	0	0	0	
00609	X	-	0	0	0	0	0	0	
00609	Y	+	0	0	0	0	0	0	
00609	Y	-	0	0	0	0	0	0	
00610	X	+	0	0	0	0	0	0	
00610	X	-	0	0	0	0	0	0	
00610	Y	+	0	0	0	0	0	0	
00610	Y	-	0	0	0	0	0	0	
00611	X	+	0	0	0	0	0	0	
00611	X	-	0	0	0	0	0	0	
00611	Y	+	0	0	0	0	0	0	
00611	Y	-	0	0	0	0	0	0	
00612	X	+	0	0	0	0	0	0	
00612	X	-	0	0	0	0	0	0	
00612	Y	+	0	0	0	0	0	0	
00612	Y	-	0	0	0	0	0	0	
00613	X	+	0	0	0	0	0	0	
00613	X	-	0	0	0	0	0	0	
00613	Y	+	0	0	0	0	0	0	
00613	Y	-	0	0	0	0	0	0	
00614	X	+	0	0	0	0	0	0	
00614	X	-	0	0	0	0	0	0	
00614	Y	+	0	0	0	0	0	0	
00614	Y	-	0	0	0	0	0	0	
00615	X	+	0	0	0	0	0	0	

Il presente documento è di proprietà della ANTEX GROUP srl.
È Vietato la comunicazione a terzi o la riproduzione senza il permesso scritto della suddetta.
La società tutela i propri diritti a rigore di Legge.

Comm.: C21-002-S05




SASSARI EOLICA S.R.L.	PARCO EOLICO DI “SASSARI” RELAZIONE DI CALCOLO PREDIMENSIONAMENTO DELLE FONDAZIONI WTG	 <i>Ingegneria & Innovazione</i>		
		26/05/2023	REV: 1	Pag.146

Nodi - Reazioni vincolari esterne per eccentricità accidentale								
Id _{Nd}	Dir	e	F _x	F _y	F _z	M _x	M _y	M _z
			[N]	[N]	[N]	[N-m]	[N-m]	[N-m]
00615	X	-	0	0	0	0	0	0
00615	Y	+	0	0	0	0	0	0
00615	Y	-	0	0	0	0	0	0
00616	X	+	0	0	0	0	0	0
00616	X	-	0	0	0	0	0	0
00616	Y	+	0	0	0	0	0	0
00616	Y	-	0	0	0	0	0	0
00617	X	+	0	0	0	0	0	0
00617	X	-	0	0	0	0	0	0
00617	Y	+	0	0	0	0	0	0
00617	Y	-	0	0	0	0	0	0
00618	X	+	0	0	0	0	0	0
00618	X	-	0	0	0	0	0	0
00618	Y	+	0	0	0	0	0	0
00618	Y	-	0	0	0	0	0	0
00619	X	+	0	0	0	0	0	0
00619	X	-	0	0	0	0	0	0
00619	Y	+	0	0	0	0	0	0
00619	Y	-	0	0	0	0	0	0
00620	X	+	0	0	0	0	0	0
00620	X	-	0	0	0	0	0	0
00620	Y	+	0	0	0	0	0	0
00620	Y	-	0	0	0	0	0	0
00621	X	+	0	0	0	0	0	0
00621	X	-	0	0	0	0	0	0
00621	Y	+	0	0	0	0	0	0
00621	Y	-	0	0	0	0	0	0
00622	X	+	0	0	0	0	0	0
00622	X	-	0	0	0	0	0	0
00622	Y	+	0	0	0	0	0	0
00622	Y	-	0	0	0	0	0	0
00623	X	+	0	0	0	0	0	0
00623	X	-	0	0	0	0	0	0
00623	Y	+	0	0	0	0	0	0
00623	Y	-	0	0	0	0	0	0
00624	X	+	0	0	0	0	0	0
00624	X	-	0	0	0	0	0	0
00624	Y	+	0	0	0	0	0	0
00624	Y	-	0	0	0	0	0	0
00625	X	+	0	0	0	0	0	0
00625	X	-	0	0	0	0	0	0
00625	Y	+	0	0	0	0	0	0
00625	Y	-	0	0	0	0	0	0
00626	X	+	0	0	0	0	0	0
00626	X	-	0	0	0	0	0	0
00626	Y	+	0	0	0	0	0	0
00626	Y	-	0	0	0	0	0	0
00627	X	+	0	0	0	0	0	0
00627	X	-	0	0	0	0	0	0
00627	Y	+	0	0	0	0	0	0
00627	Y	-	0	0	0	0	0	0
00628	X	+	0	0	0	0	0	0
00628	X	-	0	0	0	0	0	0
00628	Y	+	0	0	0	0	0	0
00628	Y	-	0	0	0	0	0	0
00629	X	+	0	0	0	0	0	0
00629	X	-	0	0	0	0	0	0
00629	Y	+	0	0	0	0	0	0
00629	Y	-	0	0	0	0	0	0
00630	X	+	0	0	0	0	0	0
00630	X	-	0	0	0	0	0	0
00630	Y	+	0	0	0	0	0	0
00630	Y	-	0	0	0	0	0	0
00631	X	+	0	0	0	0	0	0
00631	X	-	0	0	0	0	0	0
00631	Y	+	0	0	0	0	0	0
00631	Y	-	0	0	0	0	0	0

Il presente documento è di proprietà della ANTEX GROUP srl.
È Vietato la comunicazione a terzi o la riproduzione senza il permesso scritto della suddetta.
La società tutela i propri diritti a rigore di Legge.

Comm.: C21-002-S05




SASSARI EOLICA S.R.L.	PARCO EOLICO DI “SASSARI” RELAZIONE DI CALCOLO PREDIMENSIONAMENTO DELLE FONDAZIONI WTG	 <i>Ingegneria & Innovazione</i>		
		26/05/2023	REV: 1	Pag.147

Nodi - Reazioni vincolari esterne per eccentricità accidentale									
Id _{Nd}	Dir	e	F _x	F _y	F _z	M _x	M _y	M _z	
			[N]	[N]	[N]	[N-m]	[N-m]	[N-m]	
00632	X	+	0	0	0	0	0	0	
00632	X	-	0	0	0	0	0	0	
00632	Y	+	0	0	0	0	0	0	
00632	Y	-	0	0	0	0	0	0	
00633	X	+	0	0	0	0	0	0	
00633	X	-	0	0	0	0	0	0	
00633	Y	+	0	0	0	0	0	0	
00633	Y	-	0	0	0	0	0	0	
00634	X	+	0	0	0	0	0	0	
00634	X	-	0	0	0	0	0	0	
00634	Y	+	0	0	0	0	0	0	
00634	Y	-	0	0	0	0	0	0	
00635	X	+	0	0	0	0	0	0	
00635	X	-	0	0	0	0	0	0	
00635	Y	+	0	0	0	0	0	0	
00635	Y	-	0	0	0	0	0	0	
00636	X	+	0	0	0	0	0	0	
00636	X	-	0	0	0	0	0	0	
00636	Y	+	0	0	0	0	0	0	
00636	Y	-	0	0	0	0	0	0	
00637	X	+	0	0	0	0	0	0	
00637	X	-	0	0	0	0	0	0	
00637	Y	+	0	0	0	0	0	0	
00637	Y	-	0	0	0	0	0	0	
00638	X	+	0	0	0	0	0	0	
00638	X	-	0	0	0	0	0	0	
00638	Y	+	0	0	0	0	0	0	
00638	Y	-	0	0	0	0	0	0	
00639	X	+	0	0	0	0	0	0	
00639	X	-	0	0	0	0	0	0	
00639	Y	+	0	0	0	0	0	0	
00639	Y	-	0	0	0	0	0	0	
00640	X	+	0	0	0	0	0	0	
00640	X	-	0	0	0	0	0	0	
00640	Y	+	0	0	0	0	0	0	
00640	Y	-	0	0	0	0	0	0	
00641	X	+	0	0	0	0	0	0	
00641	X	-	0	0	0	0	0	0	
00641	Y	+	0	0	0	0	0	0	
00641	Y	-	0	0	0	0	0	0	
00642	X	+	0	0	0	0	0	0	
00642	X	-	0	0	0	0	0	0	
00642	Y	+	0	0	0	0	0	0	
00642	Y	-	0	0	0	0	0	0	
00643	X	+	0	0	0	0	0	0	
00643	X	-	0	0	0	0	0	0	
00643	Y	+	0	0	0	0	0	0	
00643	Y	-	0	0	0	0	0	0	
00644	X	+	0	0	0	0	0	0	
00644	X	-	0	0	0	0	0	0	
00644	Y	+	0	0	0	0	0	0	
00644	Y	-	0	0	0	0	0	0	
00645	X	+	0	0	0	0	0	0	
00645	X	-	0	0	0	0	0	0	
00645	Y	+	0	0	0	0	0	0	
00645	Y	-	0	0	0	0	0	0	
00646	X	+	0	0	0	0	0	0	
00646	X	-	0	0	0	0	0	0	
00646	Y	+	0	0	0	0	0	0	
00646	Y	-	0	0	0	0	0	0	
00647	X	+	0	0	0	0	0	0	
00647	X	-	0	0	0	0	0	0	
00647	Y	+	0	0	0	0	0	0	
00647	Y	-	0	0	0	0	0	0	
00648	X	+	0	0	0	0	0	0	
00648	X	-	0	0	0	0	0	0	
00648	Y	+	0	0	0	0	0	0	

Il presente documento è di proprietà della ANTEX GROUP srl.
È Vietato la comunicazione a terzi o la riproduzione senza il permesso scritto della suddetta.
La società tutela i propri diritti a rigore di Legge.

Comm.: C21-002-S05




SASSARI EOLICA S.R.L.	PARCO EOLICO DI "SASSARI" RELAZIONE DI CALCOLO PREDIMENSIONAMENTO DELLE FONDAZIONI WTG	 Ingegneria & Innovazione		
		26/05/2023	REV: 1	Pag.148

Nodi - Reazioni vincolari esterne per eccentricità accidentale								
Id _{Nd}	Dir	e	F _x	F _y	F _z	M _x	M _y	M _z
			[N]	[N]	[N]	[N-m]	[N-m]	[N-m]
00648	Y	-	0	0	0	0	0	0
00649	X	+	0	0	0	0	0	0
00649	X	-	0	0	0	0	0	0
00649	Y	+	0	0	0	0	0	0
00649	Y	-	0	0	0	0	0	0
00650	X	+	0	0	0	0	0	0
00650	X	-	0	0	0	0	0	0
00650	Y	+	0	0	0	0	0	0
00650	Y	-	0	0	0	0	0	0
00651	X	+	0	0	0	0	0	0
00651	X	-	0	0	0	0	0	0
00651	Y	+	0	0	0	0	0	0
00651	Y	-	0	0	0	0	0	0
00652	X	+	0	0	0	0	0	0
00652	X	-	0	0	0	0	0	0
00652	Y	+	0	0	0	0	0	0
00652	Y	-	0	0	0	0	0	0
00653	X	+	0	0	0	0	0	0
00653	X	-	0	0	0	0	0	0
00653	Y	+	0	0	0	0	0	0
00653	Y	-	0	0	0	0	0	0
00654	X	+	0	0	0	0	0	0
00654	X	-	0	0	0	0	0	0
00654	Y	+	0	0	0	0	0	0
00654	Y	-	0	0	0	0	0	0
00655	X	+	0	0	0	0	0	0
00655	X	-	0	0	0	0	0	0
00655	Y	+	0	0	0	0	0	0
00655	Y	-	0	0	0	0	0	0
00656	X	+	0	0	0	0	0	0
00656	X	-	0	0	0	0	0	0
00656	Y	+	0	0	0	0	0	0
00656	Y	-	0	0	0	0	0	0
00657	X	+	0	0	0	0	0	0
00657	X	-	0	0	0	0	0	0
00657	Y	+	0	0	0	0	0	0
00657	Y	-	0	0	0	0	0	0
00658	X	+	0	0	0	0	0	0
00658	X	-	0	0	0	0	0	0
00658	Y	+	0	0	0	0	0	0
00658	Y	-	0	0	0	0	0	0
00659	X	+	0	0	0	0	0	0
00659	X	-	0	0	0	0	0	0
00659	Y	+	0	0	0	0	0	0
00659	Y	-	0	0	0	0	0	0
00660	X	+	0	0	0	0	0	0
00660	X	-	0	0	0	0	0	0
00660	Y	+	0	0	0	0	0	0
00660	Y	-	0	0	0	0	0	0
00661	X	+	0	0	0	0	0	0
00661	X	-	0	0	0	0	0	0
00661	Y	+	0	0	0	0	0	0
00661	Y	-	0	0	0	0	0	0
00662	X	+	0	0	0	0	0	0
00662	X	-	0	0	0	0	0	0
00662	Y	+	0	0	0	0	0	0
00662	Y	-	0	0	0	0	0	0
00663	X	+	0	0	0	0	0	0
00663	X	-	0	0	0	0	0	0
00663	Y	+	0	0	0	0	0	0
00663	Y	-	0	0	0	0	0	0
00664	X	+	0	0	0	0	0	0
00664	X	-	0	0	0	0	0	0
00664	Y	+	0	0	0	0	0	0
00664	Y	-	0	0	0	0	0	0
00665	X	+	0	0	0	0	0	0
00665	X	-	0	0	0	0	0	0

Il presente documento è di proprietà della ANTEX GROUP srl.
È Vietato la comunicazione a terzi o la riproduzione senza il permesso scritto della suddetta.
La società tutela i propri diritti a rigore di Legge.

Comm.: C21-002-S05




SASSARI EOLICA S.R.L.	PARCO EOLICO DI “SASSARI” RELAZIONE DI CALCOLO PREDIMENSIONAMENTO DELLE FONDAZIONI WTG	 <i>Ingegneria & Innovazione</i>		
		26/05/2023	REV: 1	Pag.149

Nodi - Reazioni vincolari esterne per eccentricità accidentale									
IdNd	Dir	e	F _x	F _y	F _z	M _x	M _y	M _z	
			[N]	[N]	[N]	[N-m]	[N-m]	[N-m]	
00665	Y	+	0	0	0	0	0	0	
00665	Y	-	0	0	0	0	0	0	
00666	X	+	0	0	0	0	0	0	
00666	X	-	0	0	0	0	0	0	
00666	Y	+	0	0	0	0	0	0	
00666	Y	-	0	0	0	0	0	0	
00667	X	+	0	0	0	0	0	0	
00667	X	-	0	0	0	0	0	0	
00667	Y	+	0	0	0	0	0	0	
00667	Y	-	0	0	0	0	0	0	
00668	X	+	0	0	0	0	0	0	
00668	X	-	0	0	0	0	0	0	
00668	Y	+	0	0	0	0	0	0	
00668	Y	-	0	0	0	0	0	0	
00669	X	+	0	0	0	0	0	0	
00669	X	-	0	0	0	0	0	0	
00669	Y	+	0	0	0	0	0	0	
00669	Y	-	0	0	0	0	0	0	
00670	X	+	0	0	0	0	0	0	
00670	X	-	0	0	0	0	0	0	
00670	Y	+	0	0	0	0	0	0	
00670	Y	-	0	0	0	0	0	0	
00671	X	+	0	0	0	0	0	0	
00671	X	-	0	0	0	0	0	0	
00671	Y	+	0	0	0	0	0	0	
00671	Y	-	0	0	0	0	0	0	
00672	X	+	0	0	0	0	0	0	
00672	X	-	0	0	0	0	0	0	
00672	Y	+	0	0	0	0	0	0	
00672	Y	-	0	0	0	0	0	0	
00673	X	+	0	0	0	0	0	0	
00673	X	-	0	0	0	0	0	0	
00673	Y	+	0	0	0	0	0	0	
00673	Y	-	0	0	0	0	0	0	
00674	X	+	0	0	0	0	0	0	
00674	X	-	0	0	0	0	0	0	
00674	Y	+	0	0	0	0	0	0	
00674	Y	-	0	0	0	0	0	0	
00675	X	+	0	0	0	0	0	0	
00675	X	-	0	0	0	0	0	0	
00675	Y	+	0	0	0	0	0	0	
00675	Y	-	0	0	0	0	0	0	
00676	X	+	0	0	0	0	0	0	
00676	X	-	0	0	0	0	0	0	
00676	Y	+	0	0	0	0	0	0	
00676	Y	-	0	0	0	0	0	0	
00677	X	+	0	0	0	0	0	0	
00677	X	-	0	0	0	0	0	0	
00677	Y	+	0	0	0	0	0	0	
00677	Y	-	0	0	0	0	0	0	
00678	X	+	0	0	0	0	0	0	
00678	X	-	0	0	0	0	0	0	
00678	Y	+	0	0	0	0	0	0	
00678	Y	-	0	0	0	0	0	0	
00679	X	+	0	0	0	0	0	0	
00679	X	-	0	0	0	0	0	0	
00679	Y	+	0	0	0	0	0	0	
00679	Y	-	0	0	0	0	0	0	
00680	X	+	0	0	0	0	0	0	
00680	X	-	0	0	0	0	0	0	
00680	Y	+	0	0	0	0	0	0	
00680	Y	-	0	0	0	0	0	0	
00681	X	+	0	0	0	0	0	0	
00681	X	-	0	0	0	0	0	0	
00681	Y	+	0	0	0	0	0	0	
00681	Y	-	0	0	0	0	0	0	
00682	X	+	0	0	0	0	0	0	

Il presente documento è di proprietà della ANTEX GROUP srl.
È Vietato la comunicazione a terzi o la riproduzione senza il permesso scritto della suddetta.
La società tutela i propri diritti a rigore di Legge.

Comm.: C21-002-S05




SASSARI EOLICA S.R.L.	PARCO EOLICO DI "SASSARI" RELAZIONE DI CALCOLO PREDIMENSIONAMENTO DELLE FONDAZIONI WTG		 Ingegneria & Innovazione		
			26/05/2023	REV: 1	Pag.150

Nodi - Reazioni vincolari esterne per eccentricità accidentale								
Id _{Nd}	Dir	e	F _x	F _y	F _z	M _x	M _y	M _z
			[N]	[N]	[N]	[N-m]	[N-m]	[N-m]
00682	X	-	0	0	0	0	0	0
00682	Y	+	0	0	0	0	0	0
00682	Y	-	0	0	0	0	0	0
00683	X	+	0	0	0	0	0	0
00683	X	-	0	0	0	0	0	0
00683	Y	+	0	0	0	0	0	0
00683	Y	-	0	0	0	0	0	0
00684	X	+	0	0	0	0	0	0
00684	X	-	0	0	0	0	0	0
00684	Y	+	0	0	0	0	0	0
00684	Y	-	0	0	0	0	0	0
00685	X	+	0	0	0	0	0	0
00685	X	-	0	0	0	0	0	0
00685	Y	+	0	0	0	0	0	0
00685	Y	-	0	0	0	0	0	0
00686	X	+	0	0	0	0	0	0
00686	X	-	0	0	0	0	0	0
00686	Y	+	0	0	0	0	0	0
00686	Y	-	0	0	0	0	0	0
00687	X	+	0	0	0	0	0	0
00687	X	-	0	0	0	0	0	0
00687	Y	+	0	0	0	0	0	0
00687	Y	-	0	0	0	0	0	0
00688	X	+	0	0	0	0	0	0
00688	X	-	0	0	0	0	0	0
00688	Y	+	0	0	0	0	0	0
00688	Y	-	0	0	0	0	0	0
00689	X	+	0	0	0	0	0	0
00689	X	-	0	0	0	0	0	0
00689	Y	+	0	0	0	0	0	0
00689	Y	-	0	0	0	0	0	0
00690	X	+	0	0	0	0	0	0
00690	X	-	0	0	0	0	0	0
00690	Y	+	0	0	0	0	0	0
00690	Y	-	0	0	0	0	0	0
00691	X	+	0	0	0	0	0	0
00691	X	-	0	0	0	0	0	0
00691	Y	+	0	0	0	0	0	0
00691	Y	-	0	0	0	0	0	0
00692	X	+	0	0	0	0	0	0
00692	X	-	0	0	0	0	0	0
00692	Y	+	0	0	0	0	0	0
00692	Y	-	0	0	0	0	0	0
00693	X	+	0	0	0	0	0	0
00693	X	-	0	0	0	0	0	0
00693	Y	+	0	0	0	0	0	0
00693	Y	-	0	0	0	0	0	0
00694	X	+	0	0	0	0	0	0
00694	X	-	0	0	0	0	0	0
00694	Y	+	0	0	0	0	0	0
00694	Y	-	0	0	0	0	0	0
00695	X	+	0	0	0	0	0	0
00695	X	-	0	0	0	0	0	0
00695	Y	+	0	0	0	0	0	0
00695	Y	-	0	0	0	0	0	0
00696	X	+	0	0	0	0	0	0
00696	X	-	0	0	0	0	0	0
00696	Y	+	0	0	0	0	0	0
00696	Y	-	0	0	0	0	0	0
00697	X	+	0	0	0	0	0	0
00697	X	-	0	0	0	0	0	0
00697	Y	+	0	0	0	0	0	0
00697	Y	-	0	0	0	0	0	0
00698	X	+	0	0	0	0	0	0
00698	X	-	0	0	0	0	0	0
00698	Y	+	0	0	0	0	0	0
00698	Y	-	0	0	0	0	0	0

Il presente documento è di proprietà della ANTEX GROUP srl.
 È vietato la comunicazione a terzi o la riproduzione senza il permesso scritto della suddetta.
 La società tutela i propri diritti a rigore di Legge.

Comm.: C21-002-S05




SASSARI EOLICA S.R.L.	PARCO EOLICO DI “SASSARI” RELAZIONE DI CALCOLO PREDIMENSIONAMENTO DELLE FONDAZIONI WTG	 <i>Ingegneria & Innovazione</i>		
		26/05/2023	REV: 1	Pag.151

Nodi - Reazioni vincolari esterne per eccentricità accidentale									
Id _{Nd}	Dir	e	F _x	F _y	F _z	M _x	M _y	M _z	
			[N]	[N]	[N]	[N-m]	[N-m]	[N-m]	
00699	X	+	0	0	0	0	0	0	
00699	X	-	0	0	0	0	0	0	
00699	Y	+	0	0	0	0	0	0	
00699	Y	-	0	0	0	0	0	0	
00700	X	+	0	0	0	0	0	0	
00700	X	-	0	0	0	0	0	0	
00700	Y	+	0	0	0	0	0	0	
00700	Y	-	0	0	0	0	0	0	
00701	X	+	0	0	0	0	0	0	
00701	X	-	0	0	0	0	0	0	
00701	Y	+	0	0	0	0	0	0	
00701	Y	-	0	0	0	0	0	0	
00702	X	+	0	0	0	0	0	0	
00702	X	-	0	0	0	0	0	0	
00702	Y	+	0	0	0	0	0	0	
00702	Y	-	0	0	0	0	0	0	
00703	X	+	0	0	0	0	0	0	
00703	X	-	0	0	0	0	0	0	
00703	Y	+	0	0	0	0	0	0	
00703	Y	-	0	0	0	0	0	0	
00704	X	+	0	0	0	0	0	0	
00704	X	-	0	0	0	0	0	0	
00704	Y	+	0	0	0	0	0	0	
00704	Y	-	0	0	0	0	0	0	
00705	X	+	0	0	0	0	0	0	
00705	X	-	0	0	0	0	0	0	
00705	Y	+	0	0	0	0	0	0	
00705	Y	-	0	0	0	0	0	0	
00706	X	+	0	0	0	0	0	0	
00706	X	-	0	0	0	0	0	0	
00706	Y	+	0	0	0	0	0	0	
00706	Y	-	0	0	0	0	0	0	
00707	X	+	0	0	0	0	0	0	
00707	X	-	0	0	0	0	0	0	
00707	Y	+	0	0	0	0	0	0	
00707	Y	-	0	0	0	0	0	0	
00708	X	+	0	0	0	0	0	0	
00708	X	-	0	0	0	0	0	0	
00708	Y	+	0	0	0	0	0	0	
00708	Y	-	0	0	0	0	0	0	
00709	X	+	0	0	0	0	0	0	
00709	X	-	0	0	0	0	0	0	
00709	Y	+	0	0	0	0	0	0	
00709	Y	-	0	0	0	0	0	0	
00710	X	+	0	0	0	0	0	0	
00710	X	-	0	0	0	0	0	0	
00710	Y	+	0	0	0	0	0	0	
00710	Y	-	0	0	0	0	0	0	
00711	X	+	0	0	0	0	0	0	
00711	X	-	0	0	0	0	0	0	
00711	Y	+	0	0	0	0	0	0	
00711	Y	-	0	0	0	0	0	0	
00712	X	+	0	0	0	0	0	0	
00712	X	-	0	0	0	0	0	0	
00712	Y	+	0	0	0	0	0	0	
00712	Y	-	0	0	0	0	0	0	
00713	X	+	0	0	0	0	0	0	
00713	X	-	0	0	0	0	0	0	
00713	Y	+	0	0	0	0	0	0	
00713	Y	-	0	0	0	0	0	0	
00714	X	+	0	0	0	0	0	0	
00714	X	-	0	0	0	0	0	0	
00714	Y	+	0	0	0	0	0	0	
00714	Y	-	0	0	0	0	0	0	
00715	X	+	0	0	0	0	0	0	
00715	X	-	0	0	0	0	0	0	
00715	Y	+	0	0	0	0	0	0	

Il presente documento è di proprietà della ANTEX GROUP srl.
È Vietato la comunicazione a terzi o la riproduzione senza il permesso scritto della suddetta.
La società tutela i propri diritti a rigore di Legge.

Comm.: C21-002-S05




SASSARI EOLICA S.R.L.	PARCO EOLICO DI “SASSARI” RELAZIONE DI CALCOLO PREDIMENSIONAMENTO DELLE FONDAZIONI WTG	 <i>Ingegneria & Innovazione</i>		
		26/05/2023	REV: 1	Pag.152

Nodi - Reazioni vincolari esterne per eccentricità accidentale								
Id _{Nd}	Dir	e	F _x	F _y	F _z	M _x	M _y	M _z
			[N]	[N]	[N]	[N-m]	[N-m]	[N-m]
00715	Y	-	0	0	0	0	0	0
00716	X	+	0	0	0	0	0	0
00716	X	-	0	0	0	0	0	0
00716	Y	+	0	0	0	0	0	0
00716	Y	-	0	0	0	0	0	0
00717	X	+	0	0	0	0	0	0
00717	X	-	0	0	0	0	0	0
00717	Y	+	0	0	0	0	0	0
00717	Y	-	0	0	0	0	0	0
00718	X	+	0	0	0	0	0	0
00718	X	-	0	0	0	0	0	0
00718	Y	+	0	0	0	0	0	0
00718	Y	-	0	0	0	0	0	0
00719	X	+	0	0	0	0	0	0
00719	X	-	0	0	0	0	0	0
00719	Y	+	0	0	0	0	0	0
00719	Y	-	0	0	0	0	0	0
00720	X	+	0	0	0	0	0	0
00720	X	-	0	0	0	0	0	0
00720	Y	+	0	0	0	0	0	0
00720	Y	-	0	0	0	0	0	0
00721	X	+	0	0	0	0	0	0
00721	X	-	0	0	0	0	0	0
00721	Y	+	0	0	0	0	0	0
00721	Y	-	0	0	0	0	0	0
00722	X	+	0	0	0	0	0	0
00722	X	-	0	0	0	0	0	0
00722	Y	+	0	0	0	0	0	0
00722	Y	-	0	0	0	0	0	0
00723	X	+	0	0	0	0	0	0
00723	X	-	0	0	0	0	0	0
00723	Y	+	0	0	0	0	0	0
00723	Y	-	0	0	0	0	0	0
00724	X	+	0	0	0	0	0	0
00724	X	-	0	0	0	0	0	0
00724	Y	+	0	0	0	0	0	0
00724	Y	-	0	0	0	0	0	0
00725	X	+	0	0	0	0	0	0
00725	X	-	0	0	0	0	0	0
00725	Y	+	0	0	0	0	0	0
00725	Y	-	0	0	0	0	0	0
00726	X	+	0	0	0	0	0	0
00726	X	-	0	0	0	0	0	0
00726	Y	+	0	0	0	0	0	0
00726	Y	-	0	0	0	0	0	0
00727	X	+	0	0	0	0	0	0
00727	X	-	0	0	0	0	0	0
00727	Y	+	0	0	0	0	0	0
00727	Y	-	0	0	0	0	0	0
00728	X	+	0	0	0	0	0	0
00728	X	-	0	0	0	0	0	0
00728	Y	+	0	0	0	0	0	0
00728	Y	-	0	0	0	0	0	0
00729	X	+	0	0	0	0	0	0
00729	X	-	0	0	0	0	0	0
00729	Y	+	0	0	0	0	0	0
00729	Y	-	0	0	0	0	0	0
00730	X	+	0	0	0	0	0	0
00730	X	-	0	0	0	0	0	0
00730	Y	+	0	0	0	0	0	0
00730	Y	-	0	0	0	0	0	0
00731	X	+	0	0	0	0	0	0
00731	X	-	0	0	0	0	0	0
00731	Y	+	0	0	0	0	0	0
00731	Y	-	0	0	0	0	0	0
00732	X	+	0	0	0	0	0	0
00732	X	-	0	0	0	0	0	0

Il presente documento è di proprietà della ANTEX GROUP srl.
È Vietato la comunicazione a terzi o la riproduzione senza il permesso scritto della suddetta.
La società tutela i propri diritti a rigore di Legge.

Comm.: C21-002-S05




SASSARI EOLICA S.R.L.	PARCO EOLICO DI “SASSARI” RELAZIONE DI CALCOLO PREDIMENSIONAMENTO DELLE FONDAZIONI WTG	 <i>Ingegneria & Innovazione</i>		
		26/05/2023	REV: 1	Pag.153

Nodi - Reazioni vincolari esterne per eccentricità accidentale									
Id _{Nd}	Dir	e	F _x	F _y	F _z	M _x	M _y	M _z	
			[N]	[N]	[N]	[N-m]	[N-m]	[N-m]	
00732	Y	+	0	0	0	0	0	0	
00732	Y	-	0	0	0	0	0	0	
00733	X	+	0	0	0	0	0	0	
00733	X	-	0	0	0	0	0	0	
00733	Y	+	0	0	0	0	0	0	
00733	Y	-	0	0	0	0	0	0	
00734	X	+	0	0	0	0	0	0	
00734	X	-	0	0	0	0	0	0	
00734	Y	+	0	0	0	0	0	0	
00734	Y	-	0	0	0	0	0	0	
00735	X	+	0	0	0	0	0	0	
00735	X	-	0	0	0	0	0	0	
00735	Y	+	0	0	0	0	0	0	
00735	Y	-	0	0	0	0	0	0	
00736	X	+	0	0	0	0	0	0	
00736	X	-	0	0	0	0	0	0	
00736	Y	+	0	0	0	0	0	0	
00736	Y	-	0	0	0	0	0	0	
00737	X	+	0	0	0	0	0	0	
00737	X	-	0	0	0	0	0	0	
00737	Y	+	0	0	0	0	0	0	
00737	Y	-	0	0	0	0	0	0	
00738	X	+	0	0	0	0	0	0	
00738	X	-	0	0	0	0	0	0	
00738	Y	+	0	0	0	0	0	0	
00738	Y	-	0	0	0	0	0	0	
00739	X	+	0	0	0	0	0	0	
00739	X	-	0	0	0	0	0	0	
00739	Y	+	0	0	0	0	0	0	
00739	Y	-	0	0	0	0	0	0	
00740	X	+	0	0	0	0	0	0	
00740	X	-	0	0	0	0	0	0	
00740	Y	+	0	0	0	0	0	0	
00740	Y	-	0	0	0	0	0	0	
00741	X	+	0	0	0	0	0	0	
00741	X	-	0	0	0	0	0	0	
00741	Y	+	0	0	0	0	0	0	
00741	Y	-	0	0	0	0	0	0	
00742	X	+	0	0	0	0	0	0	
00742	X	-	0	0	0	0	0	0	
00742	Y	+	0	0	0	0	0	0	
00742	Y	-	0	0	0	0	0	0	
00743	X	+	0	0	0	0	0	0	
00743	X	-	0	0	0	0	0	0	
00743	Y	+	0	0	0	0	0	0	
00743	Y	-	0	0	0	0	0	0	
00744	X	+	0	0	0	0	0	0	
00744	X	-	0	0	0	0	0	0	
00744	Y	+	0	0	0	0	0	0	
00744	Y	-	0	0	0	0	0	0	
00745	X	+	0	0	0	0	0	0	
00745	X	-	0	0	0	0	0	0	
00745	Y	+	0	0	0	0	0	0	
00745	Y	-	0	0	0	0	0	0	
00746	X	+	0	0	0	0	0	0	
00746	X	-	0	0	0	0	0	0	
00746	Y	+	0	0	0	0	0	0	
00746	Y	-	0	0	0	0	0	0	
00747	X	+	0	0	0	0	0	0	
00747	X	-	0	0	0	0	0	0	
00747	Y	+	0	0	0	0	0	0	
00747	Y	-	0	0	0	0	0	0	
00748	X	+	0	0	0	0	0	0	
00748	X	-	0	0	0	0	0	0	
00748	Y	+	0	0	0	0	0	0	
00748	Y	-	0	0	0	0	0	0	
00749	X	+	0	0	0	0	0	0	

Il presente documento è di proprietà della ANTEX GROUP srl.
È Vietato la comunicazione a terzi o la riproduzione senza il permesso scritto della suddetta.
La società tutela i propri diritti a rigore di Legge.

Comm.: C21-002-S05




SASSARI EOLICA S.R.L.	PARCO EOLICO DI "SASSARI" RELAZIONE DI CALCOLO PREDIMENSIONAMENTO DELLE FONDAZIONI WTG		 Ingegneria & Innovazione		
			26/05/2023	REV: 1	Pag.154

Nodi - Reazioni vincolari esterne per eccentricità accidentale								
Id _{Nd}	Dir	e	F _x	F _y	F _z	M _x	M _y	M _z
			[N]	[N]	[N]	[N-m]	[N-m]	[N-m]
00749	X	-	0	0	0	0	0	0
00749	Y	+	0	0	0	0	0	0
00749	Y	-	0	0	0	0	0	0
00750	X	+	0	0	0	0	0	0
00750	X	-	0	0	0	0	0	0
00750	Y	+	0	0	0	0	0	0
00750	Y	-	0	0	0	0	0	0
00751	X	+	0	0	0	0	0	0
00751	X	-	0	0	0	0	0	0
00751	Y	+	0	0	0	0	0	0
00751	Y	-	0	0	0	0	0	0
00752	X	+	0	0	0	0	0	0
00752	X	-	0	0	0	0	0	0
00752	Y	+	0	0	0	0	0	0
00752	Y	-	0	0	0	0	0	0
00753	X	+	0	0	0	0	0	0
00753	X	-	0	0	0	0	0	0
00753	Y	+	0	0	0	0	0	0
00753	Y	-	0	0	0	0	0	0
00754	X	+	0	0	0	0	0	0
00754	X	-	0	0	0	0	0	0
00754	Y	+	0	0	0	0	0	0
00754	Y	-	0	0	0	0	0	0
00755	X	+	0	0	0	0	0	0
00755	X	-	0	0	0	0	0	0
00755	Y	+	0	0	0	0	0	0
00755	Y	-	0	0	0	0	0	0
00756	X	+	0	0	0	0	0	0
00756	X	-	0	0	0	0	0	0
00756	Y	+	0	0	0	0	0	0
00756	Y	-	0	0	0	0	0	0
00757	X	+	0	0	0	0	0	0
00757	X	-	0	0	0	0	0	0
00757	Y	+	0	0	0	0	0	0
00757	Y	-	0	0	0	0	0	0
00758	X	+	0	0	0	0	0	0
00758	X	-	0	0	0	0	0	0
00758	Y	+	0	0	0	0	0	0
00758	Y	-	0	0	0	0	0	0
00759	X	+	0	0	0	0	0	0
00759	X	-	0	0	0	0	0	0
00759	Y	+	0	0	0	0	0	0
00759	Y	-	0	0	0	0	0	0
00760	X	+	0	0	0	0	0	0
00760	X	-	0	0	0	0	0	0
00760	Y	+	0	0	0	0	0	0
00760	Y	-	0	0	0	0	0	0
00761	X	+	0	0	0	0	0	0
00761	X	-	0	0	0	0	0	0
00761	Y	+	0	0	0	0	0	0
00761	Y	-	0	0	0	0	0	0
00762	X	+	0	0	0	0	0	0
00762	X	-	0	0	0	0	0	0
00762	Y	+	0	0	0	0	0	0
00762	Y	-	0	0	0	0	0	0
00763	X	+	0	0	0	0	0	0
00763	X	-	0	0	0	0	0	0
00763	Y	+	0	0	0	0	0	0
00763	Y	-	0	0	0	0	0	0
00764	X	+	0	0	0	0	0	0
00764	X	-	0	0	0	0	0	0
00764	Y	+	0	0	0	0	0	0
00764	Y	-	0	0	0	0	0	0
00765	X	+	0	0	0	0	0	0
00765	X	-	0	0	0	0	0	0
00765	Y	+	0	0	0	0	0	0
00765	Y	-	0	0	0	0	0	0




Il presente documento è di proprietà della ANTEX GROUP srl.
 È vietato la comunicazione a terzi o la riproduzione senza il permesso scritto della suddetta.
 La società tutela i propri diritti a rigore di Legge.


Comm.: C21-002-S05



SASSARI EOLICA S.R.L.	PARCO EOLICO DI “SASSARI”	 <i>Ingegneria & Innovazione</i>		
	RELAZIONE DI CALCOLO PREDIMENSIONAMENTO DELLE FONDAZIONI WTG	26/05/2023	REV: 1	Pag.155

Nodi - Reazioni vincolari esterne per eccentricità accidentale									
Id _{Nd}	Dir	e	F _x	F _y	F _z	M _x	M _y	M _z	
			[N]	[N]	[N]	[N-m]	[N-m]	[N-m]	
00766	X	+	0	0	0	0	0	0	
00766	X	-	0	0	0	0	0	0	
00766	Y	+	0	0	0	0	0	0	
00766	Y	-	0	0	0	0	0	0	
00767	X	+	0	0	0	0	0	0	
00767	X	-	0	0	0	0	0	0	
00767	Y	+	0	0	0	0	0	0	
00767	Y	-	0	0	0	0	0	0	
00768	X	+	0	0	0	0	0	0	
00768	X	-	0	0	0	0	0	0	
00768	Y	+	0	0	0	0	0	0	
00768	Y	-	0	0	0	0	0	0	
00769	X	+	0	0	0	0	0	0	
00769	X	-	0	0	0	0	0	0	
00769	Y	+	0	0	0	0	0	0	
00769	Y	-	0	0	0	0	0	0	
00770	X	+	0	0	0	0	0	0	
00770	X	-	0	0	0	0	0	0	
00770	Y	+	0	0	0	0	0	0	
00770	Y	-	0	0	0	0	0	0	
00771	X	+	0	0	0	0	0	0	
00771	X	-	0	0	0	0	0	0	
00771	Y	+	0	0	0	0	0	0	
00771	Y	-	0	0	0	0	0	0	
00772	X	+	0	0	0	0	0	0	
00772	X	-	0	0	0	0	0	0	
00772	Y	+	0	0	0	0	0	0	
00772	Y	-	0	0	0	0	0	0	
00773	X	+	0	0	0	0	0	0	
00773	X	-	0	0	0	0	0	0	
00773	Y	+	0	0	0	0	0	0	
00773	Y	-	0	0	0	0	0	0	
00774	X	+	0	0	0	0	0	0	
00774	X	-	0	0	0	0	0	0	
00774	Y	+	0	0	0	0	0	0	
00774	Y	-	0	0	0	0	0	0	
00775	X	+	0	0	0	0	0	0	
00775	X	-	0	0	0	0	0	0	
00775	Y	+	0	0	0	0	0	0	
00775	Y	-	0	0	0	0	0	0	
00776	X	+	0	0	0	0	0	0	
00776	X	-	0	0	0	0	0	0	
00776	Y	+	0	0	0	0	0	0	
00776	Y	-	0	0	0	0	0	0	
00777	X	+	0	0	0	0	0	0	
00777	X	-	0	0	0	0	0	0	
00777	Y	+	0	0	0	0	0	0	
00777	Y	-	0	0	0	0	0	0	
00778	X	+	0	0	0	0	0	0	
00778	X	-	0	0	0	0	0	0	
00778	Y	+	0	0	0	0	0	0	
00778	Y	-	0	0	0	0	0	0	
00779	X	+	0	0	0	0	0	0	
00779	X	-	0	0	0	0	0	0	
00779	Y	+	0	0	0	0	0	0	
00779	Y	-	0	0	0	0	0	0	
00780	X	+	0	0	0	0	0	0	
00780	X	-	0	0	0	0	0	0	
00780	Y	+	0	0	0	0	0	0	
00780	Y	-	0	0	0	0	0	0	
00781	X	+	0	0	0	0	0	0	
00781	X	-	0	0	0	0	0	0	
00781	Y	+	0	0	0	0	0	0	
00781	Y	-	0	0	0	0	0	0	
00782	X	+	0	0	0	0	0	0	
00782	X	-	0	0	0	0	0	0	
00782	Y	+	0	0	0	0	0	0	

Il presente documento è di proprietà della ANTEX GROUP srl. È Vietato la comunicazione a terzi o la riproduzione senza il permesso scritto della suddetta. La società tutela i propri diritti a rigore di Legge.		Comm.: C21-002-S05
  		


SASSARI EOLICA S.R.L.	PARCO EOLICO DI "SASSARI" RELAZIONE DI CALCOLO PREDIMENSIONAMENTO DELLE FONDAZIONI WTG		 Ingegneria & Innovazione	
			26/05/2023	REV: 1 Pag.156

Nodi - Reazioni vincolari esterne per eccentricità accidentale								
Id _{Nd}	Dir	e	F _x	F _y	F _z	M _x	M _y	M _z
			[N]	[N]	[N]	[N-m]	[N-m]	[N-m]
00782	Y	-	0	0	0	0	0	0
00783	X	+	0	0	0	0	0	0
00783	X	-	0	0	0	0	0	0
00783	Y	+	0	0	0	0	0	0
00783	Y	-	0	0	0	0	0	0
00784	X	+	0	0	0	0	0	0
00784	X	-	0	0	0	0	0	0
00784	Y	+	0	0	0	0	0	0
00784	Y	-	0	0	0	0	0	0
00785	X	+	0	0	0	0	0	0
00785	X	-	0	0	0	0	0	0
00785	Y	+	0	0	0	0	0	0
00785	Y	-	0	0	0	0	0	0
00786	X	+	0	0	0	0	0	0
00786	X	-	0	0	0	0	0	0
00786	Y	+	0	0	0	0	0	0
00786	Y	-	0	0	0	0	0	0
00787	X	+	0	0	0	0	0	0
00787	X	-	0	0	0	0	0	0
00787	Y	+	0	0	0	0	0	0
00787	Y	-	0	0	0	0	0	0
00788	X	+	0	0	0	0	0	0
00788	X	-	0	0	0	0	0	0
00788	Y	+	0	0	0	0	0	0
00788	Y	-	0	0	0	0	0	0
00789	X	+	0	0	0	0	0	0
00789	X	-	0	0	0	0	0	0
00789	Y	+	0	0	0	0	0	0
00789	Y	-	0	0	0	0	0	0
00790	X	+	0	0	0	0	0	0
00790	X	-	0	0	0	0	0	0
00790	Y	+	0	0	0	0	0	0
00790	Y	-	0	0	0	0	0	0
00791	X	+	0	0	0	0	0	0
00791	X	-	0	0	0	0	0	0
00791	Y	+	0	0	0	0	0	0
00791	Y	-	0	0	0	0	0	0
00792	X	+	0	0	0	0	0	0
00792	X	-	0	0	0	0	0	0
00792	Y	+	0	0	0	0	0	0
00792	Y	-	0	0	0	0	0	0
00793	X	+	0	0	0	0	0	0
00793	X	-	0	0	0	0	0	0
00793	Y	+	0	0	0	0	0	0
00793	Y	-	0	0	0	0	0	0
00794	X	+	0	0	0	0	0	0
00794	X	-	0	0	0	0	0	0
00794	Y	+	0	0	0	0	0	0
00794	Y	-	0	0	0	0	0	0
00795	X	+	0	0	0	0	0	0
00795	X	-	0	0	0	0	0	0
00795	Y	+	0	0	0	0	0	0
00795	Y	-	0	0	0	0	0	0
00796	X	+	0	0	0	0	0	0
00796	X	-	0	0	0	0	0	0
00796	Y	+	0	0	0	0	0	0
00796	Y	-	0	0	0	0	0	0
00797	X	+	0	0	0	0	0	0
00797	X	-	0	0	0	0	0	0
00797	Y	+	0	0	0	0	0	0
00797	Y	-	0	0	0	0	0	0
00798	X	+	0	0	0	0	0	0
00798	X	-	0	0	0	0	0	0
00798	Y	+	0	0	0	0	0	0
00798	Y	-	0	0	0	0	0	0
00799	X	+	0	0	0	0	0	0
00799	X	-	0	0	0	0	0	0

Il presente documento è di proprietà della ANTEX GROUP srl.
 È Vietato la comunicazione a terzi o la riproduzione senza il permesso scritto della suddetta.
 La società tutela i propri diritti a rigore di Legge.

Comm.: C21-002-S05




SASSARI EOLICA S.R.L.	PARCO EOLICO DI "SASSARI" RELAZIONE DI CALCOLO PREDIMENSIONAMENTO DELLE FONDAZIONI WTG	 Ingegneria & Innovazione		
		26/05/2023	REV: 1	Pag.157

Nodi - Reazioni vincolari esterne per eccentricità accidentale									
Id _{Nd}	Dir	e	F _x	F _y	F _z	M _x	M _y	M _z	
			[N]	[N]	[N]	[N-m]	[N-m]	[N-m]	
00799	Y	+	0	0	0	0	0	0	
00799	Y	-	0	0	0	0	0	0	
00800	X	+	0	0	0	0	0	0	
00800	X	-	0	0	0	0	0	0	
00800	Y	+	0	0	0	0	0	0	
00800	Y	-	0	0	0	0	0	0	
00801	X	+	0	0	0	0	0	0	
00801	X	-	0	0	0	0	0	0	
00801	Y	+	0	0	0	0	0	0	
00801	Y	-	0	0	0	0	0	0	
00802	X	+	0	0	0	0	0	0	
00802	X	-	0	0	0	0	0	0	
00802	Y	+	0	0	0	0	0	0	
00802	Y	-	0	0	0	0	0	0	
00803	X	+	0	0	0	0	0	0	
00803	X	-	0	0	0	0	0	0	
00803	Y	+	0	0	0	0	0	0	
00803	Y	-	0	0	0	0	0	0	
00804	X	+	0	0	0	0	0	0	
00804	X	-	0	0	0	0	0	0	
00804	Y	+	0	0	0	0	0	0	
00804	Y	-	0	0	0	0	0	0	
00805	X	+	0	0	0	0	0	0	
00805	X	-	0	0	0	0	0	0	
00805	Y	+	0	0	0	0	0	0	
00805	Y	-	0	0	0	0	0	0	
00806	X	+	0	0	0	0	0	0	
00806	X	-	0	0	0	0	0	0	
00806	Y	+	0	0	0	0	0	0	
00806	Y	-	0	0	0	0	0	0	
00807	X	+	0	0	0	0	0	0	
00807	X	-	0	0	0	0	0	0	
00807	Y	+	0	0	0	0	0	0	
00807	Y	-	0	0	0	0	0	0	
00808	X	+	0	0	0	0	0	0	
00808	X	-	0	0	0	0	0	0	
00808	Y	+	0	0	0	0	0	0	
00808	Y	-	0	0	0	0	0	0	
00809	X	+	0	0	0	0	0	0	
00809	X	-	0	0	0	0	0	0	
00809	Y	+	0	0	0	0	0	0	
00809	Y	-	0	0	0	0	0	0	
00810	X	+	0	0	0	0	0	0	
00810	X	-	0	0	0	0	0	0	
00810	Y	+	0	0	0	0	0	0	
00810	Y	-	0	0	0	0	0	0	
00811	X	+	0	0	0	0	0	0	
00811	X	-	0	0	0	0	0	0	
00811	Y	+	0	0	0	0	0	0	
00811	Y	-	0	0	0	0	0	0	
00812	X	+	0	0	0	0	0	0	
00812	X	-	0	0	0	0	0	0	
00812	Y	+	0	0	0	0	0	0	
00812	Y	-	0	0	0	0	0	0	
00813	X	+	0	0	0	0	0	0	
00813	X	-	0	0	0	0	0	0	
00813	Y	+	0	0	0	0	0	0	
00813	Y	-	0	0	0	0	0	0	
00814	X	+	0	0	0	0	0	0	
00814	X	-	0	0	0	0	0	0	
00814	Y	+	0	0	0	0	0	0	
00814	Y	-	0	0	0	0	0	0	
00815	X	+	0	0	0	0	0	0	
00815	X	-	0	0	0	0	0	0	
00815	Y	+	0	0	0	0	0	0	
00815	Y	-	0	0	0	0	0	0	
00816	X	+	0	0	0	0	0	0	


Il presente documento è di proprietà della ANTEX GROUP srl.
 È Vietato la comunicazione a terzi o la riproduzione senza il permesso scritto della suddetta.
 La società tutela i propri diritti a rigore di Legge.

Comm.: C21-002-S05




SASSARI EOLICA S.R.L.	PARCO EOLICO DI “SASSARI” RELAZIONE DI CALCOLO PREDIMENSIONAMENTO DELLE FONDAZIONI WTG	 <i>Ingegneria & Innovazione</i>		
		26/05/2023	REV: 1	Pag.158


Nodi - Reazioni vincolari esterne per eccentricità accidentale								
Id _{Nd}	Dir	e	F _x	F _y	F _z	M _x	M _y	M _z
			[N]	[N]	[N]	[N-m]	[N-m]	[N-m]
00816	X	-	0	0	0	0	0	0
00816	Y	+	0	0	0	0	0	0
00816	Y	-	0	0	0	0	0	0
00817	X	+	0	0	0	0	0	0
00817	X	-	0	0	0	0	0	0
00817	Y	+	0	0	0	0	0	0
00817	Y	-	0	0	0	0	0	0
00818	X	+	0	0	0	0	0	0
00818	X	-	0	0	0	0	0	0
00818	Y	+	0	0	0	0	0	0
00818	Y	-	0	0	0	0	0	0
00819	X	+	0	0	0	0	0	0
00819	X	-	0	0	0	0	0	0
00819	Y	+	0	0	0	0	0	0
00819	Y	-	0	0	0	0	0	0
00820	X	+	0	0	0	0	0	0
00820	X	-	0	0	0	0	0	0
00820	Y	+	0	0	0	0	0	0
00820	Y	-	0	0	0	0	0	0
00821	X	+	0	0	0	0	0	0
00821	X	-	0	0	0	0	0	0
00821	Y	+	0	0	0	0	0	0
00821	Y	-	0	0	0	0	0	0
00822	X	+	0	0	0	0	0	0
00822	X	-	0	0	0	0	0	0
00822	Y	+	0	0	0	0	0	0
00822	Y	-	0	0	0	0	0	0
00823	X	+	0	0	0	0	0	0
00823	X	-	0	0	0	0	0	0
00823	Y	+	0	0	0	0	0	0
00823	Y	-	0	0	0	0	0	0
00824	X	+	0	0	0	0	0	0
00824	X	-	0	0	0	0	0	0
00824	Y	+	0	0	0	0	0	0
00824	Y	-	0	0	0	0	0	0
00825	X	+	0	0	0	0	0	0
00825	X	-	0	0	0	0	0	0
00825	Y	+	0	0	0	0	0	0
00825	Y	-	0	0	0	0	0	0
00826	X	+	0	0	0	0	0	0
00826	X	-	0	0	0	0	0	0
00826	Y	+	0	0	0	0	0	0
00826	Y	-	0	0	0	0	0	0
00827	X	+	0	0	0	0	0	0
00827	X	-	0	0	0	0	0	0
00827	Y	+	0	0	0	0	0	0
00827	Y	-	0	0	0	0	0	0
00828	X	+	0	0	0	0	0	0
00828	X	-	0	0	0	0	0	0
00828	Y	+	0	0	0	0	0	0
00828	Y	-	0	0	0	0	0	0
00829	X	+	0	0	0	0	0	0
00829	X	-	0	0	0	0	0	0
00829	Y	+	0	0	0	0	0	0
00829	Y	-	0	0	0	0	0	0
00830	X	+	0	0	0	0	0	0
00830	X	-	0	0	0	0	0	0
00830	Y	+	0	0	0	0	0	0
00830	Y	-	0	0	0	0	0	0
00831	X	+	0	0	0	0	0	0
00831	X	-	0	0	0	0	0	0
00831	Y	+	0	0	0	0	0	0
00831	Y	-	0	0	0	0	0	0
00832	X	+	0	0	0	0	0	0
00832	X	-	0	0	0	0	0	0
00832	Y	+	0	0	0	0	0	0
00832	Y	-	0	0	0	0	0	0

SASSARI EOLICA S.R.L.	PARCO EOLICO DI “SASSARI”	 <i>Ingegneria & Innovazione</i>		
	RELAZIONE DI CALCOLO PREDIMENSIONAMENTO DELLE FONDAZIONI WTG	26/05/2023	REV: 1	Pag.159

Nodi - Reazioni vincolari esterne per eccentricità accidentale									
Id _{Nd}	Dir	e	F _x	F _y	F _z	M _x	M _y	M _z	
			[N]	[N]	[N]	[N-m]	[N-m]	[N-m]	
00833	X	+	0	0	0	0	0	0	
00833	X	-	0	0	0	0	0	0	
00833	Y	+	0	0	0	0	0	0	
00833	Y	-	0	0	0	0	0	0	
00834	X	+	0	0	0	0	0	0	
00834	X	-	0	0	0	0	0	0	
00834	Y	+	0	0	0	0	0	0	
00834	Y	-	0	0	0	0	0	0	
00835	X	+	0	0	0	0	0	0	
00835	X	-	0	0	0	0	0	0	
00835	Y	+	0	0	0	0	0	0	
00835	Y	-	0	0	0	0	0	0	
00836	X	+	0	0	0	0	0	0	
00836	X	-	0	0	0	0	0	0	
00836	Y	+	0	0	0	0	0	0	
00836	Y	-	0	0	0	0	0	0	
00837	X	+	0	0	0	0	0	0	
00837	X	-	0	0	0	0	0	0	
00837	Y	+	0	0	0	0	0	0	
00837	Y	-	0	0	0	0	0	0	
00838	X	+	0	0	0	0	0	0	
00838	X	-	0	0	0	0	0	0	
00838	Y	+	0	0	0	0	0	0	
00838	Y	-	0	0	0	0	0	0	
00839	X	+	0	0	0	0	0	0	
00839	X	-	0	0	0	0	0	0	
00839	Y	+	0	0	0	0	0	0	
00839	Y	-	0	0	0	0	0	0	
00840	X	+	0	0	0	0	0	0	
00840	X	-	0	0	0	0	0	0	
00840	Y	+	0	0	0	0	0	0	
00840	Y	-	0	0	0	0	0	0	
00841	X	+	0	0	0	0	0	0	
00841	X	-	0	0	0	0	0	0	
00841	Y	+	0	0	0	0	0	0	
00841	Y	-	0	0	0	0	0	0	
00842	X	+	0	0	0	0	0	0	
00842	X	-	0	0	0	0	0	0	
00842	Y	+	0	0	0	0	0	0	
00842	Y	-	0	0	0	0	0	0	
00843	X	+	0	0	0	0	0	0	
00843	X	-	0	0	0	0	0	0	
00843	Y	+	0	0	0	0	0	0	
00843	Y	-	0	0	0	0	0	0	
00844	X	+	0	0	0	0	0	0	
00844	X	-	0	0	0	0	0	0	
00844	Y	+	0	0	0	0	0	0	
00844	Y	-	0	0	0	0	0	0	
00845	X	+	0	0	0	0	0	0	
00845	X	-	0	0	0	0	0	0	
00845	Y	+	0	0	0	0	0	0	
00845	Y	-	0	0	0	0	0	0	
00846	X	+	0	0	0	0	0	0	
00846	X	-	0	0	0	0	0	0	
00846	Y	+	0	0	0	0	0	0	
00846	Y	-	0	0	0	0	0	0	
00847	X	+	0	0	0	0	0	0	
00847	X	-	0	0	0	0	0	0	
00847	Y	+	0	0	0	0	0	0	
00847	Y	-	0	0	0	0	0	0	
00848	X	+	0	0	0	0	0	0	
00848	X	-	0	0	0	0	0	0	
00848	Y	+	0	0	0	0	0	0	
00848	Y	-	0	0	0	0	0	0	
00849	X	+	0	0	0	0	0	0	
00849	X	-	0	0	0	0	0	0	
00849	Y	+	0	0	0	0	0	0	

SASSARI EOLICA S.R.L.	PARCO EOLICO DI "SASSARI" RELAZIONE DI CALCOLO PREDIMENSIONAMENTO DELLE FONDAZIONI WTG	 Ingegneria & Innovazione		
		26/05/2023	REV: 1	Pag.160

Nodi - Reazioni vincolari esterne per eccentricità accidentale								
Id _{Nd}	Dir	e	F _x	F _y	F _z	M _x	M _y	M _z
			[N]	[N]	[N]	[N-m]	[N-m]	[N-m]
00849	Y	-	0	0	0	0	0	0
00850	X	+	0	0	0	0	0	0
00850	X	-	0	0	0	0	0	0
00850	Y	+	0	0	0	0	0	0
00850	Y	-	0	0	0	0	0	0
00851	X	+	0	0	0	0	0	0
00851	X	-	0	0	0	0	0	0
00851	Y	+	0	0	0	0	0	0
00851	Y	-	0	0	0	0	0	0
00852	X	+	0	0	0	0	0	0
00852	X	-	0	0	0	0	0	0
00852	Y	+	0	0	0	0	0	0
00852	Y	-	0	0	0	0	0	0
00853	X	+	0	0	0	0	0	0
00853	X	-	0	0	0	0	0	0
00853	Y	+	0	0	0	0	0	0
00853	Y	-	0	0	0	0	0	0
00854	X	+	0	0	0	0	0	0
00854	X	-	0	0	0	0	0	0
00854	Y	+	0	0	0	0	0	0
00854	Y	-	0	0	0	0	0	0
00855	X	+	0	0	0	0	0	0
00855	X	-	0	0	0	0	0	0
00855	Y	+	0	0	0	0	0	0
00855	Y	-	0	0	0	0	0	0
00856	X	+	0	0	0	0	0	0
00856	X	-	0	0	0	0	0	0
00856	Y	+	0	0	0	0	0	0
00856	Y	-	0	0	0	0	0	0
00857	X	+	0	0	0	0	0	0
00857	X	-	0	0	0	0	0	0
00857	Y	+	0	0	0	0	0	0
00857	Y	-	0	0	0	0	0	0
00858	X	+	0	0	0	0	0	0
00858	X	-	0	0	0	0	0	0
00858	Y	+	0	0	0	0	0	0
00858	Y	-	0	0	0	0	0	0
00859	X	+	0	0	0	0	0	0
00859	X	-	0	0	0	0	0	0
00859	Y	+	0	0	0	0	0	0
00859	Y	-	0	0	0	0	0	0
00860	X	+	0	0	0	0	0	0
00860	X	-	0	0	0	0	0	0
00860	Y	+	0	0	0	0	0	0
00860	Y	-	0	0	0	0	0	0
00861	X	+	0	0	0	0	0	0
00861	X	-	0	0	0	0	0	0
00861	Y	+	0	0	0	0	0	0
00861	Y	-	0	0	0	0	0	0
00862	X	+	0	0	0	0	0	0
00862	X	-	0	0	0	0	0	0
00862	Y	+	0	0	0	0	0	0
00862	Y	-	0	0	0	0	0	0
00863	X	+	0	0	0	0	0	0
00863	X	-	0	0	0	0	0	0
00863	Y	+	0	0	0	0	0	0
00863	Y	-	0	0	0	0	0	0
00864	X	+	0	0	0	0	0	0
00864	X	-	0	0	0	0	0	0
00864	Y	+	0	0	0	0	0	0
00864	Y	-	0	0	0	0	0	0
00865	X	+	0	0	0	0	0	0
00865	X	-	0	0	0	0	0	0
00865	Y	+	0	0	0	0	0	0
00865	Y	-	0	0	0	0	0	0
00866	X	+	0	0	0	0	0	0
00866	X	-	0	0	0	0	0	0


SASSARI EOLICA S.R.L.	PARCO EOLICO DI “SASSARI” RELAZIONE DI CALCOLO PREDIMENSIONAMENTO DELLE FONDAZIONI WTG	 <i>Ingegneria & Innovazione</i>		
		26/05/2023	REV: 1	Pag.161

Nodi - Reazioni vincolari esterne per eccentricità accidentale									
Id _{Nd}	Dir	e	F _x	F _y	F _z	M _x	M _y	M _z	
			[N]	[N]	[N]	[N-m]	[N-m]	[N-m]	
00866	Y	+	0	0	0	0	0	0	
00866	Y	-	0	0	0	0	0	0	
00867	X	+	0	0	0	0	0	0	
00867	X	-	0	0	0	0	0	0	
00867	Y	+	0	0	0	0	0	0	
00867	Y	-	0	0	0	0	0	0	
00868	X	+	0	0	0	0	0	0	
00868	X	-	0	0	0	0	0	0	
00868	Y	+	0	0	0	0	0	0	
00868	Y	-	0	0	0	0	0	0	
00869	X	+	0	0	0	0	0	0	
00869	X	-	0	0	0	0	0	0	
00869	Y	+	0	0	0	0	0	0	
00869	Y	-	0	0	0	0	0	0	
00870	X	+	0	0	0	0	0	0	
00870	X	-	0	0	0	0	0	0	
00870	Y	+	0	0	0	0	0	0	
00870	Y	-	0	0	0	0	0	0	
00871	X	+	0	0	0	0	0	0	
00871	X	-	0	0	0	0	0	0	
00871	Y	+	0	0	0	0	0	0	
00871	Y	-	0	0	0	0	0	0	
00872	X	+	0	0	0	0	0	0	
00872	X	-	0	0	0	0	0	0	
00872	Y	+	0	0	0	0	0	0	
00872	Y	-	0	0	0	0	0	0	
00873	X	+	0	0	0	0	0	0	
00873	X	-	0	0	0	0	0	0	
00873	Y	+	0	0	0	0	0	0	
00873	Y	-	0	0	0	0	0	0	
00874	X	+	0	0	0	0	0	0	
00874	X	-	0	0	0	0	0	0	
00874	Y	+	0	0	0	0	0	0	
00874	Y	-	0	0	0	0	0	0	
00875	X	+	0	0	0	0	0	0	
00875	X	-	0	0	0	0	0	0	
00875	Y	+	0	0	0	0	0	0	
00875	Y	-	0	0	0	0	0	0	
00876	X	+	0	0	0	0	0	0	
00876	X	-	0	0	0	0	0	0	
00876	Y	+	0	0	0	0	0	0	
00876	Y	-	0	0	0	0	0	0	
00877	X	+	0	0	0	0	0	0	
00877	X	-	0	0	0	0	0	0	
00877	Y	+	0	0	0	0	0	0	
00877	Y	-	0	0	0	0	0	0	
00878	X	+	0	0	0	0	0	0	
00878	X	-	0	0	0	0	0	0	
00878	Y	+	0	0	0	0	0	0	
00878	Y	-	0	0	0	0	0	0	
00879	X	+	0	0	0	0	0	0	
00879	X	-	0	0	0	0	0	0	
00879	Y	+	0	0	0	0	0	0	
00879	Y	-	0	0	0	0	0	0	
00880	X	+	0	0	0	0	0	0	
00880	X	-	0	0	0	0	0	0	
00880	Y	+	0	0	0	0	0	0	
00880	Y	-	0	0	0	0	0	0	
00881	X	+	0	0	0	0	0	0	
00881	X	-	0	0	0	0	0	0	
00881	Y	+	0	0	0	0	0	0	
00881	Y	-	0	0	0	0	0	0	
00882	X	+	0	0	0	0	0	0	
00882	X	-	0	0	0	0	0	0	
00882	Y	+	0	0	0	0	0	0	
00882	Y	-	0	0	0	0	0	0	
00883	X	+	0	0	0	0	0	0	

Il presente documento è di proprietà della ANTEX GROUP srl.
È Vietato la comunicazione a terzi o la riproduzione senza il permesso scritto della suddetta.
La società tutela i propri diritti a rigore di Legge.

Comm.: C21-002-S05



SASSARI EOLICA S.R.L.	PARCO EOLICO DI “SASSARI” RELAZIONE DI CALCOLO PREDIMENSIONAMENTO DELLE FONDAZIONI WTG	 <i>Ingegneria & Innovazione</i>		
		26/05/2023	REV: 1	Pag.162


Nodi - Reazioni vincolari esterne per eccentricità accidentale								
Id _{Nd}	Dir	e	F _x	F _y	F _z	M _x	M _y	M _z
			[N]	[N]	[N]	[N-m]	[N-m]	[N-m]
00883	X	-	0	0	0	0	0	0
00883	Y	+	0	0	0	0	0	0
00883	Y	-	0	0	0	0	0	0
00884	X	+	0	0	0	0	0	0
00884	X	-	0	0	0	0	0	0
00884	Y	+	0	0	0	0	0	0
00884	Y	-	0	0	0	0	0	0
00885	X	+	0	0	0	0	0	0
00885	X	-	0	0	0	0	0	0
00885	Y	+	0	0	0	0	0	0
00885	Y	-	0	0	0	0	0	0
00886	X	+	0	0	0	0	0	0
00886	X	-	0	0	0	0	0	0
00886	Y	+	0	0	0	0	0	0
00886	Y	-	0	0	0	0	0	0
00887	X	+	0	0	0	0	0	0
00887	X	-	0	0	0	0	0	0
00887	Y	+	0	0	0	0	0	0
00887	Y	-	0	0	0	0	0	0
00888	X	+	0	0	0	0	0	0
00888	X	-	0	0	0	0	0	0
00888	Y	+	0	0	0	0	0	0
00888	Y	-	0	0	0	0	0	0
00889	X	+	0	0	0	0	0	0
00889	X	-	0	0	0	0	0	0
00889	Y	+	0	0	0	0	0	0
00889	Y	-	0	0	0	0	0	0
00890	X	+	0	0	0	0	0	0
00890	X	-	0	0	0	0	0	0
00890	Y	+	0	0	0	0	0	0
00890	Y	-	0	0	0	0	0	0
00891	X	+	0	0	0	0	0	0
00891	X	-	0	0	0	0	0	0
00891	Y	+	0	0	0	0	0	0
00891	Y	-	0	0	0	0	0	0
00892	X	+	0	0	0	0	0	0
00892	X	-	0	0	0	0	0	0
00892	Y	+	0	0	0	0	0	0
00892	Y	-	0	0	0	0	0	0
00893	X	+	0	0	0	0	0	0
00893	X	-	0	0	0	0	0	0
00893	Y	+	0	0	0	0	0	0
00893	Y	-	0	0	0	0	0	0
00894	X	+	0	0	0	0	0	0
00894	X	-	0	0	0	0	0	0
00894	Y	+	0	0	0	0	0	0
00894	Y	-	0	0	0	0	0	0
00895	X	+	0	0	0	0	0	0
00895	X	-	0	0	0	0	0	0
00895	Y	+	0	0	0	0	0	0
00895	Y	-	0	0	0	0	0	0
00896	X	+	0	0	0	0	0	0
00896	X	-	0	0	0	0	0	0
00896	Y	+	0	0	0	0	0	0
00896	Y	-	0	0	0	0	0	0
00897	X	+	0	0	0	0	0	0
00897	X	-	0	0	0	0	0	0
00897	Y	+	0	0	0	0	0	0
00897	Y	-	0	0	0	0	0	0
00898	X	+	0	0	0	0	0	0
00898	X	-	0	0	0	0	0	0
00898	Y	+	0	0	0	0	0	0
00898	Y	-	0	0	0	0	0	0
00899	X	+	0	0	0	0	0	0
00899	X	-	0	0	0	0	0	0
00899	Y	+	0	0	0	0	0	0
00899	Y	-	0	0	0	0	0	0

Il presente documento è di proprietà della ANTEX GROUP srl.
È Vietato la comunicazione a terzi o la riproduzione senza il permesso scritto della suddetta.
La società tutela i propri diritti a rigore di Legge.

Comm.: C21-002-S05

ISO 9001
BUREAU VERITAS
Certification




SASSARI EOLICA S.R.L.	PARCO EOLICO DI “SASSARI” RELAZIONE DI CALCOLO PREDIMENSIONAMENTO DELLE FONDAZIONI WTG	 <i>Ingegneria & Innovazione</i>		
		26/05/2023	REV: 1	Pag.163

Nodi - Reazioni vincolari esterne per eccentricità accidentale									
Id _{Nd}	Dir	e	F _x	F _y	F _z	M _x	M _y	M _z	
			[N]	[N]	[N]	[N-m]	[N-m]	[N-m]	
00900	X	+	0	0	0	0	0	0	
00900	X	-	0	0	0	0	0	0	
00900	Y	+	0	0	0	0	0	0	
00900	Y	-	0	0	0	0	0	0	
00901	X	+	0	0	0	0	0	0	
00901	X	-	0	0	0	0	0	0	
00901	Y	+	0	0	0	0	0	0	
00901	Y	-	0	0	0	0	0	0	
00902	X	+	0	0	0	0	0	0	
00902	X	-	0	0	0	0	0	0	
00902	Y	+	0	0	0	0	0	0	
00902	Y	-	0	0	0	0	0	0	
00903	X	+	0	0	0	0	0	0	
00903	X	-	0	0	0	0	0	0	
00903	Y	+	0	0	0	0	0	0	
00903	Y	-	0	0	0	0	0	0	
00904	X	+	0	0	0	0	0	0	
00904	X	-	0	0	0	0	0	0	
00904	Y	+	0	0	0	0	0	0	
00904	Y	-	0	0	0	0	0	0	
00905	X	+	0	0	0	0	0	0	
00905	X	-	0	0	0	0	0	0	
00905	Y	+	0	0	0	0	0	0	
00905	Y	-	0	0	0	0	0	0	
00906	X	+	0	0	0	0	0	0	
00906	X	-	0	0	0	0	0	0	
00906	Y	+	0	0	0	0	0	0	
00906	Y	-	0	0	0	0	0	0	
00907	X	+	0	0	0	0	0	0	
00907	X	-	0	0	0	0	0	0	
00907	Y	+	0	0	0	0	0	0	
00907	Y	-	0	0	0	0	0	0	
00908	X	+	0	0	0	0	0	0	
00908	X	-	0	0	0	0	0	0	
00908	Y	+	0	0	0	0	0	0	
00908	Y	-	0	0	0	0	0	0	
00909	X	+	0	0	0	0	0	0	
00909	X	-	0	0	0	0	0	0	
00909	Y	+	0	0	0	0	0	0	
00909	Y	-	0	0	0	0	0	0	
00910	X	+	0	0	0	0	0	0	
00910	X	-	0	0	0	0	0	0	
00910	Y	+	0	0	0	0	0	0	
00910	Y	-	0	0	0	0	0	0	
00911	X	+	0	0	0	0	0	0	
00911	X	-	0	0	0	0	0	0	
00911	Y	+	0	0	0	0	0	0	
00911	Y	-	0	0	0	0	0	0	
00912	X	+	0	0	0	0	0	0	
00912	X	-	0	0	0	0	0	0	
00912	Y	+	0	0	0	0	0	0	
00912	Y	-	0	0	0	0	0	0	
00913	X	+	0	0	0	0	0	0	
00913	X	-	0	0	0	0	0	0	
00913	Y	+	0	0	0	0	0	0	
00913	Y	-	0	0	0	0	0	0	
00914	X	+	0	0	0	0	0	0	
00914	X	-	0	0	0	0	0	0	
00914	Y	+	0	0	0	0	0	0	
00914	Y	-	0	0	0	0	0	0	
00915	X	+	0	0	0	0	0	0	
00915	X	-	0	0	0	0	0	0	
00915	Y	+	0	0	0	0	0	0	
00915	Y	-	0	0	0	0	0	0	
00916	X	+	0	0	0	0	0	0	
00916	X	-	0	0	0	0	0	0	
00916	Y	+	0	0	0	0	0	0	

Il presente documento è di proprietà della ANTEX GROUP srl.
È Vietato la comunicazione a terzi o la riproduzione senza il permesso scritto della suddetta.
La società tutela i propri diritti a rigore di Legge.

Comm.: C21-002-S05




SASSARI EOLICA S.R.L.	PARCO EOLICO DI “SASSARI” RELAZIONE DI CALCOLO PREDIMENSIONAMENTO DELLE FONDAZIONI WTG	 <i>Ingegneria & Innovazione</i>		
		26/05/2023	REV: 1	Pag.164

Nodi - Reazioni vincolari esterne per eccentricità accidentale								
Id _{Nd}	Dir	e	F _x	F _y	F _z	M _x	M _y	M _z
			[N]	[N]	[N]	[N-m]	[N-m]	[N-m]
00916	Y	-	0	0	0	0	0	0
00917	X	+	0	0	0	0	0	0
00917	X	-	0	0	0	0	0	0
00917	Y	+	0	0	0	0	0	0
00917	Y	-	0	0	0	0	0	0
00918	X	+	0	0	0	0	0	0
00918	X	-	0	0	0	0	0	0
00918	Y	+	0	0	0	0	0	0
00918	Y	-	0	0	0	0	0	0
00919	X	+	0	0	0	0	0	0
00919	X	-	0	0	0	0	0	0
00919	Y	+	0	0	0	0	0	0
00919	Y	-	0	0	0	0	0	0
00920	X	+	0	0	0	0	0	0
00920	X	-	0	0	0	0	0	0
00920	Y	+	0	0	0	0	0	0
00920	Y	-	0	0	0	0	0	0
00921	X	+	0	0	0	0	0	0
00921	X	-	0	0	0	0	0	0
00921	Y	+	0	0	0	0	0	0
00921	Y	-	0	0	0	0	0	0
00922	X	+	0	0	0	0	0	0
00922	X	-	0	0	0	0	0	0
00922	Y	+	0	0	0	0	0	0
00922	Y	-	0	0	0	0	0	0
00923	X	+	0	0	0	0	0	0
00923	X	-	0	0	0	0	0	0
00923	Y	+	0	0	0	0	0	0
00923	Y	-	0	0	0	0	0	0
00924	X	+	0	0	0	0	0	0
00924	X	-	0	0	0	0	0	0
00924	Y	+	0	0	0	0	0	0
00924	Y	-	0	0	0	0	0	0
00925	X	+	0	0	0	0	0	0
00925	X	-	0	0	0	0	0	0
00925	Y	+	0	0	0	0	0	0
00925	Y	-	0	0	0	0	0	0
00926	X	+	0	0	0	0	0	0
00926	X	-	0	0	0	0	0	0
00926	Y	+	0	0	0	0	0	0
00926	Y	-	0	0	0	0	0	0
00927	X	+	0	0	0	0	0	0
00927	X	-	0	0	0	0	0	0
00927	Y	+	0	0	0	0	0	0
00927	Y	-	0	0	0	0	0	0
00928	X	+	0	0	0	0	0	0
00928	X	-	0	0	0	0	0	0
00928	Y	+	0	0	0	0	0	0
00928	Y	-	0	0	0	0	0	0
00929	X	+	0	0	0	0	0	0
00929	X	-	0	0	0	0	0	0
00929	Y	+	0	0	0	0	0	0
00929	Y	-	0	0	0	0	0	0
00930	X	+	0	0	0	0	0	0
00930	X	-	0	0	0	0	0	0
00930	Y	+	0	0	0	0	0	0
00930	Y	-	0	0	0	0	0	0
00931	X	+	0	0	0	0	0	0
00931	X	-	0	0	0	0	0	0
00931	Y	+	0	0	0	0	0	0
00931	Y	-	0	0	0	0	0	0
00932	X	+	0	0	0	0	0	0
00932	X	-	0	0	0	0	0	0
00932	Y	+	0	0	0	0	0	0
00932	Y	-	0	0	0	0	0	0
00933	X	+	0	0	0	0	0	0
00933	X	-	0	0	0	0	0	0

Il presente documento è di proprietà della ANTEX GROUP srl.
È Vietato la comunicazione a terzi o la riproduzione senza il permesso scritto della suddetta.
La società tutela i propri diritti a rigore di Legge.

Comm.: C21-002-S05




SASSARI EOLICA S.R.L.	PARCO EOLICO DI “SASSARI” RELAZIONE DI CALCOLO PREDIMENSIONAMENTO DELLE FONDAZIONI WTG	 <i>Ingegneria & Innovazione</i>		
		26/05/2023	REV: 1	Pag.165

Nodi - Reazioni vincolari esterne per eccentricità accidentale									
Id _{Nd}	Dir	e	F _x	F _y	F _z	M _x	M _y	M _z	
			[N]	[N]	[N]	[N-m]	[N-m]	[N-m]	
00933	Y	+	0	0	0	0	0	0	
00933	Y	-	0	0	0	0	0	0	
00934	X	+	0	0	0	0	0	0	
00934	X	-	0	0	0	0	0	0	
00934	Y	+	0	0	0	0	0	0	
00934	Y	-	0	0	0	0	0	0	
00935	X	+	0	0	0	0	0	0	
00935	X	-	0	0	0	0	0	0	
00935	Y	+	0	0	0	0	0	0	
00935	Y	-	0	0	0	0	0	0	
00936	X	+	0	0	0	0	0	0	
00936	X	-	0	0	0	0	0	0	
00936	Y	+	0	0	0	0	0	0	
00936	Y	-	0	0	0	0	0	0	
00937	X	+	0	0	0	0	0	0	
00937	X	-	0	0	0	0	0	0	
00937	Y	+	0	0	0	0	0	0	
00937	Y	-	0	0	0	0	0	0	
00938	X	+	0	0	0	0	0	0	
00938	X	-	0	0	0	0	0	0	
00938	Y	+	0	0	0	0	0	0	
00938	Y	-	0	0	0	0	0	0	
00939	X	+	0	0	0	0	0	0	
00939	X	-	0	0	0	0	0	0	
00939	Y	+	0	0	0	0	0	0	
00939	Y	-	0	0	0	0	0	0	
00940	X	+	0	0	0	0	0	0	
00940	X	-	0	0	0	0	0	0	
00940	Y	+	0	0	0	0	0	0	
00940	Y	-	0	0	0	0	0	0	
00941	X	+	0	0	0	0	0	0	
00941	X	-	0	0	0	0	0	0	
00941	Y	+	0	0	0	0	0	0	
00941	Y	-	0	0	0	0	0	0	
00942	X	+	0	0	0	0	0	0	
00942	X	-	0	0	0	0	0	0	
00942	Y	+	0	0	0	0	0	0	
00942	Y	-	0	0	0	0	0	0	
00943	X	+	0	0	0	0	0	0	
00943	X	-	0	0	0	0	0	0	
00943	Y	+	0	0	0	0	0	0	
00943	Y	-	0	0	0	0	0	0	
00944	X	+	0	0	0	0	0	0	
00944	X	-	0	0	0	0	0	0	
00944	Y	+	0	0	0	0	0	0	
00944	Y	-	0	0	0	0	0	0	
00945	X	+	0	0	0	0	0	0	
00945	X	-	0	0	0	0	0	0	
00945	Y	+	0	0	0	0	0	0	
00945	Y	-	0	0	0	0	0	0	
00946	X	+	0	0	0	0	0	0	
00946	X	-	0	0	0	0	0	0	
00946	Y	+	0	0	0	0	0	0	
00946	Y	-	0	0	0	0	0	0	
00947	X	+	0	0	0	0	0	0	
00947	X	-	0	0	0	0	0	0	
00947	Y	+	0	0	0	0	0	0	
00947	Y	-	0	0	0	0	0	0	
00948	X	+	0	0	0	0	0	0	
00948	X	-	0	0	0	0	0	0	
00948	Y	+	0	0	0	0	0	0	
00948	Y	-	0	0	0	0	0	0	
00949	X	+	0	0	0	0	0	0	
00949	X	-	0	0	0	0	0	0	
00949	Y	+	0	0	0	0	0	0	
00949	Y	-	0	0	0	0	0	0	
00950	X	+	0	0	0	0	0	0	

Il presente documento è di proprietà della ANTEX GROUP srl.
È Vietato la comunicazione a terzi o la riproduzione senza il permesso scritto della suddetta.
La società tutela i propri diritti a rigore di Legge.

Comm.: C21-002-S05




SASSARI EOLICA S.R.L.	PARCO EOLICO DI “SASSARI” RELAZIONE DI CALCOLO PREDIMENSIONAMENTO DELLE FONDAZIONI WTG	 <i>Ingegneria & Innovazione</i>		
		26/05/2023	REV: 1	Pag.166

Nodi - Reazioni vincolari esterne per eccentricità accidentale								
Id _{Nd}	Dir	e	F _x	F _y	F _z	M _x	M _y	M _z
			[N]	[N]	[N]	[N-m]	[N-m]	[N-m]
00950	X	-	0	0	0	0	0	0
00950	Y	+	0	0	0	0	0	0
00950	Y	-	0	0	0	0	0	0
00951	X	+	0	0	0	0	0	0
00951	X	-	0	0	0	0	0	0
00951	Y	+	0	0	0	0	0	0
00951	Y	-	0	0	0	0	0	0
00952	X	+	0	0	0	0	0	0
00952	X	-	0	0	0	0	0	0
00952	Y	+	0	0	0	0	0	0
00952	Y	-	0	0	0	0	0	0
00953	X	+	0	0	0	0	0	0
00953	X	-	0	0	0	0	0	0
00953	Y	+	0	0	0	0	0	0
00953	Y	-	0	0	0	0	0	0
00954	X	+	0	0	0	0	0	0
00954	X	-	0	0	0	0	0	0
00954	Y	+	0	0	0	0	0	0
00954	Y	-	0	0	0	0	0	0
00955	X	+	0	0	0	0	0	0
00955	X	-	0	0	0	0	0	0
00955	Y	+	0	0	0	0	0	0
00955	Y	-	0	0	0	0	0	0
00956	X	+	0	0	0	0	0	0
00956	X	-	0	0	0	0	0	0
00956	Y	+	0	0	0	0	0	0
00956	Y	-	0	0	0	0	0	0
00957	X	+	0	0	0	0	0	0
00957	X	-	0	0	0	0	0	0
00957	Y	+	0	0	0	0	0	0
00957	Y	-	0	0	0	0	0	0
00958	X	+	0	0	0	0	0	0
00958	X	-	0	0	0	0	0	0
00958	Y	+	0	0	0	0	0	0
00958	Y	-	0	0	0	0	0	0
00959	X	+	0	0	0	0	0	0
00959	X	-	0	0	0	0	0	0
00959	Y	+	0	0	0	0	0	0
00959	Y	-	0	0	0	0	0	0
00960	X	+	0	0	0	0	0	0
00960	X	-	0	0	0	0	0	0
00960	Y	+	0	0	0	0	0	0
00960	Y	-	0	0	0	0	0	0
00961	X	+	0	0	0	0	0	0
00961	X	-	0	0	0	0	0	0
00961	Y	+	0	0	0	0	0	0
00961	Y	-	0	0	0	0	0	0
00962	X	+	0	0	0	0	0	0
00962	X	-	0	0	0	0	0	0
00962	Y	+	0	0	0	0	0	0
00962	Y	-	0	0	0	0	0	0
00963	X	+	0	0	0	0	0	0
00963	X	-	0	0	0	0	0	0
00963	Y	+	0	0	0	0	0	0
00963	Y	-	0	0	0	0	0	0
00964	X	+	0	0	0	0	0	0
00964	X	-	0	0	0	0	0	0
00964	Y	+	0	0	0	0	0	0
00964	Y	-	0	0	0	0	0	0
00965	X	+	0	0	0	0	0	0
00965	X	-	0	0	0	0	0	0
00965	Y	+	0	0	0	0	0	0
00965	Y	-	0	0	0	0	0	0
00966	X	+	0	0	0	0	0	0
00966	X	-	0	0	0	0	0	0
00966	Y	+	0	0	0	0	0	0
00966	Y	-	0	0	0	0	0	0

Il presente documento è di proprietà della ANTEX GROUP srl.
È Vietato la comunicazione a terzi o la riproduzione senza il permesso scritto della suddetta.
La società tutela i propri diritti a rigore di Legge.

Comm.: C21-002-S05




SASSARI EOLICA S.R.L.	PARCO EOLICO DI "SASSARI" RELAZIONE DI CALCOLO PREDIMENSIONAMENTO DELLE FONDAZIONI WTG		 Ingegneria & Innovazione		
			26/05/2023	REV: 1	Pag.167

Nodi - Reazioni vincolari esterne per eccentricità accidentale								
Id _{Nd}	Dir	e	F _x	F _y	F _z	M _x	M _y	M _z
			[N]	[N]	[N]	[N-m]	[N-m]	[N-m]
00967	X	+	0	0	0	0	0	0
00967	X	-	0	0	0	0	0	0
00967	Y	+	0	0	0	0	0	0
00967	Y	-	0	0	0	0	0	0
00968	X	+	0	0	0	0	0	0
00968	X	-	0	0	0	0	0	0
00968	Y	+	0	0	0	0	0	0
00968	Y	-	0	0	0	0	0	0
00969	X	+	0	0	0	0	0	0
00969	X	-	0	0	0	0	0	0
00969	Y	+	0	0	0	0	0	0
00969	Y	-	0	0	0	0	0	0
00970	X	+	0	0	0	0	0	0
00970	X	-	0	0	0	0	0	0
00970	Y	+	0	0	0	0	0	0
00970	Y	-	0	0	0	0	0	0
00971	X	+	0	0	0	0	0	0
00971	X	-	0	0	0	0	0	0
00971	Y	+	0	0	0	0	0	0
00971	Y	-	0	0	0	0	0	0
00972	X	+	0	0	0	0	0	0
00972	X	-	0	0	0	0	0	0
00972	Y	+	0	0	0	0	0	0
00972	Y	-	0	0	0	0	0	0
00973	X	+	0	0	0	0	0	0
00973	X	-	0	0	0	0	0	0
00973	Y	+	0	0	0	0	0	0
00973	Y	-	0	0	0	0	0	0
00974	X	+	0	0	0	0	0	0
00974	X	-	0	0	0	0	0	0
00974	Y	+	0	0	0	0	0	0
00974	Y	-	0	0	0	0	0	0
00975	X	+	0	0	0	0	0	0
00975	X	-	0	0	0	0	0	0
00975	Y	+	0	0	0	0	0	0
00975	Y	-	0	0	0	0	0	0
00976	X	+	0	0	0	0	0	0
00976	X	-	0	0	0	0	0	0
00976	Y	+	0	0	0	0	0	0
00976	Y	-	0	0	0	0	0	0
00977	X	+	0	0	0	0	0	0
00977	X	-	0	0	0	0	0	0
00977	Y	+	0	0	0	0	0	0
00977	Y	-	0	0	0	0	0	0
00978	X	+	0	0	0	0	0	0
00978	X	-	0	0	0	0	0	0
00978	Y	+	0	0	0	0	0	0
00978	Y	-	0	0	0	0	0	0
00979	X	+	0	0	0	0	0	0
00979	X	-	0	0	0	0	0	0
00979	Y	+	0	0	0	0	0	0
00979	Y	-	0	0	0	0	0	0
00980	X	+	0	0	0	0	0	0
00980	X	-	0	0	0	0	0	0
00980	Y	+	0	0	0	0	0	0
00980	Y	-	0	0	0	0	0	0
00981	X	+	0	0	0	0	0	0
00981	X	-	0	0	0	0	0	0
00981	Y	+	0	0	0	0	0	0
00981	Y	-	0	0	0	0	0	0
00982	X	+	0	0	0	0	0	0
00982	X	-	0	0	0	0	0	0
00982	Y	+	0	0	0	0	0	0
00982	Y	-	0	0	0	0	0	0
00983	X	+	0	0	0	0	0	0
00983	X	-	0	0	0	0	0	0
00983	Y	+	0	0	0	0	0	0

Il presente documento è di proprietà della ANTEX GROUP srl.
 È Vietato la comunicazione a terzi o la riproduzione senza il permesso scritto della suddetta.
 La società tutela i propri diritti a rigore di Legge.

Comm.: C21-002-S05




SASSARI EOLICA S.R.L.	PARCO EOLICO DI "SASSARI" RELAZIONE DI CALCOLO PREDIMENSIONAMENTO DELLE FONDAZIONI WTG	 Ingegneria & Innovazione		
		26/05/2023	REV: 1	Pag.168

Nodi - Reazioni vincolari esterne per eccentricità accidentale								
Id _{Nd}	Dir	e	F _x	F _y	F _z	M _x	M _y	M _z
			[N]	[N]	[N]	[N-m]	[N-m]	[N-m]
00983	Y	-	0	0	0	0	0	0
00984	X	+	0	0	0	0	0	0
00984	X	-	0	0	0	0	0	0
00984	Y	+	0	0	0	0	0	0
00984	Y	-	0	0	0	0	0	0
00985	X	+	0	0	0	0	0	0
00985	X	-	0	0	0	0	0	0
00985	Y	+	0	0	0	0	0	0
00985	Y	-	0	0	0	0	0	0
00986	X	+	0	0	0	0	0	0
00986	X	-	0	0	0	0	0	0
00986	Y	+	0	0	0	0	0	0
00986	Y	-	0	0	0	0	0	0
00987	X	+	0	0	0	0	0	0
00987	X	-	0	0	0	0	0	0
00987	Y	+	0	0	0	0	0	0
00987	Y	-	0	0	0	0	0	0
00988	X	+	0	0	0	0	0	0
00988	X	-	0	0	0	0	0	0
00988	Y	+	0	0	0	0	0	0
00988	Y	-	0	0	0	0	0	0
00989	X	+	0	0	0	0	0	0
00989	X	-	0	0	0	0	0	0
00989	Y	+	0	0	0	0	0	0
00989	Y	-	0	0	0	0	0	0
00990	X	+	0	0	0	0	0	0
00990	X	-	0	0	0	0	0	0
00990	Y	+	0	0	0	0	0	0
00990	Y	-	0	0	0	0	0	0
00991	X	+	0	0	0	0	0	0
00991	X	-	0	0	0	0	0	0
00991	Y	+	0	0	0	0	0	0
00991	Y	-	0	0	0	0	0	0
00992	X	+	0	0	0	0	0	0
00992	X	-	0	0	0	0	0	0
00992	Y	+	0	0	0	0	0	0
00992	Y	-	0	0	0	0	0	0
00993	X	+	0	0	0	0	0	0
00993	X	-	0	0	0	0	0	0
00993	Y	+	0	0	0	0	0	0
00993	Y	-	0	0	0	0	0	0
00994	X	+	0	0	0	0	0	0
00994	X	-	0	0	0	0	0	0
00994	Y	+	0	0	0	0	0	0
00994	Y	-	0	0	0	0	0	0
00995	X	+	0	0	0	0	0	0
00995	X	-	0	0	0	0	0	0
00995	Y	+	0	0	0	0	0	0
00995	Y	-	0	0	0	0	0	0
00996	X	+	0	0	0	0	0	0
00996	X	-	0	0	0	0	0	0
00996	Y	+	0	0	0	0	0	0
00996	Y	-	0	0	0	0	0	0
00997	X	+	0	0	0	0	0	0
00997	X	-	0	0	0	0	0	0
00997	Y	+	0	0	0	0	0	0
00997	Y	-	0	0	0	0	0	0
00998	X	+	0	0	0	0	0	0
00998	X	-	0	0	0	0	0	0
00998	Y	+	0	0	0	0	0	0
00998	Y	-	0	0	0	0	0	0
00999	X	+	0	0	0	0	0	0
00999	X	-	0	0	0	0	0	0
00999	Y	+	0	0	0	0	0	0
00999	Y	-	0	0	0	0	0	0
01000	X	+	0	0	0	0	0	0
01000	X	-	0	0	0	0	0	0

Il presente documento è di proprietà della ANTEX GROUP srl.
 È Vietato la comunicazione a terzi o la riproduzione senza il permesso scritto della suddetta.
 La società tutela i propri diritti a rigore di Legge.

Comm.: C21-002-S05




SASSARI EOLICA S.R.L.	PARCO EOLICO DI “SASSARI” RELAZIONE DI CALCOLO PREDIMENSIONAMENTO DELLE FONDAZIONI WTG	 <i>Ingegneria & Innovazione</i>		
		26/05/2023	REV: 1	Pag.169

Nodi - Reazioni vincolari esterne per eccentricità accidentale									
Id _{Nd}	Dir	e	F _x	F _y	F _z	M _x	M _y	M _z	
			[N]	[N]	[N]	[N-m]	[N-m]	[N-m]	
01000	Y	+	0	0	0	0	0	0	
01000	Y	-	0	0	0	0	0	0	
01001	X	+	0	0	0	0	0	0	
01001	X	-	0	0	0	0	0	0	
01001	Y	+	0	0	0	0	0	0	
01001	Y	-	0	0	0	0	0	0	
01002	X	+	0	0	0	0	0	0	
01002	X	-	0	0	0	0	0	0	
01002	Y	+	0	0	0	0	0	0	
01002	Y	-	0	0	0	0	0	0	
01003	X	+	0	0	0	0	0	0	
01003	X	-	0	0	0	0	0	0	
01003	Y	+	0	0	0	0	0	0	
01003	Y	-	0	0	0	0	0	0	
01004	X	+	0	0	0	0	0	0	
01004	X	-	0	0	0	0	0	0	
01004	Y	+	0	0	0	0	0	0	
01004	Y	-	0	0	0	0	0	0	
01005	X	+	0	0	0	0	0	0	
01005	X	-	0	0	0	0	0	0	
01005	Y	+	0	0	0	0	0	0	
01005	Y	-	0	0	0	0	0	0	
01006	X	+	0	0	0	0	0	0	
01006	X	-	0	0	0	0	0	0	
01006	Y	+	0	0	0	0	0	0	
01006	Y	-	0	0	0	0	0	0	
01007	X	+	0	0	0	0	0	0	
01007	X	-	0	0	0	0	0	0	
01007	Y	+	0	0	0	0	0	0	
01007	Y	-	0	0	0	0	0	0	
01008	X	+	0	0	0	0	0	0	
01008	X	-	0	0	0	0	0	0	
01008	Y	+	0	0	0	0	0	0	
01008	Y	-	0	0	0	0	0	0	
01009	X	+	0	0	0	0	0	0	
01009	X	-	0	0	0	0	0	0	
01009	Y	+	0	0	0	0	0	0	
01009	Y	-	0	0	0	0	0	0	
01010	X	+	0	0	0	0	0	0	
01010	X	-	0	0	0	0	0	0	
01010	Y	+	0	0	0	0	0	0	
01010	Y	-	0	0	0	0	0	0	
01011	X	+	0	0	0	0	0	0	
01011	X	-	0	0	0	0	0	0	
01011	Y	+	0	0	0	0	0	0	
01011	Y	-	0	0	0	0	0	0	
01012	X	+	0	0	0	0	0	0	
01012	X	-	0	0	0	0	0	0	
01012	Y	+	0	0	0	0	0	0	
01012	Y	-	0	0	0	0	0	0	
01013	X	+	0	0	0	0	0	0	
01013	X	-	0	0	0	0	0	0	
01013	Y	+	0	0	0	0	0	0	
01013	Y	-	0	0	0	0	0	0	
01014	X	+	0	0	0	0	0	0	
01014	X	-	0	0	0	0	0	0	
01014	Y	+	0	0	0	0	0	0	
01014	Y	-	0	0	0	0	0	0	
01015	X	+	0	0	0	0	0	0	
01015	X	-	0	0	0	0	0	0	
01015	Y	+	0	0	0	0	0	0	
01015	Y	-	0	0	0	0	0	0	
01016	X	+	0	0	0	0	0	0	
01016	X	-	0	0	0	0	0	0	
01016	Y	+	0	0	0	0	0	0	
01016	Y	-	0	0	0	0	0	0	
01017	X	+	0	0	0	0	0	0	

Il presente documento è di proprietà della ANTEX GROUP srl.
È Vietato la comunicazione a terzi o la riproduzione senza il permesso scritto della suddetta.
La società tutela i propri diritti a rigore di Legge.

Comm.: C21-002-S05




SASSARI EOLICA S.R.L.	PARCO EOLICO DI “SASSARI” RELAZIONE DI CALCOLO PREDIMENSIONAMENTO DELLE FONDAZIONI WTG	 <i>Ingegneria & Innovazione</i>		
		26/05/2023	REV: 1	Pag.170

Nodi - Reazioni vincolari esterne per eccentricità accidentale								
Id _{Nd}	Dir	e	F _x	F _y	F _z	M _x	M _y	M _z
			[N]	[N]	[N]	[N-m]	[N-m]	[N-m]
01017	X	-	0	0	0	0	0	0
01017	Y	+	0	0	0	0	0	0
01017	Y	-	0	0	0	0	0	0
01018	X	+	0	0	0	0	0	0
01018	X	-	0	0	0	0	0	0
01018	Y	+	0	0	0	0	0	0
01018	Y	-	0	0	0	0	0	0
01019	X	+	0	0	0	0	0	0
01019	X	-	0	0	0	0	0	0
01019	Y	+	0	0	0	0	0	0
01019	Y	-	0	0	0	0	0	0
01020	X	+	0	0	0	0	0	0
01020	X	-	0	0	0	0	0	0
01020	Y	+	0	0	0	0	0	0
01020	Y	-	0	0	0	0	0	0
01021	X	+	0	0	0	0	0	0
01021	X	-	0	0	0	0	0	0
01021	Y	+	0	0	0	0	0	0
01021	Y	-	0	0	0	0	0	0
01022	X	+	0	0	0	0	0	0
01022	X	-	0	0	0	0	0	0
01022	Y	+	0	0	0	0	0	0
01022	Y	-	0	0	0	0	0	0
01023	X	+	0	0	0	0	0	0
01023	X	-	0	0	0	0	0	0
01023	Y	+	0	0	0	0	0	0
01023	Y	-	0	0	0	0	0	0
01024	X	+	0	0	0	0	0	0
01024	X	-	0	0	0	0	0	0
01024	Y	+	0	0	0	0	0	0
01024	Y	-	0	0	0	0	0	0
01025	X	+	0	0	0	0	0	0
01025	X	-	0	0	0	0	0	0
01025	Y	+	0	0	0	0	0	0
01025	Y	-	0	0	0	0	0	0
01026	X	+	0	0	0	0	0	0
01026	X	-	0	0	0	0	0	0
01026	Y	+	0	0	0	0	0	0
01026	Y	-	0	0	0	0	0	0
01027	X	+	0	0	0	0	0	0
01027	X	-	0	0	0	0	0	0
01027	Y	+	0	0	0	0	0	0
01027	Y	-	0	0	0	0	0	0
01028	X	+	0	0	0	0	0	0
01028	X	-	0	0	0	0	0	0
01028	Y	+	0	0	0	0	0	0
01028	Y	-	0	0	0	0	0	0
01029	X	+	0	0	0	0	0	0
01029	X	-	0	0	0	0	0	0
01029	Y	+	0	0	0	0	0	0
01029	Y	-	0	0	0	0	0	0
01030	X	+	0	0	0	0	0	0
01030	X	-	0	0	0	0	0	0
01030	Y	+	0	0	0	0	0	0
01030	Y	-	0	0	0	0	0	0
01031	X	+	0	0	0	0	0	0
01031	X	-	0	0	0	0	0	0
01031	Y	+	0	0	0	0	0	0
01031	Y	-	0	0	0	0	0	0
01032	X	+	0	0	0	0	0	0
01032	X	-	0	0	0	0	0	0
01032	Y	+	0	0	0	0	0	0
01032	Y	-	0	0	0	0	0	0
01033	X	+	0	0	0	0	0	0
01033	X	-	0	0	0	0	0	0
01033	Y	+	0	0	0	0	0	0
01033	Y	-	0	0	0	0	0	0

Il presente documento è di proprietà della ANTEX GROUP srl.
È Vietato la comunicazione a terzi o la riproduzione senza il permesso scritto della suddetta.
La società tutela i propri diritti a rigore di Legge.

Comm.: C21-002-S05




SASSARI EOLICA S.R.L.	PARCO EOLICO DI “SASSARI” RELAZIONE DI CALCOLO PREDIMENSIONAMENTO DELLE FONDAZIONI WTG	 <i>Ingegneria & Innovazione</i>		
		26/05/2023	REV: 1	Pag.171

Nodi - Reazioni vincolari esterne per eccentricità accidentale								
Id _{Nd}	Dir	e	F _x	F _y	F _z	M _x	M _y	M _z
			[N]	[N]	[N]	[N-m]	[N-m]	[N-m]
01034	X	+	0	0	0	0	0	0
01034	X	-	0	0	0	0	0	0
01034	Y	+	0	0	0	0	0	0
01034	Y	-	0	0	0	0	0	0
01035	X	+	0	0	0	0	0	0
01035	X	-	0	0	0	0	0	0
01035	Y	+	0	0	0	0	0	0
01035	Y	-	0	0	0	0	0	0
01036	X	+	0	0	0	0	0	0
01036	X	-	0	0	0	0	0	0
01036	Y	+	0	0	0	0	0	0
01036	Y	-	0	0	0	0	0	0
01037	X	+	0	0	0	0	0	0
01037	X	-	0	0	0	0	0	0
01037	Y	+	0	0	0	0	0	0
01037	Y	-	0	0	0	0	0	0
01038	X	+	0	0	0	0	0	0
01038	X	-	0	0	0	0	0	0
01038	Y	+	0	0	0	0	0	0
01038	Y	-	0	0	0	0	0	0
01039	X	+	0	0	0	0	0	0
01039	X	-	0	0	0	0	0	0
01039	Y	+	0	0	0	0	0	0
01039	Y	-	0	0	0	0	0	0
01040	X	+	0	0	0	0	0	0
01040	X	-	0	0	0	0	0	0
01040	Y	+	0	0	0	0	0	0
01040	Y	-	0	0	0	0	0	0
01041	X	+	0	0	0	0	0	0
01041	X	-	0	0	0	0	0	0
01041	Y	+	0	0	0	0	0	0
01041	Y	-	0	0	0	0	0	0
01042	X	+	0	0	0	0	0	0
01042	X	-	0	0	0	0	0	0
01042	Y	+	0	0	0	0	0	0
01042	Y	-	0	0	0	0	0	0
01043	X	+	0	0	0	0	0	0
01043	X	-	0	0	0	0	0	0
01043	Y	+	0	0	0	0	0	0
01043	Y	-	0	0	0	0	0	0
01044	X	+	0	0	0	0	0	0
01044	X	-	0	0	0	0	0	0
01044	Y	+	0	0	0	0	0	0
01044	Y	-	0	0	0	0	0	0
01045	X	+	0	0	0	0	0	0
01045	X	-	0	0	0	0	0	0
01045	Y	+	0	0	0	0	0	0
01045	Y	-	0	0	0	0	0	0
01046	X	+	0	0	0	0	0	0
01046	X	-	0	0	0	0	0	0
01046	Y	+	0	0	0	0	0	0
01046	Y	-	0	0	0	0	0	0
01047	X	+	0	0	0	0	0	0
01047	X	-	0	0	0	0	0	0
01047	Y	+	0	0	0	0	0	0
01047	Y	-	0	0	0	0	0	0
01048	X	+	0	0	0	0	0	0
01048	X	-	0	0	0	0	0	0
01048	Y	+	0	0	0	0	0	0
01048	Y	-	0	0	0	0	0	0
01049	X	+	0	0	0	0	0	0
01049	X	-	0	0	0	0	0	0
01049	Y	+	0	0	0	0	0	0
01049	Y	-	0	0	0	0	0	0
01050	X	+	0	0	0	0	0	0
01050	X	-	0	0	0	0	0	0
01050	Y	+	0	0	0	0	0	0

Il presente documento è di proprietà della ANTEX GROUP srl.
È Vietato la comunicazione a terzi o la riproduzione senza il permesso scritto della suddetta.
La società tutela i propri diritti a rigore di Legge.

Comm.: C21-002-S05




SASSARI EOLICA S.R.L.	PARCO EOLICO DI "SASSARI" RELAZIONE DI CALCOLO PREDIMENSIONAMENTO DELLE FONDAZIONI WTG	 Ingegneria & Innovazione		
		26/05/2023	REV: 1	Pag.172

Nodi - Reazioni vincolari esterne per eccentricità accidentale								
Id _{Nd}	Dir	e	F _x	F _y	F _z	M _x	M _y	M _z
			[N]	[N]	[N]	[N-m]	[N-m]	[N-m]
01050	Y	-	0	0	0	0	0	0
01051	X	+	0	0	0	0	0	0
01051	X	-	0	0	0	0	0	0
01051	Y	+	0	0	0	0	0	0
01051	Y	-	0	0	0	0	0	0
01052	X	+	0	0	0	0	0	0
01052	X	-	0	0	0	0	0	0
01052	Y	+	0	0	0	0	0	0
01052	Y	-	0	0	0	0	0	0
01053	X	+	0	0	0	0	0	0
01053	X	-	0	0	0	0	0	0
01053	Y	+	0	0	0	0	0	0
01053	Y	-	0	0	0	0	0	0
01054	X	+	0	0	0	0	0	0
01054	X	-	0	0	0	0	0	0
01054	Y	+	0	0	0	0	0	0
01054	Y	-	0	0	0	0	0	0
01055	X	+	0	0	0	0	0	0
01055	X	-	0	0	0	0	0	0
01055	Y	+	0	0	0	0	0	0
01055	Y	-	0	0	0	0	0	0
01056	X	+	0	0	0	0	0	0
01056	X	-	0	0	0	0	0	0
01056	Y	+	0	0	0	0	0	0
01056	Y	-	0	0	0	0	0	0
01057	X	+	0	0	0	0	0	0
01057	X	-	0	0	0	0	0	0
01057	Y	+	0	0	0	0	0	0
01057	Y	-	0	0	0	0	0	0
01058	X	+	0	0	0	0	0	0
01058	X	-	0	0	0	0	0	0
01058	Y	+	0	0	0	0	0	0
01058	Y	-	0	0	0	0	0	0
01059	X	+	0	0	0	0	0	0
01059	X	-	0	0	0	0	0	0
01059	Y	+	0	0	0	0	0	0
01059	Y	-	0	0	0	0	0	0
01060	X	+	0	0	0	0	0	0
01060	X	-	0	0	0	0	0	0
01060	Y	+	0	0	0	0	0	0
01060	Y	-	0	0	0	0	0	0
01061	X	+	0	0	0	0	0	0
01061	X	-	0	0	0	0	0	0
01061	Y	+	0	0	0	0	0	0
01061	Y	-	0	0	0	0	0	0
01062	X	+	0	0	0	0	0	0
01062	X	-	0	0	0	0	0	0
01062	Y	+	0	0	0	0	0	0
01062	Y	-	0	0	0	0	0	0
01063	X	+	0	0	0	0	0	0
01063	X	-	0	0	0	0	0	0
01063	Y	+	0	0	0	0	0	0
01063	Y	-	0	0	0	0	0	0
01064	X	+	0	0	0	0	0	0
01064	X	-	0	0	0	0	0	0
01064	Y	+	0	0	0	0	0	0
01064	Y	-	0	0	0	0	0	0
01065	X	+	0	0	0	0	0	0
01065	X	-	0	0	0	0	0	0
01065	Y	+	0	0	0	0	0	0
01065	Y	-	0	0	0	0	0	0
01066	X	+	0	0	0	0	0	0
01066	X	-	0	0	0	0	0	0
01066	Y	+	0	0	0	0	0	0
01066	Y	-	0	0	0	0	0	0
01067	X	+	0	0	0	0	0	0
01067	X	-	0	0	0	0	0	0

Il presente documento è di proprietà della ANTEX GROUP srl.
 È vietato la comunicazione a terzi o la riproduzione senza il permesso scritto della suddetta.
 La società tutela i propri diritti a rigore di Legge.

Comm.: C21-002-S05




SASSARI EOLICA S.R.L.	PARCO EOLICO DI “SASSARI” RELAZIONE DI CALCOLO PREDIMENSIONAMENTO DELLE FONDAZIONI WTG	 <i>Ingegneria & Innovazione</i>		
		26/05/2023	REV: 1	Pag.173

Nodi - Reazioni vincolari esterne per eccentricità accidentale									
IdNd	Dir	e	F _x	F _y	F _z	M _x	M _y	M _z	
			[N]	[N]	[N]	[N-m]	[N-m]	[N-m]	
01067	Y	+	0	0	0	0	0	0	
01067	Y	-	0	0	0	0	0	0	
01068	X	+	0	0	0	0	0	0	
01068	X	-	0	0	0	0	0	0	
01068	Y	+	0	0	0	0	0	0	
01068	Y	-	0	0	0	0	0	0	
01069	X	+	0	0	0	0	0	0	
01069	X	-	0	0	0	0	0	0	
01069	Y	+	0	0	0	0	0	0	
01069	Y	-	0	0	0	0	0	0	
01070	X	+	0	0	0	0	0	0	
01070	X	-	0	0	0	0	0	0	
01070	Y	+	0	0	0	0	0	0	
01070	Y	-	0	0	0	0	0	0	
01071	X	+	0	0	0	0	0	0	
01071	X	-	0	0	0	0	0	0	
01071	Y	+	0	0	0	0	0	0	
01071	Y	-	0	0	0	0	0	0	
01072	X	+	0	0	0	0	0	0	
01072	X	-	0	0	0	0	0	0	
01072	Y	+	0	0	0	0	0	0	
01072	Y	-	0	0	0	0	0	0	
01073	X	+	0	0	0	0	0	0	
01073	X	-	0	0	0	0	0	0	
01073	Y	+	0	0	0	0	0	0	
01073	Y	-	0	0	0	0	0	0	
01074	X	+	0	0	0	0	0	0	
01074	X	-	0	0	0	0	0	0	
01074	Y	+	0	0	0	0	0	0	
01074	Y	-	0	0	0	0	0	0	
01075	X	+	0	0	0	0	0	0	
01075	X	-	0	0	0	0	0	0	
01075	Y	+	0	0	0	0	0	0	
01075	Y	-	0	0	0	0	0	0	
01076	X	+	0	0	0	0	0	0	
01076	X	-	0	0	0	0	0	0	
01076	Y	+	0	0	0	0	0	0	
01076	Y	-	0	0	0	0	0	0	
01077	X	+	0	0	0	0	0	0	
01077	X	-	0	0	0	0	0	0	
01077	Y	+	0	0	0	0	0	0	
01077	Y	-	0	0	0	0	0	0	
01078	X	+	0	0	0	0	0	0	
01078	X	-	0	0	0	0	0	0	
01078	Y	+	0	0	0	0	0	0	
01078	Y	-	0	0	0	0	0	0	
01079	X	+	0	0	0	0	0	0	
01079	X	-	0	0	0	0	0	0	
01079	Y	+	0	0	0	0	0	0	
01079	Y	-	0	0	0	0	0	0	
01080	X	+	0	0	0	0	0	0	
01080	X	-	0	0	0	0	0	0	
01080	Y	+	0	0	0	0	0	0	
01080	Y	-	0	0	0	0	0	0	
01081	X	+	0	0	0	0	0	0	
01081	X	-	0	0	0	0	0	0	
01081	Y	+	0	0	0	0	0	0	
01081	Y	-	0	0	0	0	0	0	
01082	X	+	0	0	0	0	0	0	
01082	X	-	0	0	0	0	0	0	
01082	Y	+	0	0	0	0	0	0	
01082	Y	-	0	0	0	0	0	0	
01083	X	+	0	0	0	0	0	0	
01083	X	-	0	0	0	0	0	0	
01083	Y	+	0	0	0	0	0	0	
01083	Y	-	0	0	0	0	0	0	
01084	X	+	0	0	0	0	0	0	

Il presente documento è di proprietà della ANTEX GROUP srl.
È Vietato la comunicazione a terzi o la riproduzione senza il permesso scritto della suddetta.
La società tutela i propri diritti a rigore di Legge.

Comm.: C21-002-S05



SASSARI EOLICA S.R.L.	PARCO EOLICO DI “SASSARI” RELAZIONE DI CALCOLO PREDIMENSIONAMENTO DELLE FONDAZIONI WTG	 <i>Ingegneria & Innovazione</i>		
		26/05/2023	REV: 1	Pag.174

Nodi - Reazioni vincolari esterne per eccentricità accidentale								
Id _{Nd}	Dir	e	F _x	F _y	F _z	M _x	M _y	M _z
			[N]	[N]	[N]	[N-m]	[N-m]	[N-m]
01084	X	-	0	0	0	0	0	0
01084	Y	+	0	0	0	0	0	0
01084	Y	-	0	0	0	0	0	0
01085	X	+	0	0	0	0	0	0
01085	X	-	0	0	0	0	0	0
01085	Y	+	0	0	0	0	0	0
01085	Y	-	0	0	0	0	0	0
01086	X	+	0	0	0	0	0	0
01086	X	-	0	0	0	0	0	0
01086	Y	+	0	0	0	0	0	0
01086	Y	-	0	0	0	0	0	0
01087	X	+	0	0	0	0	0	0
01087	X	-	0	0	0	0	0	0
01087	Y	+	0	0	0	0	0	0
01087	Y	-	0	0	0	0	0	0
01088	X	+	0	0	0	0	0	0
01088	X	-	0	0	0	0	0	0
01088	Y	+	0	0	0	0	0	0
01088	Y	-	0	0	0	0	0	0
01089	X	+	0	0	0	0	0	0
01089	X	-	0	0	0	0	0	0
01089	Y	+	0	0	0	0	0	0
01089	Y	-	0	0	0	0	0	0
01090	X	+	0	0	0	0	0	0
01090	X	-	0	0	0	0	0	0
01090	Y	+	0	0	0	0	0	0
01090	Y	-	0	0	0	0	0	0
01091	X	+	0	0	0	0	0	0
01091	X	-	0	0	0	0	0	0
01091	Y	+	0	0	0	0	0	0
01091	Y	-	0	0	0	0	0	0
01092	X	+	0	0	0	0	0	0
01092	X	-	0	0	0	0	0	0
01092	Y	+	0	0	0	0	0	0
01092	Y	-	0	0	0	0	0	0
01093	X	+	0	0	0	0	0	0
01093	X	-	0	0	0	0	0	0
01093	Y	+	0	0	0	0	0	0
01093	Y	-	0	0	0	0	0	0
01094	X	+	0	0	0	0	0	0
01094	X	-	0	0	0	0	0	0
01094	Y	+	0	0	0	0	0	0
01094	Y	-	0	0	0	0	0	0
01095	X	+	0	0	0	0	0	0
01095	X	-	0	0	0	0	0	0
01095	Y	+	0	0	0	0	0	0
01095	Y	-	0	0	0	0	0	0
01096	X	+	0	0	0	0	0	0
01096	X	-	0	0	0	0	0	0
01096	Y	+	0	0	0	0	0	0
01096	Y	-	0	0	0	0	0	0
01097	X	+	0	0	0	0	0	0
01097	X	-	0	0	0	0	0	0
01097	Y	+	0	0	0	0	0	0
01097	Y	-	0	0	0	0	0	0
01098	X	+	0	0	0	0	0	0
01098	X	-	0	0	0	0	0	0
01098	Y	+	0	0	0	0	0	0
01098	Y	-	0	0	0	0	0	0
01099	X	+	0	0	0	0	0	0
01099	X	-	0	0	0	0	0	0
01099	Y	+	0	0	0	0	0	0
01099	Y	-	0	0	0	0	0	0
01100	X	+	0	0	0	0	0	0
01100	X	-	0	0	0	0	0	0
01100	Y	+	0	0	0	0	0	0
01100	Y	-	0	0	0	0	0	0

Il presente documento è di proprietà della ANTEX GROUP srl.
È Vietato la comunicazione a terzi o la riproduzione senza il permesso scritto della suddetta.
La società tutela i propri diritti a rigore di Legge.

Comm.: C21-002-S05



RELAZIONE DI CALCOLO PREDIMENSIONAMENTO DELLE FONDAZIONI WTG

Nodi - Reazioni vincolari esterne per eccentricità accidentale									
Id _{Nd}	Dir	e	F _x	F _y	F _z	M _x	M _y	M _z	
			[N]	[N]	[N]	[N-m]	[N-m]	[N-m]	
01101	X	+	0	0	0	0	0	0	
01101	X	-	0	0	0	0	0	0	
01101	Y	+	0	0	0	0	0	0	
01101	Y	-	0	0	0	0	0	0	
01102	X	+	0	0	0	0	0	0	
01102	X	-	0	0	0	0	0	0	
01102	Y	+	0	0	0	0	0	0	
01102	Y	-	0	0	0	0	0	0	
01103	X	+	0	0	0	0	0	0	
01103	X	-	0	0	0	0	0	0	
01103	Y	+	0	0	0	0	0	0	
01103	Y	-	0	0	0	0	0	0	
01104	X	+	0	0	0	0	0	0	
01104	X	-	0	0	0	0	0	0	
01104	Y	+	0	0	0	0	0	0	
01104	Y	-	0	0	0	0	0	0	
01105	X	+	0	0	0	0	0	0	
01105	X	-	0	0	0	0	0	0	
01105	Y	+	0	0	0	0	0	0	
01105	Y	-	0	0	0	0	0	0	
01106	X	+	0	0	0	0	0	0	
01106	X	-	0	0	0	0	0	0	
01106	Y	+	0	0	0	0	0	0	
01106	Y	-	0	0	0	0	0	0	

LEGENDA:

Id_{Nd} Identificativo del nodo.
Dir Direzione del sisma.
e Segno dell'eccentricità accidentale.
F_x, F_y, F_z, M_x, M_y, M_z Reazioni vincolari relative al sistema di riferimento globale X, Y, Z.

NODI (CA) - VERIFICA A PUNZONAMENTO (Fondazione)

Nodi (CA) - Verifica a punzonamento																					
Id _{Nd}	Sp _p	Dir _p z	V _{Ed,pz}	β	u ₀	V _{Rd,0,max}	D _{st}	θ	u ₁	R _{z,terr}	V _{Ed,red}	V _{Rd,1,c}	A _{s,pz,A/B}	V _{Rd,1,cs,s}	V _{Rd,1,cs,c}	α	D _{st,out}	u _{out}	CS _{0,max}	CS _{1,c}	CS _{1,cs}
0000 2	4,00	0	0	0,00 0	0,00	0	0,00	0,0	0,00	-	-	0	-	-	-	-	-	-	-	NS	NS

LEGENDA:


Id_{Nd} Identificativo del nodo.
Sp_p Spessore della piastra.
Dir_{pz} Direzione di punzonamento (0 = verso il basso; 1 = verso l'alto).
V_{Ed,pz} Forza di punzonamento di progetto.
β Coefficiente amplificativo per l'eccentricità
u₀ Perimetro di verifica in adiacenza del pilastro
V_{Rd,0,max} Forza resistente in adiacenza del pilastro
D_{st} Distanza dal pilastro del perimetro critico u₁
θ Angolo di diffusione
u₁ Perimetro di verifica di base
R_{z,terr} Reazione del terreno all'interno del perimetro u₁
V_{Ed,red} Forza netta di punzonamento
V_{Rd,1,c} Forza resistente in assenza di armature lungo u₁
A_{s,pz,A/B} Armatura a punzonamento esecutiva in direzione A/B.
V_{Rd,1,cs,s} Forza resistente dovuta alle armature lungo u₁
V_{Rd,1,cs,c} Forza resistente dovuta al calcestruzzo, in presenza di armature, lungo u₁
α Angolo compreso fra l'armatura a punzonamento ed il piano della piastra
D_{st,out} Distanza dal pilastro oltre la quale non è richiesta armatura
u_{out} Perimetro critico oltre il quale non è richiesta armatura
CS_{0,max} Coefficiente di sicurezza per la verifica in adiacenza del pilastro, lungo il perimetro u₀
CS_{1,c} Coefficiente di sicurezza in assenza di armature lungo il perimetro u₁
CS_{1,cs} Coefficiente di sicurezza in presenza di armature lungo il perimetro u₁

PLATEE - VERIFICHE PRESSOFLESSIONE RETTA ALLO SLU (Fondazione)


Il presente documento è di proprietà della ANTEX GROUP srl.
 È vietato la comunicazione a terzi o la riproduzione senza il permesso scritto della suddetta.
 La società tutela i propri diritti a rigore di Legge.

Comm.: C21-002-S05



SASSARI EOLICA S.R.L.	PARCO EOLICO DI "SASSARI"										 Ingegneria & Innovazione		
	RELAZIONE DI CALCOLO PREDIMENSIONAMENTO DELLE FONDAZIONI WTG										26/05/2023	REV: 1	Pag.176

Platee - Verifiche pressoflessione retta allo SLU																			
Dir	Pos	Nodo	N _{Ed}	M _{Ed}	A _s	A _{df}	CS	Nodo	N _{Ed}	M _{Ed}	A _s	A _{df}	CS	Nodo	N _{Ed}	M _{Ed}	A _s	A _{df}	CS
			[N]	[N-m]	[cm²/cm]	[cm²/cm]			[N]	[N-m]	[cm²/cm]	[cm²/cm]			[N]	[N-m]	[cm²/cm]	[cm²/cm]	
Fondazione			Platea 1																
P	S	00002	0	5.285.526	9,77820	9,77820	28,52	00003	0	201	2,35619	2,35619	NS	00004	0	0	2,35619	2,35619	-
	I		0	953.513	9,77820	9,77820	NS		0	1.687	2,35619	2,35619	NS		0	1.793	2,35619	2,35619	NS
S	S		0	4.913.634	1,88495	1,88495	3,34		0	5.348	1,41372	1,41372	NS		0	219	1,41372	1,41372	NS
	I		0	1.010.151	2,59181	2,59181	7,86		0	1.495	1,41372	1,41372	NS		0	1.490	1,41372	1,41372	NS
P	S	00005	0	8.395	2,35619	2,35619	NS	00006	0	0	2,35619	2,35619	-	00007	0	0	2,35619	2,35619	-
	I		0	1.461	2,35619	2,35619	NS		0	1.566	2,35619	2,35619	NS		0	49.790	2,35619	2,35619	NS
S	S		0	3.226	1,41372	1,41372	NS		0	2.090	1,41372	1,41372	NS		0	1.655	1,41372	1,41372	NS
	I		0	1.445	1,41372	1,41372	NS		0	1.442	1,41372	1,41372	NS		0	2.461	1,41372	1,41372	NS
P	S	00008	0	0	2,35619	2,35619	-	00009	0	0	2,35619	2,35619	-	00010	0	0	2,35619	2,35619	-
	I		0	146.628	2,35619	2,35619	NS		0	190.801	2,35619	2,35619	NS		0	340.256	2,35619	2,35619	NS
S	S		0	38.109	1,41372	1,41372	NS		0	0	1,41372	1,41372	-		0	41.917	1,41372	1,41372	NS
	I		0	6.348	1,41372	1,41372	NS		0	30.493	1,41372	1,41372	NS		0	6.726	1,41372	1,41372	NS
P	S	00011	0	0	2,35619	2,35619	-	00012	0	0	2,35619	2,35619	-	00013	0	0	2,35619	2,35619	-
	I		0	410.012	2,35619	2,35619	88,61		0	559.204	2,35619	2,35619	64,97		0	732.691	2,35619	2,35619	49,59
S	S		0	0	1,41372	1,41372	-		0	34.113	1,41372	1,41372	NS		0	82.627	1,41372	1,41372	NS
	I		0	17.223	1,41372	1,41372	NS		0	6.006	1,41372	1,41372	NS		0	6.051	1,41372	1,41372	NS
P	S	00014	0	0	2,35619	2,35619	-	00015	0	0	2,35619	2,35619	-	00016	0	0	2,35619	2,35619	-
	I		0	773.385	2,35619	2,35619	46,98		0	993.129	2,35619	2,35619	36,58		0	1.036.275	2,35619	2,35619	35,06
S	S		0	0	1,41372	1,41372	-		0	84.466	1,41372	1,41372	NS		0	0	1,41372	1,41372	-
	I		0	51.228	1,41372	1,41372	NS		0	6.811	1,41372	1,41372	NS		0	29.447	1,41372	1,41372	NS
P	S	00017	0	0	2,35619	2,35619	-	00018	0	0	2,35619	2,35619	-	00019	0	0	2,35619	2,35619	-
	I		0	1.200.960	2,35619	2,35619	30,25		0	1.353.135	2,35619	2,35619	26,85		0	1.295.569	2,35619	2,35619	28,04
S	S		0	67.733	1,41372	1,41372	NS		0	127.460	1,41372	1,41372	NS		0	0	1,41372	1,41372	-
	I		0	6.047	1,41372	1,41372	NS		0	6.155	1,41372	1,41372	NS		0	69.791	1,41372	1,41372	NS
P	S	00020	0	0	2,35619	2,35619	-	00021	0	0	2,35619	2,35619	-	00022	0	0	2,35619	2,35619	-
	I		0	1.474.401	2,35619	2,35619	24,64		0	1.491.339	2,35619	2,35619	24,36		0	1.364.924	2,35619	2,35619	26,62
S	S		0	127.844	1,41372	1,41372	NS		0	121.605	1,41372	1,41372	NS		0	0	1,41372	1,41372	-
	I		0	6.132	1,41372	1,41372	NS		0	6.066	1,41372	1,41372	NS		0	66.519	1,41372	1,41372	NS
P	S	00023	0	0	2,35619	2,35619	-	00024	0	0	2,35619	2,35619	-	00025	0	0	2,35619	2,35619	-
	I		0	1.459.504	2,35619	2,35619	24,89		0	1.236.683	2,35619	2,35619	29,38		0	1.254.022	2,35619	2,35619	28,97
S	S		0	136.540	1,41372	1,41372	NS		0	0	1,41372	1,41372	-		0	124.318	1,41372	1,41372	NS
	I		0	6.785	1,41372	1,41372	NS		0	75.590	1,41372	1,41372	NS		0	5.991	1,41372	1,41372	NS
P	S	00026	0	0	2,35619	2,35619	-	00027	0	0	2,35619	2,35619	-	00028	0	0	2,35619	2,35619	-

SASSARI EOLICA S.R.L.	PARCO EOLICO DI "SASSARI"		 Ingegneria & Innovazione		
	RELAZIONE DI CALCOLO PREDIMENSIONAMENTO DELLE FONDAZIONI WTG		26/05/2023	REV: 1	Pag.177

Platee - Verifiche pressoflessione retta allo SLU																			
Dir	Pos	Nodo	N _{Ed}	M _{Ed}	A _s	A _{df}	CS	Nodo	N _{Ed}	M _{Ed}	A _s	A _{df}	CS	Nodo	N _{Ed}	M _{Ed}	A _s	A _{df}	CS
			[N]	[N-m]	[cm ² /cm]	[cm ² /cm]			[N]	[N-m]	[cm ² /cm]	[cm ² /cm]			[N]	[N-m]	[cm ² /cm]	[cm ² /cm]	
	I		0	1.055.388	2,356 19	2,356 19	34,4 3		0	817.9 35	2,356 19	2,356 19	44,4 2		0	692.4 32	2,356 19	2,356 19	52,47
S	S		0	68.41 6	1,413 72	1,413 72	NS		0	0	1,413 72	1,413 72	-		0	67.42 3	1,413 72	1,413 72	NS
	I		0	5.994	1,413 72	1,413 72	NS		0	35.33 6	1,413 72	1,413 72	NS		0	6.757	1,413 72	1,413 72	NS
P	S	00029	0	0	2,356 19	2,356 19	-	00030	0	0	2,356 19	2,356 19	-	00031	0	51.53 8	2,356 19	2,356 19	NS
	I		0	398.3 33	2,356 19	2,356 19	91,2 1		0	254.8 58	2,356 19	2,356 19	NS		0	2.676	2,356 19	2,356 19	NS
S	S		0	0	1,413 72	1,413 72	-		0	55.43 1	1,413 72	1,413 72	NS		0	0	1,413 72	1,413 72	-
	I		0	55.81 4	1,413 72	1,413 72	NS		0	6.020	1,413 72	1,413 72	NS		0	39.85 3	1,413 72	1,413 72	NS
P	S	00032	0	215.5 83	2,356 19	2,356 19	NS	00033	0	439.8 44	2,356 19	2,356 19	82,6 0	00034	0	667.2 69	2,356 19	2,356 19	54,45
	I		0	3.619	2,356 19	2,356 19	NS		0	2.744	2,356 19	2,356 19	NS		0	2.931	2,356 19	2,356 19	NS
S	S		0	14.18 2	1,413 72	1,413 72	NS		0	0	1,413 72	1,413 72	-		0	0	1,413 72	1,413 72	-
	I		0	1.533	1,413 72	1,413 72	NS		0	53.59 0	1,413 72	1,413 72	NS		0	119.5 80	1,413 72	1,413 72	NS
P	S	00035	0	685.9 05	2,356 19	2,356 19	52,9 7	00036	0	918.2 54	2,356 19	2,356 19	39,5 7	00037	0	870.0 65	2,356 19	2,356 19	41,76
	I		0	4.014	2,356 19	2,356 19	NS		0	3.440	2,356 19	2,356 19	NS		0	4.244	2,356 19	2,356 19	NS
S	S		0	63.43 8	1,413 72	1,413 72	NS		0	0	1,413 72	1,413 72	-		0	51.70 2	1,413 72	1,413 72	NS
	I		0	1.527	1,413 72	1,413 72	NS		0	131.2 80	1,413 72	1,413 72	NS		0	1.510	1,413 72	1,413 72	NS
P	S	00038	0	1.010. 352	2,356 19	2,356 19	35,9 6	00039	0	1.035. 023	2,356 19	2,356 19	35,1 0	00040	0	886.3 11	2,356 19	2,356 19	40,99
	I		0	3.294	2,356 19	2,356 19	NS		0	3.338	2,356 19	2,356 19	NS		0	4.419	2,356 19	2,356 19	NS
S	S		0	0	1,413 72	1,413 72	-		0	0	1,413 72	1,413 72	-		0	64.96 5	1,413 72	1,413 72	NS
	I		0	117.1 25	1,413 72	1,413 72	NS		0	135.4 53	1,413 72	1,413 72	NS		0	1.521	1,413 72	1,413 72	NS
P	S	00041	0	971.5 14	2,356 19	2,356 19	37,4 0	00042	0	858.2 32	2,356 19	2,356 19	42,3 3	00043	0	708.0 02	2,356 19	2,356 19	51,32
	I		0	3.612	2,356 19	2,356 19	NS		0	3.934	2,356 19	2,356 19	NS		0	5.111	2,356 19	2,356 19	NS
S	S		0	0	1,413 72	1,413 72	-		0	0	1,413 72	1,413 72	-		0	33.39 4	1,413 72	1,413 72	NS
	I		0	136.7 07	1,413 72	1,413 72	NS		0	87.81 3	1,413 72	1,413 72	NS		0	1.563	1,413 72	1,413 72	NS
P	S	00044	0	703.7 57	2,356 19	2,356 19	51,6 3	00045	0	497.3 78	2,356 19	2,356 19	73,0 5	00046	0	490.3 69	2,356 19	2,356 19	74,09
	I		0	4.575	2,356 19	2,356 19	NS		0	5.336	2,356 19	2,356 19	NS		0	4.451	2,356 19	2,356 19	NS
S	S		0	0	1,413 72	1,413 72	-		0	52.79 0	1,413 72	1,413 72	NS		0	0	1,413 72	1,413 72	-
	I		0	107.1 08	1,413 72	1,413 72	NS		0	1.498	1,413 72	1,413 72	NS		0	103.0 14	1,413 72	1,413 72	NS
P	S	00047	0	349.3 15	2,356 19	2,356 19	NS	00048	0	202.3 35	2,356 19	2,356 19	NS	00049	0	179.6 03	2,356 19	2,356 19	NS
	I		0	4.605	2,356 19	2,356 19	NS		0	5.725	2,356 19	2,356 19	NS		0	5.100	2,356 19	2,356 19	NS
S	S		0	0	1,413 72	1,413 72	-		0	25.80 3	1,413 72	1,413 72	NS		0	0	1,413 72	1,413 72	-
	I		0	63.45 9	1,413 72	1,413 72	NS		0	1.548	1,413 72	1,413 72	NS		0	73.62 2	1,413 72	1,413 72	NS
P	S	00050	0	39.07 6	2,356 19	2,356 19	NS	00051	0	39.81 4	2,356 19	2,356 19	NS	00052	0	0	2,356 19	2,356 19	-
	I		0	5.835	2,356 19	2,356 19	NS		0	4.705	2,356 19	2,356 19	NS		0	15.78 9	2,356 19	2,356 19	NS
S	S		0	34.07	1,413	1,413	NS		0	0	1,413	1,413	-		0	0	1,413	1,413	-


Il presente documento è di proprietà della ANTEX GROUP srl.
È Vietato la comunicazione a terzi o la riproduzione senza il permesso scritto della suddetta.
La società tutela i propri diritti a rigore di Legge.

Comm.: C21-002-S05



Platee - Verifiche pressoflessione retta allo SLU																			
Dir	Pos	Nodo	N _{Ed}	M _{Ed}	A _s	A _{df}	CS	Nodo	N _{Ed}	M _{Ed}	A _s	A _{df}	CS	Nodo	N _{Ed}	M _{Ed}	A _s	A _{df}	CS
			[N]	[N-m]	[cm²/cm]	[cm²/cm]			[N]	[N-m]	[cm²/cm]	[cm²/cm]			[N]	[N-m]	[cm²/cm]	[cm²/cm]	
	I		0	4 1.559	72 1,413	72 1,413	NS		0	62.84 1	72 1,413	72 1,413	NS		0	22.08 8	72 1,413	72 1,413	NS
P	S	00053	0	0	2,356 19	2,356 19	-	00054	0	12.27 0	2,356 19	2,356 19	NS	00055	0	660	2,356 19	2,356 19	NS
	I		0	11.18 6	2,356 19	2,356 19	NS		0	4.497	2,356 19	2,356 19	NS		0	11.20 2	2,356 19	2,356 19	NS
S	S		0	0	1,413 72	1,413 72	-		0	0	1,413 72	1,413 72	-		0	0	1,413 72	1,413 72	-
	I		0	81.21 6	1,413 72	1,413 72	NS		0	143.7 81	1,413 72	1,413 72	NS		0	159.9 69	1,413 72	1,413 72	NS
P	S	00056	0	553	2,356 19	2,356 19	NS	00057	0	20.33 2	2,356 19	2,356 19	NS	00058	0	687	2,356 19	2,356 19	NS
	I		0	4.292	2,356 19	2,356 19	NS		0	4.521	2,356 19	2,356 19	NS		0	27.47 4	2,356 19	2,356 19	NS
S	S		0	0	1,413 72	1,413 72	-		0	0	1,413 72	1,413 72	-		0	0	1,413 72	1,413 72	-
	I		0	185.5 08	1,413 72	1,413 72	NS		0	198.3 26	1,413 72	1,413 72	NS		0	154.1 53	1,413 72	1,413 72	NS
P	S	00059	0	12.12 7	2,356 19	2,356 19	NS	00060	0	30.53 2	2,356 19	2,356 19	NS	00061	0	30.14 0	2,356 19	2,356 19	NS
	I		0	4.237	2,356 19	2,356 19	NS		0	4.383	2,356 19	2,356 19	NS		0	4.353	2,356 19	2,356 19	NS
S	S		0	0	1,413 72	1,413 72	-		0	0	1,413 72	1,413 72	-		0	23.76 0	1,413 72	1,413 72	NS
	I		0	123.7 18	1,413 72	1,413 72	NS		0	56.71 7	1,413 72	1,413 72	NS		0	3.025	1,413 72	1,413 72	NS
P	S	00062	0	0	2,356 19	2,356 19	-	00063	0	17.85 9	2,356 19	2,356 19	NS	00064	0	28.29 4	2,356 19	2,356 19	NS
	I		0	26.00 1	2,356 19	2,356 19	NS		0	0	2,356 19	2,356 19	-		0	4.525	2,356 19	2,356 19	NS
S	S		0	183.4 76	1,413 72	1,413 72	NS		0	298.3 34	1,413 72	1,413 72	73,0 8		0	427.6 15	1,413 72	1,413 72	50,99
	I		0	5.996	1,413 72	1,413 72	NS		0	4.018	1,413 72	1,413 72	NS		0	3.187	1,413 72	1,413 72	NS
P	S	00065	0	0	2,356 19	2,356 19	-	00066	0	18.96 8	2,356 19	2,356 19	NS	00067	0	22.45 2	2,356 19	2,356 19	NS
	I		0	37.21 8	2,356 19	2,356 19	NS		0	0	2,356 19	2,356 19	-		0	4.407	2,356 19	2,356 19	NS
S	S		0	654.8 54	1,413 72	1,413 72	33,2 9		0	807.5 77	1,413 72	1,413 72	27,0 0		0	965.7 55	1,413 72	1,413 72	22,58
	I		0	5.048	1,413 72	1,413 72	NS		0	3.171	1,413 72	1,413 72	NS		0	3.283	1,413 72	1,413 72	NS
P	S	00068	0	0	2,356 19	2,356 19	-	00069	0	19.21 0	2,356 19	2,356 19	NS	00070	0	8.115	2,356 19	2,356 19	NS
	I		0	46.97 7	2,356 19	2,356 19	NS		0	0	2,356 19	2,356 19	-		0	4.348	2,356 19	2,356 19	NS
S	S		0	1.219. 314	1,413 72	1,413 72	17,8 8		0	1.365. 422	1,413 72	1,413 72	15,9 7		0	1.517. 594	1,413 72	1,413 72	14,37
	I		0	4.204	1,413 72	1,413 72	NS		0	2.545	1,413 72	1,413 72	NS		0	3.495	1,413 72	1,413 72	NS
P	S	00071	0	0	2,356 19	2,356 19	-	00072	0	23.74 9	2,356 19	2,356 19	NS	00073	0	0	2,356 19	2,356 19	-
	I		0	53.86 4	2,356 19	2,356 19	NS		0	0	2,356 19	2,356 19	-		0	12.33 7	2,356 19	2,356 19	NS
S	S		0	1.730. 306	1,413 72	1,413 72	12,6 0		0	1.819. 804	1,413 72	1,413 72	11,9 8		0	1.922. 593	1,413 72	1,413 72	11,34
	I		0	3.406	1,413 72	1,413 72	NS		0	2.298	1,413 72	1,413 72	NS		0	3.788	1,413 72	1,413 72	NS
P	S	00074	0	0	2,356 19	2,356 19	-	00075	0	33.00 5	2,356 19	2,356 19	NS	00076	0	0	2,356 19	2,356 19	-
	I		0	55.90 2	2,356 19	2,356 19	NS		0	0	2,356 19	2,356 19	-		0	30.16 8	2,356 19	2,356 19	NS
S	S		0	2.030. 602	1,413 72	1,413 72	10,7 4		0	2.030. 052	1,413 72	1,413 72	10,7 4		0	2.047. 176	1,413 72	1,413 72	10,65
	I		0	2.730	1,413 72	1,413 72	NS		0	2.423	1,413 72	1,413 72	NS		0	4.167	1,413 72	1,413 72	NS

Platee - Verifiche pressoflessione retta allo SLU																			
Dir	Pos	Nodo	N _{Ed}	M _{Ed}	A _s	A _{df}	CS	Nodo	N _{Ed}	M _{Ed}	A _s	A _{df}	CS	Nodo	N _{Ed}	M _{Ed}	A _s	A _{df}	CS
			[N]	[N-m]	[cm ² /cm]	[cm ² /cm]			[N]	[N-m]	[cm ² /cm]	[cm ² /cm]			[N]	[N-m]	[cm ² /cm]	[cm ² /cm]	
P	S	00077	0	0	2,356 19	2,356 19	-	00078	0	43.45 9	2,356 19	2,356 19	NS	00079	0	0	2,356 19	2,356 19	-
	I		0	50.99 6	2,356 19	2,356 19	NS		0	0	2,356 19	2,356 19	-		0	41.57 8	2,356 19	2,356 19	NS
S	S		0	2.020. 111	1,413 72	1,413 72	10,7 9		0	1.924. 464	1,413 72	1,413 72	11,3 3		0	1.847. 797	1,413 72	1,413 72	11,80
	I		0	2.182	1,413 72	1,413 72	NS		0	2.877	1,413 72	1,413 72	NS		0	4.634	1,413 72	1,413 72	NS
P	S	00080	0	0	2,356 19	2,356 19	-	00081	0	0	2,356 19	2,356 19	-	00082	0	30.07 2	2,356 19	2,356 19	NS
	I		0	38.16 8	2,356 19	2,356 19	NS		0	29.89 9	2,356 19	2,356 19	NS		0	4.238	2,356 19	2,356 19	NS
S	S		0	1.699. 159	1,413 72	1,413 72	12,8 3		0	1.570. 630	1,413 72	1,413 72	13,8 8		0	1.343. 012	1,413 72	1,413 72	16,23
	I		0	1.620	1,413 72	1,413 72	NS		0	1.824	1,413 72	1,413 72	NS		0	4.809	1,413 72	1,413 72	NS
P	S	00083	0	688	2,356 19	2,356 19	NS	00084	0	0	2,356 19	2,356 19	-	00085	0	39.33 1	2,356 19	2,356 19	NS
	I		0	42.66 9	2,356 19	2,356 19	NS		0	13.64 0	2,356 19	2,356 19	NS		0	4.281	2,356 19	2,356 19	NS
S	S		0	1.200. 074	1,413 72	1,413 72	18,1 7		0	1.019. 276	1,413 72	1,413 72	21,3 9		0	778.7 02	1,413 72	1,413 72	28,00
	I		0	3.150	1,413 72	1,413 72	NS		0	2.909	1,413 72	1,413 72	NS		0	4.816	1,413 72	1,413 72	NS
P	S	00086	0	655	2,356 19	2,356 19	NS	00087	0	0	2,356 19	2,356 19	-	00088	0	39.19 3	2,356 19	2,356 19	NS
	I		0	41.54 7	2,356 19	2,356 19	NS		0	6.315	2,356 19	2,356 19	NS		0	4.317	2,356 19	2,356 19	NS
S	S		0	644.0 74	1,413 72	1,413 72	33,8 5		0	473.4 58	1,413 72	1,413 72	46,0 5		0	273.3 69	1,413 72	1,413 72	79,76
	I		0	3.222	1,413 72	1,413 72	NS		0	3.895	1,413 72	1,413 72	NS		0	4.822	1,413 72	1,413 72	NS
P	S	00089	0	649	2,356 19	2,356 19	NS	00090	0	434	2,356 19	2,356 19	NS	00091	0	31.15 6	2,356 19	2,356 19	NS
	I		0	31.86 7	2,356 19	2,356 19	NS		0	4.386	2,356 19	2,356 19	NS		0	4.372	2,356 19	2,356 19	NS
S	S		0	181.0 79	1,413 72	1,413 72	NS		0	57.72 9	1,413 72	1,413 72	NS		0	0	1,413 72	1,413 72	-
	I		0	3.519	1,413 72	1,413 72	NS		0	4.927	1,413 72	1,413 72	NS		0	65.74 5	1,413 72	1,413 72	NS
P	S	00092	0	676	2,356 19	2,356 19	NS	00093	0	3.742	2,356 19	2,356 19	NS	00094	0	19.38 5	2,356 19	2,356 19	NS
	I		0	22.47 9	2,356 19	2,356 19	NS		0	4.348	2,356 19	2,356 19	NS		0	4.452	2,356 19	2,356 19	NS
S	S		0	0	1,413 72	1,413 72	-		0	0	1,413 72	1,413 72	-		0	0	1,413 72	1,413 72	-
	I		0	102.1 88	1,413 72	1,413 72	NS		0	160.9 97	1,413 72	1,413 72	NS		0	194.2 31	1,413 72	1,413 72	NS
P	S	00095	0	673	2,356 19	2,356 19	NS	00096	0	8.381	2,356 19	2,356 19	NS	00097	0	6.216	2,356 19	2,356 19	NS
	I		0	19.19 7	2,356 19	2,356 19	NS		0	4.291	2,356 19	2,356 19	NS		0	4.005	2,356 19	2,356 19	NS
S	S		0	0	1,413 72	1,413 72	-		0	0	1,413 72	1,413 72	-		0	0	1,413 72	1,413 72	-
	I		0	176.7 20	1,413 72	1,413 72	NS		0	173.2 45	1,413 72	1,413 72	NS		0	129.7 11	1,413 72	1,413 72	NS
P	S	00098	0	0	2,356 19	2,356 19	-	00099	0	0	2,356 19	2,356 19	-	00100	0	24.92 3	2,356 19	2,356 19	NS
	I		0	3.189	2,356 19	2,356 19	NS		0	21.71 4	2,356 19	2,356 19	NS		0	5.463	2,356 19	2,356 19	NS
S	S		0	0	1,413 72	1,413 72	-		0	8.037	1,413 72	1,413 72	NS		0	0	1,413 72	1,413 72	-
	I		0	75.47 1	1,413 72	1,413 72	NS		0	1.389	1,413 72	1,413 72	NS		0	42.61 4	1,413 72	1,413 72	NS
P	S	00101	0	103.3 34	2,356 19	2,356 19	NS	00102	0	110.9 52	2,356 19	2,356 19	NS	00103	0	262.2 98	2,356 19	2,356 19	NS
	I		0	4.899	2,356	2,356	NS		0	5.878	2,356	2,356	NS		0	4.690	2,356	2,356	NS


SASSARI EOLICA S.R.L.	PARCO EOLICO DI "SASSARI"		 Ingegneria & Innovazione		
	RELAZIONE DI CALCOLO PREDIMENSIONAMENTO DELLE FONDAZIONI WTG				
			26/05/2023	REV: 1	Pag.180

Platee - Verifiche pressoflessione retta allo SLU																			
Dir	Pos	Nodo	N _{Ed}	M _{Ed}	A _s	A _{df}	CS	Nodo	N _{Ed}	M _{Ed}	A _s	A _{df}	CS	Nodo	N _{Ed}	M _{Ed}	A _s	A _{df}	CS
			[N]	[N-m]	[cm²/cm]	[cm²/cm]			[N]	[N-m]	[cm²/cm]	[cm²/cm]			[N]	[N-m]	[cm²/cm]	[cm²/cm]	
S	S		0	0	1,413 72	1,413 72	-	0	34.02 8	1,413 72	1,413 72	19	NS	0	0	0	1,413 72	1,413 72	-
	I		0	69.98 9	1,413 72	1,413 72	NS	0	1.558	1,413 72	1,413 72	19	NS	0	75.29 7	1,413 72	1,413 72	1,413 72	NS
P	S	00104	0	379.9 60	2,356 19	2,356 19	95,6 2	00105	0	395.9 47	2,356 19	2,356 19	91,7 6	00106	0	606.4 07	2,356 19	2,356 19	59,91
	I		0	4.677	2,356 19	2,356 19	NS	0	5.747	2,356 19	2,356 19	19	NS	0	4.758	2,356 19	2,356 19	2,356 19	NS
S	S		0	0	1,413 72	1,413 72	-	0	54.83 1	1,413 72	1,413 72	19	NS	0	0	1,413 72	1,413 72	1,413 72	-
	I		0	95.43 1	1,413 72	1,413 72	NS	0	1.562	1,413 72	1,413 72	19	NS	0	110.2 68	1,413 72	1,413 72	1,413 72	NS
P	S	00107	0	606.9 38	2,356 19	2,356 19	59,8 6	00108	0	791.5 18	2,356 19	2,356 19	45,9 0	00109	0	902.0 71	2,356 19	2,356 19	40,28
	I		0	5.235	2,356 19	2,356 19	NS	0	4.074	2,356 19	2,356 19	19	NS	0	3.894	2,356 19	2,356 19	2,356 19	NS
S	S		0	46.43 3	1,413 72	1,413 72	NS	0	0	1,413 72	1,413 72	19	-	0	0	1,413 72	1,413 72	1,413 72	-
	I		0	1.544	1,413 72	1,413 72	NS	0	100.7 11	1,413 72	1,413 72	19	NS	0	128.0 76	1,413 72	1,413 72	1,413 72	NS
P	S	00110	0	848.1 26	2,356 19	2,356 19	42,8 4	00111	0	1.030. 644	2,356 19	2,356 19	35,2 5	00112	0	920.9 39	2,356 19	2,356 19	39,45
	I		0	4.781	2,356 19	2,356 19	NS	0	3.979	2,356 19	2,356 19	19	NS	0	4.503	2,356 19	2,356 19	2,356 19	NS
S	S		0	66.63 3	1,413 72	1,413 72	NS	0	0	1,413 72	1,413 72	19	-	0	60.73 2	1,413 72	1,413 72	1,413 72	NS
	I		0	1.541	1,413 72	1,413 72	NS	0	140.1 11	1,413 72	1,413 72	19	NS	0	1.577	1,413 72	1,413 72	1,413 72	NS
P	S	00113	0	1.025. 926	2,356 19	2,356 19	35,4 1	00114	0	989.5 58	2,356 19	2,356 19	36,7 2	00115	0	799.3 70	2,356 19	2,356 19	45,45
	I		0	3.346	2,356 19	2,356 19	NS	0	3.105	2,356 19	2,356 19	19	NS	0	3.912	2,356 19	2,356 19	2,356 19	NS
S	S		0	0	1,413 72	1,413 72	-	0	0	1,413 72	1,413 72	19	-	0	61.36 5	1,413 72	1,413 72	1,413 72	NS
	I		0	124.2 32	1,413 72	1,413 72	NS	0	127.1 32	1,413 72	1,413 72	19	NS	0	1.548	1,413 72	1,413 72	1,413 72	NS
P	S	00116	0	818.2 37	2,356 19	2,356 19	44,4 0	00117	0	608.1 64	2,356 19	2,356 19	59,7 4	00118	0	418.7 29	2,356 19	2,356 19	86,77
	I		0	2.914	2,356 19	2,356 19	NS	0	2.949	2,356 19	2,356 19	19	NS	0	3.911	2,356 19	2,356 19	2,356 19	NS
S	S		0	0	1,413 72	1,413 72	-	0	0	1,413 72	1,413 72	19	-	0	5.012	1,413 72	1,413 72	1,413 72	NS
	I		0	122.7 79	1,413 72	1,413 72	NS	0	45.29 8	1,413 72	1,413 72	19	NS	0	1.558	1,413 72	1,413 72	1,413 72	NS
P	S	00119	0	261.1 81	2,356 19	2,356 19	NS	00120	0	3.905	2,356 19	2,356 19	NS	00121	0	0	2,356 19	2,356 19	-
	I		0	3.209	2,356 19	2,356 19	NS	0	3.761	2,356 19	2,356 19	19	NS	0	166.6 05	2,356 19	2,356 19	2,356 19	NS
S	S		0	0	1,413 72	1,413 72	-	0	28.72 6	1,413 72	1,413 72	19	NS	0	0	1,413 72	1,413 72	1,413 72	-
	I		0	48.51 6	1,413 72	1,413 72	NS	0	1.539	1,413 72	1,413 72	19	NS	0	40.30 2	1,413 72	1,413 72	1,413 72	NS
P	S	00122	0	0	2,356 19	2,356 19	-	00123	0	0	2,356 19	2,356 19	-	00124	0	0	2,356 19	2,356 19	-
	I		0	480.2 58	2,356 19	2,356 19	75,6 5	0	620.4 18	2,356 19	2,356 19	19	58,5 6	0	895.5 48	2,356 19	2,356 19	2,356 19	40,57
S	S		0	60.32 3	1,413 72	1,413 72	NS	0	0	1,413 72	1,413 72	19	-	0	68.96 4	1,413 72	1,413 72	1,413 72	NS
	I		0	5.971	1,413 72	1,413 72	NS	0	42.90 5	1,413 72	1,413 72	19	NS	0	6.743	1,413 72	1,413 72	1,413 72	NS
P	S	00125	0	0	2,356 19	2,356 19	-	00126	0	0	2,356 19	2,356 19	-	00127	0	0	2,356 19	2,356 19	-
	I		0	1.010. 159	2,356 19	2,356 19	35,9 7	0	1.203. 084	2,356 19	2,356 19	19	30,2 0	0	1.384. 309	2,356 19	2,356 19	2,356 19	26,25
S	S		0	0	1,413 72	1,413 72	-	0	62.42 0	1,413 72	1,413 72	19	NS	0	133.4 27	1,413 72	1,413 72	1,413 72	NS

Il presente documento è di proprietà della ANTEX GROUP srl.
È Vietato la comunicazione a terzi o la riproduzione senza il permesso scritto della suddetta.
La società tutela i propri diritti a rigore di Legge.


Comm.: C21-002-S05



SASSARI EOLICA S.R.L.	PARCO EOLICO DI "SASSARI"				 Ingegneria & Innovazione		
	RELAZIONE DI CALCOLO PREDIMENSIONAMENTO DELLE FONDAZIONI WTG				26/05/2023	REV: 1	Pag.181

Platee - Verifiche pressoflessione retta allo SLU																			
Dir	Pos	Nodo	N _{Ed}	M _{Ed}	A _s	A _{df}	CS	Nodo	N _{Ed}	M _{Ed}	A _s	A _{df}	CS	Nodo	N _{Ed}	M _{Ed}	A _s	A _{df}	CS
			[N]	[N-m]	[cm ² /cm]	[cm ² /cm]			[N]	[N-m]	[cm ² /cm]	[cm ² /cm]			[N]	[N-m]	[cm ² /cm]	[cm ² /cm]	
	I		0	19.85 5	1,413 72	1,413 72	NS		0	6.010	1,413 72	1,413 72	NS		0	6.072	1,413 72	1,413 72	NS
P	S	00128	0	0	2,356 19	2,356 19	-	00129	0	0	2,356 19	2,356 19	-	00130	0	0	2,356 19	2,356 19	-
	I		0	1.324. 310	2,356 19	2,356 19	27,4 3		0	1.503. 162	2,356 19	2,356 19	24,1 7		0	1.497. 186	2,356 19	2,356 19	24,27
S	S		0	0	1,413 72	1,413 72	-		0	135.0 08	1,413 72	1,413 72	NS		0	117.5 75	1,413 72	1,413 72	NS
	I		0	71.65 1	1,413 72	1,413 72	NS		0	6.081	1,413 72	1,413 72	NS		0	5.967	1,413 72	1,413 72	NS
P	S	00131	0	0	2,356 19	2,356 19	-	00132	0	0	2,356 19	2,356 19	-	00133	0	0	2,356 19	2,356 19	-
	I		0	1.365. 083	2,356 19	2,356 19	26,6 2		0	1.445. 021	2,356 19	2,356 19	25,1 4		0	1.231. 067	2,356 19	2,356 19	29,51
S	S		0	0	1,413 72	1,413 72	-		0	132.1 17	1,413 72	1,413 72	NS		0	0	1,413 72	1,413 72	-
	I		0	61.34 6	1,413 72	1,413 72	NS		0	6.722	1,413 72	1,413 72	NS		0	71.22 4	1,413 72	1,413 72	NS
P	S	00134	0	0	2,356 19	2,356 19	-	00135	0	0	2,356 19	2,356 19	-	00136	0	0	2,356 19	2,356 19	-
	I		0	1.258. 454	2,356 19	2,356 19	28,8 7		0	1.109. 370	2,356 19	2,356 19	32,7 5		0	911.7 21	2,356 19	2,356 19	39,85
S	S		0	120.5 15	1,413 72	1,413 72	NS		0	80.78 6	1,413 72	1,413 72	NS		0	0	1,413 72	1,413 72	-
	I		0	5.968	1,413 72	1,413 72	NS		0	5.928	1,413 72	1,413 72	NS		0	42.67 5	1,413 72	1,413 72	NS
P	S	00137	0	0	2,356 19	2,356 19	-	00138	0	0	2,356 19	2,356 19	-	00139	0	0	2,356 19	2,356 19	-
	I		0	873.8 47	2,356 19	2,356 19	41,5 8		0	649.2 72	2,356 19	2,356 19	55,9 6		0	602.5 15	2,356 19	2,356 19	60,30
S	S		0	88.32 4	1,413 72	1,413 72	NS		0	0	1,413 72	1,413 72	-		0	76.94 9	1,413 72	1,413 72	NS
	I		0	6.721	1,413 72	1,413 72	NS		0	55.24 5	1,413 72	1,413 72	NS		0	5.999	1,413 72	1,413 72	NS
P	S	00140	0	0	2,356 19	2,356 19	-	00141	0	0	2,356 19	2,356 19	-	00142	0	0	2,356 19	2,356 19	-
	I		0	449.1 81	2,356 19	2,356 19	80,8 9		0	295.3 90	2,356 19	2,356 19	NS		0	240.4 73	2,356 19	2,356 19	NS
S	S		0	44.22 9	1,413 72	1,413 72	NS		0	0	1,413 72	1,413 72	-		0	39.52 3	1,413 72	1,413 72	NS
	I		0	6.060	1,413 72	1,413 72	NS		0	26.57 4	1,413 72	1,413 72	NS		0	6.008	1,413 72	1,413 72	NS
P	S	00143	0	0	2,356 19	2,356 19	-	00144	0	0	2,356 19	2,356 19	-	00145	0	0	2,356 19	2,356 19	-
	I		0	119.9 76	2,356 19	2,356 19	NS		0	48.33 2	2,356 19	2,356 19	NS		0	4.725	2,356 19	2,356 19	NS
S	S		0	4.137	1,413 72	1,413 72	NS		0	91	1,413 72	1,413 72	NS		0	13.51 8	1,413 72	1,413 72	NS
	I		0	5.152	1,413 72	1,413 72	NS		0	1.353	1,413 72	1,413 72	NS		0	3.291	1,413 72	1,413 72	NS
P	S	00146	0	0	2,356 19	2,356 19	-	00147	0	0	2,356 19	2,356 19	-	00148	0	25.81 3	2,356 19	2,356 19	NS
	I		0	32.65 0	2,356 19	2,356 19	NS		0	15.62 7	2,356 19	2,356 19	NS		0	0	2,356 19	2,356 19	-
S	S		0	26.33 7	1,413 72	1,413 72	NS		0	18.98 9	1,413 72	1,413 72	NS		0	497	1,413 72	1,413 72	NS
	I		0	3.665	1,413 72	1,413 72	NS		0	6.428	1,413 72	1,413 72	NS		0	4.590	1,413 72	1,413 72	NS
P	S	00149	0	0	2,356 19	2,356 19	-	00150	0	0	2,356 19	2,356 19	-	00151	0	31.34 0	2,356 19	2,356 19	NS
	I		0	42.10 9	2,356 19	2,356 19	NS		0	13.03 3	2,356 19	2,356 19	NS		0	0	2,356 19	2,356 19	-
S	S		0	1.647	1,413 72	1,413 72	NS		0	0	1,413 72	1,413 72	-		0	0	1,413 72	1,413 72	-
	I		0	4.668	1,413 72	1,413 72	NS		0	71.47 3	1,413 72	1,413 72	NS		0	152.3 45	1,413 72	1,413 72	NS
P	S	00152	0	0	2,356	2,356	-	00153	0	0	2,356	2,356	-	00154	0	39.93	2,356	2,356	NS

Platee - Verifiche pressoflessione retta allo SLU																			
Dir	Pos	Nodo	N _{Ed}	M _{Ed}	A _s	A _{df}	CS	Nodo	N _{Ed}	M _{Ed}	A _s	A _{df}	CS	Nodo	N _{Ed}	M _{Ed}	A _s	A _{df}	CS
			[N]	[N-m]	[cm²/cm]	[cm²/cm]			[N]	[N-m]	[cm²/cm]	[cm²/cm]			[N]	[N-m]	[cm²/cm]	[cm²/cm]	
	I		0	49.82 6	19 2,356 19	19 2,356 19	NS		0	7.649	19 2,356 19	19 2,356 19	NS		0	0	19 2,356 19	19 2,356 19	-
S	S		0	0	1,413 72	1,413 72	-		0	0	1,413 72	1,413 72	-		0	0	1,413 72	1,413 72	-
	I		0	205.5 82	1,413 72	1,413 72	NS		0	364.4 64	1,413 72	1,413 72	59,8 2		0	512.2 64	1,413 72	1,413 72	42,56
P	S	00155	0	0	2,356 19	2,356 19	-	00156	0	1.249	2,356 19	2,356 19	NS	00157	0	47.59 5	2,356 19	2,356 19	NS
	I		0	54.37 7	2,356 19	2,356 19	NS		0	4.434	2,356 19	2,356 19	NS		0	0	2,356 19	2,356 19	-
S	S		0	0	1,413 72	1,413 72	-		0	0	1,413 72	1,413 72	-		0	0	1,413 72	1,413 72	-
	I		0	627.4 77	1,413 72	1,413 72	34,7 5		0	865.7 91	1,413 72	1,413 72	25,1 8		0	1.061. 969	1,413 72	1,413 72	20,53
P	S	00158	0	0	2,356 19	2,356 19	-	00159	0	13.75 9	2,356 19	2,356 19	NS	00160	0	46.75 2	2,356 19	2,356 19	NS
	I		0	51.77 2	2,356 19	2,356 19	NS		0	4.524	2,356 19	2,356 19	NS		0	0	2,356 19	2,356 19	-
S	S		0	0	1,413 72	1,413 72	-		0	0	1,413 72	1,413 72	-		0	0	1,413 72	1,413 72	-
	I		0	1.224. 228	1,413 72	1,413 72	17,8 1		0	1.502. 625	1,413 72	1,413 72	14,5 1		0	1.707. 876	1,413 72	1,413 72	12,77
P	S	00161	0	0	2,356 19	2,356 19	-	00162	0	37.52 1	2,356 19	2,356 19	NS	00163	0	48.44 5	2,356 19	2,356 19	NS
	I		0	40.47 3	2,356 19	2,356 19	NS		0	4.356	2,356 19	2,356 19	NS		0	4.352	2,356 19	2,356 19	NS
S	S		0	0	1,413 72	1,413 72	-		0	0	1,413 72	1,413 72	-		0	0	1,413 72	1,413 72	-
	I		0	1.875. 987	1,413 72	1,413 72	11,6 2		0	2.137. 056	1,413 72	1,413 72	10,2 0		0	2.283. 865	1,413 72	1,413 72	9,55
P	S	00164	0	44.12 6	2,356 19	2,356 19	NS	00165	0	716	2,356 19	2,356 19	NS	00166	0	62.92 1	2,356 19	2,356 19	NS
	I		0	4.266	2,356 19	2,356 19	NS		0	57.26 0	2,356 19	2,356 19	NS		0	4.510	2,356 19	2,356 19	NS
S	S		0	0	1,413 72	1,413 72	-		0	0	1,413 72	1,413 72	-		0	0	1,413 72	1,413 72	-
	I		0	2.453. 995	1,413 72	1,413 72	8,88		0	2.534. 446	1,413 72	1,413 72	8,60		0	2.650. 131	1,413 72	1,413 72	8,23
P	S	00167	0	33.52 0	2,356 19	2,356 19	NS	00168	0	668	2,356 19	2,356 19	NS	00169	0	67.76 4	2,356 19	2,356 19	NS
	I		0	4.299	2,356 19	2,356 19	NS		0	49.15 7	2,356 19	2,356 19	NS		0	4.409	2,356 19	2,356 19	NS
S	S		0	0	1,413 72	1,413 72	-		0	0	1,413 72	1,413 72	-		0	0	1,413 72	1,413 72	-
	I		0	2.680. 232	1,413 72	1,413 72	8,13		0	2.649. 942	1,413 72	1,413 72	8,23		0	2.660. 756	1,413 72	1,413 72	8,19
P	S	00170	0	15.27 9	2,356 19	2,356 19	NS	00171	0	638	2,356 19	2,356 19	NS	00172	0	63.05 7	2,356 19	2,356 19	NS
	I		0	4.319	2,356 19	2,356 19	NS		0	40.05 5	2,356 19	2,356 19	NS		0	4.365	2,356 19	2,356 19	NS
S	S		0	0	1,413 72	1,413 72	-		0	0	1,413 72	1,413 72	-		0	0	1,413 72	1,413 72	-
	I		0	2.536. 383	1,413 72	1,413 72	8,60		0	2.407. 090	1,413 72	1,413 72	9,06		0	2.315. 865	1,413 72	1,413 72	9,41
P	S	00173	0	0	2,356 19	2,356 19	-	00174	0	653	2,356 19	2,356 19	NS	00175	0	52.19 6	2,356 19	2,356 19	NS
	I		0	7.362	2,356 19	2,356 19	NS		0	33.21 7	2,356 19	2,356 19	NS		0	4.340	2,356 19	2,356 19	NS
S	S		0	0	1,413 72	1,413 72	-		0	0	1,413 72	1,413 72	-		0	0	1,413 72	1,413 72	-
	I		0	2.071. 355	1,413 72	1,413 72	10,5 3		0	1.886. 421	1,413 72	1,413 72	11,5 6		0	1.728. 149	1,413 72	1,413 72	12,62
P	S	00176	0	0	2,356 19	2,356 19	-	00177	0	702	2,356 19	2,356 19	NS	00178	0	38.52 5	2,356 19	2,356 19	NS
	I		0	25.60 1	2,356 19	2,356 19	NS		0	29.20 6	2,356 19	2,356 19	NS		0	4.322	2,356 19	2,356 19	NS

SASSARI EOLICA S.R.L.	PARCO EOLICO DI "SASSARI"		 Ingegneria & Innovazione		
	RELAZIONE DI CALCOLO PREDIMENSIONAMENTO DELLE FONDAZIONI WTG		26/05/2023	REV: 1	Pag.183

Platee - Verifiche pressoflessione retta allo SLU																			
Dir	Pos	Nodo	N _{Ed}	M _{Ed}	A _s	A _{df}	CS	Nodo	N _{Ed}	M _{Ed}	A _s	A _{df}	CS	Nodo	N _{Ed}	M _{Ed}	A _s	A _{df}	CS
			[N]	[N-m]	[cm ² /cm]	[cm ² /cm]			[N]	[N-m]	[cm ² /cm]	[cm ² /cm]			[N]	[N-m]	[cm ² /cm]	[cm ² /cm]	
S	S		0	0	1,413 72	1,413 72	-		0	0	1,413 72	1,413 72	-		0	0	1,413 72	1,413 72	-
	I		0	1.434. 293	1,413 72	1,413 72	15,2 0		0	1.244. 196	1,413 72	1,413 72	17,5 2		0	1.073. 988	1,413 72	1,413 72	20,30
P	S	00179	0	0	2,356 19	2,356 19	-	00180	0	736	2,356 19	2,356 19	NS	00181	0	24.48 5	2,356 19	2,356 19	NS
	I		0	36.59 6	2,356 19	2,356 19	NS		0	24.57 0	2,356 19	2,356 19	NS		0	4.288	2,356 19	2,356 19	NS
S	S		0	0	1,413 72	1,413 72	-		0	0	1,413 72	1,413 72	-		0	0	1,413 72	1,413 72	-
	I		0	804.6 85	1,413 72	1,413 72	27,0 9		0	648.5 05	1,413 72	1,413 72	33,6 2		0	516.4 47	1,413 72	1,413 72	42,22
P	S	00182	0	0	2,356 19	2,356 19	-	00183	0	0	2,356 19	2,356 19	-	00184	0	0	2,356 19	2,356 19	-
	I		0	43.62 2	2,356 19	2,356 19	NS		0	46.32 7	2,356 19	2,356 19	NS		0	29.44 0	2,356 19	2,356 19	NS
S	S		0	0	1,413 72	1,413 72	-		0	0	1,413 72	1,413 72	-		0	0	1,413 72	1,413 72	-
	I		0	315.0 62	1,413 72	1,413 72	69,2 0		0	214.2 38	1,413 72	1,413 72	NS		0	124.1 78	1,413 72	1,413 72	NS
P	S	00185	0	41.80 9	2,356 19	2,356 19	NS	00186	0	0	2,356 19	2,356 19	-	00187	0	0	2,356 19	2,356 19	-
	I		0	0	2,356 19	2,356 19	-		0	38.11 9	2,356 19	2,356 19	NS		0	21.24 7	2,356 19	2,356 19	NS
S	S		0	0	1,413 72	1,413 72	-		0	722	1,413 72	1,413 72	NS		0	16.04 8	1,413 72	1,413 72	NS
	I		0	74.58 6	1,413 72	1,413 72	NS		0	4.414	1,413 72	1,413 72	NS		0	6.274	1,413 72	1,413 72	NS
P	S	00188	0	29.31 0	2,356 19	2,356 19	NS	00189	0	0	2,356 19	2,356 19	-	00190	0	0	2,356 19	2,356 19	-
	I		0	0	2,356 19	2,356 19	-		0	29.58 9	2,356 19	2,356 19	NS		0	8.789	2,356 19	2,356 19	NS
S	S		0	9.393	1,413 72	1,413 72	NS		0	28.07 0	1,413 72	1,413 72	NS		0	12.53 6	1,413 72	1,413 72	NS
	I		0	4.587	1,413 72	1,413 72	NS		0	5.528	1,413 72	1,413 72	NS		0	4.532	1,413 72	1,413 72	NS
P	S	00191	0	0	2,356 19	2,356 19	-	00192	0	0	2,356 19	2,356 19	-	00193	0	0	2,356 19	2,356 19	-
	I		0	7.068	2,356 19	2,356 19	NS		0	15.60 1	2,356 19	2,356 19	NS		0	18.30 5	2,356 19	2,356 19	NS
S	S		0	0	1,413 72	1,413 72	-		0	0	1,413 72	1,413 72	-		0	9.635	1,413 72	1,413 72	NS
	I		0	43.10 6	1,413 72	1,413 72	NS		0	44.23 3	1,413 72	1,413 72	NS		0	2.739	1,413 72	1,413 72	NS
P	S	00194	0	0	2,356 19	2,356 19	-	00195	0	0	2,356 19	2,356 19	-	00196	0	0	2,356 19	2,356 19	-
	I		0	28.74 4	2,356 19	2,356 19	NS		0	46.77 4	2,356 19	2,356 19	NS		0	184.5 49	2,356 19	2,356 19	NS
S	S		0	7.838	1,413 72	1,413 72	NS		0	23.00 1	1,413 72	1,413 72	NS		0	54.71 6	1,413 72	1,413 72	NS
	I		0	3.201	1,413 72	1,413 72	NS		0	4.488	1,413 72	1,413 72	NS		0	6.075	1,413 72	1,413 72	NS
P	S	00197	0	0	2,356 19	2,356 19	-	00198	0	0	2,356 19	2,356 19	-	00199	0	0	2,356 19	2,356 19	-
	I		0	354.9 94	2,356 19	2,356 19	NS		0	565.1 92	2,356 19	2,356 19	64,2 8		0	784.4 78	2,356 19	2,356 19	46,31
S	S		0	81.33 9	1,413 72	1,413 72	NS		0	117.5 55	1,413 72	1,413 72	NS		0	145.5 48	1,413 72	1,413 72	NS
	I		0	6.080	1,413 72	1,413 72	NS		0	5.928	1,413 72	1,413 72	NS		0	5.562	1,413 72	1,413 72	NS
P	S	00200	0	0	2,356 19	2,356 19	-	00201	0	0	2,356 19	2,356 19	-	00202	0	0	2,356 19	2,356 19	-
	I		0	1.022. 248	2,356 19	2,356 19	35,5 4		0	1.247. 188	2,356 19	2,356 19	29,1 3		0	1.414. 904	2,356 19	2,356 19	25,68
S	S		0	181.1 63	1,413 72	1,413 72	NS		0	230.9 49	1,413 72	1,413 72	94,4 1		0	250.0 16	1,413 72	1,413 72	87,21
	I		0	5.515	1,413 72	1,413 72	NS		0	5.797	1,413 72	1,413 72	NS		0	5.510	1,413 72	1,413 72	NS


Il presente documento è di proprietà della ANTEX GROUP srl.
È vietato la comunicazione a terzi o la riproduzione senza il permesso scritto della suddetta.
La società tutela i propri diritti a rigore di Legge.

Comm.: C21-002-S05



Platee - Verifiche pressoflessione retta allo SLU																			
Dir	Pos	Nodo	N _{Ed}	M _{Ed}	A _s	A _{df}	CS	Nodo	N _{Ed}	M _{Ed}	A _s	A _{df}	CS	Nodo	N _{Ed}	M _{Ed}	A _s	A _{df}	CS
			[N]	[N-m]	[cm ² /cm]	[cm ² /cm]			[N]	[N-m]	[cm ² /cm]	[cm ² /cm]			[N]	[N-m]	[cm ² /cm]	[cm ² /cm]	
P	S	00203	0	0	2,356 19	2,356 19	-	00204	0	0	2,356 19	2,356 19	-	00205	0	0	2,356 19	2,356 19	-
	I		0	1.539. 719	2,356 19	2,356 19	23,6 0		0	1.590. 479	2,356 19	2,356 19	22,8 4		0	1.516. 160	2,356 19	2,356 19	23,96
S	S		0	273.6 31	1,413 72	1,413 72	79,6 8		0	301.9 13	1,413 72	1,413 72	72,2 2		0	277.7 65	1,413 72	1,413 72	78,49
	I		0	5.542	1,413 72	1,413 72	NS		0	5.916	1,413 72	1,413 72	NS		0	6.036	1,413 72	1,413 72	NS
P	S	00206	0	0	2,356 19	2,356 19	-	00207	0	0	2,356 19	2,356 19	-	00208	0	0	2,356 19	2,356 19	-
	I		0	1.365. 819	2,356 19	2,356 19	26,6 0		0	1.091. 066	2,356 19	2,356 19	33,3 0		0	727.2 93	2,356 19	2,356 19	49,96
S	S		0	258.7 57	1,413 72	1,413 72	84,2 6		0	187.5 37	1,413 72	1,413 72	NS		0	113.4 88	1,413 72	1,413 72	NS
	I		0	5.904	1,413 72	1,413 72	NS		0	5.534	1,413 72	1,413 72	NS		0	5.494	1,413 72	1,413 72	NS
P	S	00209	0	0	2,356 19	2,356 19	-	00210	0	73.39 4	2,356 19	2,356 19	NS	00211	0	461.0 21	2,356 19	2,356 19	78,81
	I		0	332.6 19	2,356 19	2,356 19	NS		0	2.931	2,356 19	2,356 19	NS		0	3.029	2,356 19	2,356 19	NS
S	S		0	28.77 6	1,413 72	1,413 72	NS		0	0	1,413 72	1,413 72	-		0	0	1,413 72	1,413 72	-
	I		0	5.773	1,413 72	1,413 72	NS		0	62.51 9	1,413 72	1,413 72	NS		0	142.0 70	1,413 72	1,413 72	NS
P	S	00212	0	769.9 94	2,356 19	2,356 19	47,1 9	00213	0	968.3 40	2,356 19	2,356 19	37,5 2	00214	0	1.093. 341	2,356 19	2,356 19	33,23
	I		0	2.922	2,356 19	2,356 19	NS		0	3.087	2,356 19	2,356 19	NS		0	3.241	2,356 19	2,356 19	NS
S	S		0	0	1,413 72	1,413 72	-		0	0	1,413 72	1,413 72	-		0	0	1,413 72	1,413 72	-
	I		0	219.4 92	1,413 72	1,413 72	99,3 3		0	251.6 62	1,413 72	1,413 72	86,6 4		0	286.2 60	1,413 72	1,413 72	76,16
P	S	00215	0	1.097. 114	2,356 19	2,356 19	33,1 2	00216	0	1.028. 604	2,356 19	2,356 19	35,3 2	00217	0	912.8 43	2,356 19	2,356 19	39,80
	I		0	3.632	2,356 19	2,356 19	NS		0	3.869	2,356 19	2,356 19	NS		0	3.950	2,356 19	2,356 19	NS
S	S		0	0	1,413 72	1,413 72	-		0	0	1,413 72	1,413 72	-		0	0	1,413 72	1,413 72	-
	I		0	271.0 01	1,413 72	1,413 72	80,4 5		0	259.1 63	1,413 72	1,413 72	84,1 3		0	252.2 00	1,413 72	1,413 72	86,45
P	S	00218	0	734.4 12	2,356 19	2,356 19	49,4 7	00219	0	542.5 87	2,356 19	2,356 19	66,9 6	00220	0	366.7 24	2,356 19	2,356 19	99,07
	I		0	4.350	2,356 19	2,356 19	NS		0	4.655	2,356 19	2,356 19	NS		0	4.670	2,356 19	2,356 19	NS
S	S		0	0	1,413 72	1,413 72	-		0	0	1,413 72	1,413 72	-		0	0	1,413 72	1,413 72	-
	I		0	211.3 94	1,413 72	1,413 72	NS		0	184.7 11	1,413 72	1,413 72	NS		0	167.2 80	1,413 72	1,413 72	NS
P	S	00221	0	197.4 17	2,356 19	2,356 19	NS	00222	0	76.88 1	2,356 19	2,356 19	NS	00223	0	798	2,356 19	2,356 19	NS
	I		0	4.865	2,356 19	2,356 19	NS		0	4.989	2,356 19	2,356 19	NS		0	4.327	2,356 19	2,356 19	NS
S	S		0	0	1,413 72	1,413 72	-		0	0	1,413 72	1,413 72	-		0	0	1,413 72	1,413 72	-
	I		0	137.4 54	1,413 72	1,413 72	NS		0	121.9 24	1,413 72	1,413 72	NS		0	103.0 78	1,413 72	1,413 72	NS
P	S	00224	0	0	2,356 19	2,356 19	-	00225	0	0	2,356 19	2,356 19	-	00226	0	0	2,356 19	2,356 19	-
	I		0	123.3 63	2,356 19	2,356 19	NS		0	295.2 22	2,356 19	2,356 19	NS		0	507.2 65	2,356 19	2,356 19	71,62
S	S		0	59.81 7	1,413 72	1,413 72	NS		0	106.8 80	1,413 72	1,413 72	NS		0	157.6 13	1,413 72	1,413 72	NS
	I		0	5.177	1,413 72	1,413 72	NS		0	5.269	1,413 72	1,413 72	NS		0	5.549	1,413 72	1,413 72	NS
P	S	00227	0	0	2,356 19	2,356 19	-	00228	0	0	2,356 19	2,356 19	-	00229	0	0	2,356 19	2,356 19	-

Platee - Verifiche pressoflessione retta allo SLU																			
Dir	Pos	Nodo	N _{Ed}	M _{Ed}	A _s	A _{df}	CS	Nodo	N _{Ed}	M _{Ed}	A _s	A _{df}	CS	Nodo	N _{Ed}	M _{Ed}	A _s	A _{df}	CS
			[N]	[N-m]	[cm ² /cm]	[cm ² /cm]			[N]	[N-m]	[cm ² /cm]	[cm ² /cm]			[N]	[N-m]	[cm ² /cm]	[cm ² /cm]	
	I		0	744.0 07	2,356 19	2,356 19	48,8 3		0	998.4 24	2,356 19	2,356 19	36,3 9		0	1.254. 526	2,356 19	2,356 19	28,96
S	S		0	214.8 05	1,413 72	1,413 72	NS		0	278.9 73	1,413 72	1,413 72	78,1 5		0	342.8 74	1,413 72	1,413 72	63,59
	I		0	5.292	1,413 72	1,413 72	NS		0	5.228	1,413 72	1,413 72	NS		0	5.190	1,413 72	1,413 72	NS
P	S	00230	0	0	2,356 19	2,356 19	-	00231	0	0	2,356 19	2,356 19	-	00232	0	0	2,356 19	2,356 19	-
	I		0	1.479. 697	2,356 19	2,356 19	24,5 5		0	1.655. 579	2,356 19	2,356 19	21,9 5		0	1.757. 646	2,356 19	2,356 19	20,67
S	S		0	405.4 12	1,413 72	1,413 72	53,7 8		0	460.2 00	1,413 72	1,413 72	47,3 8		0	490.7 46	1,413 72	1,413 72	44,43
	I		0	5.169	1,413 72	1,413 72	NS		0	5.188	1,413 72	1,413 72	NS		0	5.238	1,413 72	1,413 72	NS
P	S	00233	0	0	2,356 19	2,356 19	-	00234	0	0	2,356 19	2,356 19	-	00235	0	0	2,356 19	2,356 19	-
	I		0	1.754. 357	2,356 19	2,356 19	20,7 1		0	1.630. 968	2,356 19	2,356 19	22,2 8		0	1.389. 245	2,356 19	2,356 19	26,15
S	S		0	493.6 28	1,413 72	1,413 72	44,1 7		0	459.4 29	1,413 72	1,413 72	47,4 6		0	384.7 69	1,413 72	1,413 72	56,66
	I		0	5.481	1,413 72	1,413 72	NS		0	5.471	1,413 72	1,413 72	NS		0	5.201	1,413 72	1,413 72	NS
P	S	00236	0	0	2,356 19	2,356 19	-	00237	0	0	2,356 19	2,356 19	-	00238	0	0	2,356 19	2,356 19	-
	I		0	1.027. 952	2,356 19	2,356 19	35,3 4		0	585.9 46	2,356 19	2,356 19	62,0 1		0	115.5 42	2,356 19	2,356 19	NS
S	S		0	271.2 97	1,413 72	1,413 72	80,3 7		0	125.7 69	1,413 72	1,413 72	NS		0	0	1,413 72	1,413 72	-
	I		0	5.135	1,413 72	1,413 72	NS		0	5.103	1,413 72	1,413 72	NS		0	32.67 7	1,413 72	1,413 72	NS
P	S	00239	0	346.5 91	2,356 19	2,356 19	NS	00240	0	742.2 13	2,356 19	2,356 19	48,9 5	00241	0	1.031. 788	2,356 19	2,356 19	35,21
	I		0	2.881	2,356 19	2,356 19	NS		0	3.243	2,356 19	2,356 19	NS		0	3.302	2,356 19	2,356 19	NS
S	S		0	0	1,413 72	1,413 72	-		0	0	1,413 72	1,413 72	-		0	0	1,413 72	1,413 72	-
	I		0	184.2 36	1,413 72	1,413 72	NS		0	310.5 97	1,413 72	1,413 72	70,2 0		0	402.3 88	1,413 72	1,413 72	54,18
P	S	00242	0	1.212. 904	2,356 19	2,356 19	29,9 5	00243	0	1.276. 964	2,356 19	2,356 19	28,4 5	00244	0	1.238. 047	2,356 19	2,356 19	29,35
	I		0	3.468	2,356 19	2,356 19	NS		0	3.683	2,356 19	2,356 19	NS		0	3.643	2,356 19	2,356 19	NS
S	S		0	0	1,413 72	1,413 72	-		0	0	1,413 72	1,413 72	-		0	0	1,413 72	1,413 72	-
	I		0	456.3 50	1,413 72	1,413 72	47,7 8		0	474.0 68	1,413 72	1,413 72	45,9 9		0	464.3 63	1,413 72	1,413 72	46,95
P	S	00245	0	1.121. 799	2,356 19	2,356 19	32,3 9	00246	0	951.4 09	2,356 19	2,356 19	38,1 9	00247	0	746.4 77	2,356 19	2,356 19	48,67
	I		0	4.157	2,356 19	2,356 19	NS		0	4.393	2,356 19	2,356 19	NS		0	4.388	2,356 19	2,356 19	NS
S	S		0	0	1,413 72	1,413 72	-		0	0	1,413 72	1,413 72	-		0	0	1,413 72	1,413 72	-
	I		0	429.4 34	1,413 72	1,413 72	50,7 7		0	385.1 68	1,413 72	1,413 72	56,6 1		0	337.9 20	1,413 72	1,413 72	64,52
P	S	00248	0	538.2 65	2,356 19	2,356 19	67,5 0	00249	0	344.9 28	2,356 19	2,356 19	NS	00250	0	178.7 31	2,356 19	2,356 19	NS
	I		0	4.907	2,356 19	2,356 19	NS		0	5.069	2,356 19	2,356 19	NS		0	5.279	2,356 19	2,356 19	NS
S	S		0	0	1,413 72	1,413 72	-		0	0	1,413 72	1,413 72	-		0	0	1,413 72	1,413 72	-
	I		0	288.4 68	1,413 72	1,413 72	75,5 8		0	245.3 38	1,413 72	1,413 72	88,8 7		0	209.4 22	1,413 72	1,413 72	NS
P	S	00251	0	58.86 0	2,356 19	2,356 19	NS	00252	0	0	2,356 19	2,356 19	-	00253	0	0	2,356 19	2,356 19	-
	I		0	5.876	2,356 19	2,356 19	NS		0	57.03 5	2,356 19	2,356 19	NS		0	224.5 37	2,356 19	2,356 19	NS
S	S		0	0	1,413	1,413	-		0	25.43	1,413	1,413	NS		0	83.22	1,413	1,413	NS

SASSARI EOLICA S.R.L.	PARCO EOLICO DI "SASSARI"		 Ingegneria & Innovazione		
			RELAZIONE DI CALCOLO PREDIMENSIONAMENTO DELLE FONDAZIONI WTG		
			26/05/2023	REV: 1	Pag.186

Platee - Verifiche pressoflessione retta allo SLU																			
Dir	Pos	Nodo	N _{Ed}	M _{Ed}	A _s	A _{df}	CS	Nodo	N _{Ed}	M _{Ed}	A _s	A _{df}	CS	Nodo	N _{Ed}	M _{Ed}	A _s	A _{df}	CS
			[N]	[N-m]	[cm ² /cm]	[cm ² /cm]			[N]	[N-m]	[cm ² /cm]	[cm ² /cm]			[N]	[N-m]	[cm ² /cm]	[cm ² /cm]	
	I		0	179.5 67	72 1,413 72	72 1,413 72	NS		0	9 4.347	72 1,413 72	72 1,413 72	NS		0	3 5.615	72 1,413 72	72 1,413 72	NS
P	S	00254	0	0	2,356 19	2,356 19	-	00255	0	0	2,356 19	2,356 19	-	00256	0	0	2,356 19	2,356 19	-
	I		0	431.5 59	2,356 19	2,356 19	84,1 9		0	678.0 17	2,356 19	2,356 19	53,5 9		0	951.9 09	2,356 19	2,356 19	38,17
S	S		0	145.1 21	1,413 72	1,413 72	NS		0	216.8 53	1,413 72	1,413 72	NS		0	298.3 56	1,413 72	1,413 72	73,08
	I		0	5.220	1,413 72	1,413 72	NS		0	5.160	1,413 72	1,413 72	NS		0	5.130	1,413 72	1,413 72	NS
P	S	00257	0	0	2,356 19	2,356 19	-	00258	0	0	2,356 19	2,356 19	-	00259	0	0	2,356 19	2,356 19	-
	I		0	1.239. 617	2,356 19	2,356 19	29,3 1		0	1.518. 233	2,356 19	2,356 19	23,9 3		0	1.757. 632	2,356 19	2,356 19	20,67
S	S		0	388.1 04	1,413 72	1,413 72	56,1 8		0	480.4 70	1,413 72	1,413 72	45,3 8		0	565.1 55	1,413 72	1,413 72	38,58
	I		0	5.086	1,413 72	1,413 72	NS		0	5.042	1,413 72	1,413 72	NS		0	5.047	1,413 72	1,413 72	NS
P	S	00260	0	0	2,356 19	2,356 19	-	00261	0	0	2,356 19	2,356 19	-	00262	0	0	2,356 19	2,356 19	-
	I		0	1.930. 571	2,356 19	2,356 19	18,8 2		0	2.004. 672	2,356 19	2,356 19	18,1 2		0	1.948. 275	2,356 19	2,356 19	18,65
S	S		0	631.9 40	1,413 72	1,413 72	34,5 0		0	666.6 21	1,413 72	1,413 72	32,7 1		0	653.8 96	1,413 72	1,413 72	33,34
	I		0	5.060	1,413 72	1,413 72	NS		0	5.069	1,413 72	1,413 72	NS		0	5.077	1,413 72	1,413 72	NS
P	S	00263	0	0	2,356 19	2,356 19	-	00264	0	0	2,356 19	2,356 19	-	00265	0	0	2,356 19	2,356 19	-
	I		0	1.747. 148	2,356 19	2,356 19	20,8 0		0	1.397. 787	2,356 19	2,356 19	25,9 9		0	924.5 45	2,356 19	2,356 19	39,30
S	S		0	585.0 10	1,413 72	1,413 72	37,2 7		0	455.6 71	1,413 72	1,413 72	47,8 5		0	274.1 57	1,413 72	1,413 72	79,53
	I		0	5.037	1,413 72	1,413 72	NS		0	5.000	1,413 72	1,413 72	NS		0	4.962	1,413 72	1,413 72	NS
P	S	00266	0	0	2,356 19	2,356 19	-	00267	0	183.3 74	2,356 19	2,356 19	NS	00268	0	688.6 72	2,356 19	2,356 19	52,76
	I		0	376.6 56	2,356 19	2,356 19	96,4 6		0	3.004	2,356 19	2,356 19	NS		0	3.077	2,356 19	2,356 19	NS
S	S		0	60.50 1	1,413 72	1,413 72	NS		0	0	1,413 72	1,413 72	-		0	0	1,413 72	1,413 72	-
	I		0	4.934	1,413 72	1,413 72	NS		0	159.1 96	1,413 72	1,413 72	NS		0	354.0 25	1,413 72	1,413 72	61,59
P	S	00269	0	1.087. 108	2,356 19	2,356 19	33,4 2	00270	0	1.350. 386	2,356 19	2,356 19	26,9 1	00271	0	1.475. 780	2,356 19	2,356 19	24,62
	I		0	3.242	2,356 19	2,356 19	NS		0	3.347	2,356 19	2,356 19	NS		0	3.528	2,356 19	2,356 19	NS
S	S		0	0	1,413 72	1,413 72	-		0	0	1,413 72	1,413 72	-		0	0	1,413 72	1,413 72	-
	I		0	503.6 51	1,413 72	1,413 72	43,2 9		0	597.9 94	1,413 72	1,413 72	36,4 6		0	638.6 48	1,413 72	1,413 72	34,14
P	S	00272	0	1.473. 054	2,356 19	2,356 19	24,6 6	00273	0	1.369. 459	2,356 19	2,356 19	26,5 3	00274	0	1.194. 305	2,356 19	2,356 19	30,42
	I		0	3.678	2,356 19	2,356 19	NS		0	3.904	2,356 19	2,356 19	NS		0	4.191	2,356 19	2,356 19	NS
S	S		0	0	1,413 72	1,413 72	-		0	0	1,413 72	1,413 72	-		0	0	1,413 72	1,413 72	-
	I		0	632.4 91	1,413 72	1,413 72	34,4 7		0	593.2 54	1,413 72	1,413 72	36,7 5		0	534.0 76	1,413 72	1,413 72	40,82
P	S	00275	0	973.6 93	2,356 19	2,356 19	37,3 1	00276	0	737.6 75	2,356 19	2,356 19	49,2 5	00277	0	510.1 82	2,356 19	2,356 19	71,21
	I		0	4.399	2,356 19	2,356 19	NS		0	4.652	2,356 19	2,356 19	NS		0	4.926	2,356 19	2,356 19	NS
S	S		0	0	1,413 72	1,413 72	-		0	0	1,413 72	1,413 72	-		0	0	1,413 72	1,413 72	-
	I		0	464.7 84	1,413 72	1,413 72	46,9 1		0	395.6 76	1,413 72	1,413 72	55,1 0		0	332.9 70	1,413 72	1,413 72	65,48


Il presente documento è di proprietà della ANTEX GROUP srl.
È vietato la comunicazione a terzi o la riproduzione senza il permesso scritto della suddetta.
La società tutela i propri diritti a rigore di Legge.

Comm.: C21-002-S05



Platee - Verifiche pressoflessione retta allo SLU																			
Dir	Pos	Nodo	N _{Ed}	M _{Ed}	A _s	A _{df}	CS	Nodo	N _{Ed}	M _{Ed}	A _s	A _{df}	CS	Nodo	N _{Ed}	M _{Ed}	A _s	A _{df}	CS
			[N]	[N-m]	[cm ² /cm]	[cm ² /cm]			[N]	[N-m]	[cm ² /cm]	[cm ² /cm]			[N]	[N-m]	[cm ² /cm]	[cm ² /cm]	
P	S	00278	0	307.2 26	2,356 19	2,356 19	NS	00279	0	144.0 74	2,356 19	2,356 19	NS	00280	0	26.38 4	2,356 19	2,356 19	NS
	I		0	5.068	2,356 19	2,356 19	NS		0	5.059	2,356 19	2,356 19	NS		0	4.866	2,356 19	2,356 19	NS
S	S		0	0	1,413 72	1,413 72	-		0	0	1,413 72	1,413 72	-		0	0	1,413 72	1,413 72	-
	I		0	279.0 95	1,413 72	1,413 72	78,1 2		0	235.8 23	1,413 72	1,413 72	92,4 5		0	197.3 05	1,413 72	1,413 72	NS
P	S	00281	0	0	2,356 19	2,356 19	-	00282	0	0	2,356 19	2,356 19	-	00283	0	0	2,356 19	2,356 19	-
	I		0	141.1 13	2,356 19	2,356 19	NS		0	344.2 90	2,356 19	2,356 19	NS		0	591.4 47	2,356 19	2,356 19	61,43
S	S		0	4.905	1,413 72	1,413 72	NS		0	71.98 6	1,413 72	1,413 72	NS		0	149.1 58	1,413 72	1,413 72	NS
	I		0	4.953	1,413 72	1,413 72	NS		0	4.872	1,413 72	1,413 72	NS		0	4.983	1,413 72	1,413 72	NS
P	S	00284	0	0	2,356 19	2,356 19	-	00285	0	0	2,356 19	2,356 19	-	00286	0	0	2,356 19	2,356 19	-
	I		0	880.4 77	2,356 19	2,356 19	41,2 6		0	1.199. 049	2,356 19	2,356 19	30,3 0		0	1.527. 787	2,356 19	2,356 19	23,78
S	S		0	240.6 85	1,413 72	1,413 72	90,5 9		0	346.0 84	1,413 72	1,413 72	63,0 0		0	461.5 62	1,413 72	1,413 72	47,24
	I		0	4.953	1,413 72	1,413 72	NS		0	4.929	1,413 72	1,413 72	NS		0	4.887	1,413 72	1,413 72	NS
P	S	00287	0	0	2,356 19	2,356 19	-	00288	0	0	2,356 19	2,356 19	-	00289	0	0	2,356 19	2,356 19	-
	I		0	1.838. 213	2,356 19	2,356 19	19,7 7		0	2.096. 973	2,356 19	2,356 19	17,3 3		0	2.265. 912	2,356 19	2,356 19	16,03
S	S		0	578.5 99	1,413 72	1,413 72	37,6 8		0	684.8 42	1,413 72	1,413 72	31,8 4		0	763.6 51	1,413 72	1,413 72	28,55
	I		0	4.863	1,413 72	1,413 72	NS		0	4.857	1,413 72	1,413 72	NS		0	4.835	1,413 72	1,413 72	NS
P	S	00290	0	0	2,356 19	2,356 19	-	00291	0	0	2,356 19	2,356 19	-	00292	0	0	2,356 19	2,356 19	-
	I		0	2.303. 637	2,356 19	2,356 19	15,7 7		0	2.175. 776	2,356 19	2,356 19	16,7 0		0	1.863. 713	2,356 19	2,356 19	19,49
S	S		0	795.0 27	1,413 72	1,413 72	27,4 2		0	760.3 36	1,413 72	1,413 72	28,6 8		0	647.2 50	1,413 72	1,413 72	33,69
	I		0	4.816	1,413 72	1,413 72	NS		0	4.797	1,413 72	1,413 72	NS		0	4.777	1,413 72	1,413 72	NS
P	S	00293	0	0	2,356 19	2,356 19	-	00294	0	0	2,356 19	2,356 19	-	00295	0	0	2,356 19	2,356 19	-
	I		0	1.373. 453	2,356 19	2,356 19	26,4 5		0	748.4 46	2,356 19	2,356 19	48,5 4		0	64.95 4	2,356 19	2,356 19	NS
S	S		0	455.4 58	1,413 72	1,413 72	47,8 7		0	202.9 20	1,413 72	1,413 72	NS		0	0	1,413 72	1,413 72	-
	I		0	4.765	1,413 72	1,413 72	NS		0	4.741	1,413 72	1,413 72	NS		0	77.22 5	1,413 72	1,413 72	NS
P	S	00296	0	587.3 87	2,356 19	2,356 19	61,8 5	00297	0	1.127. 290	2,356 19	2,356 19	32,2 3	00298	0	1.506. 583	2,356 19	2,356 19	24,12
	I		0	3.011	2,356 19	2,356 19	NS		0	3.134	2,356 19	2,356 19	NS		0	3.275	2,356 19	2,356 19	NS
S	S		0	0	1,413 72	1,413 72	-		0	0	1,413 72	1,413 72	-		0	0	1,413 72	1,413 72	-
	I		0	341.3 11	1,413 72	1,413 72	63,8 8		0	554.5 04	1,413 72	1,413 72	39,3 2		0	696.3 20	1,413 72	1,413 72	31,31
P	S	00299	0	1.712. 519	2,356 19	2,356 19	21,2 2	00300	0	1.757. 132	2,356 19	2,356 19	20,6 8	00301	0	1.669. 370	2,356 19	2,356 19	21,76
	I		0	3.402	2,356 19	2,356 19	NS		0	3.576	2,356 19	2,356 19	NS		0	3.758	2,356 19	2,356 19	NS
S	S		0	0	1,413 72	1,413 72	-		0	0	1,413 72	1,413 72	-		0	0	1,413 72	1,413 72	-
	I		0	764.0 66	1,413 72	1,413 72	28,5 4		0	767.1 47	1,413 72	1,413 72	28,4 2		0	722.0 24	1,413 72	1,413 72	30,20
P	S	00302	0	1.486. 282	2,356 19	2,356 19	24,4 5	00303	0	1.243. 635	2,356 19	2,356 19	29,2 1	00304	0	974.0 78	2,356 19	2,356 19	37,30
	I		0	4.015	2,356	2,356	NS		0	4.263	2,356	2,356	NS		0	4.491	2,356	2,356	NS

Platee - Verifiche pressoflessione retta allo SLU																			
Dir	Pos	Nodo	N _{Ed}	M _{Ed}	A _s	A _{df}	CS	Nodo	N _{Ed}	M _{Ed}	A _s	A _{df}	CS	Nodo	N _{Ed}	M _{Ed}	A _s	A _{df}	CS
			[N]	[N-m]	[cm²/cm]	[cm²/cm]			[N]	[N-m]	[cm²/cm]	[cm²/cm]			[N]	[N-m]	[cm²/cm]	[cm²/cm]	
S	S				19	19					19	19					19	19	
	I		0	0	1,413	1,413	-		0	0	1,413	1,413	-		0	0	1,413	1,413	-
			0	647.0	1,413	1,413	33,6		0	558.2	1,413	1,413	39,0		0	467.7	1,413	1,413	46,61
			0	88	72	72	9		0	28	72	72	6		0	28	72	72	
P	S	00305	0	706.4	2,356	2,356	51,4	00306	0	461.8	2,356	2,356	78,6	00307	0	255.1	2,356	2,356	NS
	I		0	66	19	19	3		0	33	19	19	7		0	67	19	19	
			0	4.755	2,356	2,356	NS		0	4.956	2,356	2,356	NS		0	5.128	2,356	2,356	NS
			0		19	19			0		19	19			0		19	19	
S	S		0	0	1,413	1,413	-		0	0	1,413	1,413	-		0	0	1,413	1,413	-
	I		0	384.4	1,413	1,413	56,7		0	312.8	1,413	1,413	69,7		0	254.2	1,413	1,413	85,76
			0	09	72	72	2		0	00	72	72	0		0	33	72	72	
P	S	00308	0	92.27	2,356	2,356	NS	00309	0	0	2,356	2,356	-	00310	0	0	2,356	2,356	-
	I		0	7	19	19			0	62.13	2,356	2,356	NS		0	247.2	2,356	2,356	NS
			0	5.730	19	19	NS		0	0	19	19			0	81	19	19	
S	S		0	0	1,413	1,413	-		0	0	1,413	1,413	-		0	0	1,413	1,413	-
	I		0	205.9	1,413	1,413	NS		0	124.1	1,413	1,413	NS		0	58.47	1,413	1,413	NS
			0	09	72	72			0	34	72	72			0	8	72	72	
P	S	00311	0	0	2,356	2,356	-	00312	0	0	2,356	2,356	-	00313	0	0	2,356	2,356	-
	I		0	485.9	2,356	2,356	74,7		0	780.3	2,356	2,356	46,5		0	1.122.	2,356	2,356	32,37
			0	54	19	19	7		0	19	19	19	6		0	552	19	19	
S	S		0	16.93	1,413	1,413	NS		0	107.6	1,413	1,413	NS		0	217.8	1,413	1,413	NS
	I		0	6	72	72			0	36	72	72			0	35	72	72	
			0	4.808	1,413	1,413	NS		0	4.747	1,413	1,413	NS		0	4.724	1,413	1,413	NS
			0		72	72			0		72	72			0		72	72	
P	S	00314	0	0	2,356	2,356	-	00315	0	0	2,356	2,356	-	00316	0	0	2,356	2,356	-
	I		0	1.497.	2,356	2,356	24,2		0	1.878.	2,356	2,356	19,3		0	2.233.	2,356	2,356	16,27
			0	000	19	19	7		0	775	19	19	4		0	378	19	19	
S	S		0	346.4	1,413	1,413	62,9		0	488.3	1,413	1,413	44,6		0	632.7	1,413	1,413	34,46
	I		0	84	72	72	3		0	60	72	72	4		0	51	72	72	
			0	4.693	1,413	1,413	NS		0	4.661	1,413	1,413	NS		0	4.634	1,413	1,413	NS
			0		72	72			0		72	72			0		72	72	
P	S	00317	0	0	2,356	2,356	-	00318	0	0	2,356	2,356	-	00319	0	0	2,356	2,356	-
	I		0	2.517.	2,356	2,356	14,4		0	2.680.	2,356	2,356	13,5		0	2.667.	2,356	2,356	13,62
			0	518	19	19	3		0	007	19	19	6		0	406	19	19	
S	S		0	762.7	1,413	1,413	28,5		0	854.9	1,413	1,413	25,5		0	882.0	1,413	1,413	24,72
	I		0	27	72	72	9		0	22	72	72	0		0	64	72	72	
			0	4.608	1,413	1,413	NS		0	4.579	1,413	1,413	NS		0	4.555	1,413	1,413	NS
			0		72	72			0		72	72			0		72	72	
P	S	00320	0	0	2,356	2,356	-	00321	0	0	2,356	2,356	-	00322	0	0	2,356	2,356	-
	I		0	2.435.	2,356	2,356	14,9		0	1.964.	2,356	2,356	18,5		0	1.276.	2,356	2,356	28,47
			0	694	19	19	2		0	336	19	19	0		0	035	19	19	
S	S		0	819.0	1,413	1,413	26,6		0	651.3	1,413	1,413	33,4		0	386.1	1,413	1,413	56,47
	I		0	01	72	72	2		0	52	72	72	7		0	07	72	72	
			0	4.534	1,413	1,413	NS		0	4.520	1,413	1,413	NS		0	4.508	1,413	1,413	NS
			0		72	72			0		72	72			0		72	72	
P	S	00323	0	0	2,356	2,356	-	00324	0	395.7	2,356	2,356	91,8	00325	0	1.131.	2,356	2,356	32,10
	I		0	448.8	2,356	2,356	80,9		0	2.971	2,356	2,356	NS		0	3.042	2,356	2,356	NS
			0	69	19	19	4				19	19					19	19	
S	S		0	57.78	1,413	1,413	NS		0	0	1,413	1,413	-		0	0	1,413	1,413	-
	I		0	8	72	72			0		72	72			0		72	72	
			0	4.501	1,413	1,413	NS		0	278.7	1,413	1,413	78,2		0	564.2	1,413	1,413	38,64
			0		72	72			0	91	72	72	0		0	14	72	72	
P	S	00326	0	1.675.	2,356	2,356	21,6	00327	0	1.996.	2,356	2,356	18,2	00328	0	2.104.	2,356	2,356	17,26
	I		0	810	19	19	8		0	188	19	19	0		0	776	19	19	
			0	3.162	2,356	2,356	NS		0	3.276	2,356	2,356	NS		0	3.445	2,356	2,356	NS
			0		19	19					19	19					19	19	
S	S		0	0	1,413	1,413	-		0	0	1,413	1,413	-		0	0	1,413	1,413	-
			0		72	72			0		72	72			0		72	72	

SASSARI EOLICA S.R.L.	PARCO EOLICO DI "SASSARI"		 Ingegneria & Innovazione		
	RELAZIONE DI CALCOLO PREDIMENSIONAMENTO DELLE FONDAZIONI WTG		26/05/2023	REV: 1	Pag.189

Platee - Verifiche pressoflessione retta allo SLU																			
Dir	Pos	Nodo	N _{Ed}	M _{Ed}	A _s	A _{df}	CS	Nodo	N _{Ed}	M _{Ed}	A _s	A _{df}	CS	Nodo	N _{Ed}	M _{Ed}	A _s	A _{df}	CS
			[N]	[N-m]	[cm ² /cm]	[cm ² /cm]			[N]	[N-m]	[cm ² /cm]	[cm ² /cm]			[N]	[N-m]	[cm ² /cm]	[cm ² /cm]	
	I		0	762.1 08	1,413 72	1,413 72	28,6 1		0	861.6 51	1,413 72	1,413 72	25,3 0		0	873.4 12	1,413 72	1,413 72	24,96
P	S	00329	0	2.038. 260	2,356 19	2,356 19	17,8 3	00330	0	1.844. 264	2,356 19	2,356 19	19,7 0	00331	0	1.570. 269	2,356 19	2,356 19	23,14
	I		0	3.633	2,356 19	2,356 19	NS		0	3.854	2,356 19	2,356 19	NS		0	4.102	2,356 19	2,356 19	NS
S	S		0	0	1,413 72	1,413 72	-		0	0	1,413 72	1,413 72	-		0	0	1,413 72	1,413 72	-
	I		0	819.4 72	1,413 72	1,413 72	26,6 1		0	725.0 08	1,413 72	1,413 72	30,0 7		0	612.2 76	1,413 72	1,413 72	35,61
P	S	00332	0	1.257. 877	2,356 19	2,356 19	28,8 8	00333	0	941.4 91	2,356 19	2,356 19	38,5 9	00334	0	647.1 66	2,356 19	2,356 19	56,14
	I		0	4.347	2,356 19	2,356 19	NS		0	4.593	2,356 19	2,356 19	NS		0	4.818	2,356 19	2,356 19	NS
S	S		0	0	1,413 72	1,413 72	-		0	0	1,413 72	1,413 72	-		0	0	1,413 72	1,413 72	-
	I		0	497.9 44	1,413 72	1,413 72	43,7 9		0	393.0 26	1,413 72	1,413 72	55,4 7		0	303.3 76	1,413 72	1,413 72	71,87
P	S	00335	0	392.7 48	2,356 19	2,356 19	92,5 1	00336	0	189.1 60	2,356 19	2,356 19	NS	00337	0	39.24 2	2,356 19	2,356 19	NS
	I		0	4.966	2,356 19	2,356 19	NS		0	4.934	2,356 19	2,356 19	NS		0	4.769	2,356 19	2,356 19	NS
S	S		0	0	1,413 72	1,413 72	-		0	0	1,413 72	1,413 72	-		0	0	1,413 72	1,413 72	-
	I		0	230.8 13	1,413 72	1,413 72	94,4 6		0	173.6 39	1,413 72	1,413 72	NS		0	122.5 76	1,413 72	1,413 72	NS
P	S	00338	0	0	2,356 19	2,356 19	-	00339	0	0	2,356 19	2,356 19	-	00340	0	0	2,356 19	2,356 19	-
	I		0	143.9 42	2,356 19	2,356 19	NS		0	365.4 42	2,356 19	2,356 19	99,4 2		0	651.8 80	2,356 19	2,356 19	55,73
S	S		0	0	1,413 72	1,413 72	-		0	0	1,413 72	1,413 72	-		0	0	1,413 72	1,413 72	-
	I		0	243.0 46	1,413 72	1,413 72	89,7 1		0	175.9 48	1,413 72	1,413 72	NS		0	95.52 4	1,413 72	1,413 72	NS
P	S	00341	0	0	2,356 19	2,356 19	-	00342	0	0	2,356 19	2,356 19	-	00343	0	0	2,356 19	2,356 19	-
	I		0	1.004. 966	2,356 19	2,356 19	36,1 5		0	1.414. 420	2,356 19	2,356 19	25,6 9		0	1.860. 736	2,356 19	2,356 19	19,53
S	S		0	8.084	1,413 72	1,413 72	NS		0	135.5 86	1,413 72	1,413 72	NS		0	287.9 63	1,413 72	1,413 72	75,71
	I		0	4.515	1,413 72	1,413 72	NS		0	4.480	1,413 72	1,413 72	NS		0	4.446	1,413 72	1,413 72	NS
P	S	00344	0	0	2,356 19	2,356 19	-	00345	0	0	2,356 19	2,356 19	-	00346	0	0	2,356 19	2,356 19	-
	I		0	2.312. 884	2,356 19	2,356 19	15,7 1		0	2.726. 752	2,356 19	2,356 19	13,3 2		0	3.044. 213	2,356 19	2,356 19	11,93
S	S		0	459.5 68	1,413 72	1,413 72	47,4 4		0	637.1 53	1,413 72	1,413 72	34,2 2		0	797.8 74	1,413 72	1,413 72	27,33
	I		0	4.413	1,413 72	1,413 72	NS		0	4.380	1,413 72	1,413 72	NS		0	4.346	1,413 72	1,413 72	NS
P	S	00347	0	0	2,356 19	2,356 19	-	00348	0	0	2,356 19	2,356 19	-	00349	0	0	2,356 19	2,356 19	-
	I		0	3.195. 090	2,356 19	2,356 19	11,3 7		0	3.106. 132	2,356 19	2,356 19	11,7 0		0	2.717. 472	2,356 19	2,356 19	13,37
S	S		0	909.1 11	1,413 72	1,413 72	23,9 8		0	932.3 99	1,413 72	1,413 72	23,3 8		0	833.0 11	1,413 72	1,413 72	26,17
	I		0	4.315	1,413 72	1,413 72	NS		0	4.290	1,413 72	1,413 72	NS		0	4.270	1,413 72	1,413 72	NS
P	S	00350	0	0	2,356 19	2,356 19	-	00351	0	0	2,356 19	2,356 19	-	00352	0	47.17 8	2,356 19	2,356 19	NS
	I		0	2.010. 483	2,356 19	2,356 19	18,0 7		0	1.040. 678	2,356 19	2,356 19	34,9 1		0	2.929	2,356 19	2,356 19	NS
S	S		0	595.5 80	1,413 72	1,413 72	36,6 1		0	241.5 31	1,413 72	1,413 72	90,2 7		0	0	1,413 72	1,413 72	-
	I		0	4.257	1,413 72	1,413 72	NS		0	4.249	1,413 72	1,413 72	NS		0	165.3 81	1,413 72	1,413 72	NS
P	S	00353	0	1.058.	2,356	2,356	34,3	00354	0	1.842.	2,356	2,356	19,7	00355	0	2.331.	2,356	2,356	15,58

Il presente documento è di proprietà della ANTEX GROUP srl.
È Vietato la comunicazione a terzi o la riproduzione senza il permesso scritto della suddetta.
La società tutela i propri diritti a rigore di Legge.


Comm.: C21-002-S05



Platee - Verifiche pressoflessione retta allo SLU																			
Dir	Pos	Nodo	N _{Ed}	M _{Ed}	A _s	A _{df}	CS	Nodo	N _{Ed}	M _{Ed}	A _s	A _{df}	CS	Nodo	N _{Ed}	M _{Ed}	A _s	A _{df}	CS
			[N]	[N-m]	[cm ² /cm]	[cm ² /cm]			[N]	[N-m]	[cm ² /cm]	[cm ² /cm]			[N]	[N-m]	[cm ² /cm]	[cm ² /cm]	
	I		0	720	19	19	2		0	339	19	19	2		0	658	19	19	
			0	2.972	2,356	2,356	NS		0	3.062	2,356	2,356	NS		0	3.190	2,356	2,356	NS
S	S		0	0	1,413	1,413	-		0	0	1,413	1,413	-		0	0	1,413	1,413	-
	I		0	535.9	1,413	1,413	40,6		0	803.3	1,413	1,413	27,1		0	941.2	1,413	1,413	23,16
				56	72	72	8			50	72	72	4			91	72	72	
P	S	00356	0	2.533.	2,356	2,356	14,3	00357	0	2.497.	2,356	2,356	14,5	00358	0	2.288.	2,356	2,356	15,88
	I		0	530	19	19	4		0	272	19	19	5		0	383	19	19	
				3.313	2,356	2,356	NS		0	3.496	2,356	2,356	NS		0	3.704	2,356	2,356	NS
					19	19					19	19					19	19	
S	S		0	0	1,413	1,413	-		0	0	1,413	1,413	-		0	0	1,413	1,413	-
	I		0	960.0	1,413	1,413	22,7		0	890.3	1,413	1,413	24,4		0	767.6	1,413	1,413	28,40
				92	72	72	1			19	72	72	9			65	72	72	
P	S	00359	0	1.971.	2,356	2,356	18,4	00360	0	1.602.	2,356	2,356	22,6	00361	0	1.224.	2,356	2,356	29,67
	I		0	680	19	19	3		0	555	19	19	7		0	442	19	19	
				3.940	2,356	2,356	NS		0	4.189	2,356	2,356	NS		0	4.437	2,356	2,356	NS
					19	19					19	19					19	19	
S	S		0	0	1,413	1,413	-		0	0	1,413	1,413	-		0	0	1,413	1,413	-
	I		0	623.3	1,413	1,413	34,9		0	479.8	1,413	1,413	45,4		0	350.8	1,413	1,413	62,14
				35	72	72	8			51	72	72	4			69	72	72	
P	S	00362	0	869.2	2,356	2,356	41,8	00363	0	558.3	2,356	2,356	65,0	00364	0	304.8	2,356	2,356	NS
	I		0	24	19	19	0		0	88	19	19	7		0	89	19	19	
				4.673	2,356	2,356	NS		0	4.867	2,356	2,356	NS		0	5.044	2,356	2,356	NS
					19	19					19	19					19	19	
S	S		0	0	1,413	1,413	-		0	0	1,413	1,413	-		0	0	1,413	1,413	-
	I		0	242.8	1,413	1,413	89,7		0	156.7	1,413	1,413	NS		0	90.22	1,413	1,413	NS
				11	72	72	9			50	72	72				0	72	72	
P	S	00365	0	110.2	2,356	2,356	NS	00366	0	0	2,356	2,356	-	00367	0	0	2,356	2,356	-
	I		0	69	19	19			0	54.87	2,356	2,356	NS		0	238.9	2,356	2,356	NS
				5.695	19	19				4	19	19				78	19	19	
S	S		0	0	1,413	1,413	-		0	0	1,413	1,413	-		0	0	1,413	1,413	-
	I		0	36.31	1,413	1,413	NS		0	472.4	1,413	1,413	46,1		0	417.7	1,413	1,413	52,19
				7	72	72				87	72	72	4			21	72	72	
P	S	00368	0	0	2,356	2,356	-	00369	0	0	2,356	2,356	-	00370	0	0	2,356	2,356	-
	I		0	501.3	2,356	2,356	72,4		0	847.3	2,356	2,356	42,8		0	1.273.	2,356	2,356	28,52
				49	19	19	7			27	19	19	8			913	19	19	
S	S		0	0	1,413	1,413	-		0	0	1,413	1,413	-		0	0	1,413	1,413	-
	I		0	354.8	1,413	1,413	61,4		0	273.2	1,413	1,413	79,7		0	164.0	1,413	1,413	NS
				68	72	72	4			94	72	72	8			81	72	72	
P	S	00371	0	0	2,356	2,356	-	00372	0	0	2,356	2,356	-	00373	0	0	2,356	2,356	-
	I		0	1.768.	2,356	2,356	20,5		0	2.308.	2,356	2,356	15,7		0	2.854.	2,356	2,356	12,73
				946	19	19	4			795	19	19	4			597	19	19	
S	S		0	0	1,413	1,413	-		0	156.4	1,413	1,413	NS		0	363.6	1,413	1,413	59,95
	I		0	21.80	1,413	1,413	NS		0	4.194	1,413	1,413	NS		0	4.157	1,413	1,413	NS
				0	72	72					72	72					72	72	
P	S	00374	0	0	2,356	2,356	-	00375	0	0	2,356	2,356	-	00376	0	0	2,356	2,356	-
	I		0	3.348.	2,356	2,356	10,8		0	3.709.	2,356	2,356	9,80		0	3.837.	2,356	2,356	9,47
				166	19	19	5			154	19	19				813	19	19	
S	S		0	584.9	1,413	1,413	37,2		0	789.3	1,413	1,413	27,6		0	930.0	1,413	1,413	23,44
	I		0	39	72	72	7		0	16	72	72	2		0	48	72	72	
				4.120	1,413	1,413	NS		0	4.085	1,413	1,413	NS		0	4.053	1,413	1,413	NS
					72	72					72	72					72	72	
P	S	00377	0	0	2,356	2,356	-	00378	0	0	2,356	2,356	-	00379	0	0	2,356	2,356	-
	I		0	3.627.	2,356	2,356	10,0		0	2.994.	2,356	2,356	12,1		0	1.929.	2,356	2,356	18,83
				279	19	19	2			010	19	19	4			702	19	19	

Platee - Verifiche pressoflessione retta allo SLU																			
Dir	Pos	Nodo	N _{Ed}	M _{Ed}	A _s	A _{df}	CS	Nodo	N _{Ed}	M _{Ed}	A _s	A _{df}	CS	Nodo	N _{Ed}	M _{Ed}	A _s	A _{df}	CS
			[N]	[N-m]	[cm ² /cm]	[cm ² /cm]			[N]	[N-m]	[cm ² /cm]	[cm ² /cm]			[N]	[N-m]	[cm ² /cm]	[cm ² /cm]	
S	S		0	950.5 33	1,413 72	1,413 72	22,9 4		0	801.4 18	1,413 72	1,413 72	27,2 1		0	469.4 51	1,413 72	1,413 72	46,44
	I		0	4.028	1,413 72	1,413 72	NS		0	4.009	1,413 72	1,413 72	NS		0	3.997	1,413 72	1,413 72	NS
P	S	00380	0	0	2,356 19	2,356 19	-	00381	0	831.4 28	2,356 19	2,356 19	43,7 0	00382	0	1.973. 272	2,356 19	2,356 19	18,41
	I		0	563.3 13	2,356 19	2,356 19	64,5 0		0	2.916	2,356 19	2,356 19	NS		0	2.979	2,356 19	2,356 19	NS
S	S		0	7.775	1,413 72	1,413 72	NS		0	0	1,413 72	1,413 72	-		0	0	1,413 72	1,413 72	-
	I		0	3.993	1,413 72	1,413 72	NS		0	464.9 71	1,413 72	1,413 72	46,8 9		0	824.6 61	1,413 72	1,413 72	26,44
P	S	00383	0	2.720. 157	2,356 19	2,356 19	13,3 6	00384	0	3.064. 077	2,356 19	2,356 19	11,8 6	00385	0	3.073. 799	2,356 19	2,356 19	11,82
	I		0	3.082	2,356 19	2,356 19	NS		0	3.221	2,356 19	2,356 19	NS		0	3.358	2,356 19	2,356 19	NS
S	S		0	0	1,413 72	1,413 72	-		0	0	1,413 72	1,413 72	-		0	0	1,413 72	1,413 72	-
	I		0	1.013. 203	1,413 72	1,413 72	21,5 2		0	1.037. 012	1,413 72	1,413 72	21,0 2		0	939.7 38	1,413 72	1,413 72	23,20
P	S	00386	0	2.844. 813	2,356 19	2,356 19	12,7 7	00387	0	2.469. 674	2,356 19	2,356 19	14,7 1	00388	0	2.024. 675	2,356 19	2,356 19	17,94
	I		0	3.556	2,356 19	2,356 19	NS		0	3.781	2,356 19	2,356 19	NS		0	4.027	2,356 19	2,356 19	NS
S	S		0	0	1,413 72	1,413 72	-		0	0	1,413 72	1,413 72	-		0	0	1,413 72	1,413 72	-
	I		0	774.2 81	1,413 72	1,413 72	28,1 6		0	585.7 10	1,413 72	1,413 72	37,2 2		0	404.7 34	1,413 72	1,413 72	53,87
P	S	00389	0	1.566. 742	2,356 19	2,356 19	23,1 9	00390	0	1.135. 394	2,356 19	2,356 19	32,0 0	00391	0	756.2 06	2,356 19	2,356 19	48,05
	I		0	4.280	2,356 19	2,356 19	NS		0	4.528	2,356 19	2,356 19	NS		0	4.752	2,356 19	2,356 19	NS
S	S		0	0	1,413 72	1,413 72	-		0	0	1,413 72	1,413 72	-		0	0	1,413 72	1,413 72	-
	I		0	248.0 45	1,413 72	1,413 72	87,9 0		0	121.7 15	1,413 72	1,413 72	NS		0	25.04 2	1,413 72	1,413 72	NS
P	S	00392	0	444.1 56	2,356 19	2,356 19	81,8 0	00393	0	205.8 43	2,356 19	2,356 19	NS	00394	0	40.48 1	2,356 19	2,356 19	NS
	I		0	4.908	2,356 19	2,356 19	NS		0	4.891	2,356 19	2,356 19	NS		0	4.745	2,356 19	2,356 19	NS
S	S		0	47.43 8	1,413 72	1,413 72	NS		0	100.9 77	1,413 72	1,413 72	NS		0	149.3 06	1,413 72	1,413 72	NS
	I		0	4.358	1,413 72	1,413 72	NS		0	4.714	1,413 72	1,413 72	NS		0	3.616	1,413 72	1,413 72	NS
P	S	00395	0	0	2,356 19	2,356 19	-	00396	0	0	2,356 19	2,356 19	-	00397	0	0	2,356 19	2,356 19	-
	I		0	122.9 81	2,356 19	2,356 19	NS		0	340.8 50	2,356 19	2,356 19	NS		0	658.1 58	2,356 19	2,356 19	55,20
S	S		0	0	1,413 72	1,413 72	-		0	0	1,413 72	1,413 72	-		0	0	1,413 72	1,413 72	-
	I		0	698.9 52	1,413 72	1,413 72	31,1 9		0	657.0 65	1,413 72	1,413 72	33,1 8		0	606.3 47	1,413 72	1,413 72	35,96
P	S	00398	0	0	2,356 19	2,356 19	-	00399	0	0	2,356 19	2,356 19	-	00400	0	0	2,356 19	2,356 19	-
	I		0	1.078. 173	2,356 19	2,356 19	33,7 0		0	1.596. 870	2,356 19	2,356 19	22,7 5		0	2.201. 069	2,356 19	2,356 19	16,51
S	S		0	0	1,413 72	1,413 72	-		0	0	1,413 72	1,413 72	-		0	0	1,413 72	1,413 72	-
	I		0	531.9 25	1,413 72	1,413 72	40,9 9		0	423.7 24	1,413 72	1,413 72	51,4 6		0	271.5 32	1,413 72	1,413 72	80,30
P	S	00401	0	0	2,356 19	2,356 19	-	00402	0	0	2,356 19	2,356 19	-	00403	0	0	2,356 19	2,356 19	-
	I		0	2.863. 271	2,356 19	2,356 19	12,6 9		0	3.534. 703	2,356 19	2,356 19	10,2 8		0	4.137. 084	2,356 19	2,356 19	8,78
S	S		0	0	1,413 72	1,413 72	-		0	183.7 98	1,413 72	1,413 72	NS		0	465.4 91	1,413 72	1,413 72	46,84
	I		0	68.66	1,413 72	1,413 72	NS		0	3.906	1,413 72	1,413 72	NS		0	3.867	1,413 72	1,413 72	NS

Platee - Verifiche pressoflessione retta allo SLU																			
Dir	Pos	Nodo	N _{Ed}	M _{Ed}	A _s	A _{df}	CS	Nodo	N _{Ed}	M _{Ed}	A _s	A _{df}	CS	Nodo	N _{Ed}	M _{Ed}	A _s	A _{df}	CS
			[N]	[N-m]	[cm ² /cm]	[cm ² /cm]			[N]	[N-m]	[cm ² /cm]	[cm ² /cm]			[N]	[N-m]	[cm ² /cm]	[cm ² /cm]	
P	S	00404	0	4	72	72	-	00405	0	0	72	72	-	00406	0	0	72	72	-
	I		0	0	2,356	2,356	-		0	0	2,356	2,356	-		0	0	2,356	2,356	-
			0	4.555.902	2,356	2,356	7,97		0	4.642.156	2,356	2,356	7,83		0	4.232.320	2,356	2,356	8,58
S	S		0	734.883	1,413	1,413	29,67		0	922.126	1,413	1,413	23,64		0	939.915	1,413	1,413	23,20
	I		0	3.832	1,413	1,413	NS		0	3.801	1,413	1,413	NS		0	3.776	1,413	1,413	NS
P	S	00407	0	0	2,356	2,356	-	00408	0	0	2,356	2,356	-	00409	0	313.911	2,356	2,356	NS
	I		0	3.205.325	2,356	2,356	11,34		0	1.588.449	2,356	2,356	22,87		0	2.875	2,356	2,356	NS
S	S		0	715.888	1,413	1,413	30,46		0	249.220	1,413	1,413	87,48		0	0	1,413	1,413	-
	I		0	3.759	1,413	1,413	NS		0	3.750	1,413	1,413	NS		0	334.705	1,413	1,413	65,14
P	S	00410	0	2.002.099	2,356	2,356	18,15	00411	0	3.155.322	2,356	2,356	11,51	00412	0	3.723.209	2,356	2,356	9,76
	I		0	2.914	2,356	2,356	NS		0	2.992	2,356	2,356	NS		0	3.108	2,356	2,356	NS
S	S		0	0	1,413	1,413	-		0	0	1,413	1,413	-		0	0	1,413	1,413	-
	I		0	824.370	1,413	1,413	26,45		0	1.087.514	1,413	1,413	20,05		0	1.115.529	1,413	1,413	19,54
P	S	00413	0	3.805.258	2,356	2,356	9,55	00414	0	3.548.558	2,356	2,356	10,24	00415	0	3.091.832	2,356	2,356	11,75
	I		0	3.260	2,356	2,356	NS		0	3.411	2,356	2,356	NS		0	3.624	2,356	2,356	NS
S	S		0	0	1,413	1,413	-		0	0	1,413	1,413	-		0	0	1,413	1,413	-
	I		0	972.678	1,413	1,413	22,42		0	741.220	1,413	1,413	29,41		0	488.991	1,413	1,413	44,59
P	S	00416	0	2.544.012	2,356	2,356	14,28	00417	0	1.981.584	2,356	2,356	18,34	00418	0	1.453.984	2,356	2,356	24,99
	I		0	3.863	2,356	2,356	NS		0	4.118	2,356	2,356	NS		0	4.376	2,356	2,356	NS
S	S		0	0	1,413	1,413	-		0	0	1,413	1,413	-		0	73.808	1,413	1,413	NS
	I		0	258.713	1,413	1,413	84,27		0	70.159	1,413	1,413	NS		0	4.020	1,413	1,413	NS
P	S	00419	0	990.873	2,356	2,356	36,67	00420	0	608.451	2,356	2,356	59,71	00421	0	314.100	2,356	2,356	NS
	I		0	4.621	2,356	2,356	NS		0	4.830	2,356	2,356	NS		0	5.027	2,356	2,356	NS
S	S		0	176.122	1,413	1,413	NS		0	246.629	1,413	1,413	88,40		0	294.832	1,413	1,413	73,95
	I		0	4.057	1,413	1,413	NS		0	4.095	1,413	1,413	NS		0	3.993	1,413	1,413	NS
P	S	00422	0	107.082	2,356	2,356	NS	00423	0	0	2,356	2,356	-	00424	0	0	2,356	2,356	-
	I		0	5.685	2,356	2,356	NS		0	31.828	2,356	2,356	NS		0	187.269	2,356	2,356	NS
S	S		0	333.707	1,413	1,413	65,34		0	0	1,413	1,413	-		0	0	1,413	1,413	-
	I		0	4.070	1,413	1,413	NS		0	1.005.360	1,413	1,413	21,69		0	986.132	1,413	1,413	22,11
P	S	00425	0	0	2,356	2,356	-	00426	0	0	2,356	2,356	-	00427	0	0	2,356	2,356	-
	I		0	454.046	2,356	2,356	80,02		0	840.408	2,356	2,356	43,23		0	1.351.007	2,356	2,356	26,89
S	S		0	0	1,413	1,413	-		0	0	1,413	1,413	-		0	0	1,413	1,413	-
	I		0	968.020	1,413	1,413	22,52		0	940.829	1,413	1,413	23,17		0	888.510	1,413	1,413	24,54
P	S	00428	0	0	2,356	2,356	-	00429	0	0	2,356	2,356	-	00430	0	0	2,356	2,356	-

SASSARI EOLICA S.R.L.	PARCO EOLICO DI "SASSARI"		 Ingegneria & Innovazione		
	RELAZIONE DI CALCOLO PREDIMENSIONAMENTO DELLE FONDAZIONI WTG		26/05/2023	REV: 1	Pag.193

Platee - Verifiche pressoflessione retta allo SLU																			
Dir	Pos	Nodo	N _{Ed}	M _{Ed}	A _s	A _{df}	CS	Nodo	N _{Ed}	M _{Ed}	A _s	A _{df}	CS	Nodo	N _{Ed}	M _{Ed}	A _s	A _{df}	CS
			[N]	[N-m]	[cm ² /cm]	[cm ² /cm]			[N]	[N-m]	[cm ² /cm]	[cm ² /cm]			[N]	[N-m]	[cm ² /cm]	[cm ² /cm]	
	I		0	1.983.930	2,356 19	2,356 19	18,3 1		0	2.727.054	2,356 19	2,356 19	13,3 2		0	3.550.212	2,356 19	2,356 19	10,23
S	S		0	0	1,413 72	1,413 72	-		0	0	1,413 72	1,413 72	-		0	0	1,413 72	1,413 72	-
	I		0	795.049	1,413 72	1,413 72	27,4 2		0	642.661	1,413 72	1,413 72	33,9 3		0	415.531	1,413 72	1,413 72	52,47
P	S	00431	0	0	2,356 19	2,356 19	-	00432	0	0	2,356 19	2,356 19	-	00433	0	0	2,356 19	2,356 19	-
	I		0	4.392.864	2,356 19	2,356 19	8,27		0	5.147.938	2,356 19	2,356 19	7,06		0	5.646.774	2,356 19	2,356 19	6,43
S	S		0	0	1,413 72	1,413 72	-		0	260.631	1,413 72	1,413 72	83,6 5		0	629.984	1,413 72	1,413 72	34,61
	I		0	108.384	1,413 72	1,413 72	NS		0	3.630	1,413 72	1,413 72	NS		0	3.595	1,413 72	1,413 72	NS
P	S	00434	0	0	2,356 19	2,356 19	-	00435	0	0	2,356 19	2,356 19	-	00436	0	0	2,356 19	2,356 19	-
	I		0	5.655.366	2,356 19	2,356 19	6,42		0	4.907.808	2,356 19	2,356 19	7,40		0	3.220.704	2,356 19	2,356 19	11,28
S	S		0	891.262	1,413 72	1,413 72	24,4 6		0	902.072	1,413 72	1,413 72	24,1 7		0	553.028	1,413 72	1,413 72	39,42
	I		0	3.566	1,413 72	1,413 72	NS		0	3.543	1,413 72	1,413 72	NS		0	3.528	1,413 72	1,413 72	NS
P	S	00437	0	0	2,356 19	2,356 19	-	00438	0	1.791.053	2,356 19	2,356 19	20,2 9	00439	0	3.613.731	2,356 19	2,356 19	10,05
	I		0	740.342	2,356 19	2,356 19	49,0 8		0	2.867	2,356 19	2,356 19	NS		0	2.920	2,356 19	2,356 19	NS
S	S		0	0	1,413 72	1,413 72	-		0	0	1,413 72	1,413 72	-		0	0	1,413 72	1,413 72	-
	I		0	110.433	1,413 72	1,413 72	NS		0	787.563	1,413 72	1,413 72	27,6 8		0	1.173.982	1,413 72	1,413 72	18,57
P	S	00440	0	4.548.696	2,356 19	2,356 19	7,99	00441	0	4.746.559	2,356 19	2,356 19	7,65	00442	0	4.448.756	2,356 19	2,356 19	8,17
	I		0	3.011	2,356 19	2,356 19	NS		0	3.140	2,356 19	2,356 19	NS		0	3.273	2,356 19	2,356 19	NS
S	S		0	0	1,413 72	1,413 72	-		0	0	1,413 72	1,413 72	-		0	0	1,413 72	1,413 72	-
	I		0	1.210.116	1,413 72	1,413 72	18,0 2		0	993.309	1,413 72	1,413 72	21,9 5		0	658.756	1,413 72	1,413 72	33,10
P	S	00443	0	3.874.112	2,356 19	2,356 19	9,38	00444	0	3.184.038	2,356 19	2,356 19	11,4 1	00445	0	2.483.310	2,356 19	2,356 19	14,63
	I		0	3.472	2,356 19	2,356 19	NS		0	3.701	2,356 19	2,356 19	NS		0	3.953	2,356 19	2,356 19	NS
S	S		0	0	1,413 72	1,413 72	-		0	0	1,413 72	1,413 72	-		0	206.226	1,413 72	1,413 72	NS
	I		0	313.501	1,413 72	1,413 72	69,5 5		0	18.260	1,413 72	1,413 72	NS		0	3.750	1,413 72	1,413 72	NS
P	S	00446	0	1.833.479	2,356 19	2,356 19	19,8 2	00447	0	1.267.460	2,356 19	2,356 19	28,6 7	00448	0	800.924	2,356 19	2,356 19	45,36
	I		0	4.217	2,356 19	2,356 19	NS		0	4.481	2,356 19	2,356 19	NS		0	4.727	2,356 19	2,356 19	NS
S	S		0	360.410	1,413 72	1,413 72	60,4 9		0	458.509	1,413 72	1,413 72	47,5 5		0	516.461	1,413 72	1,413 72	42,22
	I		0	3.790	1,413 72	1,413 72	NS		0	3.825	1,413 72	1,413 72	NS		0	3.851	1,413 72	1,413 72	NS
P	S	00449	0	439.702	2,356 19	2,356 19	82,6 3	00450	0	183.314	2,356 19	2,356 19	NS	00451	0	27.261	2,356 19	2,356 19	NS
	I		0	4.914	2,356 19	2,356 19	NS		0	4.925	2,356 19	2,356 19	NS		0	4.788	2,356 19	2,356 19	NS
S	S		0	548.990	1,413 72	1,413 72	39,7 1		0	570.689	1,413 72	1,413 72	38,2 0		0	595.246	1,413 72	1,413 72	36,63
	I		0	3.908	1,413 72	1,413 72	NS		0	4.249	1,413 72	1,413 72	NS		0	3.172	1,413 72	1,413 72	NS
P	S	00452	0	0	2,356 19	2,356 19	-	00453	0	0	2,356 19	2,356 19	-	00454	0	0	2,356 19	2,356 19	-
	I		0	72.979	2,356 19	2,356 19	NS		0	257.732	2,356 19	2,356 19	NS		0	583.270	2,356 19	2,356 19	62,29
S	S		0	0	1,413	1,413	-		0	0	1,413	1,413	-		0	0	1,413	1,413	-


Il presente documento è di proprietà della ANTEX GROUP srl.
È vietato la comunicazione a terzi o la riproduzione senza il permesso scritto della suddetta.
La società tutela i propri diritti a rigore di Legge.

Comm.: C21-002-S05



Platee - Verifiche pressoflessione retta allo SLU																			
Dir	Pos	Nodo	N _{Ed}	M _{Ed}	A _s	A _{df}	CS	Nodo	N _{Ed}	M _{Ed}	A _s	A _{df}	CS	Nodo	N _{Ed}	M _{Ed}	A _s	A _{df}	CS
			[N]	[N-m]	[cm²/cm]	[cm²/cm]			[N]	[N-m]	[cm²/cm]	[cm²/cm]			[N]	[N-m]	[cm²/cm]	[cm²/cm]	
	I		0	1.318. 296	72 1,413 72	72 1,413 72	16,5 4		0	1.332. 666	72 1,413 72	72 1,413 72	16,3 6		0	1.357. 050	72 1,413 72	72 1,413 72	16,07
P	S	00455	0	0	2,356 19	2,356 19	-	00456	0	0	2,356 19	2,356 19	-	00457	0	0	2,356 19	2,356 19	-
	I		0	1.052. 372	2,356 19	2,356 19	34,5 2		0	1.671. 615	2,356 19	2,356 19	21,7 3		0	2.444. 186	2,356 19	2,356 19	14,86
S	S		0	0	1,413 72	1,413 72	-		0	0	1,413 72	1,413 72	-		0	0	1,413 72	1,413 72	-
	I		0	1.373. 095	1,413 72	1,413 72	15,8 8		0	1.365. 182	1,413 72	1,413 72	15,9 7		0	1.309. 760	1,413 72	1,413 72	16,65
P	S	00458	0	0	2,356 19	2,356 19	-	00459	0	0	2,356 19	2,356 19	-	00460	0	0	2,356 19	2,356 19	-
	I		0	3.363. 293	2,356 19	2,356 19	10,8 0		0	4.399. 890	2,356 19	2,356 19	8,26		0	5.481. 337	2,356 19	2,356 19	6,63
S	S		0	0	1,413 72	1,413 72	-		0	0	1,413 72	1,413 72	-		0	0	1,413 72	1,413 72	-
	I		0	1.176. 703	1,413 72	1,413 72	18,5 3		0	933.4 20	1,413 72	1,413 72	23,3 6		0	557.7 12	1,413 72	1,413 72	39,09
P	S	00461	0	0	2,356 19	2,356 19	-	00462	0	0	2,356 19	2,356 19	-	00463	0	0	2,356 19	2,356 19	-
	I		0	6.460. 455	2,356 19	2,356 19	5,62		0	7.078. 635	2,356 19	2,356 19	5,13		0	6.947. 506	2,356 19	2,356 19	5,23
S	S		0	0	1,413 72	1,413 72	-		0	465.8 84	1,413 72	1,413 72	46,8 0		0	847.2 58	1,413 72	1,413 72	25,73
	I		0	63.30 6	1,413 72	1,413 72	NS		0	3.383	1,413 72	1,413 72	NS		0	3.356	1,413 72	1,413 72	NS
P	S	00464	0	0	2,356 19	2,356 19	-	00465	0	0	2,356 19	2,356 19	-	00466	0	1.033. 158	2,356 19	2,356 19	35,17
	I		0	5.602. 174	2,356 19	2,356 19	6,49		0	2.739. 423	2,356 19	2,356 19	13,2 6		0	2.841	2,356 19	2,356 19	NS
S	S		0	834.3 99	1,413 72	1,413 72	26,1 3		0	255.1 04	1,413 72	1,413 72	85,4 7		0	0	1,413 72	1,413 72	-
	I		0	3.335	1,413 72	1,413 72	NS		0	3.324	1,413 72	1,413 72	NS		0	668.0 57	1,413 72	1,413 72	32,64
P	S	00467	0	4.030. 674	2,356 19	2,356 19	9,01	00468	0	5.597. 672	2,356 19	2,356 19	6,49	00469	0	5.984. 726	2,356 19	2,356 19	6,07
	I		0	2.871	2,356 19	2,356 19	NS		0	2.935	2,356 19	2,356 19	NS		0	3.037	2,356 19	2,356 19	NS
S	S		0	0	1,413 72	1,413 72	-		0	0	1,413 72	1,413 72	-		0	0	1,413 72	1,413 72	-
	I		0	1.280. 608	1,413 72	1,413 72	17,0 3		0	1.341. 600	1,413 72	1,413 72	16,2 5		0	1.004. 207	1,413 72	1,413 72	21,71
P	S	00470	0	5.618. 363	2,356 19	2,356 19	6,47	00471	0	4.864. 714	2,356 19	2,356 19	7,47	00472	0	3.972. 310	2,356 19	2,356 19	9,15
	I		0	3.181	2,356 19	2,356 19	NS		0	3.329	2,356 19	2,356 19	NS		0	3.544	2,356 19	2,356 19	NS
S	S		0	0	1,413 72	1,413 72	-		0	0	1,413 72	1,413 72	-		0	358.0 71	1,413 72	1,413 72	60,89
	I		0	504.9 21	1,413 72	1,413 72	43,1 8		0	21.91 3	1,413 72	1,413 72	NS		0	3.492	1,413 72	1,413 72	NS
P	S	00473	0	3.086. 317	2,356 19	2,356 19	11,7 7	00474	0	2.281. 262	2,356 19	2,356 19	15,9 3	00475	0	1.590. 102	2,356 19	2,356 19	22,85
	I		0	3.787	2,356 19	2,356 19	NS		0	4.051	2,356 19	2,356 19	NS		0	4.326	2,356 19	2,356 19	NS
S	S		0	614.7 54	1,413 72	1,413 72	35,4 7		0	766.4 83	1,413 72	1,413 72	28,4 5		0	842.1 48	1,413 72	1,413 72	25,89
	I		0	3.534	1,413 72	1,413 72	NS		0	3.578	1,413 72	1,413 72	NS		0	3.618	1,413 72	1,413 72	NS
P	S	00476	0	1.024. 172	2,356 19	2,356 19	35,4 7	00477	0	584.8 16	2,356 19	2,356 19	62,1 3	00478	0	269.5 65	2,356 19	2,356 19	NS
	I		0	4.597	2,356 19	2,356 19	NS		0	4.847	2,356 19	2,356 19	NS		0	5.095	2,356 19	2,356 19	NS
S	S		0	869.3 86	1,413 72	1,413 72	25,0 8		0	870.3 53	1,413 72	1,413 72	25,0 5		0	860.6 41	1,413 72	1,413 72	25,33
	I		0	3.654	1,413 72	1,413 72	NS		0	3.679	1,413 72	1,413 72	NS		0	3.556	1,413 72	1,413 72	NS

Platee - Verifiche pressoflessione retta allo SLU																			
Dir	Pos	Nodo	N _{Ed}	M _{Ed}	A _s	A _{df}	CS	Nodo	N _{Ed}	M _{Ed}	A _s	A _{df}	CS	Nodo	N _{Ed}	M _{Ed}	A _s	A _{df}	CS
			[N]	[N-m]	[cm ² /cm]	[cm ² /cm]			[N]	[N-m]	[cm ² /cm]	[cm ² /cm]			[N]	[N-m]	[cm ² /cm]	[cm ² /cm]	
P	S	00479	0	77.08 1	2,356 19	2,356 19	NS	00480	0	5.808	2,356 19	2,356 19	NS	00481	0	0	2,356 19	2,356 19	-
	I		0	5.745	2,356 19	2,356 19	NS		0	4.987	2,356 19	2,356 19	NS		0	92.10 7	2,356 19	2,356 19	NS
S	S		0	856.9 94	1,413 72	1,413 72	25,4 4		0	0	1,413 72	1,413 72	-		0	0	1,413 72	1,413 72	-
	I		0	3.638	1,413 72	1,413 72	NS		0	1.641. 549	1,413 72	1,413 72	13,2 8		0	1.682. 544	1,413 72	1,413 72	12,96
P	S	00482	0	0	2,356 19	2,356 19	-	00483	0	0	2,356 19	2,356 19	-	00484	0	0	2,356 19	2,356 19	-
	I		0	335.4 69	2,356 19	2,356 19	NS		0	733.4 04	2,356 19	2,356 19	49,5 4		0	1.298. 314	2,356 19	2,356 19	27,98
S	S		0	0	1,413 72	1,413 72	-		0	0	1,413 72	1,413 72	-		0	0	1,413 72	1,413 72	-
	I		0	1.746. 273	1,413 72	1,413 72	12,4 9		0	1.830. 266	1,413 72	1,413 72	11,9 1		0	1.918. 051	1,413 72	1,413 72	11,37
P	S	00485	0	0	2,356 19	2,356 19	-	00486	0	0	2,356 19	2,356 19	-	00487	0	0	2,356 19	2,356 19	-
	I		0	2.043. 957	2,356 19	2,356 19	17,7 8		0	2.983. 790	2,356 19	2,356 19	12,1 8		0	4.123. 963	2,356 19	2,356 19	8,81
S	S		0	0	1,413 72	1,413 72	-		0	0	1,413 72	1,413 72	-		0	0	1,413 72	1,413 72	-
	I		0	1.988. 855	1,413 72	1,413 72	10,9 6		0	2.010. 499	1,413 72	1,413 72	10,8 4		0	1.935. 644	1,413 72	1,413 72	11,26
P	S	00488	0	0	2,356 19	2,356 19	-	00489	0	0	2,356 19	2,356 19	-	00490	0	0	2,356 19	2,356 19	-
	I		0	5.446. 022	2,356 19	2,356 19	6,67		0	6.870. 809	2,356 19	2,356 19	5,29		0	8.197. 174	2,356 19	2,356 19	4,43
S	S		0	0	1,413 72	1,413 72	-		0	0	1,413 72	1,413 72	-		0	0	1,413 72	1,413 72	-
	I		0	1.702. 010	1,413 72	1,413 72	12,8 1		0	1.249. 438	1,413 72	1,413 72	17,4 5		0	567.4 09	1,413 72	1,413 72	38,43
P	S	00491	0	0	2,356 19	2,356 19	-	00492	0	0	2,356 19	2,356 19	-	00493	0	0	2,356 19	2,356 19	-
	I		0	9.015. 931	2,356 19	2,356 19	4,03		0	8.629. 746	2,356 19	2,356 19	4,21		0	6.140. 786	2,356 19	2,356 19	5,92
S	S		0	226.5 89	1,413 72	1,413 72	96,2 2		0	809.6 67	1,413 72	1,413 72	26,9 3		0	712.5 51	1,413 72	1,413 72	30,60
	I		0	3.235	1,413 72	1,413 72	NS		0	3.211	1,413 72	1,413 72	NS		0	3.194	1,413 72	1,413 72	NS
P	S	00494	0	0	2,356 19	2,356 19	-	00495	0	4.213. 688	2,356 19	2,356 19	8,62	00496	0	6.962. 564	2,356 19	2,356 19	5,22
	I		0	1.016. 846	2,356 19	2,356 19	35,7 3		0	2.848	2,356 19	2,356 19	NS		0	2.883	2,356 19	2,356 19	NS
S	S		0	0	1,413 72	1,413 72	-		0	0	1,413 72	1,413 72	-		0	0	1,413 72	1,413 72	-
	I		0	331.2 25	1,413 72	1,413 72	65,8 2		0	1.398. 109	1,413 72	1,413 72	15,5 9		0	1.545. 140	1,413 72	1,413 72	14,11
P	S	00497	0	7.670. 646	2,356 19	2,356 19	4,74	00498	0	7.171. 862	2,356 19	2,356 19	5,07	00499	0	6.129. 572	2,356 19	2,356 19	5,93
	I		0	2.955	2,356 19	2,356 19	NS		0	3.071	2,356 19	2,356 19	NS		0	3.231	2,356 19	2,356 19	NS
S	S		0	0	1,413 72	1,413 72	-		0	0	1,413 72	1,413 72	-		0	458.8 35	1,413 72	1,413 72	47,52
	I		0	1.005. 488	1,413 72	1,413 72	21,6 8		0	231.3 87	1,413 72	1,413 72	94,2 3		0	3.295	1,413 72	1,413 72	NS
P	S	00500	0	4.939. 875	2,356 19	2,356 19	7,35	00501	0	3.802. 860	2,356 19	2,356 19	9,55	00502	0	2.801. 729	2,356 19	2,356 19	12,97
	I		0	3.395	2,356 19	2,356 19	NS		0	3.626	2,356 19	2,356 19	NS		0	3.883	2,356 19	2,356 19	NS
S	S		0	939.1 72	1,413 72	1,413 72	23,2 1		0	1.212. 179	1,413 72	1,413 72	17,9 9		0	1.330. 536	1,413 72	1,413 72	16,39
	I		0	3.299	1,413 72	1,413 72	NS		0	3.340	1,413 72	1,413 72	NS		0	3.385	1,413 72	1,413 72	NS
P	S	00503	0	1.960. 926	2,356 19	2,356 19	18,5 3	00504	0	1.280. 433	2,356 19	2,356 19	28,3 8	00505	0	752.4 06	2,356 19	2,356 19	48,29
	I		0	4.159	2,356	2,356	NS		0	4.445	2,356	2,356	NS		0	4.733	2,356	2,356	NS


SASSARI EOLICA S.R.L.	PARCO EOLICO DI "SASSARI"										 Ingegneria & Innovazione		
	RELAZIONE DI CALCOLO PREDIMENSIONAMENTO DELLE FONDAZIONI WTG										26/05/2023	REV: 1	Pag.196

Platee - Verifiche pressoflessione retta allo SLU																			
Dir	Pos	Nodo	N _{Ed}	M _{Ed}	A _s	A _{df}	CS	Nodo	N _{Ed}	M _{Ed}	A _s	A _{df}	CS	Nodo	N _{Ed}	M _{Ed}	A _s	A _{df}	CS
			[N]	[N-m]	[cm²/cm]	[cm²/cm]			[N]	[N-m]	[cm²/cm]	[cm²/cm]			[N]	[N-m]	[cm²/cm]	[cm²/cm]	
S	S		0	1.351.240	1,413 72	1,413 72	16,1 4	0	1.318.791	1,413 72	1,413 72	1,413 72	16,5 3	0	1.263.831	1,413 72	1,413 72	1,413 72	17,25
	I		0	3.431	1,413 72	1,413 72	NS	0	3.474	1,413 72	1,413 72	1,413 72	NS	0	3.500	1,413 72	1,413 72	1,413 72	NS
P	S	00506	0	368.062	2,356 19	2,356 19	98,7 1	0	119.390	2,356 19	2,356 19	2,356 19	NS	00508	0	832	2,356 19	2,356 19	NS
	I		0	4.991	2,356 19	2,356 19	NS	0	5.117	2,356 19	2,356 19	2,356 19	NS	0	4.978	2,356 19	2,356 19	2,356 19	NS
S	S		0	1.206.581	1,413 72	1,413 72	18,0 7	0	1.162.974	1,413 72	1,413 72	1,413 72	18,7 5	0	1.141.022	1,413 72	1,413 72	1,413 72	19,11
	I		0	3.539	1,413 72	1,413 72	NS	0	3.818	1,413 72	1,413 72	1,413 72	NS	0	2.691	1,413 72	1,413 72	1,413 72	NS
P	S	00509	0	827	2,356 19	2,356 19	NS	00510	0	0	2,356 19	2,356 19	-	00511	0	0	2,356 19	2,356 19	-
	I		0	6.230	2,356 19	2,356 19	NS	0	126.267	2,356 19	2,356 19	2,356 19	NS	0	430.511	2,356 19	2,356 19	2,356 19	84,39
S	S		0	0	1,413 72	1,413 72	-	0	0	1,413 72	1,413 72	1,413 72	-	0	0	1,413 72	1,413 72	1,413 72	-
	I		0	1.985.818	1,413 72	1,413 72	10,9 8	0	2.080.218	1,413 72	1,413 72	1,413 72	10,4 8	0	2.220.236	1,413 72	1,413 72	1,413 72	9,82
P	S	00512	0	0	2,356 19	2,356 19	-	00513	0	0	2,356 19	2,356 19	-	00514	0	0	2,356 19	2,356 19	-
	I		0	910.048	2,356 19	2,356 19	39,9 2	0	1.581.702	2,356 19	2,356 19	2,356 19	22,9 7	0	2.469.439	2,356 19	2,356 19	2,356 19	14,71
S	S		0	0	1,413 72	1,413 72	-	0	0	1,413 72	1,413 72	1,413 72	-	0	0	1,413 72	1,413 72	1,413 72	-
	I		0	2.392.974	1,413 72	1,413 72	9,11	0	2.589.189	1,413 72	1,413 72	1,413 72	8,42	0	2.787.840	1,413 72	1,413 72	1,413 72	7,82
P	S	00515	0	0	2,356 19	2,356 19	-	00516	0	0	2,356 19	2,356 19	-	00517	0	0	2,356 19	2,356 19	-
	I		0	3.603.790	2,356 19	2,356 19	10,0 8	0	5.016.634	2,356 19	2,356 19	2,356 19	7,24	0	6.721.430	2,356 19	2,356 19	2,356 19	5,41
S	S		0	0	1,413 72	1,413 72	-	0	0	1,413 72	1,413 72	1,413 72	-	0	0	1,413 72	1,413 72	1,413 72	-
	I		0	2.950.455	1,413 72	1,413 72	7,39	0	3.009.711	1,413 72	1,413 72	1,413 72	7,24	0	2.856.398	1,413 72	1,413 72	1,413 72	7,63
P	S	00518	0	0	2,356 19	2,356 19	-	00519	0	0	2,356 19	2,356 19	-	00520	0	0	2,356 19	2,356 19	-
	I		0	8.656.525	2,356 19	2,356 19	4,20	0	10.557.514	2,356 19	2,356 19	2,356 19	3,44	-1	11.761.097	2,356 19	2,356 19	2,356 19	3,09
S	S		0	0	1,413 72	1,413 72	-	0	0	1,413 72	1,413 72	1,413 72	-	0	0	1,413 72	1,413 72	1,413 72	-
	I		0	2.346.198	1,413 72	1,413 72	9,29	0	1.385.064	1,413 72	1,413 72	1,413 72	15,7 4	1	124.120	1,413 72	1,413 72	1,413 72	NS
P	S	00521	0	0	2,356 19	2,356 19	-	00522	0	0	2,356 19	2,356 19	-	00523	3	3.488.148	2,356 19	2,356 19	10,42
	I		-4	10.930.927	2,356 19	2,356 19	3,32	-3	5.872.400	2,356 19	2,356 19	2,356 19	6,19	0	2.851	2,356 19	2,356 19	2,356 19	NS
S	S		4	841.929	1,413 72	1,413 72	25,9 0	3	456.150	1,413 72	1,413 72	1,413 72	47,8 0	0	0	1,413 72	1,413 72	1,413 72	-
	I		0	3.073	1,413 72	1,413 72	NS	0	3.062	1,413 72	1,413 72	1,413 72	NS	-3	1.468.644	1,413 72	1,413 72	1,413 72	14,85
P	S	00524	4	8.842.359	2,356 19	2,356 19	4,11	00525	1	10.086.740	2,356 19	2,356 19	3,60	00526	0	9.298.355	2,356 19	2,356 19	3,91
	I		0	2.863	2,356 19	2,356 19	NS	0	2.898	2,356 19	2,356 19	2,356 19	NS	0	2.981	2,356 19	2,356 19	2,356 19	NS
S	S		0	0	1,413 72	1,413 72	-	0	0	1,413 72	1,413 72	1,413 72	-	0	273.161	1,413 72	1,413 72	1,413 72	79,82
	I		-4	1.906.877	1,413 72	1,413 72	11,4 3	-1	985.525	1,413 72	1,413 72	1,413 72	22,1 2	0	3.114	1,413 72	1,413 72	1,413 72	NS
P	S	00527	0	7.759.306	2,356 19	2,356 19	4,68	00528	0	6.117.271	2,356 19	2,356 19	5,94	00529	0	4.638.741	2,356 19	2,356 19	7,83
	I		0	3.114	2,356 19	2,356 19	NS	0	3.258	2,356 19	2,356 19	2,356 19	NS	0	3.473	2,356 19	2,356 19	2,356 19	NS
S	S		0	1.273.374	1,413 72	1,413 72	17,1 2	0	1.850.334	1,413 72	1,413 72	1,413 72	11,7 8	0	2.082.312	1,413 72	1,413 72	1,413 72	10,47

Il presente documento è di proprietà della ANTEX GROUP srl.
È Vietato la comunicazione a terzi o la riproduzione senza il permesso scritto della suddetta.
La società tutela i propri diritti a rigore di Legge.

Comm.: C21-002-S05



SASSARI EOLICA S.R.L.	PARCO EOLICO DI "SASSARI"		 Ingegneria & Innovazione		
	RELAZIONE DI CALCOLO PREDIMENSIONAMENTO DELLE FONDAZIONI WTG		26/05/2023	REV: 1	Pag.197

Platee - Verifiche pressoflessione retta allo SLU																			
Dir	Pos	Nodo	N _{Ed}	M _{Ed}	A _s	A _{df}	CS	Nodo	N _{Ed}	M _{Ed}	A _s	A _{df}	CS	Nodo	N _{Ed}	M _{Ed}	A _s	A _{df}	CS
			[N]	[N-m]	[cm ² /cm]	[cm ² /cm]			[N]	[N-m]	[cm ² /cm]	[cm ² /cm]			[N]	[N-m]	[cm ² /cm]	[cm ² /cm]	
	I		0	3.138	1,413 72	1,413 72	NS		0	3.168	1,413 72	1,413 72	NS		0	3.204	1,413 72	1,413 72	NS
P	S	00530	0	3.394. 098	2,356 19	2,356 19	10,7 0	00531	0	2.379. 272	2,356 19	2,356 19	15,2 7	00532	0	1.570. 893	2,356 19	2,356 19	23,13
	I		0	3.720	2,356 19	2,356 19	NS		0	3.991	2,356 19	2,356 19	NS		0	4.277	2,356 19	2,356 19	NS
S	S		0	2.102. 179	1,413 72	1,413 72	10,3 7		0	2.012. 527	1,413 72	1,413 72	10,8 3		0	1.877. 528	1,413 72	1,413 72	11,61
	I		0	3.247	1,413 72	1,413 72	NS		0	3.294	1,413 72	1,413 72	NS		0	3.311	1,413 72	1,413 72	NS
P	S	00533	0	945.5 44	2,356 19	2,356 19	38,4 2	00534	0	485.0 21	2,356 19	2,356 19	74,9 1	00535	0	177.0 67	2,356 19	2,356 19	NS
	I		0	4.574	2,356 19	2,356 19	NS		0	4.888	2,356 19	2,356 19	NS		0	5.273	2,356 19	2,356 19	NS
S	S		0	1.734. 625	1,413 72	1,413 72	12,5 7		0	1.605. 040	1,413 72	1,413 72	13,5 8		0	1.499. 809	1,413 72	1,413 72	14,54
	I		0	3.366	1,413 72	1,413 72	NS		0	3.407	1,413 72	1,413 72	NS		0	3.259	1,413 72	1,413 72	NS
P	S	00536	0	24.47 8	2,356 19	2,356 19	NS	00537	0	31.12 4	2,356 19	2,356 19	NS	00538	0	23.80 0	2,356 19	2,356 19	NS
	I		0	6.239	2,356 19	2,356 19	NS		0	5.967	2,356 19	2,356 19	NS		0	5.585	2,356 19	2,356 19	NS
S	S		0	1.431. 166	1,413 72	1,413 72	15,2 3		0	0	1,413 72	1,413 72	-		0	0	1,413 72	1,413 72	-
	I		0	3.232	1,413 72	1,413 72	NS		0	2.219. 185	1,413 72	1,413 72	9,82		0	2.348. 458	1,413 72	1,413 72	9,28
P	S	00539	0	0	2,356 19	2,356 19	-	00540	0	0	2,356 19	2,356 19	-	00541	0	0	2,356 19	2,356 19	-
	I		0	176.0 83	2,356 19	2,356 19	NS		0	551.9 06	2,356 19	2,356 19	65,8 3		0	1.120. 788	2,356 19	2,356 19	32,42
S	S		0	0	1,413 72	1,413 72	-		0	0	1,413 72	1,413 72	-		0	0	1,413 72	1,413 72	-
	I		0	2.516. 821	1,413 72	1,413 72	8,66		0	2.748. 334	1,413 72	1,413 72	7,93		0	3.041. 046	1,413 72	1,413 72	7,17
P	S	00542	0	0	2,356 19	2,356 19	-	00543	0	0	2,356 19	2,356 19	-	00544	0	0	2,356 19	2,356 19	-
	I		0	1.906. 967	2,356 19	2,356 19	19,0 5		0	2.948. 166	2,356 19	2,356 19	12,3 2		0	4.299. 450	2,356 19	2,356 19	8,45
S	S		0	0	1,413 72	1,413 72	-		0	0	1,413 72	1,413 72	-		0	0	1,413 72	1,413 72	-
	I		0	3.390. 467	1,413 72	1,413 72	6,43		0	3.782. 203	1,413 72	1,413 72	5,76		0	4.182. 044	1,413 72	1,413 72	5,21
P	S	00545	0	0	2,356 19	2,356 19	-	00546	0	0	2,356 19	2,356 19	-	00547	0	0	2,356 19	2,356 19	-
	I		0	6.036. 020	2,356 19	2,356 19	6,02		0	8.244. 536	2,356 19	2,356 19	4,41		0	10.95 8.019	2,356 19	2,356 19	3,32
S	S		0	0	1,413 72	1,413 72	-		0	0	1,413 72	1,413 72	-		0	0	1,413 72	1,413 72	-
	I		0	4.514. 676	1,413 72	1,413 72	4,83		0	4.619. 884	1,413 72	1,413 72	4,72		0	4.189. 134	1,413 72	1,413 72	5,20
P	S	00548	0	0	2,356 19	2,356 19	-	00549	0	0	2,356 19	2,356 19	-	00550	0	0	2,356 19	2,356 19	-
	I		-5	13.90 2.070	2,356 19	2,356 19	2,61		43	15.90 6.375	2,356 19	2,356 19	2,28		103	14.30 0.660	2,356 19	2,356 19	2,54
S	S		0	0	1,413 72	1,413 72	-		0	0	1,413 72	1,413 72	-		-98	996.6 68	1,413 72	1,413 72	21,88
	I		5	2.831. 159	1,413 72	1,413 72	7,70		-41	667.8 10	1,413 72	1,413 72	32,6 5		0	2.988	1,413 72	1,413 72	NS
P	S	00551	0	0	2,356 19	2,356 19	-	00552	-103	11.63 2.482	2,356 19	2,356 19	3,12	00553	-43	13.79 3.803	2,356 19	2,356 19	2,63
	I		0	1.478. 955	2,356 19	2,356 19	24,5 7		0	2.882	2,356 19	2,356 19	NS		0	2.873	2,356 19	2,356 19	NS
S	S		0	0	1,413 72	1,413 72	-		0	0	1,413 72	1,413 72	-		0	0	1,413 72	1,413 72	-
	I		0	734.4 76	1,413 72	1,413 72	29,6 8		98	2.517. 086	1,413 72	1,413 72	8,66		41	902.3 36	1,413 72	1,413 72	24,16
P	S	00554	5	12.34	2,356	2,356	2,94	00555	0	9.869.	2,356	2,356	3,68	00556	0	7.520.	2,356	2,356	4,83

Il presente documento è di proprietà della ANTEX GROUP srl.
È Vietato la comunicazione a terzi o la riproduzione senza il permesso scritto della suddetta.
La società tutela i propri diritti a rigore di Legge.

Comm.: C21-002-S05



Platee - Verifiche pressoflessione retta allo SLU																			
Dir	Pos	Nodo	N _{Ed}	M _{Ed}	A _s	A _{df}	CS	Nodo	N _{Ed}	M _{Ed}	A _s	A _{df}	CS	Nodo	N _{Ed}	M _{Ed}	A _s	A _{df}	CS
			[N]	[N-m]	[cm ² /cm]	[cm ² /cm]			[N]	[N-m]	[cm ² /cm]	[cm ² /cm]			[N]	[N-m]	[cm ² /cm]	[cm ² /cm]	
	I		0	5.066	19	19			0	031	19	19			0	925	19	19	
			0	2.914	2,356	2,356	NS		0	3.014	2,356	2,356	NS		0	3.168	2,356	2,356	NS
S	S		-5	1.288.	1,413	1,413	16,9		0	2.742.	1,413	1,413	7,95		0	3.303.	1,413	1,413	6,60
	I		0	619	72	72	2		0	076	72	72			0	870	72	72	
			0	3.010	1,413	1,413	NS		0	3.020	72	72	NS		0	3.038	1,413	1,413	NS
				72	72	72				72	72	72				72	72	72	
P	S	00557	0	5.587.	2,356	2,356	6,50	00558	0	4.051.	2,356	2,356	8,97	00559	0	2.842.	2,356	2,356	12,78
	I		0	054	19	19			0	472	19	19			0	696	19	19	
			0	3.333	2,356	2,356	NS		0	3.566	2,356	2,356	NS		0	3.827	2,356	2,356	NS
				19	19	19				19	19	19				19	19	19	
S	S		0	3.336.	1,413	1,413	6,53		0	3.132.	1,413	1,413	6,96		0	2.846.	1,413	1,413	7,66
	I		0	608	72	72			0	919	72	72			0	396	72	72	
			0	3.065	1,413	1,413	NS		0	3.101	1,413	1,413	NS		0	3.145	1,413	1,413	NS
				72	72	72				72	72	72				72	72	72	
P	S	00560	0	1.897.	2,356	2,356	19,1	00561	0	1.168.	2,356	2,356	31,0	00562	0	626.7	2,356	2,356	57,97
	I		0	158	19	19	5		0	788	19	19	9		0	49	19	19	
			0	4.109	2,356	2,356	NS		0	4.405	2,356	2,356	NS		0	4.716	2,356	2,356	NS
				19	19	19				19	19	19				19	19	19	
S	S		0	2.550.	1,413	1,413	8,55		0	2.279.	1,413	1,413	9,56		0	2.050.	1,413	1,413	10,63
	I		0	511	72	72			0	880	72	72			0	353	72	72	
			0	3.194	1,413	1,413	NS		0	3.247	1,413	1,413	NS		0	3.266	1,413	1,413	NS
				72	72	72				72	72	72				72	72	72	
P	S	00563	0	252.0	2,356	2,356	NS	00564	0	33.11	2,356	2,356	NS	00565	0	0	2,356	2,356	-
	I		0	47	19	19			0	3	19	19			0	20.86	19	19	
			0	5.029	2,356	2,356	NS		0	5.586	2,356	2,356	NS		0	4	2,356	2,356	NS
				19	19	19				19	19	19				19	19	19	
S	S		0	1.868.	1,413	1,413	11,6		0	1.736.	1,413	1,413	12,5		0	1.645.	1,413	1,413	13,25
	I		0	249	72	72	7		0	992	72	72	5		0	112	72	72	
			0	3.396	1,413	1,413	NS		0	3.735	1,413	1,413	NS		0	1.870	1,413	1,413	NS
				72	72	72				72	72	72				72	72	72	
P	S	00566	0	91.36	2,356	2,356	NS	00567	0	8.722	2,356	2,356	NS	00568	0	0	2,356	2,356	-
	I		0	8	19	19			0	5.249	2,356	2,356	NS		0	257.5	2,356	2,356	NS
			0	6.223	19	19				19	19	19			0	90	19	19	
				19	19	19				19	19	19				19	19	19	
S	S		0	0	1,413	1,413	-		0	0	1,413	1,413	-		0	0	1,413	1,413	-
	I		0	2.521.	1,413	1,413	8,65		0	2.710.	1,413	1,413	8,04		0	2.966.	1,413	1,413	7,35
				411	72	72				200	72	72				970	72	72	
P	S	00569	0	0	2,356	2,356	-	00570	0	0	2,356	2,356	-	00571	0	0	2,356	2,356	-
	I		0	713.0	2,356	2,356	50,9		0	1.377.	2,356	2,356	26,3		0	2.283.	2,356	2,356	15,91
				85	19	19	5			288	19	19	8			285	19	19	
S	S		0	0	1,413	1,413	-		0	0	1,413	1,413	-		0	0	1,413	1,413	-
	I		0	3.311.	1,413	1,413	6,58		0	3.754.	1,413	1,413	5,81		0	4.302.	1,413	1,413	5,07
				801	72	72				250	72	72				622	72	72	
P	S	00572	0	0	2,356	2,356	-	00573	0	0	2,356	2,356	-	00574	0	0	2,356	2,356	-
	I		0	3.484.	2,356	2,356	10,4		0	5.066.	2,356	2,356	7,17		0	7.164.	2,356	2,356	5,07
			0	626	19	19	3			525	19	19				928	19	19	
S	S		0	0	1,413	1,413	-		0	0	1,413	1,413	-		0	0	1,413	1,413	-
	I		0	4.961.	1,413	1,413	4,39		0	5.723.	1,413	1,413	3,81		0	6.548.	1,413	1,413	3,33
				492	72	72				735	72	72				746	72	72	
P	S	00575	0	0	2,356	2,356	-	00576	0	0	2,356	2,356	-	00577	0	0	2,356	2,356	-
	I		0	9.995.	2,356	2,356	3,64		-9	13.85	2,356	2,356	2,62		170	18.88	2,356	2,356	1,92
			0	061	19	19				8.386	19	19				9.884	19	19	
S	S		0	0	1,413	1,413	-		0	0	1,413	1,413	-		0	0	1,413	1,413	-
	I		0	7.295.	1,413	1,413	2,99		9	7.504.	1,413	1,413	2,91		-162	5.945.	1,413	1,413	3,67
				182	72	72				784	72	72				628	72	72	
P	S	00578	0	0	2,356	2,356	-	00579	0	0	2,356	2,356	-	00580	2.079	16.29	2,356	2,356	2,23
	I		-1.899	23.26	2,356	2,356	1,56		-2.079	19.82	2,356	2,356	1,83		0	4.786	2,356	2,356	NS
				4.864	19	19				1.198	19	19				2.930	19	19	


Platee - Verifiche pressoflessione retta allo SLU																			
Dir	Pos	Nodo	N _{Ed}	M _{Ed}	A _s	A _{df}	CS	Nodo	N _{Ed}	M _{Ed}	A _s	A _{df}	CS	Nodo	N _{Ed}	M _{Ed}	A _s	A _{df}	CS
			[N]	[N-m]	[cm ² /cm]	[cm ² /cm]			[N]	[N-m]	[cm ² /cm]	[cm ² /cm]			[N]	[N-m]	[cm ² /cm]	[cm ² /cm]	
S	S		0	0	1,413 72	1,413 72	-		1.984	2.660. 635	1,413 72	1,413 72	8,19		0	0	1,413 72	1,413 72	-
	I		1.813	1.435. 590	1,413 72	1,413 72	15,1 8		0	2.987	1,413 72	1,413 72	NS		-1.984	4.830. 632	1,413 72	1,413 72	4,51
P	S	00581	1.899	20.54 5.580	2,356 19	2,356 19	1,77	00582	-170	16.95 3.120	2,356 19	2,356 19	2,14	00583	9	12.53 9.247	2,356 19	2,356 19	2,90
	I		0	2.898	2,356 19	2,356 19	NS		0	2.871	2,356 19	2,356 19	NS		0	2.935 19	2,356 19	2,356 19	NS
S	S		0	0	1,413 72	1,413 72	-		162	3.797. 614	1,413 72	1,413 72	5,74		-9	5.564. 310	1,413 72	1,413 72	3,92
	I		-1.813	803.1 03	1,413 72	1,413 72	27,1 5		0	2.962	1,413 72	1,413 72	NS		0	2.945 72	1,413 72	1,413 72	NS
P	S	00584	0	9.129. 260	2,356 19	2,356 19	3,98	00585	0	6.627. 896	2,356 19	2,356 19	5,48	00586	0	4.766. 346	2,356 19	2,356 19	7,62
	I		0	3.062	2,356 19	2,356 19	NS		0	3.240	2,356 19	2,356 19	NS		0	3.424 19	2,356 19	2,356 19	NS
S	S		0	5.595. 754	1,413 72	1,413 72	3,90		0	5.074. 945	1,413 72	1,413 72	4,30		0	4.445. 444	1,413 72	1,413 72	4,90
	I		0	2.945	1,413 72	1,413 72	NS		0	2.960	1,413 72	1,413 72	NS		0	2.987 72	1,413 72	1,413 72	NS
P	S	00587	0	3.352. 128	2,356 19	2,356 19	10,8 4	00588	0	2.264. 778	2,356 19	2,356 19	16,0 4	00589	0	1.430. 176	2,356 19	2,356 19	25,40
	I		0	3.673	2,356 19	2,356 19	NS		0	3.946	2,356 19	2,356 19	NS		0	4.237 19	2,356 19	2,356 19	NS
S	S		0	3.847. 019	1,413 72	1,413 72	5,67		0	3.322. 626	1,413 72	1,413 72	6,56		0	2.882. 803	1,413 72	1,413 72	7,56
	I		0	3.024	1,413 72	1,413 72	NS		0	3.067	1,413 72	1,413 72	NS		0	3.115 72	1,413 72	1,413 72	NS
P	S	00590	0	802.8 80	2,356 19	2,356 19	45,2 5	00591	0	355.7 72	2,356 19	2,356 19	NS	00592	0	74.84 6	2,356 19	2,356 19	NS
	I		0	4.538	2,356 19	2,356 19	NS		0	4.857	2,356 19	2,356 19	NS		0	5.248 19	2,356 19	2,356 19	NS
S	S		0	2.526. 524	1,413 72	1,413 72	8,63		0	2.248. 944	1,413 72	1,413 72	9,69		0	2.044. 106	1,413 72	1,413 72	10,67
	I		0	3.169	1,413 72	1,413 72	NS		0	3.209	1,413 72	1,413 72	NS		0	3.064 72	1,413 72	1,413 72	NS
P	S	00593	0	0	2,356 19	2,356 19	-	00594	0	60.65 9	2,356 19	2,356 19	NS	00595	0	111.3 72	2,356 19	2,356 19	NS
	I		0	49.22 0	2,356 19	2,356 19	NS		0	4.975	2,356 19	2,356 19	NS		0	5.083 19	2,356 19	2,356 19	NS
S	S		0	1.896. 372	1,413 72	1,413 72	11,5 0		0	0	1,413 72	1,413 72	-		0	0	1,413 72	1,413 72	-
	I		0	3.033	1,413 72	1,413 72	NS		0	2.623. 259	1,413 72	1,413 72	8,31		0	2.801. 063	1,413 72	1,413 72	7,78
P	S	00596	0	0	2,356 19	2,356 19	-	00597	0	0	2,356 19	2,356 19	-	00598	0	0	2,356 19	2,356 19	-
	I		0	45.39 2	2,356 19	2,356 19	NS		0	389.1 26	2,356 19	2,356 19	93,3 7		0	932.1 28	2,356 19	2,356 19	38,98
S	S		0	0	1,413 72	1,413 72	-		0	0	1,413 72	1,413 72	-		0	0	1,413 72	1,413 72	-
	I		0	3.052. 519	1,413 72	1,413 72	7,14		0	3.404. 161	1,413 72	1,413 72	6,40		0	3.874. 396	1,413 72	1,413 72	5,63
P	S	00599	0	0	2,356 19	2,356 19	-	00600	0	0	2,356 19	2,356 19	-	00601	0	0	2,356 19	2,356 19	-
	I		0	1.698. 774	2,356 19	2,356 19	21,3 9		0	2.731. 413	2,356 19	2,356 19	13,3 0		0	4.100. 190	2,356 19	2,356 19	8,86
S	S		0	0	1,413 72	1,413 72	-		0	0	1,413 72	1,413 72	-		0	0	1,413 72	1,413 72	-
	I		0	4.484. 810	1,413 72	1,413 72	4,86		0	5.263. 724	1,413 72	1,413 72	4,14		0	6.249. 046	1,413 72	1,413 72	3,49
P	S	00602	0	0	2,356 19	2,356 19	-	00603	0	0	2,356 19	2,356 19	-	00604	0	0	2,356 19	2,356 19	-
	I		0	5.922. 774	2,356 19	2,356 19	6,13		0	8.406. 629	2,356 19	2,356 19	4,32		-7	11.93 9.547	2,356 19	2,356 19	3,04
S	S		0	0	1,413 72	1,413 72	-		0	0	1,413 72	1,413 72	-		0	0	1,413 72	1,413 72	-
	I		0	7.491.	1,413 72	1,413 72	2,91		0	9.057.	1,413 72	1,413 72	2,41		6	11.01	1,413 72	1,413 72	1,98

Platee - Verifiche pressoflessione retta allo SLU																			
Dir	Pos	Nodo	N _{Ed}	M _{Ed}	A _s	A _{df}	CS	Nodo	N _{Ed}	M _{Ed}	A _s	A _{df}	CS	Nodo	N _{Ed}	M _{Ed}	A _s	A _{df}	CS
			[N]	[N-m]	[cm²/cm]	[cm²/cm]			[N]	[N-m]	[cm²/cm]	[cm²/cm]			[N]	[N-m]	[cm²/cm]	[cm²/cm]	
P	S	00605	0	624	72	72	-	00606	0	278	72	72	-	00607	0	8.014	72	72	-
	I		194	17.29 9.004	2,356 19	2,356 19	2,10		-4.743	26.13 6.602	2,709 62	2,709 62	1,67		79.18 4	39.99 4.696	2,709 62	2,709 62	1,04
S	S		0	0	1,413 72	1,413 72	-		0	0	1,413 72	1,413 72	-		0	0	1,413 72	1,413 72	-
	I		-185	13.29 7.272	1,413 72	1,413 72	1,64		4.527	14.29 1.426	1,884 95	1,884 95	2,38		- 75.58 7	6.833. 306	1,884 95	1,884 95	7,94
P	S	00608	0	0	2,709 62	2,709 62	-	00609	- 79.18 4	36.37 2.404	2,709 62	2,709 62	1,16	00610	4.743	23.72 5.220	2,709 62	2,709 62	1,86
	I		0	12.68 9.878	2,709 62	2,709 62	3,29		0	3.068	2,356 19	2,356 19	14,3 5		0	2.863	2,356 19	2,356 19	14,35
S	S		0	0	1,884 95	1,884 95	-		75.58 7	3.503. 382	1,884 95	1,884 95	NS		-4.527	11.25 7.142	1,884 95	1,884 95	3,33
	I		0	5.964. 868	1,884 95	1,884 95	4,87		0	3.045	1,413 72	1,413 72	7,03		0	2.951	1,413 72	1,413 72	7,03
P	S	00611	-194	15.71 0.771	2,356 19	2,356 19	2,31	00612	7	10.90 4.418	2,356 19	2,356 19	3,33	00613	0	7.758. 805	2,356 19	2,356 19	4,68
	I		0	2.882	2,356 19	2,356 19	NS		0	2.976	2,356 19	2,356 19	NS		0	3.130	2,356 19	2,356 19	NS
S	S		185	10.73 0.345	1,413 72	1,413 72	2,03		-6	8.875. 184	1,413 72	1,413 72	2,46		0	7.258. 987	1,413 72	1,413 72	3,00
	I		0	2.904	1,413 72	1,413 72	NS		0	2.888	1,413 72	1,413 72	NS		0	2.889	1,413 72	1,413 72	NS
P	S	00614	0	5.550. 726	2,356 19	2,356 19	6,55	00615	0	3.923. 546	2,356 19	2,356 19	9,26	00616	0	2.689. 638	2,356 19	2,356 19	13,51
	I		0	3.296	2,356 19	2,356 19	NS		0	3.531	2,356 19	2,356 19	NS		0	3.793	2,356 19	2,356 19	NS
S	S		0	5.969. 836	1,413 72	1,413 72	3,65		0	4.948. 766	1,413 72	1,413 72	4,41		0	4.140. 376	1,413 72	1,413 72	5,27
	I		0	2.907	1,413 72	1,413 72	NS		0	2.935	1,413 72	1,413 72	NS		0	2.971	1,413 72	1,413 72	NS
P	S	00617	0	1.744. 473	2,356 19	2,356 19	20,8 3	00618	0	1.027. 287	2,356 19	2,356 19	35,3 7	00619	0	502.5 51	2,356 19	2,356 19	72,30
	I		0	4.076	2,356 19	2,356 19	NS		0	4.370	2,356 19	2,356 19	NS		0	4.669	2,356 19	2,356 19	NS
S	S		0	3.501. 982	1,413 72	1,413 72	6,23		0	3.002. 181	1,413 72	1,413 72	7,26		0	2.617. 978	1,413 72	1,413 72	8,33
	I		0	3.012	1,413 72	1,413 72	NS		0	3.051	1,413 72	1,413 72	NS		0	3.076	1,413 72	1,413 72	NS
P	S	00620	0	150.8 77	2,356 19	2,356 19	NS	00621	0	0	2,356 19	2,356 19	-	00622	0	0	2,356 19	2,356 19	-
	I		0	4.939	2,356 19	2,356 19	NS		0	36.69 9	2,356 19	2,356 19	NS		0	42.53 4	2,356 19	2,356 19	NS
S	S		0	2.332. 124	1,413 72	1,413 72	9,35		0	2.130. 182	1,413 72	1,413 72	10,2 4		0	1.995. 192	1,413 72	1,413 72	10,93
	I		0	3.116	1,413 72	1,413 72	NS		0	3.363	1,413 72	1,413 72	NS		0	2.230	1,413 72	1,413 72	NS
P	S	00623	0	129.2 62	2,356 19	2,356 19	NS	00624	0	82.53 4	2,356 19	2,356 19	NS	00625	0	0	2,356 19	2,356 19	-
	I		0	5.706	2,356 19	2,356 19	NS		0	5.033	2,356 19	2,356 19	NS		0	158.4 38	2,356 19	2,356 19	NS
S	S		0	0	1,413 72	1,413 72	-		0	0	1,413 72	1,413 72	-		0	0	1,413 72	1,413 72	-
	I		0	2.793. 106	1,413 72	1,413 72	7,81		0	3.020. 854	1,413 72	1,413 72	7,22		0	3.343. 800	1,413 72	1,413 72	6,52
P	S	00626	0	0	2,356 19	2,356 19	-	00627	0	0	2,356 19	2,356 19	-	00628	0	0	2,356 19	2,356 19	-
	I		0	591.0 76	2,356 19	2,356 19	61,4 7		0	1.232. 761	2,356 19	2,356 19	29,4 7		0	2.114. 885	2,356 19	2,356 19	17,18
S	S		0	0	1,413 72	1,413 72	-		0	0	1,413 72	1,413 72	-		0	0	1,413 72	1,413 72	-
	I		0	3.787. 068	1,413 72	1,413 72	5,76		0	4.376. 341	1,413 72	1,413 72	4,98		0	5.146. 242	1,413 72	1,413 72	4,24

Il presente documento è di proprietà della ANTEX GROUP srl.
 È vietato la comunicazione a terzi o la riproduzione senza il permesso scritto della suddetta.
 La società tutela i propri diritti a rigore di Legge.

Comm.: C21-002-S05




SASSARI EOLICA S.R.L.	PARCO EOLICO DI "SASSARI"		 Ingegneria & Innovazione		
	RELAZIONE DI CALCOLO PREDIMENSIONAMENTO DELLE FONDAZIONI WTG		26/05/2023	REV: 1	Pag.201

Platee - Verifiche pressoflessione retta allo SLU																			
Dir	Pos	Nodo	N _{Ed}	M _{Ed}	A _s	A _{df}	CS	Nodo	N _{Ed}	M _{Ed}	A _s	A _{df}	CS	Nodo	N _{Ed}	M _{Ed}	A _s	A _{df}	CS
			[N]	[N-m]	[cm ² /cm]	[cm ² /cm]			[N]	[N-m]	[cm ² /cm]	[cm ² /cm]			[N]	[N-m]	[cm ² /cm]	[cm ² /cm]	
P	S	00629	0	0	2,356 19	2,356 19	-	00630	0	0	2,356 19	2,356 19	-	00631	0	0	2,356 19	2,356 19	-
	I		0	3.290. 699	2,356 19	2,356 19	11,0 4		0	4.849. 264	2,356 19	2,356 19	7,49		0	6.945. 528	2,356 19	2,356 19	5,23
S	S		0	0	1,413 72	1,413 72	-		0	0	1,413 72	1,413 72	-		0	0	1,413 72	1,413 72	-
	I		0	6.147. 124	1,413 72	1,413 72	3,55		0	7.456. 630	1,413 72	1,413 72	2,92		0	9.201. 515	1,413 72	1,413 72	2,37
P	S	00632	0	0	2,356 19	2,356 19	-	00633	0	0	2,356 19	2,356 19	-	00634	0	0	2,356 19	2,356 19	-
	I		-2	9.869. 663	2,356 19	2,356 19	3,68		70	14.23 6.422	2,356 19	2,356 19	2,55		-2.735	21.49 0.428	2,709 62	2,709 62	2,08
S	S		0	0	1,413 72	1,413 72	-		0	0	1,413 72	1,413 72	-		0	0	1,413 72	1,413 72	-
	I		2	11.60 5.031	1,413 72	1,413 72	1,88		-67	15.10 4.416	1,413 72	1,413 72	1,44		2.611	20.88 9.336	1,884 95	1,884 95	1,47
P	S	00635	0	0	2,356 19	2,356 19	-	00636	0	0	2,356 19	2,356 19	-	00637	2.549. 457	112.0 77.21 6	9,778 20	9,778 20	1,28
	I		103.8 74	36.12 1.952	9,778 20	9,778 20	7,36		- 2.549. 457	115.3 75.89 6	9,778 20	9,778 20	1,25		0	2.914	2,356 19	2,356 19	1,77
S	S		0	0	1,413 72	1,413 72	-		0	0	1,413 72	1,413 72	-		- 6.662. 892	17.42 0.374	1,884 95	1,884 95	2,62
	I		- 99.15 5	31.95 6.576	2,591 81	2,591 81	1,34		6.662. 892	26.62 9.478	2,591 81	2,591 81	1,01		0	2.337	1,413 72	1,413 72	7,03
P	S	00638	- 103.8 74	33.11 1.834	2,709 62	2,709 62	1,29	00639	2.735	19.57 3.546	2,356 19	2,356 19	1,86	00640	-70	12.98 7.059	2,356 19	2,356 19	2,80
	I		0	2.879	2,356 19	2,356 19	14,3 5		0	2.844	2,356 19	2,356 19	NS		0	2.915	2,356 19	2,356 19	NS
S	S		99.15 5	27.73 6.966	1,884 95	1,884 95	1,05		-2.611	17.64 9.100	1,413 72	1,413 72	1,24		67	12.52 2.509	1,413 72	1,413 72	1,74
	I		0	2.994	1,413 72	1,413 72	7,03		0	2.894	1,413 72	1,413 72	NS		0	2.853	1,413 72	1,413 72	NS
P	S	00641	2	9.074. 709	2,356 19	2,356 19	4,00	00642	0	6.471. 381	2,356 19	2,356 19	5,61	00643	0	4.603. 342	2,356 19	2,356 19	7,89
	I		0	3.041	2,356 19	2,356 19	NS		0	3.219	2,356 19	2,356 19	NS		0	3.403	2,356 19	2,356 19	NS
S	S		-2	9.496. 400	1,413 72	1,413 72	2,30		0	7.451. 063	1,413 72	1,413 72	2,93		0	5.983. 568	1,413 72	1,413 72	3,64
	I		0	2.850	1,413 72	1,413 72	NS		0	2.861	1,413 72	1,413 72	NS		0	2.882	1,413 72	1,413 72	NS
P	S	00644	0	3.204. 670	2,356 19	2,356 19	11,3 4	00645	0	2.135. 966	2,356 19	2,356 19	17,0 1	00646	0	1.319. 020	2,356 19	2,356 19	27,55
	I		0	3.652	2,356 19	2,356 19	NS		0	3.924	2,356 19	2,356 19	NS		0	4.210	2,356 19	2,356 19	NS
S	S		0	4.891. 253	1,413 72	1,413 72	4,46		0	4.060. 958	1,413 72	1,413 72	5,37		0	3.424. 669	1,413 72	1,413 72	6,37
	I		0	2.911	1,413 72	1,413 72	NS		0	2.946	1,413 72	1,413 72	NS		0	2.980	1,413 72	1,413 72	NS
P	S	00647	0	708.3 96	2,356 19	2,356 19	51,2 9	00648	0	278.3 62	2,356 19	2,356 19	NS	00649	0	16.70 3	2,356 19	2,356 19	NS
	I		0	4.495	2,356 19	2,356 19	NS		0	4.762	2,356 19	2,356 19	NS		0	5.033	2,356 19	2,356 19	NS
S	S		0	2.939. 249	1,413 72	1,413 72	7,42		0	2.575. 830	1,413 72	1,413 72	8,46		0	2.313. 863	1,413 72	1,413 72	9,42
	I		0	3.012	1,413 72	1,413 72	NS		0	3.034	1,413 72	1,413 72	NS		0	2.904	1,413 72	1,413 72	NS
P	S	00650	0	0	2,356 19	2,356 19	-	00651	0	73.01 3	2,356 19	2,356 19	NS	00652	0	132.5 31	2,356 19	2,356 19	NS
	I		0	77.88 0	2,356 19	2,356 19	NS		0	4.773	2,356 19	2,356 19	NS		0	4.861	2,356 19	2,356 19	NS
S	S		0	2.133. 234	1,413 72	1,413 72	10,2 2		0	0	1,413 72	1,413 72	-		0	0	1,413 72	1,413 72	-

Il presente documento è di proprietà della ANTEX GROUP srl.
È Vietato la comunicazione a terzi o la riproduzione senza il permesso scritto della suddetta.
La società tutela i propri diritti a rigore di Legge.

Comm.: C21-002-S05




SASSARI EOLICA S.R.L.	PARCO EOLICO DI "SASSARI" RELAZIONE DI CALCOLO PREDIMENSIONAMENTO DELLE FONDAZIONI WTG		 Ingegneria & Innovazione		
			26/05/2023	REV: 1	Pag.202

Platee - Verifiche pressoflessione retta allo SLU																			
Dir	Pos	Nodo	N _{Ed}	M _{Ed}	A _s	A _{df}	CS	Nodo	N _{Ed}	M _{Ed}	A _s	A _{df}	CS	Nodo	N _{Ed}	M _{Ed}	A _s	A _{df}	CS
			[N]	[N-m]	[cm²/cm]	[cm²/cm]			[N]	[N-m]	[cm²/cm]	[cm²/cm]			[N]	[N-m]	[cm²/cm]	[cm²/cm]	
	I		0	2.992	1,413 72	1,413 72	NS		0	2.712. 110	1,413 72	1,413 72	8,04		0	2.899. 700	1,413 72	1,413 72	7,52
P	S	00653	0	0	2,356 19	2,356 19	-	00654	0	0	2,356 19	2,356 19	-	00655	0	0	2,356 19	2,356 19	-
	I		0	15.05 5	2,356 19	2,356 19	NS		0	350.4 85	2,356 19	2,356 19	NS		0	885.0 25	2,356 19	2,356 19	41,05
S	S		0	0	1,413 72	1,413 72	-		0	0	1,413 72	1,413 72	-		0	0	1,413 72	1,413 72	-
	I		0	3.167. 582	1,413 72	1,413 72	6,88		0	3.546. 732	1,413 72	1,413 72	6,15		0	4.058. 708	1,413 72	1,413 72	5,37
P	S	00656	0	0	2,356 19	2,356 19	-	00657	0	0	2,356 19	2,356 19	-	00658	0	0	2,356 19	2,356 19	-
	I		0	1.642. 132	2,356 19	2,356 19	22,1 3		0	2.663. 070	2,356 19	2,356 19	13,6 4		0	4.016. 739	2,356 19	2,356 19	9,05
S	S		0	0	1,413 72	1,413 72	-		0	0	1,413 72	1,413 72	-		0	0	1,413 72	1,413 72	-
	I		0	4.732. 209	1,413 72	1,413 72	4,61		0	5.608. 387	1,413 72	1,413 72	3,89		0	6.748. 885	1,413 72	1,413 72	3,23
P	S	00659	0	0	2,356 19	2,356 19	-	00660	0	0	2,356 19	2,356 19	-	00661	0	0	2,356 19	2,356 19	-
	I		0	5.820. 030	2,356 19	2,356 19	6,24		0	8.283. 692	2,356 19	2,356 19	4,39		1	11.82 7.538	2,356 19	2,356 19	3,07
S	S		0	0	1,413 72	1,413 72	-		0	0	1,413 72	1,413 72	-		0	0	1,413 72	1,413 72	-
	I		0	8.251. 418	1,413 72	1,413 72	2,64		0	10.28 2.013	1,413 72	1,413 72	2,12		-1	13.14 0.862	1,413 72	1,413 72	1,66
P	S	00662	0	0	2,356 19	2,356 19	-	00663	0	0	2,356 19	2,356 19	-	00664	0	0	2,356 19	2,356 19	-
	I		-49	17.38 9.624	2,356 19	2,356 19	2,09		1.891	27.67 9.138	2,709 62	2,709 62	1,56		2.425. 870	68.22 0.024	9,778 20	9,778 20	4,19
S	S		0	0	1,413 72	1,413 72	-		0	0	1,413 72	1,413 72	-		0	0	1,413 72	1,413 72	-
	I		46	17.43 0.990	1,413 72	1,413 72	1,25		-1.805	24.36 3.398	1,884 95	1,884 95	1,23		- 3.960. 865	37.28 6.160	2,591 81	2,591 81	1,31
P	S	00665	0	0	9,778 20	9,778 20	-	00666	- 2.425. 870	64.09 1.300	9,778 20	9,778 20	4,71	00667	-1.891	25.29 7.376	2,709 62	2,709 62	1,73
	I		0	3.562. 164	9,778 20	9,778 20	42,3 2		0	3.020	2,356 19	2,356 19	1,77		0	2.846	2,356 19	2,356 19	14,35
S	S		0	0	1,884 95	1,884 95	-		3.960. 865	32.08 1.804	2,591 81	2,591 81	1,00		1.805	20.69 2.910	1,884 95	1,884 95	1,49
	I		0	2.623. 107	2,591 81	2,591 81	12,4 4		0	2.763	1,413 72	1,413 72	3,45		0	2.743	1,413 72	1,413 72	7,03
P	S	00668	49	15.84 0.527	2,356 19	2,356 19	2,29	00669	-1	10.82 5.492	2,356 19	2,356 19	3,36	00670	0	7.662. 406	2,356 19	2,356 19	4,74
	I		0	2.871	2,356 19	2,356 19	NS		0	2.972	2,356 19	2,356 19	NS		0	3.126	2,356 19	2,356 19	NS
S	S		-46	14.55 6.496	1,413 72	1,413 72	1,50		1	10.81 5.552	1,413 72	1,413 72	2,02		0	8.365. 766	1,413 72	1,413 72	2,61
	I		0	2.833	1,413 72	1,413 72	NS		0	2.840	1,413 72	1,413 72	NS		0	2.847	1,413 72	1,413 72	NS
P	S	00671	0	5.469. 570	2,356 19	2,356 19	6,64	00672	0	3.857. 960	2,356 19	2,356 19	9,42	00673	0	2.636. 232	2,356 19	2,356 19	13,78
	I		0	3.291	2,356 19	2,356 19	NS		0	3.524	2,356 19	2,356 19	NS		0	3.785	2,356 19	2,356 19	NS
S	S		0	6.649. 257	1,413 72	1,413 72	3,28		0	5.391. 660	1,413 72	1,413 72	4,04		0	4.443. 444	1,413 72	1,413 72	4,91
	I		0	2.864	1,413 72	1,413 72	NS		0	2.888	1,413 72	1,413 72	NS		0	2.918	1,413 72	1,413 72	NS
P	S	00674	0	1.700. 339	2,356 19	2,356 19	21,3 7	00675	0	990.5 63	2,356 19	2,356 19	36,6 8	00676	0	472.3 19	2,356 19	2,356 19	76,92
	I		0	4.061	2,356 19	2,356 19	NS		0	4.340	2,356 19	2,356 19	NS		0	4.606	2,356 19	2,356 19	NS
S	S		0	3.718. 201	1,413 72	1,413 72	5,86		0	3.162. 557	1,413 72	1,413 72	6,89		0	2.741. 718	1,413 72	1,413 72	7,95
	I		0	2.950	1,413 72	1,413 72	NS		0	2.980	1,413 72	1,413 72	NS		0	3.001	1,413 72	1,413 72	NS



Il presente documento è di proprietà della ANTEX GROUP srl.
È Vietato la comunicazione a terzi o la riproduzione senza il permesso scritto della suddetta.
La società tutela i propri diritti a rigore di Legge.


Comm.: C21-002-S05



SASSARI EOLICA S.R.L.	PARCO EOLICO DI "SASSARI"		 Ingegneria & Innovazione		
	RELAZIONE DI CALCOLO PREDIMENSIONAMENTO DELLE FONDAZIONI WTG		26/05/2023	REV: 1	Pag.203

Platee - Verifiche pressoflessione retta allo SLU																			
Dir	Pos	Nodo	N _{Ed}	M _{Ed}	A _s	A _{df}	CS	Nodo	N _{Ed}	M _{Ed}	A _s	A _{df}	CS	Nodo	N _{Ed}	M _{Ed}	A _s	A _{df}	CS
			[N]	[N-m]	[cm ² /cm]	[cm ² /cm]			[N]	[N-m]	[cm ² /cm]	[cm ² /cm]			[N]	[N-m]	[cm ² /cm]	[cm ² /cm]	
P	S	00677	0	127.0 36	2,356 19	2,356 19	NS	00678	0	0	2,356 19	2,356 19	-	00679	0	0	2,356 19	2,356 19	-
	I		0	4.818	2,356 19	2,356 19	NS		0	53.36 8	2,356 19	2,356 19	NS		0	52.56 8	2,356 19	2,356 19	NS
S	S		0	2.431. 935	1,413 72	1,413 72	8,97		0	2.215. 968	1,413 72	1,413 72	9,84		0	2.073. 002	1,413 72	1,413 72	10,52
	I		0	3.053	1,413 72	1,413 72	NS		0	3.353	1,413 72	1,413 72	NS		0	2.260	1,413 72	1,413 72	NS
P	S	00680	0	113.3 98	2,356 19	2,356 19	NS	00681	0	56.19 0	2,356 19	2,356 19	NS	00682	0	0	2,356 19	2,356 19	-
	I		0	5.627	2,356 19	2,356 19	NS		0	4.928	2,356 19	2,356 19	NS		0	194.5 67	2,356 19	2,356 19	NS
S	S		0	0	1,413 72	1,413 72	-		0	0	1,413 72	1,413 72	-		0	0	1,413 72	1,413 72	-
	I		0	2.698. 386	1,413 72	1,413 72	8,08		0	2.909. 634	1,413 72	1,413 72	7,49		0	3.208. 861	1,413 72	1,413 72	6,79
P	S	00683	0	0	2,356 19	2,356 19	-	00684	0	0	2,356 19	2,356 19	-	00685	0	0	2,356 19	2,356 19	-
	I		0	636.4 05	2,356 19	2,356 19	57,0 9		0	1.287. 849	2,356 19	2,356 19	28,2 1		0	2.181. 582	2,356 19	2,356 19	16,65
S	S		0	0	1,413 72	1,413 72	-		0	0	1,413 72	1,413 72	-		0	0	1,413 72	1,413 72	-
	I		0	3.616. 087	1,413 72	1,413 72	6,03		0	4.151. 117	1,413 72	1,413 72	5,25		0	4.838. 250	1,413 72	1,413 72	4,51
P	S	00686	0	0	2,356 19	2,356 19	-	00687	0	0	2,356 19	2,356 19	-	00688	0	0	2,356 19	2,356 19	-
	I		0	3.372. 424	2,356 19	2,356 19	10,7 7		0	4.951. 381	2,356 19	2,356 19	7,34		0	7.074. 685	2,356 19	2,356 19	5,14
S	S		0	0	1,413 72	1,413 72	-		0	0	1,413 72	1,413 72	-		0	0	1,413 72	1,413 72	-
	I		0	5.709. 392	1,413 72	1,413 72	3,82		0	6.806. 968	1,413 72	1,413 72	3,20		0	8.185. 479	1,413 72	1,413 72	2,66
P	S	00689	0	0	2,356 19	2,356 19	-	00690	0	0	2,356 19	2,356 19	-	00691	0	0	2,356 19	2,356 19	-
	I		2	10.02 6.911	2,356 19	2,356 19	3,62		-67	14.35 3.091	2,356 19	2,356 19	2,53		2.640	21.12 3.924	2,709 62	2,709 62	2,12
S	S		0	0	1,413 72	1,413 72	-		0	0	1,413 72	1,413 72	-		0	0	1,413 72	1,413 72	-
	I		-2	9.904. 800	1,413 72	1,413 72	2,20		63	11.98 7.415	1,413 72	1,413 72	1,82		-2.520	14.02 4.790	1,884 95	1,884 95	2,44
P	S	00692	0	0	2,356 19	2,356 19	-	00693	0	0	2,356 19	2,356 19	-	00694	- 391.9 96	33.54 3.284	2,709 62	2,709 62	1,29
	I		- 102.0 95	32.49 3.164	2,709 62	2,709 62	1,32		391.9 96	37.88 0.164	2,709 62	2,709 62	1,09		0	3.261	2,356 19	2,356 19	14,35
S	S		0	0	1,413 72	1,413 72	-		0	0	1,413 72	1,413 72	-		0	0	1,884 95	1,884 95	-
	I		97.45 7	11.66 3.170	1,884 95	1,884 95	3,14		- 374.1 90	187.0 00	1,884 95	1,884 95	7,66		374.1 90	3.031. 092	1,413 72	1,413 72	3,71
P	S	00695	102.0 95	29.53 1.250	2,709 62	2,709 62	1,45	00696	-2.640	19.16 9.488	2,356 19	2,356 19	1,90	00697	67	13.06 7.008	2,356 19	2,356 19	2,78
	I		0	2.723	2,356 19	2,356 19	14,3 5		0	2.826	2,356 19	2,356 19	NS		0	2.917	2,356 19	2,356 19	NS
S	S		- 97.45 7	8.462. 338	1,884 95	1,884 95	5,28		2.520	11.23 1.425	1,413 72	1,413 72	1,94		-63	9.650. 088	1,413 72	1,413 72	2,26
	I		0	3.030	1,413 72	1,413 72	7,03		0	2.861	1,413 72	1,413 72	NS		0	2.856	1,413 72	1,413 72	NS
P	S	00698	-2	9.201. 312	2,356 19	2,356 19	3,95	00699	0	6.575. 614	2,356 19	2,356 19	5,53	00700	0	4.684. 902	2,356 19	2,356 19	7,76
	I		0	3.050	2,356 19	2,356 19	NS		0	3.228	2,356 19	2,356 19	NS		0	3.412	2,356 19	2,356 19	NS
S	S		2	7.948. 853	1,413 72	1,413 72	2,74		0	6.536. 497	1,413 72	1,413 72	3,34		0	5.404. 432	1,413 72	1,413 72	4,03

Il presente documento è di proprietà della ANTEX GROUP srl. È Vietato la comunicazione a terzi o la riproduzione senza il permesso scritto della suddetta. La società tutela i propri diritti a rigore di Legge.		Comm.: C21-002-S05
		

SASSARI EOLICA S.R.L.	PARCO EOLICO DI "SASSARI" RELAZIONE DI CALCOLO PREDIMENSIONAMENTO DELLE FONDAZIONI WTG		 Ingegneria & Innovazione		
			26/05/2023	REV: 1	Pag.204

Platee - Verifiche pressoflessione retta allo SLU																			
Dir	Pos	Nodo	N _{Ed}	M _{Ed}	A _s	A _{df}	CS	Nodo	N _{Ed}	M _{Ed}	A _s	A _{df}	CS	Nodo	N _{Ed}	M _{Ed}	A _s	A _{df}	CS
			[N]	[N-m]	[cm ² /cm]	[cm ² /cm]			[N]	[N-m]	[cm ² /cm]	[cm ² /cm]			[N]	[N-m]	[cm ² /cm]	[cm ² /cm]	
	I		0	2.865	1,413 72	1,413 72	NS		0	2.880	1,413 72	1,413 72	NS		0	2.901	1,413 72	1,413 72	NS
P	S	00701	0	3.269. 248	2,356 19	2,356 19	11,1 1	00702	0	2.188. 303	2,356 19	2,356 19	16,6 0	00703	0	1.362. 156	2,356 19	2,356 19	26,67
	I		0	3.658	2,356 19	2,356 19	NS		0	3.925	2,356 19	2,356 19	NS		0	4.199	2,356 19	2,356 19	NS
S	S		0	4.504. 222	1,413 72	1,413 72	4,84		0	3.790. 430	1,413 72	1,413 72	5,75		0	3.227. 814	1,413 72	1,413 72	6,75
	I		0	2.928	1,413 72	1,413 72	NS		0	2.959	1,413 72	1,413 72	NS		0	2.991	1,413 72	1,413 72	NS
P	S	00704	0	743.9 90	2,356 19	2,356 19	48,8 3	00705	0	306.9 43	2,356 19	2,356 19	NS	00706	0	37.78 9	2,356 19	2,356 19	NS
	I		0	4.463	2,356 19	2,356 19	NS		0	4.697	2,356 19	2,356 19	NS		0	4.928	2,356 19	2,356 19	NS
S	S		0	2.790. 269	1,413 72	1,413 72	7,81		0	2.458. 380	1,413 72	1,413 72	8,87		0	2.216. 907	1,413 72	1,413 72	9,83
	I		0	3.024	1,413 72	1,413 72	NS		0	3.056	1,413 72	1,413 72	NS		0	2.943	1,413 72	1,413 72	NS
P	S	00707	0	0	2,356 19	2,356 19	-	00708	0	54.28 9	2,356 19	2,356 19	NS	00709	0	73.30 6	2,356 19	2,356 19	NS
	I		0	64.55 9	2,356 19	2,356 19	NS		0	4.716	2,356 19	2,356 19	NS		0	4.799	2,356 19	2,356 19	NS
S	S		0	2.050. 627	1,413 72	1,413 72	10,6 3		0	0	1,413 72	1,413 72	-		0	0	1,413 72	1,413 72	-
	I		0	3.011	1,413 72	1,413 72	NS		0	2.455. 238	1,413 72	1,413 72	8,88		0	2.606. 272	1,413 72	1,413 72	8,37
P	S	00710	0	0	2,356 19	2,356 19	-	00711	0	0	2,356 19	2,356 19	-	00712	0	0	2,356 19	2,356 19	-
	I		0	103.1 88	2,356 19	2,356 19	NS		0	463.0 07	2,356 19	2,356 19	78,4 7		0	1.020. 452	2,356 19	2,356 19	35,60
S	S		0	0	1,413 72	1,413 72	-		0	0	1,413 72	1,413 72	-		0	0	1,413 72	1,413 72	-
	I		0	2.820. 322	1,413 72	1,413 72	7,73		0	3.117. 954	1,413 72	1,413 72	6,99		0	3.507. 834	1,413 72	1,413 72	6,22
P	S	00713	0	0	2,356 19	2,356 19	-	00714	0	0	2,356 19	2,356 19	-	00715	0	0	2,356 19	2,356 19	-
	I		0	1.801. 086	2,356 19	2,356 19	20,1 7		0	2.847. 342	2,356 19	2,356 19	12,7 6		0	4.226. 928	2,356 19	2,356 19	8,60
S	S		0	0	1,413 72	1,413 72	-		0	0	1,413 72	1,413 72	-		0	0	1,413 72	1,413 72	-
	I		0	3.998. 308	1,413 72	1,413 72	5,45		0	4.595. 648	1,413 72	1,413 72	4,74		0	5.298. 692	1,413 72	1,413 72	4,11
P	S	00716	0	0	2,356 19	2,356 19	-	00717	0	0	2,356 19	2,356 19	-	00718	0	0	2,356 19	2,356 19	-
	I		0	6.047. 387	2,356 19	2,356 19	6,01		0	8.479. 733	2,356 19	2,356 19	4,28		5	11.77 9.040	2,356 19	2,356 19	3,08
S	S		0	0	1,413 72	1,413 72	-		0	0	1,413 72	1,413 72	-		0	0	1,413 72	1,413 72	-
	I		0	6.085. 080	1,413 72	1,413 72	3,58		0	6.872. 730	1,413 72	1,413 72	3,17		-5	7.401. 398	1,413 72	1,413 72	2,95
P	S	00719	0	0	2,356 19	2,356 19	-	00720	0	0	2,356 19	2,356 19	-	00721	0	0	2,356 19	2,356 19	-
	I		-142	16.25 5.603	2,356 19	2,356 19	2,24		2.811	21.28 3.968	2,356 19	2,356 19	1,71		-7.667	23.67 5.354	2,356 19	2,356 19	1,54
S	S		0	0	1,413 72	1,413 72	-		0	0	1,413 72	1,413 72	-		7.318	971.7 35	1,413 72	1,413 72	22,42
	I		135	6.828. 358	1,413 72	1,413 72	3,19		-2.683	3.808. 036	1,413 72	1,413 72	5,73		0	3.012	1,413 72	1,413 72	NS
P	S	00722	0	0	2,356 19	2,356 19	-	00723	7.667	20.54 3.716	2,356 19	2,356 19	1,77	00724	-2.811	18.97 6.610	2,356 19	2,356 19	1,91
	I		0	1.834. 147	2,356 19	2,356 19	19,8 1		0	2.936	2,356 19	2,356 19	NS		0	2.826	2,356 19	2,356 19	NS
S	S		0	0	1,413 72	1,413 72	-		0	0	1,413 72	1,413 72	-		2.683	1.614. 411	1,413 72	1,413 72	13,50
	I		0	1.054. 727	1,413 72	1,413 72	20,6 7		-7.318	3.165. 671	1,413 72	1,413 72	6,89		0	2.986	1,413 72	1,413 72	NS
P	S	00725	142	14.65	2,356	2,356	2,48	00726	-5	10.70	2,356	2,356	3,39	00727	0	7.790.	2,356	2,356	4,66


Il presente documento è di proprietà della ANTEX GROUP srl.
 È vietato la comunicazione a terzi o la riproduzione senza il permesso scritto della suddetta.
 La società tutela i propri diritti a rigore di Legge.

Comm.: C21-002-S05



Platee - Verifiche pressoflessione retta allo SLU																			
Dir	Pos	Nodo	N _{Ed}	M _{Ed}	A _s	A _{df}	CS	Nodo	N _{Ed}	M _{Ed}	A _s	A _{df}	CS	Nodo	N _{Ed}	M _{Ed}	A _s	A _{df}	CS
			[N]	[N-m]	[cm ² /cm]	[cm ² /cm]			[N]	[N-m]	[cm ² /cm]	[cm ² /cm]			[N]	[N-m]	[cm ² /cm]	[cm ² /cm]	
	I		0	0.646	19	19			0	4.225	19	19			0	704	19	19	
			0	2.873	2,356	2,356	NS		0	2.988	2,356	2,356	NS		0	3.148	2,356	2,356	NS
S	S		-135	4.787.	1,413	1,413	4,55		5	5.589.	1,413	1,413	3,90		0	5.295.	1,413	1,413	4,12
	I		0	782	72	72			0	788	72	72			0	312	72	72	
			0	2.936	1,413	1,413	NS		0	2.921	1,413	1,413	NS		0	2.929	1,413	1,413	NS
				72	72	72				72	72	72				72	72	72	
P	S	00728	0	5.637.	2,356	2,356	6,44	00729	0	4.017.	2,356	2,356	9,04	00730	0	2.776.	2,356	2,356	13,08
				730	19	19				222	19	19				954	19	19	
	I		0	3.314	2,356	2,356	NS		0	3.546	2,356	2,356	NS		0	3.802	2,356	2,356	NS
				19	19	19				19	19	19				19	19	19	
S	S		0	4.717.	1,413	1,413	4,62		0	4.109.	1,413	1,413	5,31		0	3.553.	1,413	1,413	6,13
				158	72	72				063	72	72				936	72	72	
	I		0	2.949	1,413	1,413	NS		0	2.975	1,413	1,413	NS		0	3.005	1,413	1,413	NS
				72	72	72				72	72	72				72	72	72	
P	S	00731	0	1.822.	2,356	2,356	19,9	00732	0	1.095.	2,356	2,356	33,1	00733	0	559.9	2,356	2,356	64,88
				351	19	19	4			166	19	19	8			58	19	19	
	I		0	4.070	2,356	2,356	NS		0	4.336	2,356	2,356	NS		0	4.583	2,356	2,356	NS
				19	19	19				19	19	19				19	19	19	
S	S		0	3.077.	1,413	1,413	7,09		0	2.683.	1,413	1,413	8,13		0	2.369.	1,413	1,413	9,20
				088	72	72				145	72	72				287	72	72	
	I		0	3.037	1,413	1,413	NS		0	3.069	1,413	1,413	NS		0	3.096	1,413	1,413	NS
				72	72	72				72	72	72				72	72	72	
P	S	00734	0	196.3	2,356	2,356	NS	00735	0	0	2,356	2,356	-	00736	0	0	2,356	2,356	-
				95	19	19					19	19					19	19	
	I		0	4.772	2,356	2,356	NS		0	6.235	2,356	2,356	NS		0	37.63	2,356	2,356	NS
				19	19	19				19	19	19				7	19	19	
S	S		0	2.130.	1,413	1,413	10,2		0	1.960.	1,413	1,413	11,1		0	1.848.	1,413	1,413	11,79
				282	72	72	3			499	72	72	2			508	72	72	
	I		0	3.155	1,413	1,413	NS		0	3.466	1,413	1,413	NS		0	2.388	1,413	1,413	NS
				72	72	72				72	72	72				72	72	72	
P	S	00737	0	53.77	2,356	2,356	NS	00738	0	0	2,356	2,356	-	00739	0	0	2,356	2,356	-
				9	19	19					19	19					19	19	
	I		0	5.621	2,356	2,356	NS		0	56.94	2,356	2,356	NS		0	343.1	2,356	2,356	NS
				19	19	19				0	19	19				04	19	19	
S	S		0	0	1,413	1,413	-		0	0	1,413	1,413	-		0	0	1,413	1,413	-
				72	72	72					72	72					72	72	
	I		0	2.269.	1,413	1,413	9,61		0	2.414.	1,413	1,413	9,03		0	2.613.	1,413	1,413	8,34
				519	72	72				482	72	72				932	72	72	
P	S	00740	0	0	2,356	2,356	-	00741	0	0	2,356	2,356	-	00742	0	0	2,356	2,356	-
					19	19					19	19					19	19	
	I		0	813.8	2,356	2,356	44,6		0	1.488.	2,356	2,356	24,4		0	2.396.	2,356	2,356	15,16
				86	19	19	4			130	19	19	1			424	19	19	
S	S		0	0	1,413	1,413	-		0	0	1,413	1,413	-		0	0	1,413	1,413	-
				72	72	72					72	72					72	72	
	I		0	2.873.	1,413	1,413	7,59		0	3.191.	1,413	1,413	6,83		0	3.559.	1,413	1,413	6,12
				621	72	72				948	72	72				766	72	72	
P	S	00743	0	0	2,356	2,356	-	00744	0	0	2,356	2,356	-	00745	0	0	2,356	2,356	-
					19	19					19	19					19	19	
	I		0	3.584.	2,356	2,356	10,1		0	5.116.	2,356	2,356	7,10		0	7.075.	2,356	2,356	5,14
				467	19	19	4			754	19	19				025	19	19	
S	S		0	0	1,413	1,413	-		0	0	1,413	1,413	-		0	0	1,413	1,413	-
				72	72	72					72	72					72	72	
	I		0	3.953.	1,413	1,413	5,51		0	4.321.	1,413	1,413	5,05		0	4.551.	1,413	1,413	4,79
				682	72	72				478	72	72				564	72	72	
P	S	00746	0	0	2,356	2,356	-	00747	0	0	2,356	2,356	-	00748	0	0	2,356	2,356	-
					19	19					19	19					19	19	
	I		0	9.530.	2,356	2,356	3,81		6	12.39	2,356	2,356	2,93		-73	15.03	2,356	2,356	2,42
				887	19	19				8.542	19	19				1.920	19	19	
S	S		0	0	1,413	1,413	-		0	0	1,413	1,413	-		0	0	1,413	1,413	-
				72	72	72					72	72					72	72	
	I		0	4.415.	1,413	1,413	4,94		-5	3.550.	1,413	1,413	6,14		70	1.768.	1,413	1,413	12,33
				252	72	72				942	72	72				687	72	72	
P	S	00749	0	0	2,356	2,356	-	00750	0	0	2,356	2,356	-	00751	-203	6.265.	2,356	2,356	5,80
					19	19					19	19				183	19	19	
	I		124	15.72	2,356	2,356	2,31		203	9.123.	2,356	2,356	3,98		0	2.947	2,356	2,356	NS
				2.017	19	19				419	19	19					19	19	

Platee - Verifiche pressoflessione retta allo SLU																			
Dir	Pos	Nodo	N _{Ed}	M _{Ed}	A _s	A _{df}	CS	Nodo	N _{Ed}	M _{Ed}	A _s	A _{df}	CS	Nodo	N _{Ed}	M _{Ed}	A _s	A _{df}	CS
			[N]	[N-m]	[cm ² /cm]	[cm ² /cm]			[N]	[N-m]	[cm ² /cm]	[cm ² /cm]			[N]	[N-m]	[cm ² /cm]	[cm ² /cm]	
S	S		-118	376.7	1,413	1,413	57,8		-194	610.6	1,413	1,413	35,7		0	0	1,413	1,413	-
	I		0	3.010	1,413	1,413	NS		0	2.980	1,413	1,413	NS		194	2.079.	1,413	1,413	10,48
P	S	00752	-124	13.32	2,356	2,356	2,73	00753	73	13.20	2,356	2,356	2,75	00754	-6	11.08	2,356	2,356	3,28
	I		0	8.880	19	19	NS		0	8.392	19	19	NS		0	9.238	19	19	NS
				2.862	2,356	2,356				2.870	19	19				2.948	19	19	
S	S		0	0	1,413	1,413	-		-70	216.5	1,413	1,413	NS		5	2.059.	1,413	1,413	10,58
	I		118	1.911.	1,413	1,413	11,4		0	26	72	72	NS		0	986	72	72	NS
				845	72	72	0			3.013	1,413	1,413	NS		0	3.009	1,413	1,413	
P	S	00755	0	8.636.	2,356	2,356	4,21	00756	0	6.498.	2,356	2,356	5,59	00757	0	4.775.	2,356	2,356	7,61
	I		0	569	19	19	NS		0	134	19	19	NS		0	406	19	19	NS
				3.084	2,356	2,356				3.265	2,356	2,356				3.448	2,356	2,356	
S	S		0	3.039.	1,413	1,413	7,17		0	3.310.	1,413	1,413	6,59		0	3.213.	1,413	1,413	6,78
	I		0	019	72	72	NS		0	482	72	72	NS		0	592	72	72	NS
				3.014	1,413	1,413				3.030	1,413	1,413			0	3.055	1,413	1,413	
P	S	00758	0	3.413.	2,356	2,356	10,6	00759	0	2.343.	2,356	2,356	15,5	00760	0	1.510.	2,356	2,356	24,05
	I		0	264	19	19	4		0	123	19	19	1		0	735	19	19	NS
				3.691	2,356	2,356	NS		0	3.953	2,356	2,356	NS		0	4.218	2,356	2,356	
S	S		0	2.966.	1,413	1,413	7,35		0	2.676.	1,413	1,413	8,15		0	2.394.	1,413	1,413	9,10
	I		0	261	72	72	NS		0	179	72	72	NS		0	976	72	72	NS
				3.085	1,413	1,413				3.118	1,413	1,413			0	3.153	1,413	1,413	
P	S	00761	0	878.2	2,356	2,356	41,3	00762	0	421.2	2,356	2,356	86,2	00763	0	125.1	2,356	2,356	NS
	I		0	82	19	19	7		0	07	19	19	6		0	69	19	19	NS
				4.471	2,356	2,356	NS		0	4.692	2,356	2,356	NS		0	4.912	2,356	2,356	
S	S		0	2.147.	1,413	1,413	10,1		0	1.943.	1,413	1,413	11,2		0	1.787.	1,413	1,413	12,20
	I		0	003	72	72	5		0	150	72	72	2		0	371	72	72	NS
				3.189	1,413	1,413	NS		0	3.227	1,413	1,413	NS		0	3.119	1,413	1,413	
P	S	00764	0	0	2,356	2,356	-	00765	0	15.56	2,356	2,356	NS	00766	0	0	2,356	2,356	-
	I		0	17.35	2,356	2,356	NS		0	6	19	19	NS		0	37.05	2,356	2,356	NS
				6	19	19				4.726	2,356	2,356				3	19	19	
S	S		0	1.677.	1,413	1,413	13,0		0	0	1,413	1,413	-		0	0	1,413	1,413	-
	I		0	270	72	72	0		0	1.932.	1,413	1,413	11,2		0	2.017.	1,413	1,413	10,81
				3.178	1,413	1,413	NS		0	791	72	72	8		0	384	72	72	
P	S	00767	0	0	2,356	2,356	-	00768	0	0	2,356	2,356	-	00769	0	0	2,356	2,356	-
	I		0	259.0	2,356	2,356	NS		0	649.9	2,356	2,356	55,9		0	1.223.	2,356	2,356	29,70
				44	19	19				17	19	19	0		0	198	19	19	
S	S		0	0	1,413	1,413	-		0	0	1,413	1,413	-		0	0	1,413	1,413	-
	I		0	2.135.	1,413	1,413	10,2		0	2.289.	1,413	1,413	9,52		0	2.472.	1,413	1,413	8,82
				196	72	72	1		0	427	72	72			0	684	72	72	
P	S	00770	0	0	2,356	2,356	-	00771	0	0	2,356	2,356	-	00772	0	0	2,356	2,356	-
	I		0	1.999.	2,356	2,356	18,1		0	3.005.	2,356	2,356	12,0		0	4.272.	2,356	2,356	8,50
				193	19	19	7			100	19	19	9			612	19	19	
S	S		0	0	1,413	1,413	-		0	0	1,413	1,413	-		0	0	1,413	1,413	-
	I		0	2.669.	1,413	1,413	8,17		0	2.850.	1,413	1,413	7,65		0	2.964.	1,413	1,413	7,35
				366	72	72				524	72	72				739	72	72	
P	S	00773	0	0	2,356	2,356	-	00774	0	0	2,356	2,356	-	00775	0	0	2,356	2,356	-
	I		0	5.826.	2,356	2,356	6,24		0	7.651.	2,356	2,356	4,75		0	9.600.	2,356	2,356	3,78
				899	19	19				646	19	19				722	19	19	
S	S		0	0	1,413	1,413	-		0	0	1,413	1,413	-		0	0	1,413	1,413	-
	I		0	2.925.	1,413	1,413	7,45		0	2.604.	1,413	1,413	8,37		0	1.873.	1,413	1,413	11,64


SASSARI EOLICA S.R.L.	PARCO EOLICO DI "SASSARI"		 Ingegneria & Innovazione		
			RELAZIONE DI CALCOLO PREDIMENSIONAMENTO DELLE FONDAZIONI WTG		
			26/05/2023	REV: 1	Pag.207

Platee - Verifiche pressoflessione retta allo SLU																			
Dir	Pos	Nodo	N _{Ed}	M _{Ed}	A _s	A _{df}	CS	Nodo	N _{Ed}	M _{Ed}	A _s	A _{df}	CS	Nodo	N _{Ed}	M _{Ed}	A _s	A _{df}	CS
			[N]	[N-m]	[cm²/cm]	[cm²/cm]			[N]	[N-m]	[cm²/cm]	[cm²/cm]			[N]	[N-m]	[cm²/cm]	[cm²/cm]	
				399	72	72				740	72	72				360	72	72	
P	S	00776	0	0	2,356 19	2,356 19	-	00777	0	0	2,356 19	2,356 19	-	00778	0	0	2,356 19	2,356 19	-
	I		2	11.24 2.868	2,356 19	2,356 19	3,23	-1	11.60 2.568	2,356 19	2,356 19	3,13	-9	8.906. 588	2,356 19	2,356 19	4,08		
S	S		0	0	1,413 72	1,413 72	-	1	458.1 40	1,413 72	1,413 72	47,5 9	8	833.9 84	1,413 72	1,413 72	26,14		
	I		-2	732.4 48	1,413 72	1,413 72	29,7 7	0	3.088	1,413 72	1,413 72	NS	0	3.067	1,413 72	1,413 72	NS		
P	S	00779	0	0	2,356 19	2,356 19	-	00780	9	6.654. 832	2,356 19	2,356 19	5,46	00781	1	9.721. 309	2,356 19	2,356 19	3,74
	I		0	1.208. 282	2,356 19	2,356 19	30,0 7	0	2.876	2,356 19	2,356 19	NS	0	2.874	2,356 19	2,356 19	NS		
S	S		0	0	1,413 72	1,413 72	-	0	0	1,413 72	1,413 72	-	0	0	1,413 72	1,413 72	-		
	I		0	496.3 69	1,413 72	1,413 72	43,9 2	-8	1.858. 882	1,413 72	1,413 72	11,7 3	-1	1.537. 956	1,413 72	1,413 72	14,18		
P	S	00782	-2	9.783. 287	2,356 19	2,356 19	3,71	00783	0	8.531. 541	2,356 19	2,356 19	4,26	00784	0	6.909. 410	2,356 19	2,356 19	5,26
	I		0	2.929	2,356 19	2,356 19	NS	0	3.039	2,356 19	2,356 19	NS	0	3.198	2,356 19	2,356 19	NS		
S	S		0	0	1,413 72	1,413 72	-	0	784.5 40	1,413 72	1,413 72	27,7 9	0	1.569. 124	1,413 72	1,413 72	13,89		
	I		2	374.5 14	1,413 72	1,413 72	58,2 2	0	3.122	1,413 72	1,413 72	NS	0	3.142	1,413 72	1,413 72	NS		
P	S	00785	0	5.343. 030	2,356 19	2,356 19	6,80	00786	0	3.984. 542	2,356 19	2,356 19	9,12	00787	0	2.859. 730	2,356 19	2,356 19	12,70
	I		0	3.363	2,356 19	2,356 19	NS	0	3.593	2,356 19	2,356 19	NS	0	3.846	2,356 19	2,356 19	NS		
S	S		0	1.962. 723	1,413 72	1,413 72	11,1 1	0	2.080. 855	1,413 72	1,413 72	10,4 8	0	2.042. 334	1,413 72	1,413 72	10,68		
	I		0	3.168	1,413 72	1,413 72	NS	0	3.198	1,413 72	1,413 72	NS	0	3.233	1,413 72	1,413 72	NS		
P	S	00788	0	1.952. 368	2,356 19	2,356 19	18,6 1	00789	0	1.238. 555	2,356 19	2,356 19	29,3 3	00790	0	697.5 32	2,356 19	2,356 19	52,09
	I		0	4.109	2,356 19	2,356 19	NS	0	4.370	2,356 19	2,356 19	NS	0	4.610	2,356 19	2,356 19	NS		
S	S		0	1.929. 028	1,413 72	1,413 72	11,3 0	0	1.790. 362	1,413 72	1,413 72	12,1 8	0	1.654. 923	1,413 72	1,413 72	13,17		
	I		0	3.268	1,413 72	1,413 72	NS	0	3.270	1,413 72	1,413 72	NS	0	3.298	1,413 72	1,413 72	NS		
P	S	00791	0	314.2 50	2,356 19	2,356 19	NS	00792	0	79.25 8	2,356 19	2,356 19	NS	00793	0	0	2,356 19	2,356 19	-
	I		0	4.792	2,356 19	2,356 19	NS	0	4.812	2,356 19	2,356 19	NS	0	7.231	2,356 19	2,356 19	NS		
S	S		0	1.538. 780	1,413 72	1,413 72	14,1 7	0	1.450. 476	1,413 72	1,413 72	15,0 3	0	1.393. 480	1,413 72	1,413 72	15,65		
	I		0	3.360	1,413 72	1,413 72	NS	0	3.705	1,413 72	1,413 72	NS	0	2.614	1,413 72	1,413 72	NS		
P	S	00794	0	0	2,356 19	2,356 19	-	00795	0	0	2,356 19	2,356 19	-	00796	0	0	2,356 19	2,356 19	-
	I		0	23.70 0	2,356 19	2,356 19	NS	0	197.0 88	2,356 19	2,356 19	NS	0	516.3 22	2,356 19	2,356 19	70,37		
S	S		0	0	1,413 72	1,413 72	-	0	0	1,413 72	1,413 72	-	0	0	1,413 72	1,413 72	-		
	I		0	1.638. 727	1,413 72	1,413 72	13,3 0	0	1.698. 674	1,413 72	1,413 72	12,8 4	0	1.774. 356	1,413 72	1,413 72	12,29		
P	S	00797	0	0	2,356 19	2,356 19	-	00798	0	0	2,356 19	2,356 19	-	00799	0	0	2,356 19	2,356 19	-
	I		0	996.0 34	2,356 19	2,356 19	36,4 8	0	1.648. 889	2,356 19	2,356 19	22,0 3	0	2.488. 643	2,356 19	2,356 19	14,60		
S	S		0	0	1,413 72	1,413 72	-	0	0	1,413 72	1,413 72	-	0	0	1,413 72	1,413 72	-		
	I		0	1.860. 041	1,413 72	1,413 72	11,7 2	0	1.939. 456	1,413 72	1,413 72	11,2 4	0	1.986. 740	1,413 72	1,413 72	10,97		
P	S	00800	0	0	2,356 19	2,356 19	-	00801	0	0	2,356 19	2,356 19	-	00802	0	0	2,356 19	2,356 19	-

Il presente documento è di proprietà della ANTEX GROUP srl.
È Vietato la comunicazione a terzi o la riproduzione senza il permesso scritto della suddetta.
La società tutela i propri diritti a rigore di Legge.

Comm.: C21-002-S05




SASSARI EOLICA S.R.L.	PARCO EOLICO DI "SASSARI"		 Ingegneria & Innovazione		
	RELAZIONE DI CALCOLO PREDIMENSIONAMENTO DELLE FONDAZIONI WTG		26/05/2023	REV: 1	Pag.208

Platee - Verifiche pressoflessione retta allo SLU																			
Dir	Pos	Nodo	N _{Ed}	M _{Ed}	A _s	A _{df}	CS	Nodo	N _{Ed}	M _{Ed}	A _s	A _{df}	CS	Nodo	N _{Ed}	M _{Ed}	A _s	A _{df}	CS
			[N]	[N-m]	[cm ² /cm]	[cm ² /cm]			[N]	[N-m]	[cm ² /cm]	[cm ² /cm]			[N]	[N-m]	[cm ² /cm]	[cm ² /cm]	
	I		0	3.525.882	2,356 19	2,356 19	10,3 0		0	4.756.558	2,356 19	2,356 19	7,64		0	6.136.413	2,356 19	2,356 19	5,92
S	S		0	0	1,413 72	1,413 72	-		0	0	1,413 72	1,413 72	-		0	0	1,413 72	1,413 72	-
	I		0	1.962.788	1,413 72	1,413 72	11,1 1		0	1.812.668	1,413 72	1,413 72	12,0 3		0	1.473.347	1,413 72	1,413 72	14,80
P	S	00803	0	0	2,356 19	2,356 19	-	00804	0	0	2,356 19	2,356 19	-	00805	0	0	2,356 19	2,356 19	-
	I		0	7.533.731	2,356 19	2,356 19	4,82		0	8.654.035	2,356 19	2,356 19	4,20		0	8.951.981	2,356 19	2,356 19	4,06
S	S		0	0	1,413 72	1,413 72	-		0	0	1,413 72	1,413 72	-		0	575.068	1,413 72	1,413 72	37,91
	I		0	903.807	1,413 72	1,413 72	24,1 2		0	149.446	1,413 72	1,413 72	NS		0	3.226	1,413 72	1,413 72	NS
P	S	00806	0	0	2,356 19	2,356 19	-	00807	0	0	2,356 19	2,356 19	-	00808	0	1.768.116	2,356 19	2,356 19	20,55
	I		0	7.614.559	2,356 19	2,356 19	4,77		0	3.763.869	2,356 19	2,356 19	9,65		0	2.864	2,356 19	2,356 19	NS
S	S		0	860.848	1,413 72	1,413 72	25,3 3		0	269.534	1,413 72	1,413 72	80,8 9		0	0	1,413 72	1,413 72	-
	I		0	3.205	1,413 72	1,413 72	NS		0	3.189	1,413 72	1,413 72	NS		0	930.198	1,413 72	1,413 72	23,44
P	S	00809	0	5.811.334	2,356 19	2,356 19	6,25	00810	0	7.447.033	2,356 19	2,356 19	4,88	00811	0	7.473.832	2,356 19	2,356 19	4,86
	I		0	2.871	2,356 19	2,356 19	NS		0	2.916	2,356 19	2,356 19	NS		0	3.007	2,356 19	2,356 19	NS
S	S		0	0	1,413 72	1,413 72	-		0	0	1,413 72	1,413 72	-		0	0	1,413 72	1,413 72	-
	I		0	1.562.504	1,413 72	1,413 72	13,9 5		0	1.326.912	1,413 72	1,413 72	16,4 3		0	636.279	1,413 72	1,413 72	34,27
P	S	00812	0	6.656.793	2,356 19	2,356 19	5,46	00813	0	5.518.956	2,356 19	2,356 19	6,58	00814	0	4.348.379	2,356 19	2,356 19	8,36
	I		0	3.146	2,356 19	2,356 19	NS		0	3.293	2,356 19	2,356 19	NS		0	3.508	2,356 19	2,356 19	NS
S	S		0	112.313	1,413 72	1,413 72	NS		0	699.376	1,413 72	1,413 72	31,1 7		0	1.072.264	1,413 72	1,413 72	20,33
	I		0	3.279	1,413 72	1,413 72	NS		0	3.275	1,413 72	1,413 72	NS		0	3.307	1,413 72	1,413 72	NS
P	S	00815	0	3.278.864	2,356 19	2,356 19	11,0 8	00816	0	2.359.842	2,356 19	2,356 19	15,4 0	00817	0	1.601.501	2,356 19	2,356 19	22,69
	I		0	3.749	2,356 19	2,356 19	NS		0	4.007	2,356 19	2,356 19	NS		0	4.271	2,356 19	2,356 19	NS
S	S		0	1.263.722	1,413 72	1,413 72	17,2 5		0	1.330.434	1,413 72	1,413 72	16,3 9		0	1.323.161	1,413 72	1,413 72	16,48
	I		0	3.343	1,413 72	1,413 72	NS		0	3.380	1,413 72	1,413 72	NS		0	3.417	1,413 72	1,413 72	NS
P	S	00818	0	999.149	2,356 19	2,356 19	36,3 6	00819	0	544.285	2,356 19	2,356 19	66,7 5	00820	0	228.762	2,356 19	2,356 19	NS
	I		0	4.523	2,356 19	2,356 19	NS		0	4.744	2,356 19	2,356 19	NS		0	4.962	2,356 19	2,356 19	NS
S	S		0	1.278.999	1,413 72	1,413 72	17,0 5		0	1.222.861	1,413 72	1,413 72	17,8 3		0	1.171.304	1,413 72	1,413 72	18,61
	I		0	3.454	1,413 72	1,413 72	NS		0	3.490	1,413 72	1,413 72	NS		0	3.383	1,413 72	1,413 72	NS
P	S	00821	0	41.374	2,356 19	2,356 19	NS	00822	0	0	2,356 19	2,356 19	-	00823	0	0	2,356 19	2,356 19	-
	I		0	5.644	2,356 19	2,356 19	NS		0	26.128	2,356 19	2,356 19	NS		0	147.083	2,356 19	2,356 19	NS
S	S		0	1.131.427	1,413 72	1,413 72	19,2 7		0	0	1,413 72	1,413 72	-		0	0	1,413 72	1,413 72	-
	I		0	3.457	1,413 72	1,413 72	NS		0	1.294.714	1,413 72	1,413 72	16,8 4		0	1.311.080	1,413 72	1,413 72	16,63
P	S	00824	0	0	2,356 19	2,356 19	-	00825	0	0	2,356 19	2,356 19	-	00826	0	0	2,356 19	2,356 19	-
	I		0	404.429	2,356 19	2,356 19	89,8 4		0	800.689	2,356 19	2,356 19	45,3 8		0	1.343.270	2,356 19	2,356 19	27,05
S	S		0	0	1,413	1,413	-		0	0	1,413	1,413	-		0	0	1,413	1,413	-

Il presente documento è di proprietà della ANTEX GROUP srl.
È Vietato la comunicazione a terzi o la riproduzione senza il permesso scritto della suddetta.
La società tutela i propri diritti a rigore di Legge.

Comm.: C21-002-S05




SASSARI EOLICA S.R.L.	PARCO EOLICO DI "SASSARI"										 Ingegneria & Innovazione		
	RELAZIONE DI CALCOLO PREDIMENSIONAMENTO DELLE FONDAZIONI WTG										26/05/2023	REV: 1	Pag.209

Platee - Verifiche pressoflessione retta allo SLU																			
Dir	Pos	Nodo	N _{Ed}	M _{Ed}	A _s	A _{df}	CS	Nodo	N _{Ed}	M _{Ed}	A _s	A _{df}	CS	Nodo	N _{Ed}	M _{Ed}	A _s	A _{df}	CS
			[N]	[N-m]	[cm ² /cm]	[cm ² /cm]			[N]	[N-m]	[cm ² /cm]	[cm ² /cm]			[N]	[N-m]	[cm ² /cm]	[cm ² /cm]	
	I		0	1.333. 876	72 1,413 72	72 1,413 72	16,3 5		0	1.353. 978	72 1,413 72	72 1,413 72	16,1 0		0	1.358. 651	72 1,413 72	72 1,413 72	16,05
P	S	00827	0	0	2,356 19	2,356 19	-	00828	0	0	2,356 19	2,356 19	-	00829	0	0	2,356 19	2,356 19	-
	I		0	2.037. 517	2,356 19	2,356 19	17,8 3		0	2.882. 326	2,356 19	2,356 19	12,6 1		0	3.861. 226	2,356 19	2,356 19	9,41
S	S		0	0	1,413 72	1,413 72	-		0	0	1,413 72	1,413 72	-		0	0	1,413 72	1,413 72	-
	I		0	1.328. 056	1,413 72	1,413 72	16,4 2		0	1.235. 502	1,413 72	1,413 72	17,6 5		0	1.049. 302	1,413 72	1,413 72	20,78
P	S	00830	0	0	2,356 19	2,356 19	-	00831	0	0	2,356 19	2,356 19	-	00832	0	0	2,356 19	2,356 19	-
	I		0	4.926. 061	2,356 19	2,356 19	7,38		0	5.970. 746	2,356 19	2,356 19	6,09		0	6.797. 072	2,356 19	2,356 19	5,35
S	S		0	0	1,413 72	1,413 72	-		0	0	1,413 72	1,413 72	-		0	219.6 14	1,413 72	1,413 72	99,28
	I		0	740.7 15	1,413 72	1,413 72	29,4 3		0	302.7 72	1,413 72	1,413 72	72,0 1		0	3.400	1,413 72	1,413 72	NS
P	S	00833	0	0	2,356 19	2,356 19	-	00834	0	0	2,356 19	2,356 19	-	00835	0	0	2,356 19	2,356 19	-
	I		0	7.083. 464	2,356 19	2,356 19	5,13		0	6.392. 686	2,356 19	2,356 19	5,68		0	4.298. 194	2,356 19	2,356 19	8,45
S	S		0	693.3 80	1,413 72	1,413 72	31,4 4		0	898.4 23	1,413 72	1,413 72	24,2 7		0	602.8 86	1,413 72	1,413 72	36,16
	I		0	3.373	1,413 72	1,413 72	NS		0	3.350	1,413 72	1,413 72	NS		0	3.333	1,413 72	1,413 72	NS
P	S	00836	0	0	2,356 19	2,356 19	-	00837	0	2.651. 666	2,356 19	2,356 19	13,7 0	00838	0	4.929. 646	2,356 19	2,356 19	7,37
	I		0	858.8 39	2,356 19	2,356 19	42,3 0		0	2.867	2,356 19	2,356 19	NS		0	2.905	2,356 19	2,356 19	NS
S	S		0	0	1,413 72	1,413 72	-		0	0	1,413 72	1,413 72	-		0	0	1,413 72	1,413 72	-
	I		0	201.9 52	1,413 72	1,413 72	NS		0	1.024. 081	1,413 72	1,413 72	21,2 9		0	1.362. 842	1,413 72	1,413 72	16,00
P	S	00839	0	5.863. 220	2,356 19	2,356 19	6,20	00840	0	5.832. 920	2,356 19	2,356 19	6,23	00841	0	5.246. 073	2,356 19	2,356 19	6,93
	I		0	2.983	2,356 19	2,356 19	NS		0	3.104	2,356 19	2,356 19	NS		0	3.268	2,356 19	2,356 19	NS
S	S		0	0	1,413 72	1,413 72	-		0	0	1,413 72	1,413 72	-		0	0	1,413 72	1,413 72	-
	I		0	1.205. 916	1,413 72	1,413 72	18,0 8		0	769.9 28	1,413 72	1,413 72	28,3 2		0	269.1 29	1,413 72	1,413 72	81,01
P	S	00842	0	4.408. 585	2,356 19	2,356 19	8,24	00843	0	3.513. 192	2,356 19	2,356 19	10,3 4	00844	0	2.666. 034	2,356 19	2,356 19	13,63
	I		0	3.433	2,356 19	2,356 19	NS		0	3.662	2,356 19	2,356 19	NS		0	3.912	2,356 19	2,356 19	NS
S	S		0	165.4 85	1,413 72	1,413 72	NS		0	482.3 81	1,413 72	1,413 72	45,2 0		0	684.5 14	1,413 72	1,413 72	31,85
	I		0	3.474	1,413 72	1,413 72	NS		0	3.512	1,413 72	1,413 72	NS		0	3.552	1,413 72	1,413 72	NS
P	S	00845	0	1.918. 361	2,356 19	2,356 19	18,9 4	00846	0	1.290. 934	2,356 19	2,356 19	28,1 4	00847	0	789.4 31	2,356 19	2,356 19	46,02
	I		0	4.175	2,356 19	2,356 19	NS		0	4.437	2,356 19	2,356 19	NS		0	4.685	2,356 19	2,356 19	NS
S	S		0	796.3 80	1,413 72	1,413 72	27,3 8		0	846.5 84	1,413 72	1,413 72	25,7 5		0	859.8 89	1,413 72	1,413 72	25,36
	I		0	3.591	1,413 72	1,413 72	NS		0	3.627	1,413 72	1,413 72	NS		0	3.653	1,413 72	1,413 72	NS
P	S	00848	0	412.9 58	2,356 19	2,356 19	87,9 8	00849	0	158.2 07	2,356 19	2,356 19	NS	00850	0	24.03 8	2,356 19	2,356 19	NS
	I		0	4.876	2,356 19	2,356 19	NS		0	4.899	2,356 19	2,356 19	NS		0	4.791	2,356 19	2,356 19	NS
S	S		0	855.0 90	1,413 72	1,413 72	25,5 0		0	844.8 31	1,413 72	1,413 72	25,8 1		0	842.2 45	1,413 72	1,413 72	25,89
	I		0	3.710	1,413 72	1,413 72	NS		0	4.049	1,413 72	1,413 72	NS		0	2.955	1,413 72	1,413 72	NS

Il presente documento è di proprietà della ANTEX GROUP srl.
È Vietato la comunicazione a terzi o la riproduzione senza il permesso scritto della suddetta.
La società tutela i propri diritti a rigore di Legge.

Comm.: C21-002-S05




SASSARI EOLICA S.R.L.	PARCO EOLICO DI "SASSARI"		 Ingegneria & Innovazione		
	RELAZIONE DI CALCOLO PREDIMENSIONAMENTO DELLE FONDAZIONI WTG		26/05/2023	REV: 1	Pag.210

Platee - Verifiche pressoflessione retta allo SLU																			
Dir	Pos	Nodo	N _{Ed}	M _{Ed}	A _s	A _{df}	CS	Nodo	N _{Ed}	M _{Ed}	A _s	A _{df}	CS	Nodo	N _{Ed}	M _{Ed}	A _s	A _{df}	CS
			[N]	[N-m]	[cm ² /cm]	[cm ² /cm]			[N]	[N-m]	[cm ² /cm]	[cm ² /cm]			[N]	[N-m]	[cm ² /cm]	[cm ² /cm]	
P	S	00851	0	0	2,356 19	2,356 19	-	00852	0	0	2,356 19	2,356 19	-	00853	0	0	2,356 19	2,356 19	-
	I		0	88.18 6	2,356 19	2,356 19	NS		0	307.3 07	2,356 19	2,356 19	NS		0	632.5 81	2,356 19	2,356 19	57,44
S	S		0	0	1,413 72	1,413 72	-		0	0	1,413 72	1,413 72	-		0	0	1,413 72	1,413 72	-
	I		0	978.1 75	1,413 72	1,413 72	22,2 9		0	967.3 36	1,413 72	1,413 72	22,5 4		0	945.8 59	1,413 72	1,413 72	23,05
P	S	00854	0	0	2,356 19	2,356 19	-	00855	0	0	2,356 19	2,356 19	-	00856	0	0	2,356 19	2,356 19	-
	I		0	1.079. 929	2,356 19	2,356 19	33,6 4		0	1.650. 770	2,356 19	2,356 19	22,0 1		0	2.338. 582	2,356 19	2,356 19	15,54
S	S		0	0	1,413 72	1,413 72	-		0	0	1,413 72	1,413 72	-		0	0	1,413 72	1,413 72	-
	I		0	906.7 46	1,413 72	1,413 72	24,0 5		0	834.7 03	1,413 72	1,413 72	26,1 2		0	712.8 01	1,413 72	1,413 72	30,59
P	S	00857	0	0	2,356 19	2,356 19	-	00858	0	0	2,356 19	2,356 19	-	00859	0	0	2,356 19	2,356 19	-
	I		0	3.123. 161	2,356 19	2,356 19	11,6 3		0	3.960. 644	2,356 19	2,356 19	9,17		0	4.769. 179	2,356 19	2,356 19	7,62
S	S		0	0	1,413 72	1,413 72	-		0	0	1,413 72	1,413 72	-		0	84.38 7	1,413 72	1,413 72	NS
	I		0	523.9 02	1,413 72	1,413 72	41,6 2		0	256.6 42	1,413 72	1,413 72	84,9 5		0	3.650	1,413 72	1,413 72	NS
P	S	00860	0	0	2,356 19	2,356 19	-	00861	0	0	2,356 19	2,356 19	-	00862	0	0	2,356 19	2,356 19	-
	I		0	5.413. 018	2,356 19	2,356 19	6,71		0	5.690. 916	2,356 19	2,356 19	6,38		0	5.347. 866	2,356 19	2,356 19	6,79
S	S		0	459.4 64	1,413 72	1,413 72	47,4 5		0	785.3 54	1,413 72	1,413 72	27,7 6		0	933.0 33	1,413 72	1,413 72	23,37
	I		0	3.616	1,413 72	1,413 72	NS		0	3.587	1,413 72	1,413 72	NS		0	3.562	1,413 72	1,413 72	NS
P	S	00863	0	0	2,356 19	2,356 19	-	00864	0	0	2,356 19	2,356 19	-	00865	0	562.3 69	2,356 19	2,356 19	64,61
	I		0	4.142. 828	2,356 19	2,356 19	8,77		0	2.023. 740	2,356 19	2,356 19	17,9 5		0	2.868	2,356 19	2,356 19	NS
S	S		0	767.6 62	1,413 72	1,413 72	28,4 0		0	243.5 98	1,413 72	1,413 72	89,5 0		0	0	1,413 72	1,413 72	-
	I		0	3.542	1,413 72	1,413 72	NS		0	3.532	1,413 72	1,413 72	NS		0	464.1 35	1,413 72	1,413 72	46,98
P	S	00866	0	2.777. 122	2,356 19	2,356 19	13,0 8	00867	0	4.146. 765	2,356 19	2,356 19	8,76	00868	0	4.689. 114	2,356 19	2,356 19	7,75
	I		0	2.899	2,356 19	2,356 19	NS		0	2.966	2,356 19	2,356 19	NS		0	3.072	2,356 19	2,356 19	NS
S	S		0	0	1,413 72	1,413 72	-		0	0	1,413 72	1,413 72	-		0	0	1,413 72	1,413 72	-
	I		0	1.015. 468	1,413 72	1,413 72	21,4 7		0	1.224. 620	1,413 72	1,413 72	17,8 0		0	1.123. 956	1,413 72	1,413 72	19,40
P	S	00869	0	4.616. 345	2,356 19	2,356 19	7,87	00870	0	4.163. 868	2,356 19	2,356 19	8,73	00871	0	3.521. 822	2,356 19	2,356 19	10,32
	I		0	3.219	2,356 19	2,356 19	NS		0	3.369	2,356 19	2,356 19	NS		0	3.584	2,356 19	2,356 19	NS
S	S		0	0	1,413 72	1,413 72	-		0	0	1,413 72	1,413 72	-		0	0	1,413 72	1,413 72	-
	I		0	838.5 32	1,413 72	1,413 72	26,0 0		0	492.7 14	1,413 72	1,413 72	44,2 5		0	170.1 94	1,413 72	1,413 72	NS
P	S	00872	0	2.821. 574	2,356 19	2,356 19	12,8 8	00873	0	2.144. 440	2,356 19	2,356 19	16,9 4	00874	0	1.536. 255	2,356 19	2,356 19	23,65
	I		0	3.824	2,356 19	2,356 19	NS		0	4.080	2,356 19	2,356 19	NS		0	4.346	2,356 19	2,356 19	NS
S	S		0	90.15 4	1,413 72	1,413 72	NS		0	278.0 72	1,413 72	1,413 72	78,4 1		0	403.0 94	1,413 72	1,413 72	54,09
	I		0	3.744	1,413 72	1,413 72	NS		0	3.787	1,413 72	1,413 72	NS		0	3.829	1,413 72	1,413 72	NS
P	S	00875	0	1.020. 424	2,356 19	2,356 19	35,6 1	00876	0	607.1 94	2,356 19	2,356 19	59,8 4	00877	0	299.0 69	2,356 19	2,356 19	NS
	I		0	4.607	2,356	2,356	NS		0	4.850	2,356	2,356	NS		0	5.094	2,356	2,356	NS

Il presente documento è di proprietà della ANTEX GROUP srl.
È vietato la comunicazione a terzi o la riproduzione senza il permesso scritto della suddetta.
La società tutela i propri diritti a rigore di Legge.

Comm.: C21-002-S05




SASSARI EOLICA S.R.L.	PARCO EOLICO DI "SASSARI"										 Ingegneria & Innovazione		
	RELAZIONE DI CALCOLO PREDIMENSIONAMENTO DELLE FONDAZIONI WTG										26/05/2023	REV: 1	Pag.211

Platee - Verifiche pressoflessione retta allo SLU																			
Dir	Pos	Nodo	N _{Ed}	M _{Ed}	A _s	A _{df}	CS	Nodo	N _{Ed}	M _{Ed}	A _s	A _{df}	CS	Nodo	N _{Ed}	M _{Ed}	A _s	A _{df}	CS
			[N]	[N-m]	[cm²/cm]	[cm²/cm]			[N]	[N-m]	[cm²/cm]	[cm²/cm]			[N]	[N-m]	[cm²/cm]	[cm²/cm]	
					19	19					19	19					19	19	
S	S		0	480.155	1,41372	1,41372	45,41		0	524.698	1,41372	1,41372	41,55		0	551.163	1,41372	1,41372	39,56
	I		0	3.867	1,41372	1,41372	NS		0	3.894	1,41372	1,41372	NS		0	3.772	1,41372	1,41372	NS
P	S	00878	0	84.994	2,35619	2,35619	NS	00879	0	0	2,35619	2,35619	-	00880	0	0	2,35619	2,35619	-
	I		0	5.735	2,35619	2,35619	NS		0	54.321	2,35619	2,35619	NS		0	221.489	2,35619	2,35619	NS
S	S		0	567.150	1,41372	1,41372	38,44		0	0	1,41372	1,41372	-		0	0	1,41372	1,41372	-
	I		0	3.871	1,41372	1,41372	NS		0	698.271	1,41372	1,41372	31,22		0	665.829	1,41372	1,41372	32,75
P	S	00881	0	0	2,35619	2,35619	-	00882	0	0	2,35619	2,35619	-	00883	0	0	2,35619	2,35619	-
	I		0	487.314	2,35619	2,35619	74,56		0	854.922	2,35619	2,35619	42,50		0	1.323.634	2,35619	2,35619	27,45
S	S		0	0	1,41372	1,41372	-		0	0	1,41372	1,41372	-		0	0	1,41372	1,41372	-
	I		0	624.849	1,41372	1,41372	34,89		0	563.168	1,41372	1,41372	38,71		0	472.550	1,41372	1,41372	46,14
P	S	00884	0	0	2,35619	2,35619	-	00885	0	0	2,35619	2,35619	-	00886	0	0	2,35619	2,35619	-
	I		0	1.885.188	2,35619	2,35619	19,27		0	2.519.783	2,35619	2,35619	14,42		0	3.190.111	2,35619	2,35619	11,39
S	S		0	0	1,41372	1,41372	-		0	0	1,41372	1,41372	-		0	62.882	1,41372	1,41372	NS
	I		0	342.946	1,41372	1,41372	63,58		0	165.733	1,41372	1,41372	NS		0	3.934	1,41372	1,41372	NS
P	S	00887	0	0	2,35619	2,35619	-	00888	0	0	2,35619	2,35619	-	00889	0	0	2,35619	2,35619	-
	I		0	3.833.674	2,35619	2,35619	9,48		0	4.354.906	2,35619	2,35619	8,34		0	4.622.108	2,35619	2,35619	7,86
S	S		0	331.387	1,41372	1,41372	65,79		0	611.026	1,41372	1,41372	35,68		0	845.663	1,41372	1,41372	25,78
	I		0	3.893	1,41372	1,41372	NS		0	3.857	1,41372	1,41372	NS		0	3.826	1,41372	1,41372	NS
P	S	00890	0	0	2,35619	2,35619	-	00891	0	0	2,35619	2,35619	-	00892	0	0	2,35619	2,35619	-
	I		0	4.476.238	2,35619	2,35619	8,12		0	3.767.629	2,35619	2,35619	9,64		0	2.436.323	2,35619	2,35619	14,91
S	S		0	955.142	1,41372	1,41372	22,83		0	855.447	1,41372	1,41372	25,49		0	503.757	1,41372	1,41372	43,28
	I		0	3.799	1,41372	1,41372	NS		0	3.778	1,41372	1,41372	NS		0	3.765	1,41372	1,41372	NS
P	S	00893	0	0	2,35619	2,35619	-	00894	0	1.193.552	2,35619	2,35619	30,44	00895	0	2.625.558	2,35619	2,35619	13,84
	I		0	639.970	2,35619	2,35619	56,77		0	2.901	2,35619	2,35619	NS		0	2.956	2,35619	2,35619	NS
S	S		0	0	1,41372	1,41372	-		0	0	1,41372	1,41372	-		0	0	1,41372	1,41372	-
	I		0	40.831	1,41372	1,41372	NS		0	596.402	1,41372	1,41372	36,56		0	980.153	1,41372	1,41372	22,24
P	S	00896	0	3.478.289	2,35619	2,35619	10,45	00897	0	3.788.850	2,35619	2,35619	9,59	00898	0	3.687.833	2,35619	2,35619	9,85
	I		0	3.047	2,35619	2,35619	NS		0	3.178	2,35619	2,35619	NS		0	3.313	2,35619	2,35619	NS
S	S		0	0	1,41372	1,41372	-		0	0	1,41372	1,41372	-		0	0	1,41372	1,41372	-
	I		0	1.123.390	1,41372	1,41372	19,41		0	1.059.879	1,41372	1,41372	20,57		0	866.981	1,41372	1,41372	25,15
P	S	00899	0	3.320.851	2,35619	2,35619	10,94	00900	0	2.811.969	2,35619	2,35619	12,92	00901	0	2.253.145	2,35619	2,35619	16,13
	I		0	3.515	2,35619	2,35619	NS		0	3.743	2,35619	2,35619	NS		0	3.990	2,35619	2,35619	NS
S	S		0	0	1,41372	1,41372	-		0	0	1,41372	1,41372	-		0	0	1,41372	1,41372	-

Il presente documento è di proprietà della ANTEX GROUP srl.
È vietato la comunicazione a terzi o la riproduzione senza il permesso scritto della suddetta.
La società tutela i propri diritti a rigore di Legge.

Comm.: C21-002-S05



SASSARI EOLICA S.R.L.	PARCO EOLICO DI "SASSARI" RELAZIONE DI CALCOLO PREDIMENSIONAMENTO DELLE FONDAZIONI WTG		 Ingegneria & Innovazione		
			26/05/2023	REV: 1	Pag.212

Platee - Verifiche pressoflessione retta allo SLU																			
Dir	Pos	Nodo	N _{Ed}	M _{Ed}	A _s	A _{df}	CS	Nodo	N _{Ed}	M _{Ed}	A _s	A _{df}	CS	Nodo	N _{Ed}	M _{Ed}	A _s	A _{df}	CS
			[N]	[N-m]	[cm ² /cm]	[cm ² /cm]			[N]	[N-m]	[cm ² /cm]	[cm ² /cm]			[N]	[N-m]	[cm ² /cm]	[cm ² /cm]	
	I		0	621.3 70	1,413 72	1,413 72	35,0 9		0	378.3 58	1,413 72	1,413 72	57,6 2		0	168.5 82	1,413 72	1,413 72	NS
P	S	00902	0	1.706. 405	2,356 19	2,356 19	21,2 9	00903	0	1.210. 520	2,356 19	2,356 19	30,0 1	00904	0	787.9 05	2,356 19	2,356 19	46,11
	I		0	4.251	2,356 19	2,356 19	NS		0	4.519	2,356 19	2,356 19	NS		0	4.787	2,356 19	2,356 19	NS
S	S		0	71	1,413 72	1,413 72	NS		0	119.8 07	1,413 72	1,413 72	NS		0	205.4 84	1,413 72	1,413 72	NS
	I		0	4.044	1,413 72	1,413 72	NS		0	4.088	1,413 72	1,413 72	NS		0	4.117	1,413 72	1,413 72	NS
P	S	00905	0	450.0 88	2,356 19	2,356 19	80,7 2	00906	0	201.4 64	2,356 19	2,356 19	NS	00907	0	41.80 8	2,356 19	2,356 19	NS
	I		0	5.026	2,356 19	2,356 19	NS		0	5.138	2,356 19	2,356 19	NS		0	5.001	2,356 19	2,356 19	NS
S	S		0	263.7 68	1,413 72	1,413 72	82,6 6		0	302.4 08	1,413 72	1,413 72	72,1 0		0	335.7 89	1,413 72	1,413 72	64,93
	I		0	4.163	1,413 72	1,413 72	NS		0	4.450	1,413 72	1,413 72	NS		0	3.290	1,413 72	1,413 72	NS
P	S	00908	0	0	2,356 19	2,356 19	-	00909	0	0	2,356 19	2,356 19	-	00910	0	0	2,356 19	2,356 19	-
	I		0	126.6 05	2,356 19	2,356 19	NS		0	360.4 19	2,356 19	2,356 19	NS		0	663.1 50	2,356 19	2,356 19	54,79
S	S		0	0	1,413 72	1,413 72	-		0	0	1,413 72	1,413 72	-		0	0	1,413 72	1,413 72	-
	I		0	432.3 30	1,413 72	1,413 72	50,4 3		0	381.7 29	1,413 72	1,413 72	57,1 2		0	310.0 07	1,413 72	1,413 72	70,33
P	S	00911	0	0	2,356 19	2,356 19	-	00912	0	0	2,356 19	2,356 19	-	00913	0	0	2,356 19	2,356 19	-
	I		0	1.048. 902	2,356 19	2,356 19	34,6 4		0	1.509. 879	2,356 19	2,356 19	24,0 6		0	2.028. 502	2,356 19	2,356 19	17,91
S	S		0	0	1,413 72	1,413 72	-		0	0	1,413 72	1,413 72	-		0	71.27 8	1,413 72	1,413 72	NS
	I		0	214.8 74	1,413 72	1,413 72	NS		0	89.46 4	1,413 72	1,413 72	NS		0	4.241	1,413 72	1,413 72	NS
P	S	00914	0	0	2,356 19	2,356 19	-	00915	0	0	2,356 19	2,356 19	-	00916	0	0	2,356 19	2,356 19	-
	I		0	2.574. 002	2,356 19	2,356 19	14,1 2		0	3.098. 358	2,356 19	2,356 19	11,7 3		0	3.532. 744	2,356 19	2,356 19	10,28
S	S		0	263.9 86	1,413 72	1,413 72	82,5 9		0	479.6 65	1,413 72	1,413 72	45,4 5		0	695.2 00	1,413 72	1,413 72	31,36
	I		0	4.193	1,413 72	1,413 72	NS		0	4.150	1,413 72	1,413 72	NS		0	4.113	1,413 72	1,413 72	NS
P	S	00917	0	0	2,356 19	2,356 19	-	00918	0	0	2,356 19	2,356 19	-	00919	0	0	2,356 19	2,356 19	-
	I		0	3.786. 814	2,356 19	2,356 19	9,59		0	3.756. 026	2,356 19	2,356 19	9,67		0	3.341. 542	2,356 19	2,356 19	10,87
S	S		0	871.7 19	1,413 72	1,413 72	25,0 1		0	956.7 08	1,413 72	1,413 72	22,7 9		0	895.1 20	1,413 72	1,413 72	24,36
	I		0	4.081	1,413 72	1,413 72	NS		0	4.054	1,413 72	1,413 72	NS		0	4.032	1,413 72	1,413 72	NS
P	S	00920	0	0	2,356 19	2,356 19	-	00921	0	0	2,356 19	2,356 19	-	00922	0	144.9 78	2,356 19	2,356 19	NS
	I		0	2.491. 414	2,356 19	2,356 19	14,5 8		0	1.260. 442	2,356 19	2,356 19	28,8 3		0	2.913	2,356 19	2,356 19	NS
S	S		0	652.5 52	1,413 72	1,413 72	33,4 1		0	246.6 94	1,413 72	1,413 72	88,3 8		0	0	1,413 72	1,413 72	-
	I		0	4.017	1,413 72	1,413 72	NS		0	4.010	1,413 72	1,413 72	NS		0	234.1 66	1,413 72	1,413 72	93,11
P	S	00923	0	1.429. 516	2,356 19	2,356 19	25,4 2	00924	0	2.376. 620	2,356 19	2,356 19	15,2 9	00925	0	2.915. 972	2,356 19	2,356 19	12,46
	I		0	2.954	2,356 19	2,356 19	NS		0	3.030	2,356 19	2,356 19	NS		0	3.143	2,356 19	2,356 19	NS
S	S		0	0	1,413 72	1,413 72	-		0	0	1,413 72	1,413 72	-		0	0	1,413 72	1,413 72	-
	I		0	659.4 02	1,413 72	1,413 72	33,0 6		0	936.2 87	1,413 72	1,413 72	23,2 9		0	1.040. 476	1,413 72	1,413 72	20,95
P	S	00926	0	3.083.	2,356	2,356	11,7	00927	0	2.965.	2,356	2,356	12,2	00928	0	2.656.	2,356	2,356	13,68


Il presente documento è di proprietà della ANTEX GROUP srl.
 È vietato la comunicazione a terzi o la riproduzione senza il permesso scritto della suddetta.
 La società tutela i propri diritti a rigore di Legge.

Comm.: C21-002-S05



Platee - Verifiche pressoflessione retta allo SLU																			
Dir	Pos	Nodo	N _{Ed}	M _{Ed}	A _s	A _{df}	CS	Nodo	N _{Ed}	M _{Ed}	A _s	A _{df}	CS	Nodo	N _{Ed}	M _{Ed}	A _s	A _{df}	CS
			[N]	[N-m]	[cm²/cm]	[cm²/cm]			[N]	[N-m]	[cm²/cm]	[cm²/cm]			[N]	[N-m]	[cm²/cm]	[cm²/cm]	
	I		0	696	19	19	8		0	423	19	19	5		0	608	19	19	
			0	3.264	2,356	2,356	NS		0	3.453	2,356	2,356	NS		0	3.670	2,356	2,356	NS
S	S		0	0	1,413	1,413	-		0	0	1,413	1,413	-		0	0	1,413	1,413	-
	I		0	999.9	1,413	1,413	21,8		0	865.0	1,413	1,413	25,2		0	685.4	1,413	1,413	31,81
			0	47	72	72	0		0	00	72	72	1		0	78	72	72	
P	S	00929	0	2.241.904	2,356	2,356	16,2	00930	0	1.787.602	2,356	2,356	20,3	00931	0	1.341.471	2,356	2,356	27,08
	I		0	3.908	2,356	2,356	NS		0	4.159	2,356	2,356	NS		0	4.421	2,356	2,356	NS
			0	0	1,413	1,413	-		0	0	1,413	1,413	-		0	0	1,413	1,413	-
S	S		0	0	72	72	-		0	0	72	72	-		0	0	72	72	-
	I		0	499.3	1,413	1,413	43,6		0	330.0	1,413	1,413	66,0		0	188.6	1,413	1,413	NS
			0	56	72	72	6		0	64	72	72	6		0	55	72	72	
P	S	00932	0	935.6	2,356	2,356	38,8	00933	0	589.9	2,356	2,356	61,5	00934	0	315.3	2,356	2,356	NS
	I		0	11	19	19	3		0	57	19	19	8		0	17	19	19	NS
			0	4.689	2,356	2,356	NS		0	4.971	2,356	2,356	NS		0	5.425	2,356	2,356	NS
S	S		0	0	1,413	1,413	-		0	7.321	1,413	1,413	NS		0	69.72	1,413	1,413	NS
	I		0	77.52	1,413	1,413	NS		0	4.408	1,413	1,413	NS		0	9	1,413	1,413	NS
			0	4	72	72	NS		0	0	72	72	NS		0	4.270	1,413	1,413	NS
P	S	00935	0	103.1	2,356	2,356	NS	00936	0	0	2,356	2,356	-	00937	0	0	2,356	2,356	-
	I		0	81	19	19	NS		0	60.17	2,356	2,356	NS		0	249.9	2,356	2,356	NS
			0	6.257	19	19	NS		0	3	19	19	NS		0	82	19	19	NS
S	S		0	113.8	1,413	1,413	NS		0	0	1,413	1,413	-		0	0	1,413	1,413	-
	I		0	46	72	72	NS		0	272.4	1,413	1,413	80,0		0	203.9	1,413	1,413	NS
			0	4.253	72	72	NS		0	16	72	72	3		0	56	72	72	NS
P	S	00938	0	0	2,356	2,356	-	00939	0	0	2,356	2,356	-	00940	0	0	2,356	2,356	-
	I		0	499.2	2,356	2,356	72,7		0	818.4	2,356	2,356	44,3		0	1.199.778	2,356	2,356	30,28
			0	20	19	19	8		0	74	19	19	9		0	74.28	1,413	1,413	NS
S	S		0	0	1,413	1,413	-		0	0	1,413	1,413	-		0	8	1,413	1,413	NS
	I		0	132.6	1,413	1,413	NS		0	41.52	1,413	1,413	NS		0	4.549	1,413	1,413	NS
			0	52	72	72	NS		0	8	72	72	NS		0	72	72	72	NS
P	S	00941	0	0	2,356	2,356	-	00942	0	0	2,356	2,356	-	00943	0	0	2,356	2,356	-
	I		0	1.628.557	2,356	2,356	22,3		0	2.079.838	2,356	2,356	17,4		0	2.516.234	2,356	2,356	14,44
			0	214.2	1,413	1,413	NS		0	376.6	1,413	1,413	57,8		0	552.3	1,413	1,413	39,48
S	S		0	06	72	72	NS		0	32	72	72	9		0	03	72	72	NS
	I		0	4.501	1,413	1,413	NS		0	4.454	1,413	1,413	NS		0	4.412	1,413	1,413	NS
			0	72	72	72	NS		0	72	72	72	NS		0	72	72	72	NS
P	S	00944	0	0	2,356	2,356	-	00945	0	0	2,356	2,356	-	00946	0	0	2,356	2,356	-
	I		0	2.886.762	2,356	2,356	12,5		0	3.127.149	2,356	2,356	11,6		0	3.164.801	2,356	2,356	11,48
			0	762	19	19	9		0	0	19	19	2		0	932.0	1,413	1,413	23,39
S	S		0	723.3	1,413	1,413	30,1		0	861.8	1,413	1,413	25,3		0	07	1,413	1,413	NS
	I		0	16	72	72	4		0	81	72	72	0		0	4.318	1,413	1,413	NS
			0	4.375	1,413	1,413	NS		0	4.344	1,413	1,413	NS		0	72	72	72	NS
P	S	00947	0	0	2,356	2,356	-	00948	0	0	2,356	2,356	-	00949	0	0	2,356	2,356	-
	I		0	2.931.555	2,356	2,356	12,3		0	2.385.008	2,356	2,356	15,2		0	1.540.375	2,356	2,356	23,59
			0	555	19	19	9		0	0	19	19	3		0	427.2	1,413	1,413	51,03
S	S		0	896.0	1,413	1,413	24,3		0	727.2	1,413	1,413	29,9		0	45	1,413	1,413	NS
	I		0	46	72	72	3		0	82	72	72	8		0	4.271	1,413	1,413	NS
			0	4.295	1,413	1,413	NS		0	4.279	1,413	1,413	NS		0	72	72	72	NS
P	S	00950	0	0	2,356	2,356	-	00951	0	565.3	2,356	2,356	64,2	00952	0	1.469.999	2,356	2,356	24,72
	I		0	498.4	2,356	2,356	72,9		0	2.962	2,356	2,356	7		0	3.022	2,356	2,356	NS
			0	20	19	19	0		0	19	19	19	NS		0	19	19	19	NS

Platee - Verifiche pressoflessione retta allo SLU																			
Dir	Pos	Nodo	N _{Ed}	M _{Ed}	A _s	A _{df}	CS	Nodo	N _{Ed}	M _{Ed}	A _s	A _{df}	CS	Nodo	N _{Ed}	M _{Ed}	A _s	A _{df}	CS
			[N]	[N-m]	[cm ² /cm]	[cm ² /cm]			[N]	[N-m]	[cm ² /cm]	[cm ² /cm]			[N]	[N-m]	[cm ² /cm]	[cm ² /cm]	
S	S		0	39.47 2	1,413 72	1,413 72	NS		0	0	1,413 72	1,413 72	-		0	0	1,413 72	1,413 72	-
	I		0	4.269	1,413 72	1,413 72	NS		0	357.7 95	1,413 72	1,413 72	60,9 4		0	681.4 95	1,413 72	1,413 72	31,99
P	S	00953	0	2.106. 288	2,356 19	2,356 19	17,2 5	00954	0	2.447. 366	2,356 19	2,356 19	14,8 5	00955	0	2.524. 211	2,356 19	2,356 19	14,39
	I		0	3.117	2,356 19	2,356 19	NS		0	3.251	2,356 19	2,356 19	NS		0	3.395	2,356 19	2,356 19	NS
S	S		0	0	1,413 72	1,413 72	-		0	0	1,413 72	1,413 72	-		0	0	1,413 72	1,413 72	-
	I		0	885.0 59	1,413 72	1,413 72	24,6 3		0	961.8 45	1,413 72	1,413 72	22,6 7		0	933.8 61	1,413 72	1,413 72	23,35
P	S	00956	0	2.395. 950	2,356 19	2,356 19	15,1 6	00957	0	2.128. 518	2,356 19	2,356 19	17,0 7	00958	0	1.782. 224	2,356 19	2,356 19	20,39
	I		0	3.603	2,356 19	2,356 19	NS		0	3.833	2,356 19	2,356 19	NS		0	4.075	2,356 19	2,356 19	NS
S	S		0	0	1,413 72	1,413 72	-		0	0	1,413 72	1,413 72	-		0	0	1,413 72	1,413 72	-
	I		0	835.2 76	1,413 72	1,413 72	26,1 0		0	700.0 20	1,413 72	1,413 72	31,1 5		0	555.0 53	1,413 72	1,413 72	39,28
P	S	00959	0	1.406. 386	2,356 19	2,356 19	25,8 3	00960	0	1.038. 489	2,356 19	2,356 19	34,9 9	00961	0	704.9 29	2,356 19	2,356 19	51,54
	I		0	4.325	2,356 19	2,356 19	NS		0	4.589	2,356 19	2,356 19	NS		0	4.859	2,356 19	2,356 19	NS
S	S		0	0	1,413 72	1,413 72	-		0	0	1,413 72	1,413 72	-		0	0	1,413 72	1,413 72	-
	I		0	418.3 56	1,413 72	1,413 72	52,1 2		0	299.8 08	1,413 72	1,413 72	72,7 2		0	203.0 19	1,413 72	1,413 72	NS
P	S	00962	0	422.7 38	2,356 19	2,356 19	85,9 5	00963	0	202.3 38	2,356 19	2,356 19	NS	00964	0	39.62 0	2,356 19	2,356 19	NS
	I		0	5.127	2,356 19	2,356 19	NS		0	5.646	2,356 19	2,356 19	NS		0	5.983	2,356 19	2,356 19	NS
S	S		0	0	1,413 72	1,413 72	-		0	0	1,413 72	1,413 72	-		0	0	1,413 72	1,413 72	-
	I		0	127.2 82	1,413 72	1,413 72	NS		0	69.71 0	1,413 72	1,413 72	NS		0	11.23 3	1,413 72	1,413 72	NS
P	S	00965	0	0	2,356 19	2,356 19	-	00966	0	0	2,356 19	2,356 19	-	00967	0	0	2,356 19	2,356 19	-
	I		0	147.7 94	2,356 19	2,356 19	NS		0	358.7 35	2,356 19	2,356 19	NS		0	624.4 72	2,356 19	2,356 19	58,18
S	S		0	0	1,413 72	1,413 72	-		0	0	1,413 72	1,413 72	-		0	64.16 6	1,413 72	1,413 72	NS
	I		0	89.36 9	1,413 72	1,413 72	NS		0	18.39 4	1,413 72	1,413 72	NS		0	4.817	1,413 72	1,413 72	NS
P	S	00968	0	0	2,356 19	2,356 19	-	00969	0	0	2,356 19	2,356 19	-	00970	0	0	2,356 19	2,356 19	-
	I		0	942.7 66	2,356 19	2,356 19	38,5 4		0	1.301. 680	2,356 19	2,356 19	27,9 1		0	1.681. 291	2,356 19	2,356 19	21,61
S	S		0	164.4 41	1,413 72	1,413 72	NS		0	283.7 73	1,413 72	1,413 72	76,8 3		0	419.2 93	1,413 72	1,413 72	52,00
	I		0	4.778	1,413 72	1,413 72	NS		0	4.738	1,413 72	1,413 72	NS		0	4.702	1,413 72	1,413 72	NS
P	S	00971	0	0	2,356 19	2,356 19	-	00972	0	0	2,356 19	2,356 19	-	00973	0	0	2,356 19	2,356 19	-
	I		0	2.052. 092	2,356 19	2,356 19	17,7 1		0	2.374. 991	2,356 19	2,356 19	15,3 0		0	2.602. 609	2,356 19	2,356 19	13,96
S	S		0	563.2 15	1,413 72	1,413 72	38,7 1		0	701.7 01	1,413 72	1,413 72	31,0 7		0	814.5 33	1,413 72	1,413 72	26,77
	I		0	4.667	1,413 72	1,413 72	NS		0	4.635	1,413 72	1,413 72	NS		0	4.605	1,413 72	1,413 72	NS
P	S	00974	0	0	2,356 19	2,356 19	-	00975	0	0	2,356 19	2,356 19	-	00976	0	0	2,356 19	2,356 19	-
	I		0	2.682. 049	2,356 19	2,356 19	13,5 5		0	2.564. 087	2,356 19	2,356 19	14,1 7		0	2.214. 707	2,356 19	2,356 19	16,41
S	S		0	876.0 92	1,413 72	1,413 72	24,8 9		0	859.7 05	1,413 72	1,413 72	25,3 6		0	744.6 90	1,413 72	1,413 72	29,28
	I		0	4.580	1,413 72	1,413 72	NS		0	4.556	1,413 72	1,413 72	NS		0	4.537	1,413 72	1,413 72	NS


SASSARI EOLICA S.R.L.	PARCO EOLICO DI "SASSARI"		 Ingegneria & Innovazione		
			RELAZIONE DI CALCOLO PREDIMENSIONAMENTO DELLE FONDAZIONI WTG		
			26/05/2023	REV: 1	Pag.215

Platee - Verifiche pressoflessione retta allo SLU																			
Dir	Pos	Nodo	N _{Ed}	M _{Ed}	A _s	A _{df}	CS	Nodo	N _{Ed}	M _{Ed}	A _s	A _{df}	CS	Nodo	N _{Ed}	M _{Ed}	A _s	A _{df}	CS
			[N]	[N-m]	[cm ² /cm]	[cm ² /cm]			[N]	[N-m]	[cm ² /cm]	[cm ² /cm]			[N]	[N-m]	[cm ² /cm]	[cm ² /cm]	
P	S	00977	0	0	2,356 19	2,356 19	-	00978	0	0	2,356 19	2,356 19	-	00979	0	0	2,356 19	2,356 19	-
	I		0	1.632. 820	2,356 19	2,356 19	22,2 5		0	868.1 60	2,356 19	2,356 19	41,8 5		0	23.36 8	2,356 19	2,356 19	NS
S	S		0	526.2 79	1,413 72	1,413 72	41,4 3		0	225.0 32	1,413 72	1,413 72	96,8 9		0	0	1,413 72	1,413 72	-
	I		0	4.530	1,413 72	1,413 72	NS		0	4.529	1,413 72	1,413 72	NS		0	113.6 14	1,413 72	1,413 72	NS
P	S	00980	0	774.6 34	2,356 19	2,356 19	46,9 0	00981	0	1.417. 502	2,356 19	2,356 19	25,6 3	00982	0	1.848. 447	2,356 19	2,356 19	19,66
	I		0	3.024	2,356 19	2,356 19	NS		0	3.100	2,356 19	2,356 19	NS		0	3.208	2,356 19	2,356 19	NS
S	S		0	0	1,413 72	1,413 72	-		0	0	1,413 72	1,413 72	-		0	0	1,413 72	1,413 72	-
	I		0	428.6 63	1,413 72	1,413 72	50,8 6		0	672.6 13	1,413 72	1,413 72	32,4 2		0	821.3 77	1,413 72	1,413 72	26,54
P	S	00983	0	2.059. 646	2,356 19	2,356 19	17,6 4	00984	0	2.076. 720	2,356 19	2,356 19	17,5 0	00985	0	1.942. 525	2,356 19	2,356 19	18,70
	I		0	3.333	2,356 19	2,356 19	NS		0	3.538	2,356 19	2,356 19	NS		0	3.762	2,356 19	2,356 19	NS
S	S		0	0	1,413 72	1,413 72	-		0	0	1,413 72	1,413 72	-		0	0	1,413 72	1,413 72	-
	I		0	875.7 59	1,413 72	1,413 72	24,9 0		0	852.9 38	1,413 72	1,413 72	25,5 6		0	777.0 43	1,413 72	1,413 72	28,06
P	S	00986	0	1.705. 163	2,356 19	2,356 19	21,3 1	00987	0	1.409. 327	2,356 19	2,356 19	25,7 8	00988	0	1.093. 218	2,356 19	2,356 19	33,23
	I		0	3.999	2,356 19	2,356 19	NS		0	4.237	2,356 19	2,356 19	NS		0	4.488	2,356 19	2,356 19	NS
S	S		0	0	1,413 72	1,413 72	-		0	0	1,413 72	1,413 72	-		0	0	1,413 72	1,413 72	-
	I		0	672.1 16	1,413 72	1,413 72	32,4 4		0	557.7 09	1,413 72	1,413 72	39,0 9		0	447.7 03	1,413 72	1,413 72	48,70
P	S	00989	0	786.8 79	2,356 19	2,356 19	46,1 7	00990	0	511.9 41	2,356 19	2,356 19	70,9 7	00991	0	282.8 52	2,356 19	2,356 19	NS
	I		0	4.747	2,356 19	2,356 19	NS		0	5.007	2,356 19	2,356 19	NS		0	5.444	2,356 19	2,356 19	NS
S	S		0	0	1,413 72	1,413 72	-		0	0	1,413 72	1,413 72	-		0	0	1,413 72	1,413 72	-
	I		0	350.3 83	1,413 72	1,413 72	62,2 3		0	269.3 39	1,413 72	1,413 72	80,9 5		0	204.8 27	1,413 72	1,413 72	NS
P	S	00992	0	104.4 18	2,356 19	2,356 19	NS	00993	0	0	2,356 19	2,356 19	-	00994	0	0	2,356 19	2,356 19	-
	I		0	6.272	2,356 19	2,356 19	NS		0	58.43 6	2,356 19	2,356 19	NS		0	237.4 29	2,356 19	2,356 19	NS
S	S		0	0	1,413 72	1,413 72	-		0	0	1,413 72	1,413 72	-		0	41.66 8	1,413 72	1,413 72	NS
	I		0	151.0 96	1,413 72	1,413 72	NS		0	24.57 1	1,413 72	1,413 72	NS		0	5.251	1,413 72	1,413 72	NS
P	S	00995	0	0	2,356 19	2,356 19	-	00996	0	0	2,356 19	2,356 19	-	00997	0	0	2,356 19	2,356 19	-
	I		0	460.0 54	2,356 19	2,356 19	78,9 7		0	728.2 48	2,356 19	2,356 19	49,8 9		0	1.032. 372	2,356 19	2,356 19	35,19
S	S		0	112.7 82	1,413 72	1,413 72	NS		0	196.3 96	1,413 72	1,413 72	NS		0	294.4 82	1,413 72	1,413 72	74,04
	I		0	4.970	1,413 72	1,413 72	NS		0	4.926	1,413 72	1,413 72	NS		0	4.921	1,413 72	1,413 72	NS
P	S	00998	0	0	2,356 19	2,356 19	-	00999	0	0	2,356 19	2,356 19	-	01000	0	0	2,356 19	2,356 19	-
	I		0	1.356. 861	2,356 19	2,356 19	26,7 8		0	1.678. 638	2,356 19	2,356 19	21,6 4		0	1.965. 931	2,356 19	2,356 19	18,48
S	S		0	404.8 64	1,413 72	1,413 72	53,8 5		0	521.6 45	1,413 72	1,413 72	41,8 0		0	634.1 38	1,413 72	1,413 72	34,38
	I		0	4.923	1,413 72	1,413 72	NS		0	4.902	1,413 72	1,413 72	NS		0	4.883	1,413 72	1,413 72	NS
P	S	01001	0	0	2,356 19	2,356 19	-	01002	0	0	2,356 19	2,356 19	-	01003	0	0	2,356 19	2,356 19	-

Il presente documento è di proprietà della ANTEX GROUP srl.
È Vietato la comunicazione a terzi o la riproduzione senza il permesso scritto della suddetta.
La società tutela i propri diritti a rigore di Legge.

Comm.: C21-002-S05



SASSARI EOLICA S.R.L.	PARCO EOLICO DI "SASSARI"		 Ingegneria & Innovazione		
	RELAZIONE DI CALCOLO PREDIMENSIONAMENTO DELLE FONDAZIONI WTG		26/05/2023	REV: 1	Pag.216


Platee - Verifiche pressoflessione retta allo SLU																			
Dir	Pos	Nodo	N _{Ed}	M _{Ed}	A _s	A _{df}	CS	Nodo	N _{Ed}	M _{Ed}	A _s	A _{df}	CS	Nodo	N _{Ed}	M _{Ed}	A _s	A _{df}	CS
			[N]	[N-m]	[cm ² /cm]	[cm ² /cm]			[N]	[N-m]	[cm ² /cm]	[cm ² /cm]			[N]	[N-m]	[cm ² /cm]	[cm ² /cm]	
	I		0	2.183.048	2,356 19	2,356 19	16,6 4		0	2.289.592	2,356 19	2,356 19	15,8 7		0	2.247.305	2,356 19	2,356 19	16,17
S	S		0	727.909	1,413 72	1,413 72	29,9 5		0	784.338	1,413 72	1,413 72	27,8 0		0	783.779	1,413 72	1,413 72	27,82
	I		0	4.859	1,413 72	1,413 72	NS		0	4.834	1,413 72	1,413 72	NS		0	4.812	1,413 72	1,413 72	NS
P	S	01004	0	0	2,356 19	2,356 19	-	01005	0	0	2,356 19	2,356 19	-	01006	0	0	2,356 19	2,356 19	-
	I		0	2.029.705	2,356 19	2,356 19	17,9 0		0	1.628.755	2,356 19	2,356 19	22,3 1		0	1.067.665	2,356 19	2,356 19	34,03
S	S		0	710.447	1,413 72	1,413 72	30,6 9		0	557.340	1,413 72	1,413 72	39,1 2		0	332.660	1,413 72	1,413 72	65,54
	I		0	4.777	1,413 72	1,413 72	NS		0	4.767	1,413 72	1,413 72	NS		0	4.781	1,413 72	1,413 72	NS
P	S	01007	0	0	2,356 19	2,356 19	-	01008	0	266.206	2,356 19	2,356 19	NS	01009	0	865.910	2,356 19	2,356 19	41,96
	I		0	407.545	2,356 19	2,356 19	89,1 5		0	3.036	2,356 19	2,356 19	NS		0	3.095	2,356 19	2,356 19	NS
S	S		0	63.172	1,413 72	1,413 72	NS		0	0	1,413 72	1,413 72	-		0	0	1,413 72	1,413 72	-
	I		0	4.785	1,413 72	1,413 72	NS		0	213.140	1,413 72	1,413 72	NS		0	454.432	1,413 72	1,413 72	47,98
P	S	01010	0	1.326.198	2,356 19	2,356 19	27,4 0	01011	0	1.617.525	2,356 19	2,356 19	22,4 6	01012	0	1.740.635	2,356 19	2,356 19	20,87
	I		0	3.178	2,356 19	2,356 19	NS		0	3.256	2,356 19	2,356 19	NS		0	3.466	2,356 19	2,356 19	NS
S	S		0	0	1,413 72	1,413 72	-		0	0	1,413 72	1,413 72	-		0	0	1,413 72	1,413 72	-
	I		0	632.877	1,413 72	1,413 72	34,4 5		0	737.336	1,413 72	1,413 72	29,5 7		0	771.706	1,413 72	1,413 72	28,25
P	S	01013	0	1.716.251	2,356 19	2,356 19	21,1 7	01014	0	1.577.866	2,356 19	2,356 19	23,0 3	01015	0	1.362.378	2,356 19	2,356 19	26,67
	I		0	3.692	2,356 19	2,356 19	NS		0	3.927	2,356 19	2,356 19	NS		0	4.162	2,356 19	2,356 19	NS
S	S		0	0	1,413 72	1,413 72	-		0	0	1,413 72	1,413 72	-		0	0	1,413 72	1,413 72	-
	I		0	749.291	1,413 72	1,413 72	29,1 0		0	687.930	1,413 72	1,413 72	31,6 9		0	605.019	1,413 72	1,413 72	36,04
P	S	01016	0	1.104.026	2,356 19	2,356 19	32,9 1	01017	0	834.270	2,356 19	2,356 19	43,5 5	01018	0	577.292	2,356 19	2,356 19	62,94
	I		0	4.380	2,356 19	2,356 19	NS		0	4.650	2,356 19	2,356 19	NS		0	4.888	2,356 19	2,356 19	NS
S	S		0	0	1,413 72	1,413 72	-		0	0	1,413 72	1,413 72	-		0	0	1,413 72	1,413 72	-
	I		0	514.621	1,413 72	1,413 72	42,3 7		0	427.504	1,413 72	1,413 72	51,0 0		0	350.112	1,413 72	1,413 72	62,27
P	S	01019	0	350.967	2,356 19	2,356 19	NS	01020	0	168.047	2,356 19	2,356 19	NS	01021	0	32.922	2,356 19	2,356 19	NS
	I		0	5.063	2,356 19	2,356 19	NS		0	5.151	2,356 19	2,356 19	NS		0	4.981	2,356 19	2,356 19	NS
S	S		0	0	1,413 72	1,413 72	-		0	0	1,413 72	1,413 72	-		0	0	1,413 72	1,413 72	-
	I		0	285.516	1,413 72	1,413 72	76,3 6		0	233.467	1,413 72	1,413 72	93,3 9		0	186.553	1,413 72	1,413 72	NS
P	S	01022	0	0	2,356 19	2,356 19	-	01023	0	0	2,356 19	2,356 19	-	01024	0	0	2,356 19	2,356 19	-
	I		0	133.513	2,356 19	2,356 19	NS		0	320.332	2,356 19	2,356 19	NS		0	547.061	2,356 19	2,356 19	66,41
S	S		0	55.971	1,413 72	1,413 72	NS		0	115.504	1,413 72	1,413 72	NS		0	181.884	1,413 72	1,413 72	NS
	I		0	5.049	1,413 72	1,413 72	NS		0	4.934	1,413 72	1,413 72	NS		0	5.044	1,413 72	1,413 72	NS
P	S	01025	0	0	2,356 19	2,356 19	-	01026	0	0	2,356 19	2,356 19	-	01027	0	0	2,356 19	2,356 19	-
	I		0	808.317	2,356 19	2,356 19	44,9 5		0	1.089.271	2,356 19	2,356 19	33,3 5		0	1.373.555	2,356 19	2,356 19	26,45
S	S		0	258.6	1,413	1,413	84,2		0	343.9	1,413	1,413	63,4		0	434.8	1,413	1,413	50,14

Il presente documento è di proprietà della ANTEX GROUP srl.
È vietato la comunicazione a terzi o la riproduzione senza il permesso scritto della suddetta.
La società tutela i propri diritti a rigore di Legge.

Comm.: C21-002-S05



Platee - Verifiche pressoflessione retta allo SLU																			
Dir	Pos	Nodo	N _{Ed}	M _{Ed}	A _s	A _{df}	CS	Nodo	N _{Ed}	M _{Ed}	A _s	A _{df}	CS	Nodo	N _{Ed}	M _{Ed}	A _s	A _{df}	CS
			[N]	[N-m]	[cm ² /cm]	[cm ² /cm]			[N]	[N-m]	[cm ² /cm]	[cm ² /cm]			[N]	[N-m]	[cm ² /cm]	[cm ² /cm]	
	I		0	84 5.034	72 1,413 72	72 1,413 72	8 NS		0	10 5.069	72 1,413 72	72 1,413 72	0 NS		0	44 5.098	72 1,413 72	72 1,413 72	NS
P	S	01028	0	0	2,356 19	2,356 19	-	01029	0	0	2,356 19	2,356 19	-	01030	0	0	2,356 19	2,356 19	-
	I		0	1.635. 542	2,356 19	2,356 19	22,2 1		0	1.844. 268	2,356 19	2,356 19	19,7 0		0	1.970. 609	2,356 19	2,356 19	18,44
S	S		0	524.0 56	1,413 72	1,413 72	41,6 0		0	600.5 44	1,413 72	1,413 72	36,3 1		0	652.4 94	1,413 72	1,413 72	33,41
	I		0	5.114	1,413 72	1,413 72	NS		0	5.125	1,413 72	1,413 72	NS		0	5.084	1,413 72	1,413 72	NS
P	S	01031	0	0	2,356 19	2,356 19	-	01032	0	0	2,356 19	2,356 19	-	01033	0	0	2,356 19	2,356 19	-
	I		0	1.980. 462	2,356 19	2,356 19	18,3 5		0	1.853. 674	2,356 19	2,356 19	19,6 0		0	1.580. 580	2,356 19	2,356 19	22,99
S	S		0	663.9 56	1,413 72	1,413 72	32,8 4		0	623.7 13	1,413 72	1,413 72	34,9 6		0	524.8 48	1,413 72	1,413 72	41,54
	I		0	5.042	1,413 72	1,413 72	NS		0	4.995	1,413 72	1,413 72	NS		0	4.959	1,413 72	1,413 72	NS
P	S	01034	0	0	2,356 19	2,356 19	-	01035	0	0	2,356 19	2,356 19	-	01036	0	0	2,356 19	2,356 19	-
	I		0	1.167. 828	2,356 19	2,356 19	31,1 1		0	653.3 72	2,356 19	2,356 19	55,6 1		0	95.94 5	2,356 19	2,356 19	NS
S	S		0	367.8 50	1,413 72	1,413 72	59,2 7		0	167.9 09	1,413 72	1,413 72	NS		0	0	1,413 72	1,413 72	-
	I		0	4.980	1,413 72	1,413 72	NS		0	5.010	1,413 72	1,413 72	NS		0	51.76 3	1,413 72	1,413 72	NS
P	S	01037	0	440.6 51	2,356 19	2,356 19	82,4 5	01038	0	894.6 18	2,356 19	2,356 19	40,6 1	01039	0	1.224. 632	2,356 19	2,356 19	29,67
	I		0	3.084	2,356 19	2,356 19	NS		0	3.165	2,356 19	2,356 19	NS		0	3.228	2,356 19	2,356 19	NS
S	S		0	0	1,413 72	1,413 72	-		0	0	1,413 72	1,413 72	-		0	0	1,413 72	1,413 72	-
	I		0	260.8 87	1,413 72	1,413 72	83,5 7		0	434.8 09	1,413 72	1,413 72	50,1 4		0	556.6 41	1,413 72	1,413 72	39,17
P	S	01040	0	1.417. 928	2,356 19	2,356 19	25,6 2	01041	0	1.478. 544	2,356 19	2,356 19	24,5 7	01042	0	1.422. 961	2,356 19	2,356 19	25,53
	I		0	3.359	2,356 19	2,356 19	NS		0	3.615	2,356 19	2,356 19	NS		0	3.840	2,356 19	2,356 19	NS
S	S		0	0	1,413 72	1,413 72	-		0	0	1,413 72	1,413 72	-		0	0	1,413 72	1,413 72	-
	I		0	623.3 64	1,413 72	1,413 72	34,9 8		0	639.9 00	1,413 72	1,413 72	34,0 7		0	615.8 85	1,413 72	1,413 72	35,40
P	S	01043	0	1.281. 267	2,356 19	2,356 19	28,3 6	01044	0	1.080. 442	2,356 19	2,356 19	33,6 3	01045	0	850.8 23	2,356 19	2,356 19	42,70
	I		0	4.092	2,356 19	2,356 19	NS		0	4.291	2,356 19	2,356 19	NS		0	4.533	2,356 19	2,356 19	NS
S	S		0	0	1,413 72	1,413 72	-		0	0	1,413 72	1,413 72	-		0	0	1,413 72	1,413 72	-
	I		0	565.7 00	1,413 72	1,413 72	38,5 4		0	500.4 79	1,413 72	1,413 72	43,5 6		0	431.0 55	1,413 72	1,413 72	50,58
P	S	01046	0	618.4 40	2,356 19	2,356 19	58,7 5	01047	0	401.5 27	2,356 19	2,356 19	90,4 9	01048	0	217.8 24	2,356 19	2,356 19	NS
	I		0	4.805	2,356 19	2,356 19	NS		0	4.949	2,356 19	2,356 19	NS		0	5.116	2,356 19	2,356 19	NS
S	S		0	0	1,413 72	1,413 72	-		0	0	1,413 72	1,413 72	-		0	0	1,413 72	1,413 72	-
	I		0	365.1 97	1,413 72	1,413 72	59,7 0		0	306.4 16	1,413 72	1,413 72	71,1 5		0	257.8 10	1,413 72	1,413 72	84,57
P	S	01049	0	75.85 8	2,356 19	2,356 19	NS	01050	0	0	2,356 19	2,356 19	-	01051	0	0	2,356 19	2,356 19	-
	I		0	5.711	2,356 19	2,356 19	NS		0	52.70 9	2,356 19	2,356 19	NS		0	203.0 31	2,356 19	2,356 19	NS
S	S		0	0	1,413 72	1,413 72	-		0	38.51 3	1,413 72	1,413 72	NS		0	86.47 8	1,413 72	1,413 72	NS
	I		0	218.9 14	1,413 72	1,413 72	99,6 0		0	4.570	1,413 72	1,413 72	NS		0	5.537	1,413 72	1,413 72	NS

SASSARI EOLICA S.R.L.	PARCO EOLICO DI "SASSARI"		 Ingegneria & Innovazione		
			RELAZIONE DI CALCOLO PREDIMENSIONAMENTO DELLE FONDAZIONI WTG		
			26/05/2023	REV: 1	Pag.218


Platee - Verifiche pressoflessione retta allo SLU																			
Dir	Pos	Nodo	N _{Ed}	M _{Ed}	A _s	A _{df}	CS	Nodo	N _{Ed}	M _{Ed}	A _s	A _{df}	CS	Nodo	N _{Ed}	M _{Ed}	A _s	A _{df}	CS
			[N]	[N-m]	[cm ² /cm]	[cm ² /cm]			[N]	[N-m]	[cm ² /cm]	[cm ² /cm]			[N]	[N-m]	[cm ² /cm]	[cm ² /cm]	
P	S	01052	0	0	2,356 19	2,356 19	-	01053	0	0	2,356 19	2,356 19	-	01054	0	0	2,356 19	2,356 19	-
	I		0	393.0 58	2,356 19	2,356 19	92,4 4		0	620.2 78	2,356 19	2,356 19	58,5 7		0	864.8 58	2,356 19	2,356 19	42,01
S	S		0	134.8 20	1,413 72	1,413 72	NS		0	187.3 33	1,413 72	1,413 72	NS		0	246.7 84	1,413 72	1,413 72	88,35
	I		0	5.085	1,413 72	1,413 72	NS		0	5.098	1,413 72	1,413 72	NS		0	5.150	1,413 72	1,413 72	NS
P	S	01055	0	0	2,356 19	2,356 19	-	01056	0	0	2,356 19	2,356 19	-	01057	0	0	2,356 19	2,356 19	-
	I		0	1.119. 657	2,356 19	2,356 19	32,4 5		0	1.364. 556	2,356 19	2,356 19	26,6 3		0	1.565. 453	2,356 19	2,356 19	23,21
S	S		0	312.2 46	1,413 72	1,413 72	69,8 3		0	375.1 43	1,413 72	1,413 72	58,1 2		0	432.0 40	1,413 72	1,413 72	50,46
	I		0	5.195	1,413 72	1,413 72	NS		0	5.255	1,413 72	1,413 72	NS		0	5.513	1,413 72	1,413 72	NS
P	S	01058	0	0	2,356 19	2,356 19	-	01059	0	0	2,356 19	2,356 19	-	01060	0	0	2,356 19	2,356 19	-
	I		0	1.707. 596	2,356 19	2,356 19	21,2 8		0	1.758. 978	2,356 19	2,356 19	20,6 6		0	1.696. 477	2,356 19	2,356 19	21,42
S	S		0	475.2 61	1,413 72	1,413 72	45,8 8		0	494.5 60	1,413 72	1,413 72	44,0 9		0	482.0 86	1,413 72	1,413 72	45,23
	I		0	5.504	1,413 72	1,413 72	NS		0	5.238	1,413 72	1,413 72	NS		0	5.161	1,413 72	1,413 72	NS
P	S	01061	0	0	2,356 19	2,356 19	-	01062	0	0	2,356 19	2,356 19	-	01063	0	0	2,356 19	2,356 19	-
	I		0	1.514. 558	2,356 19	2,356 19	23,9 9		0	1.215. 801	2,356 19	2,356 19	29,8 8		0	811.3 02	2,356 19	2,356 19	44,78
S	S		0	424.4 93	1,413 72	1,413 72	51,3 6		0	328.7 59	1,413 72	1,413 72	66,3 2		0	199.5 49	1,413 72	1,413 72	NS
	I		0	5.119	1,413 72	1,413 72	NS		0	5.123	1,413 72	1,413 72	NS		0	5.146	1,413 72	1,413 72	NS
P	S	01064	0	0	2,356 19	2,356 19	-	01065	0	116.0 33	2,356 19	2,356 19	NS	01066	0	549.5 71	2,356 19	2,356 19	66,11
	I		0	349.3 51	2,356 19	2,356 19	NS		0	3.090	2,356 19	2,356 19	NS		0	3.155	2,356 19	2,356 19	NS
S	S		0	45.85 2	1,413 72	1,413 72	NS		0	0	1,413 72	1,413 72	-		0	0	1,413 72	1,413 72	-
	I		0	5.202	1,413 72	1,413 72	NS		0	110.6 72	1,413 72	1,413 72	NS		0	251.3 68	1,413 72	1,413 72	86,74
P	S	01067	0	890.5 32	2,356 19	2,356 19	40,8 0	01068	0	1.127. 056	2,356 19	2,356 19	32,2 4	01069	0	1.249. 172	2,356 19	2,356 19	29,09
	I		0	3.260	2,356 19	2,356 19	NS		0	3.145	2,356 19	2,356 19	NS		0	3.563	2,356 19	2,356 19	NS
S	S		0	0	1,413 72	1,413 72	-		0	0	1,413 72	1,413 72	-		0	0	1,413 72	1,413 72	-
	I		0	361.2 47	1,413 72	1,413 72	60,3 5		0	436.1 03	1,413 72	1,413 72	49,9 9		0	468.7 69	1,413 72	1,413 72	46,51
P	S	01070	0	1.259. 634	2,356 19	2,356 19	28,8 4	01071	0	1.179. 666	2,356 19	2,356 19	30,8 0	01072	0	1.035. 700	2,356 19	2,356 19	35,08
	I		0	3.762	2,356 19	2,356 19	NS		0	4.001	2,356 19	2,356 19	NS		0	4.289	2,356 19	2,356 19	NS
S	S		0	0	1,413 72	1,413 72	-		0	0	1,413 72	1,413 72	-		0	0	1,413 72	1,413 72	-
	I		0	470.2 16	1,413 72	1,413 72	46,3 7		0	447.1 09	1,413 72	1,413 72	48,7 6		0	408.5 30	1,413 72	1,413 72	53,37
P	S	01073	0	844.3 15	2,356 19	2,356 19	43,0 3	01074	0	637.4 86	2,356 19	2,356 19	56,9 9	01075	0	436.8 02	2,356 19	2,356 19	83,18
	I		0	4.268	2,356 19	2,356 19	NS		0	4.765	2,356 19	2,356 19	NS		0	4.970	2,356 19	2,356 19	NS
S	S		0	0	1,413 72	1,413 72	-		0	0	1,413 72	1,413 72	-		0	0	1,413 72	1,413 72	-
	I		0	362.6 82	1,413 72	1,413 72	60,1 2		0	312.2 86	1,413 72	1,413 72	69,8 2		0	266.8 18	1,413 72	1,413 72	81,71
P	S	01076	0	253.9 70	2,356 19	2,356 19	NS	01077	0	111.5 87	2,356 19	2,356 19	NS	01078	0	19.77 7	2,356 19	2,356 19	NS
	I		0	4.815	2,356	2,356	NS		0	4.947	2,356	2,356	NS		0	4.717	2,356	2,356	NS

Il presente documento è di proprietà della ANTEX GROUP srl.
È vietato la comunicazione a terzi o la riproduzione senza il permesso scritto della suddetta.
La società tutela i propri diritti a rigore di Legge.

Comm.: C21-002-S05



Platee - Verifiche pressoflessione retta allo SLU																			
Dir	Pos	Nodo	N _{Ed}	M _{Ed}	A _s	A _{df}	CS	Nodo	N _{Ed}	M _{Ed}	A _s	A _{df}	CS	Nodo	N _{Ed}	M _{Ed}	A _s	A _{df}	CS
			[N]	[N-m]	[cm²/cm]	[cm²/cm]			[N]	[N-m]	[cm²/cm]	[cm²/cm]			[N]	[N-m]	[cm²/cm]	[cm²/cm]	
S	S				19	19					19	19					19	19	
	I		0	0	1,413	1,413	-		0	0	1,413	1,413	-		0	0	1,413	1,413	-
			0	228.3	1,413	1,413	95,4		0	196.6	1,413	1,413	NS		0	169.6	1,413	1,413	NS
			0	82	72	72	7		0	20	72	72			0	25	72	72	
P	S	01079	0	0	2,356	2,356	-	01080	0	0	2,356	2,356	-	01081	0	0	2,356	2,356	-
	I		0	103.9	2,356	2,356	NS		0	258.2	2,356	2,356	NS		0	455.1	2,356	2,356	79,83
			0	26	19	19			0	00	19	19			0	48	19	19	
S	S		0	38.75	1,413	1,413	NS		0	67.75	1,413	1,413	NS		0	96.76	1,413	1,413	NS
	I		0	5	72	72			0	2	72	72			0	6	72	72	
			0	5.434	1,413	1,413	NS		0	5.060	1,413	1,413	NS		0	5.473	1,413	1,413	NS
			0	72	72	72			0	72	72	72			0	72	72	72	
P	S	01082	0	0	2,356	2,356	-	01083	0	0	2,356	2,356	-	01084	0	0	2,356	2,356	-
	I		0	675.7	2,356	2,356	53,7		0	897.0	2,356	2,356	40,5		0	1.131.	2,356	2,356	32,12
			0	72	19	19	6		0	47	19	19	0		0	137	19	19	
S	S		0	136.4	1,413	1,413	NS		0	165.1	1,413	1,413	NS		0	201.1	1,413	1,413	NS
	I		0	82	72	72			0	98	72	72			0	39	72	72	
			0	5.800	1,413	1,413	NS		0	5.553	1,413	1,413	NS		0	5.599	1,413	1,413	NS
			0	72	72	72			0	72	72	72			0	72	72	72	
P	S	01085	0	0	2,356	2,356	-	01086	0	0	2,356	2,356	-	01087	0	0	2,356	2,356	-
	I		0	1.338.	2,356	2,356	27,1		0	1.475.	2,356	2,356	24,6		0	1.571.	2,356	2,356	23,12
			0	101	19	19	5		0	828	19	19	2		0	245	19	19	
S	S		0	249.9	1,413	1,413	87,2		0	266.4	1,413	1,413	81,8		0	297.2	1,413	1,413	73,35
	I		0	47	72	72	3		0	84	72	72	2		0	54	72	72	
			0	5.956	1,413	1,413	NS		0	6.092	1,413	1,413	NS		0	5.950	1,413	1,413	NS
			0	72	72	72			0	72	72	72			0	72	72	72	
P	S	01088	0	0	2,356	2,356	-	01089	0	0	2,356	2,356	-	01090	0	0	2,356	2,356	-
	I		0	1.550.	2,356	2,356	23,4		0	1.434.	2,356	2,356	25,3		0	1.231.	2,356	2,356	29,51
			0	152	19	19	4		0	421	19	19	3		0	089	19	19	
S	S		0	278.6	1,413	1,413	78,2		0	257.7	1,413	1,413	84,5		0	228.1	1,413	1,413	95,55
	I		0	86	72	72	3		0	58	72	72	9		0	82	72	72	
			0	5.569	1,413	1,413	NS		0	5.523	1,413	1,413	NS		0	5.789	1,413	1,413	NS
			0	72	72	72			0	72	72	72			0	72	72	72	
P	S	01091	0	0	2,356	2,356	-	01092	0	0	2,356	2,356	-	01093	0	0	2,356	2,356	-
	I		0	912.2	2,356	2,356	39,8		0	521.9	2,356	2,356	69,6		0	119.8	2,356	2,356	NS
			0	94	19	19	3		0	24	19	19	1		0	27	19	19	
S	S		0	147.7	1,413	1,413	NS		0	67.15	1,413	1,413	NS		0	0	1,413	1,413	-
	I		0	94	72	72			0	7	72	72			0	72	72	72	
			0	5.510	1,413	1,413	NS		0	5.552	1,413	1,413	NS		0	23.14	1,413	1,413	NS
			0	72	72	72			0	72	72	72			0	72	72	72	
P	S	01094	0	269.8	2,356	2,356	NS	01095	0	615.6	2,356	2,356	59,0	01096	0	862.6	2,356	2,356	42,12
	I		0	26	19	19			0	80	19	19	1		0	39	19	19	
			0	2.787	2,356	2,356	NS		0	2.824	2,356	2,356	NS		0	3.158	2,356	2,356	NS
			0	19	19	19			0	19	19	19			0	19	19	19	
S	S		0	0	1,413	1,413	-		0	0	1,413	1,413	-		0	0	1,413	1,413	-
	I		0	107.2	1,413	1,413	NS		0	188.3	1,413	1,413	NS		0	228.7	1,413	1,413	95,32
			0	49	72	72			0	42	72	72			0	39	72	72	
P	S	01097	0	1.030.	2,356	2,356	35,2	01098	0	1.104.	2,356	2,356	32,9	01099	0	1.064.	2,356	2,356	34,14
	I		0	183	19	19	7		0	226	19	19	0		0	301	19	19	
			0	3.308	2,356	2,356	NS		0	3.297	2,356	2,356	NS		0	3.560	2,356	2,356	NS
			0	19	19	19			0	19	19	19			0	19	19	19	
S	S		0	0	1,413	1,413	-		0	0	1,413	1,413	-		0	0	1,413	1,413	-
	I		0	260.0	1,413	1,413	83,8		0	289.6	1,413	1,413	75,2		0	271.0	1,413	1,413	80,43
			0	31	72	72	5		0	73	72	72	7		0	85	72	72	
P	S	01100	0	979.3	2,356	2,356	37,1	01101	0	821.1	2,356	2,356	44,2	01102	0	634.5	2,356	2,356	57,26
	I		0	66	19	19	0		0	51	19	19	5		0	50	19	19	
			0	3.791	2,356	2,356	NS		0	4.251	2,356	2,356	NS		0	4.462	2,356	2,356	NS
			0	19	19	19			0	19	19	19			0	19	19	19	
S	S		0	0	1,413	1,413	-		0	0	1,413	1,413	-		0	0	1,413	1,413	-
			0	72	72	72			0	72	72	72			0	72	72	72	

SASSARI EOLICA S.R.L.	PARCO EOLICO DI "SASSARI"	 Ingegneria & Innovazione		
		26/05/2023	REV: 1	Pag.220

RELAZIONE DI CALCOLO PREDIMENSIONAMENTO DELLE FONDAZIONI WTG

Platee - Verifiche pressoflessione retta allo SLU

Dir	Pos	Nodo	N _{Ed}	M _{Ed}	A _s	A _{df}	CS	Nodo	N _{Ed}	M _{Ed}	A _s	A _{df}	CS	Nodo	N _{Ed}	M _{Ed}	A _s	A _{df}	CS
			[N]	[N-m]	[cm ² /cm]	[cm ² /cm]			[N]	[N-m]	[cm ² /cm]	[cm ² /cm]			[N]	[N-m]	[cm ² /cm]	[cm ² /cm]	
	I		0	265.7 96	1,413 72	1,413 72	82,0 3		0	225.7 84	1,413 72	1,413 72	96,5 6		0	198.6 37	1,413 72	1,413 72	NS
P	S	01103	0	456.8 45	2,356 19	2,356 19	79,5 3	01104	0	276.0 21	2,356 19	2,356 19	NS	01105	0	125.8 94	2,356 19	2,356 19	NS
	I		0	4.518	2,356 19	2,356 19	NS		0	4.837	2,356 19	2,356 19	NS		0	4.968	2,356 19	2,356 19	NS
S	S		0	0	1,413 72	1,413 72	-		0	0	1,413 72	1,413 72	-		0	0	1,413 72	1,413 72	-
	I		0	180.7 92	1,413 72	1,413 72	NS		0	146.2 44	1,413 72	1,413 72	NS		0	125.0 64	1,413 72	1,413 72	NS
P	S	01106	0	30.04 6	2,356 19	2,356 19	NS												
	I		0	5.185	2,356 19	2,356 19	NS												
S	S		0	0	1,413 72	1,413 72	-												
	I		0	111.1 80	1,413 72	1,413 72	NS												

LEGENDA:

Dir Direzione [P] = principale (asse locale 1) - [S] = secondaria (asse locale 2).
Pos Posizione [S] = superiore - [I] = inferiore.
A_s Area delle armature esecutive per unità di lunghezza.
A_{df} Armatura disponibile per la flessione
CS Coefficiente di sicurezza ([NS] = Non Significativo se CS ≥ 100; [VNR]= Verifica Non Richiesta; Informazioni aggiuntive sulla condizione: [V] = statica; [E] = eccezionale; [S] = sismica; [N] = sismica non lineare).
N_{Ed}, M_{Ed} Sollecitazioni di progetto.

Platee - VERIFICHE DELLE TENSIONI DI ESERCIZIO (Fondazione)

Platee - verifiche delle tensioni di esercizio

Nodo/ T _{prf}	Dir	Compressione calcestruzzo							Trazione acciaio						
		Compressione calcestruzzo rinforzo							Trazione acciaio/FRP rinforzo						
		IdCmb	σ _{cc}	σ _{cd,amm}	N _{Ed}	M _{Ed}	CS	Verific ato	IdCmb	σ _{at}	σ _{td,amm}	N _{Ed}	M _{Ed}	CS	Verific ato
			[N/mm ²]	[N/mm ²]	[N]	[N-m]				[N/mm ²]	[N/mm ²]	[N]	[N-m]		
Fondazione		Platea 1													
00666	P	RAR	9,442	22,41	1.617.246	42.726.73 2	2,37	SI	RAR	120,621	360,00	1.617.246	42.726.73 2	2,98	SI
		QPR	1,907	16,81	485.174	12.816.40 8	8,81	SI	-	-	-	-	-	-	-
	S	RAR	6,123	22,41	-	21.387.14 6	3,66	SI	RAR	269,638	360,00	-	21.387.14 6	1,34	SI
		QPR	1,429	16,81	-792.173	6.414.676	11,76	SI	-	-	-	-	-	-	-

LEGENDA:

Rinf. Indica la presenza del rinforzo sulla sezione di verifica.
Dir Direzione [P] = principale (asse locale 1) - [S] = secondaria (asse locale 2).
IdCmb Identificativo della Combinazione di Azione: [QPR] = Quasi Permanente - [FRQ] = Frequente - [RAR] = Rara.
σ_{cc} Tensione massima di compressione nel calcestruzzo della Trave/Rinforzo.
σ_{cd,amm} Tensione ammissibile per la verifica a compressione del calcestruzzo.
σ_{at} Tensione massima di trazione nell'acciaio della Trave/Rinforzo o nel FRP.
σ_{td,amm} Tensione ammissibile per la verifica a trazione dell'acciaio/rinforzo.
N_{Ed}, M_{Ed} Sollecitazioni di progetto.
CS Coefficiente di Sicurezza (= σ_{cd, amm}/σ_{cc} ; σ_{td, amm}/σ_{at}). [NS] = Non Significativo (CS ≥ 100).
**Verific
ato** [SI] = La verifica è soddisfatta (σ_{cc} ≤ σ_{cd,amm} ; σ_{at} ≤ σ_{td,amm}). [NO] = La verifica NON è soddisfatta (σ_{cc} > σ_{cd,amm} ; σ_{at} > σ_{td,amm}).
Nota Nella tabella, per ogni elemento, viene riportato il nodo della shell che ha il coefficiente di sicurezza (CS) più piccolo.

Platee - VERIFICA ALLO STATO LIMITE DI FESSURAZIONE (Fondazione)

Platee - verifica allo stato limite di fessurazione


Nodo	Dir	IdCmb	N _{Ed}	M _{Ed}	σ _{ct,f}	σ _t	ε _{sm}	A _e	Δ _{sm}	W _d	W _{amm}	CS	Verificat o
			[N]	[N-m]	[N/mm ²]	[N/mm ²]		[cm ²]	[mm]	[mm]	[mm]		
Fondazione		Platea 1											
		AA= PCA											

NOTA: L'elemento è fessurato. Di seguito sono riportati solamente i nodi strutturali per i quali si riscontra la fessurazione (W_d ≠ 0)

Il presente documento è di proprietà della ANTEX GROUP srl.
È vietato la comunicazione a terzi o la riproduzione senza il permesso scritto della suddetta.
La società tutela i propri diritti a rigore di Legge.

Comm.: C21-002-S05



SASSARI EOLICA S.R.L.	PARCO EOLICO DI "SASSARI" RELAZIONE DI CALCOLO PREDIMENSIONAMENTO DELLE FONDAZIONI WTG		 Ingegneria & Innovazione		
			26/05/2023	REV: 1	Pag.221

Platee - verifica allo stato limite di fessurazione


Nodo	Dir	IdCmb	N _{Ed}	M _{Ed}	σ _{ct,f}	σ _t	ε _{sm}	A _e	Δ _{sm}	W _d	W _{amm}	CS	Verificat o	
			[N]	[N·m]	[N/mm ²]	[N/mm ²]		[cm ²]	[mm]	[mm]	[mm]			
00607	P	FRQ	-26.395	13.332.912	-	3,26	2,79	5,7781 E-04	750	65	0,038	0,400	10,63	SI
		QPR	-15.837	8.000.686	-	1,96	2,79	0 E+00	0	0	0,000	0,300	-	SI
	S	FRQ	25.196	2.279.106	-	0,63	2,79	0 E+00	0	0	0,000	0,400	-	SI
		QPR	15.117	1.368.394	-	0,38	2,79	0 E+00	0	0	0,000	0,300	-	SI
00635	P	FRQ	-34.625	12.041.915	-	2,48	2,79	0 E+00	0	0	0,000	0,400	-	SI
		QPR	-20.775	7.226.028	-	1,49	2,79	0 E+00	0	0	0,000	0,300	-	SI
	S	FRQ	33.052	10.653.507	-	2,89	2,79	4,7706 E-04	750	66	0,031	0,400	12,75	SI
		QPR	19.831	6.393.020	-	1,73	2,79	0 E+00	0	0	0,000	0,300	-	SI
00664	P	FRQ	-808.623	22.741.334	-	4,75	2,79	2,917 E-04	750	55	0,016	0,400	24,97	SI
		QPR	-485.174	13.645.723	-	2,85	2,79	1,5758 E-04	750	55	0,009	0,300	34,67	SI
	S	FRQ	1.320.288	12.429.924	-	3,12	2,79	4,7227 E-04	750	66	0,031	0,400	12,88	SI
		QPR	792.173	7.458.794	-	1,87	2,79	0 E+00	0	0	0,000	0,300	-	SI
00693	P	FRQ	-130.665	12.628.152	-	3,11	2,79	5,522 E-04	750	65	0,036	0,400	11,12	SI
		QPR	-78.399	7.577.888	-	1,87	2,79	0 E+00	0	0	0,000	0,300	-	SI
	S	FRQ	74.838	-39.250	-0,01	2,79	0 E+00	0	0	0,000	0,400	-	SI	
		QPR	74.838	-39.245	-0,01	2,79	0 E+00	0	0	0,000	0,300	-	SI	
00666	P	FRQ	808.623	21.362.216	-	4,31	2,79	2,4355 E-04	750	55	0,013	0,400	29,91	SI
		QPR	485.174	12.816.408	-	2,59	2,79	0 E+00	0	0	0,000	0,300	-	SI
	S	FRQ	-	10.692.526	-	3,17	2,79	5,8474 E-04	750	66	0,038	0,400	10,40	SI
		QPR	1.320.288	-792.173	6.414.676	-	1,90	2,79	0 E+00	0	0	0,000	0,300	-
00636	P	FRQ	849.819	38.459.904	-	7,82	2,79	4,8394 E-04	750	55	0,027	0,400	15,05	SI
		QPR	509.891	23.076.828	-	4,69	2,79	2,7293 E-04	750	55	0,015	0,300	20,02	SI
	S	FRQ	2.220.964	8.877.550	-	2,85	2,79	5,6871 E-04	750	66	0,037	0,400	10,70	SI
		QPR	1.332.578	5.327.268	-	1,71	2,79	0 E+00	0	0	0,000	0,300	-	SI
00637	P	FRQ	-849.819	37.357.584	-	7,75	2,79	4,9856 E-04	750	55	0,027	0,400	14,61	SI
		QPR	-509.891	22.413.666	-	4,65	2,79	2,8167 E-04	750	55	0,015	0,300	19,40	SI
	S	FRQ	2.220.964	5.805.554	1,15	2,79	0 E+00	0	0	0,000	0,400	-	SI	
		QPR	1.332.578	3.482.596	0,69	2,79	0 E+00	0	0	0,000	0,300	-	SI	
00609	P	FRQ	26.395	12.122.560	-	2,95	2,79	5,1648 E-04	750	65	0,034	0,400	11,89	SI
		QPR	15.837	7.272.598	-	1,77	2,79	0 E+00	0	0	0,000	0,300	-	SI
	S	FRQ	-25.196	1.166.231	0,33	2,79	0 E+00	0	0	0,000	0,400	-	SI	
		QPR	-15.117	698.808	0,20	2,79	0 E+00	0	0	0,000	0,300	-	SI	

LEGENDA:

Il presente documento è di proprietà della ANTEX GROUP srl.
 È Vietato la comunicazione a terzi o la riproduzione senza il permesso scritto della suddetta.
 La società tutela i propri diritti a rigore di Legge.

Comm.: C21-002-S05



SASSARI EOLICA S.R.L.	PARCO EOLICO DI "SASSARI"	 Ingegneria & Innovazione		
		26/05/2023	REV: 1	Pag.222

RELAZIONE DI CALCOLO PREDIMENSIONAMENTO DELLE FONDAZIONI WTG

Platee - verifica allo stato limite di fessurazione

Nodo	Dir	IdCmb	N _{Ed}	M _{Ed}	σ _{ct,f}	σ _t	ε _{sm}	A _e	Δ _{sm}	W _d	W _{amm}	CS	Verificato
			[N]	[N·m]	[N/mm ²]	[N/mm ²]		[cm ²]	[mm]	[mm]	[mm]		
Dir	Direzione [P] = principale (asse locale 1) - [S] = secondaria (asse locale 2).												
AA	Identificativo dell'aggressività dell'ambiente: [PCA] = "Ordinario"; [MDA] = "Aggressivo"; [MLA] = "Molto aggressivo".												
IdCmb	Identificativo della Combinazione di Azione: [QPR] = Quasi Permanente - [FRQ] = Frequente - [RAR] = Rara.												
N _{Ed} , M _{Ed}	Sollecitazioni di progetto.												
σ _{ct,f}	Tensione massima di trazione nel calcestruzzo per la fessurazione, calcolata nell'ipotesi di calcestruzzo resistente a trazione. Se tale valore è maggiore di σ _t la sezione è soggetta a fessurazione.												
σ _t	N.B. I valori negativi indicano una sezione interamente compressa. In tal caso le sollecitazioni forniscono il minimo valore di compressione.												
ε _{sm}	Tensione massima di trazione nel calcestruzzo relativa allo stato limite di formazione delle fessure [relazione (4.1.13) del § 4.1.2.2.4 del DM 2018].												
A _e	Deformazione unitaria media delle barre di armatura.												
Δ _{sm}	Area efficace del calcestruzzo teso.												
W _d	Distanza media tra le fessure.												
W _{amm}	Valore di calcolo di apertura massima delle fessure.												
CS	Valore ammissibile di apertura delle fessure.												
Verificato	Coefficiente di Sicurezza (=W _d / W _{amm}). [NS] = Non Significativo (CS ≥ 100). [-] = Fessurazioni nulle (W _d = 0).												
	[SI] = W _d ≤ W _{amm} ; [NO] = W _d > W _{amm}												

VERIFICHE CARICO LIMITE FONDAZIONI DIRETTE ALLO SLU (Fondazione)

Verifiche Carico Limite fondazioni dirette allo SLU

IdFnd	CS	L _x	L _y	R _{tz}	Z _{p,cmp}	Z _{fld}	Cmp T	C. Terzaghi						Q _{Ed}	Q _{Rd}	R _f
		[m]	[m]	[°]	[m]	[m]		per N _q	per N _c	per N _r	N _q	N _c	N _r	[N/mm ²]	[N/mm ²]	
Platea 1	NS	23,12	23,10	90,00	-	-	-	-	-	-	-	-	-	0,179	18,630	NO

LEGENDA:

IdFnd	Descrizione dell'oggetto di fondazione al quale è riferita la verifica.
CS	Coefficiente di sicurezza ([NS] = Non Significativo se CS ≥ 100; [VNR]= Verifica Non Richiesta; Informazioni aggiuntive sulla condizione: [V] = statica; [E] = eccezionale; [S] = sismica; [N] = sismica non lineare).
L _x /Y	Dimensioni dell'elemento di fondazione.
R _{tz}	Angolo compreso tra l'asse X e il lato più lungo del minimo rettangolo che delimita il poligono della platea.
Z _{p,cmp}	Profondità di posa dell'elemento di fondazione dal piano campagna.
Z _{fld}	Profondità della falda dal piano campagna.
Cmp T	Classificazione del comportamento del terreno ai fini del calcolo.
C.	Coefficienti correttivi per la formula di Terzaghi.
Terzaghi	
Q _{Ed}	Carico di progetto sul terreno.
Q _{Rd}	Resistenza di progetto del terreno.
R _f	[SI] = elemento con presenza di rinforzo; [NO] = elemento senza rinforzo.

VERIFICHE CARICO LIMITE FONDAZIONI DIRETTE ALLO SLD (Fondazione)

Verifiche Carico Limite fondazioni dirette allo SLD

IdFnd	CS	L _x	L _y	R _{tz}	Z _{p,cmp}	Z _{fld}	Cmp T	C. Terzaghi						Q _{Ed}	Q _{Rd}	R _f
		[m]	[m]	[°]	[m]	[m]		per N _q	per N _c	per N _r	N _q	N _c	N _r	[N/mm ²]	[N/mm ²]	
Platea 1	NS	23,12	23,10	90,00	-	-	-	-	-	-	-	-	-	0,112	18,630	NO

LEGENDA:

IdFnd	Descrizione dell'oggetto di fondazione al quale è riferita la verifica.
CS	Coefficiente di sicurezza ([NS] = Non Significativo se CS ≥ 100; [VNR]= Verifica Non Richiesta; Informazioni aggiuntive sulla condizione: [V] = statica; [E] = eccezionale; [S] = sismica; [N] = sismica non lineare).
L _x /Y	Dimensioni dell'elemento di fondazione.
R _{tz}	Angolo compreso tra l'asse X e il lato più lungo del minimo rettangolo che delimita il poligono della platea.
Z _{p,cmp}	Profondità di posa dell'elemento di fondazione dal piano campagna.
Z _{fld}	Profondità della falda dal piano campagna.
Cmp T	Classificazione del comportamento del terreno ai fini del calcolo.
C.	Coefficienti correttivi per la formula di Terzaghi.
Terzaghi	
Q _{Ed}	Carico di progetto sul terreno.
Q _{Rd}	Resistenza di progetto del terreno.
R _f	[SI] = elemento con presenza di rinforzo; [NO] = elemento senza rinforzo.

GEOTECNICA - VERIFICHE A SCORRIMENTO (Fondazione)


Geotecnica - Verifiche a scorrimento

Elm	Dir	N _{Ed}	M _{Ed}	V _{Ed}	FRD1	FRD2	FRD3	FRD	CS
		[N]	[N·m]	[N]	[N]	[N]	[N]	[N]	
Platea 1	B	65.782.648	4.351.264	2.077.545	37368692	0	4391370	41760064	20,10

Il presente documento è di proprietà della ANTEX GROUP srl.
È vietato la comunicazione a terzi o la riproduzione senza il permesso scritto della suddetta.
La società tutela i propri diritti a rigore di Legge.

Comm.: C21-002-S05



SASSARI EOLICA S.R.L.	PARCO EOLICO DI "SASSARI"	 Ingegneria & Innovazione		
		26/05/2023	REV: 1	Pag.223

RELAZIONE DI CALCOLO PREDIMENSIONAMENTO DELLE FONDAZIONI WTG

Geotecnica - Verifiche a scorrimento

Elm	Dir	N _{Ed}	M _{Ed}	V _{Ed}	F _{RD1}	F _{RD2}	F _{RD3}	F _{RD}	CS
		[N]	[N-m]	[N]	[N]	[N]	[N]	[N]	
	L	65.782.648	462.786.432	2.077.474	37368692	0	4395172	41763864	20,10

LEGENDA:

Elm	Elemento di fondazione su cui si esegue la verifica.
Dir	Direzione di verifica: per Plinti [B]= asse locale 2; [L]= asse locale 3. Per Winkler [B]= asse locale 3; [L]= asse locale 1. Per Platee [B]= asse globale Y; [L]= asse globale X.
F_{RD1}	Aliquota di resistenza allo scorrimento per attrito terra-fondazione.
F_{RD2}	Aliquota di resistenza allo scorrimento per adesione.
F_{RD3}	Aliquota di resistenza allo scorrimento per affondamento.
F_{RD}	Resistenza allo scorrimento.
CS	Coefficiente di sicurezza ([NS] = Non Significativo se CS ≥ 100; [VNR]= Verifica Non Richiesta; Informazioni aggiuntive sulla condizione: [V] = statica; [E] = eccezionale; [S] = sismica; [N] = sismica non lineare).
N_{Ed}, M_{Ed}, V_{Ed}	Sollecitazioni di progetto.

GEOTECNICA - CALCOLO DEI CEDIMENTI (Fondazione)

Geotecnica - Calcolo dei cedimenti

Id _w	N _{ps}	N _{id}	W _{ed}	W ₀	W _c	W _f
			[cm]	[cm]	[cm]	[cm]
SLE Rare:Carico Permanente * 1 + Permanenti NON Strutturali * 1 + Abitazioni * 0.7 + Autorimessa <= 30kN * 0.7						
C0001	00002	1	2,02	2,02	0,00	2,02
C0002	00006		1,45	1,45	0,00	1,45
C0003	00005		0,01	0,01	0,00	0,01
C0004	00004		0,00	0,00	0,00	0,00
C0005	00003		1,42	1,42	0,00	1,42
SLE Rare:Carico Permanente * 1 + Permanenti NON Strutturali * 1 + Abitazioni * 1 + Autorimessa <= 30kN * 0.7						
C0001	00002	1	2,12	2,12	0,00	2,12
C0002	00006		1,97	1,97	0,00	1,97
C0003	00005		0,00	0,00	0,00	0,00
C0004	00004		0,00	0,00	0,00	0,00
C0005	00003		1,92	1,92	0,00	1,92
SLE Rare:Carico Permanente * 1 + Permanenti NON Strutturali * 1 + Abitazioni * 0.7 + Autorimessa <= 30kN * 1						
C0001	00002	1	2,06	2,06	0,00	2,06
C0002	00006		1,46	1,46	0,00	1,46
C0003	00005		0,01	0,01	0,00	0,01
C0004	00004		0,00	0,00	0,00	0,00
C0005	00003		1,43	1,43	0,00	1,43
SLE Freq:Carico Permanente * 1 + Permanenti NON Strutturali * 1 + Abitazioni * 0.3 + Autorimessa <= 30kN * 0.6						
C0001	00002	1	1,70	1,70	0,00	1,70
C0002	00006		0,81	0,81	0,00	0,81
C0003	00005		0,08	0,08	0,00	0,08
C0004	00004		0,07	0,07	0,00	0,07
C0005	00003		0,80	0,80	0,00	0,80
SLE Freq:Carico Permanente * 1 + Permanenti NON Strutturali * 1 + Abitazioni * 0.5 + Autorimessa <= 30kN * 0.6						
C0001	00002	1	1,85	1,85	0,00	1,85
C0002	00006		1,13	1,13	0,00	1,13
C0003	00005		0,03	0,03	0,00	0,03
C0004	00004		0,02	0,02	0,00	0,02
C0005	00003		1,11	1,11	0,00	1,11
SLE Freq:Carico Permanente * 1 + Permanenti NON Strutturali * 1 + Abitazioni * 0.3 + Autorimessa <= 30kN * 0.7						
C0001	00002	1	1,71	1,71	0,00	1,71
C0002	00006		0,82	0,82	0,00	0,82
C0003	00005		0,08	0,08	0,00	0,08
C0004	00004		0,08	0,08	0,00	0,08
C0005	00003		0,80	0,80	0,00	0,80
SLE Perm:Carico Permanente * 1 + Permanenti NON Strutturali * 1 + Abitazioni * 0.3 + Autorimessa <= 30kN * 0.6						
C0001	00002	1	1,70	1,70	0,00	1,70
C0002	00006		0,81	0,81	0,00	0,81
C0003	00005		0,08	0,08	0,00	0,08
C0004	00004		0,07	0,07	0,00	0,07
C0005	00003		0,80	0,80	0,00	0,80


LEGENDA:

Id_w	Identificativo del Punto Significativo (punto in cui viene calcolato il cedimento).
N_{ps}	Numero identificativo del Punto Significativo.
N_{id}	Numero identificativo dell'elemento verticale (pilastro, estremo parete, setto).
	[*]= indica la presenza di un nodo intermedio calcolato sulla base della parete/setto/muro.
W_{ed}	Cedimento edometrico.
W₀	Cedimento istantaneo.

Il presente documento è di proprietà della ANTEX GROUP srl.
È vietato la comunicazione a terzi o la riproduzione senza il permesso scritto della suddetta.
La società tutela i propri diritti a rigore di Legge.

Comm.: C21-002-S05



SASSARI EOLICA S.R.L.	PARCO EOLICO DI "SASSARI" RELAZIONE DI CALCOLO PREDIMENSIONAMENTO DELLE FONDAZIONI WTG	 Ingegneria & Innovazione		
		26/05/2023	REV: 1	Pag.224

Geotecnica - Calcolo dei cedimenti						
Id_w	N_{ps}	N_{id}	W_{ed} [cm]	W_0 [cm]	W_c [cm]	W_f [cm]
W_c	Cedimento di consolidazione.					
W_f	Cedimento finale.					


-PRESCRIZIONI

Il progetto della torre di sostegno dell'aerogeneratore, è eseguito dal produttore, sulla base delle sollecitazioni massime previste dal "VER 02 Combine Foundation loads", secondo le preferenze del Cliente, in funzione della geometria degli elementi di fondazione e dell'entità delle sollecitazioni da trasmettere, si deve confrontare il diametro del colletto della fondazione con la piastra di base al fusto della WTG che, opportunamente irrigidita, viene vincolata alle opere in c.a. della fondazione per mezzo di tirafondi annegati nel calcestruzzo.

Il presente documento è di proprietà della ANTEX GROUP srl.
 È Vietato la comunicazione a terzi o la riproduzione senza il permesso scritto della suddetta.
 La società tutela i propri diritti a rigore di Legge.

Comm.: C21-002-S05



SASSARI EOLICA S.R.L.	PARCO EOLICO DI "SASSARI" RELAZIONE DI CALCOLO PREDIMENSIONAMENTO DELLE FONDAZIONI WTG	 Ingegneria & Innovazione		
		26/05/2023	REV: 1	Pag.225

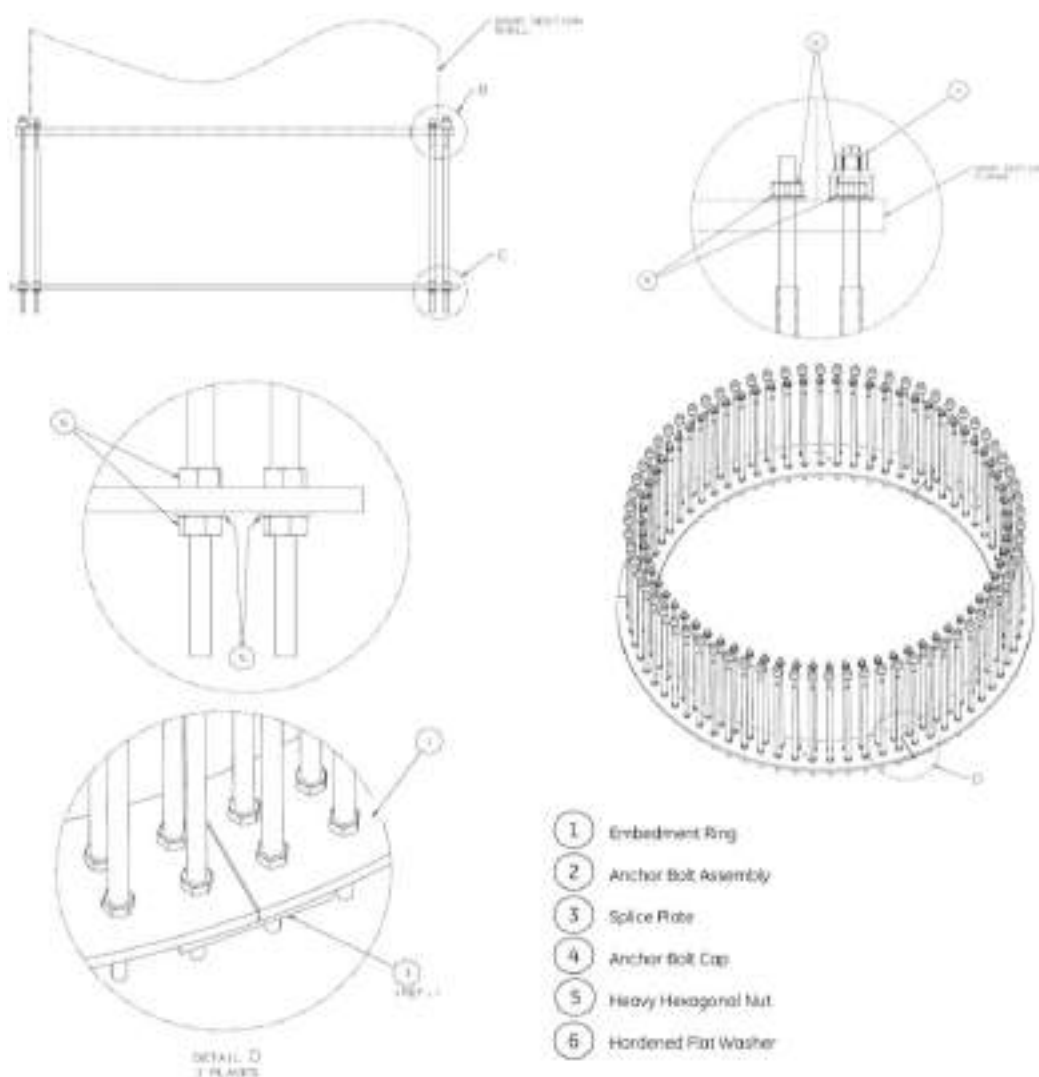



Figure 1. tirafondi e anello annegati nel calcestruzzo

La connessione tra torre e fondazione viene stabilita con una combinazione di una flangia a T alla base della torre, un giunto di stucco e una gabbia di ancoraggio incorporata. La flangia a T della torcia è fissata con bulloni di ancoraggio che fanno parte della gabbia di ancoraggio incorporata. Solo per scopi di stima dei costi, l'ancoraggio può essere assunto come (146) bulloni M42 di grado 10.9 - fare riferimento alla Figura 3. Ø46 si riferisce al diametro esterno nominale finale delle filettature di ancoraggio formate a freddo (lamine meccanicamente). Tra il foro della flangia della torretta e la lunghezza filettata e non filettata del bullone di ancoraggio deve esserci una distanza minima di 4 mm (per i bulloni di ancoraggio con filetti meccanicamente laminati, il gioco diametrale minimo è tipicamente dettato dal diametro nominale della filettatura esterna). È ammesso l'uso di taglie di ancoraggio imperiali.

SASSARI EOLICA S.R.L.	PARCO EOLICO DI "SASSARI" RELAZIONE DI CALCOLO PREDIMENSIONAMENTO DELLE FONDAZIONI WTG	 Ingegneria & Innovazione
		26/05/2023 REV: 1 Pag.226

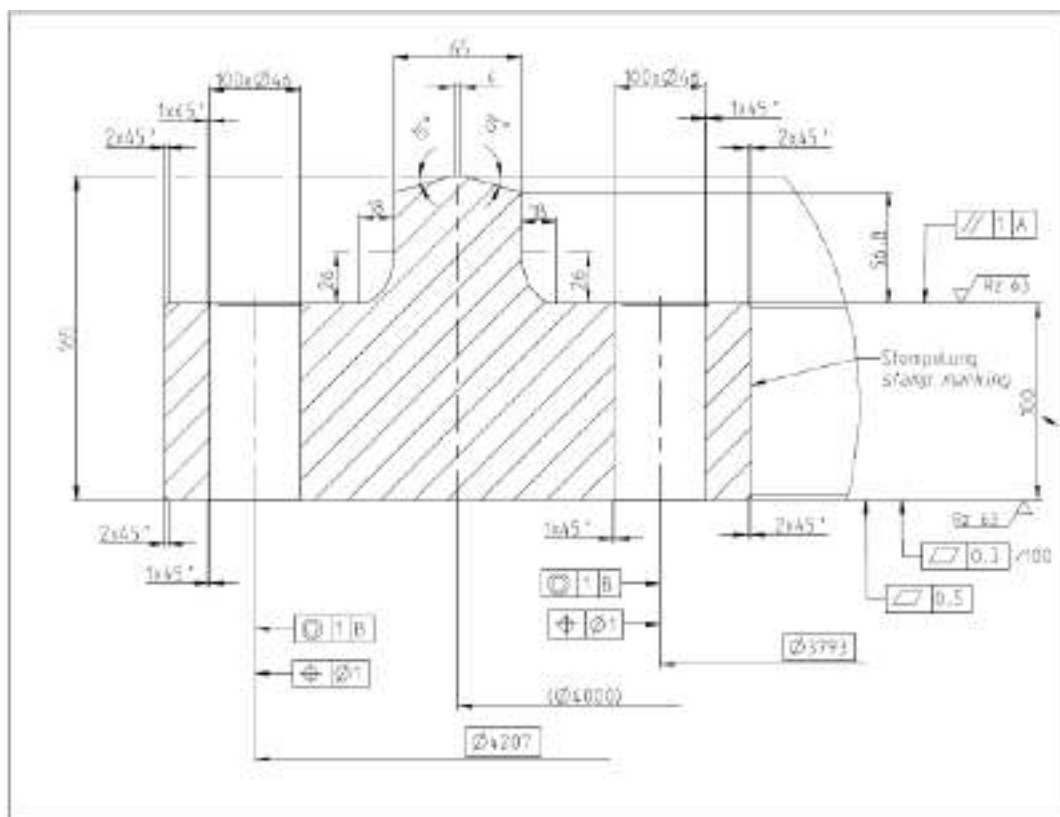


Figura 2. sezione dell'anello di connessione secondo il documento
VESTAS V150-5.6 MW -HH105

Le azioni prescritte nel documento della VESTAS per la connessione sulla fondazione sono:

Si esegue la verifica per il dimensionamento dell'anello di connessione

Fv max singolo tirafondo=1385/73=19 kN

$F_{tmax}=160.700,00\text{kNm}/4\text{m}=40.175,00\text{kN}$, questa azione verrebbe assorbita da 73 bulloni che fanno parte della zona tesa di collegamento al plinto di fondazione, quindi :

Ft max singolo tirafondo= 40.175/73=550 kN

Classe bullone: 10.9 diametro d: 42 l_{tb}: 900 f_{ub}: 1000 N/mm²
☐ Sezione filettata
☒ Sezione liscia Area: 1305.4 mm²
 Resistenza a taglio (per piano di taglio) F_{v,Rd}: 665 kN
 Resistenza a trazione F_{t,Rd}: 805.4 kN

Taglio e Trazione - EC3 #5.5.5 (F)

$$\frac{F_{v,Ed}}{F_{v,Rd}} + \frac{F_{t,Ed}}{1.4 F_{t,Rd}} = 0.029 + 0.487 = 0.516$$
 OK

Rifollamento

Acciaio: S275 (F=430) f_u: 430 N/mm²
 spessore t: 100 mm
 diametro foro d₀: 45 mm
 distanze bordo e₁: 135 e₂: 57.5
 passo p₁: 160.75 p₂: 135
 α: 1

Resistenza al rifollamento F_{b,Rd}: 3.612 kN Osservazioni

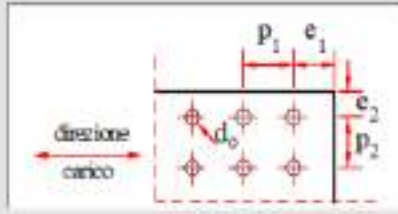
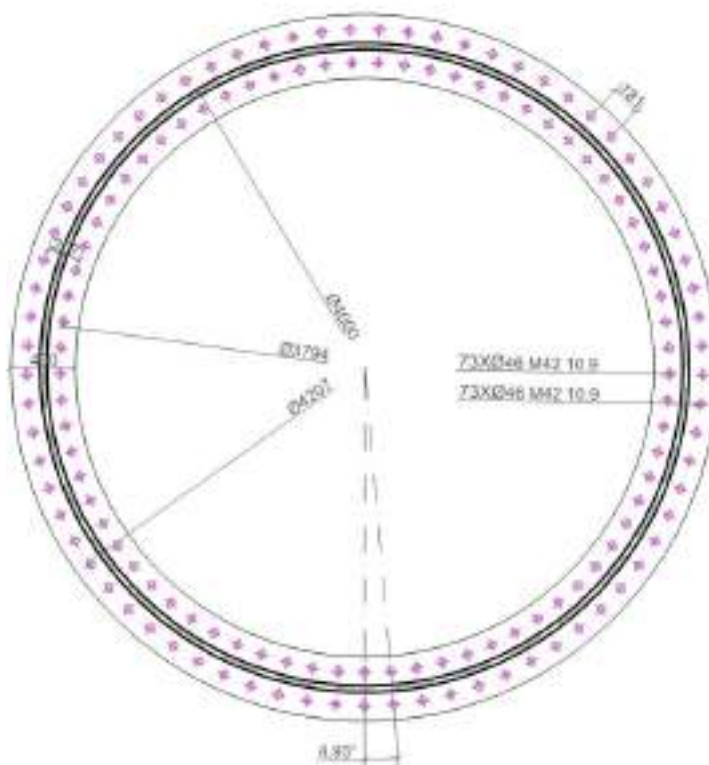




Figure 3. anello di connessione di progetto

La verifica secondo **EC3 #65.5.5** impone delle distanze di bordo $e_2 > 62.5\text{mm}$ viene considerato 97mm nel progetto, un passo dei bulloni con distanza minima $p_1 > 168,75$ (considerato 181mm nel progetto) e un passo $p_2 > 135\text{mm}$ (considerato 207mm di progetto).

Lo spessore di 100mm verifica al punzonamento con una resistenza $F_{b,Rd} = 3612\text{kN} > 544\text{kN}$ questo fa sì che la dimensione dell'anello raggiunge un diametro di 4400mm con piastra di 400mmx100mm.

La classe dell'acciaio di calcolo è S275, nelle tavole esecutive viene indicato una classe superiore S355 per

SASSARI EOLICA S.R.L.	PARCO EOLICO DI "SASSARI" RELAZIONE DI CALCOLO PREDIMENSIONAMENTO DELLE FONDAZIONI WTG	 Ingegneria & Innovazione		
		26/05/2023	REV: 1	Pag.228

fattore di sicurezza.

La "gabbia" nelle varie dimensioni in funzione al progetto, viene consegnata in situ e dovrà essere assemblare dall'impresa costruttrice.



Figure 4. Gabbia di ancoraggio

CONDOTTE ELETTRICHE

Per le condotte elettriche occorre una fossa con un diametro minimo di 1,2m e una profondità minima di 1,7m, collocata al centro del basamento della turbina per l'accessibilità e l'instradamento del condotto. Vedere la Figura 4 per una disposizione e una posizione del condotto di riferimento.

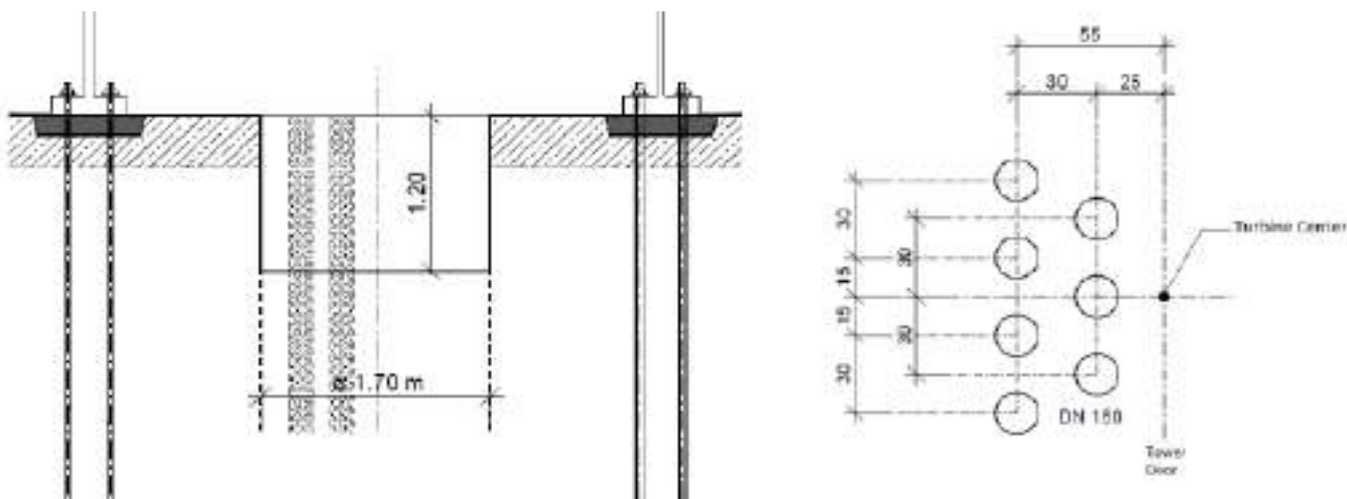


Figure 5. Fossa per le condotte elettriche

MATERIALI DELLA FONDAZIONE

I materiali di calcolo della fondazione sono stati calcestruzzo C35/45 e acciaio B450C, per il terreno sono stati riportati dalla relazione geologica i dati geotecnici peggiori.

Nel documento redatto dalla "VESTAS V150-5.6 MW – HH105" indica le minime classi di calcestruzzo da utilizzare nelle varie parti della fondazione.

Minimum concrete strength class according to EN 1992-1-1		
Location	concrete strength class international	concrete strength class national (Germany)
Grout	C80/95	C80/95
Pedestal	C45/55	C45/55
Concrete slab	C30/37	C30/37
Pit	C35/45	C45/55

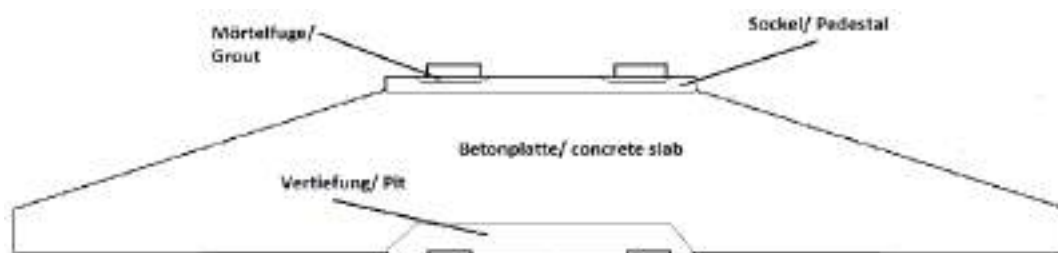


Figura 6. classi di calcestruzzo minime da utilizzare secondo il documento VESTAS V162-5.6 MW -HH119

Per l'esecuzione dell'opera si prescrivono delle classi superiori nelle tavole esecutive per quanto riguarda il calcestruzzo del colletto che dovrà essere C45/55 e il calcestruzzo dell'inghisaggio che dovrà essere C90/105.

Per rendere il fissaggio più resistente, durevole e stabile viene utilizzato un inghisaggio di spessore 50mm tra l'anello in acciaio e la fondazione.

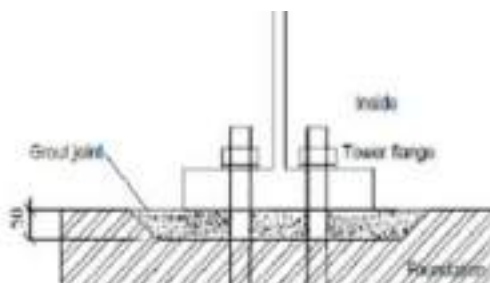



Figura 7. Particolare inghisaggio C90/105

L'ancoraggio di tale elementi avviene mediante colatura di malta cementizia classe C90/105 che si realizza nelle seguenti fasi:

- preparazione del supporto, che deve essere solido, compatto, privo di parti friabili e/o in distacco
- posizionamento dell'elemento da ancorare
- colatura della malta miscelata

SASSARI EOLICA S.R.L.	PARCO EOLICO DI "SASSARI" RELAZIONE DI CALCOLO PREDIMENSIONAMENTO DELLE FONDAZIONI WTG	 Ingegneria & Innovazione
		26/05/2023 REV: 1 Pag.230

MODELLAZIONE PLINTO

I carichi trasmessi dalle strutture sovrastanti si distribuiscono all'interno del plinto secondo linee isostatiche che formano idealmente un cono. Pertanto la forma ideale del plinto è quella tronco-conica o tronco – piramidale.

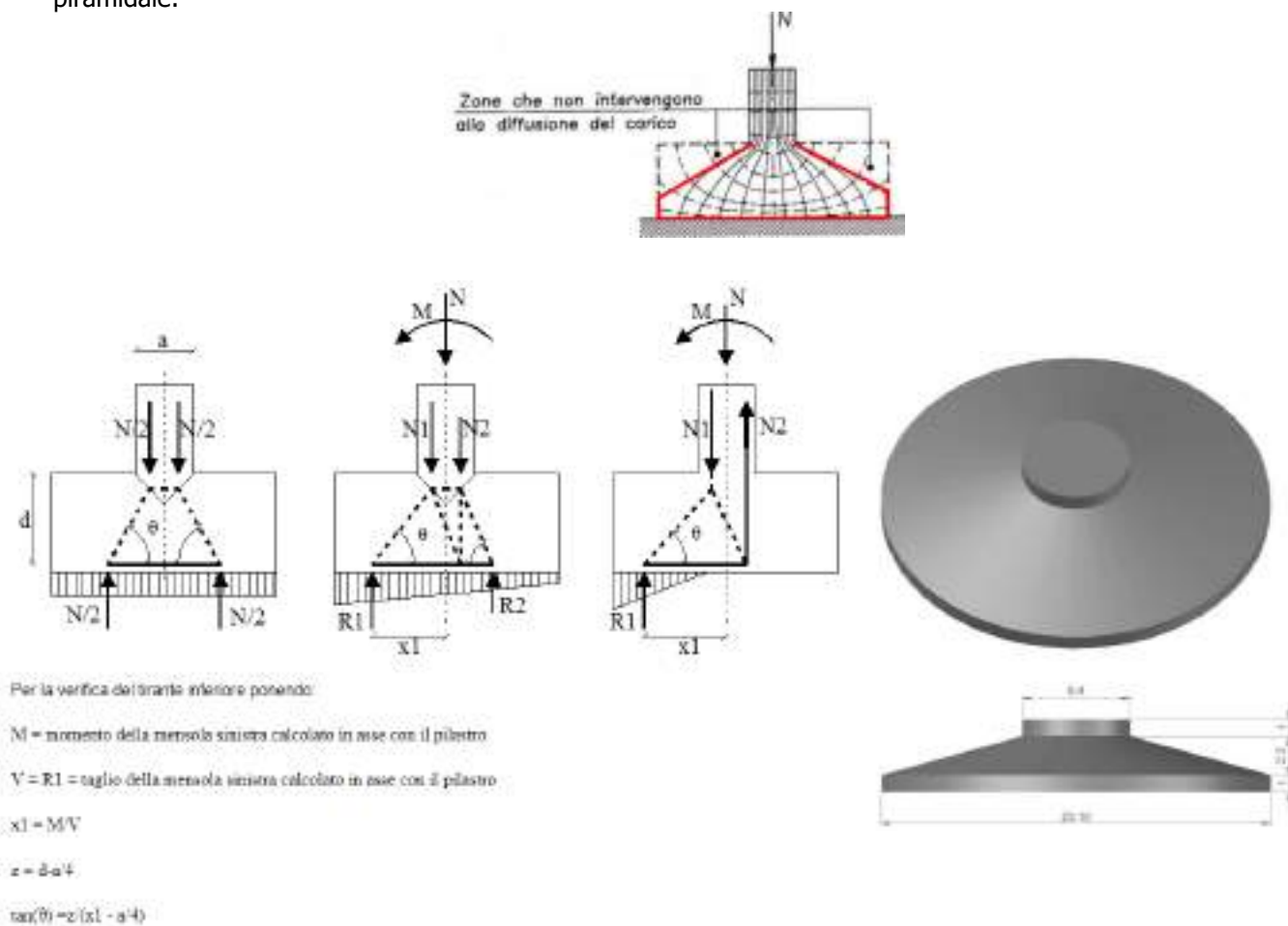

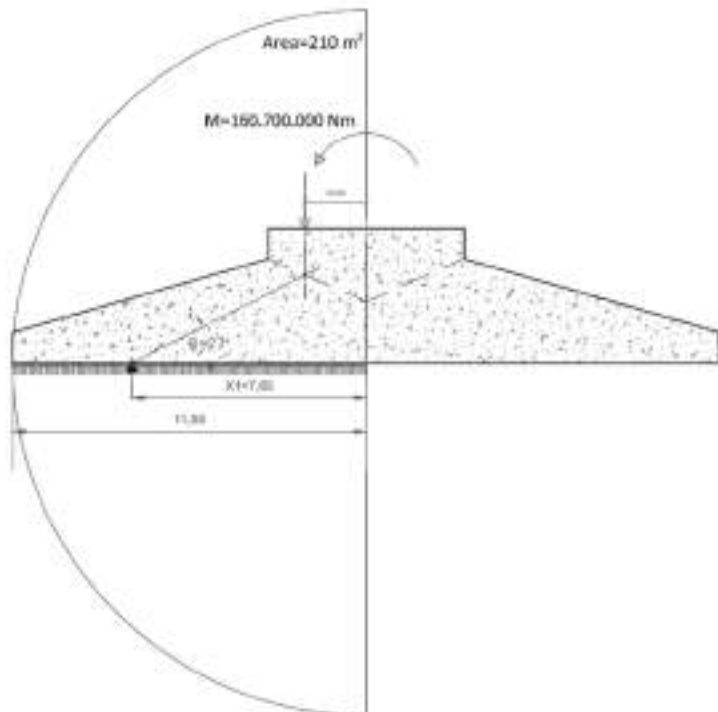


Figure 8. Fondazione di progetto

SASSARI EOLICA S.R.L.	PARCO EOLICO DI "SASSARI"	 Ingegneria & Innovazione		
		26/05/2023	REV: 1	Pag.231

RELAZIONE DI CALCOLO PREDIMENSIONAMENTO DELLE FONDAZIONI WTG

Il dimensionamento della fondazione tronco conica rispetta l'angolo del flusso delle tensioni.



$$x_1 = 160.700.000 / 21.000.000 = 7,65m$$

$$z = 4,3 - 6,4 / 4 = 2,70m$$

$$\tan(\theta) = z / (x_1 - 2) = 2,7 / (7,65 - 2) = 0,48$$

$$(\theta) = 27^\circ$$

Figure9. Diffusione della tensione rispetto il momento max ribaltante

CONCLUSIONI

Nel rispetto di quanto richiesto dalle Norme Tecniche per le Costruzioni 2018 ed al fine di fornire un giudizio motivato di accettabilità dei valori raggiunti, alla luce delle verifiche e dei calcoli effettuati, di cui è data spiegazione nel presente documento, il progettista strutturale ritiene che i risultati ottenuti relativamente al progetto in oggetto siano conformi a quanto previsto dai regolamenti e dalle leggi vigenti in materia.

Il progettista ritiene di aver esaminato gli stati tensionali e deformativi, ritenendoli consistenti e coerenti con la modellazione della struttura analizzata.

Il manufatto di fondazione per la WTG VESTAS V162-5.6 MW-HH119 così verificata e dimensionata raggiunge un:

- **Volume del calcestruzzo della fondazione di progetto di circa 890m³;**
- **Acciaio delle fondazioni di progetto di circa 134.000kg**
- **Tirafondi in barre filettate M42 classe 10.9 di circa 6.300 kg;**
- **Anello di connessione superiore e inferiore in acciaio S355 di circa 9.000kg.**

Per ogni specifica turbina vista l'ampia aria d'impianto, si mette a luce che nella progettazione esecutiva corre l'obbligo di eseguire in situ i sondaggi geognostici per evidenziare la stratigrafia, misurare RQD, fare dei prelievi di campioni per esami di laboratorio, indagini di tipo MASW per la valutazione del vs30 e quanto altro necessario ai fini di ottimizzare il calcolo e ottenere dei valori quanto più appropriati.